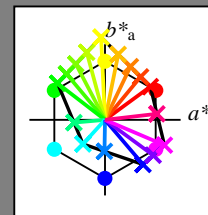


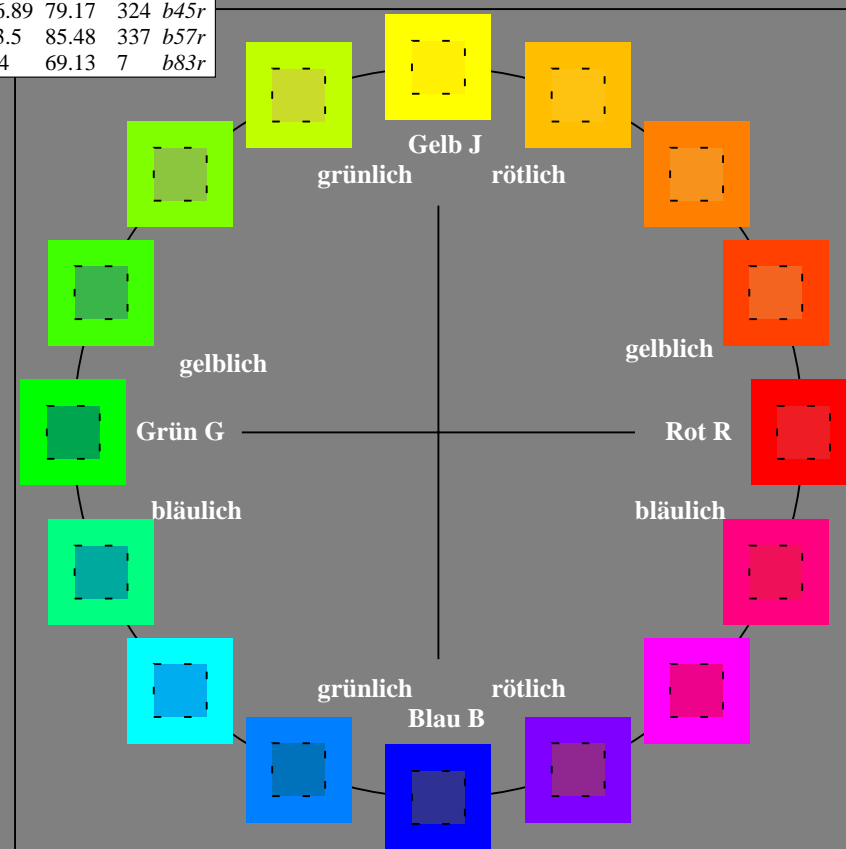
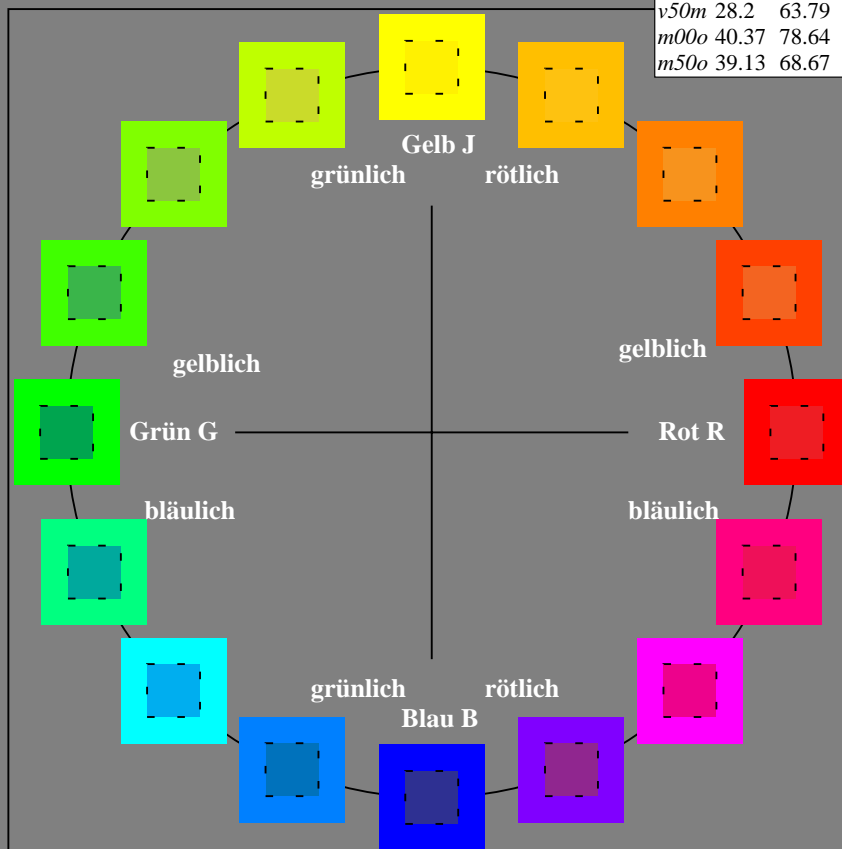
Ein und Ausgabe:
Farbmetrisches Drucker-Reflektiv-System FRS12_95a
Daten für jede Farbe:
 u^*_d und Nummer $Nr.$ = 00 .. 15
Geräte-Bunttontext:
 u^*_d = 16 Bunttoene *o00y*, *o25y*, ..., *m50o*
Kontrastreduzierungsfaktor:
 $c_R = 1.0$

FRS12_95a; adaptierte CIELAB-Daten						
u^*_d	$L^*=L^*_a$	a^*_a	b^*_a	$C^*_{ab,a}$	$h^*_{ab,a}$	u^*_e
<i>o00y</i>	38.06	60.0	44.0	74.4	36	<i>r16j</i>
<i>o25y</i>	47.68	47.13	56.9	73.88	50	<i>r37j</i>
<i>o50y</i>	57.77	33.62	70.44	78.05	64	<i>r58j</i>
<i>o75y</i>	69.84	17.48	86.62	88.37	79	<i>r79j</i>
<i>y00l</i>	86.77	-5.17	109.32	109.44	93	<i>j01g</i>
<i>y25l</i>	73.71	-24.12	89.19	92.39	105	<i>j18g</i>
<i>y50l</i>	63.76	-38.55	73.86	83.32	118	<i>j36g</i>
<i>y75l</i>	55.23	-50.92	60.72	79.25	130	<i>j53g</i>
<i>l00c</i>	47.13	-62.67	48.24	79.09	142	<i>j71g</i>
<i>l50c</i>	52.64	-41.0	-3.61	41.16	185	<i>g21b</i>
<i>c00v</i>	55.66	-29.14	-31.99	43.27	228	<i>g60b</i>
<i>c50v</i>	41.87	-0.69	-41.67	41.68	269	<i>g97b</i>
<i>v00m</i>	17.15	50.3	-59.04	77.57	310	<i>b34r</i>
<i>v50m</i>	28.2	63.79	-46.89	79.17	324	<i>b45r</i>
<i>m00o</i>	40.37	78.64	-33.5	85.48	337	<i>b57r</i>
<i>m50o</i>	39.13	68.67	7.94	69.13	7	<i>b83r</i>



%Umfang
 $u^*_{rel} = 109$
%Regularität
 $g^*_{H,rel} = 31$
 $g^*_{C,rel} = 40$

FRS12_95a; adaptierte CIELAB-Daten					
Name	$L^*=L^*_a$	a^*_a	b^*_a	$C^*_{ab,a}$	$h^*_{ab,a}$
O _{Ma}	38.06	60.0	44.0	74.4	36
Y _{Ma}	86.77	-5.17	109.32	109.44	93
L _{Ma}	47.13	-62.67	48.24	79.09	142
C _{Ma}	55.66	-29.14	-31.99	43.27	228
V _{Ma}	17.15	50.3	-59.04	77.57	310
M _{Ma}	40.37	78.64	-33.5	85.48	337
N _{Ma}	11.58	0.0	0.0	0.0	0
W _{Ma}	95.02	0.0	0.0	0.0	0
O _{CIE}	39.92	58.74	27.99	65.07	92
Y _{CIE}	81.26	-2.89	71.56	71.62	25
L _{CIE}	52.23	-42.42	13.6	44.55	162
V _{CIE}	30.57	1.41	-46.47	46.49	272



Ein und Ausgabe: Farbmetrisches Drucker-Reflektiv-System FRS12_95a, L*=12_95 für relativen CIELAB-Buntton $h^* = lab^*h^* = h_{ab}/360 = 0.101$ $u^*_d = o00y$

Daten für jede Farbe:

lab^*ch^* und lab^*icu^*

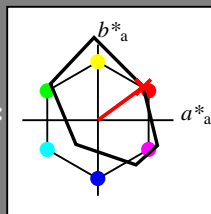
Bunttontexte:

$u^*_d = o00y$ $u^*_e = r16j$

Kontrastreduzierungsfaktor:

$c_R = 1.0$

Dreiecks-Helligkeit i^*



FRS12_95a; adaptierte CIELAB-Daten

u^*_d	$L^*=L^*_a$	a^*_a	b^*_a	$C^*_{ab,a}$	$h^*_{ab,a}$
O _{Ma}	38.06	60.0	44.0	74.4	36
Y _{Ma}	86.77	-5.17	109.32	109.44	93
L _{Ma}	47.13	-62.67	48.24	79.09	142
C _{Ma}	55.66	-29.14	-31.99	43.27	228
V _{Ma}	17.15	50.3	-59.04	77.57	310
M _{Ma}	40.37	78.64	-33.5	85.48	337
N _{Ma}	11.58	0.0	0.0	0.0	0
W _{Ma}	95.02	0.0	0.0	0.0	0
O _{Ma}	39.92	58.74	27.99	65.07	25
Y _{Ma}	81.26	-2.89	71.56	71.62	92
L _{Ma}	52.23	-42.42	13.6	44.55	162
V _{Ma}	30.57	1.41	-46.47	46.49	272

Daten für Maximalfarbe (Ma):

$LAB^*LAB^*_{Ma}$: 38 60 44

$LAB^*LCH^*_{Ma}$: 38 74 36

$lab^*olv^*_{Ma}$: 1.0 0.0 0.0

$lab^*rgb^*_{Ma}$: 1.0 0.16 0.0

Dreiecks-Helligkeit i^*

%Umfang

$u^*_{rel} = 109$

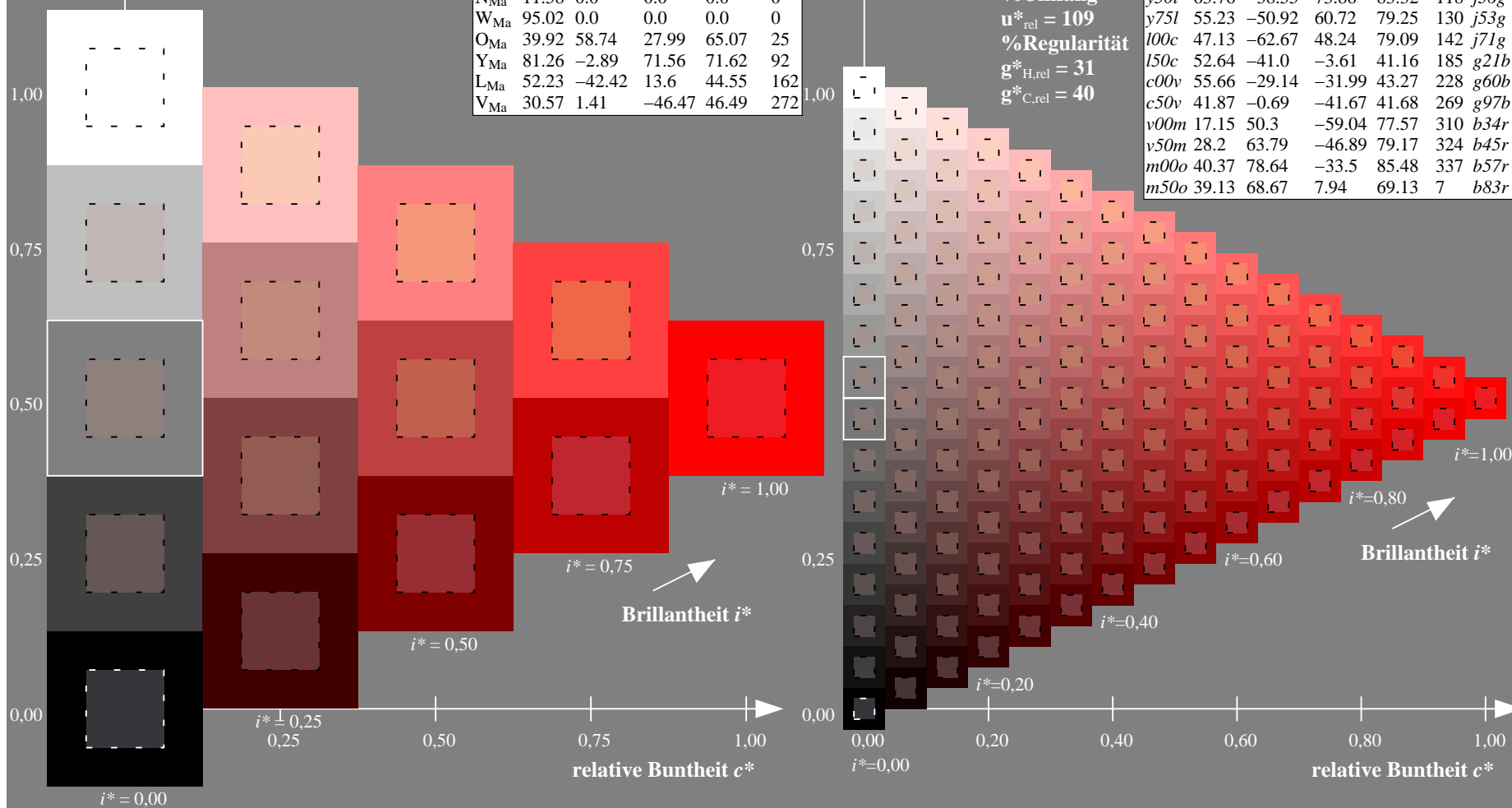
%Regularität

$g^*_{H,rel} = 31$

$g^*_{C,rel} = 40$

FRS12_95a; adaptierte CIELAB-Daten

u^*_d	$L^*=L^*_a$	a^*_a	b^*_a	$C^*_{ab,a}$	$h^*_{ab,a}$	u^*_e
<i>o00y</i>	38.06	60.0	44.0	74.4	36	<i>r16j</i>
<i>o25y</i>	47.68	47.13	56.9	73.88	50	<i>r37j</i>
<i>o50y</i>	57.77	33.62	70.44	78.05	64	<i>r58j</i>
<i>o75y</i>	69.84	17.48	86.62	88.37	79	<i>r79j</i>
<i>y00l</i>	86.77	-5.17	109.32	109.44	93	<i>j01g</i>
<i>y25l</i>	73.71	-24.12	89.19	92.39	105	<i>j18g</i>
<i>y50l</i>	63.76	-38.55	73.86	83.32	118	<i>j36g</i>
<i>y75l</i>	55.23	-50.92	60.72	79.25	130	<i>j53g</i>
<i>l00c</i>	47.13	-62.67	48.24	79.09	142	<i>j71g</i>
<i>l50c</i>	52.64	-41.0	-3.61	41.16	185	<i>g21b</i>
<i>c00v</i>	55.66	-29.14	-31.99	43.27	228	<i>g60b</i>
<i>c50v</i>	41.87	-0.69	-41.67	41.68	269	<i>g97b</i>
<i>v00m</i>	17.15	50.3	-59.04	77.57	310	<i>b34r</i>
<i>v50m</i>	28.2	63.79	-46.89	79.17	324	<i>b45r</i>
<i>m00o</i>	40.37	78.64	-33.5	85.48	337	<i>b57r</i>
<i>m50o</i>	39.13	68.67	7.94	69.13	7	<i>b83r</i>



Ein und Ausgabe: Farbmetrisches Drucker-Reflektiv-System FRS12_95a, L*=12_95 für relativen CIELAB-Buntton $h^* = lab^*h^* = h_{ab}/360 = 0.14$ $u^*_d = o25y$

Daten für jede Farbe:

lab^*ch^* und lab^*icu^*

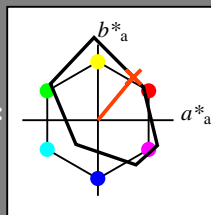
Bunttontexte:

$u^*_d = o25y$ $u^*_e = r37j$

Kontrastreduzierungsfaktor:

$c_R = 1.0$

Dreiecks-Helligkeit i^*



FRS12_95a; adaptierte CIELAB-Daten

u^*_d	$L^*=L^*_a$	a^*_a	b^*_a	$C^*_{ab,a}$	$h^*_{ab,a}$
O _{Ma}	38.06	60.0	44.0	74.4	36
Y _{Ma}	86.77	-5.17	109.32	109.44	93
L _{Ma}	47.13	-62.67	48.24	79.09	142
C _{Ma}	55.66	-29.14	-31.99	43.27	228
V _{Ma}	17.15	50.3	-59.04	77.57	310
M _{Ma}	40.37	78.64	-33.5	85.48	337
N _{Ma}	11.58	0.0	0.0	0.0	0
W _{Ma}	95.02	0.0	0.0	0.0	0
O _{Ma}	39.92	58.74	27.99	65.07	25
Y _{Ma}	81.26	-2.89	71.56	71.62	92
L _{Ma}	52.23	-42.42	13.6	44.55	162
V _{Ma}	30.57	1.41	-46.47	46.49	272

Daten für Maximalfarbe (Ma):

$LAB^*LAB^*_{Ma}$: 48 47 57

$LAB^*LCH^*_{Ma}$: 48 74 50

$lab^*olv^*_{Ma}$: 1.0 0.25 0.0

$lab^*rgb^*_{Ma}$: 1.0 0.37 0.0

Dreiecks-Helligkeit i^*

%Umfang

$u^*_{rel} = 109$

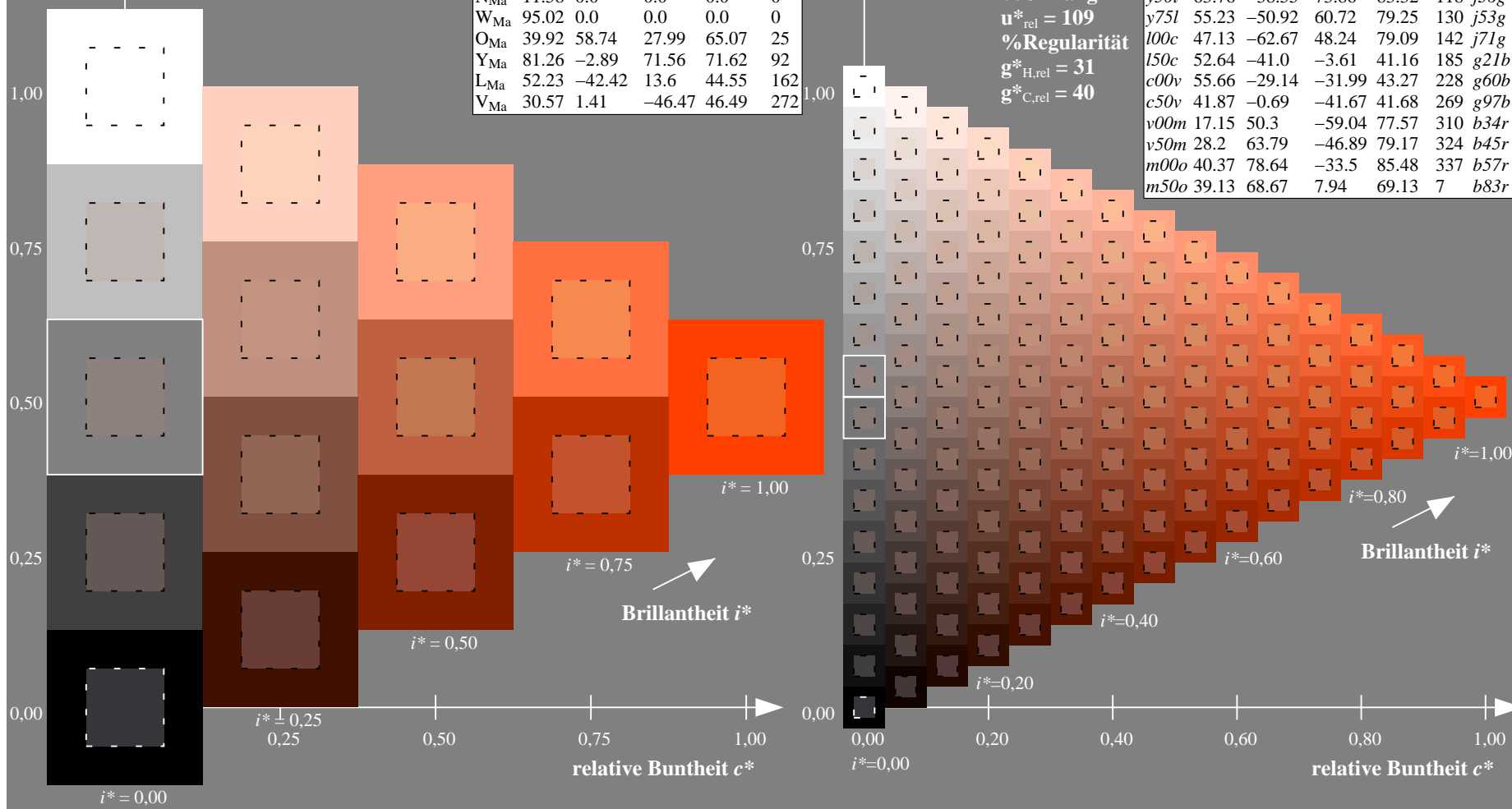
%Regularität

$g^*_{H,rel} = 31$

$g^*_{C,rel} = 40$

FRS12_95a; adaptierte CIELAB-Daten

u^*_d	$L^*=L^*_a$	a^*_a	b^*_a	$C^*_{ab,a}$	$h^*_{ab,a}$	u^*_e
o00y	38.06	60.0	44.0	74.4	36	r16j
o25y	47.68	47.13	56.9	73.88	50	r37j
o50y	57.77	33.62	70.44	78.05	64	r58j
o75y	69.84	17.48	86.62	88.37	79	r79j
y00l	86.77	-5.17	109.32	109.44	93	j01g
y25l	73.71	-24.12	89.19	92.39	105	j18g
y50l	63.76	-38.55	73.86	83.32	118	j36g
y75l	55.23	-50.92	60.72	79.25	130	j53g
l00c	47.13	-62.67	48.24	79.09	142	j71g
l50c	52.64	-41.0	-3.61	41.16	185	g21b
c00v	55.66	-29.14	-31.99	43.27	228	g60b
c50v	41.87	-0.69	-41.67	41.68	269	g97b
v00m	17.15	50.3	-59.04	77.57	310	b34r
v50m	28.2	63.79	-46.89	79.17	324	b45r
m00o	40.37	78.64	-33.5	85.48	337	b57r
m50o	39.13	68.67	7.94	69.13	7	b83r



Ein und Ausgabe: Farbmetrisches Drucker-Reflektiv-System FRS12_95a, L*=12_95 für relativen CIELAB-Buntton $h^* = lab^*h^* = h_{ab}/360 = 0.179$ $u^*_d = o50y$

Daten für jede Farbe:

lab^*ch^* und lab^*icu^*

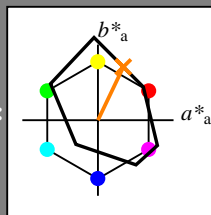
Bunttontexte:

$u^*_d = o50y$ $u^*_e = r58j$

Kontrastreduzierungsfaktor:

$c_R = 1.0$

Dreiecks-Helligkeit i^*



FRS12_95a; adaptierte CIELAB-Daten

u^*_d	$L^*=L^*_a$	a^*_a	b^*_a	$C^*_{ab,a}$	$h^*_{ab,a}$
O _{Ma}	38.06	60.0	44.0	74.4	36
Y _{Ma}	86.77	-5.17	109.32	109.44	93
L _{Ma}	47.13	-62.67	48.24	79.09	142
C _{Ma}	55.66	-29.14	-31.99	43.27	228
V _{Ma}	17.15	50.3	-59.04	77.57	310
M _{Ma}	40.37	78.64	-33.5	85.48	337
N _{Ma}	11.58	0.0	0.0	0.0	0
W _{Ma}	95.02	0.0	0.0	0.0	0
O _{Ma}	39.92	58.74	27.99	65.07	25
Y _{Ma}	81.26	-2.89	71.56	71.62	92
L _{Ma}	52.23	-42.42	13.6	44.55	162
V _{Ma}	30.57	1.41	-46.47	46.49	272

Daten für Maximalfarbe (Ma):

$LAB^*LAB^*_{Ma}$: 58 34 70

$LAB^*LCH^*_{Ma}$: 58 78 64

$lab^*olv^*_{Ma}$: 1.0 0.5 0.0

$lab^*rgb^*_{Ma}$: 1.0 0.58 0.0

Dreiecks-Helligkeit i^*

%Umfang

$u^*_{rel} = 109$

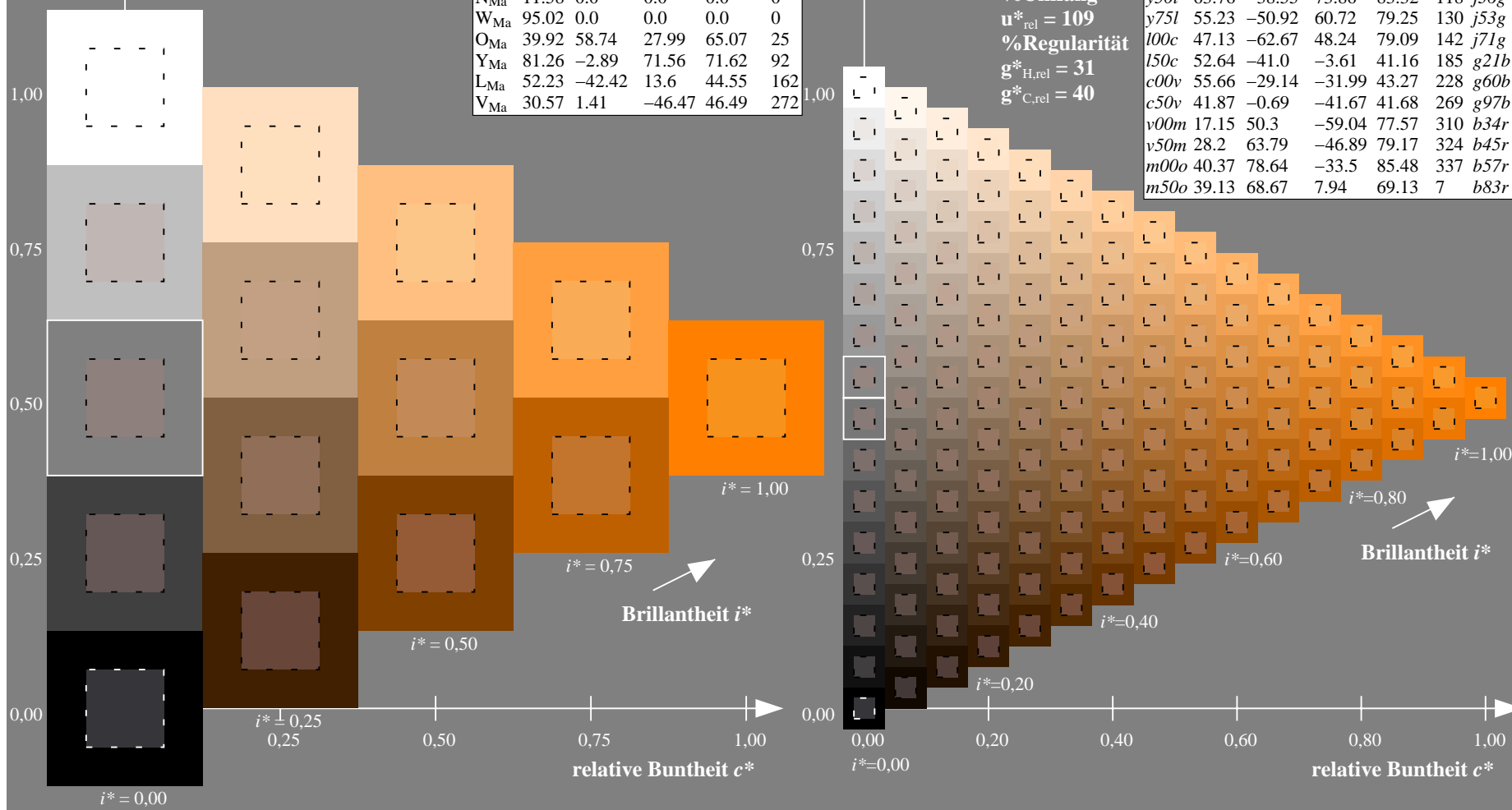
%Regularität

$g^*_{H,rel} = 31$

$g^*_{C,rel} = 40$

FRS12_95a; adaptierte CIELAB-Daten

u^*_d	$L^*=L^*_a$	a^*_a	b^*_a	$C^*_{ab,a}$	$h^*_{ab,a}$	u^*_e
<i>o00y</i>	38.06	60.0	44.0	74.4	36	<i>r16j</i>
<i>o25y</i>	47.68	47.13	56.9	73.88	50	<i>r37j</i>
<i>o50y</i>	57.77	33.62	70.44	78.05	64	<i>r58j</i>
<i>o75y</i>	69.84	17.48	86.62	88.37	79	<i>r79j</i>
<i>y00l</i>	86.77	-5.17	109.32	109.44	93	<i>j01g</i>
<i>y25l</i>	73.71	-24.12	89.19	92.39	105	<i>j18g</i>
<i>y50l</i>	63.76	-38.55	73.86	83.32	118	<i>j36g</i>
<i>y75l</i>	55.23	-50.92	60.72	79.25	130	<i>j53g</i>
<i>l00c</i>	47.13	-62.67	48.24	79.09	142	<i>j71g</i>
<i>l50c</i>	52.64	-41.0	-3.61	41.16	185	<i>g21b</i>
<i>c00v</i>	55.66	-29.14	-31.99	43.27	228	<i>g60b</i>
<i>c50v</i>	41.87	-0.69	-41.67	41.68	269	<i>g97b</i>
<i>v00m</i>	17.15	50.3	-59.04	77.57	310	<i>b34r</i>
<i>v50m</i>	28.2	63.79	-46.89	79.17	324	<i>b45r</i>
<i>m00o</i>	40.37	78.64	-33.5	85.48	337	<i>b57r</i>
<i>m50o</i>	39.13	68.67	7.94	69.13	7	<i>b83r</i>



Ein und Ausgabe: Farbmetrisches Drucker-Reflektiv-System FRS12_95a, L*=12_95 für relative CIELAB-Buntton $h^* = lab^*h^* = h_{ab}/360 = 0.218$ $u^*_d = o75y$

Daten für jede Farbe:

lab^*ch^* und lab^*icu^*

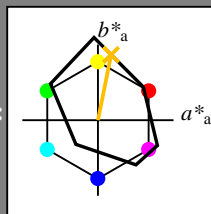
Bunttontexte:

$u^*_d = o75y$ $u^*_e = r79j$

Kontrastreduzierungsfaktor:

$c_R = 1.0$

Dreiecks-Helligkeit i^*



FRS12_95a; adaptierte CIELAB-Daten

u^*_d	$L^*=L^*_a$	a^*_a	b^*_a	$C^*_{ab,a}$	$h^*_{ab,a}$
O _{Ma}	38.06	60.0	44.0	74.4	36
Y _{Ma}	86.77	-5.17	109.32	109.44	93
L _{Ma}	47.13	-62.67	48.24	79.09	142
C _{Ma}	55.66	-29.14	-31.99	43.27	228
V _{Ma}	17.15	50.3	-59.04	77.57	310
M _{Ma}	40.37	78.64	-33.5	85.48	337
N _{Ma}	11.58	0.0	0.0	0.0	0
W _{Ma}	95.02	0.0	0.0	0.0	0
O _{Ma}	39.92	58.74	27.99	65.07	25
Y _{Ma}	81.26	-2.89	71.56	71.62	92
L _{Ma}	52.23	-42.42	13.6	44.55	162
V _{Ma}	30.57	1.41	-46.47	46.49	272

Daten für Maximalfarbe (Ma):

$LAB^*LAB^*_{Ma}$: 70 17 87

$LAB^*LCH^*_{Ma}$: 70 88 78

$lab^*olv^*_{Ma}$: 1.0 0.75 0.0

$lab^*rgb^*_{Ma}$: 1.0 0.79 0.0

Dreiecks-Helligkeit i^*

%Umfang

$u^*_{rel} = 109$

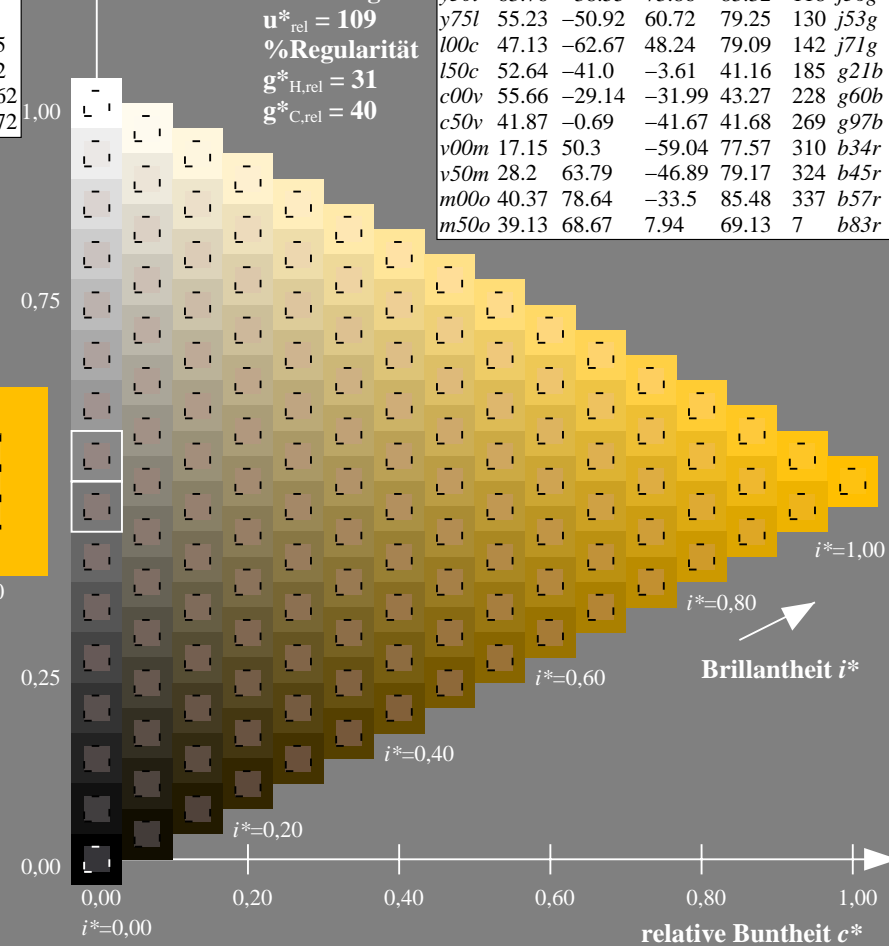
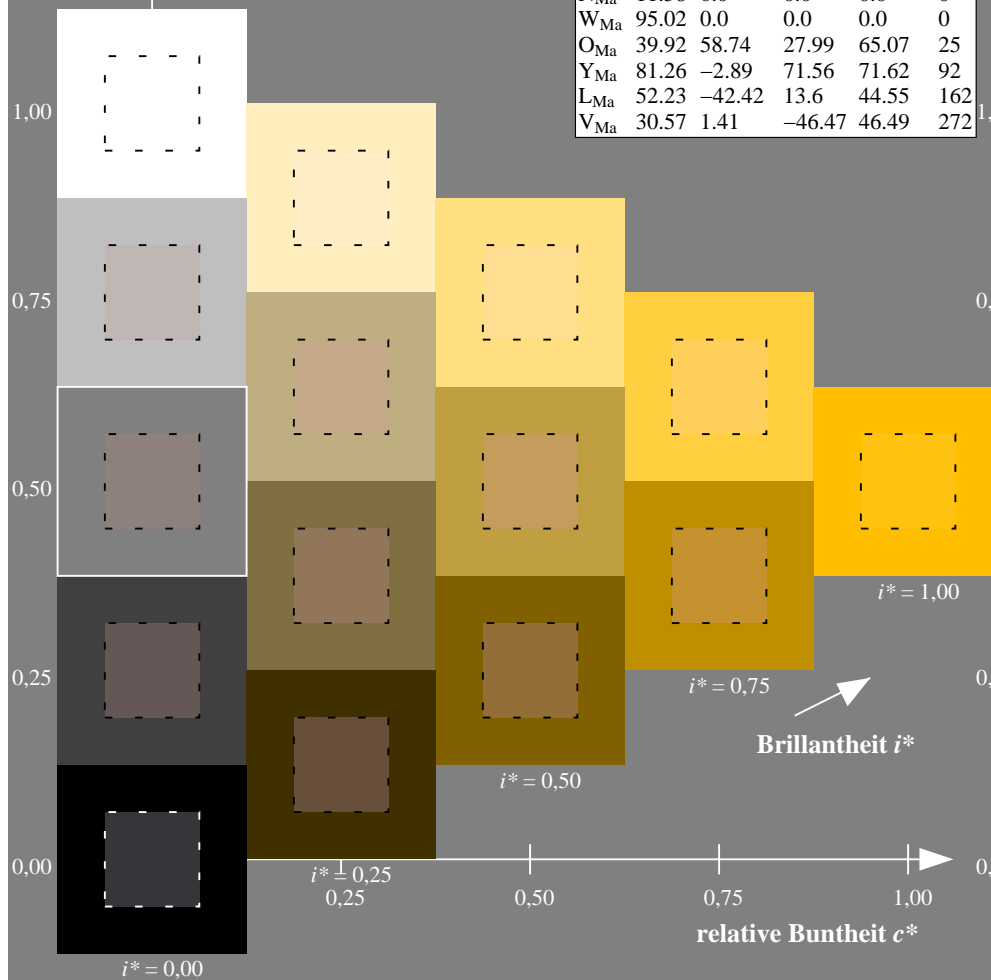
%Regularität

$g^*_{H,rel} = 31$

$g^*_{C,rel} = 40$

FRS12_95a; adaptierte CIELAB-Daten

u^*_d	$L^*=L^*_a$	a^*_a	b^*_a	$C^*_{ab,a}$	$h^*_{ab,a}$	u^*_e
o00y	38.06	60.0	44.0	74.4	36	r16j
o25y	47.68	47.13	56.9	73.88	50	r37j
o50y	57.77	33.62	70.44	78.05	64	r58j
o75y	69.84	17.48	86.62	88.37	79	r79j
y00l	86.77	-5.17	109.32	109.44	93	j01g
y25l	73.71	-24.12	89.19	92.39	105	j18g
y50l	63.76	-38.55	73.86	83.32	118	j36g
y75l	55.23	-50.92	60.72	79.25	130	j53g
l00c	47.13	-62.67	48.24	79.09	142	j71g
l50c	52.64	-41.0	-3.61	41.16	185	g21b
c00v	55.66	-29.14	-31.99	43.27	228	g60b
c50v	41.87	-0.69	-41.67	41.68	269	g97b
v00m	17.15	50.3	-59.04	77.57	310	b34r
v50m	28.2	63.79	-46.89	79.17	324	b45r
m00o	40.37	78.64	-33.5	85.48	337	b57r
m50o	39.13	68.67	7.94	69.13	7	b83r



Ein und Ausgabe: Farbmetrisches Drucker-Reflektiv-System FRS12_95a, L*=12_95 für relativen CIELAB-Buntton $h^* = lab^*h^* = h_{ab}/360 = 0.258$ $u^*_d = y00l$

Daten für jede Farbe:

lab^*ch^* und lab^*icu^*

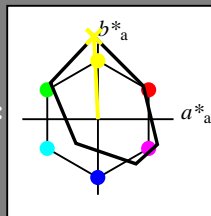
Bunttontexte:

$u^*_d = y00l$ $u^*_e = j0lg$

Kontrastreduzierungsfaktor:

$c_R = 1.0$

Dreiecks-Helligkeit i^*



FRS12_95a; adaptierte CIELAB-Daten

u^*_d	$L^*=L^*_a$	a^*_a	b^*_a	$C^*_{ab,a}$	$h^*_{ab,a}$
O _{Ma}	38.06	60.0	44.0	74.4	36
Y _{Ma}	86.77	-5.17	109.32	109.44	93
L _{Ma}	47.13	-62.67	48.24	79.09	142
C _{Ma}	55.66	-29.14	-31.99	43.27	228
V _{Ma}	17.15	50.3	-59.04	77.57	310
M _{Ma}	40.37	78.64	-33.5	85.48	337
N _{Ma}	11.58	0.0	0.0	0.0	0
W _{Ma}	95.02	0.0	0.0	0.0	0
O _{Ma}	39.92	58.74	27.99	65.07	25
Y _{Ma}	81.26	-2.89	71.56	71.62	92
L _{Ma}	52.23	-42.42	13.6	44.55	162
V _{Ma}	30.57	1.41	-46.47	46.49	272

Daten für Maximalfarbe (Ma):

$LAB^*LAB^*_{Ma}$: 87 -5 109

$LAB^*LCH^*_{Ma}$: 87 109 92

$lab^*olv^*_{Ma}$: 1.0 1.0 0.0

$lab^*rgb^*_{Ma}$: 0.99 1.0 0.0

Dreiecks-Helligkeit i^*

%Umfang

$u^*_{rel} = 109$

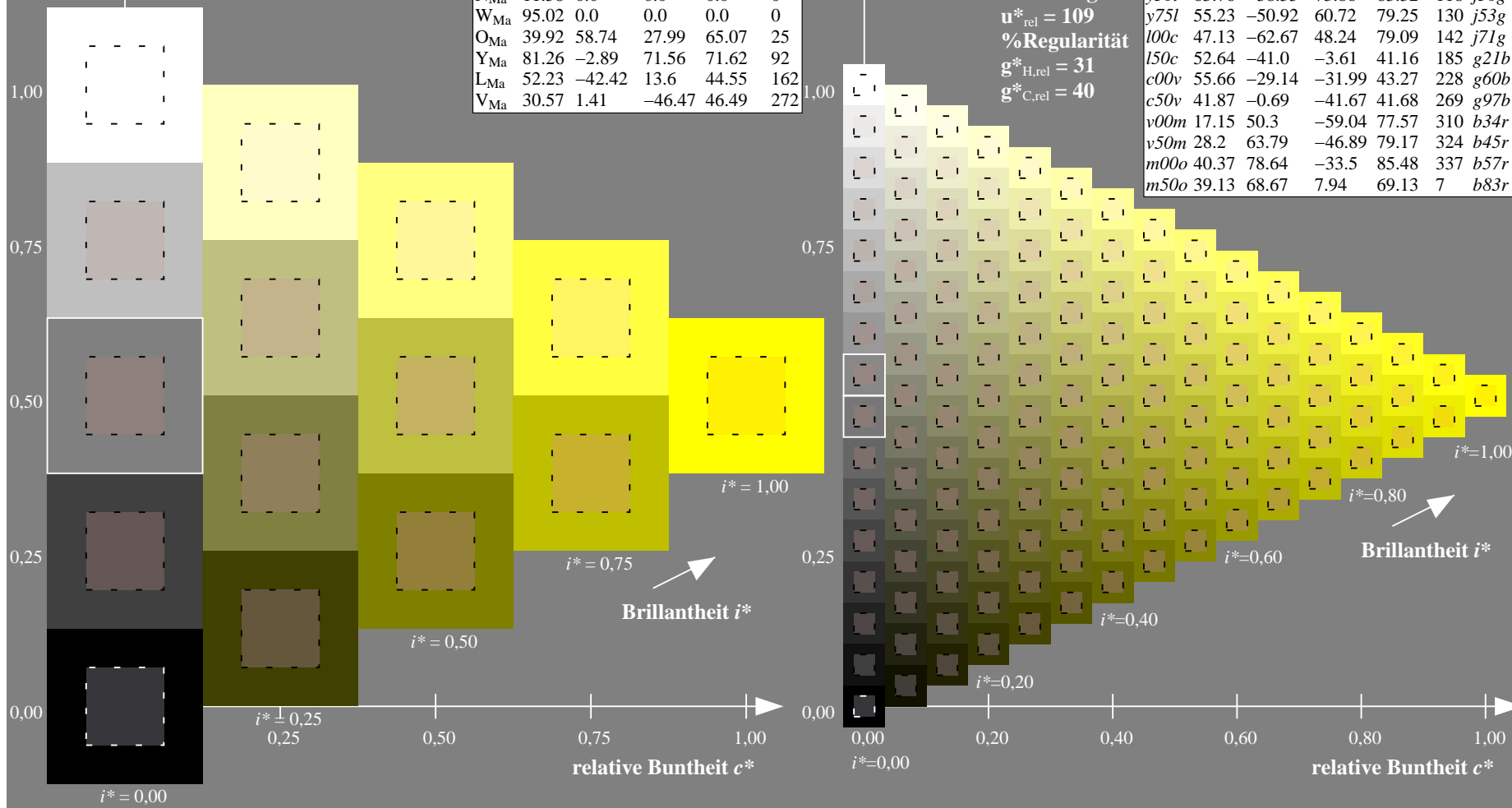
%Regularität


$g^*_{H,rel} = 31$

$g^*_{C,rel} = 40$

FRS12_95a; adaptierte CIELAB-Daten

u^*_d	$L^*=L^*_a$	a^*_a	b^*_a	$C^*_{ab,a}$	$h^*_{ab,a}$	u^*_e
<i>o00y</i>	38.06	60.0	44.0	74.4	36	<i>r16j</i>
<i>o25y</i>	47.68	47.13	56.9	73.88	50	<i>r37j</i>
<i>o50y</i>	57.77	33.62	70.44	78.05	64	<i>r58j</i>
<i>o75y</i>	69.84	17.48	86.62	88.37	79	<i>r79j</i>
<i>y00l</i>	86.77	-5.17	109.32	109.44	93	<i>j0lg</i>
<i>y25l</i>	73.71	-24.12	89.19	92.39	105	<i>j18g</i>
<i>y50l</i>	63.76	-38.55	73.86	83.32	118	<i>j36g</i>
<i>y75l</i>	55.23	-50.92	60.72	79.25	130	<i>j53g</i>
<i>l00c</i>	47.13	-62.67	48.24	79.09	142	<i>j71g</i>
<i>l50c</i>	52.64	-41.0	-3.61	41.16	185	<i>g21b</i>
<i>c00v</i>	55.66	-29.14	-31.99	43.27	228	<i>g60b</i>
<i>c50v</i>	41.87	-0.69	-41.67	41.68	269	<i>g97b</i>
<i>v00m</i>	17.15	50.3	-59.04	77.57	310	<i>b34r</i>
<i>v50m</i>	28.2	63.79	-46.89	79.17	324	<i>b45r</i>
<i>m00o</i>	40.37	78.64	-33.5	85.48	337	<i>b57r</i>
<i>m50o</i>	39.13	68.67	7.94	69.13	7	<i>b83r</i>

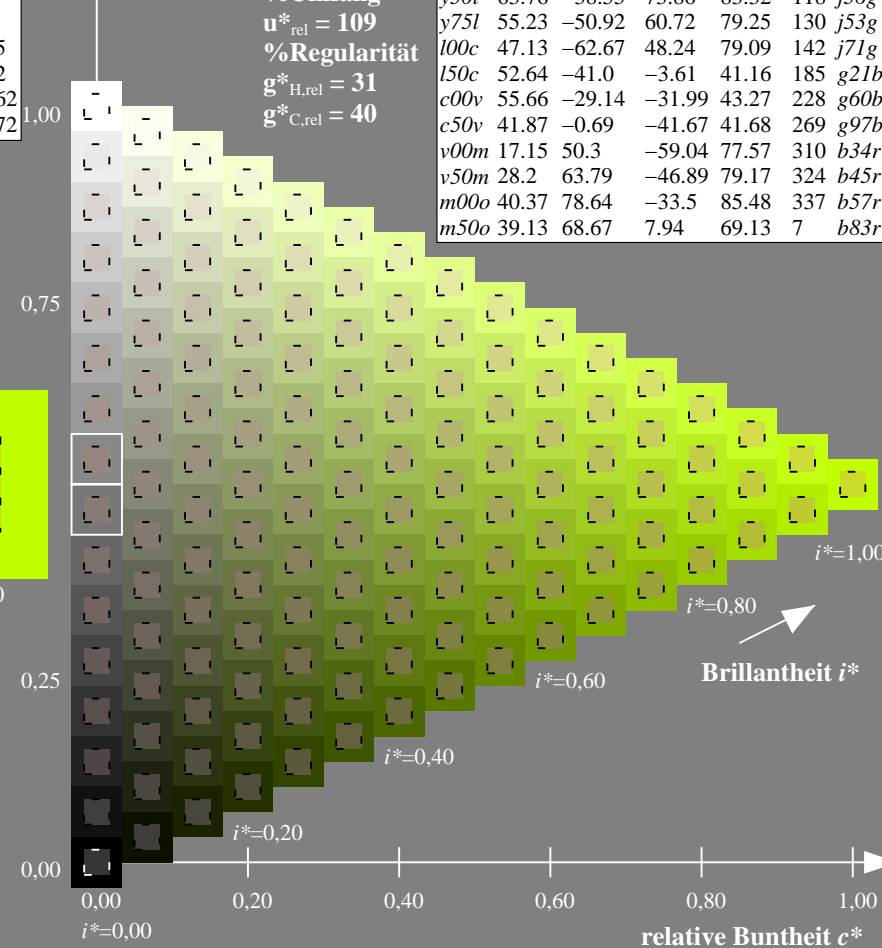
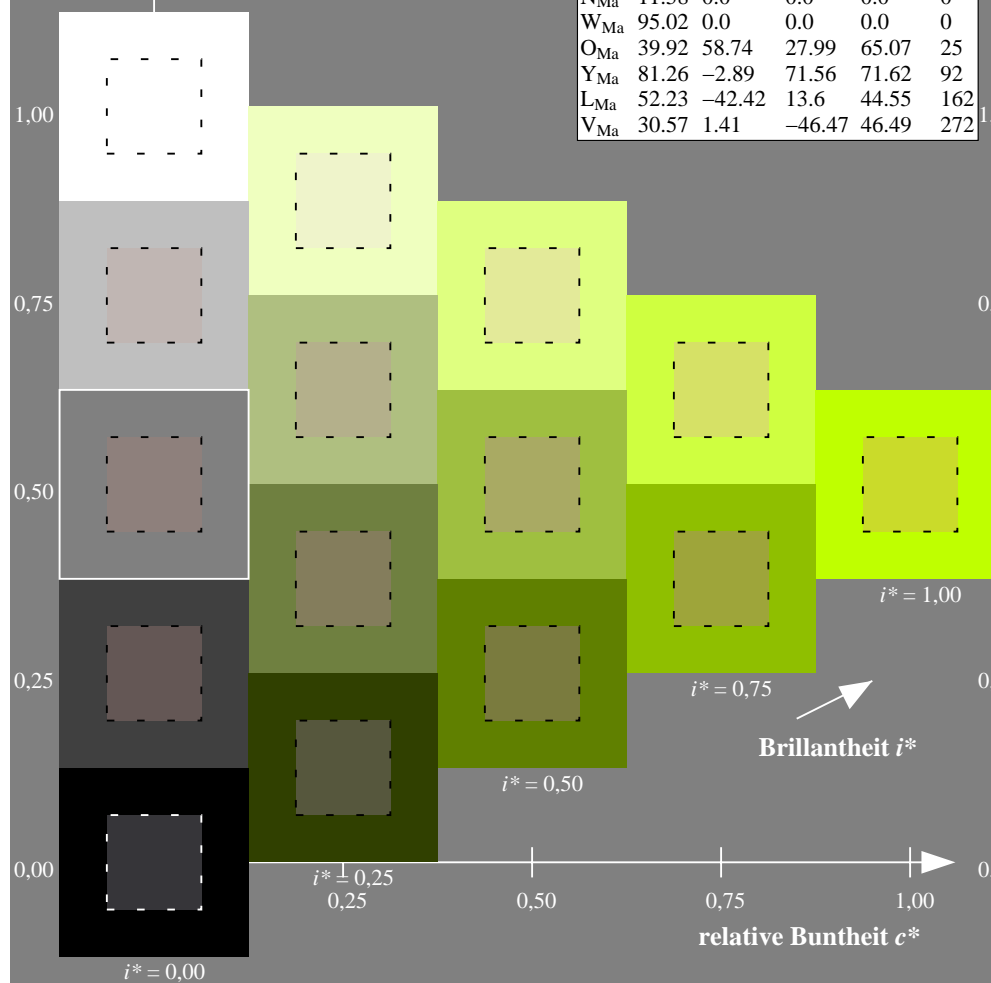


Ein und Ausgabe: Farbmétrisches Drucker-Reflektiv-System FRS12_95a, L*=12_95 für relativen CIELAB-Buntton $h^* = lab^*h^* = h_{ab}/360 = 0.292$ $u^*_d = y25l$			Daten für jede Farbe:			Daten für Maximalfarbe (Ma):		
lab^*ch^* und lab^*icu^*			lab^*tch^* und lab^*tch^*			lab^*tch^* und lab^*tch^*		
Bunttontexte:						$LAB^*LAB^*_{Ma}: 74 \quad -24 \quad 89$		
$u^*_d = y25l \quad u^*_e = j18g$			Kontrastreduzierungsfaktor:			$LAB^*LCH^*_{Ma}: 74 \quad 92 \quad 105$		
$c_R = 1.0$			Dreiecks-Helligkeit t^*			$lab^*olv^*_{Ma}: 0.75 \quad 1.0 \quad 0.0$		
						$lab^*rgb^*_{Ma}: 0.82 \quad 1.0 \quad 0.0$		
						Dreiecks-Helligkeit t^*		

FRS12_95a; adaptierte CIELAB-Daten						
	u^*_d	$L^*=L^*_a$	a^*_a	b^*_a	$C^*_{ab,a}$	$h^*_{ab,a}$
O _{Ma}	38.06	60.0		44.0	74.4	36
Y _{Ma}	86.77	-5.17		109.32	109.44	93
L _{Ma}	47.13	-62.67		48.24	79.09	142
C _{Ma}	55.66	-29.14		-31.99	43.27	228
V _{Ma}	17.15	50.3		-59.04	77.57	310
M _{Ma}	40.37	78.64		-33.5	85.48	337
N _{Ma}	11.58	0.0		0.0	0.0	0
W _{Ma}	95.02	0.0		0.0	0.0	0
O _{Ma}	39.92	58.74		27.99	65.07	25
Y _{Ma}	81.26	-2.89		71.56	71.62	92
L _{Ma}	52.23	-42.42		13.6	44.55	162
V _{Ma}	30.57	1.41		-46.47	46.49	272

***LAB*LAB**_{Ma}: 74 -24 89**
***LAB*LCH**_{Ma}: 74 92 105**
*lab*lv**_{Ma}: 0.75 1.0 0.0
*lab*rgb**_{Ma}: 0.82 1.0 0.0
Dreiecks-Helligkeit *r**

FRS12_95a; adaptierte CIELAB-Daten							
u_d^*	$L^*=L_a^*$	a_a^*	b_a^*	$C_{ab,a}^*$	$h_{ab,a}^*$	u_e^*	
<i>o00y</i>	38.06	60.0	44.0	74.4	36	<i>r16i</i>	
<i>o25y</i>	47.68	47.13	56.9	73.88	50	<i>r37j</i>	
<i>o50y</i>	57.77	33.62	70.44	78.05	64	<i>r58j</i>	
<i>o75y</i>	69.84	17.48	86.62	88.37	79	<i>r79j</i>	
<i>y00l</i>	86.77	-5.17	109.32	109.44	93	<i>j01g</i>	
<i>y25l</i>	73.71	-24.12	89.19	92.39	105	<i>j18g</i>	
<i>y50l</i>	63.76	-38.55	73.86	83.32	118	<i>j36g</i>	
<i>y75l</i>	55.23	-50.92	60.72	79.25	130	<i>j53g</i>	
<i>l00c</i>	47.13	-62.67	48.24	79.09	142	<i>j71g</i>	
<i>l50c</i>	52.64	-41.0	-3.61	41.16	185	<i>g21b</i>	
<i>c00v</i>	55.66	-29.14	-31.99	43.27	228	<i>g60b</i>	
<i>c50v</i>	41.87	-0.69	-41.67	41.68	269	<i>g97b</i>	
<i>v00m</i>	17.15	50.3	-59.04	77.57	310	<i>b34r</i>	
<i>v50m</i>	28.52	63.79	-46.89	79.17	324	<i>b45r</i>	
<i>m00o</i>	40.37	78.64	-33.5	85.48	337	<i>b57r</i>	
<i>m50o</i>	39.13	68.67	7.94	69.13	7	<i>b83r</i>	

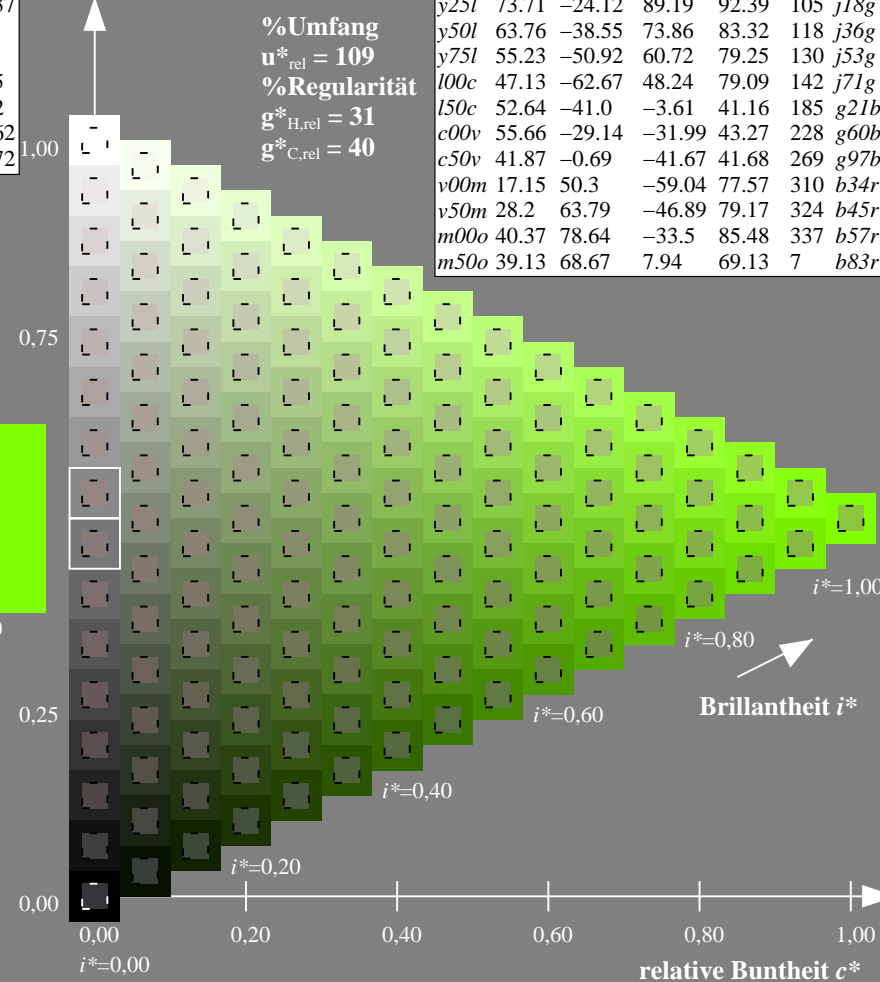
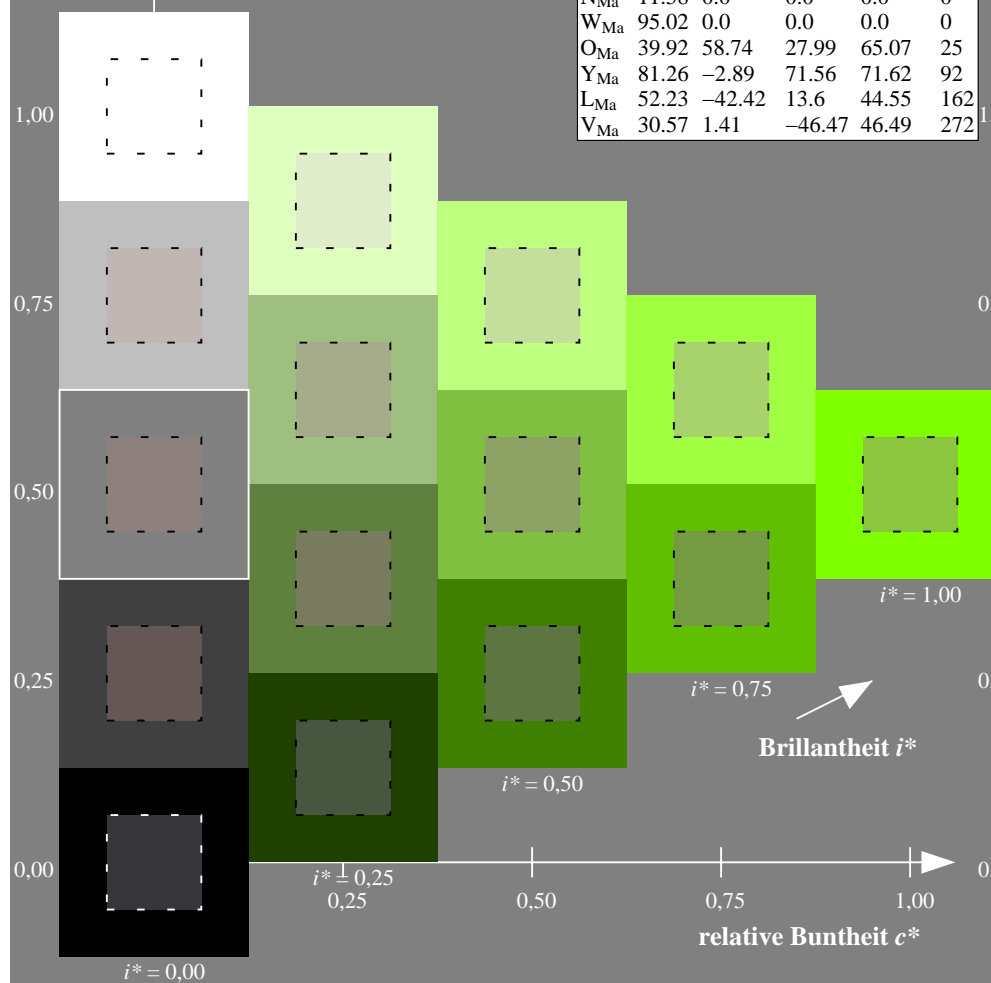


Ein und Ausgabe: Farbmétrisches Drucker-Reflektiv-System FRS12_95a, L*=12_95 für relativen CIELAB-Buntton $h^* = lab^*h^* = h_{ab}/360 = 0.327$ $u^*_d = y50l$			Daten für jede Farbe:			Daten für Maximalfarbe (Ma):		
lab^*tch^* und lab^*icu^*			lab^*tch^* und lab^*icu^*			lab^*tch^* und lab^*icu^*		
Bunttontexte:			Bunttontexte:			Bunttontexte:		
$u^*_d = y50l$ $u^*_e = j36g$			$u^*_d = y50l$ $u^*_e = j36g$			$u^*_d = y50l$ $u^*_e = j36g$		
Kontrastreduzierungsfaktor:			Kontrastreduzierungsfaktor:			Kontrastreduzierungsfaktor:		
$c_R = 1.0$			$c_R = 1.0$			$c_R = 1.0$		
Dreiecks-Helligkeit t^*			Dreiecks-Helligkeit t^*			Dreiecks-Helligkeit t^*		

FRS12_95a; adaptierte CIELAB-Daten						
	u^*_d	$L^*=L^*_a$	a^*_a	b^*_a	$C^*_{ab,a}$	$h^*_{ab,a}$
O _{Ma}	38.06	60.0	44.0	74.4	36	
Y _{Ma}	86.77	-5.17	109.32	109.44	93	
L _{Ma}	47.13	-62.67	48.24	79.09	142	
C _{Ma}	55.66	-29.14	-31.99	43.27	228	
V _{Ma}	17.15	50.3	-59.04	77.57	310	
M _{Ma}	40.37	78.64	-33.5	85.48	337	
N _{Ma}	11.58	0.0	0.0	0.0	0	
W _{Ma}	95.02	0.0	0.0	0.0	0	
O _{Ma}	39.92	58.74	27.99	65.07	25	
Y _{Ma}	81.26	-2.89	71.56	71.62	92	
L _{Ma}	52.23	-42.42	13.6	44.45	162	
V _{Mo}	30.57	1.41	-46.47	46.49	272	

Daten für Maximalfarbe (Ma):
*LAB*LAB**Ma: 64 -39 74
*LAB*LCH**Ma: 64 83 117
*lab*ov**Ma: 0.5 1.0 0.0
*lab*rgb**Ma: 0.64 1.0 0.0
Dreiecks-Helligkeit t^*

FRS12_95a; adaptierte CIELAB-Daten							
u_d^*	$L^*=L_a^*$	a_a^*	b_a^*	$C^*_{ab,a}$	$h^*_{ab,a}$	u_e^*	
<i>o00y</i>	38.06	60.0	44.0	74.4	36	<i>r16i</i>	
<i>o25y</i>	47.68	47.13	56.9	73.88	50	<i>r37j</i>	
<i>o50y</i>	57.77	33.62	70.44	78.05	64	<i>r58j</i>	
<i>o75y</i>	69.84	17.48	86.62	88.37	79	<i>r79j</i>	
<i>y00l</i>	86.77	-5.17	109.32	109.44	93	<i>j01g</i>	
<i>y25l</i>	73.71	-24.12	89.19	92.39	105	<i>j18g</i>	
<i>y50l</i>	63.76	-38.55	73.86	83.32	118	<i>j36g</i>	
<i>y75l</i>	55.23	-50.92	60.72	79.25	130	<i>j53g</i>	
<i>l00c</i>	47.13	-62.67	48.24	79.09	142	<i>j71g</i>	
<i>l50c</i>	52.64	-41.0	-3.61	41.16	185	<i>g21b</i>	
<i>c00v</i>	55.66	-29.14	-31.99	43.27	228	<i>g60b</i>	
<i>c50v</i>	41.87	-0.69	-41.67	41.68	269	<i>g97b</i>	
<i>v00m</i>	17.15	50.3	-59.04	77.57	310	<i>b34r</i>	
<i>v50m</i>	28.2	63.79	-46.89	79.17	324	<i>b45r</i>	
<i>m00o</i>	40.37	78.64	-33.5	85.48	337	<i>b57r</i>	
<i>m50o</i>	39.13	68.67	7.94	69.13	7	<i>b83r</i>	

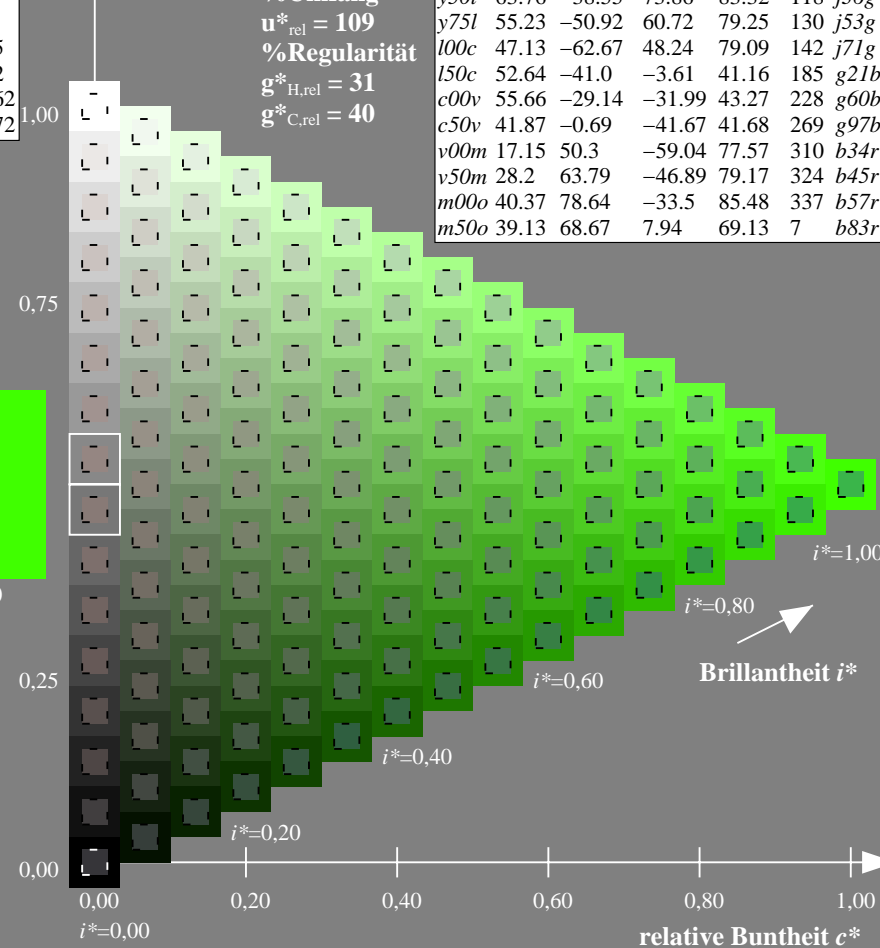
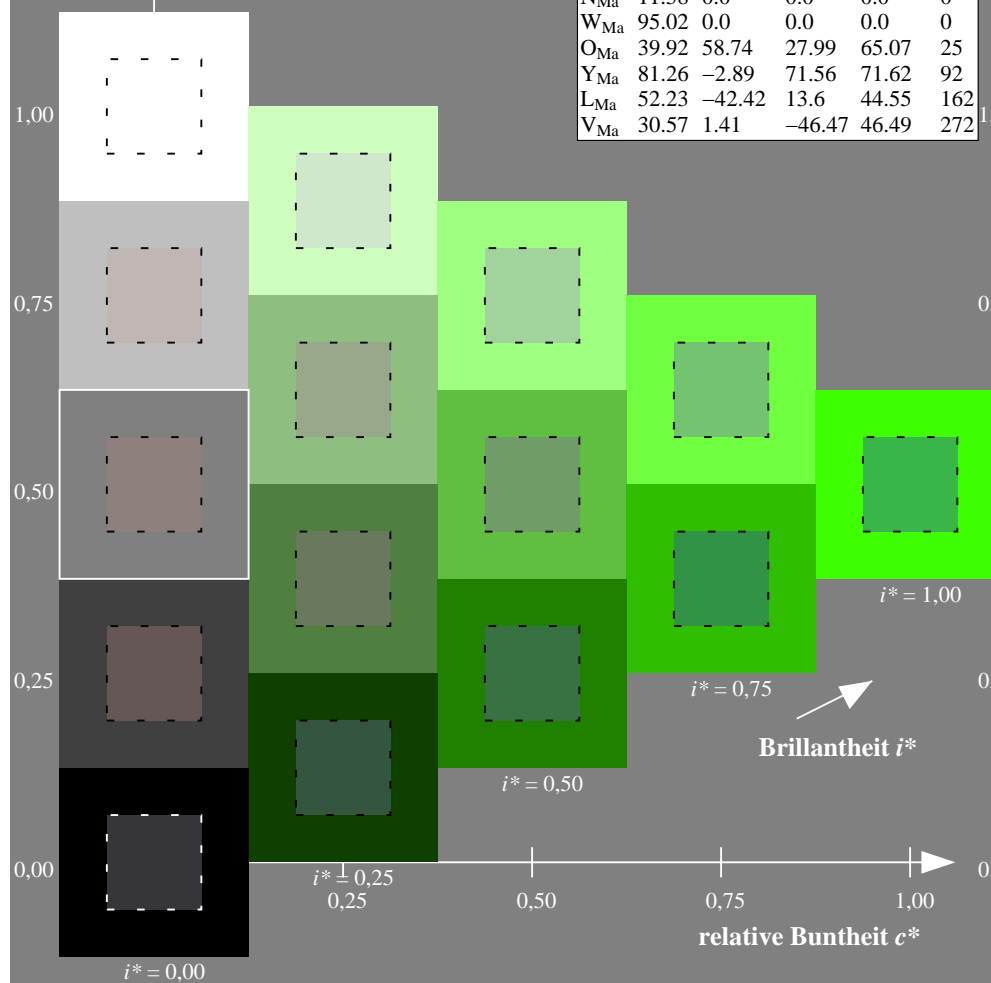


Ein und Ausgabe: Farbmétrisches Drucker-Reflektiv-System FRS12_95a, L*=12_95 für relativen CIELAB-Buntton $h^* = lab^*h^* = h_{ab}/360 = 0.361$ $u^*_d = y75l$			Daten für jede Farbe:			Daten für Maximalfarbe (Ma):		
lab^*tch^* und lab^*icu^*			lab^*tch^* und lab^*icu^*			lab^*tch^* und lab^*icu^*		
Bunttontexte:			Bunttontexte:			Bunttontexte:		
$u^*_d = y75l$ $u^*_e = j53g$			$u^*_d = y75l$ $u^*_e = j53g$			$u^*_d = y75l$ $u^*_e = j53g$		
Kontrastreduzierungsfaktor:			Kontrastreduzierungsfaktor:			Kontrastreduzierungsfaktor:		
$c_R = 1.0$			$c_R = 1.0$			$c_R = 1.0$		
Dreiecks-Helligkeit t^*			Dreiecks-Helligkeit t^*			Dreiecks-Helligkeit t^*		

FRS12_95a; adaptierte CIELAB-Daten						
	u^*_d	$L^*=L^*_a$	a^*_a	b^*_a	$C^*_{ab,a}$	$h^*_{ab,a}$
O _{Ma}	38.06	60.0		44.0	74.4	36
Y _{Ma}	86.77	-5.17		109.32	109.44	93
L _{Ma}	47.13	-62.67		48.24	79.09	142
C _{Ma}	55.66	-29.14		-31.99	43.27	228
V _{Ma}	17.15	50.3		-59.04	77.57	310
M _{Ma}	40.37	78.64		-33.5	85.48	337
N _{Ma}	11.58	0.0		0.0	0.0	0
W _{Ma}	95.02	0.0		0.0	0.0	0
O _{Ma}	39.92	58.74		27.99	65.07	25
Y _{Ma}	81.26	-2.89		71.56	71.62	92
L _{Ma}	52.23	-42.42		13.6	44.55	162
V _{Ma}	30.57	1.41		-46.47	46.49	272

Daten für Maximalfarbe (Ma):
*LAB*LAB**_{Ma}: 55 51 61
*LAB*LCH**_{Ma}: 55 79 129
*lab*ov**_{Ma}: 0.25 1.0 0.0
*lab*rgb**_{Ma}: 0.46 1.0 0.0
 Dreiecks-Helligkeit *t**

FRS12_95a; adaptierte CIELAB-Daten							
u_d^*	$L^*=L_a^*$	a_a^*	b_a^*	$C^*_{ab,a}$	$h^*_{ab,a}$	u_e^*	
<i>o00y</i>	38.06	60.0	44.0	74.4	36	<i>r16i</i>	
<i>o25y</i>	47.68	47.13	56.9	73.88	50	<i>r37j</i>	
<i>o50y</i>	57.77	33.62	70.44	78.05	64	<i>r58j</i>	
<i>o75y</i>	69.84	17.48	86.62	88.37	79	<i>r79j</i>	
<i>y00l</i>	86.77	-5.17	109.32	109.44	93	<i>j01g</i>	
<i>y25l</i>	73.71	-24.12	89.19	92.39	105	<i>j18g</i>	
<i>y50l</i>	63.76	-38.55	73.86	83.32	118	<i>j36g</i>	
<i>y75l</i>	55.23	-50.92	60.72	79.25	130	<i>j53g</i>	
<i>l00c</i>	47.13	-62.67	48.24	79.09	142	<i>j71g</i>	
<i>l50c</i>	52.64	-41.0	-3.61	41.16	185	<i>g21b</i>	
<i>c00v</i>	55.66	-29.14	-31.99	43.27	228	<i>g60b</i>	
<i>c50v</i>	41.87	-0.69	-41.67	41.68	269	<i>g97b</i>	
<i>v00m</i>	17.15	50.3	-59.04	77.57	310	<i>b34r</i>	
<i>v50m</i>	28.52	63.79	-46.89	79.17	324	<i>b45r</i>	
<i>m00o</i>	40.37	78.64	-33.5	85.48	337	<i>b57r</i>	
<i>m50o</i>	39.13	68.67	7.94	69.13	7	<i>b83r</i>	



Ein und Ausgabe: Farbmetrisches Drucker-Reflektiv-System FRS12_95a, L*=12_95 für relativen CIELAB-Buntton $h^* = lab^*h^* = h_{ab}/360 = 0.396$ $u^*_d = 100c$			Daten für jede Farbe:			Daten für Maximalfarbe (Ma):		
lab^*tch^* und lab^*icu^*			lab^*tch^* und lab^*icu^*			lab^*tch^* und lab^*icu^*		
Bunttontexte:			Bunttontexte:			Bunttontexte:		
$u^*_d = 100c$ $u^*_e = j71g$			$u^*_d = 100c$ $u^*_e = j71g$			$u^*_d = 100c$ $u^*_e = j71g$		
Kontrastreduzierungsfaktor:			Kontrastreduzierungsfaktor:			Kontrastreduzierungsfaktor:		
$c_R = 1.0$			$c_R = 1.0$			$c_R = 1.0$		
Dreiecks-Helligkeit t^*			Dreiecks-Helligkeit t^*			Dreiecks-Helligkeit t^*		

FRS12_95a; adaptierte CIELAB-Daten						
	u^*_d	$L^*=L^*_a$	a^*_a	b^*_a	$C^*_{ab,a}$	$h^*_{ab,a}$
O _{Ma}	38.06	60.0		44.0	74.4	36
Y _{Ma}	86.77	-5.17		109.32	109.44	93
L _{Ma}	47.13	-62.67		48.24	79.09	142
C _{Ma}	55.66	-29.14		-31.99	43.27	228
V _{Ma}	17.15	50.3		-59.04	77.57	310
M _{Ma}	40.37	78.64		-33.5	85.48	337
N _{Ma}	11.58	0.0		0.0	0.0	0
W _{Ma}	95.02	0.0		0.0	0.0	0
O _{Ma}	39.92	58.74		27.99	65.07	25
Y _{Ma}	81.26	-2.89		71.56	71.62	92
L _{Ma}	52.23	-42.42		13.6	44.55	162
V _{Ma}	30.57	1.41		-46.47	46.49	272

LAB*LAB*Ma: 47 -63 48

*lab*oly**M_a: 0.0 1.0 0.0

*lab*rgb**_{M2}: 0.28 1.0 0.0

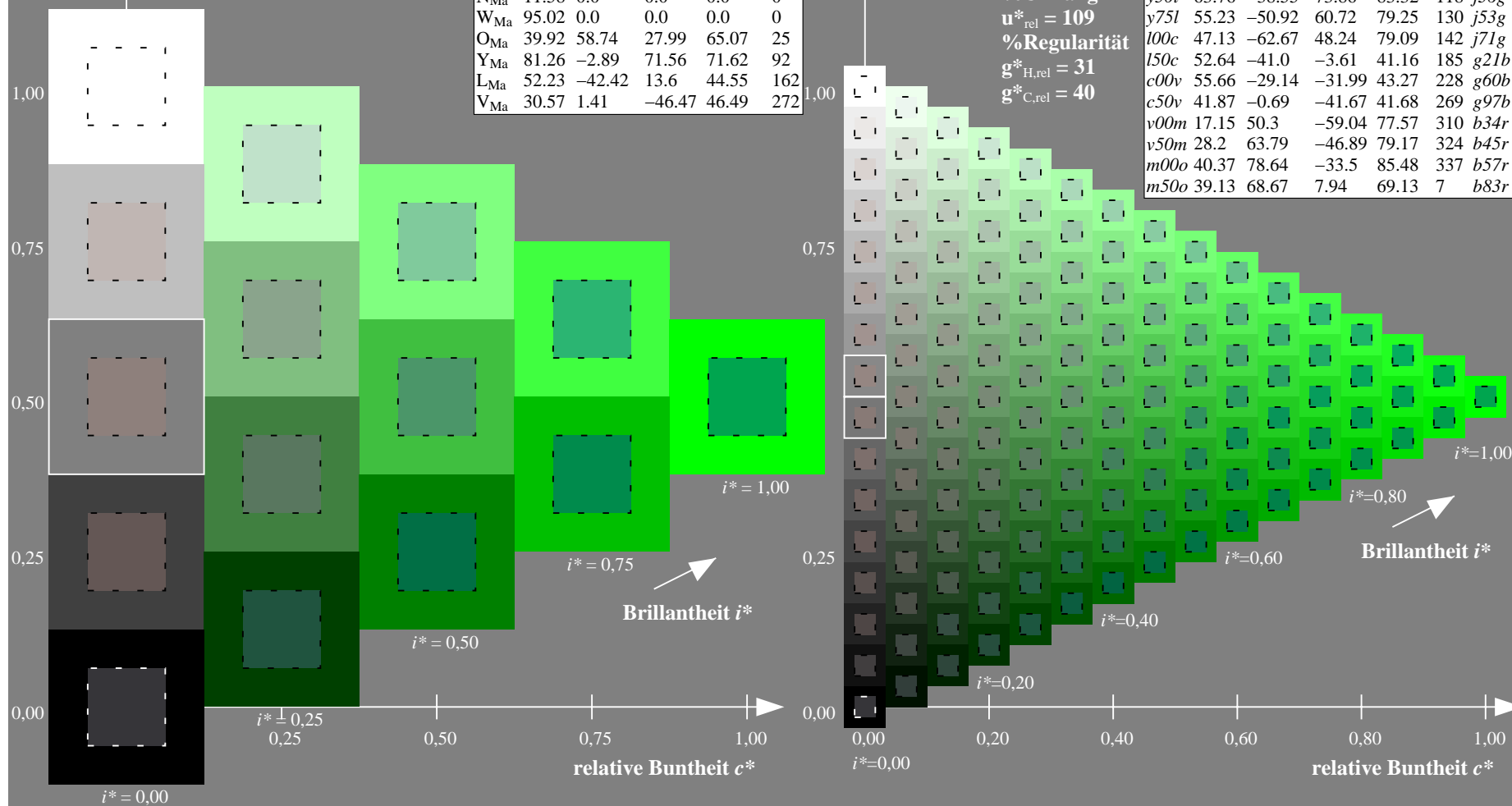
Dreiecks-Helligkeit t^*

0/ Ultra
$$\Pi^*_{\alpha} =$$

	%Reg
1	0.00
2	0.00
3	0.00
4	0.00
5	0.00
6	0.00
7	0.00
8	0.00
9	0.00
10	0.00
11	0.00
12	0.00
13	0.00
14	0.00
15	0.00
16	0.00
17	0.00
18	0.00
19	0.00
20	0.00
21	0.00
22	0.00
23	0.00
24	0.00
25	0.00
26	0.00
27	0.00
28	0.00
29	0.00
30	0.00
31	0.00
32	0.00
33	0.00
34	0.00
35	0.00
36	0.00
37	0.00
38	0.00
39	0.00
40	0.00
41	0.00
42	0.00
43	0.00
44	0.00
45	0.00
46	0.00
47	0.00
48	0.00
49	0.00
50	0.00
51	0.00
52	0.00
53	0.00
54	0.00
55	0.00
56	0.00
57	0.00
58	0.00
59	0.00
60	0.00
61	0.00
62	0.00
63	0.00
64	0.00
65	0.00
66	0.00
67	0.00
68	0.00
69	0.00
70	0.00
71	0.00
72	0.00
73	0.00
74	0.00
75	0.00
76	0.00
77	0.00
78	0.00
79	0.00
80	0.00
81	0.00
82	0.00
83	0.00
84	0.00
85	0.00
86	0.00
87	0.00
88	0.00
89	0.00
90	0.00
91	0.00
92	0.00
93	0.00
94	0.00
95	0.00
96	0.00
97	0.00
98	0.00
99	0.00
100	0.00

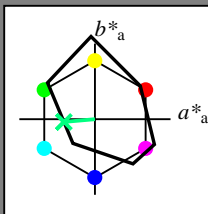
$$\mathbf{g}_{\text{H,rel}}^*$$
$$g_{C,rel}^* =$$

u_d^*	$L^*=L_a^*$	a_a^*	b_a^*	$C_{ab,a}^*$	$h_{ab,a}^*$	u_e^*
<i>o00y</i>	38.06	60.0	44.0	74.4	36	<i>r16j</i>
<i>o25y</i>	47.68	47.13	56.9	73.88	50	<i>r37j</i>
<i>o50y</i>	57.77	33.62	70.44	78.05	64	<i>r58j</i>
<i>o75y</i>	69.84	17.48	86.62	88.37	79	<i>r79j</i>
<i>y00l</i>	86.77	-5.17	109.32	109.44	93	<i>j01g</i>
<i>y25l</i>	73.71	-24.12	89.19	92.39	105	<i>j18g</i>
<i>y50l</i>	63.76	-38.55	73.86	83.32	118	<i>j36g</i>
<i>y75l</i>	55.23	-50.92	60.72	79.25	130	<i>j53g</i>
<i>l00c</i>	47.13	-62.67	48.24	79.09	142	<i>j71g</i>
<i>l50c</i>	52.64	-41.0	-3.61	41.16	185	<i>g21b</i>
<i>c00v</i>	55.66	-29.14	-31.99	43.27	228	<i>g60b</i>
<i>c50v</i>	41.87	-0.69	-41.67	41.68	269	<i>g97b</i>
<i>v00m</i>	17.15	50.3	-59.04	77.57	310	<i>b34r</i>
<i>v50m</i>	28.2	63.79	-46.89	79.17	324	<i>b45r</i>
<i>m00o</i>	40.37	78.64	-33.5	85.48	337	<i>b57r</i>
<i>m50o</i>	39.13	68.67	7.94	69.13	7	<i>b83r</i>



Ein und Ausgabe: Farbmetrisches Drucker-Reflektiv-System FRS12_95a, L*=12_95 für relativen CIELAB-Buntton $h^* = lab^*h^* = h_{ab}/360 = 0.514$ $u^*_d = l50c$
Daten für jede Farbe:
 lab^*tch^* und lab^*icu^*

Bunttontexte:
 $u^*_d = l50c$ $u^*_e = g21b$
Kontrastreduzierungsfaktor:
 $c_R = 1.0$
Dreiecks-Helligkeit t^*



FRS12_95a; adaptierte CIELAB-Daten						
u^*_d	$L^*=L^*_a$	a^*_a	b^*_a	$C^*_{ab,a}$	$h^*_{ab,a}$	
O _{Ma}	38.06	60.0	44.0	74.4	36	
Y _{Ma}	86.77	-5.17	109.32	109.44	93	
L _{Ma}	47.13	-62.67	48.24	79.09	142	
C _{Ma}	55.66	-29.14	-31.99	43.27	228	
V _{Ma}	17.15	50.3	-59.04	77.57	310	
M _{Ma}	40.37	78.64	-33.5	85.48	337	
N _{Ma}	11.58	0.0	0.0	0.0	0	
W _{Ma}	95.02	0.0	0.0	0.0	0	
O _{Ma}	39.92	58.74	27.99	65.07	25	
Y _{Ma}	81.26	-2.89	71.56	71.62	92	
L _{Ma}	52.23	-42.42	13.6	44.55	162	
V _{Ma}	30.57	1.41	-46.47	46.49	272	

Daten für Maximalfarbe (Ma):

$LAB^*LAB^*_{Ma}$: 53 -41 -4

$LAB^*LCH^*_{Ma}$: 53 41 185

$lab^*olv^*_{Ma}$: 0.0 1.0 0.5

$lab^*rgb^*_{Ma}$: 0.0 1.0 0.42

Dreiecks-Helligkeit t^*

%Umfang

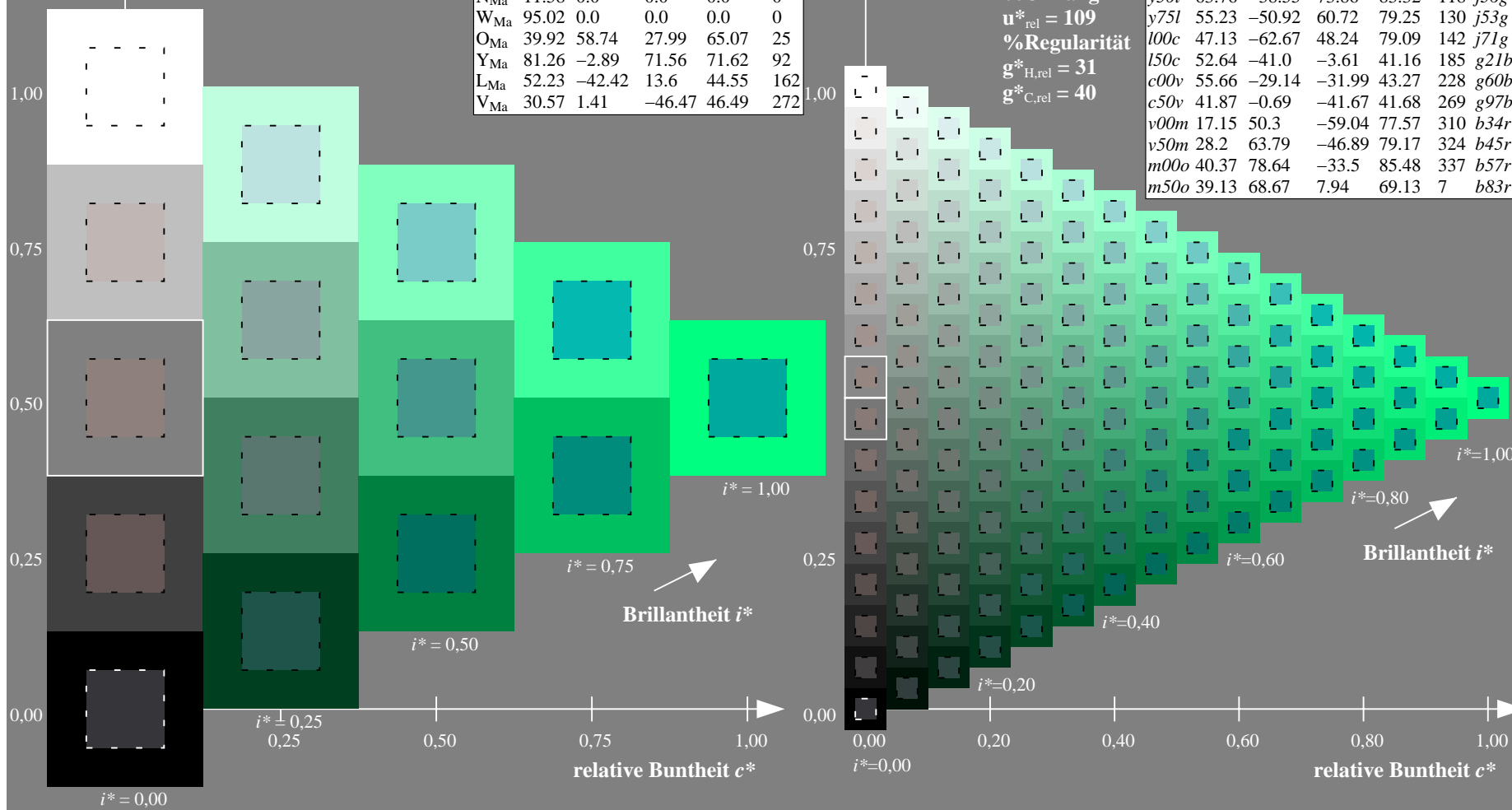
$u^*_{rel} = 109$

%Regularität

$g^*_{H,rel} = 31$

$g^*_{C,rel} = 40$

FRS12_95a; adaptierte CIELAB-Daten									
u^*_d	$L^*=L^*_a$	a^*_a	b^*_a	$C^*_{ab,a}$	$h^*_{ab,a}$	u^*_e			
<i>o00y</i>	38.06	60.0	44.0	74.4	36	<i>r16j</i>			
<i>o25y</i>	47.68	47.13	56.9	73.88	50	<i>r37j</i>			
<i>o50y</i>	57.77	33.62	70.44	78.05	64	<i>r58j</i>			
<i>o75y</i>	69.84	17.48	86.62	88.37	79	<i>r79j</i>			
<i>y00l</i>	86.77	-5.17	109.32	109.44	93	<i>j01g</i>			
<i>y25l</i>	73.71	-24.12	89.19	92.39	105	<i>j18g</i>			
<i>y50l</i>	63.76	-38.55	73.86	83.32	118	<i>j36g</i>			
<i>y75l</i>	55.23	-50.92	60.72	79.25	130	<i>j53g</i>			
<i>l00c</i>	47.13	-62.67	48.24	79.09	142	<i>j71g</i>			
<i>l50c</i>	52.64	-41.0	-3.61	41.16	185	<i>g21b</i>			
<i>c00v</i>	55.66	-29.14	-31.99	43.27	228	<i>g60b</i>			
<i>c50v</i>	41.87	-0.69	-41.67	41.68	269	<i>g97b</i>			
<i>v00m</i>	17.15	50.3	-59.04	77.57	310	<i>b34r</i>			
<i>v50m</i>	28.2	63.79	-46.89	79.17	324	<i>b45r</i>			
<i>m00o</i>	40.37	78.64	-33.5	85.48	337	<i>b57r</i>			
<i>m50o</i>	39.13	68.67	7.94	69.13	7	<i>b83r</i>			



Ein und Ausgabe: Farbmétrisches Drucker-Reflektiv-System FRS12_95a, $L^*=12.95$ für relativen CIELAB-Buntton $h^* = lab^*h^* = h_{ab}/360 = 0.632$ $u^*_d = c00v$

Daten für jede Farbe:

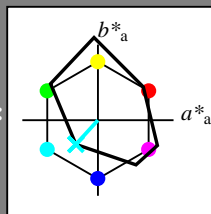
*lab*tch** und *lab*icu**

Bunttontexte:
 $u^*_d = c00v$ $u^*_e = g60b$

Kontrastreduzierungsfaktor:

$$c_{\mathbf{R}} = 1.0$$

Dreiecks-Helligkeit t^*



FRS12_95a; adaptierte CIELAB-Daten						
u^*_d	$L^*=L^*_a$	a^*_a	b^*_a	$C^*_{ab,a}$	$h^*_{ab,a}$	
O _{Ma}	38.06	60.0	44.0	74.4	36	
Y _{Ma}	86.77	-5.17	109.32	109.44	93	
L _{Ma}	47.13	-62.67	48.24	79.09	142	
C _{Ma}	55.66	-29.14	-31.99	43.27	228	
V _{Ma}	17.15	50.3	-59.04	77.57	310	
M _{Ma}	40.37	78.64	-33.5	85.48	337	
N _{Ma}	11.58	0.0	0.0	0.0	0	
W _{Ma}	95.02	0.0	0.0	0.0	0	
O _{Ma}	39.92	58.74	27.99	65.07	25	
Y _{Ma}	81.26	-2.89	71.56	71.62	92	
L _{Ma}	52.23	-42.42	13.6	44.55	162	
V _{Ma}	30.57	1.41	-46.47	46.49	272	

Daten für Maximalfarbe (Ma):

***LAB*LAB**M_a: 56 -29 -32**

LAB*LCH*Ma: 56 43 227

*lab*oly**Ma: 0.0 1.0 1.0

*lab*ol**_{Ma}: 0.0 1.0 1.0
*lab*rg**_{Ma}: 0.0 0.8 1.0

*lab*rgb*_Ma: 0.0 0.8 1.0*

Dreiecks-Helligkeit t^*

100

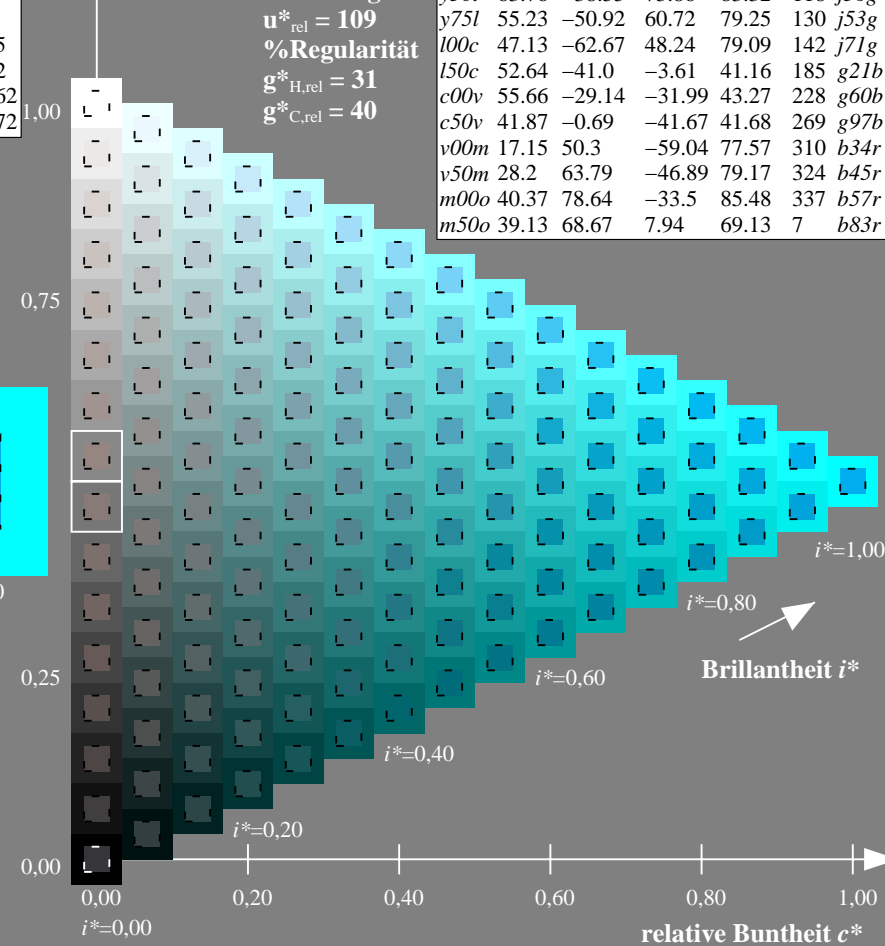
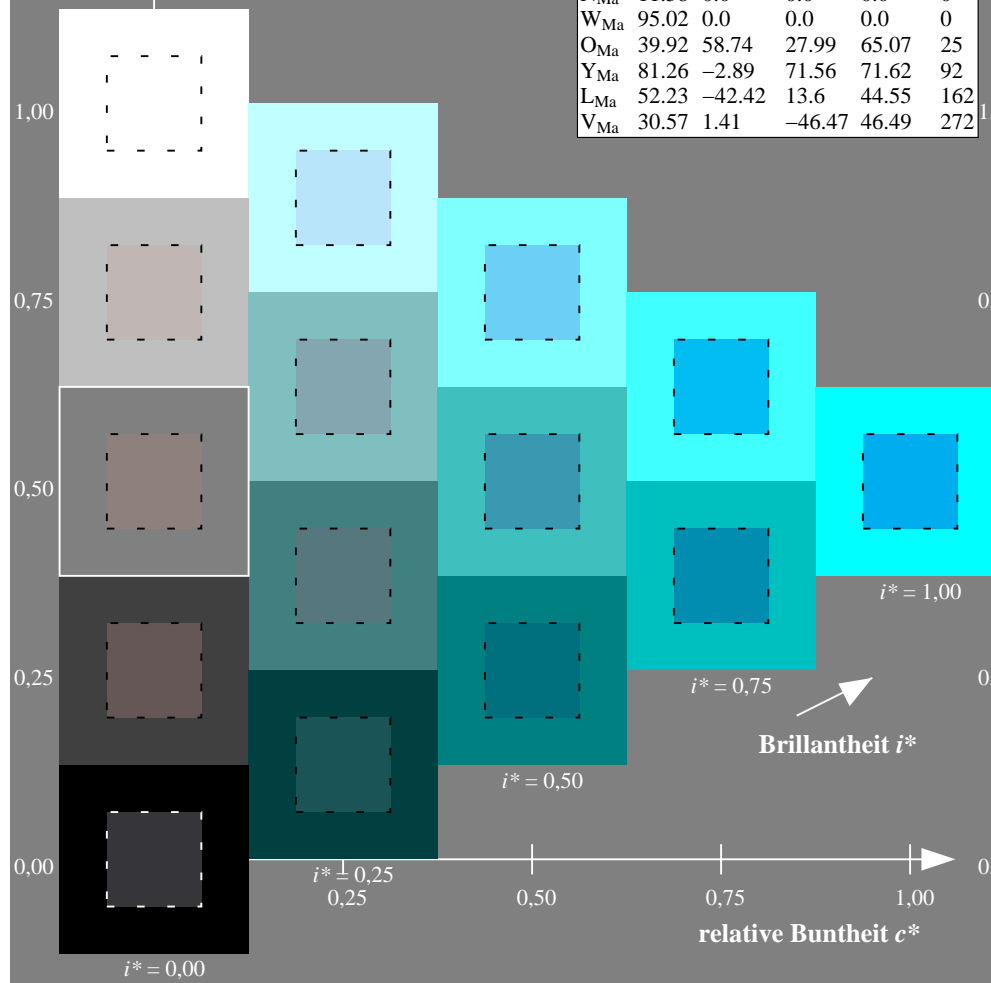
%Umfang

$$\mathbf{u}_{\text{rel}}^* = 109$$

%Regular:

$$g^*_{H,rel} = 31$$
$$g^*_{C,rel} = 40$$

FRS12_95a; adaptierte CIELAB-Daten							
u^*_d	$L^*=L^*_a$	a^*_a	b^*_a	$C^*_{ab,a}$	$h^*_{ab,a}$	u^*_e	
<i>o00y</i>	38.06	60.0	44.0	74.4	36	<i>r16j</i>	
<i>o25y</i>	47.68	47.13	56.9	73.88	50	<i>r37j</i>	
<i>o50y</i>	57.77	33.62	70.44	78.05	64	<i>r58j</i>	
<i>o75y</i>	69.84	17.48	86.62	88.37	79	<i>r79j</i>	
<i>y00l</i>	86.77	-5.17	109.32	109.44	93	<i>j01g</i>	
<i>y25l</i>	73.71	-24.12	89.19	92.39	105	<i>j18g</i>	
<i>y50l</i>	63.76	-38.55	73.86	83.32	118	<i>j36g</i>	
<i>y75l</i>	55.23	-50.92	60.72	79.25	130	<i>j53g</i>	
<i>l00c</i>	47.13	-62.67	48.24	79.09	142	<i>j71g</i>	
<i>l50c</i>	52.64	-41.0	-3.61	41.16	185	<i>g21b</i>	
<i>c00v</i>	55.66	-29.14	-31.99	43.27	228	<i>g60b</i>	
<i>c50v</i>	41.87	-0.69	-41.67	41.68	269	<i>g97b</i>	
<i>v00m</i>	17.15	50.3	-59.04	77.57	310	<i>b34r</i>	
<i>v50m</i>	28.2	63.79	-46.89	79.17	324	<i>b45r</i>	
<i>m00o</i>	40.37	78.64	-33.5	85.48	337	<i>b57r</i>	
<i>m50o</i>	39.13	68.67	7.94	69.13	7	<i>b83r</i>	



BAM-Prüfvorlage Fg62; Relatives Geräte-Farbsystem
D65: Farbreihen, Datentabellen für 16 Bunttöne 000y

Eingabe: 000n / w / nnn0 / www set...
Ausgabe: keine Eingabeänderung

BAM-Registrierung: 20081001-Fg62/10L/L62g00FP.PDF/.PS BAM-Material: Code=rha4ta
+ Anwendung für Beurteilung und Messung von Drucker- oder Monitorsystemen

Ein und Ausgabe: Farbmétrisches Drucker-Reflektiv-System FRS12_95a, $L^*=12_95$ für relativen CIELAB-Buntton $h^* = lab^*h^* = h_{ab}/360 = 0.747$ $u^*_d = c50v$

Daten für jede Farbe:

*lab*tch** und *lab*icu**

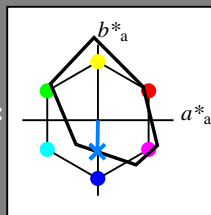
Bunttexte:

$$u^*_d = c50v \quad u^*_e = g97b$$

Kontrastreduzierungsfaktor:

 $c_R = 1.0$

Dreiecks-Helligkeit t^*



FRS12_95a; adaptierte CIELAB-Daten						
u^*_d	$L^*=L^*_a$	a^*_a	b^*_a	$C^*_{ab,a}$	$h^*_{ab,a}$	
O _{Ma}	38.06	60.0	44.0	74.4	36	
Y _{Ma}	86.77	-5.17	109.32	109.44	93	
L _{Ma}	47.13	-62.67	48.24	79.09	142	
C _{Ma}	55.66	-29.14	-31.99	43.27	228	
V _{Ma}	17.15	50.3	-59.04	77.57	310	
M _{Ma}	40.37	78.64	-33.5	85.48	337	
N _{Ma}	11.58	0.0	0.0	0.0	0	
W _{Ma}	95.02	0.0	0.0	0.0	0	
O _{Ma}	39.92	58.74	27.99	65.07	25	
Y _{Ma}	81.26	-2.89	71.56	71.62	92	
L _{Ma}	52.23	-42.42	13.6	44.55	162	
V _{Ma}	30.57	1.41	-46.47	46.49	272	

Daten für Maximalfarbe (Ma):

LAB*LAB*Ma: 42 -1 -42

*LAB*LCH**M₃: 42 42 269

*lab*elv**_{Ma}: 0.0 0.5 1.0

*lab*olv**Ma: 0.0 0.5 1.0

*lab*rgb**_{Ma}: 0.0 0.05 1.0

Dreiecks-Helligkeit t^*

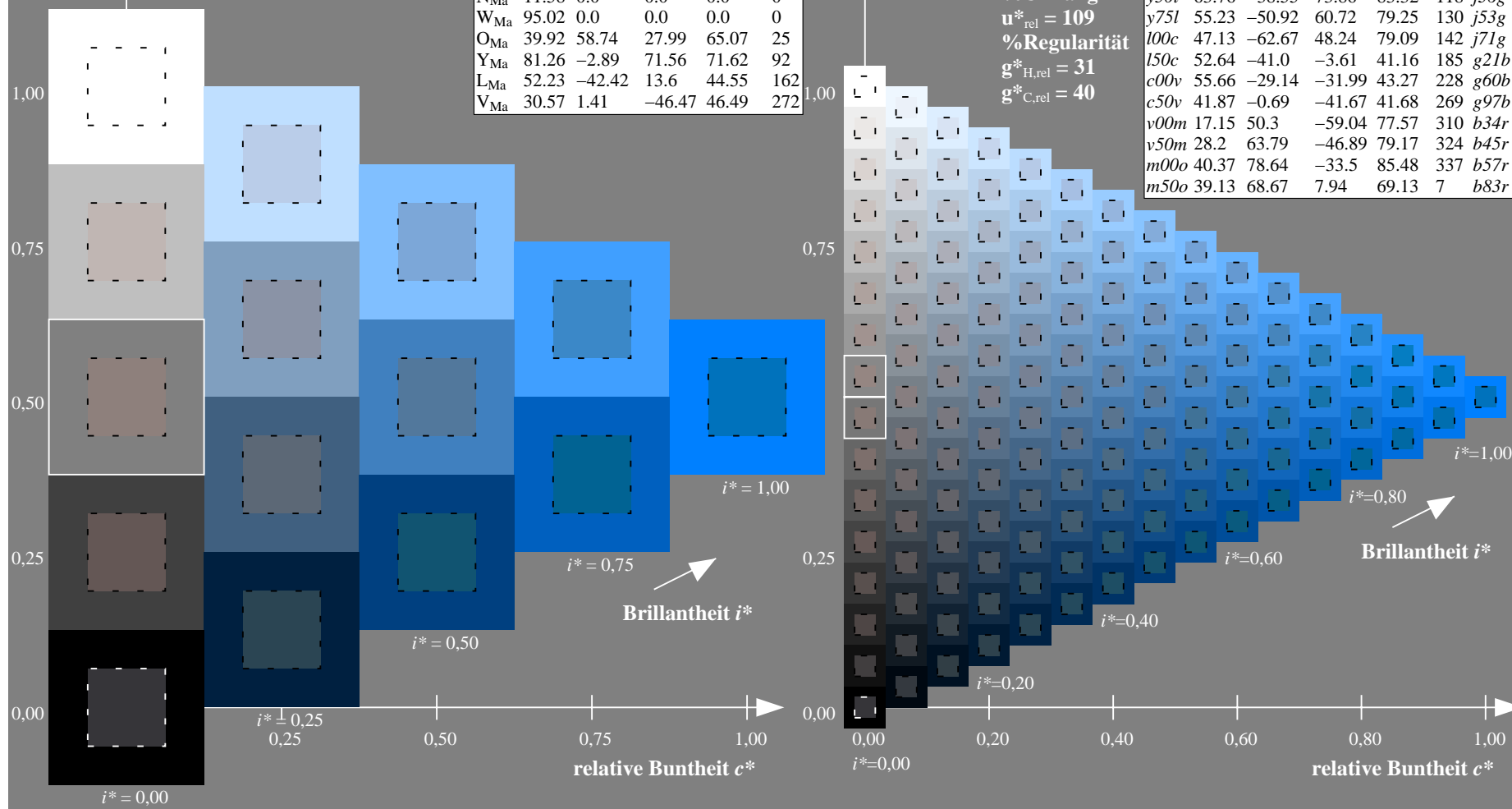
%Umfang

$$\mathbf{u}_{\text{rel}}^* = 109$$

%Regularität

$$g^*_{H,rel} = 31$$
$$g^*_{C,rel} = 40$$

FRS12_95a; adaptierte CIELAB-Daten							
u_d^*	$L^*=L_a^*$	a_a^*	b_a^*	$C^*_{ab,a}$	$h^*_{ab,a}$	u_e^*	
<i>o00y</i>	38.06	60.0	44.0	74.4	36	<i>r16j</i>	
<i>o25y</i>	47.68	47.13	56.9	73.88	50	<i>r37j</i>	
<i>o50y</i>	57.77	33.62	70.44	78.05	64	<i>r58j</i>	
<i>o75y</i>	69.84	17.48	86.62	88.37	79	<i>r79j</i>	
<i>y00l</i>	86.77	-5.17	109.32	109.44	93	<i>j01g</i>	
<i>y25l</i>	73.71	-24.12	89.19	92.39	105	<i>j18g</i>	
<i>y50l</i>	63.76	-38.55	73.86	83.32	118	<i>j36g</i>	
<i>y75l</i>	55.23	-50.92	60.72	79.25	130	<i>j53g</i>	
<i>l00c</i>	47.13	-62.67	48.24	79.09	142	<i>j71g</i>	
<i>l50c</i>	52.64	-41.0	-3.61	41.16	185	<i>g21b</i>	
<i>c00v</i>	55.66	-29.14	-31.99	43.27	228	<i>g60b</i>	
<i>c50v</i>	41.87	-0.69	-41.67	41.68	269	<i>g97b</i>	
<i>v00m</i>	17.15	50.3	-59.04	77.57	310	<i>b34r</i>	
<i>v50m</i>	28.2	63.79	-46.89	79.17	324	<i>b45r</i>	
<i>m00o</i>	40.37	78.64	-33.5	85.48	337	<i>b57r</i>	
<i>m50o</i>	39.13	68.67	7.94	69.13	7	<i>b83r</i>	

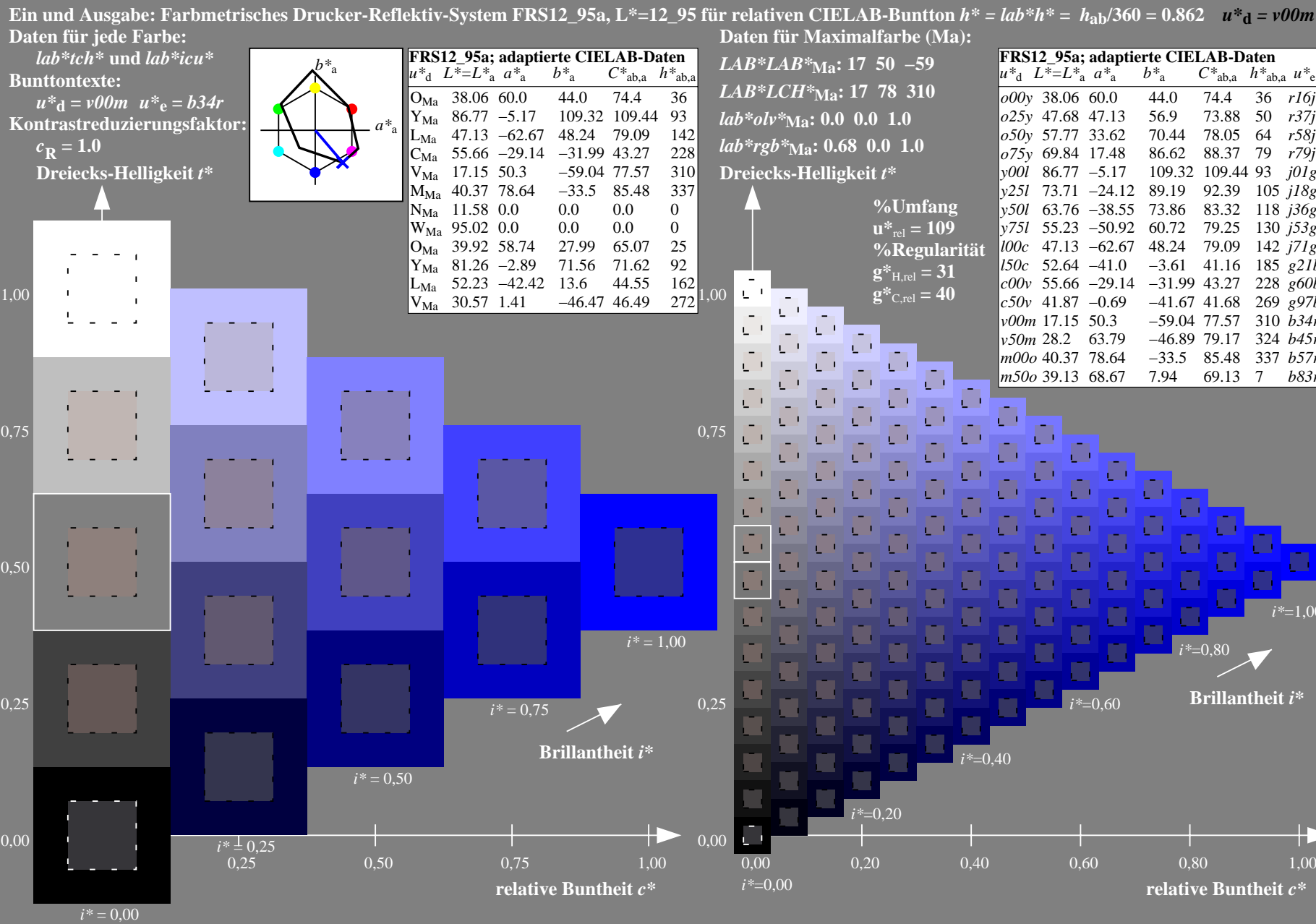


BAM-Prüfvorlage Fg62; Relatives Geräte-Farbsystem

D65: Farbreihen, Datentabellen für 16 Bunttöne $o00y$ l

Eingabe: $000n / w / nnn0 / www \text{ set} \dots$

oAusgabe: keine Eingabeänderung



Ein und Ausgabe: Farbmétrisches Drucker-Reflektiv-System FRS12_95a, $L^*=12_95$ für relativen CIELAB-Buntton $h^* = lab^*h^* = h_{ab}/360 = 0.899$ $u^*_d = v50m$

Daten für jede Farbe:

*lab*tch** und *lab*icu**

Bunttexte:

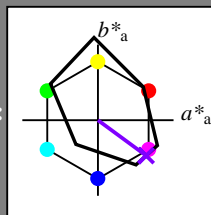
$$u^*_d = v50m \quad u^*_e = b45r$$

Kontrastreduzierungsfaktor:

 $c_R = 1.0$

Dreiecks-Helligkeit t^*

► **Dr. Williams' Pink Pills**



FRS12_95a; adaptierte CIELAB-Daten						
u^*_d	$L^*=L^*_a$	a^*_a	b^*_a	$C^*_{ab,a}$	$h^*_{ab,a}$	
O _{Ma}	38.06	60.0	44.0	74.4	36	
Y _{Ma}	86.77	-5.17	109.32	109.44	93	
L _{Ma}	47.13	-62.67	48.24	79.09	142	
C _{Ma}	55.66	-29.14	-31.99	43.27	228	
V _{Ma}	17.15	50.3	-59.04	77.57	310	
M _{Ma}	40.37	78.64	-33.5	85.48	337	
N _{Ma}	11.58	0.0	0.0	0.0	0	
W _{Ma}	95.02	0.0	0.0	0.0	0	
O _{Ma}	39.92	58.74	27.99	65.07	25	
Y _{Ma}	81.26	-2.89	71.56	71.62	92	
L _{Ma}	52.23	-42.42	13.6	44.55	162	
V _{Ma}	30.57	1.41	-46.47	46.49	272	

Daten für Maximalfarbe (Ma):

LAB*LAB*_{Ma}: 28 64 -47

LAB*LCH*Ma: 28 79 323

*lab*elv**_{Ma}: 0.5 0.0 1.0

*lab*olv**Ma: 0.5 0.0 1.0

*lab*rgb*_{Ma}: 0.91 0.0 1.0

Dreiecks-Helligkeit t^*

Erkens Hengstenberg:

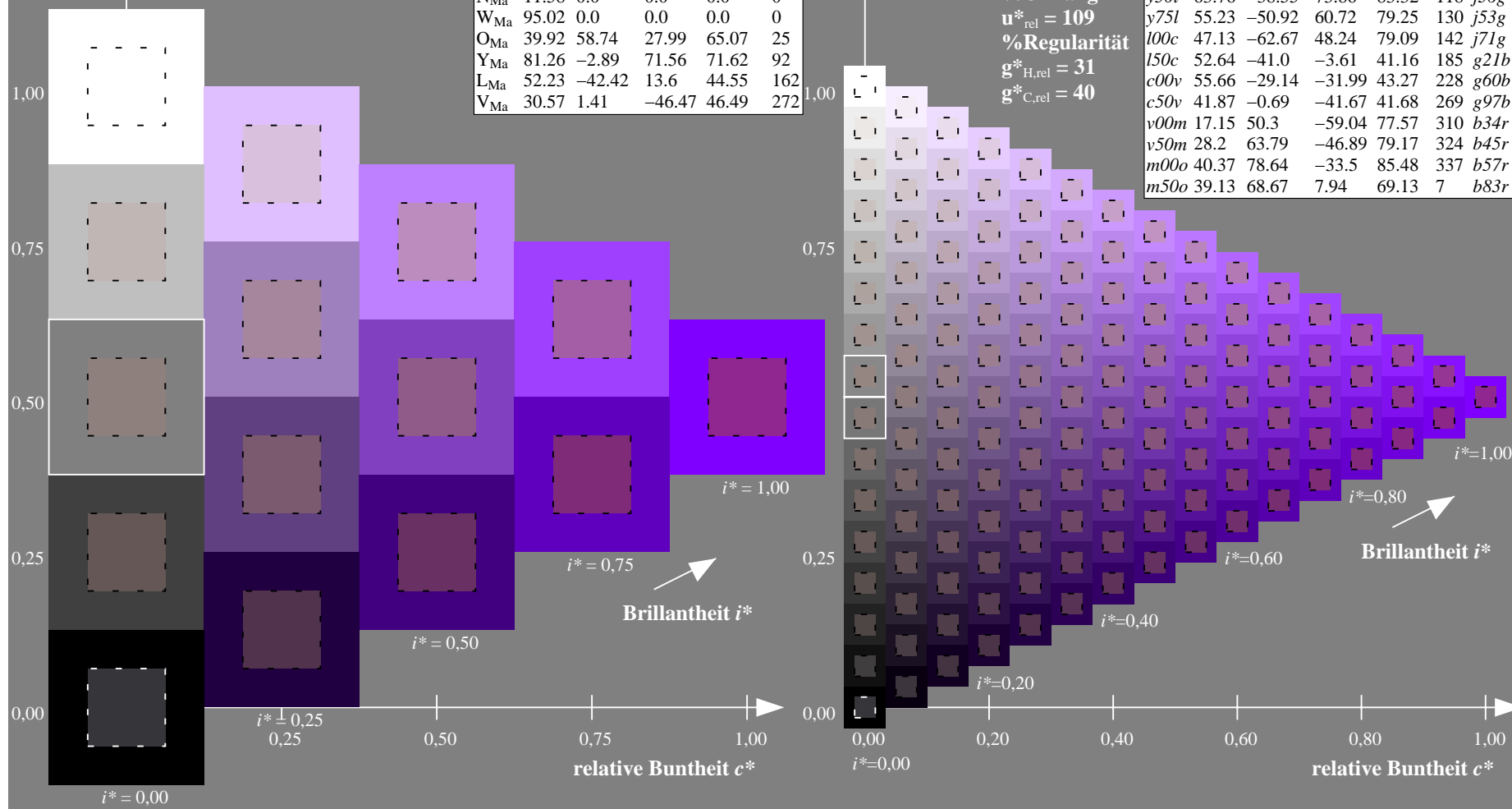
%Umfang

$$u_{\text{rel}}^* = 109$$

%Regular:

$$g^*_{H,rel} = 31$$
$$g^*_{C,rel} = 40$$

FRS12_95a; adaptierte CIELAB-Daten							
u^*_d	$L^*=L^*_a$	a^*_a	b^*_a	$C^*_{ab,a}$	$h^*_{ab,a}$	u^*_e	
<i>o00y</i>	38.06	60.0	44.0	74.4	36	<i>r16j</i>	
<i>o25y</i>	47.68	47.13	56.9	73.88	50	<i>r37j</i>	
<i>o50y</i>	57.77	33.62	70.44	78.05	64	<i>r58j</i>	
<i>o75y</i>	69.84	17.48	86.62	88.37	79	<i>r79j</i>	
<i>y00l</i>	86.77	-5.17	109.32	109.44	93	<i>j01g</i>	
<i>y25l</i>	73.71	-24.12	89.19	92.39	105	<i>j18g</i>	
<i>y50l</i>	63.76	-38.55	73.86	83.32	118	<i>j36g</i>	
<i>y75l</i>	55.23	-50.92	60.72	79.25	130	<i>j53g</i>	
<i>l00c</i>	47.13	-62.67	48.24	79.09	142	<i>j71g</i>	
<i>l50c</i>	52.64	-41.0	-3.61	41.16	185	<i>g21b</i>	
<i>c00v</i>	55.66	-29.14	-31.99	43.27	228	<i>g60b</i>	
<i>c50v</i>	41.87	-0.69	-41.67	41.68	269	<i>g97b</i>	
<i>v00m</i>	17.15	50.3	-59.04	77.57	310	<i>b34r</i>	
<i>v50m</i>	28.2	63.79	-46.89	79.17	324	<i>b45r</i>	
<i>m00o</i>	40.37	78.64	-33.5	85.48	337	<i>b57r</i>	
<i>m50o</i>	39.13	68.67	7.94	69.13	7	<i>b83r</i>	

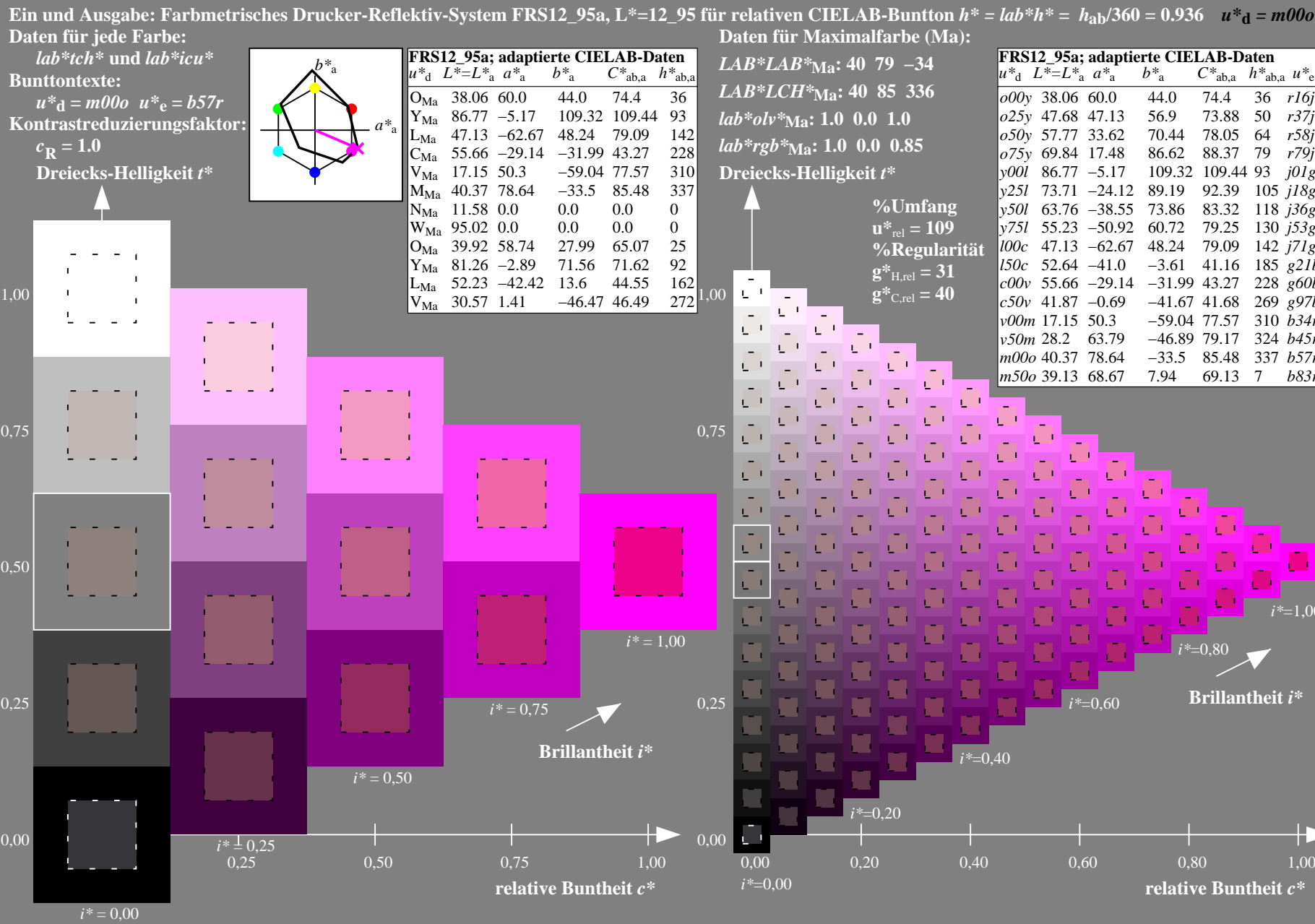


BAM-Prüfvorlage Fg62; Relatives Geräte-Farbsystem

D65: Farbreihen, Datentabellen für 16 Bunttöne 000y l

Eingabe: $000n / w / nnn0 / www \text{ set} \dots$

oAusgabe: keine Eingabeänderung



Ein und Ausgabe: Farbmetrisches Drucker-Reflektiv-System FRS12_95a, L*=12_95 für relativen CIELAB-Buntton $h^* = lab^*h^* = h_{ab}/360 = 0.018$ $u^*_d = m50o$

Daten für jede Farbe:

lab^*ch^* und lab^*icu^*

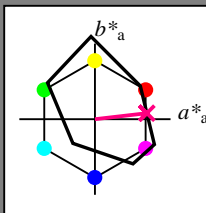
Bunttontexte:

$u^*_d = m50o$ $u^*_e = b83r$

Kontrastreduzierungsfaktor:

$c_R = 1.0$

Dreiecks-Helligkeit i^*



FRS12_95a; adaptierte CIELAB-Daten

u^*_d	$L^*=L^*_a$	a^*_a	b^*_a	$C^*_{ab,a}$	$h^*_{ab,a}$
O _{Ma}	38.06	60.0	44.0	74.4	36
Y _{Ma}	86.77	-5.17	109.32	109.44	93
L _{Ma}	47.13	-62.67	48.24	79.09	142
C _{Ma}	55.66	-29.14	-31.99	43.27	228
V _{Ma}	17.15	50.3	-59.04	77.57	310
M _{Ma}	40.37	78.64	-33.5	85.48	337
N _{Ma}	11.58	0.0	0.0	0.0	0
W _{Ma}	95.02	0.0	0.0	0.0	0
O _{Ma}	39.92	58.74	27.99	65.07	25
Y _{Ma}	81.26	-2.89	71.56	71.62	92
L _{Ma}	52.23	-42.42	13.6	44.55	162
V _{Ma}	30.57	1.41	-46.47	46.49	272

Daten für Maximalfarbe (Ma):

LAB^*LAB^*Ma : 39 69 8

LAB^*LCH^*Ma : 39 69 6

lab^*olv^*Ma : 1.0 0.0 0.5

lab^*rgb^*Ma : 1.0 0.0 0.33

Dreiecks-Helligkeit i^*

%Umfang

$u^*_{rel} = 109$

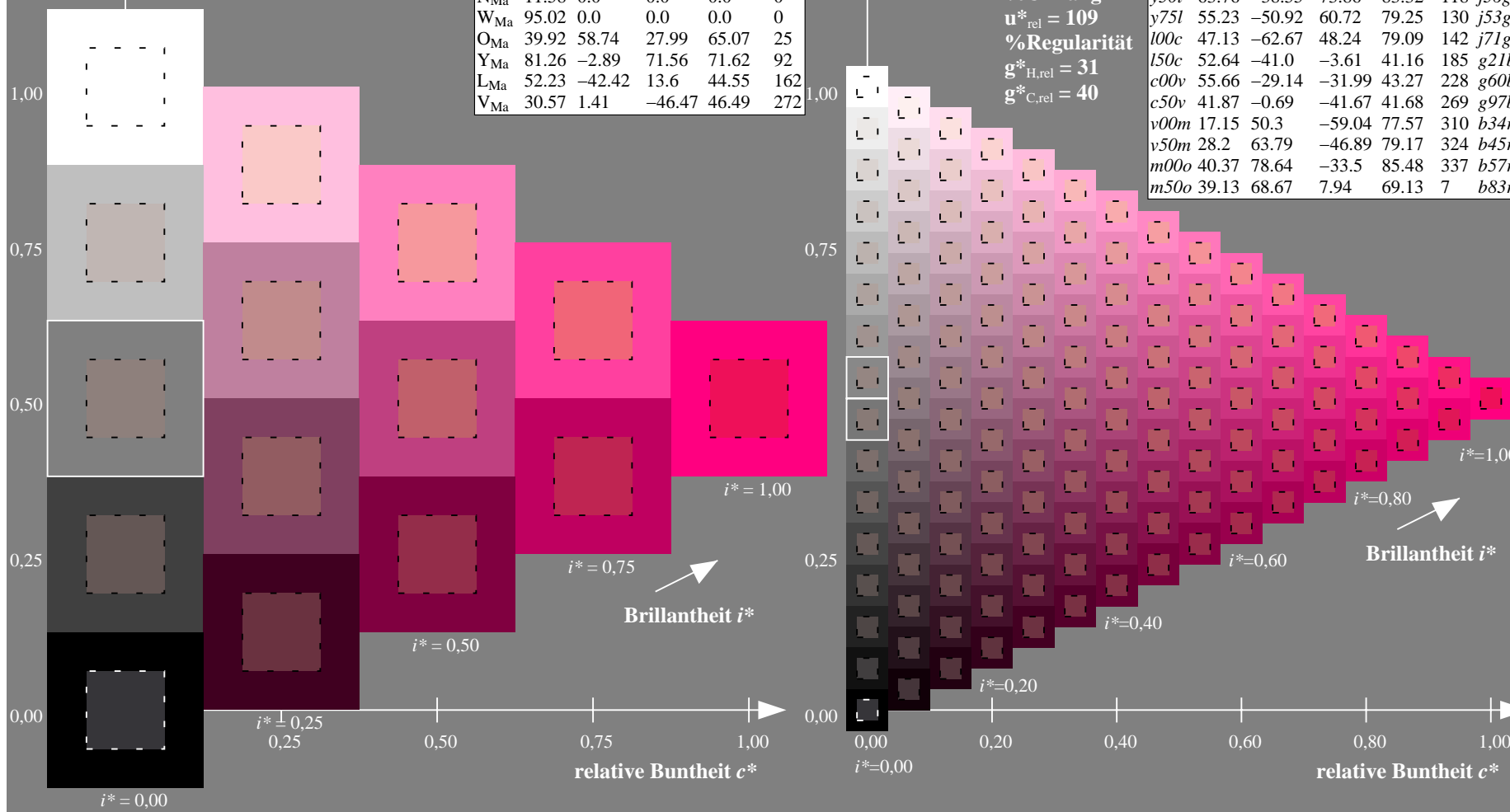
%Regularität

$g^*_{H,rel} = 31$

$g^*_{C,rel} = 40$

FRS12_95a; adaptierte CIELAB-Daten

u^*_d	$L^*=L^*_a$	a^*_a	b^*_a	$C^*_{ab,a}$	$h^*_{ab,a}$	u^*_e
<i>o00y</i>	38.06	60.0	44.0	74.4	36	<i>r16j</i>
<i>o25y</i>	47.68	47.13	56.9	73.88	50	<i>r37j</i>
<i>o50y</i>	57.77	33.62	70.44	78.05	64	<i>r58j</i>
<i>o75y</i>	69.84	17.48	86.62	88.37	79	<i>r79j</i>
<i>y00l</i>	86.77	-5.17	109.32	109.44	93	<i>j01g</i>
<i>y25l</i>	73.71	-24.12	89.19	92.39	105	<i>j18g</i>
<i>y50l</i>	63.76	-38.55	73.86	83.32	118	<i>j36g</i>
<i>y75l</i>	55.23	-50.92	60.72	79.25	130	<i>j53g</i>
<i>l00c</i>	47.13	-62.67	48.24	79.09	142	<i>j71g</i>
<i>l50c</i>	52.64	-41.0	-3.61	41.16	185	<i>g21b</i>
<i>c00v</i>	55.66	-29.14	-31.99	43.27	228	<i>g60b</i>
<i>c50v</i>	41.87	-0.69	-41.67	41.68	269	<i>g97b</i>
<i>v00m</i>	17.15	50.3	-59.04	77.57	310	<i>b34r</i>
<i>v50m</i>	28.2	63.79	-46.89	79.17	324	<i>b45r</i>
<i>m00o</i>	40.37	78.64	-33.5	85.48	337	<i>b57r</i>
<i>m50o</i>	39.13	68.67	7.94	69.13	7	<i>b83r</i>



Siehe ähnliche Dateien: <http://www.ps.bam.de/Fg62/>; www.ps.bam.de/Fg62/.HTM
Technische Information: [http://www.ps.bam.de/Version 2.1, io=1,1, CIELAB, ColSpX=0](http://www.ps.bam.de/Version%202.1,%20io=1,1,CIELAB,ColSpX=0)



BAM-Registrierung: 20081001-Fg62/10L/L62g00FP.PDF/ .PS BAM-Material: Code=rh4ta
Anwendung für Beurteilung und Messung von Drucker- oder Monitorsystemen

Ein und Ausgabe:
Farbmetrisches Drucker-Reflektiv-System FRS12_95a
Daten für jede Farbe:

u^*_d und Nummer $Nr.$ = 00 .. 15

Geräte-Bunttontext:

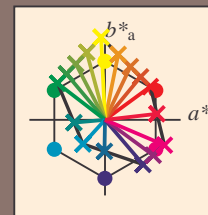
u^*_d = 16 Bunttoene *o00y*, *o25y*, ..., *m50o*

Kontrastreduzierungsfaktor:

$c_R = 1.0$

FRS12_95a; adaptierte CIELAB-Daten

u^*_d	$L^*=L^*_a$	a^*_a	b^*_a	$C^*_{ab,a}$	$h^*_{ab,a}$	u^*_e
<i>o00y</i>	38.06	60.0	44.0	74.4	36	<i>r16j</i>
<i>o25y</i>	47.68	47.13	56.9	73.88	50	<i>r37j</i>
<i>o50y</i>	57.77	33.62	70.44	78.05	64	<i>r58j</i>
<i>o75y</i>	69.84	17.48	86.62	88.37	79	<i>r79j</i>
<i>y00l</i>	86.77	-5.17	109.32	109.44	93	<i>j01g</i>
<i>y25l</i>	73.71	-24.12	89.19	92.39	105	<i>j18g</i>
<i>y50l</i>	63.76	-38.55	73.86	83.32	118	<i>j36g</i>
<i>y75l</i>	55.23	-50.92	60.72	79.25	130	<i>j53g</i>
<i>l00c</i>	47.13	-62.67	48.24	79.09	142	<i>j71g</i>
<i>l50c</i>	52.64	-41.0	-3.61	41.16	185	<i>g21b</i>
<i>c00v</i>	55.66	-29.14	-31.99	43.27	228	<i>g60b</i>
<i>c50v</i>	41.87	-0.69	-41.67	41.68	269	<i>g97b</i>
<i>v00m</i>	17.15	50.3	-59.04	77.57	310	<i>b34r</i>
<i>v50m</i>	28.2	63.79	-46.89	79.17	324	<i>b45r</i>
<i>m00o</i>	40.37	78.64	-33.5	85.48	337	<i>b57r</i>
<i>m50o</i>	39.13	68.67	7.94	69.13	7	<i>b83r</i>



%Umfang

$u^*_{rel} = 109$

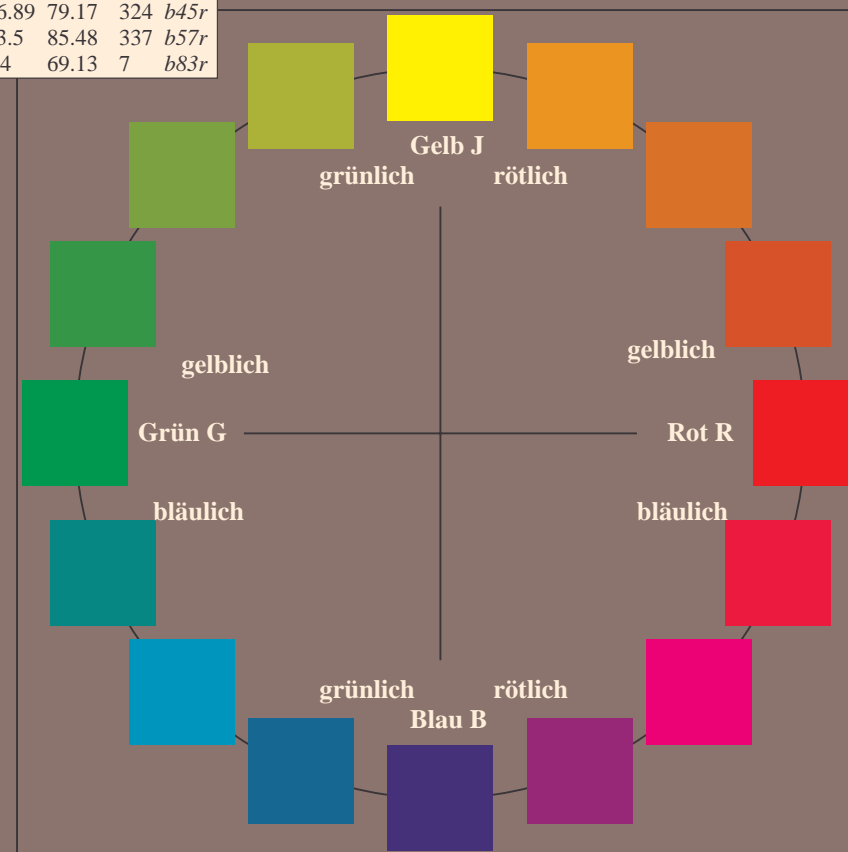
%Regularität

$g^*_{H,rel} = 31$

$g^*_{C,rel} = 40$

FRS12_95a; adaptierte CIELAB-Daten

Name	$L^*=L^*_a$	a^*_a	b^*_a	$C^*_{ab,a}$	$h^*_{ab,a}$
O _{Ma}	38.06	60.0	44.0	74.4	36
Y _{Ma}	86.77	-5.17	109.32	109.44	93
L _{Ma}	47.13	-62.67	48.24	79.09	142
C _{Ma}	55.66	-29.14	-31.99	43.27	228
V _{Ma}	17.15	50.3	-59.04	77.57	310
M _{Ma}	40.37	78.64	-33.5	85.48	337
N _{Ma}	11.58	0.0	0.0	0.0	0
W _{Ma}	95.02	0.0	0.0	0.0	0
O _{CIE}	39.92	58.74	27.99	65.07	25
Y _{CIE}	81.26	-2.89	71.56	71.62	92
L _{CIE}	52.23	-42.42	13.6	44.55	162
V _{CIE}	30.57	1.41	-46.47	46.49	272



Ein und Ausgabe: Farbmatisches Drucker-Reflektiv-System FRS12_95a, L*=12_95 für relativen CIELAB-Buntton $h^* = lab^*h^* = h_{ab}/360 = 0.101$ $u^*_d = o00y$

Daten für jede Farbe:

lab^*ch^* und lab^*icu^*

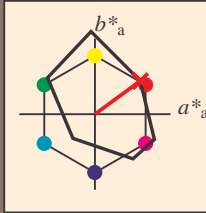
Bunttontexte:

$u^*_d = o00y$ $u^*_e = r16j$

Kontrastreduzierungsfaktor:

$c_R = 1.0$

Dreiecks-Helligkeit i^*



FRS12_95a; adaptierte CIELAB-Daten						
u^*_d	$L^*=L^*_a$	a^*_a	b^*_a	$C^*_{ab,a}$	$h^*_{ab,a}$	
O _{Ma}	38.06	60.0	44.0	74.4	36	
Y _{Ma}	86.77	-5.17	109.32	109.44	93	
L _{Ma}	47.13	-62.67	48.24	79.09	142	
C _{Ma}	55.66	-29.14	-31.99	43.27	228	
V _{Ma}	17.15	50.3	-59.04	77.57	310	
M _{Ma}	40.37	78.64	-33.5	85.48	337	
N _{Ma}	11.58	0.0	0.0	0.0	0	
W _{Ma}	95.02	0.0	0.0	0.0	0	
O _{Ma}	39.92	58.74	27.99	65.07	25	
Y _{Ma}	81.26	-2.89	71.56	71.62	92	
L _{Ma}	52.23	-42.42	13.6	44.55	162	
V _{Ma}	30.57	1.41	-46.47	46.49	272	

Daten für Maximalfarbe (Ma):

LAB^*LAB^*Ma : 38 60 44

LAB^*LCH^*Ma : 38 74 36

lab^*olv^*Ma : 1.0 0.0 0.0

lab^*rgb^*Ma : 1.0 0.16 0.0

Dreiecks-Helligkeit i^*

%Umfang

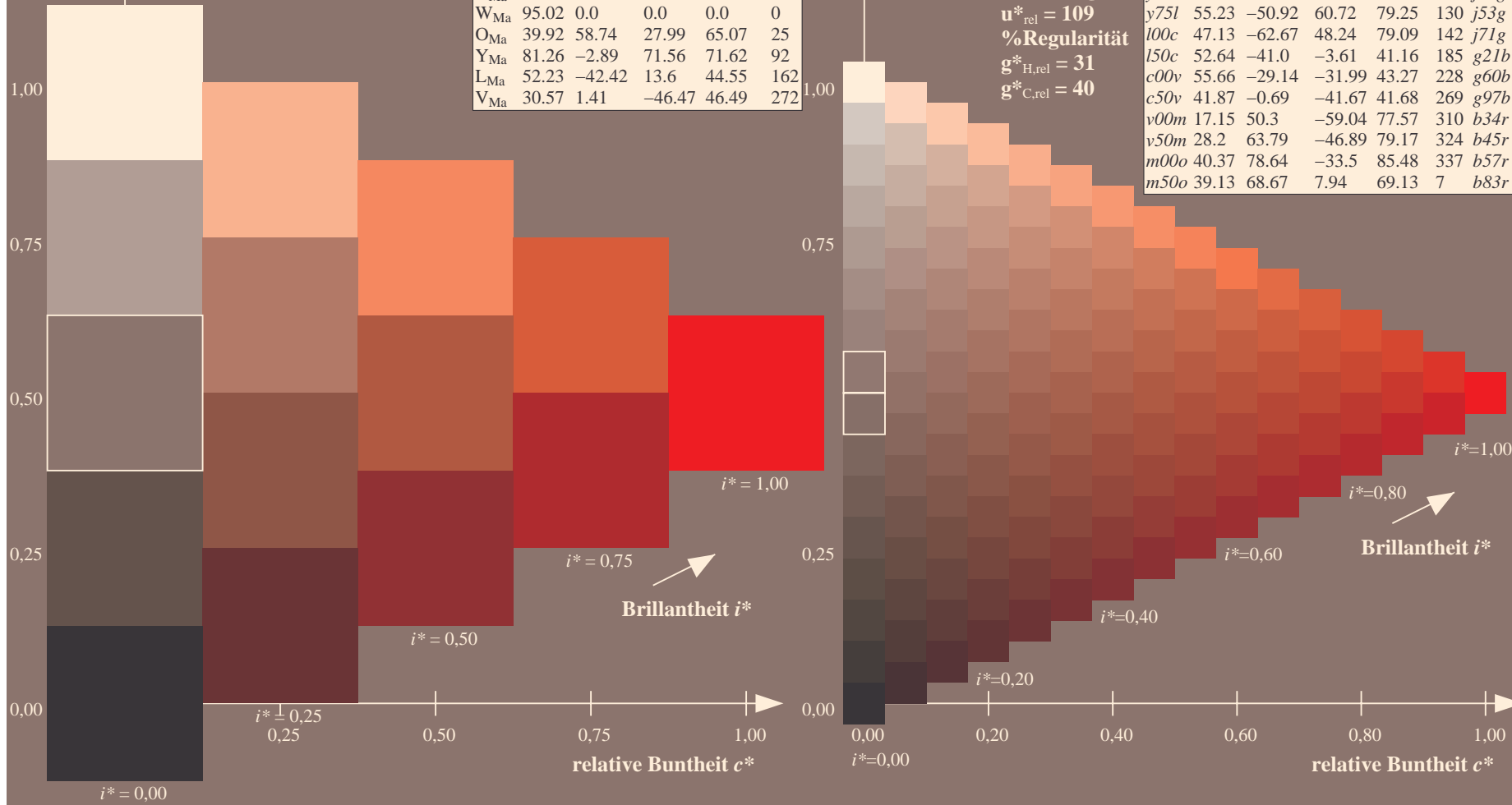
$u^*_{rel} = 109$

%Regularität

$g^*_{H,rel} = 31$

$g^*_{C,rel} = 40$

FRS12_95a; adaptierte CIELAB-Daten						
u^*_d	$L^*=L^*_a$	a^*_a	b^*_a	$C^*_{ab,a}$	$h^*_{ab,a}$	u^*_e
<i>o00y</i>	38.06	60.0	44.0	74.4	36	<i>r16j</i>
<i>o25y</i>	47.68	47.13	56.9	73.88	50	<i>r37j</i>
<i>o50y</i>	57.77	33.62	70.44	78.05	64	<i>r58j</i>
<i>o75y</i>	69.84	17.48	86.62	88.37	79	<i>r79j</i>
<i>y00l</i>	86.77	-5.17	109.32	109.44	93	<i>j01g</i>
<i>y25l</i>	73.71	-24.12	89.19	92.39	105	<i>j18g</i>
<i>y50l</i>	63.76	-38.55	73.86	83.32	118	<i>j36g</i>
<i>y75l</i>	55.23	-50.92	60.72	79.25	130	<i>j53g</i>
<i>l00c</i>	47.13	-62.67	48.24	79.09	142	<i>j71g</i>
<i>l50c</i>	52.64	-41.0	-3.61	41.16	185	<i>g21b</i>
<i>c00v</i>	55.66	-29.14	-31.99	43.27	228	<i>g60b</i>
<i>c50v</i>	41.87	-0.69	-41.67	41.68	269	<i>g97b</i>
<i>v00m</i>	17.15	50.3	-59.04	77.57	310	<i>b34r</i>
<i>v50m</i>	28.2	63.79	-46.89	79.17	324	<i>b45r</i>
<i>m00o</i>	40.37	78.64	-33.5	85.48	337	<i>b57r</i>
<i>m50o</i>	39.13	68.67	7.94	69.13	7	<i>b83r</i>



Ein und Ausgabe: Farbmétrisches Drucker-Reflektiv-System FRS12_95a, $L^*=12.95$ für relativen CIELAB-Buntton $h^* = lab^*h^* = h_{ab}/360 = 0.14$ $u^*_d = 0.25y$

Daten für jede Farbe:

*lab*tch** und *lab*icu**

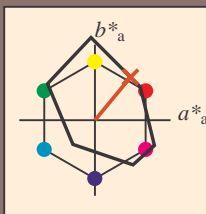
Bunttexte:

$$u_d^* = 0.25y \quad u_e^* = 0.37j$$

Kontrastreduzierungsfaktor:

$$c_{\mathbf{R}} = 1.0$$

K Dreiecks-Helligkeit t^*



FRS12_95a; adaptierte CIELAB-Daten						
	u^*_d	$L^*-L^*_a$	a^*_a	b^*_a	$C^*_{ab,a}$	$h^*_{ab,a}$
O _{Ma}	38.06	60.0		44.0	74.4	36
Y _{Ma}	86.77	-5.17		109.32	109.44	93
L _{Ma}	47.13	-62.67		48.24	79.09	142
C _{Ma}	55.66	-29.14		-31.99	43.27	228
V _{Ma}	17.15	50.3		-59.04	77.57	310
M _{Ma}	40.37	78.64		-33.5	85.48	337
N _{Ma}	11.58	0.0		0.0	0.0	0
W _{Ma}	95.02	0.0		0.0	0.0	0
O _{Ma}	39.92	58.74		27.99	65.07	25
Y _{Ma}	81.26	-2.89		71.56	71.62	92
L _{Ma}	52.23	-42.42		13.6	44.55	162
V _{Ma}	30.57	1.41		-46.47	46.49	272

Daten für Maximalfarbe (Ma):

*LAB*LAB**M₂: 48 47 57

*LAR*LCH** : 48 74 50

LAB*LCH*Ma: 48 74 50

*lab*olv*_Ma: 1.0 0.25 0.0*

*lab*rgb*_{Ma}: 1.0 0.37 0.0

Dreiecks-Helligkeit t^*

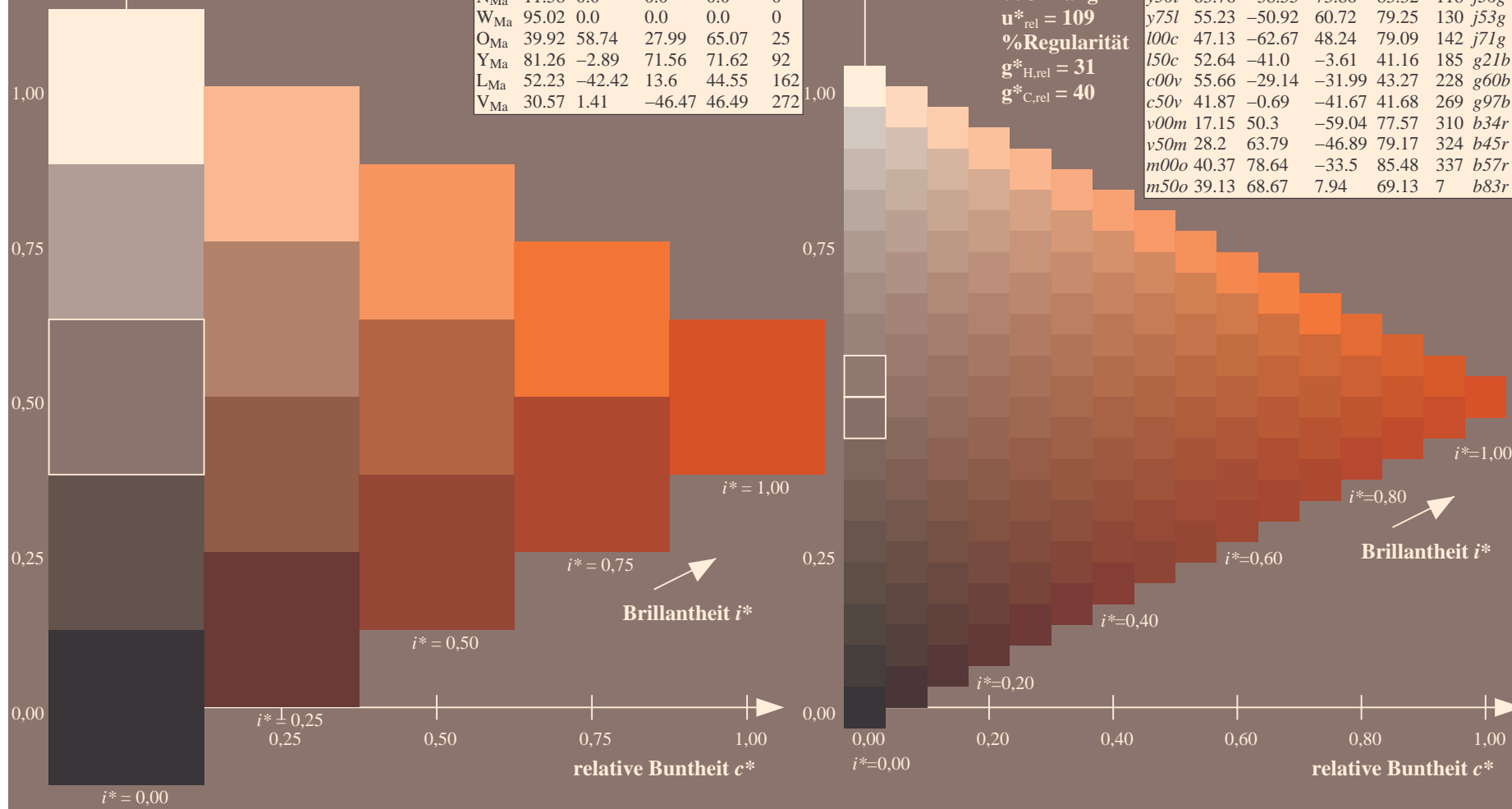
0/11

FRS12_95a; adaptierte CIELAB-Daten							
u_d^*	$L^*=L_a^*$	a_a^*	b_a^*	$C^*_{ab,a}$	$h^*_{ab,a}$	u_e^*	
<i>o00y</i>	38.06	60.0	44.0	74.4	36	<i>r16j</i>	
<i>o25y</i>	47.68	47.13	56.9	73.88	50	<i>r37j</i>	
<i>o50y</i>	57.77	33.62	70.44	78.05	64	<i>r58j</i>	
<i>o75y</i>	69.84	17.48	86.62	88.37	79	<i>r79j</i>	
<i>y00l</i>	86.77	-5.17	109.32	109.44	93	<i>j01g</i>	
<i>y25l</i>	73.71	-24.12	89.19	92.39	105	<i>j18g</i>	
<i>y50l</i>	63.76	-38.55	73.86	83.32	118	<i>j36g</i>	
<i>y75l</i>	55.23	-50.92	60.72	79.25	130	<i>j53g</i>	
<i>l00c</i>	47.13	-62.67	48.24	79.09	142	<i>j71g</i>	
<i>l50c</i>	52.64	-41.0	-3.61	41.16	185	<i>g21b</i>	
<i>c00v</i>	55.66	-29.14	-31.99	43.27	228	<i>g60b</i>	
<i>c50v</i>	41.87	-0.69	-41.67	41.68	269	<i>g97b</i>	
<i>v00m</i>	17.15	50.3	-59.04	77.57	310	<i>b34r</i>	
<i>v50m</i>	28.2	63.79	-46.89	79.17	324	<i>b45r</i>	
<i>m00o</i>	40.37	78.64	-33.5	85.48	337	<i>b57r</i>	
<i>m50o</i>	39.13	68.67	7.94	69.13	7	<i>b83r</i>	

%Umfang

$$\mathbf{u}_{\text{rel}}^* = 109$$

%Regularität

$$g^*_{H,rel} = 31$$
$$g^*_{C,rel} = 40$$


BAM-Prüfvorlage Fg62; Relatives Geräte-Farbsystem

D65: Farbreihen, Datentabellen für 16 Bunttöne

Eingabe: $000n / w / nnn0 / www \text{ set} \dots$

toAusgabe: $\rightarrow LAB^* \rightarrow cmy0^*$ setcmyk

Ein und Ausgabe: Farbmatisches Drucker-Reflektiv-System FRS12_95a, L*=12_95 für relativen CIELAB-Buntton $h^* = lab^*h^* = h_{ab}/360 = 0.179$ $u^*_d = o50y$

Daten für jede Farbe:

lab^*ch^* und lab^*icu^*

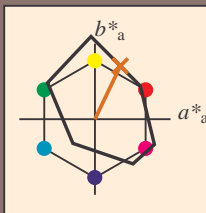
Bunttontexte:

$u^*_d = o50y$ $u^*_e = r58j$

Kontrastreduzierungsfaktor:

$c_R = 1.0$

Dreiecks-Helligkeit i^*



FRS12_95a; adaptierte CIELAB-Daten

u^*_d	$L^*=L^*_a$	a^*_a	b^*_a	$C^*_{ab,a}$	$h^*_{ab,a}$
O _{Ma}	38.06	60.0	44.0	74.4	36
Y _{Ma}	86.77	-5.17	109.32	109.44	93
L _{Ma}	47.13	-62.67	48.24	79.09	142
C _{Ma}	55.66	-29.14	-31.99	43.27	228
V _{Ma}	17.15	50.3	-59.04	77.57	310
M _{Ma}	40.37	78.64	-33.5	85.48	337
N _{Ma}	11.58	0.0	0.0	0.0	0
W _{Ma}	95.02	0.0	0.0	0.0	0
O _{Ma}	39.92	58.74	27.99	65.07	25
Y _{Ma}	81.26	-2.89	71.56	71.62	92
L _{Ma}	52.23	-42.42	13.6	44.55	162
V _{Ma}	30.57	1.41	-46.47	46.49	272

Daten für Maximalfarbe (Ma):

LAB^*LAB^*Ma : 58 34 70

LAB^*LCH^*Ma : 58 78 64

lab^*olv^*Ma : 1.0 0.5 0.0

lab^*rgb^*Ma : 1.0 0.58 0.0

Dreiecks-Helligkeit i^*

%Umfang

$u^*_{rel} = 109$

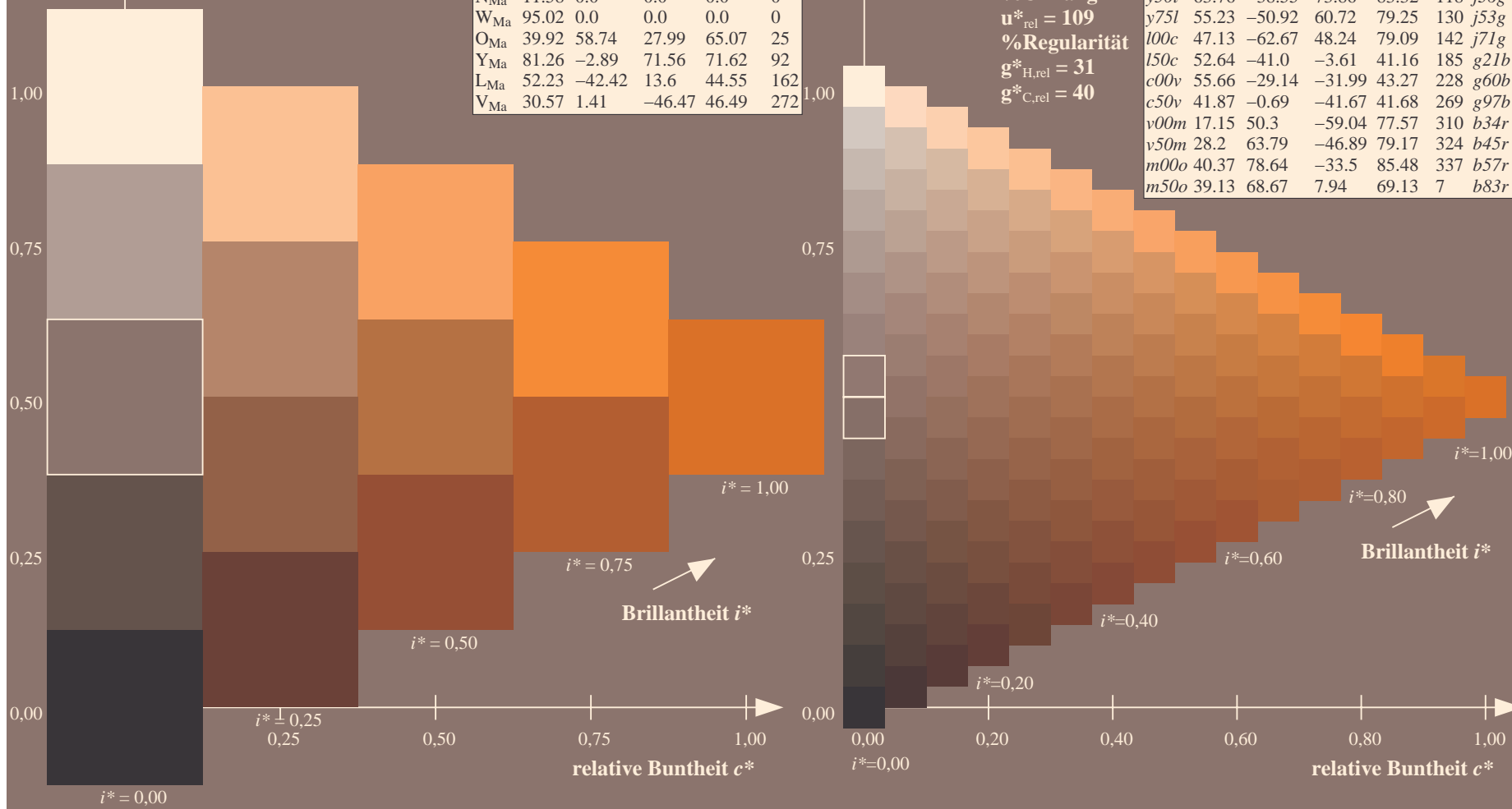
%Regularität

$g^*_{H,rel} = 31$

$g^*_{C,rel} = 40$

FRS12_95a; adaptierte CIELAB-Daten

u^*_d	$L^*=L^*_a$	a^*_a	b^*_a	$C^*_{ab,a}$	$h^*_{ab,a}$	u^*_e
o00y	38.06	60.0	44.0	74.4	36	r16j
o25y	47.68	47.13	56.9	73.88	50	r37j
o50y	57.77	33.62	70.44	78.05	64	r58j
o75y	69.84	17.48	86.62	88.37	79	r79j
y00l	86.77	-5.17	109.32	109.44	93	j01g
y25l	73.71	-24.12	89.19	92.39	105	j18g
y50l	63.76	-38.55	73.86	83.32	118	j36g
y75l	55.23	-50.92	60.72	79.25	130	j53g
l00c	47.13	-62.67	48.24	79.09	142	j71g
l50c	52.64	-41.0	-3.61	41.16	185	g21b
c00v	55.66	-29.14	-31.99	43.27	228	g60b
c50v	41.87	-0.69	-41.67	41.68	269	g97b
v00m	17.15	50.3	-59.04	77.57	310	b34r
v50m	28.2	63.79	-46.89	79.17	324	b45r
m00o	40.37	78.64	-33.5	85.48	337	b57r
m50o	39.13	68.67	7.94	69.13	7	b83r



Ein und Ausgabe: Farbmatisches Drucker-Reflektiv-System FRS12_95a, L*=12_95 für relativen CIELAB-Buntton $h^* = lab^*h^* = h_{ab}/360 = 0.218$ $u^*_d = o75y$

Daten für jede Farbe:

lab^*ch^* und lab^*icu^*

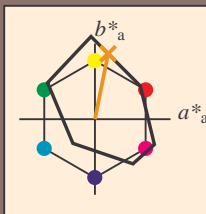
Bunttontexte:

$u^*_d = o75y$ $u^*_e = r79j$

Kontrastreduzierungsfaktor:

$c_R = 1.0$

Dreiecks-Helligkeit i^*



FRS12_95a; adaptierte CIELAB-Daten

	u^*_d	$L^*=L^*_a$	a^*_a	b^*_a	$C^*_{ab,a}$	$h^*_{ab,a}$
O _{Ma}	38.06	60.0	44.0	74.4	36	
Y _{Ma}	86.77	-5.17	109.32	109.44	93	
L _{Ma}	47.13	-62.67	48.24	79.09	142	
C _{Ma}	55.66	-29.14	-31.99	43.27	228	
V _{Ma}	17.15	50.3	-59.04	77.57	310	
M _{Ma}	40.37	78.64	-33.5	85.48	337	
N _{Ma}	11.58	0.0	0.0	0.0	0	
W _{Ma}	95.02	0.0	0.0	0.0	0	
O _{Ma}	39.92	58.74	27.99	65.07	25	
Y _{Ma}	81.26	-2.89	71.56	71.62	92	
L _{Ma}	52.23	-42.42	13.6	44.55	162	
V _{Ma}	30.57	1.41	-46.47	46.49	272	

Daten für Maximalfarbe (Ma):

LAB^*LAB^*Ma : 70 17 87

LAB^*LCH^*Ma : 70 88 78

lab^*olv^*Ma : 1.0 0.75 0.0

lab^*rgb^*Ma : 1.0 0.79 0.0

Dreiecks-Helligkeit i^*

%Umfang

$u^*_{rel} = 109$

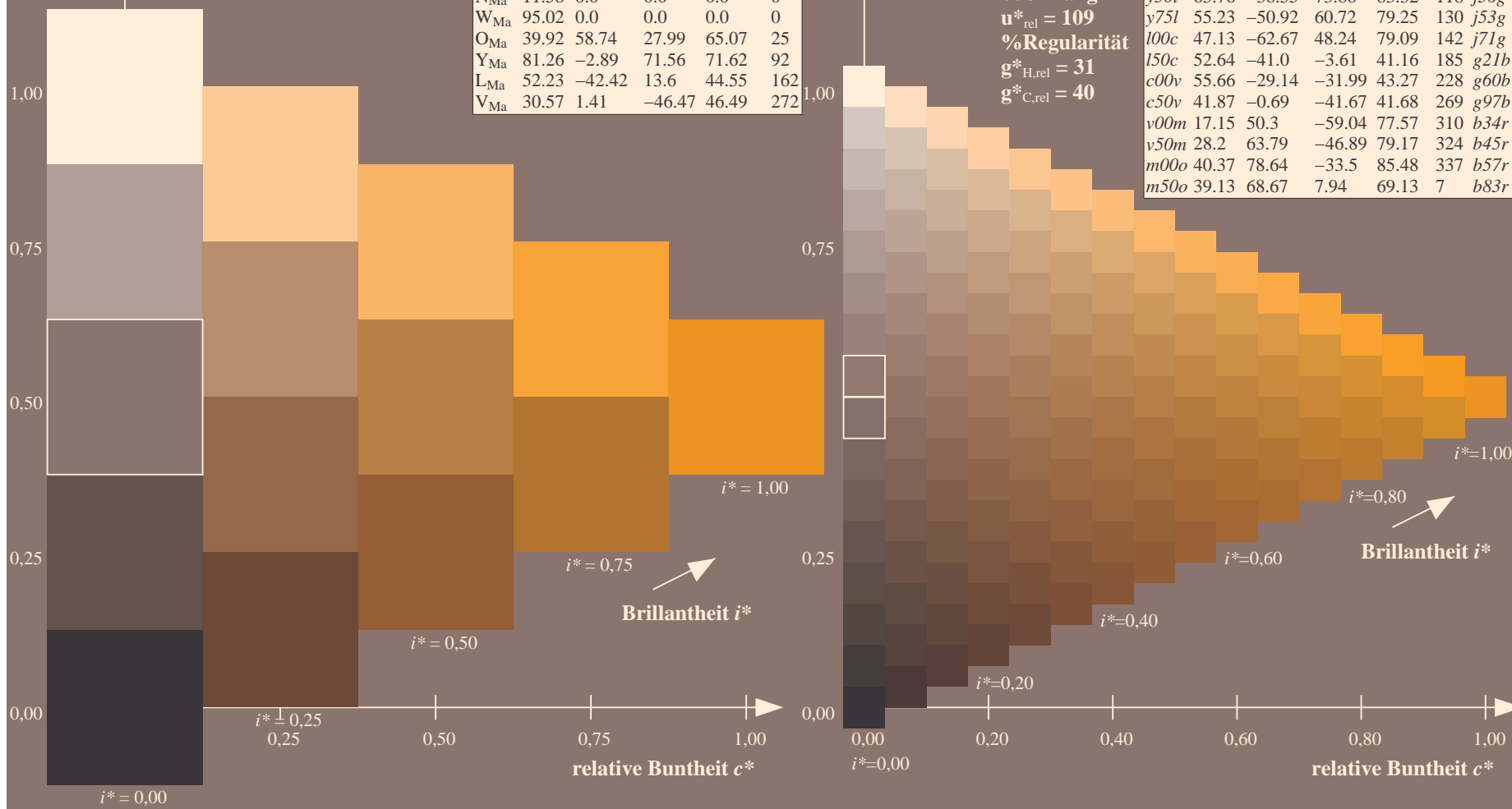
%Regularität

$g^*_{H,rel} = 31$

$g^*_{C,rel} = 40$

FRS12_95a; adaptierte CIELAB-Daten

	u^*_d	$L^*=L^*_a$	a^*_a	b^*_a	$C^*_{ab,a}$	$h^*_{ab,a}$	u^*_e
o00y	38.06	60.0	44.0	74.4	36		r16j
o25y	47.68	47.13	56.9	73.88	50		r37j
o50y	57.77	33.62	70.44	78.05	64		r58j
o75y	69.84	17.48	86.62	88.37	79		r79j
y00l	86.77	-5.17	109.32	109.44	93		j01g
y25l	73.71	-24.12	89.19	92.39	105		j18g
y50l	63.76	-38.55	73.86	83.32	118		j36g
y75l	55.23	-50.92	60.72	79.25	130		j53g
l00c	47.13	-62.67	48.24	79.09	142		j71g
l50c	52.64	-41.0	-3.61	41.16	185		g21b
c00v	55.66	-29.14	-31.99	43.27	228		g60b
c50v	41.87	-0.69	-41.67	41.68	269		g97b
v00m	17.15	50.3	-59.04	77.57	310		b34r
v50m	28.2	63.79	-46.89	79.17	324		b45r
m00o	40.37	78.64	-33.5	85.48	337		b57r
m50o	39.13	68.67	7.94	69.13	7		b83r



Ein und Ausgabe: Farbmétrisches Drucker-Reflektiv-System FRS12_95a, L*=12_95 für relativen CIELAB-Buntton $h^* = lab^*h^* = h_{ab}/360 = 0.258$ $u^*_d = y00l$

Daten für jede Farbe:

lab^*ch^* und lab^*icu^*

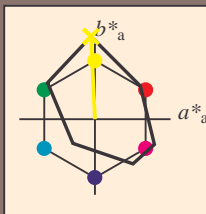
Bunttontexte:

$u^*_d = y00l$ $u^*_e = j01g$

Kontrastreduzierungsfaktor:

$c_R = 1.0$

Dreiecks-Helligkeit i^*



FRS12_95a; adaptierte CIELAB-Daten

	u^*_d	$L^*=L^*_a$	a^*_a	b^*_a	$C^*_{ab,a}$	$h^*_{ab,a}$
O _{Ma}	38.06	60.0	44.0	74.4	36	
Y _{Ma}	86.77	-5.17	109.32	109.44	93	
L _{Ma}	47.13	-62.67	48.24	79.09	142	
C _{Ma}	55.66	-29.14	-31.99	43.27	228	
V _{Ma}	17.15	50.3	-59.04	77.57	310	
M _{Ma}	40.37	78.64	-33.5	85.48	337	
N _{Ma}	11.58	0.0	0.0	0.0	0	
W _{Ma}	95.02	0.0	0.0	0.0	0	
O _{Ma}	39.92	58.74	27.99	65.07	25	
Y _{Ma}	81.26	-2.89	71.56	71.62	92	
L _{Ma}	52.23	-42.42	13.6	44.55	162	
V _{Ma}	30.57	1.41	-46.47	46.49	272	

Daten für Maximalfarbe (Ma):

LAB^*LAB^*Ma : 87 -5 109

LAB^*LCH^*Ma : 87 109 92

lab^*olv^*Ma : 1.0 1.0 0.0

lab^*rgb^*Ma : 0.99 1.0 0.0

Dreiecks-Helligkeit i^*

%Umfang

$u^*_{rel} = 109$

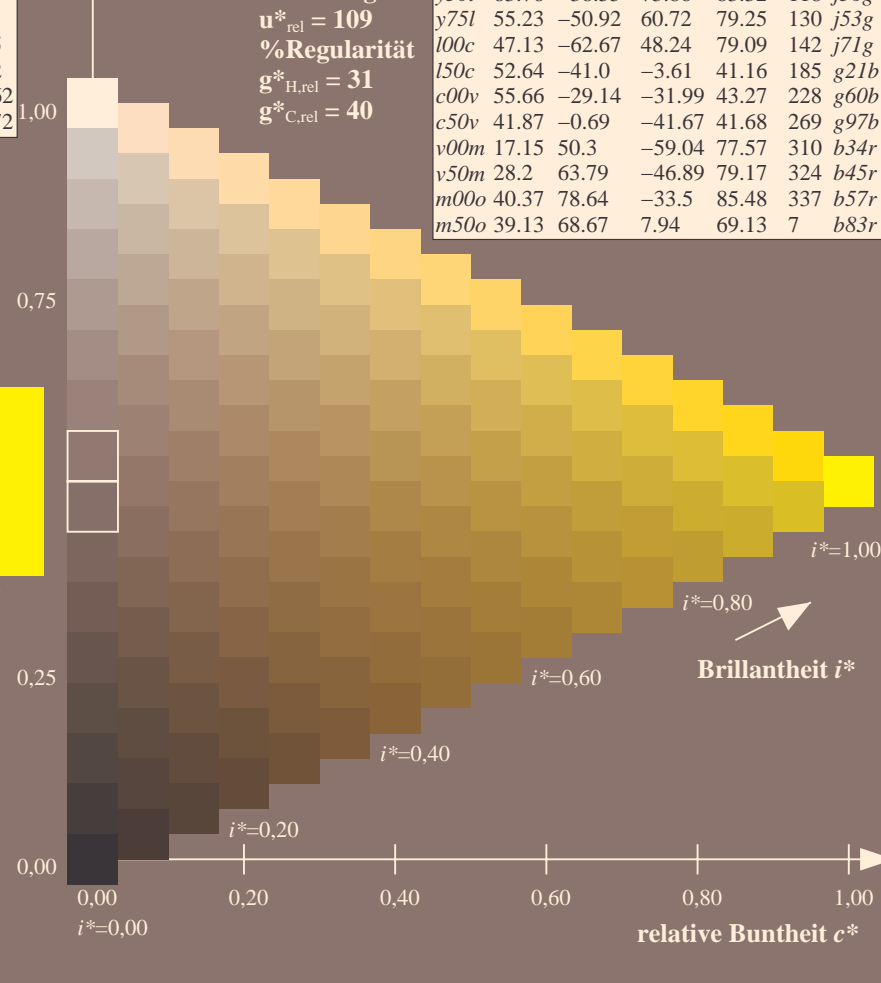
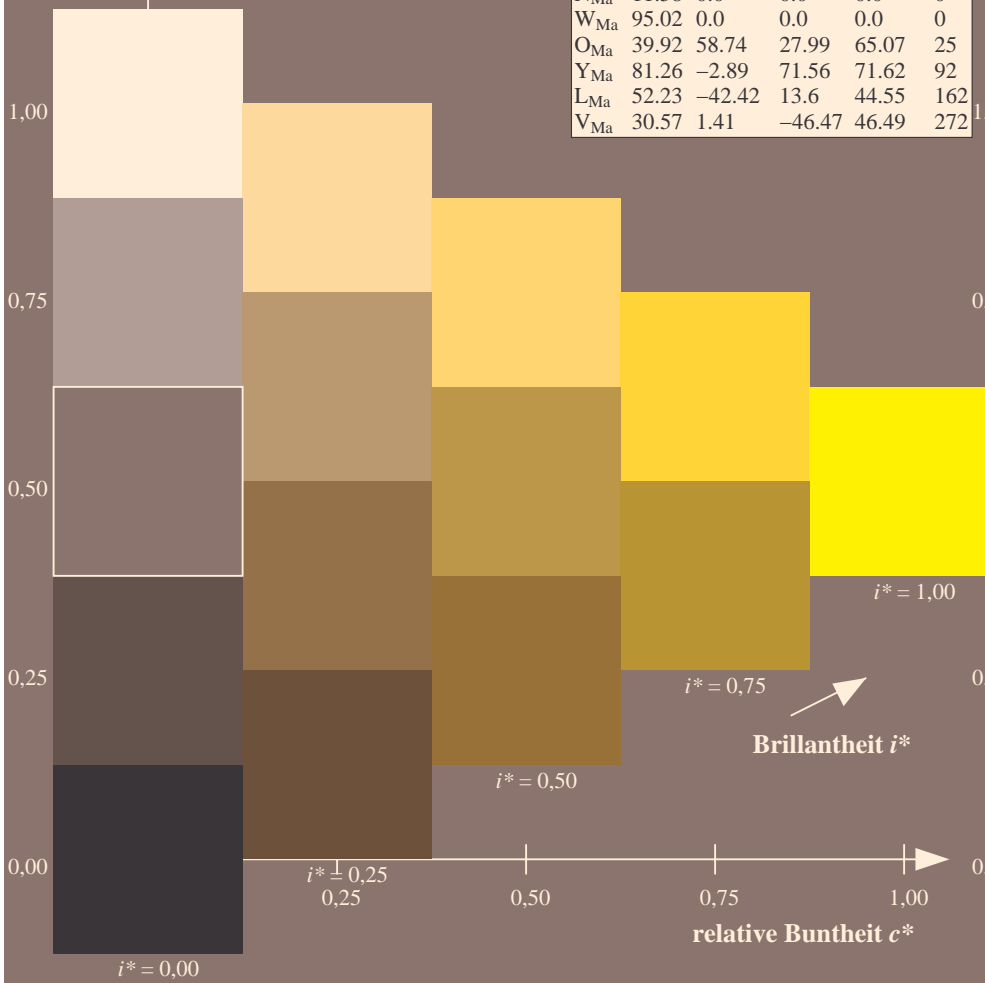
%Regularität

$g^*_{H,rel} = 31$

$g^*_{C,rel} = 40$

FRS12_95a; adaptierte CIELAB-Daten

	u^*_d	$L^*=L^*_a$	a^*_a	b^*_a	$C^*_{ab,a}$	$h^*_{ab,a}$	u^*_e
o00y	38.06	60.0	44.0	74.4	36		r16j
o25y	47.68	47.13	56.9	73.88	50		r37j
o50y	57.77	33.62	70.44	78.05	64		r58j
o75y	69.84	17.48	86.62	88.37	79		r79j
y00l	86.77	-5.17	109.32	109.44	93		j01g
y25l	73.71	-24.12	89.19	92.39	105		j18g
y50l	63.76	-38.55	73.86	83.32	118		j36g
y75l	55.23	-50.92	60.72	79.25	130		j53g
l00c	47.13	-62.67	48.24	79.09	142		j71g
l50c	52.64	-41.0	-3.61	41.16	185		g21b
c00v	55.66	-29.14	-31.99	43.27	228		g60b
c50v	41.87	-0.69	-41.67	41.68	269		g97b
v00m	17.15	50.3	-59.04	77.57	310		b34r
v50m	28.2	63.79	-46.89	79.17	324		b45r
m00o	40.37	78.64	-33.5	85.48	337		b57r
m50o	39.13	68.67	7.94	69.13	7		b83r



Ein und Ausgabe: Farbmatisches Drucker-Reflektiv-System FRS12_95a, L*=12_95 für relativen CIELAB-Buntton $h^* = lab^*h^* = h_{ab}/360 = 0.292$ $u^*_d = y25l$

Daten für jede Farbe:

lab^*ch^* und lab^*icu^*

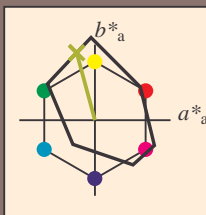
Bunttontexte:

$u^*_d = y25l$ $u^*_e = j18g$

Kontrastreduzierungsfaktor:

$c_R = 1.0$

Dreiecks-Helligkeit i^*



FRS12_95a; adaptierte CIELAB-Daten

u^*_d	$L^*=L^*_a$	a^*_a	b^*_a	$C^*_{ab,a}$	$h^*_{ab,a}$
O _{Ma}	38.06	60.0	44.0	74.4	36
Y _{Ma}	86.77	-5.17	109.32	109.44	93
L _{Ma}	47.13	-62.67	48.24	79.09	142
C _{Ma}	55.66	-29.14	-31.99	43.27	228
V _{Ma}	17.15	50.3	-59.04	77.57	310
M _{Ma}	40.37	78.64	-33.5	85.48	337
N _{Ma}	11.58	0.0	0.0	0.0	0
W _{Ma}	95.02	0.0	0.0	0.0	0
O _{Ma}	39.92	58.74	27.99	65.07	25
Y _{Ma}	81.26	-2.89	71.56	71.62	92
L _{Ma}	52.23	-42.42	13.6	44.55	162
V _{Ma}	30.57	1.41	-46.47	46.49	272

Daten für Maximalfarbe (Ma):

LAB^*LAB^*Ma : 74 -24 89

LAB^*LCH^*Ma : 74 92 105

lab^*olv^*Ma : 0.75 1.0 0.0

lab^*rgb^*Ma : 0.82 1.0 0.0

Dreiecks-Helligkeit i^*

%Umfang

$u^*_{rel} = 109$

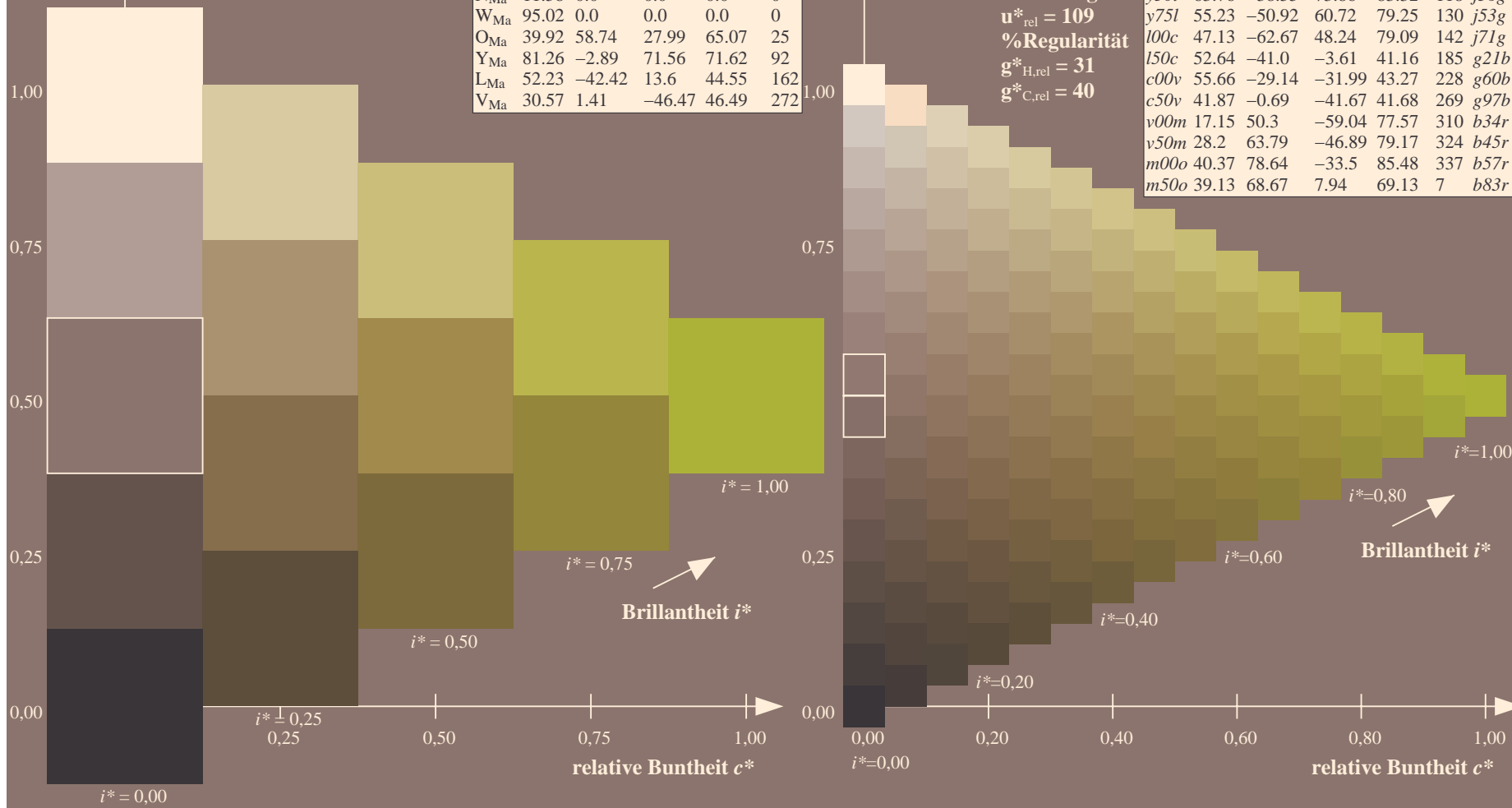
%Regularität

$g^*_{H,rel} = 31$

$g^*_{C,rel} = 40$

FRS12_95a; adaptierte CIELAB-Daten

u^*_d	$L^*=L^*_a$	a^*_a	b^*_a	$C^*_{ab,a}$	$h^*_{ab,a}$	u^*_e
o00y	38.06	60.0	44.0	74.4	36	r16j
o25y	47.68	47.13	56.9	73.88	50	r37j
o50y	57.77	33.62	70.44	78.05	64	r58j
o75y	69.84	17.48	86.62	88.37	79	r79j
y00l	86.77	-5.17	109.32	109.44	93	j01g
y25l	73.71	-24.12	89.19	92.39	105	j18g
y50l	63.76	-38.55	73.86	83.32	118	j36g
y75l	55.23	-50.92	60.72	79.25	130	j53g
l00c	47.13	-62.67	48.24	79.09	142	j71g
l50c	52.64	-41.0	-3.61	41.16	185	g21b
c00v	55.66	-29.14	-31.99	43.27	228	g60b
c50v	41.87	-0.69	-41.67	41.68	269	g97b
v00m	17.15	50.3	-59.04	77.57	310	b34r
v50m	28.2	63.79	-46.89	79.17	324	b45r
m00o	40.37	78.64	-33.5	85.48	337	b57r
m50o	39.13	68.67	7.94	69.13	7	b83r



Ein und Ausgabe: Farbmetrisches Drucker-Reflektiv-System FRS12_95a, L*=12_95 für relativen CIELAB-Buntton $h^* = lab^*h^* = h_{ab}/360 = 0.327$ $u^*_d = y50l$

Daten für jede Farbe:

lab^*ch^* und lab^*icu^*

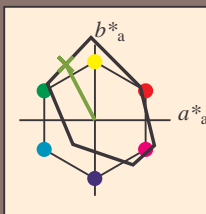
Bunttontexte:

$u^*_d = y50l$ $u^*_e = j36g$

Kontrastreduzierungsfaktor:

$c_R = 1.0$

Dreiecks-Helligkeit i^*



FRS12_95a; adaptierte CIELAB-Daten

u^*_d	$L^*=L^*_a$	a^*_a	b^*_a	$C^*_{ab,a}$	$h^*_{ab,a}$
O _{Ma}	38.06	60.0	44.0	74.4	36
Y _{Ma}	86.77	-5.17	109.32	109.44	93
L _{Ma}	47.13	-62.67	48.24	79.09	142
C _{Ma}	55.66	-29.14	-31.99	43.27	228
V _{Ma}	17.15	50.3	-59.04	77.57	310
M _{Ma}	40.37	78.64	-33.5	85.48	337
N _{Ma}	11.58	0.0	0.0	0.0	0
W _{Ma}	95.02	0.0	0.0	0.0	0
O _{Ma}	39.92	58.74	27.99	65.07	25
Y _{Ma}	81.26	-2.89	71.56	71.62	92
L _{Ma}	52.23	-42.42	13.6	44.55	162
V _{Ma}	30.57	1.41	-46.47	46.49	272

Daten für Maximalfarbe (Ma):

LAB^*LAB^*Ma : 64 -39 74

LAB^*LCH^*Ma : 64 83 117

lab^*olv^*Ma : 0.5 1.0 0.0

lab^*rgb^*Ma : 0.64 1.0 0.0

Dreiecks-Helligkeit i^*

%Umfang

$u^*_{rel} = 109$

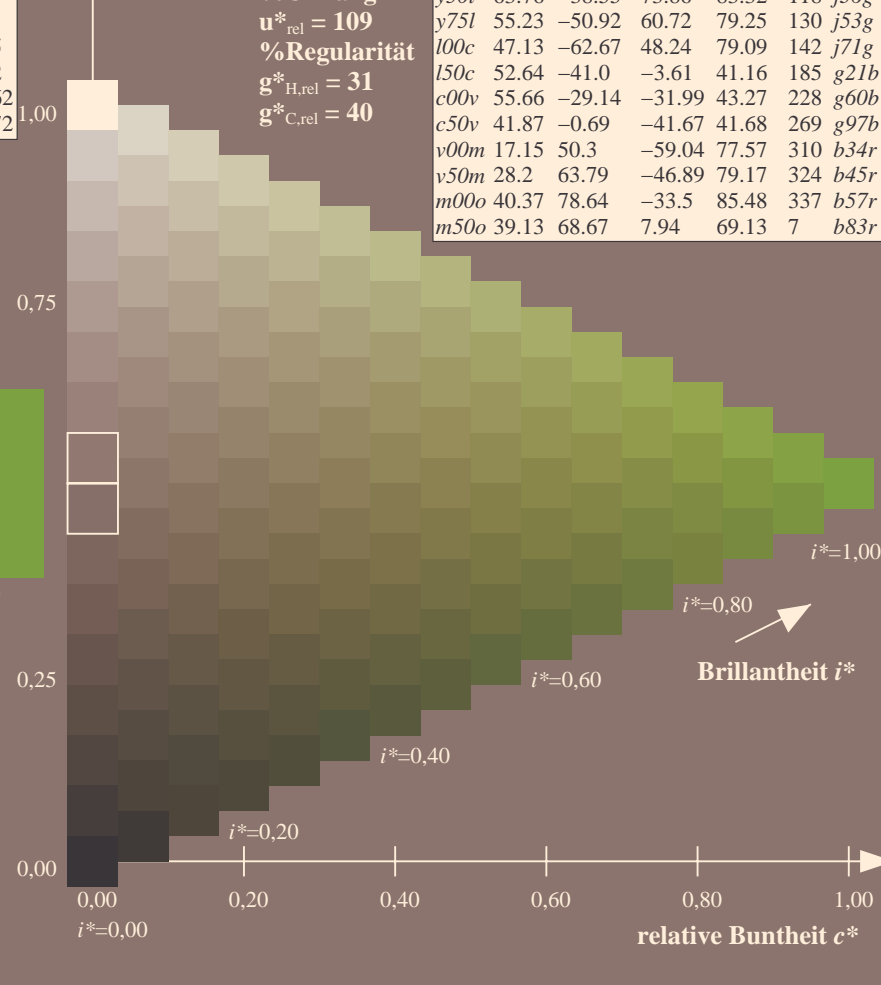
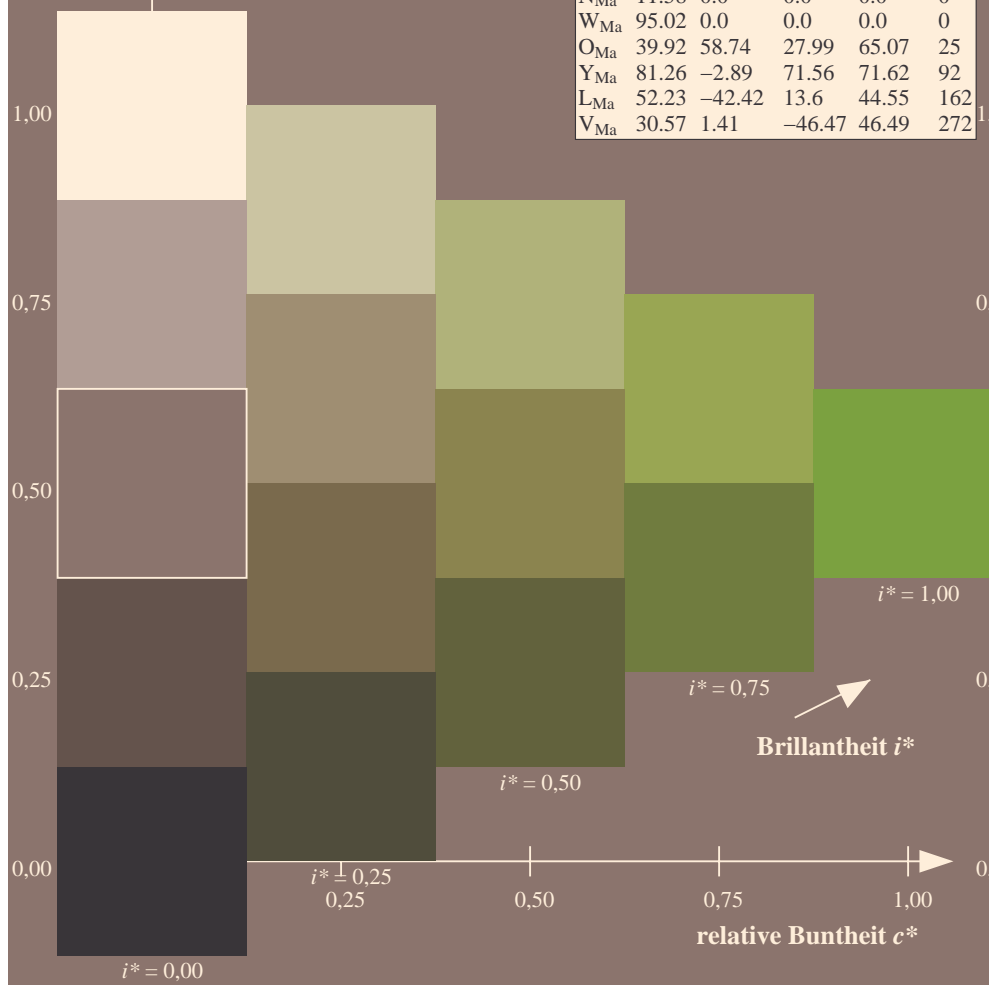
%Regularität

$g^*_{H,rel} = 31$

$g^*_{C,rel} = 40$

FRS12_95a; adaptierte CIELAB-Daten

u^*_d	$L^*=L^*_a$	a^*_a	b^*_a	$C^*_{ab,a}$	$h^*_{ab,a}$	u^*_e
<i>o00y</i>	38.06	60.0	44.0	74.4	36	<i>r16j</i>
<i>o25y</i>	47.68	47.13	56.9	73.88	50	<i>r37j</i>
<i>o50y</i>	57.77	33.62	70.44	78.05	64	<i>r58j</i>
<i>o75y</i>	69.84	17.48	86.62	88.37	79	<i>r79j</i>
<i>y00l</i>	86.77	-5.17	109.32	109.44	93	<i>j01g</i>
<i>y25l</i>	73.71	-24.12	89.19	92.39	105	<i>j18g</i>
<i>y50l</i>	63.76	-38.55	73.86	83.32	118	<i>j36g</i>
<i>y75l</i>	55.23	-50.92	60.72	79.25	130	<i>j53g</i>
<i>l00c</i>	47.13	-62.67	48.24	79.09	142	<i>j71g</i>
<i>l50c</i>	52.64	-41.0	-3.61	41.16	185	<i>g21b</i>
<i>c00v</i>	55.66	-29.14	-31.99	43.27	228	<i>g60b</i>
<i>c50v</i>	41.87	-0.69	-41.67	41.68	269	<i>g97b</i>
<i>v00m</i>	17.15	50.3	-59.04	77.57	310	<i>b34r</i>
<i>v50m</i>	28.2	63.79	-46.89	79.17	324	<i>b45r</i>
<i>m00o</i>	40.37	78.64	-33.5	85.48	337	<i>b57r</i>
<i>m50o</i>	39.13	68.67	7.94	69.13	7	<i>b83r</i>



Ein und Ausgabe: Farbmatisches Drucker-Reflektiv-System FRS12_95a, L*=12_95 für relativen CIELAB-Buntton $h^* = lab^*h^* = h_{ab}/360 = 0.361$ $u^*_d = y75l$

Daten für jede Farbe:

lab^*ch^* und lab^*icu^*

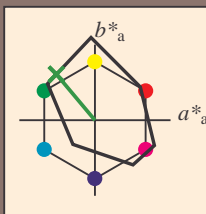
Bunttontexte:

$u^*_d = y75l$ $u^*_e = j53g$

Kontrastreduzierungsfaktor:

$c_R = 1.0$

Dreiecks-Helligkeit i^*



FRS12_95a; adaptierte CIELAB-Daten

u^*_d	$L^*=L^*_a$	a^*_a	b^*_a	$C^*_{ab,a}$	$h^*_{ab,a}$
O _{Ma}	38.06	60.0	44.0	74.4	36
Y _{Ma}	86.77	-5.17	109.32	109.44	93
L _{Ma}	47.13	-62.67	48.24	79.09	142
C _{Ma}	55.66	-29.14	-31.99	43.27	228
V _{Ma}	17.15	50.3	-59.04	77.57	310
M _{Ma}	40.37	78.64	-33.5	85.48	337
N _{Ma}	11.58	0.0	0.0	0.0	0
W _{Ma}	95.02	0.0	0.0	0.0	0
O _{Ma}	39.92	58.74	27.99	65.07	25
Y _{Ma}	81.26	-2.89	71.56	71.62	92
L _{Ma}	52.23	-42.42	13.6	44.55	162
V _{Ma}	30.57	1.41	-46.47	46.49	272

Daten für Maximalfarbe (Ma):

LAB^*LAB^*Ma : 55 -51 61

LAB^*LCH^*Ma : 55 79 129

lab^*olv^*Ma : 0.25 1.0 0.0

lab^*rgb^*Ma : 0.46 1.0 0.0

Dreiecks-Helligkeit i^*

%Umfang

$u^*_{rel} = 109$

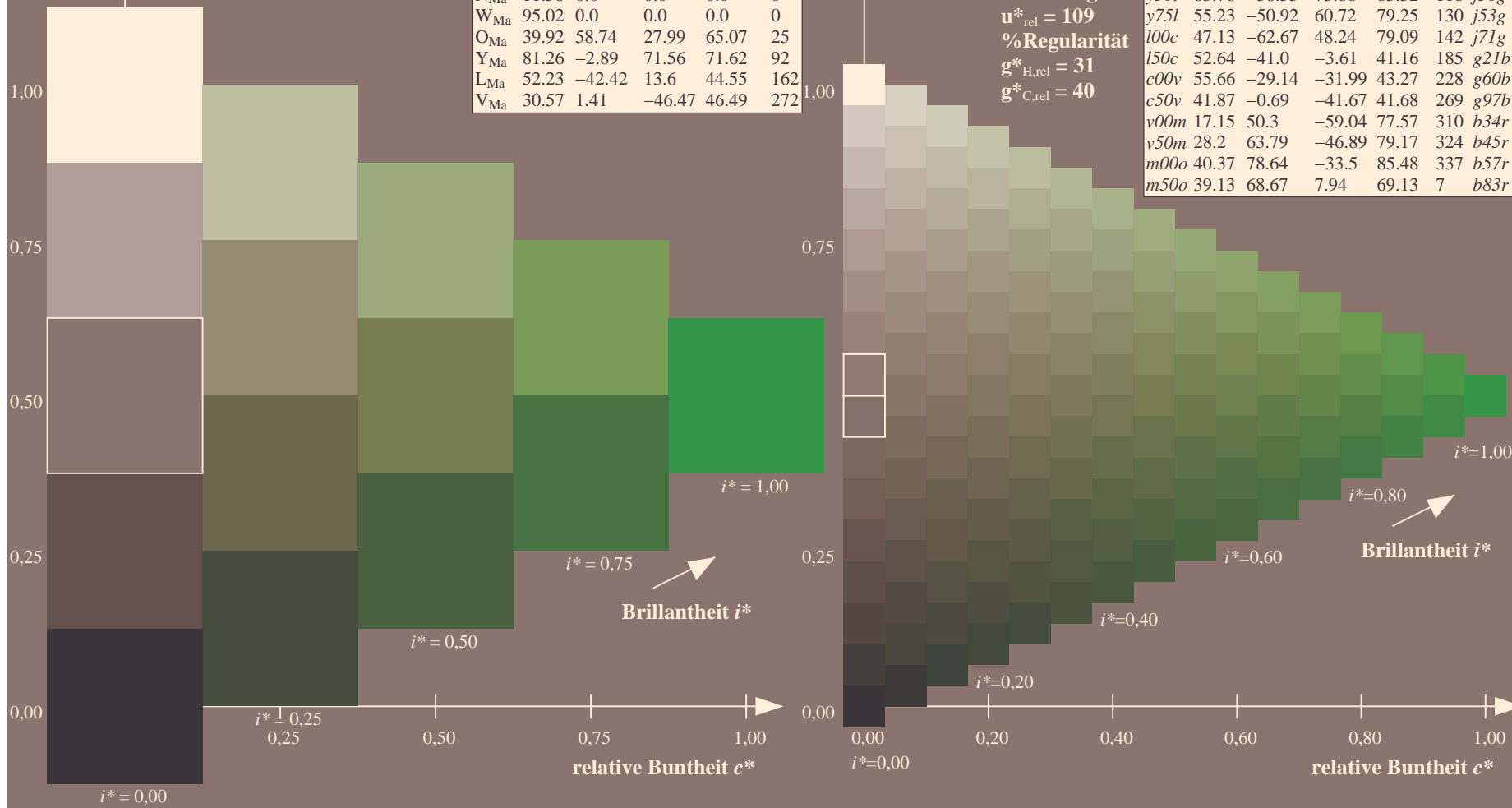
%Regularität

$g^*_{H,rel} = 31$

$g^*_{C,rel} = 40$

FRS12_95a; adaptierte CIELAB-Daten

u^*_d	$L^*=L^*_a$	a^*_a	b^*_a	$C^*_{ab,a}$	$h^*_{ab,a}$	u^*_e
o00y	38.06	60.0	44.0	74.4	36	r16j
o25y	47.68	47.13	56.9	73.88	50	r37j
o50y	57.77	33.62	70.44	78.05	64	r58j
o75y	69.84	17.48	86.62	88.37	79	r79j
y00l	86.77	-5.17	109.32	109.44	93	j01g
y25l	73.71	-24.12	89.19	92.39	105	j18g
y50l	63.76	-38.55	73.86	83.32	118	j36g
y75l	55.23	-50.92	60.72	79.25	130	j53g
l00c	47.13	-62.67	48.24	79.09	142	j71g
l50c	52.64	-41.0	-3.61	41.16	185	g21b
c00v	55.66	-29.14	-31.99	43.27	228	g60b
c50v	41.87	-0.69	-41.67	41.68	269	g97b
v00m	17.15	50.3	-59.04	77.57	310	b34r
v50m	28.2	63.79	-46.89	79.17	324	b45r
m00o	40.37	78.64	-33.5	85.48	337	b57r
m50o	39.13	68.67	7.94	69.13	7	b83r



Ein und Ausgabe: Farbmetrisches Drucker-Reflektiv-System FRS12_95a, L*=12_95 für relativen CIELAB-Buntton $h^* = lab^*h^* = h_{ab}/360 = 0.396$ $u^*_d = 100c$

Daten für jede Farbe:

lab^*ch^* und lab^*icu^*

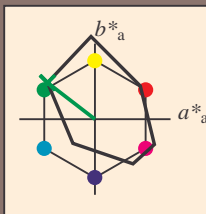
Bunttontexte:

$u^*_d = 100c$ $u^*_e = j71g$

Kontrastreduzierungsfaktor:

$c_R = 1.0$

Dreiecks-Helligkeit i^*



FRS12_95a; adaptierte CIELAB-Daten

u^*_d	$L^*=L^*_a$	a^*_a	b^*_a	$C^*_{ab,a}$	$h^*_{ab,a}$
O _{Ma}	38.06	60.0	44.0	74.4	36
Y _{Ma}	86.77	-5.17	109.32	109.44	93
L _{Ma}	47.13	-62.67	48.24	79.09	142
C _{Ma}	55.66	-29.14	-31.99	43.27	228
V _{Ma}	17.15	50.3	-59.04	77.57	310
M _{Ma}	40.37	78.64	-33.5	85.48	337
N _{Ma}	11.58	0.0	0.0	0.0	0
W _{Ma}	95.02	0.0	0.0	0.0	0
O _{Ma}	39.92	58.74	27.99	65.07	25
Y _{Ma}	81.26	-2.89	71.56	71.62	92
L _{Ma}	52.23	-42.42	13.6	44.55	162
V _{Ma}	30.57	1.41	-46.47	46.49	272

Daten für Maximalfarbe (Ma):

LAB^*LAB^*Ma : 47 -63 48

LAB^*LCH^*Ma : 47 79 142

lab^*olv^*Ma : 0.0 1.0 0.0

lab^*rgb^*Ma : 0.28 1.0 0.0

Dreiecks-Helligkeit i^*

%Umfang

$u^*_{rel} = 109$

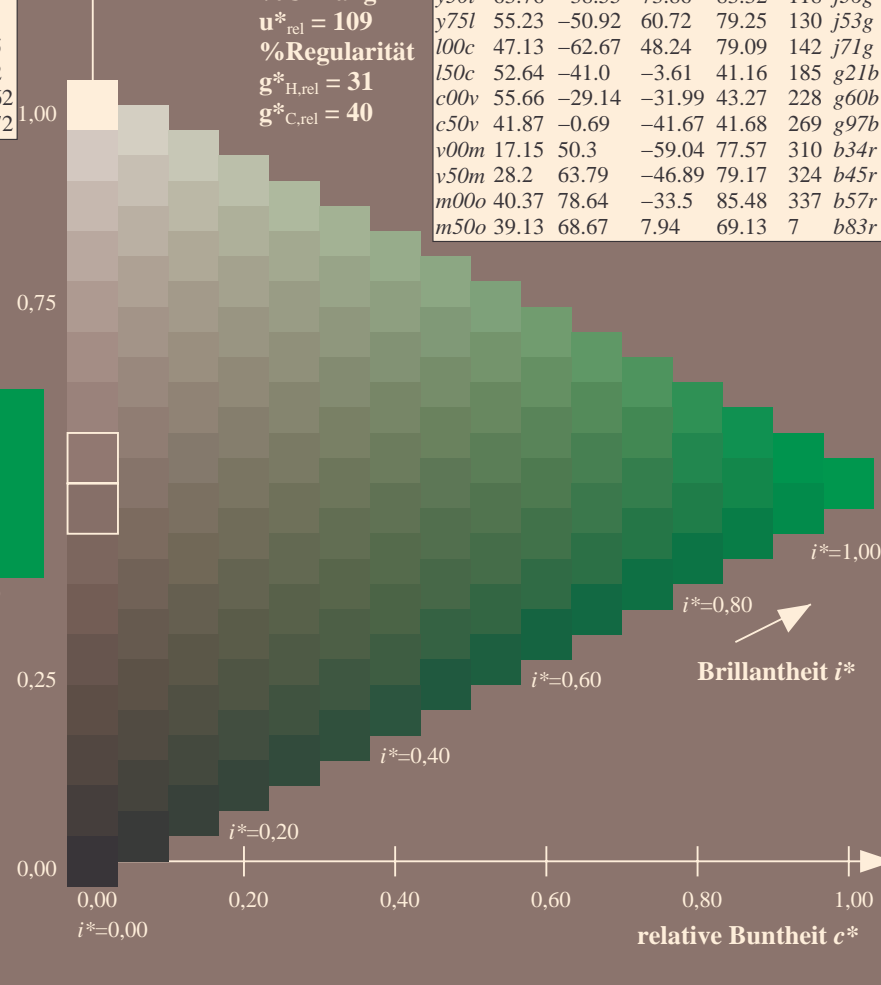
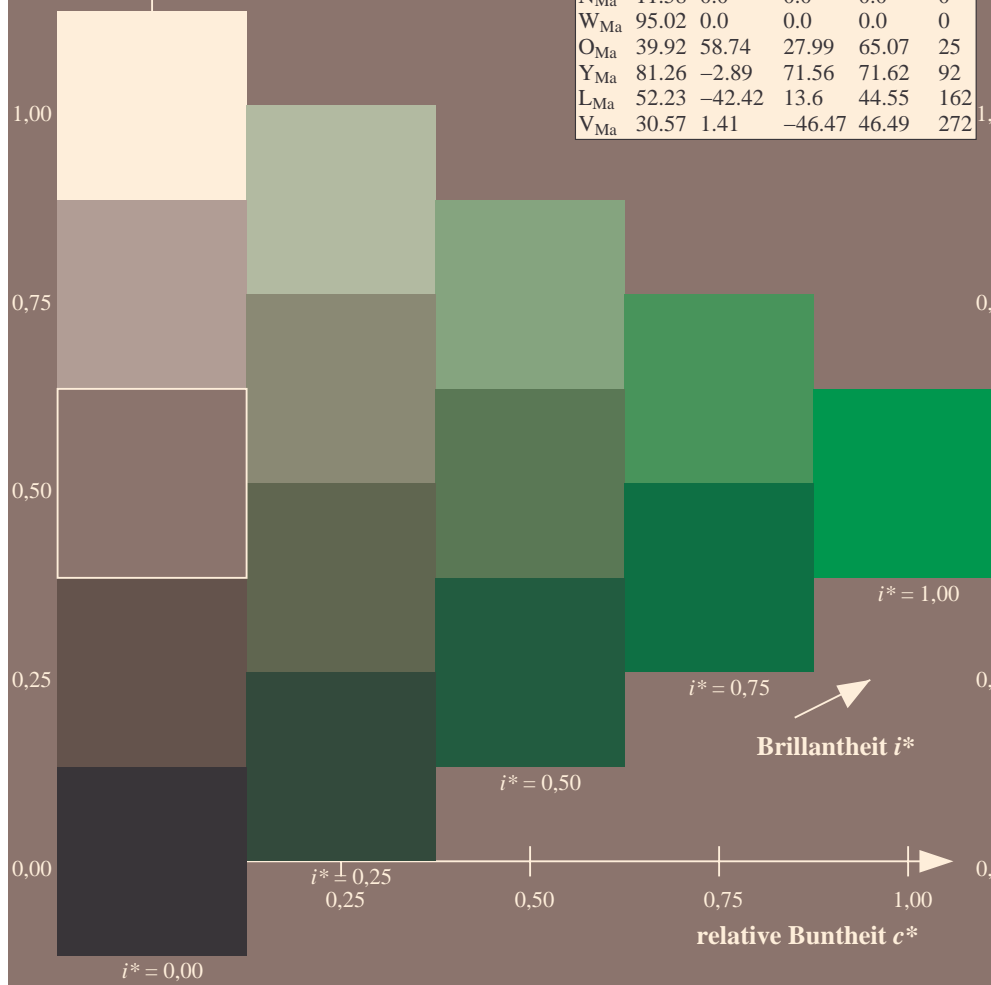
%Regularität

$g^*_{H,rel} = 31$

$g^*_{C,rel} = 40$

FRS12_95a; adaptierte CIELAB-Daten

u^*_d	$L^*=L^*_a$	a^*_a	b^*_a	$C^*_{ab,a}$	$h^*_{ab,a}$	u^*_e
o00y	38.06	60.0	44.0	74.4	36	r16j
o25y	47.68	47.13	56.9	73.88	50	r37j
o50y	57.77	33.62	70.44	78.05	64	r58j
o75y	69.84	17.48	86.62	88.37	79	r79j
y00l	86.77	-5.17	109.32	109.44	93	j01g
y25l	73.71	-24.12	89.19	92.39	105	j18g
y50l	63.76	-38.55	73.86	83.32	118	j36g
y75l	55.23	-50.92	60.72	79.25	130	j53g
l00c	47.13	-62.67	48.24	79.09	142	j71g
l50c	52.64	-41.0	-3.61	41.16	185	g21b
c00v	55.66	-29.14	-31.99	43.27	228	g60b
c50v	41.87	-0.69	-41.67	41.68	269	g97b
v00m	17.15	50.3	-59.04	77.57	310	b34r
v50m	28.2	63.79	-46.89	79.17	324	b45r
m00o	40.37	78.64	-33.5	85.48	337	b57r
m50o	39.13	68.67	7.94	69.13	7	b83r



Ein und Ausgabe: Farbmatisches Drucker-Reflektiv-System FRS12_95a, L*=12_95 für relativen CIELAB-Buntton $h^* = lab^*h^* = h_{ab}/360 = 0.514$ $u^*_d = l50c$

Daten für jede Farbe:

lab^*ch^* und lab^*icu^*

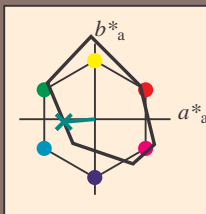
Bunttontexte:

$u^*_d = l50c$ $u^*_e = g21b$

Kontrastreduzierungsfaktor:

$c_R = 1.0$

Dreiecks-Helligkeit i^*



FRS12_95a; adaptierte CIELAB-Daten

	u^*_d	$L^*=L^*_a$	a^*_a	b^*_a	$C^*_{ab,a}$	$h^*_{ab,a}$
OMa	38.06	60.0	44.0	74.4	36	
YMa	86.77	-5.17	109.32	109.44	93	
LMa	47.13	-62.67	48.24	79.09	142	
CMa	55.66	-29.14	-31.99	43.27	228	
VMa	17.15	50.3	-59.04	77.57	310	
MMa	40.37	78.64	-33.5	85.48	337	
NMa	11.58	0.0	0.0	0.0	0	
WMa	95.02	0.0	0.0	0.0	0	
OMa	39.92	58.74	27.99	65.07	25	
YMa	81.26	-2.89	71.56	71.62	92	
LMa	52.23	-42.42	13.6	44.55	162	
VMa	30.57	1.41	-46.47	46.49	272	

Daten für Maximalfarbe (Ma):

LAB^*LAB^*Ma : 53 -41 -4

LAB^*LCH^*Ma : 53 41 185

lab^*olv^*Ma : 0.0 1.0 0.5

lab^*rgb^*Ma : 0.0 1.0 0.42

Dreiecks-Helligkeit i^*

%Umfang

$u^*_{rel} = 109$

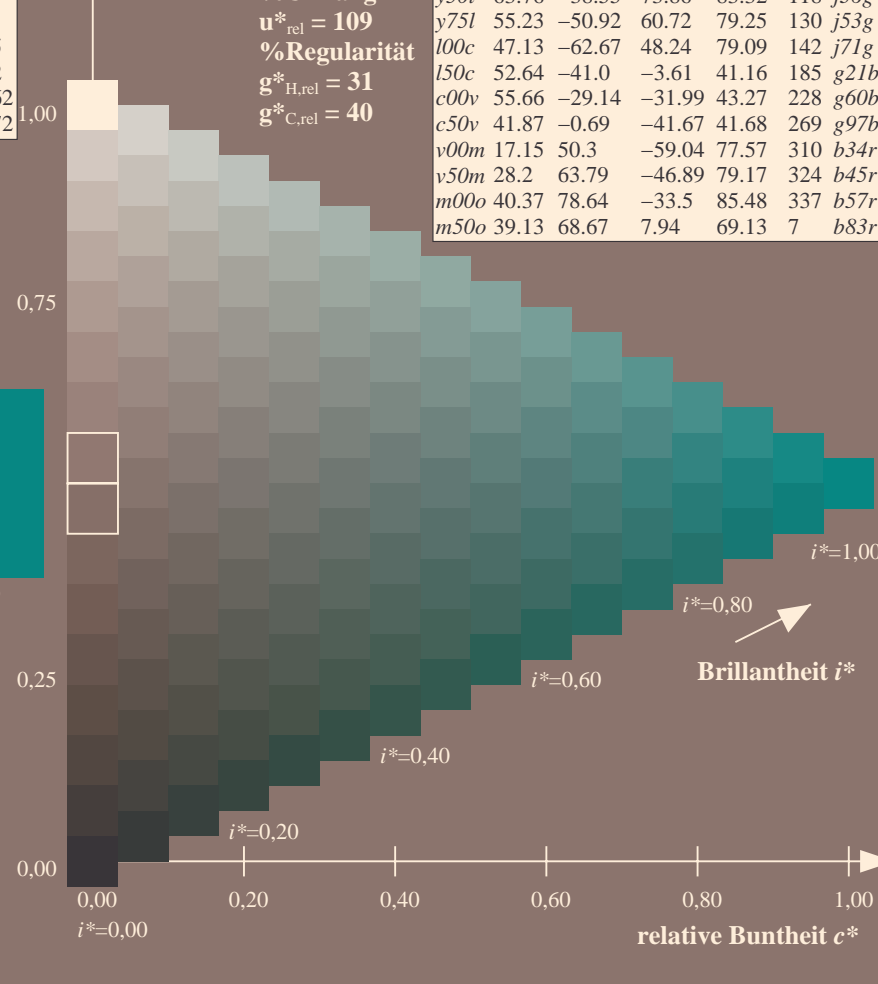
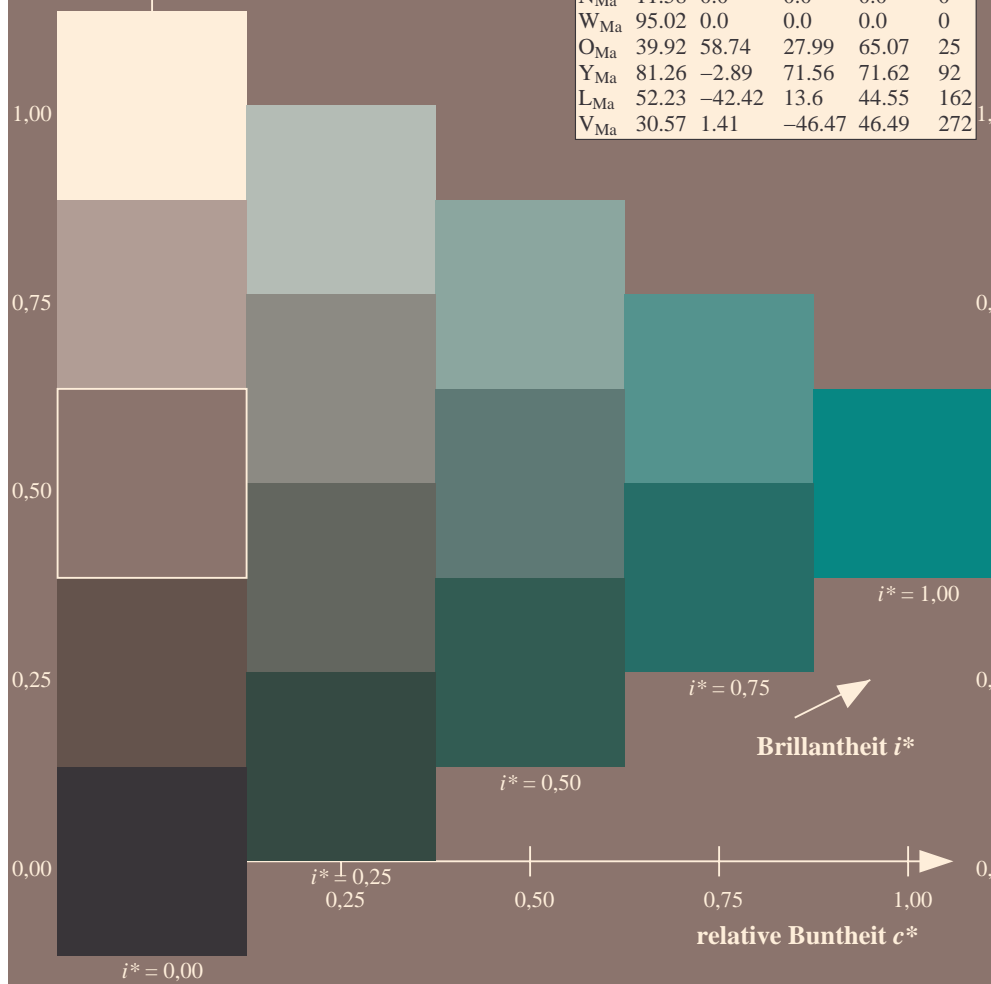
%Regularität

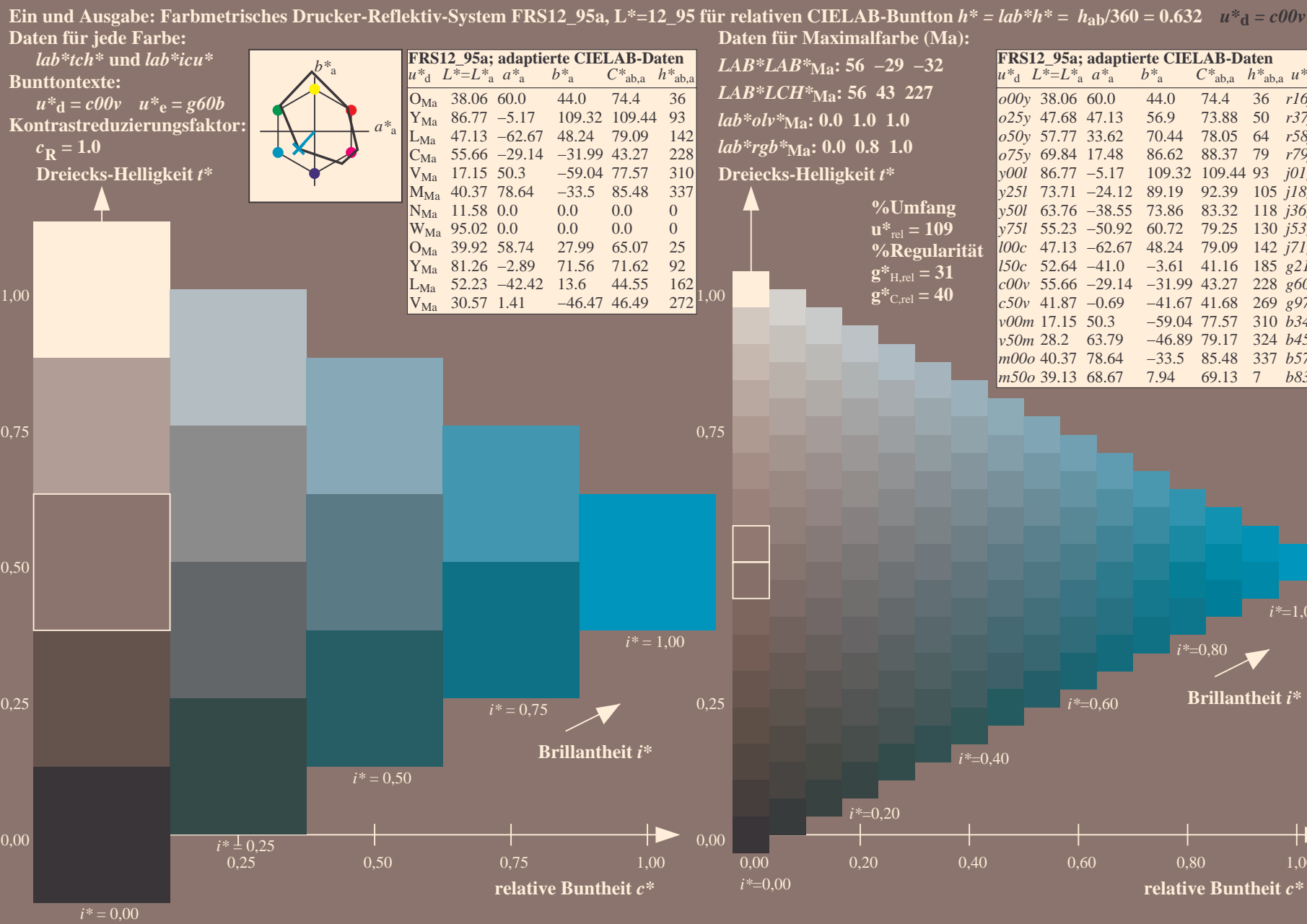
$g^*_{H,rel} = 31$

$g^*_{C,rel} = 40$

FRS12_95a; adaptierte CIELAB-Daten

	u^*_d	$L^*=L^*_a$	a^*_a	b^*_a	$C^*_{ab,a}$	$h^*_{ab,a}$	u^*_e
o00y	38.06	60.0	44.0	74.4	36		r16j
o25y	47.68	47.13	56.9	73.88	50		r37j
o50y	57.77	33.62	70.44	78.05	64		r58j
o75y	69.84	17.48	86.62	88.37	79		r79j
y00l	86.77	-5.17	109.32	109.44	93		j01g
y25l	73.71	-24.12	89.19	92.39	105		j18g
y50l	63.76	-38.55	73.86	83.32	118		j36g
y75l	55.23	-50.92	60.72	79.25	130		j53g
l00c	47.13	-62.67	48.24	79.09	142		j71g
l50c	52.64	-41.0	-3.61	41.16	185		g21b
c00v	55.66	-29.14	-31.99	43.27	228		g60b
c50v	41.87	-0.69	-41.67	41.68	269		g97b
v00m	17.15	50.3	-59.04	77.57	310		b34r
v50m	28.2	63.79	-46.89	79.17	324		b45r
m00o	40.37	78.64	-33.5	85.48	337		b57r
m50o	39.13	68.67	7.94	69.13	7		b83r





Ein und Ausgabe: Farbmatisches Drucker-Reflektiv-System FRS12_95a, L*=12_95 für relativen CIELAB-Buntton $h^* = lab^*h^* = h_{ab}/360 = 0.747$ $u^*_d = c50v$

Daten für jede Farbe:

lab^*ch^* und lab^*icu^*

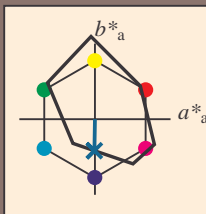
Bunttontexte:

$u^*_d = c50v$ $u^*_e = g97b$

Kontrastreduzierungsfaktor:

$c_R = 1.0$

Dreiecks-Helligkeit i^*



FRS12_95a; adaptierte CIELAB-Daten

	u^*_d	$L^*=L^*_a$	a^*_a	b^*_a	$C^*_{ab,a}$	$h^*_{ab,a}$
OMa	38.06	60.0	44.0	74.4	36	
YMa	86.77	-5.17	109.32	109.44	93	
LMa	47.13	-62.67	48.24	79.09	142	
CMa	55.66	-29.14	-31.99	43.27	228	
VMa	17.15	50.3	-59.04	77.57	310	
MMa	40.37	78.64	-33.5	85.48	337	
NMa	11.58	0.0	0.0	0.0	0	
WMa	95.02	0.0	0.0	0.0	0	
OMa	39.92	58.74	27.99	65.07	25	
YMa	81.26	-2.89	71.56	71.62	92	
LMa	52.23	-42.42	13.6	44.55	162	
VMa	30.57	1.41	-46.47	46.49	272	

Daten für Maximalfarbe (Ma):

LAB^*LAB^*Ma : 42 -1 -42

LAB^*LCH^*Ma : 42 42 269

lab^*olv^*Ma : 0.0 0.5 1.0

lab^*rgb^*Ma : 0.0 0.05 1.0

Dreiecks-Helligkeit i^*

%Umfang

$u^*_{rel} = 109$

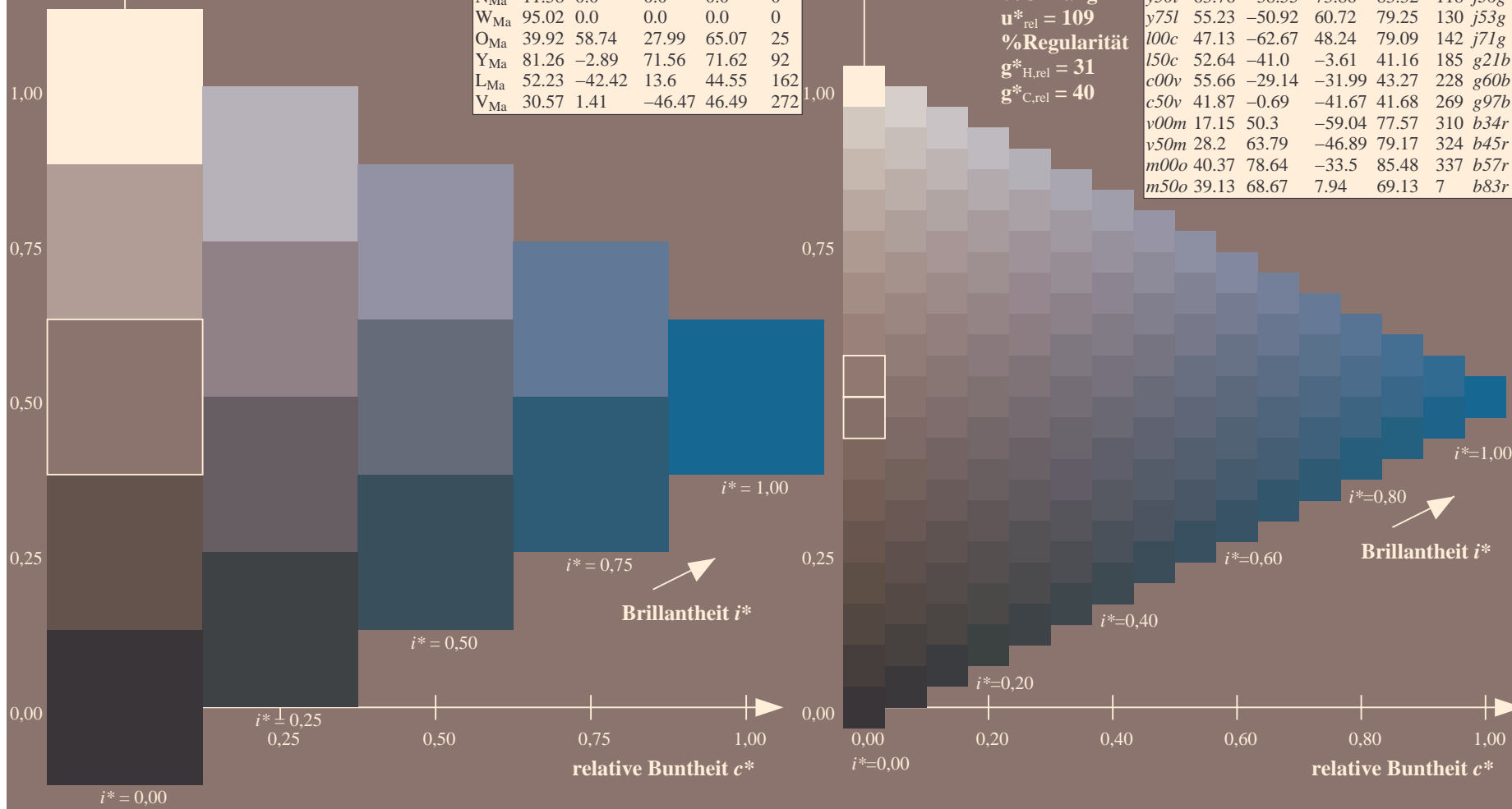
%Regularität

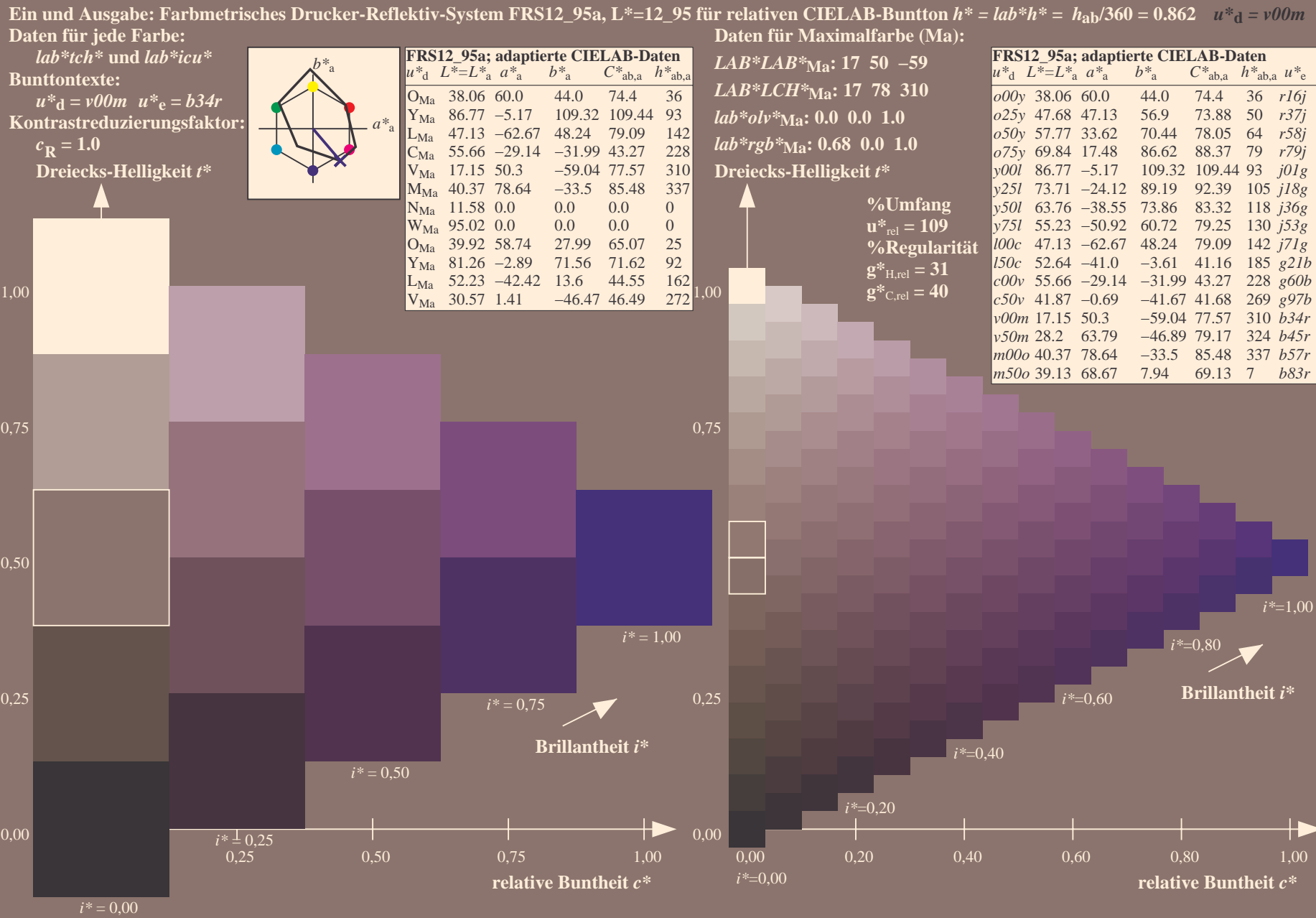
$g^*_{H,rel} = 31$

$g^*_{C,rel} = 40$

FRS12_95a; adaptierte CIELAB-Daten

	u^*_d	$L^*=L^*_a$	a^*_a	b^*_a	$C^*_{ab,a}$	$h^*_{ab,a}$	u^*_e
o00y	38.06	60.0	44.0	74.4	36		r16j
o25y	47.68	47.13	56.9	73.88	50		r37j
o50y	57.77	33.62	70.44	78.05	64		r58j
o75y	69.84	17.48	86.62	88.37	79		r79j
y00l	86.77	-5.17	109.32	109.44	93		j01g
y25l	73.71	-24.12	89.19	92.39	105		j18g
y50l	63.76	-38.55	73.86	83.32	118		j36g
y75l	55.23	-50.92	60.72	79.25	130		j53g
l00c	47.13	-62.67	48.24	79.09	142		j71g
l50c	52.64	-41.0	-3.61	41.16	185		g21b
c00v	55.66	-29.14	-31.99	43.27	228		g60b
c50v	41.87	-0.69	-41.67	41.68	269		g97b
v00m	17.15	50.3	-59.04	77.57	310		b34r
v50m	28.2	63.79	-46.89	79.17	324		b45r
m00o	40.37	78.64	-33.5	85.48	337		b57r
m50o	39.13	68.67	7.94	69.13	7		b83r





Ein und Ausgabe: Farbmatisches Drucker-Reflektiv-System FRS12_95a, L*=12_95 für relativen CIELAB-Buntton $h^* = lab^*h^* = h_{ab}/360 = 0.899$ $u^*_d = v50m$

Daten für jede Farbe:

lab^*ch^* und lab^*icu^*

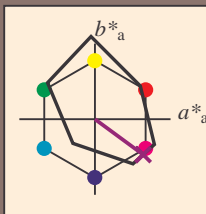
Bunttontexte:

$u^*_d = v50m$ $u^*_e = b45r$

Kontrastreduzierungsfaktor:

$c_R = 1.0$

Dreiecks-Helligkeit i^*



FRS12_95a; adaptierte CIELAB-Daten

u^*_d	$L^*=L^*_a$	a^*_a	b^*_a	$C^*_{ab,a}$	$h^*_{ab,a}$
O _{Ma}	38.06	60.0	44.0	74.4	36
Y _{Ma}	86.77	-5.17	109.32	109.44	93
L _{Ma}	47.13	-62.67	48.24	79.09	142
C _{Ma}	55.66	-29.14	-31.99	43.27	228
V _{Ma}	17.15	50.3	-59.04	77.57	310
M _{Ma}	40.37	78.64	-33.5	85.48	337
N _{Ma}	11.58	0.0	0.0	0.0	0
W _{Ma}	95.02	0.0	0.0	0.0	0
O _{Ma}	39.92	58.74	27.99	65.07	25
Y _{Ma}	81.26	-2.89	71.56	71.62	92
L _{Ma}	52.23	-42.42	13.6	44.55	162
V _{Ma}	30.57	1.41	-46.47	46.49	272

Daten für Maximalfarbe (Ma):

LAB^*LAB^*Ma : 28 64 -47

LAB^*LCH^*Ma : 28 79 323

lab^*olv^*Ma : 0.5 0.0 1.0

lab^*rgb^*Ma : 0.91 0.0 1.0

Dreiecks-Helligkeit i^*

%Umfang

$u^*_{rel} = 109$

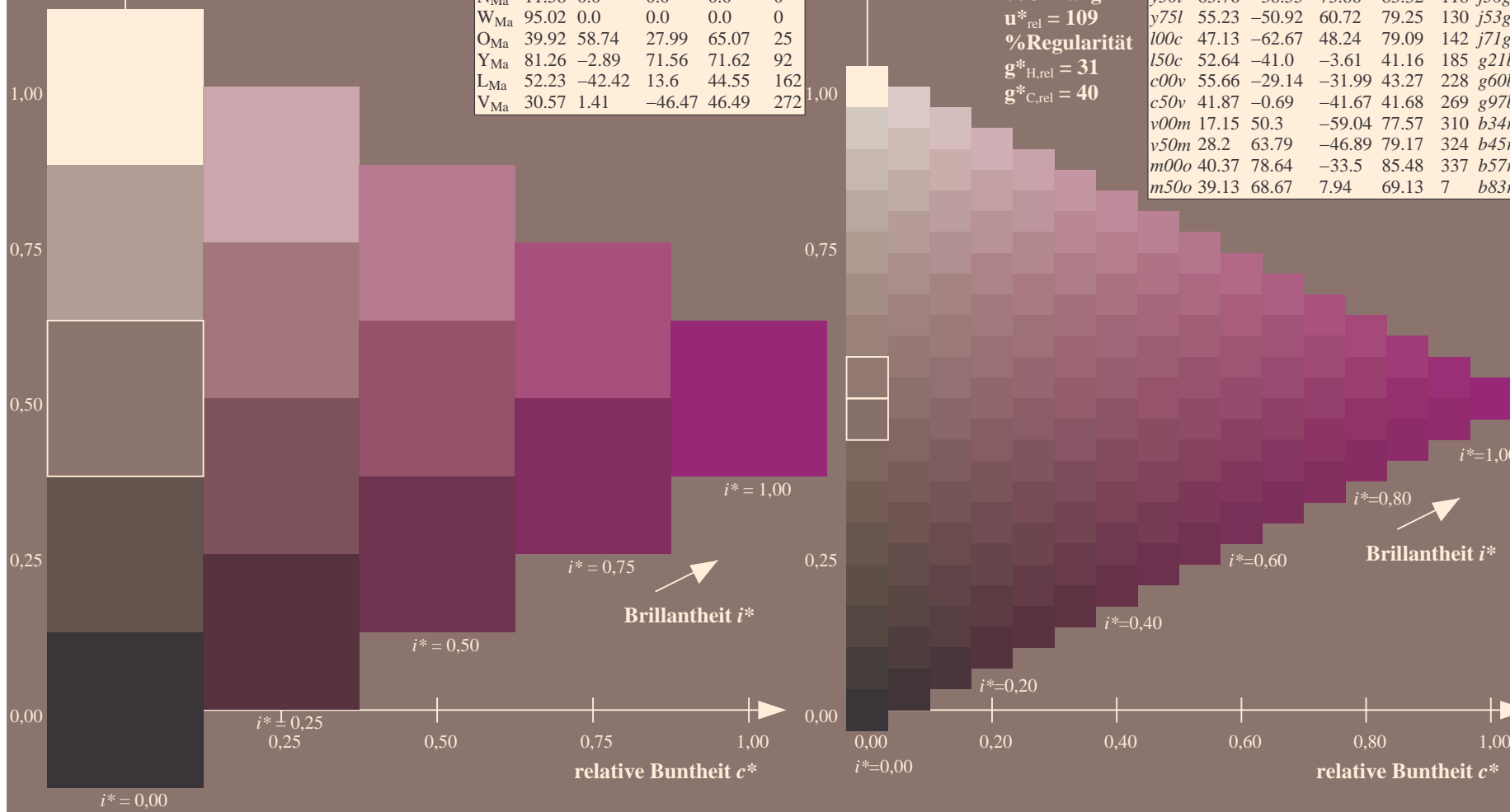
%Regularität

$g^*_{H,rel} = 31$

$g^*_{C,rel} = 40$

FRS12_95a; adaptierte CIELAB-Daten

u^*_d	$L^*=L^*_a$	a^*_a	b^*_a	$C^*_{ab,a}$	$h^*_{ab,a}$	u^*_e
o00y	38.06	60.0	44.0	74.4	36	r16j
o25y	47.68	47.13	56.9	73.88	50	r37j
o50y	57.77	33.62	70.44	78.05	64	r58j
o75y	69.84	17.48	86.62	88.37	79	r79j
y00l	86.77	-5.17	109.32	109.44	93	j01g
y25l	73.71	-24.12	89.19	92.39	105	j18g
y50l	63.76	-38.55	73.86	83.32	118	j36g
y75l	55.23	-50.92	60.72	79.25	130	j53g
l00c	47.13	-62.67	48.24	79.09	142	j71g
l50c	52.64	-41.0	-3.61	41.16	185	g21b
c00v	55.66	-29.14	-31.99	43.27	228	g60b
c50v	41.87	-0.69	-41.67	41.68	269	g97b
v00m	17.15	50.3	-59.04	77.57	310	b34r
v50m	28.2	63.79	-46.89	79.17	324	b45r
m00o	40.37	78.64	-33.5	85.48	337	b57r
m50o	39.13	68.67	7.94	69.13	7	b83r



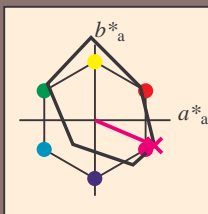
Daten für jede Farbe:

intertexte:

$$u^*_d = m00o \quad u^*_e = b57r$$
 $c_D = 1.0$

K Dreiecke

Dreiecks-Helligkeit t^*



FRS12_95a; adaptierte CIELAB-Daten						
u^*_d	$L^*=L^*_a$	a^*_a	b^*_a	$C^*_{ab,a}$	$h^*_{ab,a}$	
O _{Ma}	38.06	60.0	44.0	74.4	36	
Y _{Ma}	86.77	-5.17	109.32	109.44	93	
L _{Ma}	47.13	-62.67	48.24	79.09	142	
C _{Ma}	55.66	-29.14	-31.99	43.27	228	
V _{Ma}	17.15	50.3	-59.04	77.57	310	
M _{Ma}	40.37	78.64	-33.5	85.48	337	
N _{Ma}	11.58	0.0	0.0	0.0	0	
W _{Ma}	95.02	0.0	0.0	0.0	0	
O _{Ma}	39.92	58.74	27.99	65.07	25	
Y _{Ma}	81.26	-2.89	71.56	71.62	92	
L _{Ma}	52.23	-42.42	13.6	44.55	162	
V _{Ma}	30.57	1.41	-46.47	46.49	272	

*LAB*LAB**_M: 40 79 -34

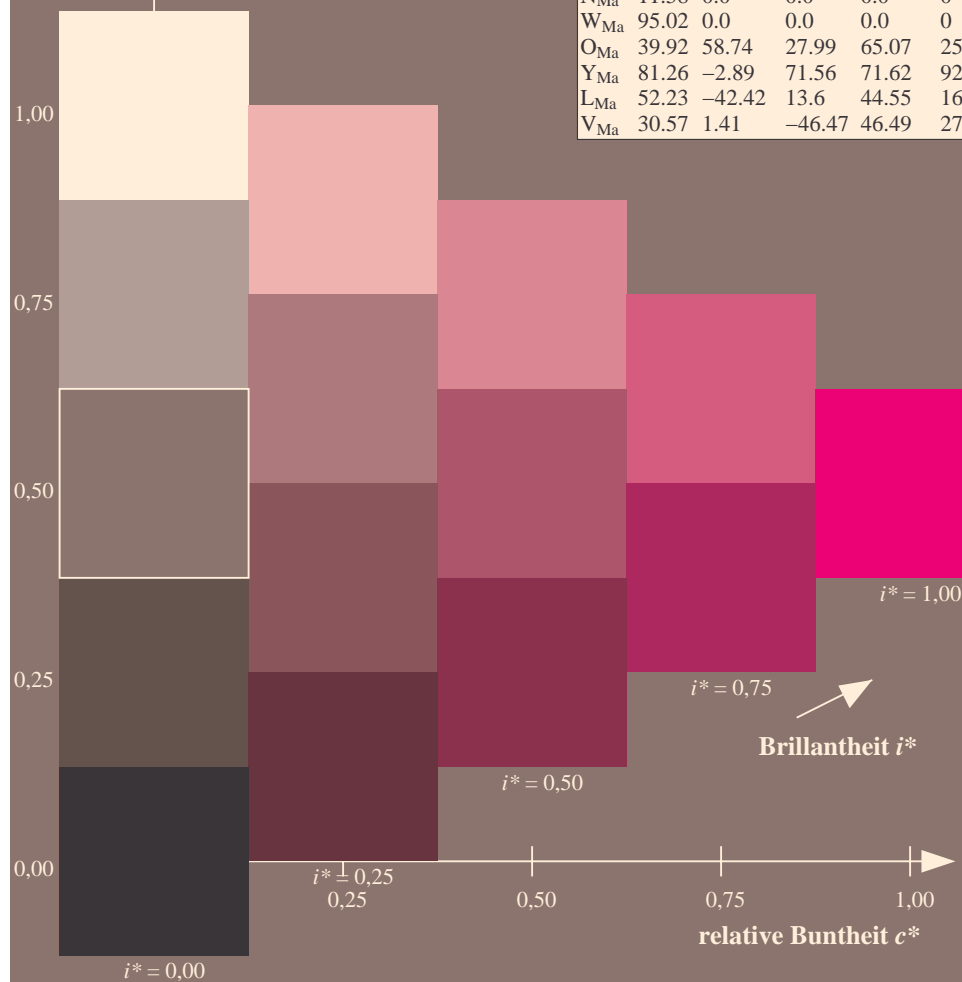
LAD*LCII* 40 85 226

LAB*LCH*Ma: 40 85 3

*lab*olv**Ma: 1.0 0.0 1.0

*lab*rgb**_{Ma}: 1.0 0.0 0.85

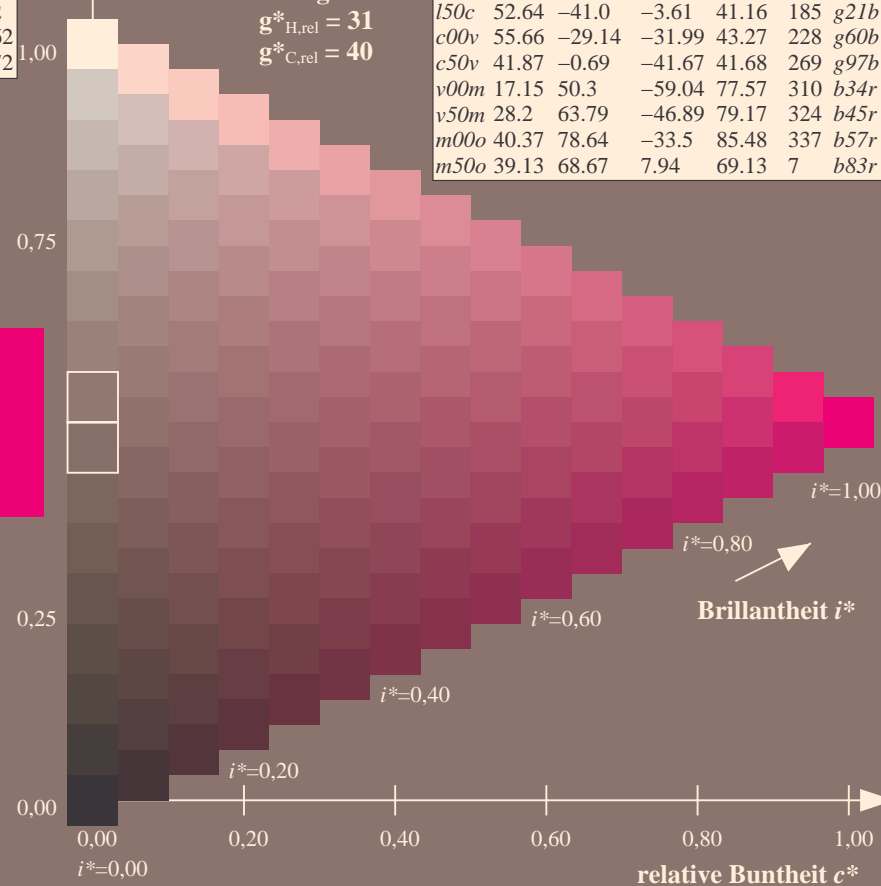
Dreiecks-Helligkeit t^*



%Umfang

$$u^*_{rel} = 109$$

%Regularität

$$g^*_{H_{rel}} = 31$$
$$g^*_{C,rel} = 40$$


Brillantheit *i**

Ein und Ausgabe: Farbmatisches Drucker-Reflektiv-System FRS12_95a, L*=12_95 für relativen CIELAB-Buntton $h^* = lab^*h^* = h_{ab}/360 = 0.018$ $u^*_d = m50o$

Daten für jede Farbe:

lab^*ch^* und lab^*icu^*

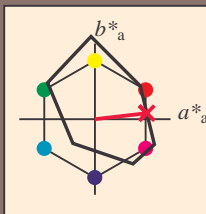
Bunttontexte:

$u^*_d = m50o$ $u^*_e = b83r$

Kontrastreduzierungsfaktor:

$c_R = 1.0$

Dreiecks-Helligkeit i^*



FRS12_95a; adaptierte CIELAB-Daten

u^*_d	$L^*=L^*_a$	a^*_a	b^*_a	$C^*_{ab,a}$	$h^*_{ab,a}$
O _{Ma}	38.06	60.0	44.0	74.4	36
Y _{Ma}	86.77	-5.17	109.32	109.44	93
L _{Ma}	47.13	-62.67	48.24	79.09	142
C _{Ma}	55.66	-29.14	-31.99	43.27	228
V _{Ma}	17.15	50.3	-59.04	77.57	310
M _{Ma}	40.37	78.64	-33.5	85.48	337
N _{Ma}	11.58	0.0	0.0	0.0	0
W _{Ma}	95.02	0.0	0.0	0.0	0
O _{Ma}	39.92	58.74	27.99	65.07	25
Y _{Ma}	81.26	-2.89	71.56	71.62	92
L _{Ma}	52.23	-42.42	13.6	44.55	162
V _{Ma}	30.57	1.41	-46.47	46.49	272

Daten für Maximalfarbe (Ma):

LAB^*LAB^*Ma : 39 69 8

LAB^*LCH^*Ma : 39 69 6

lab^*olv^*Ma : 1.0 0.0 0.5

lab^*rgb^*Ma : 1.0 0.0 0.33

Dreiecks-Helligkeit i^*

%Umfang

$u^*_{rel} = 109$

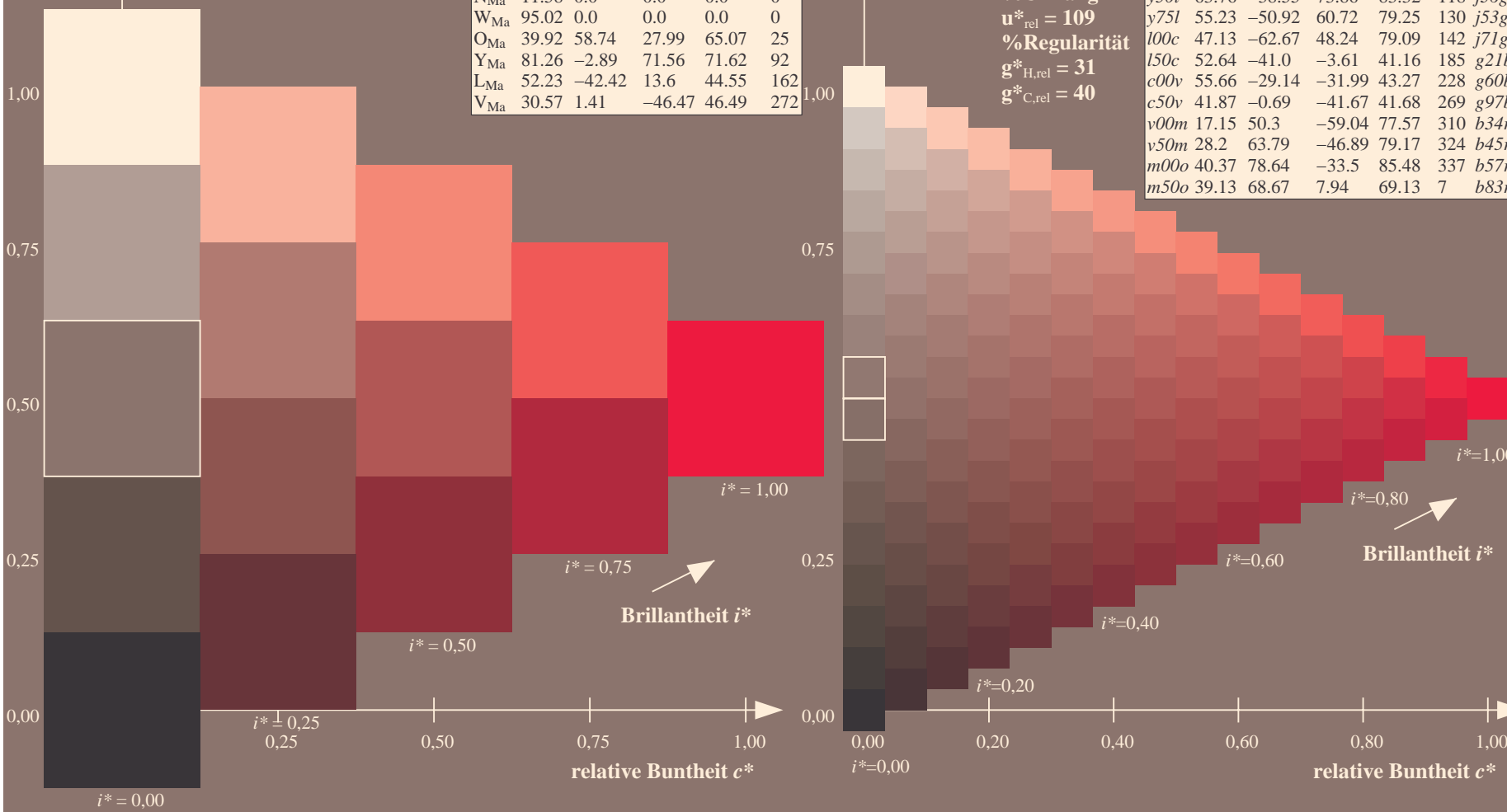
%Regularität

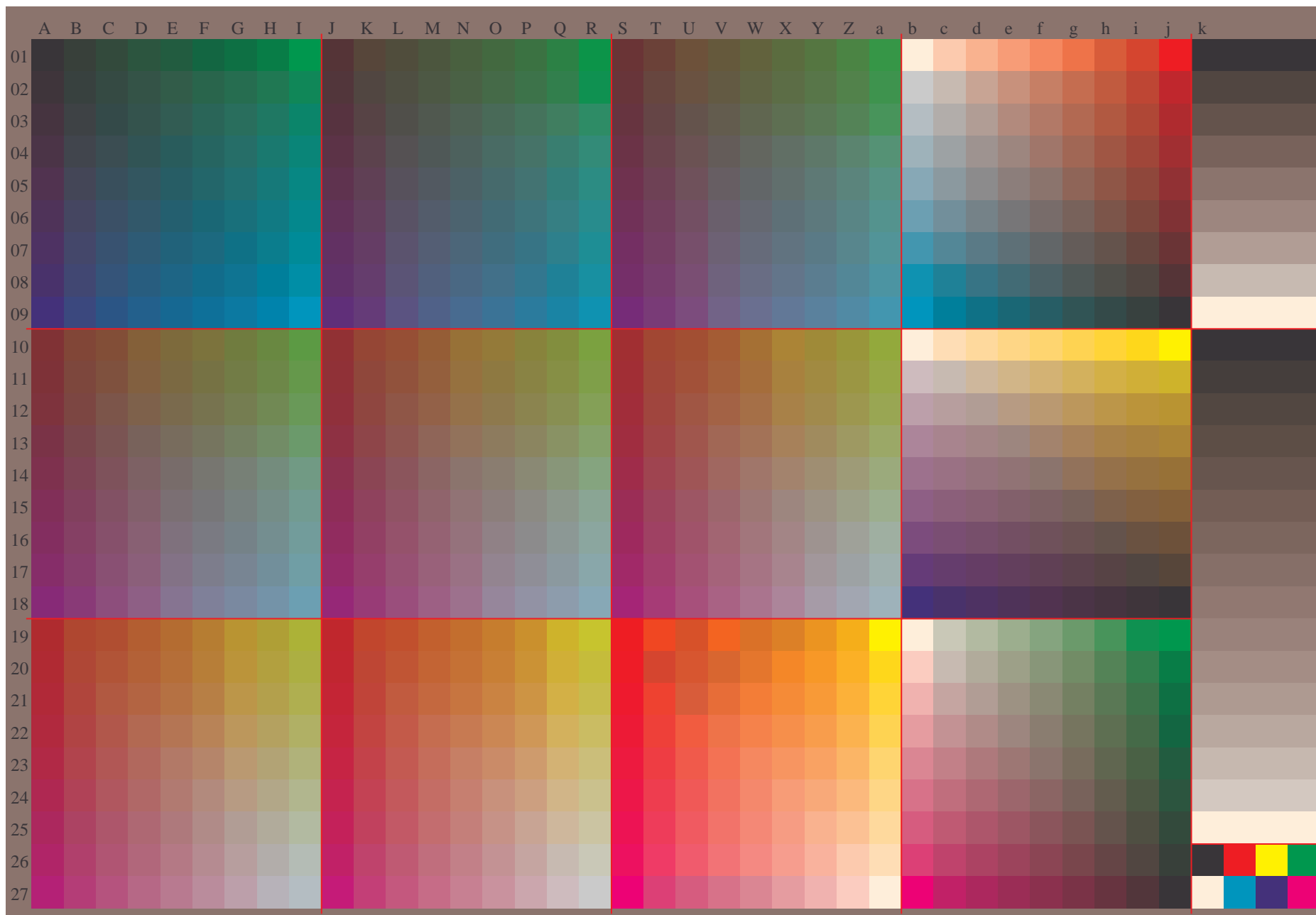
$g^*_{H,rel} = 31$

$g^*_{C,rel} = 40$

FRS12_95a; adaptierte CIELAB-Daten

u^*_d	$L^*=L^*_a$	a^*_a	b^*_a	$C^*_{ab,a}$	$h^*_{ab,a}$	u^*_e
o00y	38.06	60.0	44.0	74.4	36	r16j
o25y	47.68	47.13	56.9	73.88	50	r37j
o50y	57.77	33.62	70.44	78.05	64	r58j
o75y	69.84	17.48	86.62	88.37	79	r79j
y00l	86.77	-5.17	109.32	109.44	93	j01g
y25l	73.71	-24.12	89.19	92.39	105	j18g
y50l	63.76	-38.55	73.86	83.32	118	j36g
y75l	55.23	-50.92	60.72	79.25	130	j53g
l00c	47.13	-62.67	48.24	79.09	142	j71g
l50c	52.64	-41.0	-3.61	41.16	185	g21b
c00v	55.66	-29.14	-31.99	43.27	228	g60b
c50v	41.87	-0.69	-41.67	41.68	269	g97b
v00m	17.15	50.3	-59.04	77.57	310	b34r
v50m	28.2	63.79	-46.89	79.17	324	b45r
m00o	40.37	78.64	-33.5	85.48	337	b57r
m50o	39.13	68.67	7.94	69.13	7	b83r





Siehe ähnliche Dateien: <http://www.ps.bam.de/Fg62/>; www.ps.bam.de/Fg62g00FP.PDF/.PS
Technische Information: [http://www.ps.bam.de/Version 2.1, io=1,1, CIELAB, ColSpx=0](http://www.ps.bam.de/Version%202.1,%20io%3D1,1,CIELAB,ColSpx%3D0)

Ein und Ausgabe:
Farbmetrisches Drucker-Reflektiv-System FRS12_95a
Daten für jede Farbe:

u^*_d und Nummer Nr. = 00 .. 15

Geräte-Bunttontext:

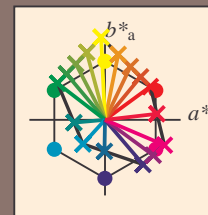
u^*_d = 16 Bunttoene o00y, o25y, ..., m50o

Kontrastreduzierungsfaktor:

$c_R = 1.0$

FRS12_95a; adaptierte CIELAB-Daten

u^*_d	$L^*=L^*_a$	a^*_a	b^*_a	$C^*_{ab,a}$	$h^*_{ab,a}$	u^*_e
o00y	38.06	60.0	44.0	74.4	36	r16j
o25y	47.68	47.13	56.9	73.88	50	r37j
o50y	57.77	33.62	70.44	78.05	64	r58j
o75y	69.84	17.48	86.62	88.37	79	r79j
y00l	86.77	-5.17	109.32	109.44	93	j01g
y25l	73.71	-24.12	89.19	92.39	105	j18g
y50l	63.76	-38.55	73.86	83.32	118	j36g
y75l	55.23	-50.92	60.72	79.25	130	j53g
l00c	47.13	-62.67	48.24	79.09	142	j71g
l50c	52.64	-41.0	-3.61	41.16	185	g21b
c00v	55.66	-29.14	-31.99	43.27	228	g60b
c50v	41.87	-0.69	-41.67	41.68	269	g97b
v00m	17.15	50.3	-59.04	77.57	310	b34r
v50m	28.2	63.79	-46.89	79.17	324	b45r
m00o	40.37	78.64	-33.5	85.48	337	b57r
m50o	39.13	68.67	7.94	69.13	7	b83r



%Umfang

$u^*_{rel} = 109$

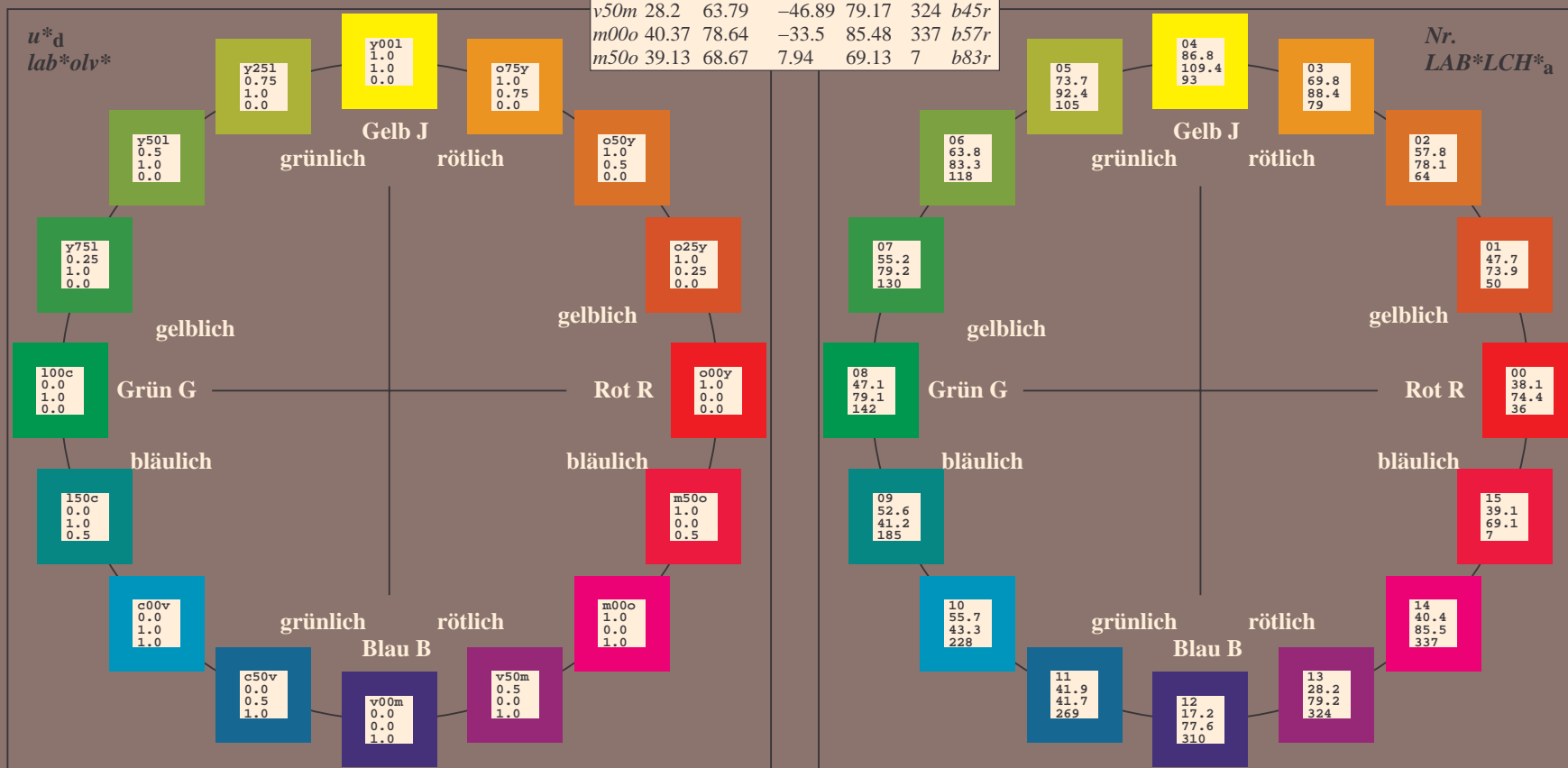
%Regularität

$g^*_{H,rel} = 31$

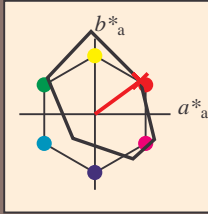
$g^*_{C,rel} = 40$

FRS12_95a; adaptierte CIELAB-Daten

Name	$L^*=L^*_a$	a^*_a	b^*_a	$C^*_{ab,a}$	$h^*_{ab,a}$
O _{Ma}	38.06	60.0	44.0	74.4	36
Y _{Ma}	86.77	-5.17	109.32	109.44	93
L _{Ma}	47.13	-62.67	48.24	79.09	142
C _{Ma}	55.66	-29.14	-31.99	43.27	228
V _{Ma}	17.15	50.3	-59.04	77.57	310
M _{Ma}	40.37	78.64	-33.5	85.48	337
N _{Ma}	11.58	0.0	0.0	0.0	0
W _{Ma}	95.02	0.0	0.0	0.0	0
O _{CIE}	39.92	58.74	27.99	65.07	25
Y _{CIE}	81.26	-2.89	71.56	71.62	92
L _{CIE}	52.23	-42.42	13.6	44.55	162
V _{CIE}	30.57	1.41	-46.47	46.49	272



Ein und Ausgabe: Farbmetrisches Drucker-Reflektiv-System FRS12_95a, L*=12_95 für relativen CIELAB-Buntton $h^* = lab^*h^* = h_{ab}/360 = 0.101$ $u^*_d = o00y$
Daten für jede Farbe:
 lab^*tch^* und lab^*icu^*
Bunttontexte:
 $u^*_d = o00y$ $u^*_e = r16j$
Kontrastreduzierungsfaktor:
 $c_R = 1.0$
Dreiecks-Helligkeit i^*



FRS12_95a; adaptierte CIELAB-Daten						
u^*_d	$L^*=L^*_a$	a^*_a	b^*_a	$C^*_{ab,a}$	$h^*_{ab,a}$	u^*_e
O _{Ma}	38.06	60.0	44.0	74.4	36	$r16j$
Y _{Ma}	86.77	-5.17	109.32	109.44	93	$r37j$
L _{Ma}	47.13	-62.67	48.24	79.09	142	$r58j$
C _{Ma}	55.66	-29.14	-31.99	43.27	228	$r79j$
V _{Ma}	17.15	50.3	-59.04	77.57	310	$j01g$
M _{Ma}	40.37	78.64	-33.5	85.48	337	$j18g$
N _{Ma}	11.58	0.0	0.0	0.0	0	$j36g$
W _{Ma}	95.02	0.0	0.0	0.0	0	$j53g$
O _{Ma}	39.92	58.74	27.99	65.07	25	$j71g$
Y _{Ma}	81.26	-2.89	71.56	71.62	92	$g21b$
L _{Ma}	52.23	-42.42	13.6	44.55	162	$g60b$
V _{Ma}	30.57	1.41	-46.47	46.49	272	$g97b$

Daten für Maximalfarbe (Ma):

$LAB^*LAB^*_{Ma}$: 38 60 44

$LAB^*LCH^*_{Ma}$: 38 74 36

$lab^*olv^*_{Ma}$: 1.0 0.0 0.0

$lab^*rgb^*_{Ma}$: 1.0 0.16 0.0

Dreiecks-Helligkeit i^*

%Umfang

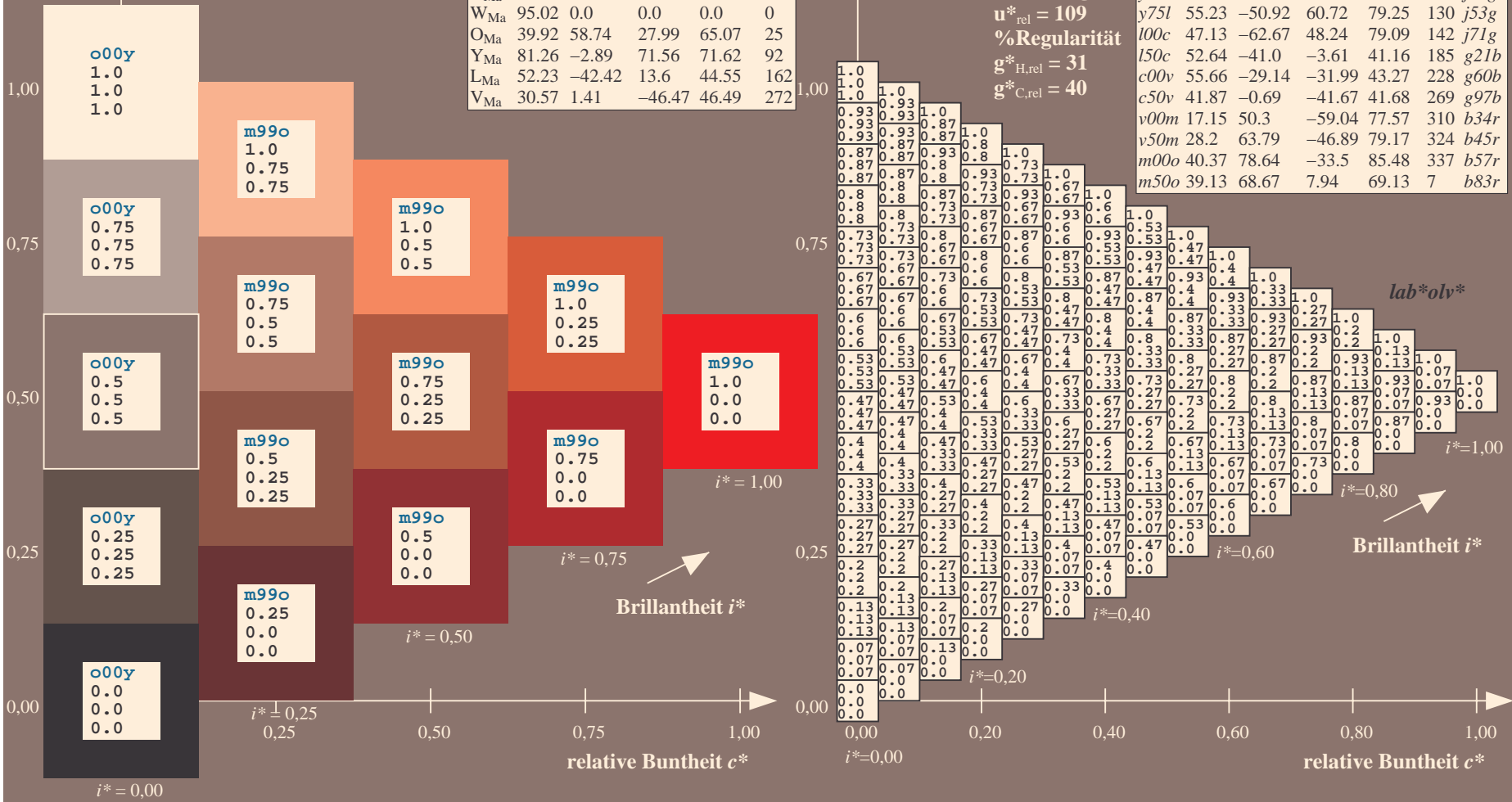
$u^*_{rel} = 109$

%Regularität

$g^*_{H,rel} = 31$

$g^*_{C,rel} = 40$

FRS12_95a; adaptierte CIELAB-Daten						
u^*_d	$L^*=L^*_a$	a^*_a	b^*_a	$C^*_{ab,a}$	$h^*_{ab,a}$	u^*_e
$o00y$	38.06	60.0	44.0	74.4	36	$r16j$
$o25y$	47.68	47.13	56.9	73.88	50	$r37j$
$o50y$	57.77	33.62	70.44	78.05	64	$r58j$
$o75y$	69.84	17.48	86.62	88.37	79	$r79j$
$y00l$	86.77	-5.17	109.32	109.44	93	$j01g$
$y25l$	73.71	-24.12	89.19	92.39	105	$j18g$
$y50l$	63.76	-38.55	73.86	83.32	118	$j36g$
$y75l$	55.23	-50.92	60.72	79.25	130	$j53g$
$l00c$	47.13	-62.67	48.24	79.09	142	$j71g$
$l50c$	52.64	-41.0	-3.61	41.16	185	$g21b$
$c00v$	55.66	-29.14	-31.99	43.27	228	$g60b$
$c50v$	41.87	-0.69	-41.67	41.68	269	$g97b$
$v00m$	17.15	50.3	-59.04	77.57	310	$b34r$
$v50m$	28.2	63.79	-46.89	79.17	324	$b45r$
$m00o$	40.37	78.64	-33.5	85.48	337	$b57r$
$m50o$	39.13	68.67	7.94	69.13	7	$b83r$

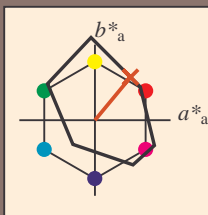


Ein und Ausgabe: Farbmatisches Drucker-Reflektiv-System FRS12_95a, L*=12_95 für relativen CIELAB-Buntton $h^* = lab^*h^* = h_{ab}/360 = 0.14$ $u^*_d = o25y$
Daten für jede Farbe: lab^*tch^* und lab^*icu^*

Bunttontexte:
 $u^*_d = o25y$ $u^*_e = r37j$

Kontrastreduzierungsfaktor:
 $c_R = 1.0$

Dreiecks-Helligkeit t^*



FRS12_95a; adaptierte CIELAB-Daten

u^*_d	$L^*=L^*_a$	a^*_a	b^*_a	$C^*_{ab,a}$	$h^*_{ab,a}$
O _{Ma}	38.06	60.0	44.0	74.4	36
Y _{Ma}	86.77	-5.17	109.32	109.44	93
L _{Ma}	47.13	-62.67	48.24	79.09	142
C _{Ma}	55.66	-29.14	-31.99	43.27	228
V _{Ma}	17.15	50.3	-59.04	77.57	310
M _{Ma}	40.37	78.64	-33.5	85.48	337
N _{Ma}	11.58	0.0	0.0	0.0	0
W _{Ma}	95.02	0.0	0.0	0.0	0
O _{Ma}	39.92	58.74	27.99	65.07	25
Y _{Ma}	81.26	-2.89	71.56	71.62	92
L _{Ma}	52.23	-42.42	13.6	44.55	162
V _{Ma}	30.57	1.41	-46.47	46.49	272

Daten für Maximalfarbe (Ma):

$LAB^*LAB^*_{Ma}$: 48 47 57

$LAB^*LCH^*_{Ma}$: 48 74 50

$lab^*olv^*_{Ma}$: 1.0 0.25 0.0

$lab^*rgb^*_{Ma}$: 1.0 0.37 0.0

Dreiecks-Helligkeit t^*

%Umfang

$u^*_{rel} = 109$

%Regularität

$g^*_{H,rel} = 31$

$g^*_{C,rel} = 40$

FRS12_95a; adaptierte CIELAB-Daten

u^*_d	$L^*=L^*_a$	a^*_a	b^*_a	$C^*_{ab,a}$	$h^*_{ab,a}$	u^*_e
o00y	38.06	60.0	44.0	74.4	36	r16j
o25y	47.68	47.13	56.9	73.88	50	r37j
o50y	57.77	33.62	70.44	78.05	64	r58j
o75y	69.84	17.48	86.62	88.37	79	r79j
y00l	86.77	-5.17	109.32	109.44	93	j01g
y25l	73.71	-24.12	89.19	92.39	105	j18g
y50l	63.76	-38.55	73.86	83.32	118	j36g
y75l	55.23	-50.92	60.72	79.25	130	j53g
l00c	47.13	-62.67	48.24	79.09	142	j71g
l50c	52.64	-41.0	-3.61	41.16	185	g21b
c00v	55.66	-29.14	-31.99	43.27	228	g60b
c50v	41.87	-0.69	-41.67	41.68	269	g97b
v00m	17.15	50.3	-59.04	77.57	310	b34r
v50m	28.2	63.79	-46.89	79.17	324	b45r
m00o	40.37	78.64	-33.5	85.48	337	b57r
m50o	39.13	68.67	7.94	69.13	7	b83r

lab^*olv^*

$i^* = 1.00$

Brillantheit i^*

$i^* = 0.80$

$i^* = 0.60$

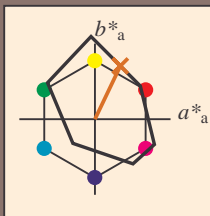
$i^* = 0.40$

$i^* = 0.20$

$i^* = 0.00$

relative Buntheit c^*

Ein und Ausgabe: Farbm
Daten für jede Farbe:
*lab*_{tch}** und *lab*_{icu}**
Bunttontexte:
*u*_d* = 0.50y *u*_e* = 0.58y
Kontrastreduzierungsfa
c_R = 1.0
Dreiecks-Helligkeit *t**



FRS12_95a; adaptierte CIELAB-Daten						
	u^*_d	$L^*-L^*_a$	a^*_a	b^*_a	$C^*_{ab,a}$	$h^*_{ab,a}$
O _{Ma}	38.06	60.0		44.0	74.4	36
Y _{Ma}	86.77	-5.17		109.32	109.44	93
L _{Ma}	47.13	-62.67		48.24	79.09	142
C _{Ma}	55.66	-29.14		-31.99	43.27	228
V _{Ma}	17.15	50.3		-59.04	77.57	310
M _{Ma}	40.37	78.64		-33.5	85.48	337
N _{Ma}	11.58	0.0		0.0	0.0	0
W _{Ma}	95.02	0.0		0.0	0.0	0
O _{Ma}	39.92	58.74		27.99	65.07	25
Y _{Ma}	81.26	-2.89		71.56	71.62	92
L _{Ma}	52.23	-42.42		13.6	44.55	162
V _{Ma}	30.57	1.41		-46.47	46.49	272

Daten für Maximalfarbe (Ma):

LAB*LAB*_{Ma}: 58 34 70

LAB*LCH*Ma: 58 78 64

*lab*olv**Ma: 1.0 0.5 0.0

*lab*rgb*_Ma: 1.0 0.58 0.0*

Dreiecks-Helligkeit t^*

%Umfang

$$\mathbf{u}_{\text{rel}}^* = 109$$

%Regular

$$g^*_{H,rel} = 31$$
$$g^{*}_{C,rel} = 40$$

FRS12_95a; adaptierte CIELAB-Daten							
u_d^*	$L^*=L_a^*$	a_a^*	b_a^*	$C^*_{ab,a}$	$h^*_{ab,a}$	u_e^*	
<i>o00y</i>	38.06	60.0	44.0	74.4	36	<i>r16j</i>	
<i>o25y</i>	47.68	47.13	56.9	73.88	50	<i>r37j</i>	
<i>o50y</i>	57.77	33.62	70.44	78.05	64	<i>r58j</i>	
<i>o75y</i>	69.84	17.48	86.62	88.37	79	<i>r79j</i>	
<i>y00l</i>	86.77	-5.17	109.32	109.44	93	<i>j01g</i>	
<i>y25l</i>	73.71	-24.12	89.19	92.39	105	<i>j18g</i>	
<i>y50l</i>	63.76	-38.55	73.86	83.32	118	<i>j36g</i>	
<i>y75l</i>	55.23	-50.92	60.72	79.25	130	<i>j53g</i>	
<i>l00c</i>	47.13	-62.67	48.24	79.09	142	<i>j71g</i>	
<i>l50c</i>	52.64	-41.0	-3.61	41.16	185	<i>g21b</i>	
<i>c00v</i>	55.66	-29.14	-31.99	43.27	228	<i>g60b</i>	
<i>c50v</i>	41.87	-0.69	-41.67	41.68	269	<i>g97b</i>	
<i>v00m</i>	17.15	50.3	-59.04	77.57	310	<i>b34r</i>	
<i>v50m</i>	28.52	63.79	-46.89	79.17	328	<i>b45r</i>	
<i>m00o</i>	40.37	78.64	-33.5	85.48	334	<i>b57r</i>	
<i>m50o</i>	39.13	68.67	7.94	69.13	7	<i>b83r</i>	

*lab*olv**


$$i^*=1,00$$

Brillantheit i^*

BAM-Prüfvorlage Fg62; Relatives Geräte-Farbsystem
D65: Farbreihen, Datentabellen für 16 Bunttöne 000y

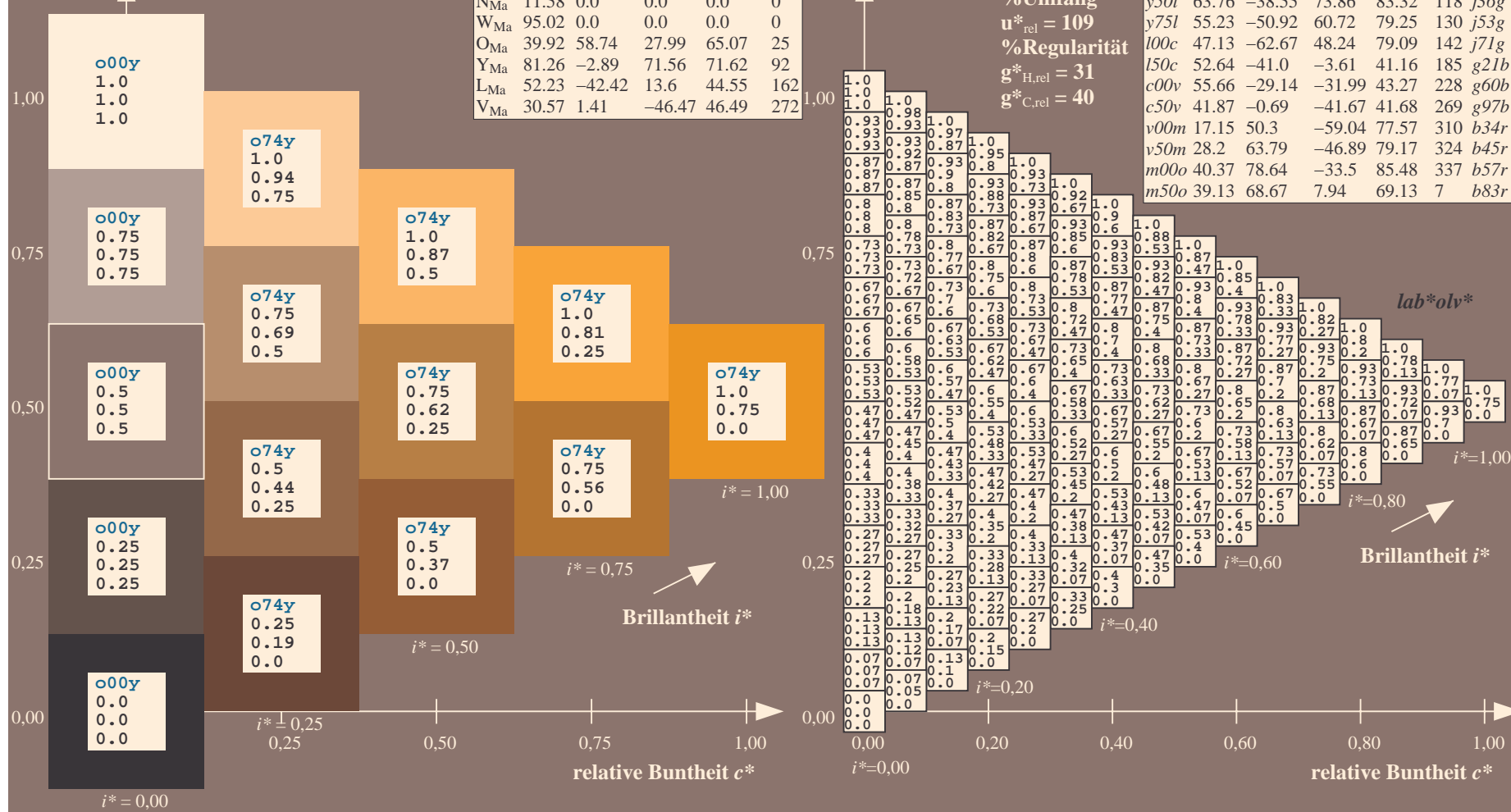
Eingabe: *000n / w / nnn0 / www set...*

oAusgabe: $\rightarrow LAB^* \rightarrow cmy0^* \text{ setcmyk}$

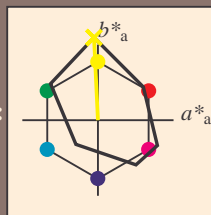
Ein und Ausgabe: Farbmatisches Drucker-Reflektiv-System FRS12_95a, $L^*=12_95$ für relativen CIELAB-Buntton $h^* = lab^*h^* = h_{ab}/360 = 0.218$ $u^*_d = 0.75y$					Daten für jede Farbe: lab^*tch^* und lab^*icu^*					Daten für Maximalfarbe (Ma): lab^*olv^*				
Daten für jede Farbe:					lab^*tch^* und lab^*icu^*					Daten für Maximalfarbe (Ma):				
Bunttontexte:					$u^*_d = 0.75y$ $u^*_e = r79j$					$LAB^*LAB^*_{Ma}: 70 \ 17 \ 87$				
Kontrastreduzierungsfaktor:					$c_R = 1.0$					$LAB^*LCH^*_{Ma}: 70 \ 88 \ 78$				
Dreiecks-Helligkeit t^*					$t^*_{max} = 1.0$					$lab^*olv^*_{Ma}: 1.0 \ 0.75 \ 0.0$				
					$c_R = 1.0$					$lab^*rgb^*_{Ma}: 1.0 \ 0.79 \ 0.0$				
Dreiecks-Helligkeit t^*					$t^*_{max} = 1.0$					Dreiecks-Helligkeit t^*				

FRS12_95a; adaptierte CIELAB-Daten						
	u^*_d	$L^*=L^*_a$	a^*_a	b^*_a	$C^*_{ab,a}$	$h^*_{ab,a}$
O _{Ma}	38.06	60.0		44.0	74.4	36
Y _{Ma}	86.77	-5.17		109.32	109.44	93
L _{Ma}	47.13	-62.67		48.24	79.09	142
C _{Ma}	55.66	-29.14		-31.99	43.27	228
V _{Ma}	17.15	50.3		-59.04	77.57	310
M _{Ma}	40.37	78.64		-33.5	85.48	337
N _{Ma}	11.58	0.0		0.0	0.0	0
W _{Ma}	95.02	0.0		0.0	0.0	0
O _{Ma}	39.92	58.74		27.99	65.07	25
Y _{Ma}	81.26	-2.89		71.56	71.62	92
L _{Ma}	52.23	-42.42		13.6	44.55	162
V _{Ma}	30.57	1.41		-46.47	46.49	272

FRS12_95a; adaptierte CIELAB-Daten							
u_d^*	$L^*=L_a^*$	a_a^*	b_a^*	$C^*_{ab,a}$	$h^*_{ab,a}$	u_e^*	
<i>o00y</i>	38.06	60.0	44.0	74.4	36	<i>r16j</i>	
<i>o25y</i>	47.68	47.13	56.9	73.88	50	<i>r37j</i>	
<i>o50y</i>	57.77	33.62	70.44	78.05	64	<i>r58j</i>	
<i>o75y</i>	69.84	17.48	86.62	88.37	79	<i>r79j</i>	
<i>y00l</i>	86.77	-5.17	109.32	109.44	93	<i>j01g</i>	
<i>y25l</i>	73.71	-24.12	89.19	92.39	105	<i>j18g</i>	
<i>y50l</i>	63.76	-38.55	73.86	83.32	118	<i>j36g</i>	
<i>y75l</i>	55.23	-50.92	60.72	79.25	130	<i>j53g</i>	
<i>l00c</i>	47.13	-62.67	48.24	79.09	142	<i>j71g</i>	
<i>l50c</i>	52.64	-41.0	-3.61	41.16	185	<i>g21b</i>	
<i>c00v</i>	55.66	-29.14	-31.99	43.27	228	<i>g60b</i>	
<i>c50v</i>	41.87	-0.69	-41.67	41.68	269	<i>g97b</i>	
<i>v00m</i>	17.15	50.3	-59.04	77.57	310	<i>b34r</i>	
<i>v50m</i>	28.2	63.79	-46.89	79.17	324	<i>b45r</i>	
<i>m00o</i>	40.37	78.64	-33.5	85.48	337	<i>b57r</i>	
<i>m50o</i>	39.13	68.67	7.94	69.13	7	<i>b83r</i>	



Ein und Ausgabe: Farbmetrisches Drucker-Reflektiv-System FRS12_95a, L*=12_95 für relativen CIELAB-Buntton $h^* = lab^*h^* = h_{ab}/360 = 0.258$ $u^*_d = y00l$
Daten für jede Farbe:
 lab^*tch^* und lab^*icu^*
Bunttontexte:
 $u^*_d = y00l$ $u^*_e = j01g$
Kontrastreduzierungsfaktor:
 $c_R = 1.0$
Dreiecks-Helligkeit i^*



FRS12_95a; adaptierte CIELAB-Daten						
u^*_d	$L^*=L^*_a$	a^*_a	b^*_a	$C^*_{ab,a}$	$h^*_{ab,a}$	u^*_e
O _{Ma}	38.06	60.0	44.0	74.4	36	$r16j$
Y _{Ma}	86.77	-5.17	109.32	109.44	93	$r37j$
L _{Ma}	47.13	-62.67	48.24	79.09	142	$r58j$
C _{Ma}	55.66	-29.14	-31.99	43.27	228	$r79j$
V _{Ma}	17.15	50.3	-59.04	77.57	310	$j01g$
M _{Ma}	40.37	78.64	-33.5	85.48	337	$j18g$
N _{Ma}	11.58	0.0	0.0	0.0	0	$j36g$
W _{Ma}	95.02	0.0	0.0	0.0	0	$j53g$
O _{Ma}	39.92	58.74	27.99	65.07	25	$j71g$
Y _{Ma}	81.26	-2.89	71.56	71.62	92	$g21b$
L _{Ma}	52.23	-42.42	13.6	44.55	162	$g60b$
V _{Ma}	30.57	1.41	-46.47	46.49	272	$g97b$

Daten für Maximalfarbe (Ma):

$LAB^*LAB^*_{Ma}$: 87 -5 109

$LAB^*LCH^*_{Ma}$: 87 109 92

$lab^*olv^*_{Ma}$: 1.0 1.0 0.0

$lab^*rgb^*_{Ma}$: 0.99 1.0 0.0

Dreiecks-Helligkeit i^*

%Umfang

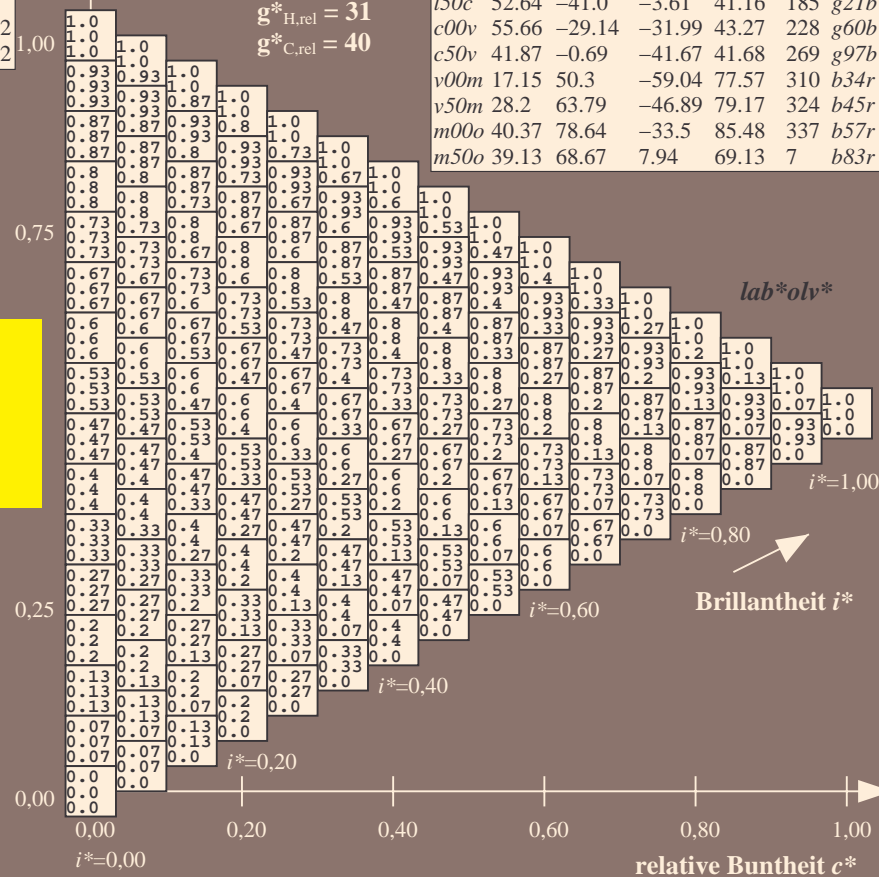
$u^*_{rel} = 109$

%Regularität

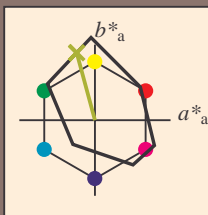
$g^*_{H,rel} = 31$

$g^*_{C,rel} = 40$

FRS12_95a; adaptierte CIELAB-Daten						
u^*_d	$L^*=L^*_a$	a^*_a	b^*_a	$C^*_{ab,a}$	$h^*_{ab,a}$	u^*_e
$o00y$	38.06	60.0	44.0	74.4	36	$r16j$
$o25y$	47.68	47.13	56.9	73.88	50	$r37j$
$o50y$	57.77	33.62	70.44	78.05	64	$r58j$
$o75y$	69.84	17.48	86.62	88.37	79	$r79j$
$y00l$	86.77	-5.17	109.32	109.44	93	$j01g$
$y25l$	73.71	-24.12	89.19	92.39	105	$j18g$
$y50l$	63.76	-38.55	73.86	83.32	118	$j36g$
$y75l$	55.23	-50.92	60.72	79.25	130	$j53g$
$l00c$	47.13	-62.67	48.24	79.09	142	$j71g$
$l50c$	52.64	-41.0	-3.61	41.16	185	$g21b$
$c00v$	55.66	-29.14	-31.99	43.27	228	$g60b$
$c50v$	41.87	-0.69	-41.67	41.68	269	$g97b$
$v00m$	17.15	50.3	-59.04	77.57	310	$b34r$
$v50m$	28.2	63.79	-46.89	79.17	324	$b45r$
$m00o$	40.37	78.64	-33.5	85.48	337	$b57r$
$m50o$	39.13	68.67	7.94	69.13	7	$b83r$



Ein und Ausgabe: Farbmatisches Drucker-Reflektiv-System FRS12_95a, L*=12_95 für relativen CIELAB-Buntton $h^* = lab^*h^* = h_{ab}/360 = 0.292$ $u^*_d = y25l$
Daten für jede Farbe:
 lab^*ch^* und lab^*icu^*
Bunttontexte:
 $u^*_d = y25l$ $u^*_e = j18g$
Kontrastreduzierungsfaktor:
 $c_R = 1.0$
Dreiecks-Helligkeit i^*



FRS12_95a; adaptierte CIELAB-Daten						
u^*_d	$L^*=L^*_a$	a^*_a	b^*_a	$C^*_{ab,a}$	$h^*_{ab,a}$	u^*_e
O _{Ma}	38.06	60.0	44.0	74.4	36	r16j
Y _{Ma}	86.77	-5.17	109.32	109.44	93	r37j
L _{Ma}	47.13	-62.67	48.24	79.09	142	r58j
C _{Ma}	55.66	-29.14	-31.99	43.27	228	r79j
V _{Ma}	17.15	50.3	-59.04	77.57	310	j01g
M _{Ma}	40.37	78.64	-33.5	85.48	337	j18g
N _{Ma}	11.58	0.0	0.0	0.0	0	j36g
W _{Ma}	95.02	0.0	0.0	0.0	0	j53g
O _{Ma}	39.92	58.74	27.99	65.07	25	j71g
Y _{Ma}	81.26	-2.89	71.56	71.62	92	g21b
L _{Ma}	52.23	-42.42	13.6	44.55	162	g60b
V _{Ma}	30.57	1.41	-46.47	46.49	272	g97b

Daten für Maximalfarbe (Ma):

$LAB^*LAB^*_{Ma}$: 74 -24 89

$LAB^*LCH^*_{Ma}$: 74 92 105

$lab^*olv^*_{Ma}$: 0.75 1.0 0.0

$lab^*rgb^*_{Ma}$: 0.82 1.0 0.0

Dreiecks-Helligkeit i^*

%Umfang

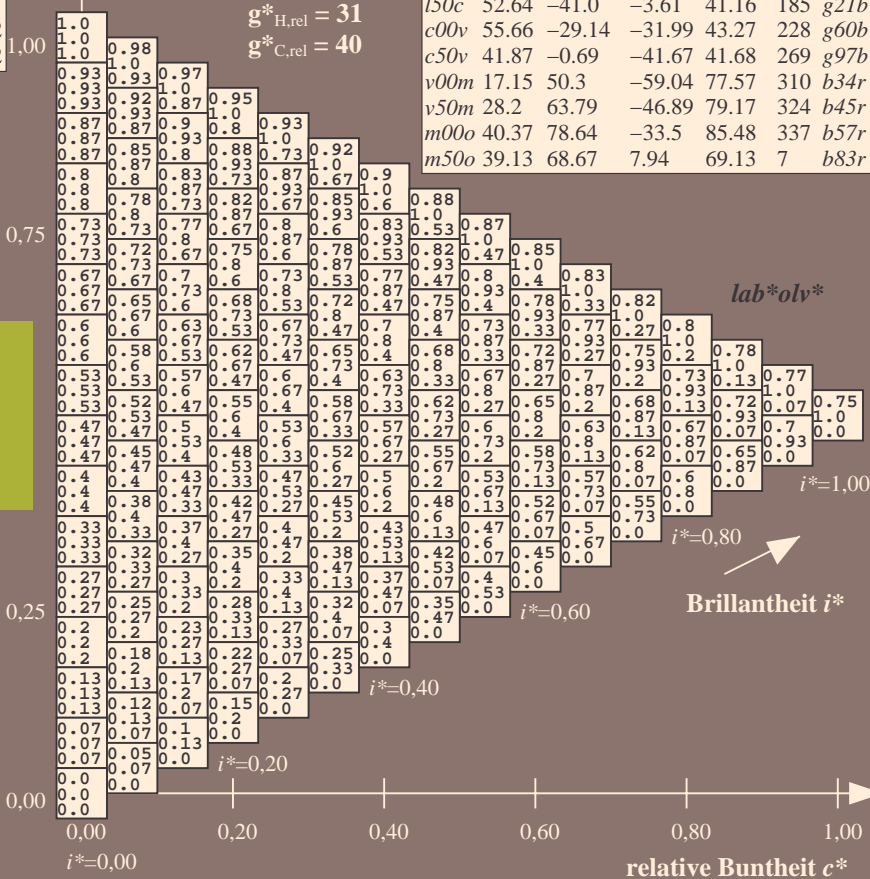
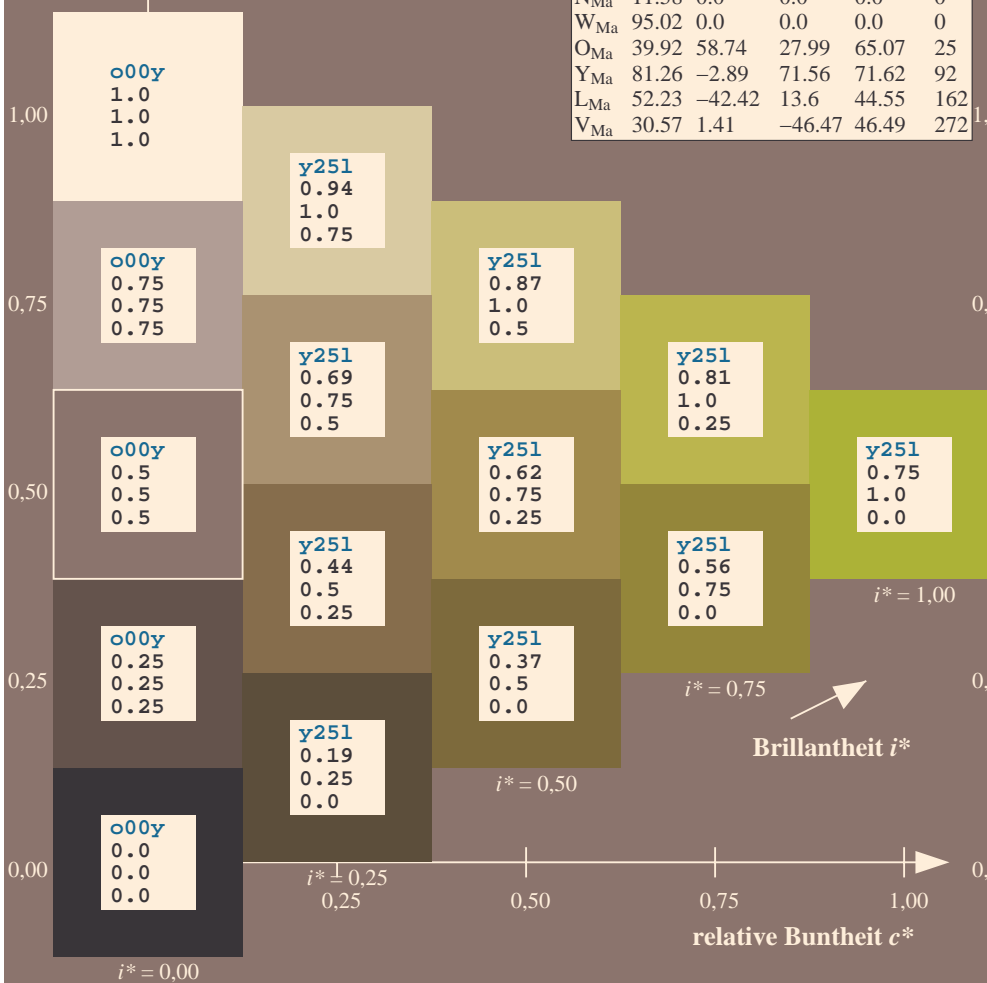
$u^*_{rel} = 109$

%Regularität

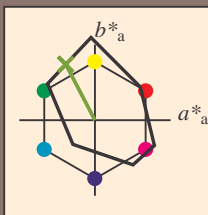
$g^*_{H,rel} = 31$

$g^*_{C,rel} = 40$

FRS12_95a; adaptierte CIELAB-Daten						
u^*_d	$L^*=L^*_a$	a^*_a	b^*_a	$C^*_{ab,a}$	$h^*_{ab,a}$	u^*_e
o00y	38.06	60.0	44.0	74.4	36	r16j
o25y	47.68	47.13	56.9	73.85	50	r37j
o50y	57.77	33.62	70.44	78.05	64	r58j
o75y	69.84	17.48	86.62	88.37	79	r79j
y00l	86.77	-5.17	109.32	109.44	93	j01g
y25l	73.71	-24.12	89.19	92.39	105	j18g
y50l	63.76	-38.55	73.86	83.32	118	j36g
y75l	55.23	-50.92	60.72	79.25	130	j53g
l00c	47.13	-62.67	48.24	79.09	142	j71g
l50c	52.64	-41.0	-3.61	41.16	185	g21b
c00v	55.66	-29.14	-31.99	43.27	228	g60b
c50v	41.87	-0.69	-41.67	41.68	269	g97b
v00m	17.15	50.3	-59.04	77.57	310	b34r
v50m	28.2	63.79	-46.89	79.17	324	b45r
m00o	40.37	78.64	-33.5	85.48	337	b57r
m50o	39.13	68.67	7.94	69.13	7	b83r



Ein und Ausgabe: Farbmatisches Drucker-Reflektiv-System FRS12_95a, L*=12_95 für relativen CIELAB-Buntton $h^* = lab^*h^* = h_{ab}/360 = 0.327$ $u^*_d = y50l$
Daten für jede Farbe:
 lab^*tch^* und lab^*icu^*
Bunttontexte:
 $u^*_d = y50l$ $u^*_e = j36g$
Kontrastreduzierungsfaktor:
 $c_R = 1.0$
Dreiecks-Helligkeit i^*



FRS12_95a; adaptierte CIELAB-Daten						
u^*_d	$L^*=L^*_a$	a^*_a	b^*_a	$C^*_{ab,a}$	$h^*_{ab,a}$	u^*_e
O _{Ma}	38.06	60.0	44.0	74.4	36	r16j
Y _{Ma}	86.77	-5.17	109.32	109.44	93	r37j
L _{Ma}	47.13	-62.67	48.24	79.09	142	r58j
C _{Ma}	55.66	-29.14	-31.99	43.27	228	r79j
V _{Ma}	17.15	50.3	-59.04	77.57	310	j01g
M _{Ma}	40.37	78.64	-33.5	85.48	337	j18g
N _{Ma}	11.58	0.0	0.0	0.0	0	j36g
W _{Ma}	95.02	0.0	0.0	0.0	0	j53g
O _{Ma}	39.92	58.74	27.99	65.07	25	j71g
Y _{Ma}	81.26	-2.89	71.56	71.62	92	g21b
L _{Ma}	52.23	-42.42	13.6	44.55	162	g60b
V _{Ma}	30.57	1.41	-46.47	46.49	272	g97b

Daten für Maximalfarbe (Ma):

$LAB^*LAB^*_{Ma}$: 64 -39 74

$LAB^*LCH^*_{Ma}$: 64 83 117

$lab^*olv^*_{Ma}$: 0.5 1.0 0.0

$lab^*rgb^*_{Ma}$: 0.64 1.0 0.0

Dreiecks-Helligkeit i^*

%Umfang

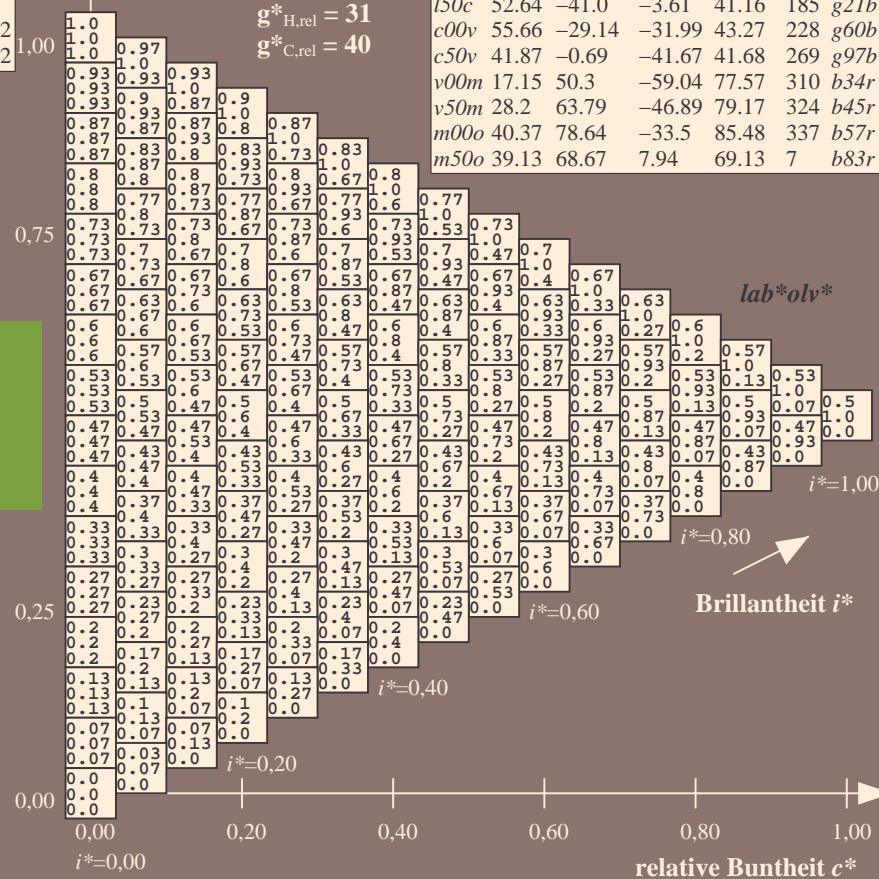
$u^*_{rel} = 109$

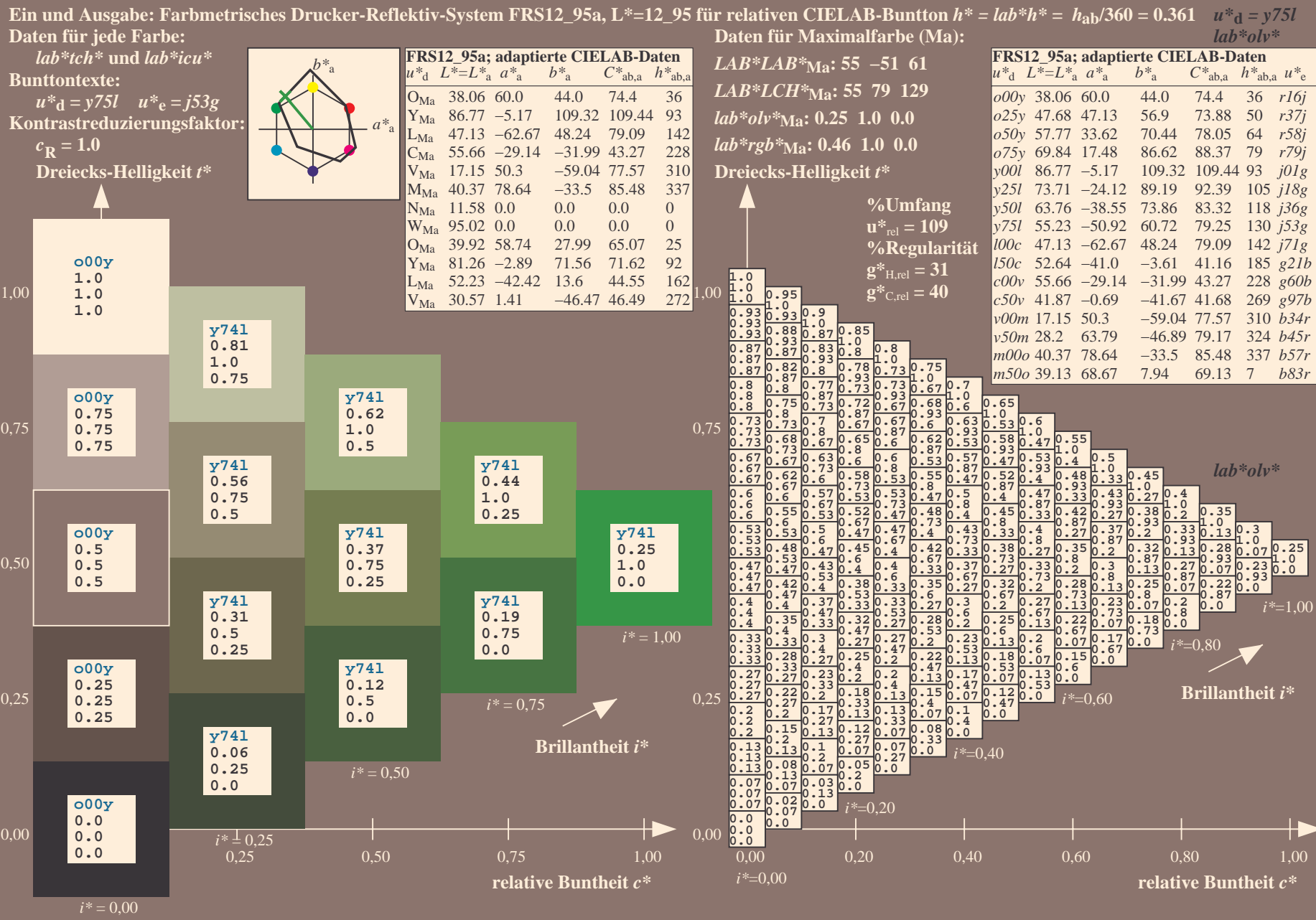
%Regularität

$g^*_{H,rel} = 31$

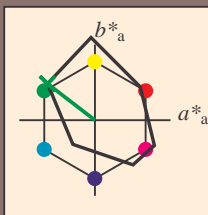
$g^*_{C,rel} = 40$

FRS12_95a; adaptierte CIELAB-Daten						
u^*_d	$L^*=L^*_a$	a^*_a	b^*_a	$C^*_{ab,a}$	$h^*_{ab,a}$	u^*_e
o00y	38.06	60.0	44.0	74.4	36	r16j
o25y	47.68	47.13	56.9	73.88	50	r37j
o50y	57.77	33.62	70.44	78.05	64	r58j
o75y	69.84	17.48	86.62	88.37	79	r79j
y00l	86.77	-5.17	109.32	109.44	93	j01g
y25l	73.71	-24.12	89.19	92.39	105	j18g
y50l	63.76	-38.55	73.86	83.32	118	j36g
y75l	55.23	-50.92	60.72	79.25	130	j53g
l00c	47.13	-62.67	48.24	79.09	142	j71g
l50c	52.64	-41.0	-3.61	41.16	185	g21b
c00v	55.66	-29.14	-31.99	43.27	228	g60b
c50v	41.87	-0.69	-41.67	41.68	269	g97b
v00m	17.15	50.3	-59.04	77.57	310	b34r
v50m	28.2	63.79	-46.89	79.17	324	b45r
m00o	40.37	78.64	-33.5	85.48	337	b57r
m50o	39.13	68.67	7.94	69.13	7	b83r





Ein und Ausgabe: Farbmetrisches Drucker-Reflektiv-System FRS12_95a, L*=12_95 für relativen CIELAB-Buntton $h^* = lab^*h^* = h_{ab}/360 = 0.396$ $u^*_d = 100c$
Daten für jede Farbe:
 lab^*tch^* und lab^*icu^*
Bunttontexte:
 $u^*_d = 100c$ $u^*_e = j71g$
Kontrastreduzierungsfaktor:
 $c_R = 1.0$
Dreiecks-Helligkeit i^*



FRS12_95a; adaptierte CIELAB-Daten						
u^*_d	$L^*=L^*_a$	a^*_a	b^*_a	$C^*_{ab,a}$	$h^*_{ab,a}$	u^*_e
O _{Ma}	38.06	60.0	44.0	74.4	36	$r16j$
Y _{Ma}	86.77	-5.17	109.32	109.44	93	$r37j$
L _{Ma}	47.13	-62.67	48.24	79.09	142	$r58j$
C _{Ma}	55.66	-29.14	-31.99	43.27	228	$r79j$
V _{Ma}	17.15	50.3	-59.04	77.57	310	$j01g$
M _{Ma}	40.37	78.64	-33.5	85.48	337	$j18g$
N _{Ma}	11.58	0.0	0.0	0.0	0	$j36g$
W _{Ma}	95.02	0.0	0.0	0.0	0	$j53g$
O _{Ma}	39.92	58.74	27.99	65.07	25	$j71g$
Y _{Ma}	81.26	-2.89	71.56	71.62	92	$g21b$
L _{Ma}	52.23	-42.42	13.6	44.55	162	$g60b$
V _{Ma}	30.57	1.41	-46.47	46.49	272	$g97b$

Daten für Maximalfarbe (Ma):

$LAB^*LAB^*_{Ma}$: 47 -63 48

$LAB^*LCH^*_{Ma}$: 47 79 142

$lab^*olv^*_{Ma}$: 0.0 1.0 0.0

$lab^*rgb^*_{Ma}$: 0.28 1.0 0.0

Dreiecks-Helligkeit i^*

%Umfang

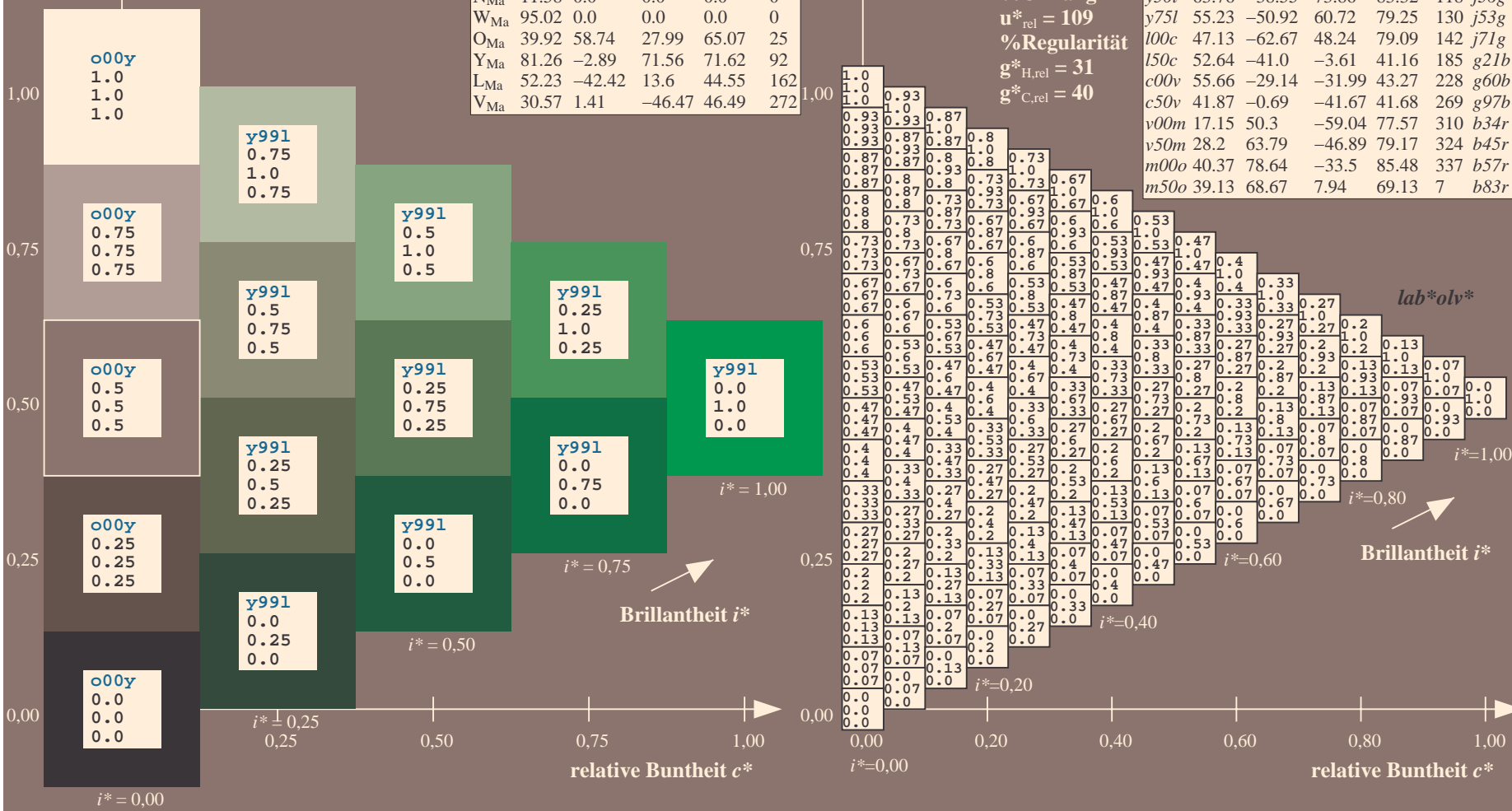
$u^*_{rel} = 109$

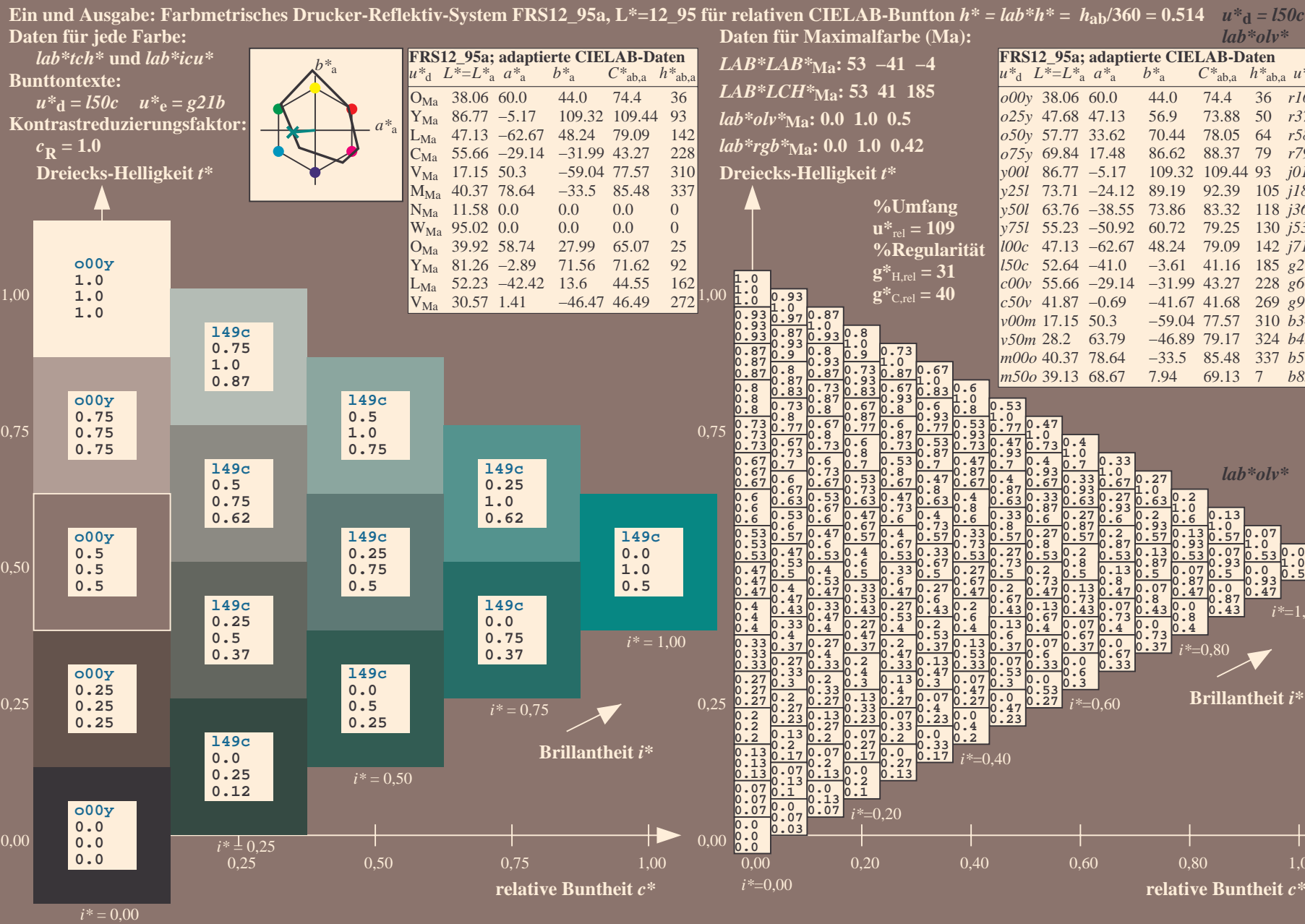
%Regularität

$g^*_{H,rel} = 31$

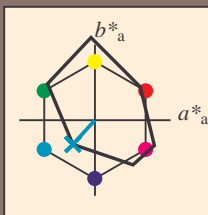
$g^*_{C,rel} = 40$

FRS12_95a; adaptierte CIELAB-Daten						
u^*_d	$L^*=L^*_a$	a^*_a	b^*_a	$C^*_{ab,a}$	$h^*_{ab,a}$	u^*_e
o00y	38.06	60.0	44.0	74.4	36	$r16j$
o25y	47.68	47.13	56.9	73.88	50	$r37j$
o50y	57.77	33.62	70.44	78.05	64	$r58j$
o75y	69.84	17.48	86.62	88.37	79	$r79j$
y00l	86.77	-5.17	109.32	109.44	93	$j01g$
y25l	73.71	-24.12	89.19	92.39	105	$j18g$
y50l	63.76	-38.55	73.86	83.32	118	$j36g$
y75l	55.23	-50.92	60.72	79.25	130	$j53g$
l00c	47.13	-62.67	48.24	79.09	142	$j71g$
l50c	52.64	-41.0	-3.61	41.16	185	$g21b$
c00v	55.66	-29.14	-31.99	43.27	228	$g60b$
c50v	41.87	-0.69	-41.67	41.68	269	$g97b$
v00m	17.15	50.3	-59.04	77.57	310	$b34r$
v50m	28.2	63.79	-46.89	79.17	324	$b45r$
m00o	40.37	78.64	-33.5	85.48	337	$b57r$
m50o	39.13	68.67	7.94	69.13	7	$b83r$





Ein und Ausgabe: Farbmetrisches Drucker-Reflektiv-System FRS12_95a, L*=12_95 für relativen CIELAB-Buntton $h^* = lab^*h^* = h_{ab}/360 = 0.632$ $u^*_d = c00v$
Daten für jede Farbe:
 lab^*tch^* und lab^*icu^*
Bunttontexte:
 $u^*_d = c00v$ $u^*_e = g60b$
Kontrastreduzierungsfaktor:
 $c_R = 1.0$
Dreiecks-Helligkeit i^*



FRS12_95a; adaptierte CIELAB-Daten						
	u^*_d	$L^*=L^*_a$	a^*_a	b^*_a	$C^*_{ab,a}$	$h^*_{ab,a}$
O _{Ma}	38.06	60.0	44.0	74.4	36	
Y _{Ma}	86.77	-5.17	109.32	109.44	93	
L _{Ma}	47.13	-62.67	48.24	79.09	142	
C _{Ma}	55.66	-29.14	-31.99	43.27	228	
V _{Ma}	17.15	50.3	-59.04	77.57	310	
M _{Ma}	40.37	78.64	-33.5	85.48	337	
N _{Ma}	11.58	0.0	0.0	0.0	0	
W _{Ma}	95.02	0.0	0.0	0.0	0	
O _{Ma}	39.92	58.74	27.99	65.07	25	
Y _{Ma}	81.26	-2.89	71.56	71.62	92	
L _{Ma}	52.23	-42.42	13.6	44.55	162	
V _{Ma}	30.57	1.41	-46.47	46.49	272	

Daten für Maximalfarbe (Ma):

$LAB^*LAB^*_{Ma}$: 56 -29 -32

$LAB^*LCH^*_{Ma}$: 56 43 227

$lab^*olv^*_{Ma}$: 0.0 1.0 1.0

$lab^*rgb^*_{Ma}$: 0.0 0.8 1.0

Dreiecks-Helligkeit i^*

%Umfang

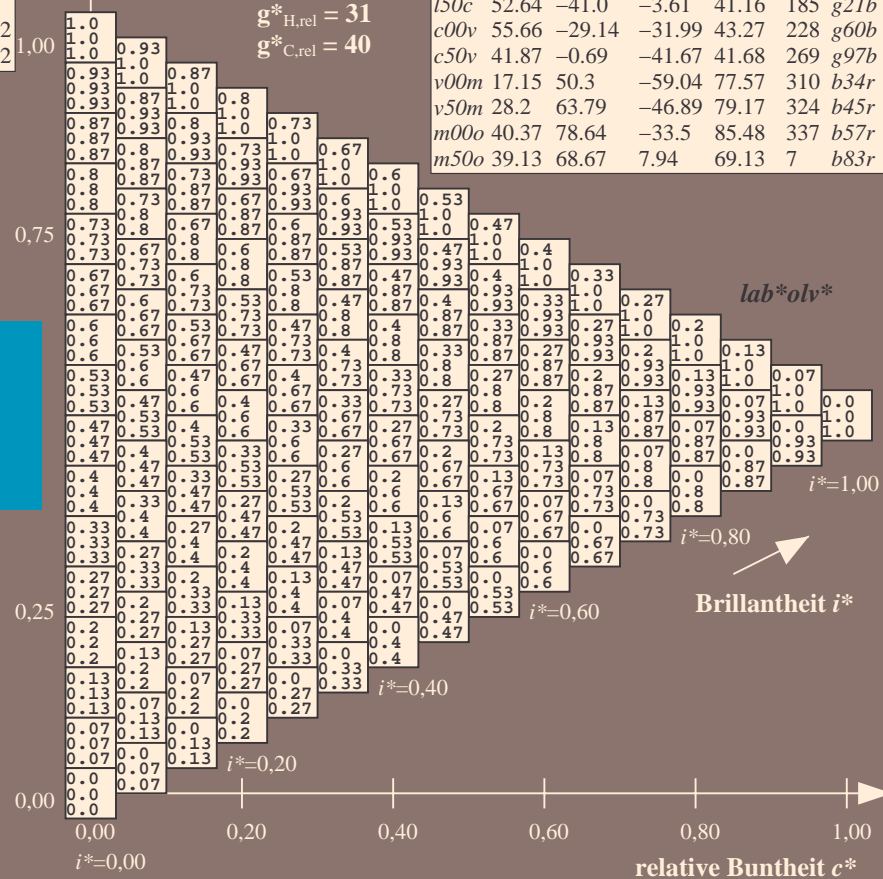
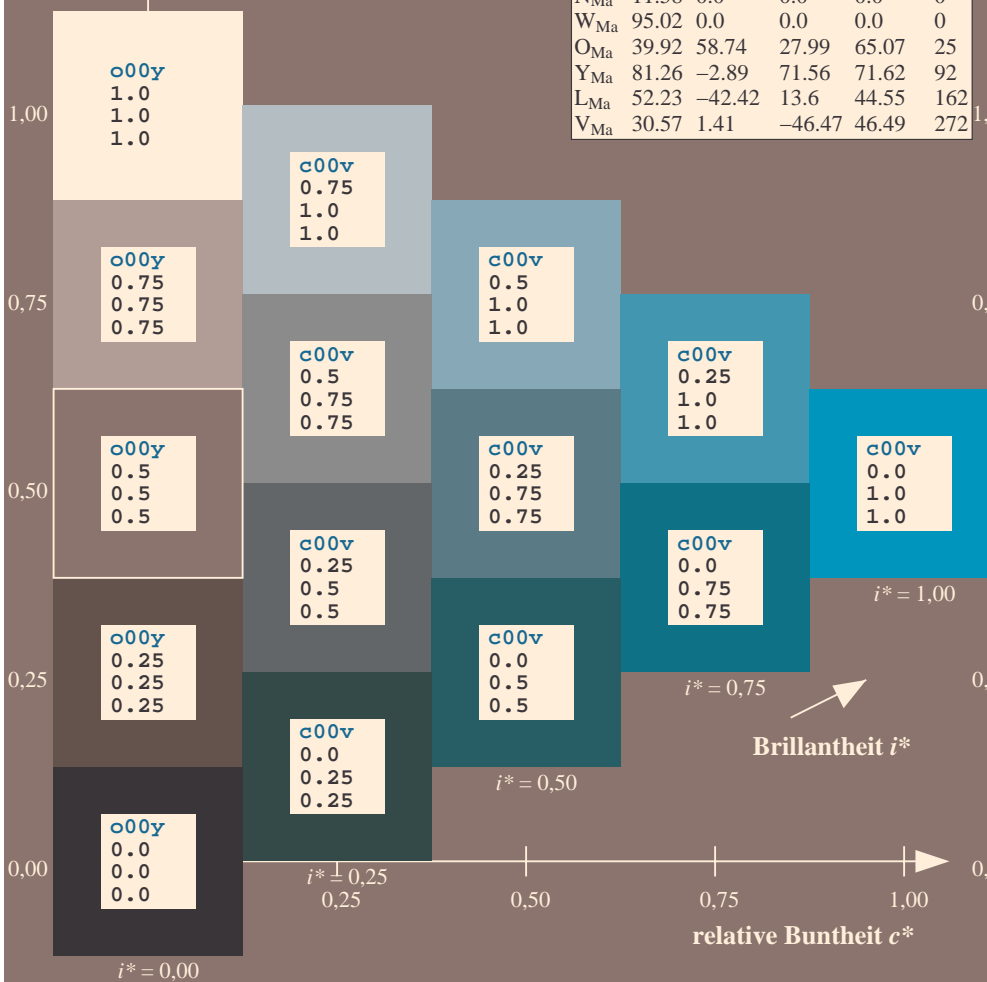
$u^*_{rel} = 109$

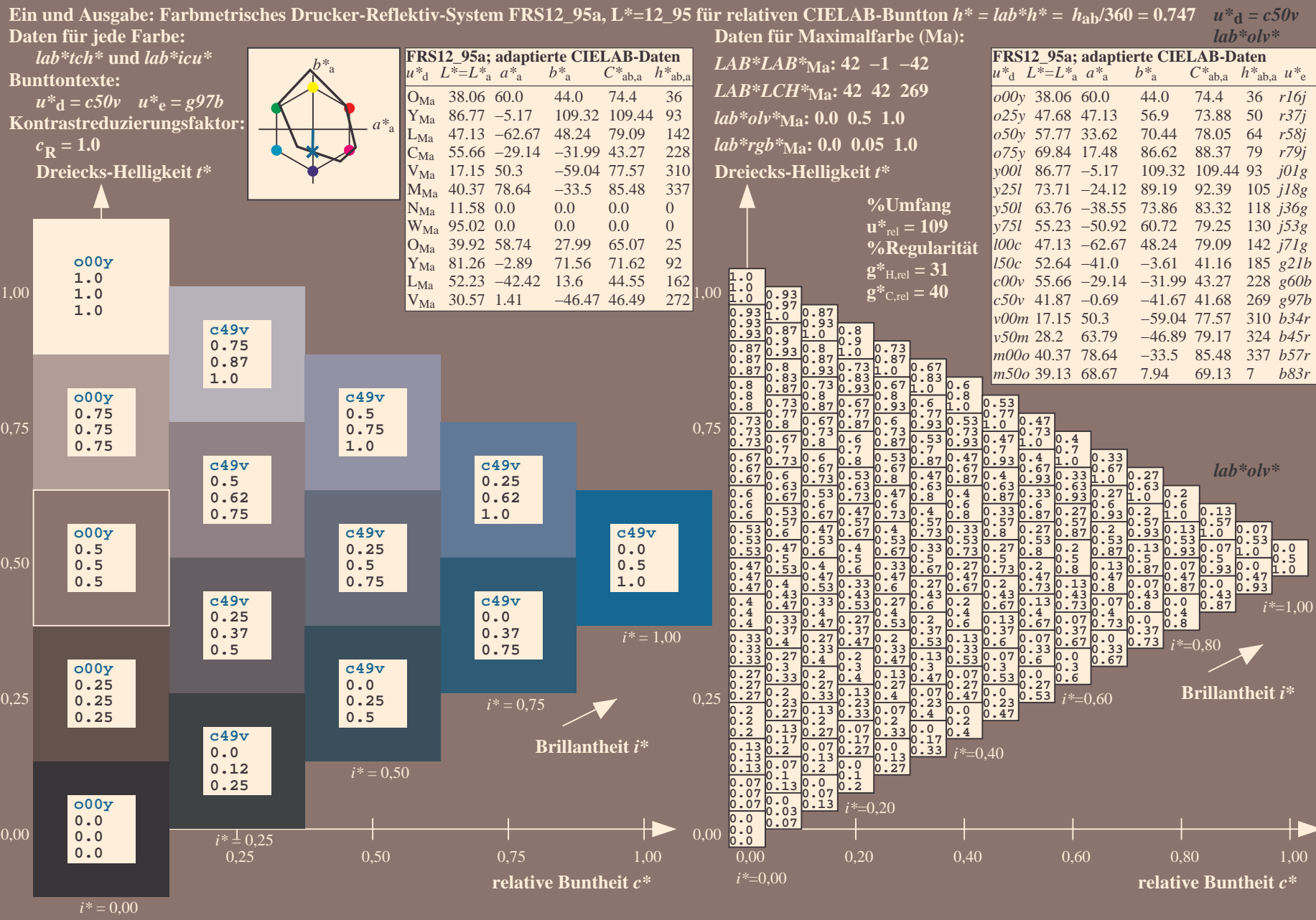
%Regularität

$g^*_{H,rel} = 31$

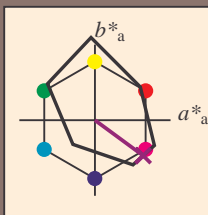
$g^*_{C,rel} = 40$

FRS12_95a; adaptierte CIELAB-Daten						
	u^*_d	$L^*=L^*_a$	a^*_a	b^*_a	$C^*_{ab,a}$	$h^*_{ab,a}$
$o00y$	38.06	60.0	44.0	74.4	36	$r16j$
$o25y$	47.68	47.13	56.9	73.88	50	$r37j$
$o50y$	57.77	33.62	70.44	78.05	64	$r58j$
$o75y$	69.84	17.48	86.62	88.37	79	$r79j$
$y00l$	86.77	-5.17	109.32	109.44	93	$j01g$
$y25l$	73.71	-24.12	89.19	92.39	105	$j18g$
$y50l$	63.76	-38.55	73.86	83.32	118	$j36g$
$y75l$	55.23	-50.92	60.72	79.25	130	$j53g$
$l00c$	47.13	-62.67	48.24	79.09	142	$j71g$
$l50c$	52.64	-41.0	-3.61	41.16	185	$g21b$
$c00v$	55.66	-29.14	-31.99	43.27	228	$g60b$
$c50v$	41.87	-0.69	-41.67	41.68	269	$g97b$
$v00m$	17.15	50.3	-59.04	77.57	310	$b34r$
$v50m$	28.2	63.79	-46.89	79.17	324	$b45r$
$m00o$	40.37	78.64	-33.5	85.48	337	$b57r$
$m50o$	39.13	68.67	7.94	69.13	7	$b83r$





Ein und Ausgabe: Farbmetrisches Drucker-Reflektiv-System FRS12_95a, L*=12_95 für relativen CIELAB-Buntton $h^* = lab^*h^* = h_{ab}/360 = 0.899$ $u^*_d = v50m$
Daten für jede Farbe:
 lab^*tch^* und lab^*icu^*
Bunttontexte:
 $u^*_d = v50m$ $u^*_e = b45r$
Kontrastreduzierungsfaktor:
 $c_R = 1.0$
Dreiecks-Helligkeit i^*



FRS12_95a; adaptierte CIELAB-Daten						
	u^*_d	$L^*=L^*_a$	a^*_a	b^*_a	$C^*_{ab,a}$	$h^*_{ab,a}$
O _{Ma}	38.06	60.0	44.0	74.4	36	
Y _{Ma}	86.77	-5.17	109.32	109.44	93	
L _{Ma}	47.13	-62.67	48.24	79.09	142	
C _{Ma}	55.66	-29.14	-31.99	43.27	228	
V _{Ma}	17.15	50.3	-59.04	77.57	310	
M _{Ma}	40.37	78.64	-33.5	85.48	337	
N _{Ma}	11.58	0.0	0.0	0.0	0	
W _{Ma}	95.02	0.0	0.0	0.0	0	
O _{Ma}	39.92	58.74	27.99	65.07	25	
Y _{Ma}	81.26	-2.89	71.56	71.62	92	
L _{Ma}	52.23	-42.42	13.6	44.55	162	
V _{Ma}	30.57	1.41	-46.47	46.49	272	

Daten für Maximalfarbe (Ma):

$LAB^*LAB^*_{Ma}$: 28 64 -47

$LAB^*LCH^*_{Ma}$: 28 79 323

$lab^*olv^*_{Ma}$: 0.5 0.0 1.0

$lab^*rgb^*_{Ma}$: 0.91 0.0 1.0

Dreiecks-Helligkeit i^*

%Umfang

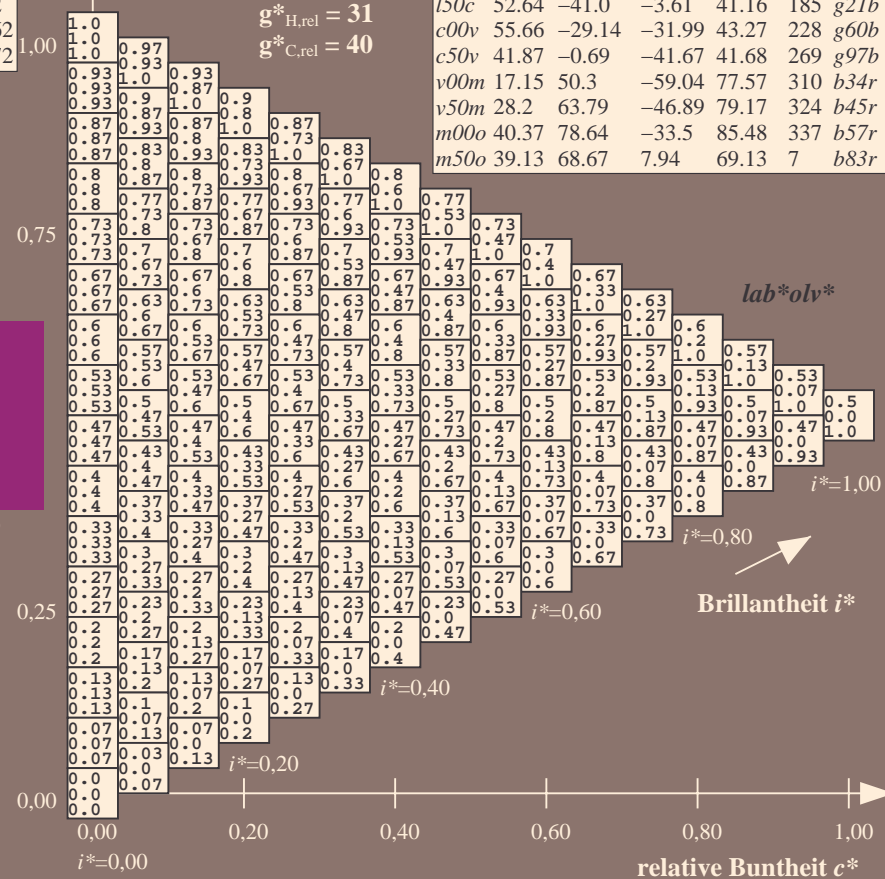
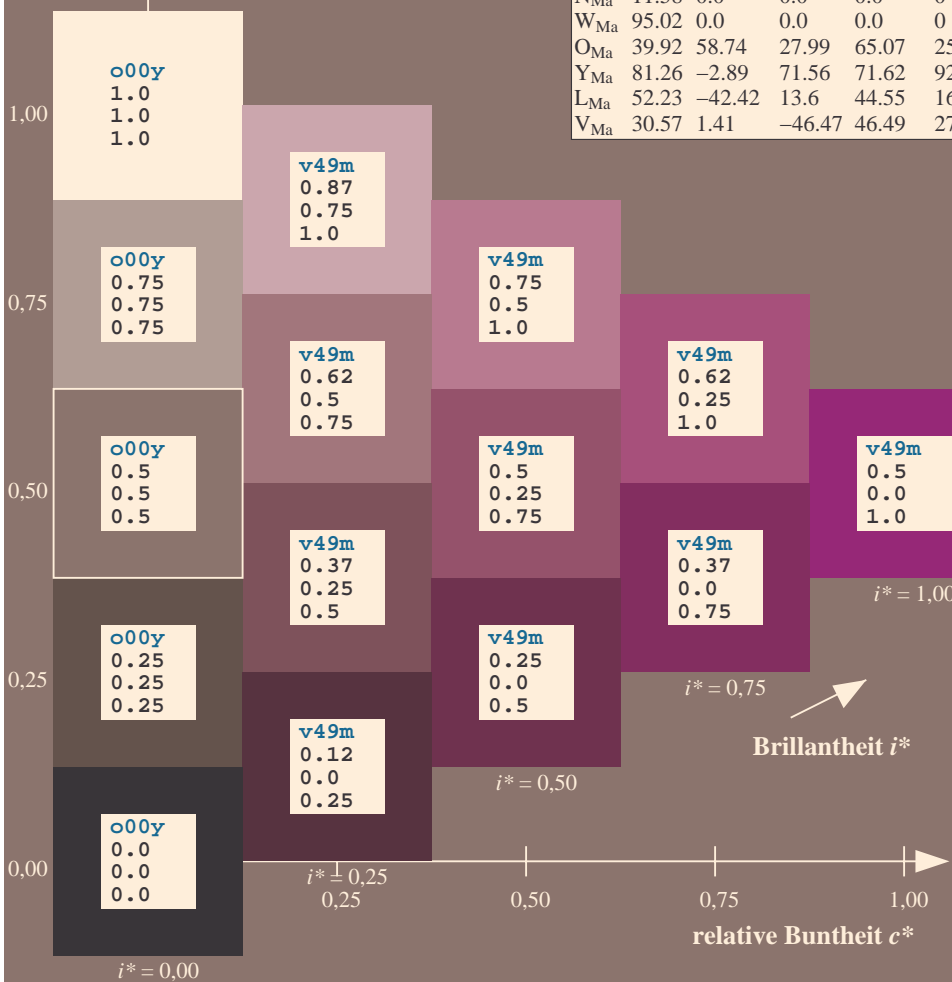
$u^*_{rel} = 109$

%Regularität

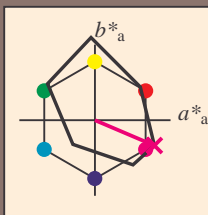
$g^*_{H,rel} = 31$

$g^*_{C,rel} = 40$

FRS12_95a; adaptierte CIELAB-Daten								
	u^*_d	$L^*=L^*_a$	a^*_a	b^*_a	$C^*_{ab,a}$	$h^*_{ab,a}$	u^*_e	
o00y	38.06	60.0	44.0	74.4	36			r16j
o25y	47.68	47.13	56.9	73.88	50			r37j
o50y	57.77	33.62	70.44	78.05	64			r58j
o75y	69.84	17.48	86.62	88.37	79			r79j
y00l	86.77	-5.17	109.32	109.44	93			j01g
y25l	73.71	-24.12	89.19	92.39	105			j18g
y50l	63.76	-38.55	73.86	83.32	118			j36g
y75l	55.23	-50.92	60.72	79.25	130			j53g
l00c	47.13	-62.67	48.24	79.09	142			j71g
l50c	52.64	-41.0	-3.61	41.16	185			g21b
c00v	55.66	-29.14	-31.99	43.27	228			g60b
c50v	41.87	-0.69	-41.67	41.68	269			g97b
v00m	17.15	50.3	-59.04	77.57	310			b34r
v50m	28.2	63.79	-46.89	79.17	324			b45r
m00o	40.37	78.64	-33.5	85.48	337			b57r
m50o	39.13	68.67	7.94	69.13	7			b83r



Ein und Ausgabe: Farbmetrisches Drucker-Reflektiv-System FRS12_95a, L*=12_95 für relativen CIELAB-Buntton $h^* = lab^*h^* = h_{ab}/360 = 0.936$ $u^*_d = m00o$
Daten für jede Farbe:
 lab^*tch^* und lab^*icu^*
Bunttontexte:
 $u^*_d = m00o$ $u^*_e = b57r$
Kontrastreduzierungsfaktor:
 $c_R = 1.0$
Dreiecks-Helligkeit i^*



FRS12_95a; adaptierte CIELAB-Daten						
u^*_d	$L^*=L^*_a$	a^*_a	b^*_a	$C^*_{ab,a}$	$h^*_{ab,a}$	u^*_e
O _{Ma}	38.06	60.0	44.0	74.4	36	
Y _{Ma}	86.77	-5.17	109.32	109.44	93	
L _{Ma}	47.13	-62.67	48.24	79.09	142	
C _{Ma}	55.66	-29.14	-31.99	43.27	228	
V _{Ma}	17.15	50.3	-59.04	77.57	310	
M _{Ma}	40.37	78.64	-33.5	85.48	337	
N _{Ma}	11.58	0.0	0.0	0.0	0	
W _{Ma}	95.02	0.0	0.0	0.0	0	
O _{Ma}	39.92	58.74	27.99	65.07	25	
Y _{Ma}	81.26	-2.89	71.56	71.62	92	
L _{Ma}	52.23	-42.42	13.6	44.55	162	
V _{Ma}	30.57	1.41	-46.47	46.49	272	

Daten für Maximalfarbe (Ma):

$LAB^*LAB^*_{Ma}$: 40 79 -34

$LAB^*LCH^*_{Ma}$: 40 85 336

$lab^*olv^*_{Ma}$: 1.0 0.0 1.0

$lab^*rgb^*_{Ma}$: 1.0 0.0 0.85

Dreiecks-Helligkeit i^*

%Umfang

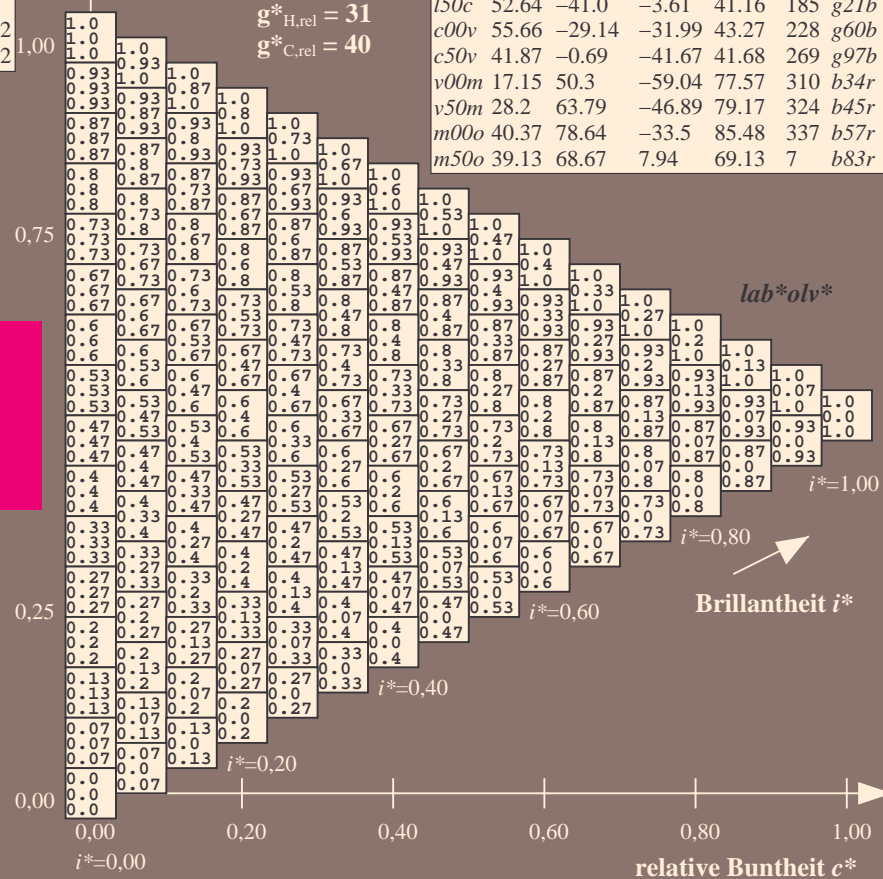
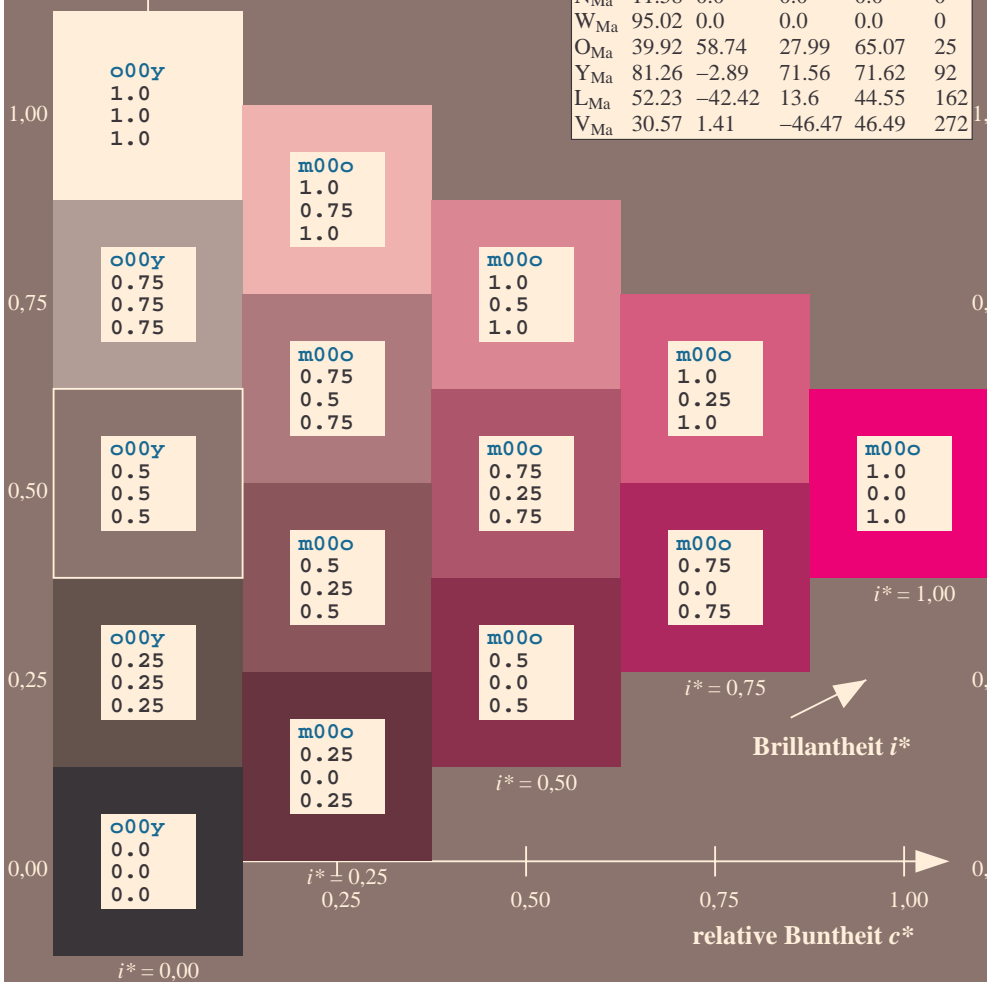
$u^*_{rel} = 109$

%Regularität

$g^*_{H,rel} = 31$

$g^*_{C,rel} = 40$

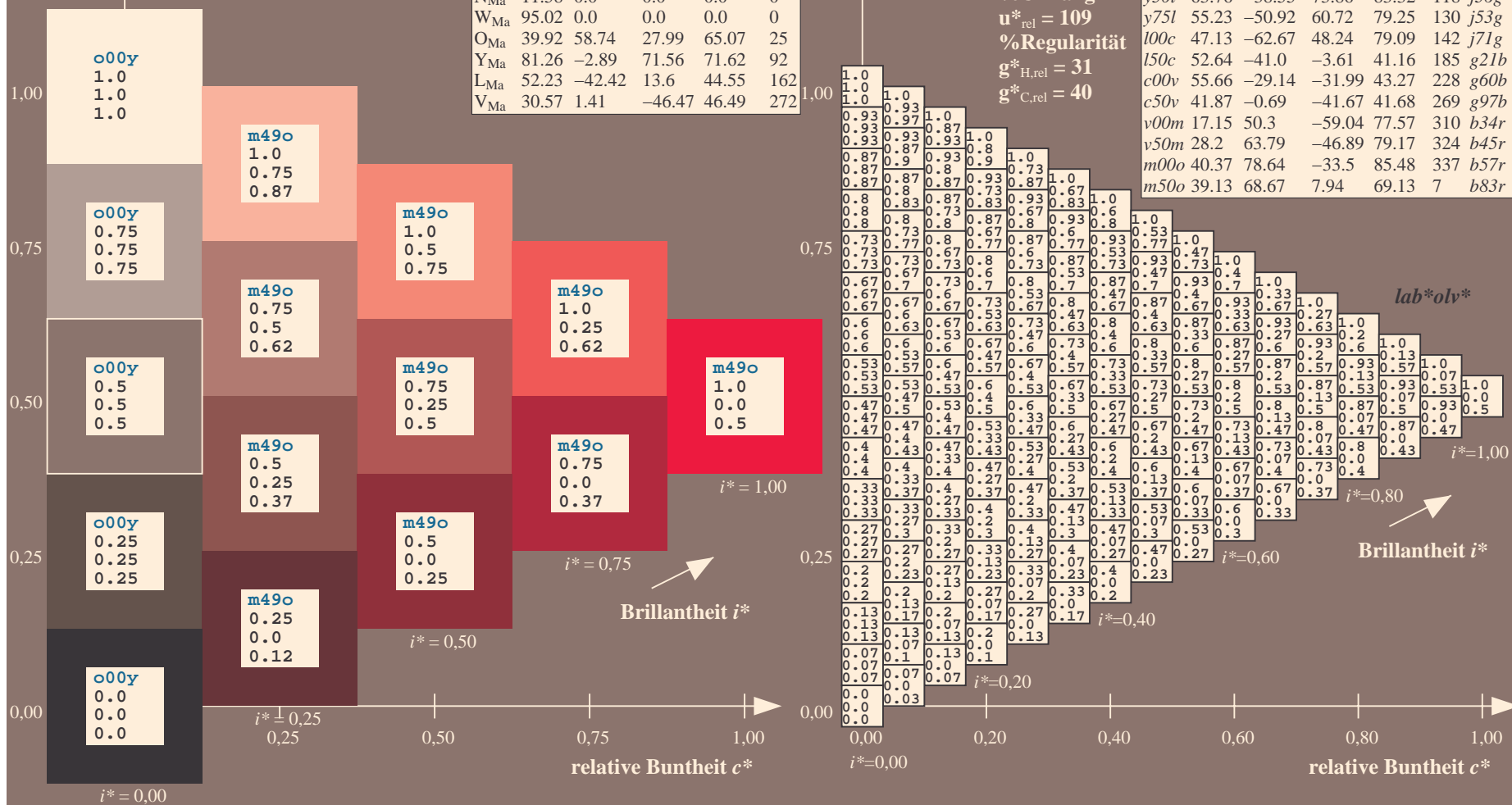
FRS12_95a; adaptierte CIELAB-Daten						
u^*_d	$L^*=L^*_a$	a^*_a	b^*_a	$C^*_{ab,a}$	$h^*_{ab,a}$	u^*_e
o00y	38.06	60.0	44.0	74.4	36	r16j
o25y	47.68	47.13	56.9	73.88	50	r37j
o50y	57.77	33.62	70.44	78.05	64	r58j
o75y	69.84	17.48	86.62	88.37	79	r79j
y00l	86.77	-5.17	109.32	109.44	93	j01g
y25l	73.71	-24.12	89.19	92.39	105	j18g
y50l	63.76	-38.55	73.86	83.32	118	j36g
y75l	55.23	-50.92	60.72	79.25	130	j53g
l00c	47.13	-62.67	48.24	79.09	142	j71g
l50c	52.64	-41.0	-3.61	41.16	185	g21b
c00v	55.66	-29.14	-31.99	43.27	228	g60b
c50v	41.87	-0.69	-41.67	41.68	269	g97b
v00m	17.15	50.3	-59.04	77.57	310	b34r
v50m	28.2	63.79	-46.89	79.17	324	b45r
m00o	40.37	78.64	-33.5	85.48	337	b57r
m50o	39.13	68.67	7.94	69.13	7	b83r



Ein und Ausgabe: Farbmetrisches Drucker-Reflektiv-System FRS12_95a, L*=12_95 für relativen CIELAB-Buntton $h^* = lab^*h^* = h_{ab}/360 = 0.018$ $u^*_d = m50o$			Daten für jede Farbe:			Daten für Maximalfarbe (Ma):		
lab^*tch^* und lab^*icu^*			lab^*tch^* und lab^*icu^*			lab^*tch^* und lab^*icu^*		
Bunttontexte:			Bunttontexte:			Bunttontexte:		
$u^*_d = m50o$ $u^*_e = b83r$			$u^*_d = m50o$ $u^*_e = b83r$			$u^*_d = m50o$ $u^*_e = b83r$		
Kontrastreduzierungsfaktor:			Kontrastreduzierungsfaktor:			Kontrastreduzierungsfaktor:		
$c_R = 1.0$			$c_R = 1.0$			$c_R = 1.0$		
Dreiecks-Helligkeit t^*			Dreiecks-Helligkeit t^*			Dreiecks-Helligkeit t^*		

FRS12_95a; adaptierte CIELAB-Daten						
u_a^*	$L^*-L_a^*$	a_a^*	b_a^*	$C^*_{ab,a}$	$h^*_{ab,a}$	
O _{Ma}	38.06	60.0	44.0	74.4	36	
Y _{Ma}	86.77	-5.17	109.32	109.44	93	
L _{Ma}	47.13	-62.67	48.24	79.09	142	
C _{Ma}	55.66	-29.14	-31.99	43.27	228	
V _{Ma}	17.15	50.3	-59.04	77.57	310	
M _{Ma}	40.37	78.64	-33.5	85.48	337	
N _{Ma}	11.58	0.0	0.0	0.0	0	
W _{Ma}	95.02	0.0	0.0	0.0	0	
O _{Ma}	39.92	58.74	27.99	65.07	25	
Y _{Ma}	81.26	-2.89	71.56	71.62	92	
L _{Ma}	52.23	-42.42	13.6	44.55	162	
V _{Ma}	30.57	1.41	-46.47	46.49	272	

FRS12_95a; adaptierte CIELAB-Daten							
u^*_d	$L^*=L^*_a$	a^*_a	b^*_a	$C^*_{ab,a}$	$h^*_{ab,a}$	u^*_e	
<i>o00y</i>	38.06	60.0	44.0	74.4	36		<i>r16j</i>
<i>o25y</i>	47.68	47.13	56.9	73.88	50		<i>r37j</i>
<i>o50y</i>	57.77	33.62	70.44	78.05	64		<i>r58j</i>
<i>o75y</i>	69.84	17.48	86.62	88.37	79		<i>r79j</i>
<i>y00l</i>	86.77	-5.17	109.32	109.44	93		<i>j01g</i>
<i>y25l</i>	73.71	-24.12	89.19	92.39	105		<i>j18g</i>
<i>y50l</i>	63.76	-38.55	73.86	83.32	118		<i>j36g</i>
<i>y75l</i>	55.23	-50.92	60.72	79.25	130		<i>j53g</i>
<i>l00c</i>	47.13	-62.67	48.24	79.09	142		<i>j71g</i>
<i>l50c</i>	52.64	-41.0	-3.61	41.16	185		<i>g21b</i>
<i>c00v</i>	55.66	-29.14	-31.99	43.27	228		<i>g60b</i>
<i>c50v</i>	41.87	-0.69	-41.67	41.68	269		<i>g97b</i>
<i>v00m</i>	17.15	50.3	-59.04	77.57	310		<i>b34r</i>
<i>v50m</i>	28.2	63.79	-46.89	79.17	324		<i>b45r</i>
<i>m00o</i>	40.37	78.64	-33.5	85.48	337		<i>b57r</i>
<i>m50o</i>	39.13	68.67	7.94	69.13	7		<i>b83r</i>



Ein und Ausgabe:
Farbmetrisches Drucker-Reflektiv-System FRS12_95a
Daten für jede Farbe:

u^*_d und Nummer $Nr.$ = 00 .. 15

Geräte-Bunttontext:

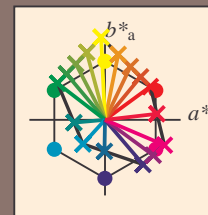
u^*_d = 16 Bunttoene $o00y$, $o25y$, ..., $m50o$

Kontrastreduzierungsfaktor:

$c_R = 1.0$

FRS12_95a; adaptierte CIELAB-Daten

u^*_d	$L^*=L^*_a$	a^*_a	b^*_a	$C^*_{ab,a}$	$h^*_{ab,a}$	u^*_e
$o00y$	38.06	60.0	44.0	74.4	36	$r16j$
$o25y$	47.68	47.13	56.9	73.88	50	$r37j$
$o50y$	57.77	33.62	70.44	78.05	64	$r58j$
$o75y$	69.84	17.48	86.62	88.37	79	$r79j$
$y00l$	86.77	-5.17	109.32	109.44	93	$j01g$
$y25l$	73.71	-24.12	89.19	92.39	105	$j18g$
$y50l$	63.76	-38.55	73.86	83.32	118	$j36g$
$y75l$	55.23	-50.92	60.72	79.25	130	$j53g$
$l00c$	47.13	-62.67	48.24	79.09	142	$j71g$
$l50c$	52.64	-41.0	-3.61	41.16	185	$g21b$
$c00v$	55.66	-29.14	-31.99	43.27	228	$g60b$
$c50v$	41.87	-0.69	-41.67	41.68	269	$g97b$
$v00m$	17.15	50.3	-59.04	77.57	310	$b34r$
$v50m$	28.2	63.79	-46.89	79.17	324	$b45r$
$m00o$	40.37	78.64	-33.5	85.48	337	$b57r$
$m50o$	39.13	68.67	7.94	69.13	7	$b83r$



%Umfang

$u^*_{rel} = 109$

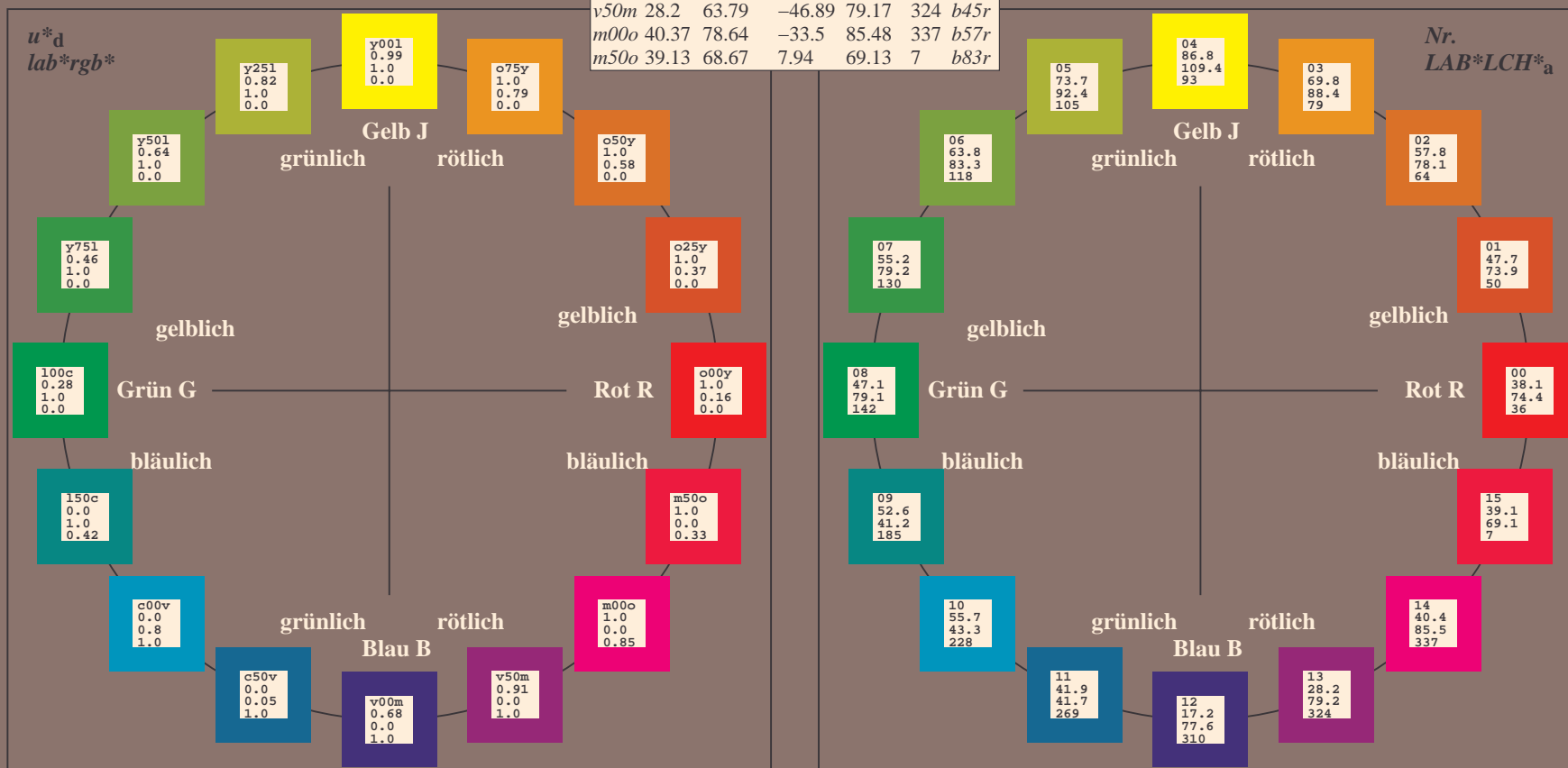
%Regularität

$g^*_{H,rel} = 31$

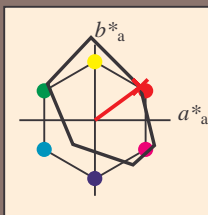
$g^*_{C,rel} = 40$

FRS12_95a; adaptierte CIELAB-Daten

Name	$L^*=L^*_a$	a^*_a	b^*_a	$C^*_{ab,a}$	$h^*_{ab,a}$
O_{Ma}	38.06	60.0	44.0	74.4	36
Y_{Ma}	86.77	-5.17	109.32	109.44	93
L_{Ma}	47.13	-62.67	48.24	79.09	142
C_{Ma}	55.66	-29.14	-31.99	43.27	228
V_{Ma}	17.15	50.3	-59.04	77.57	310
M_{Ma}	40.37	78.64	-33.5	85.48	337
N_{Ma}	11.58	0.0	0.0	0.0	0
W_{Ma}	95.02	0.0	0.0	0.0	0
O_{CIE}	39.92	58.74	27.99	65.07	25
Y_{CIE}	81.26	-2.89	71.56	71.62	92
L_{CIE}	52.23	-42.42	13.6	44.55	162
V_{CIE}	30.57	1.41	-46.47	46.49	272



Ein und Ausgabe: Farbmetrisches Drucker-Reflektiv-System FRS12_95a, L*=12_95 für relativen CIELAB-Buntton $h^* = lab^*h^* = h_{ab}/360 = 0.101$ $u^*_d = o00y$
Daten für jede Farbe:
 lab^*tch^* und lab^*icu^*
Bunttontexte:
 $u^*_d = o00y$ $u^*_e = r16j$
Kontrastreduzierungsfaktor:
 $c_R = 1.0$
Dreiecks-Helligkeit i^*



FRS12_95a; adaptierte CIELAB-Daten						
u^*_d	$L^*=L^*_a$	a^*_a	b^*_a	$C^*_{ab,a}$	$h^*_{ab,a}$	u^*_e
O _{Ma}	38.06	60.0	44.0	74.4	36	r16j
Y _{Ma}	86.77	-5.17	109.32	109.44	93	r37j
L _{Ma}	47.13	-62.67	48.24	79.09	142	r58j
C _{Ma}	55.66	-29.14	-31.99	43.27	228	r79j
V _{Ma}	17.15	50.3	-59.04	77.57	310	j01g
M _{Ma}	40.37	78.64	-33.5	85.48	337	j18g
N _{Ma}	11.58	0.0	0.0	0.0	0	j36g
W _{Ma}	95.02	0.0	0.0	0.0	0	j53g
O _{Ma}	39.92	58.74	27.99	65.07	25	j71g
Y _{Ma}	81.26	-2.89	71.56	71.62	92	g21b
L _{Ma}	52.23	-42.42	13.6	44.55	162	g60b
V _{Ma}	30.57	1.41	-46.47	46.49	272	g97b

Daten für Maximalfarbe (Ma):

$LAB^*LAB^*_{Ma}$: 38 60 44

$LAB^*LCH^*_{Ma}$: 38 74 36

$lab^*olv^*_{Ma}$: 1.0 0.0 0.0

$lab^*rgb^*_{Ma}$: 1.0 0.16 0.0

Dreiecks-Helligkeit i^*

%Umfang

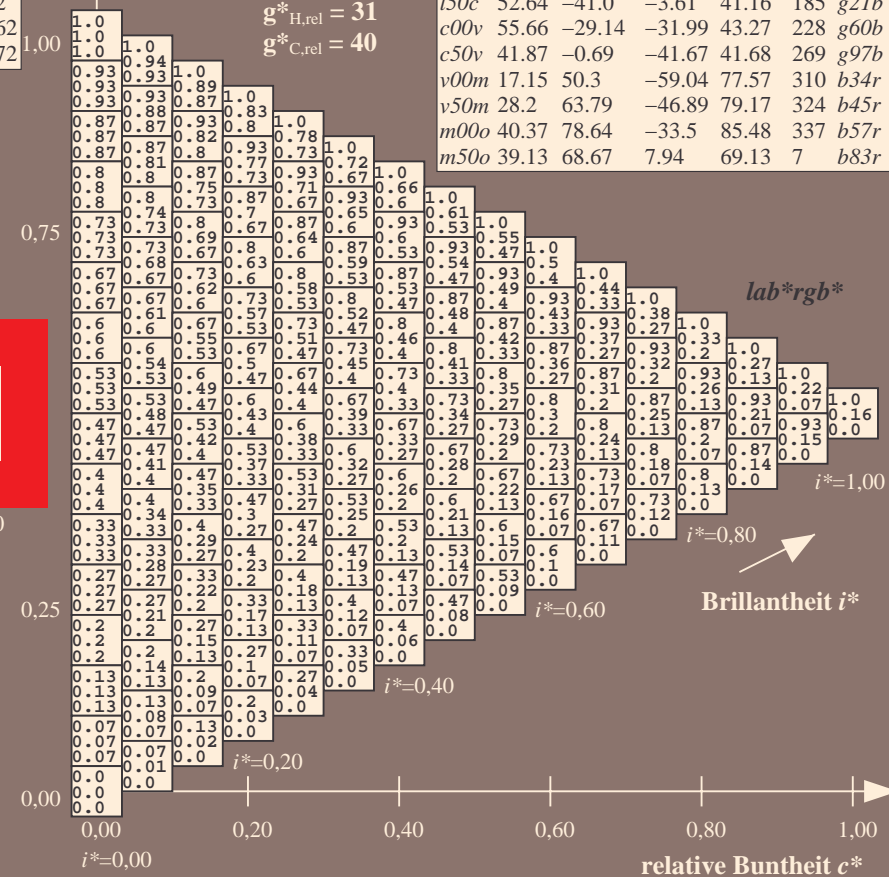
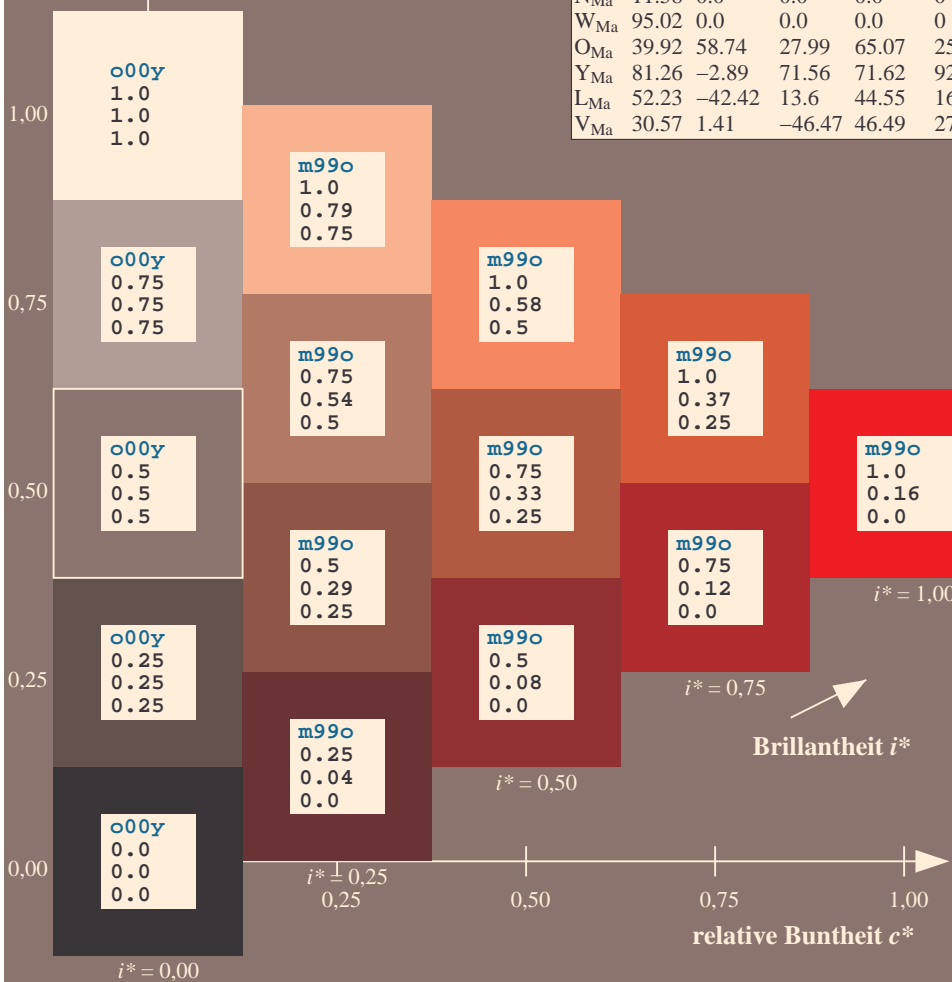
$u^*_{rel} = 109$

%Regularität

$g^*_{H,rel} = 31$

$g^*_{C,rel} = 40$

FRS12_95a; adaptierte CIELAB-Daten						
u^*_d	$L^*=L^*_a$	a^*_a	b^*_a	$C^*_{ab,a}$	$h^*_{ab,a}$	u^*_e
o00y	38.06	60.0	44.0	74.4	36	r16j
o25y	47.68	47.13	56.9	73.88	50	r37j
o50y	57.77	33.62	70.44	78.05	64	r58j
o75y	69.84	17.48	86.62	88.37	79	r79j
y00l	86.77	-5.17	109.32	109.44	93	j01g
y25l	73.71	-24.12	89.19	92.39	105	j18g
y50l	63.76	-38.55	73.86	83.32	118	j36g
y75l	55.23	-50.92	60.72	79.25	130	j53g
l00c	47.13	-62.67	48.24	79.09	142	j71g
l50c	52.64	-41.0	-3.61	41.16	185	g21b
c00v	55.66	-29.14	-31.99	43.27	228	g60b
c50v	41.87	-0.69	-41.67	41.68	269	g97b
v00m	17.15	50.3	-59.04	77.57	310	b34r
v50m	28.2	63.79	-46.89	79.17	324	b45r
m00o	40.37	78.64	-33.5	85.48	337	b57r
m50o	39.13	68.67	7.94	69.13	7	b83r

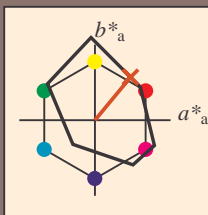


Ein und Ausgabe: Farbmetrisches Drucker-Reflektiv-System FRS12_95a, L*=12_95 für relativen CIELAB-Buntton $h^* = lab^*h^* = h_{ab}/360 = 0.14$ $u^*_d = o25y$
Daten für jede Farbe: lab^*tch^* und lab^*icu^*

Bunttontexte: $u^*_d = o25y$ $u^*_e = r37j$

Kontrastreduzierungsfaktor: $c_R = 1.0$

Dreiecks-Helligkeit t^*



FRS12_95a; adaptierte CIELAB-Daten						
u^*_d	$L^*=L^*_a$	a^*_a	b^*_a	$C^*_{ab,a}$	$h^*_{ab,a}$	u^*_e
O _{Ma}	38.06	60.0	44.0	74.4	36	r16j
Y _{Ma}	86.77	-5.17	109.32	109.44	93	r37j
L _{Ma}	47.13	-62.67	48.24	79.09	142	r58j
C _{Ma}	55.66	-29.14	-31.99	43.27	228	r79j
V _{Ma}	17.15	50.3	-59.04	77.57	310	j01g
M _{Ma}	40.37	78.64	-33.5	85.48	337	j18g
N _{Ma}	11.58	0.0	0.0	0.0	0	j36g
W _{Ma}	95.02	0.0	0.0	0.0	0	j53g
O _{Ma}	39.92	58.74	27.99	65.07	25	j71g
Y _{Ma}	81.26	-2.89	71.56	71.62	92	g21b
L _{Ma}	52.23	-42.42	13.6	44.55	162	g60b
V _{Ma}	30.57	1.41	-46.47	46.49	272	g97b

Daten für Maximalfarbe (Ma):

$LAB^*LAB^*_{Ma}$: 48 47 57

$LAB^*LCH^*_{Ma}$: 48 74 50

$lab^*olv^*_{Ma}$: 1.0 0.25 0.0

$lab^*rgb^*_{Ma}$: 1.0 0.37 0.0

Dreiecks-Helligkeit t^*

%Umfang

$u^*_{rel} = 109$

%Regularität

$g^*_{H,rel} = 31$

$g^*_{C,rel} = 40$

FRS12_95a; adaptierte CIELAB-Daten						
u^*_d	$L^*=L^*_a$	a^*_a	b^*_a	$C^*_{ab,a}$	$h^*_{ab,a}$	u^*_e
o00y	38.06	60.0	44.0	74.4	36	r16j
o25y	47.68	47.13	56.9	73.88	50	r37j
o50y	57.77	33.62	70.44	78.05	64	r58j
o75y	69.84	17.48	86.62	88.37	79	r79j
y00l	86.77	-5.17	109.32	109.44	93	j01g
y25l	73.71	-24.12	89.19	92.39	105	j18g
y50l	63.76	-38.55	73.86	83.32	118	j36g
y75l	55.23	-50.92	60.72	79.25	130	j53g
l00c	47.13	-62.67	48.24	79.09	142	j71g
l50c	52.64	-41.0	-3.61	41.16	185	g21b
c00v	55.66	-29.14	-31.99	43.27	228	g60b
c50v	41.87	-0.69	-41.67	41.68	269	g97b
v00m	17.15	50.3	-59.04	77.57	310	b34r
v50m	28.2	63.79	-46.89	79.17	324	b45r
m00o	40.37	78.64	-33.5	85.48	337	b57r
m50o	39.13	68.67	7.94	69.13	7	b83r

lab^*rgb^*

$i^* = 1.00$

Brillantheit i^*

$i^* = 0.80$

$i^* = 0.60$

$i^* = 0.40$

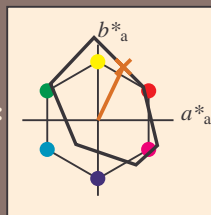
$i^* = 0.20$

$i^* = 0.00$

relative Buntheit c^*

relative Buntheit c^*

Ein und Ausgabe: Farbm
Daten für jede Farbe:
*lab**tch*** und *lab**icu***
Bunttontexte:
*u**d** = *o50y* *u**e** = *r58j*
Kontrastreduzierungsfa
c_R = 1.0
Dreiecks-Helligkeit *t**



FRS12_95a; adaptierte CIELAB-Daten						
u^*_d	$L^*=L^*_a$	a^*_a	b^*_a	$C^*_{ab,a}$	$h^*_{ab,a}$	
O _{Ma}	38.06	60.0	44.0	74.4	36	
Y _{Ma}	86.77	-5.17	109.32	109.44	93	
L _{Ma}	47.13	-62.67	48.24	79.09	142	
C _{Ma}	55.66	-29.14	-31.99	43.27	228	
V _{Ma}	17.15	50.3	-59.04	77.57	310	
M _{Ma}	40.37	78.64	-33.5	85.48	337	
N _{Ma}	11.58	0.0	0.0	0.0	0	
W _{Ma}	95.02	0.0	0.0	0.0	0	
O _{Ma}	39.92	58.74	27.99	65.07	25	
Y _{Ma}	81.26	-2.89	71.56	71.62	92	
L _{Ma}	52.23	-42.42	13.6	44.55	162	
V _{Ma}	30.57	1.41	-46.47	46.49	272	

Daten für Maximalfarbe (Ma):

LAB*LAB*Ma: 58 34 70

*LAB*LCH**M_a: 58 78 64

*lab*oly**Ma: 1.0 0.5 0.0

*lab*rgb*_{Ma}: 1.0 0.58 0.0

Dreiecks-Helligkeit t^*

%Umfang

$$\mathbf{u}_{\text{rel}}^* = 109$$

%Regularität

$$g_{\text{H,rel}}^* = 31$$
$$g^{\text{C,rel}} = 40$$

FRS12_95a; adaptierte CIELAB-Daten							
u_d^*	$L^*=L_a^*$	a_a^*	b_a^*	$C^*_{ab,a}$	$h^*_{ab,a}$	u_e^*	
<i>o00y</i>	38.06	60.0	44.0	74.4	36	<i>r16i</i>	
<i>o25y</i>	47.68	47.13	56.9	73.88	50	<i>r37j</i>	
<i>o50y</i>	57.77	33.62	70.44	78.05	64	<i>r58j</i>	
<i>o75y</i>	69.84	17.48	86.62	88.37	79	<i>r79j</i>	
<i>y00l</i>	86.77	-5.17	109.32	109.44	93	<i>j01g</i>	
<i>y25l</i>	73.71	-24.12	89.19	92.39	105	<i>j18g</i>	
<i>y50l</i>	63.76	-38.55	73.86	83.32	118	<i>j36g</i>	
<i>y75l</i>	55.23	-50.92	60.72	79.25	130	<i>j53g</i>	
<i>l00c</i>	47.13	-62.67	48.24	79.09	142	<i>j71g</i>	
<i>l50c</i>	52.64	-41.0	-3.61	41.16	185	<i>g21b</i>	
<i>c00v</i>	55.66	-29.14	-31.99	43.27	228	<i>g60b</i>	
<i>c50v</i>	41.87	-0.69	-41.67	41.68	269	<i>g97b</i>	
<i>v00m</i>	17.15	50.3	-59.04	77.57	310	<i>b34r</i>	
<i>v50m</i>	28.52	63.79	-46.89	79.17	324	<i>b45r</i>	
<i>m00o</i>	40.37	78.64	-33.5	85.48	337	<i>b57r</i>	
<i>m50o</i>	39.13	68.67	7.94	69.13	7	<i>b83r</i>	

*lab*rgb**

$$i^*=1,00$$

Brillantheit *i**

BAM-Prüfvorlage Fg62; Relatives Geräte-Farbsystem
D65: Farbreihen, Datentabellen für 16 Bunttöne 000y l

Eingabe: *000n / w / nnn0 / www set...*

oAusgabe: $\rightarrow LAB^* \rightarrow cmy0^* \text{ setcmyk}$

Ein und Ausgabe: Farbmétrisches Drucker-Reflektiv-System FRS12_95a, $L^*=12_95$ für relativen CIELAB-Buntton $h^* = lab^*h^* = h_{ab}/360 = 0.218$ $u^*_d = 0.75y$

Daten für jede Farbe:

lab^*tch^* und lab^*icu^*

Bunttontexte:

$u^*_d = 0.75y$ $u^*_e = r.79j$

Kontrastreduzierungsfaktor:

$c_R = 1.0$

Dreiecks-Helligkeit t^*

Daten für Maximalfarbe (Ma):

$LAB^*LAB^*Ma: 70\ 17\ 87$

$LAB^*LCH^*Ma: 70\ 88\ 78$

$lab^*olv^*Ma: 1.0\ 0.75\ 0.0$

$lab^*rgb^*Ma: 1.0\ 0.79\ 0.0$

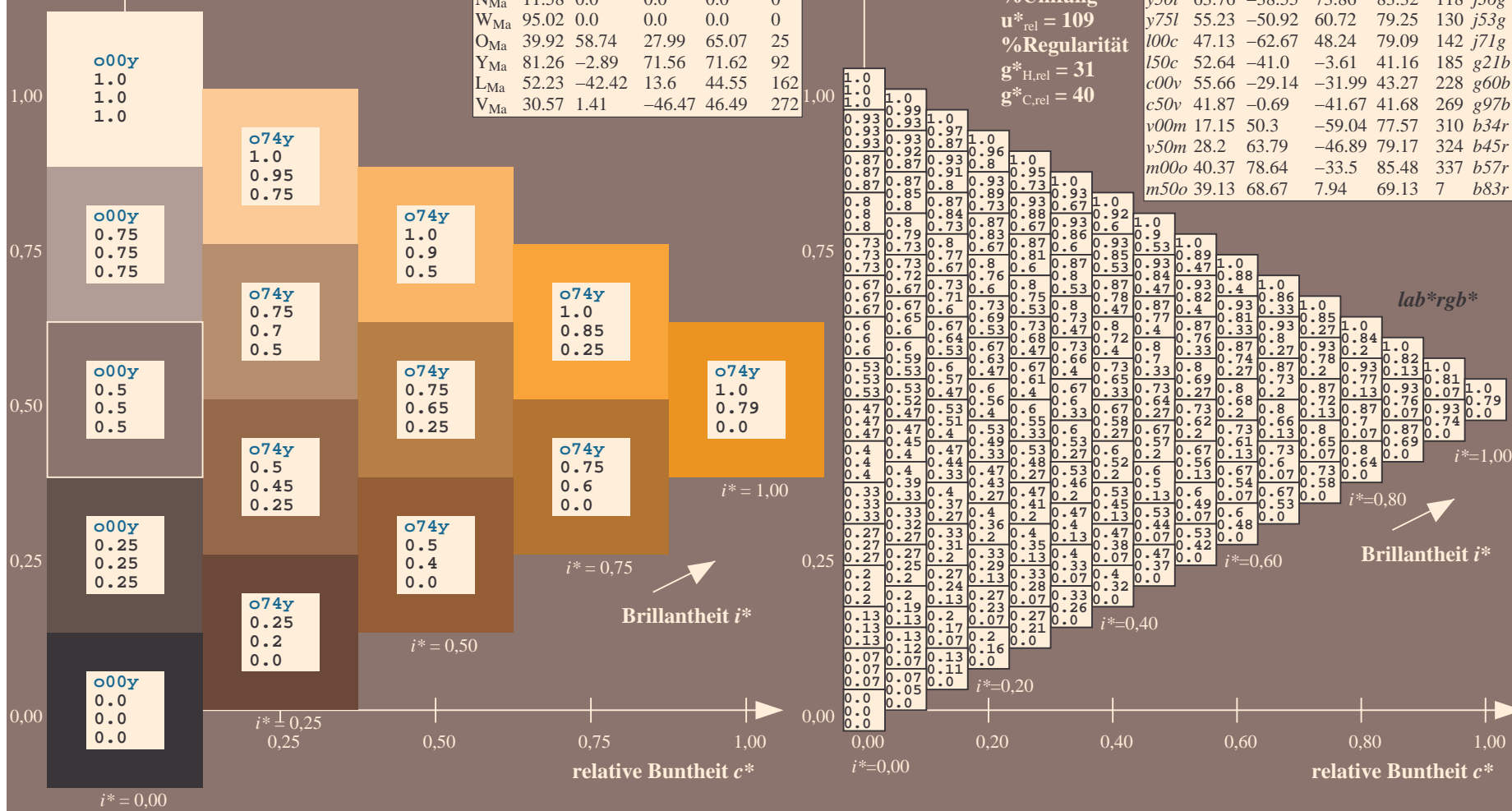
Dreiecks-Helligkeit t^*

FRS12_95a; adaptierte CIELAB-Daten					
u^*_d	$L^*=L^*_a$	a^*_a	b^*_a	$C^*_{ab,a}$	$h^*_{ab,a}$
O_{Ma}	38.06	60.0	44.0	74.4	36
Y_{Ma}	86.77	-5.17	109.32	109.44	93
L_{Ma}	47.13	-62.67	48.24	79.09	142
C_{Ma}	55.66	-29.14	-31.99	43.27	228
V_{Ma}	17.15	50.3	-59.04	77.57	310

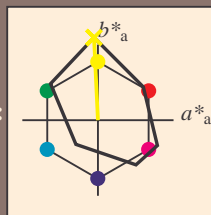
FRS12_95a; adaptierte CIELAB-Daten						
u^*_d	$L^*=L^*_a$	a^*_a	b^*_a	$C^*_{ab,a}$	$h^*_{ab,a}$	u^*_e
$o00y$	38.06	60.0	44.0	74.4	36	$r16j$
$o25y$	47.68	47.13	56.9	73.88	50	$r37j$
$o50y$	57.77	33.62	70.44	78.05	64	$r58j$
$o75y$	69.84	17.48	86.62	88.37	79	$r79j$
$y00l$	86.77	-5.17	109.32	109.44	93	$j01l$

FRS12_95a; adaptierte CIELAB-Daten						
	u^*_d	$L^*=L^*_a$	a^*_a	b^*_a	$C^*_{ab,a}$	$h^*_{ab,a}$
O _{Ma}	38.06	60.0		44.0	74.4	36
Y _{Ma}	86.77	-5.17		109.32	109.44	93
L _{Ma}	47.13	-62.67		48.24	79.09	142
C _{Ma}	55.66	-29.14		-31.99	43.27	228
V _{Ma}	17.15	50.3		-59.04	77.57	310
M _{Ma}	40.37	78.64		-33.5	85.48	337
N _{Ma}	11.58	0.0		0.0	0.0	0
W _{Ma}	95.02	0.0		0.0	0.0	0
O _{Ma}	39.92	58.74		27.99	65.07	25
Y _{Ma}	81.26	-2.89		71.56	71.62	92
L _{Ma}	52.23	-42.42		13.6	44.55	162
V _{Ma}	30.57	1.41		-46.47	46.49	272

FRS12_95a; adaptierte CIELAB-Daten							
u_d^*	$L^*=L_a^*$	a_a^*	b_a^*	$C^*_{ab,a}$	$h^*_{ab,a}$	u_e^*	
<i>o00y</i>	38.06	60.0	44.0	74.4	36	<i>r16j</i>	
<i>o25y</i>	47.68	47.13	56.9	73.88	50	<i>r37j</i>	
<i>o50y</i>	57.77	33.62	70.44	78.05	64	<i>r58j</i>	
<i>o75y</i>	69.84	17.48	86.62	88.37	79	<i>r79j</i>	
<i>y00l</i>	86.77	-5.17	109.32	109.44	93	<i>j01g</i>	
<i>y25l</i>	73.71	-24.12	89.19	92.39	105	<i>j18g</i>	
<i>y50l</i>	63.76	-38.55	73.86	83.32	118	<i>j36g</i>	
<i>y75l</i>	55.23	-50.92	60.72	79.25	130	<i>j53g</i>	
<i>l00c</i>	47.13	-62.67	48.24	79.09	142	<i>j71g</i>	
<i>l50c</i>	52.64	-41.0	-3.61	41.16	185	<i>g21b</i>	
<i>c00v</i>	55.66	-29.14	-31.99	43.27	228	<i>g60b</i>	
<i>c50v</i>	41.87	-0.69	-41.67	41.68	269	<i>g97b</i>	
<i>v00m</i>	17.15	50.3	-59.04	77.57	310	<i>b34r</i>	
<i>v50m</i>	28.2	63.79	-46.89	79.17	324	<i>b45r</i>	
<i>m00o</i>	40.37	78.64	-33.5	85.48	337	<i>b57r</i>	
<i>m50o</i>	39.13	68.67	7.94	69.13	7	<i>b83r</i>	



Ein und Ausgabe: Farbmatisches Drucker-Reflektiv-System FRS12_95a, L*=12_95 für relativen CIELAB-Buntton $h^* = lab^*h^* = h_{ab}/360 = 0.258$ $u^*_d = y00l$
Daten für jede Farbe:
 lab^*tch^* und lab^*icu^*
Bunttontexte:
 $u^*_d = y00l$ $u^*_e = j01g$
Kontrastreduzierungsfaktor:
 $c_R = 1.0$
Dreiecks-Helligkeit i^*



FRS12_95a; adaptierte CIELAB-Daten						
u^*_d	$L^*=L^*_a$	a^*_a	b^*_a	$C^*_{ab,a}$	$h^*_{ab,a}$	u^*_e
O _{Ma}	38.06	60.0	44.0	74.4	36	r16j
Y _{Ma}	86.77	-5.17	109.32	109.44	93	r37j
L _{Ma}	47.13	-62.67	48.24	79.09	142	r58j
C _{Ma}	55.66	-29.14	-31.99	43.27	228	r79j
V _{Ma}	17.15	50.3	-59.04	77.57	310	j01g
M _{Ma}	40.37	78.64	-33.5	85.48	337	j18g
N _{Ma}	11.58	0.0	0.0	0.0	0	j36g
W _{Ma}	95.02	0.0	0.0	0.0	0	j53g
O _{Ma}	39.92	58.74	27.99	65.07	25	j71g
Y _{Ma}	81.26	-2.89	71.56	71.62	92	g21b
L _{Ma}	52.23	-42.42	13.6	44.55	162	g60b
V _{Ma}	30.57	1.41	-46.47	46.49	272	g97b

Daten für Maximalfarbe (Ma):

$LAB^*LAB^*_{Ma}$: 87 -5 109

$LAB^*LCH^*_{Ma}$: 87 109 92

$lab^*olv^*_{Ma}$: 1.0 1.0 0.0

$lab^*rgb^*_{Ma}$: 0.99 1.0 0.0

Dreiecks-Helligkeit i^*

%Umfang

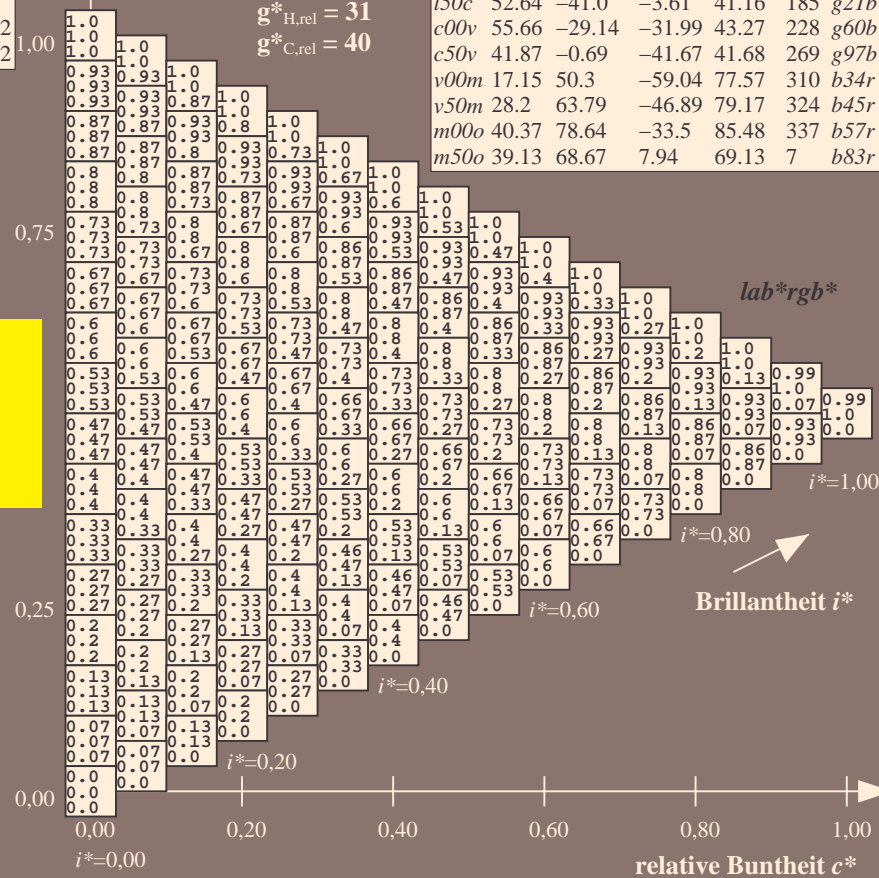
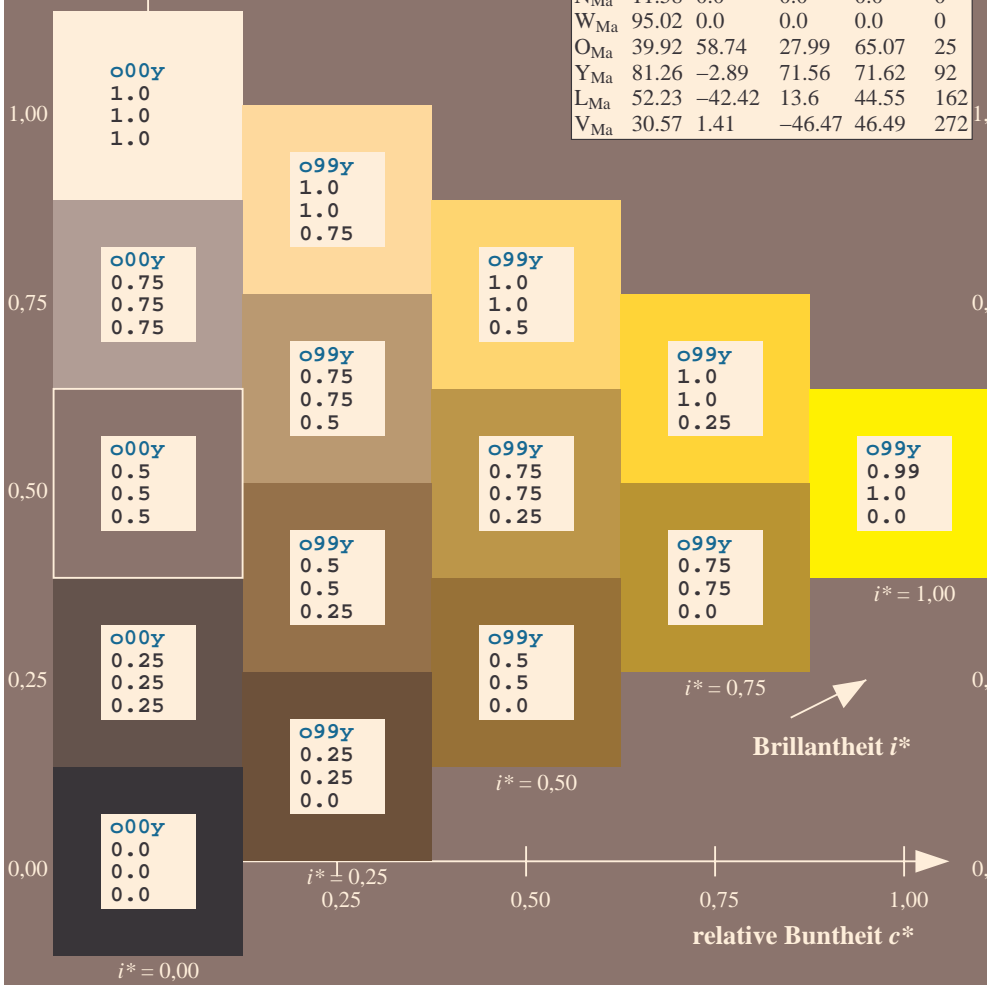
$u^*_{rel} = 109$

%Regularität

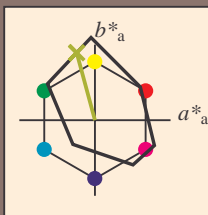
$g^*_{H,rel} = 31$

$g^*_{C,rel} = 40$

FRS12_95a; adaptierte CIELAB-Daten						
u^*_d	$L^*=L^*_a$	a^*_a	b^*_a	$C^*_{ab,a}$	$h^*_{ab,a}$	u^*_e
o00y	38.06	60.0	44.0	74.4	36	r16j
o25y	47.68	47.13	56.9	73.88	50	r37j
o50y	57.77	33.62	70.44	78.05	64	r58j
o75y	69.84	17.48	86.62	88.37	79	r79j
y00l	86.77	-5.17	109.32	109.44	93	j01g
y25l	73.71	-24.12	89.19	92.39	105	j18g
y50l	63.76	-38.55	73.86	83.32	118	j36g
y75l	55.23	-50.92	60.72	79.25	130	j53g
l00c	47.13	-62.67	48.24	79.09	142	j71g
l50c	52.64	-41.0	-3.61	41.16	185	g21b
c00v	55.66	-29.14	-31.99	43.27	228	g60b
c50v	41.87	-0.69	-41.67	41.68	269	g97b
v00m	17.15	50.3	-59.04	77.57	310	b34r
v50m	28.2	63.79	-46.89	79.17	324	b45r
m00o	40.37	78.64	-33.5	85.48	337	b57r
m50o	39.13	68.67	7.94	69.13	7	b83r



Ein und Ausgabe: Farbmatisches Drucker-Reflektiv-System FRS12_95a, L*=12_95 für relativen CIELAB-Buntton $h^* = lab^*h^* = h_{ab}/360 = 0.292$ $u^*_d = y25l$
Daten für jede Farbe:
 lab^*tch^* und lab^*icu^*
Bunttontexte:
 $u^*_d = y25l$ $u^*_e = j18g$
Kontrastreduzierungsfaktor:
 $c_R = 1.0$
Dreiecks-Helligkeit i^*



FRS12_95a; adaptierte CIELAB-Daten						
u^*_d	$L^*=L^*_a$	a^*_a	b^*_a	$C^*_{ab,a}$	$h^*_{ab,a}$	u^*_e
O _{Ma}	38.06	60.0	44.0	74.4	36	
Y _{Ma}	86.77	-5.17	109.32	109.44	93	
L _{Ma}	47.13	-62.67	48.24	79.09	142	
C _{Ma}	55.66	-29.14	-31.99	43.27	228	
V _{Ma}	17.15	50.3	-59.04	77.57	310	
M _{Ma}	40.37	78.64	-33.5	85.48	337	
N _{Ma}	11.58	0.0	0.0	0.0	0	
W _{Ma}	95.02	0.0	0.0	0.0	0	
O _{Ma}	39.92	58.74	27.99	65.07	25	
Y _{Ma}	81.26	-2.89	71.56	71.62	92	
L _{Ma}	52.23	-42.42	13.6	44.55	162	
V _{Ma}	30.57	1.41	-46.47	46.49	272	

Daten für Maximalfarbe (Ma):

$LAB^*LAB^*_{Ma}$: 74 -24 89

$LAB^*LCH^*_{Ma}$: 74 92 105

$lab^*olv^*_{Ma}$: 0.75 1.0 0.0

$lab^*rgb^*_{Ma}$: 0.82 1.0 0.0

Dreiecks-Helligkeit i^*

%Umfang

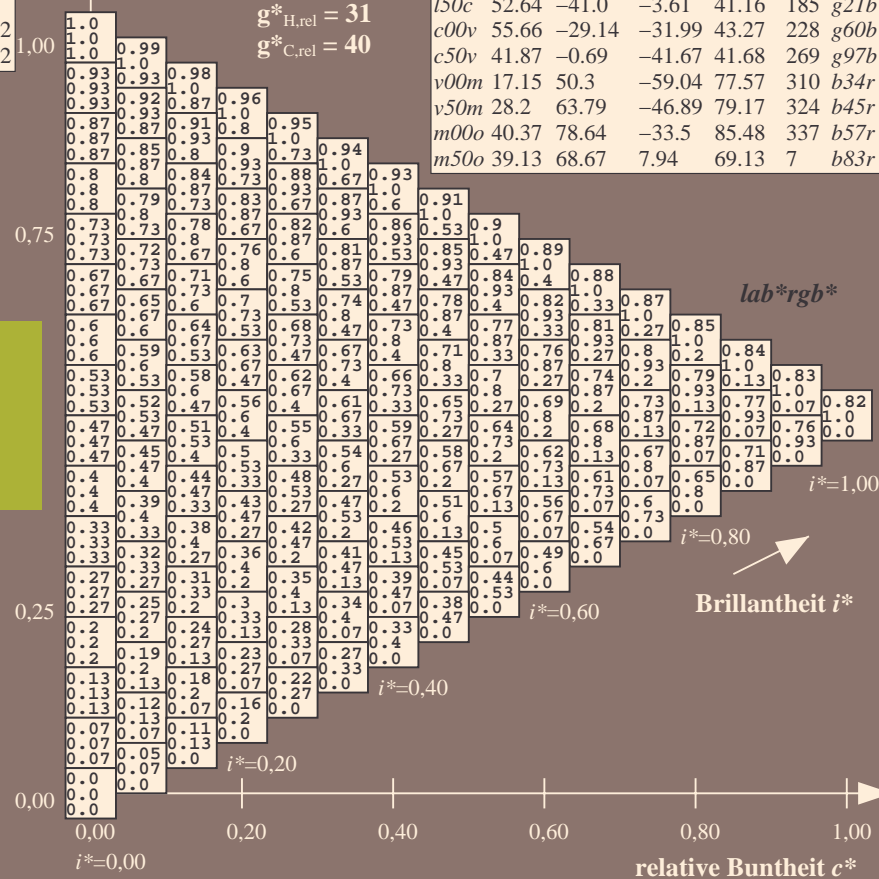
$u^*_{rel} = 109$

%Regularität

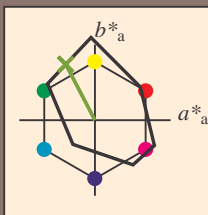
$g^*_{H,rel} = 31$

$g^*_{C,rel} = 40$

FRS12_95a; adaptierte CIELAB-Daten						
u^*_d	$L^*=L^*_a$	a^*_a	b^*_a	$C^*_{ab,a}$	$h^*_{ab,a}$	u^*_e
o00y	38.06	60.0	44.0	74.4	36	r16j
o25y	47.68	47.13	56.9	73.88	50	r37j
o50y	57.77	33.62	70.44	78.05	64	r58j
o75y	69.84	17.48	86.62	88.37	79	r79j
y00l	86.77	-5.17	109.32	109.44	93	j01g
y25l	73.71	-24.12	89.19	92.39	105	j18g
y50l	63.76	-38.55	73.86	83.32	118	j36g
y75l	55.23	-50.92	60.72	79.25	130	j53g
l00c	47.13	-62.67	48.24	79.09	142	j71g
l50c	52.64	-41.0	-3.61	41.16	185	g21b
c00v	55.66	-29.14	-31.99	43.27	228	g60b
c50v	41.87	-0.69	-41.67	41.68	269	g97b
v00m	17.15	50.3	-59.04	77.57	310	b34r
v50m	28.2	63.79	-46.89	79.17	324	b45r
m00o	40.37	78.64	-33.5	85.48	337	b57r
m50o	39.13	68.67	7.94	69.13	7	b83r



Ein und Ausgabe: Farbmatisches Drucker-Reflektiv-System FRS12_95a, L*=12_95 für relativen CIELAB-Buntton $h^* = lab^*h^* = h_{ab}/360 = 0.327$ $u^*_d = y50l$
Daten für jede Farbe:
 lab^*ch^* und lab^*icu^*
Bunttontexte:
 $u^*_d = y50l$ $u^*_e = j36g$
Kontrastreduzierungsfaktor:
 $c_R = 1.0$
Dreiecks-Helligkeit i^*



FRS12_95a; adaptierte CIELAB-Daten						
u^*_d	$L^*=L^*_a$	a^*_a	b^*_a	$C^*_{ab,a}$	$h^*_{ab,a}$	u^*_e
O _{Ma}	38.06	60.0	44.0	74.4	36	
Y _{Ma}	86.77	-5.17	109.32	109.44	93	
L _{Ma}	47.13	-62.67	48.24	79.09	142	
C _{Ma}	55.66	-29.14	-31.99	43.27	228	
V _{Ma}	17.15	50.3	-59.04	77.57	310	
M _{Ma}	40.37	78.64	-33.5	85.48	337	
N _{Ma}	11.58	0.0	0.0	0.0	0	
W _{Ma}	95.02	0.0	0.0	0.0	0	
O _{Ma}	39.92	58.74	27.99	65.07	25	
Y _{Ma}	81.26	-2.89	71.56	71.62	92	
L _{Ma}	52.23	-42.42	13.6	44.55	162	
V _{Ma}	30.57	1.41	-46.47	46.49	272	

Daten für Maximalfarbe (Ma):

$LAB^*LAB^*_{Ma}$: 64 -39 74

$LAB^*LCH^*_{Ma}$: 64 83 117

$lab^*olv^*_{Ma}$: 0.5 1.0 0.0

$lab^*rgb^*_{Ma}$: 0.64 1.0 0.0

Dreiecks-Helligkeit i^*

%Umfang

$u^*_{rel} = 109$

%Regularität

$g^*_{H,rel} = 31$

$g^*_{C,rel} = 40$

FRS12_95a; adaptierte CIELAB-Daten						
u^*_d	$L^*=L^*_a$	a^*_a	b^*_a	$C^*_{ab,a}$	$h^*_{ab,a}$	u^*_e
o00y	38.06	60.0	44.0	74.4	36	r16j
o25y	47.68	47.13	56.9	73.86	50	r37j
o50y	57.77	33.62	70.44	78.05	64	r58j
o75y	69.84	17.48	86.62	88.37	79	r79j
y00l	86.77	-5.17	109.32	109.44	93	j01g
y25l	73.71	-24.12	89.19	92.39	105	j18g
y50l	63.76	-38.55	73.86	83.32	118	j36g
y75l	55.23	-50.92	60.72	79.25	130	j53g
l00c	47.13	-62.67	48.24	79.09	142	j71g
l50c	52.64	-41.0	-3.61	41.16	185	g21b
c00v	55.66	-29.14	-31.99	43.27	228	g60b
c50v	41.87	-0.69	-41.67	41.68	269	g97b
v00m	17.15	50.3	-59.04	77.57	310	b34r
v50m	28.2	63.79	-46.89	79.17	324	b45r
m00o	40.37	78.64	-33.5	85.48	337	b57r
m50o	39.13	68.67	7.94	69.13	7	b83r

lab^*rgb^*

$i^* = 1.00$

Brillantheit i^*

$i^* = 0.80$

$i^* = 0.60$

$i^* = 0.40$

$i^* = 0.20$

$i^* = 0.00$

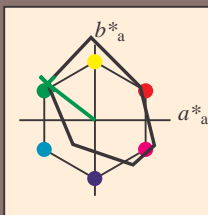
relative Buntheit c^*

relative Buntheit c^*

Output: $\rightarrow LAB^* \rightarrow cmy0^* \text{ setcmyk}$

BAM-Registrierung: 20081001-Fg62/10L/L62g00FP.PDF/.PS BAM-Material: Code=rha4ta
Anwendung für Beurteilung und Messung von Druck- oder Monitorsystemen

Ein und Ausgabe: Farbmatisches Drucker-Reflektiv-System FRS12_95a, L*=12_95 für relativen CIELAB-Buntton $h^* = lab^*h^* = h_{ab}/360 = 0.396$ $u^*_d = 100c$
Daten für jede Farbe:
 lab^*tch^* und lab^*icu^*
Bunttontexte:
 $u^*_d = 100c$ $u^*_e = j71g$
Kontrastreduzierungsfaktor:
 $c_R = 1.0$
Dreiecks-Helligkeit i^*



FRS12_95a; adaptierte CIELAB-Daten						
u^*_d	$L^*=L^*_a$	a^*_a	b^*_a	$C^*_{ab,a}$	$h^*_{ab,a}$	u^*_e
O _{Ma}	38.06	60.0	44.0	74.4	36	
Y _{Ma}	86.77	-5.17	109.32	109.44	93	
L _{Ma}	47.13	-62.67	48.24	79.09	142	
C _{Ma}	55.66	-29.14	-31.99	43.27	228	
V _{Ma}	17.15	50.3	-59.04	77.57	310	
M _{Ma}	40.37	78.64	-33.5	85.48	337	
N _{Ma}	11.58	0.0	0.0	0.0	0	
W _{Ma}	95.02	0.0	0.0	0.0	0	
O _{Ma}	39.92	58.74	27.99	65.07	25	
Y _{Ma}	81.26	-2.89	71.56	71.62	92	
L _{Ma}	52.23	-42.42	13.6	44.55	162	
V _{Ma}	30.57	1.41	-46.47	46.49	272	

Daten für Maximalfarbe (Ma):

$LAB^*LAB^*_{Ma}$: 47 -63 48

$LAB^*LCH^*_{Ma}$: 47 79 142

$lab^*olv^*_{Ma}$: 0.0 1.0 0.0

$lab^*rgb^*_{Ma}$: 0.28 1.0 0.0

Dreiecks-Helligkeit i^*

%Umfang

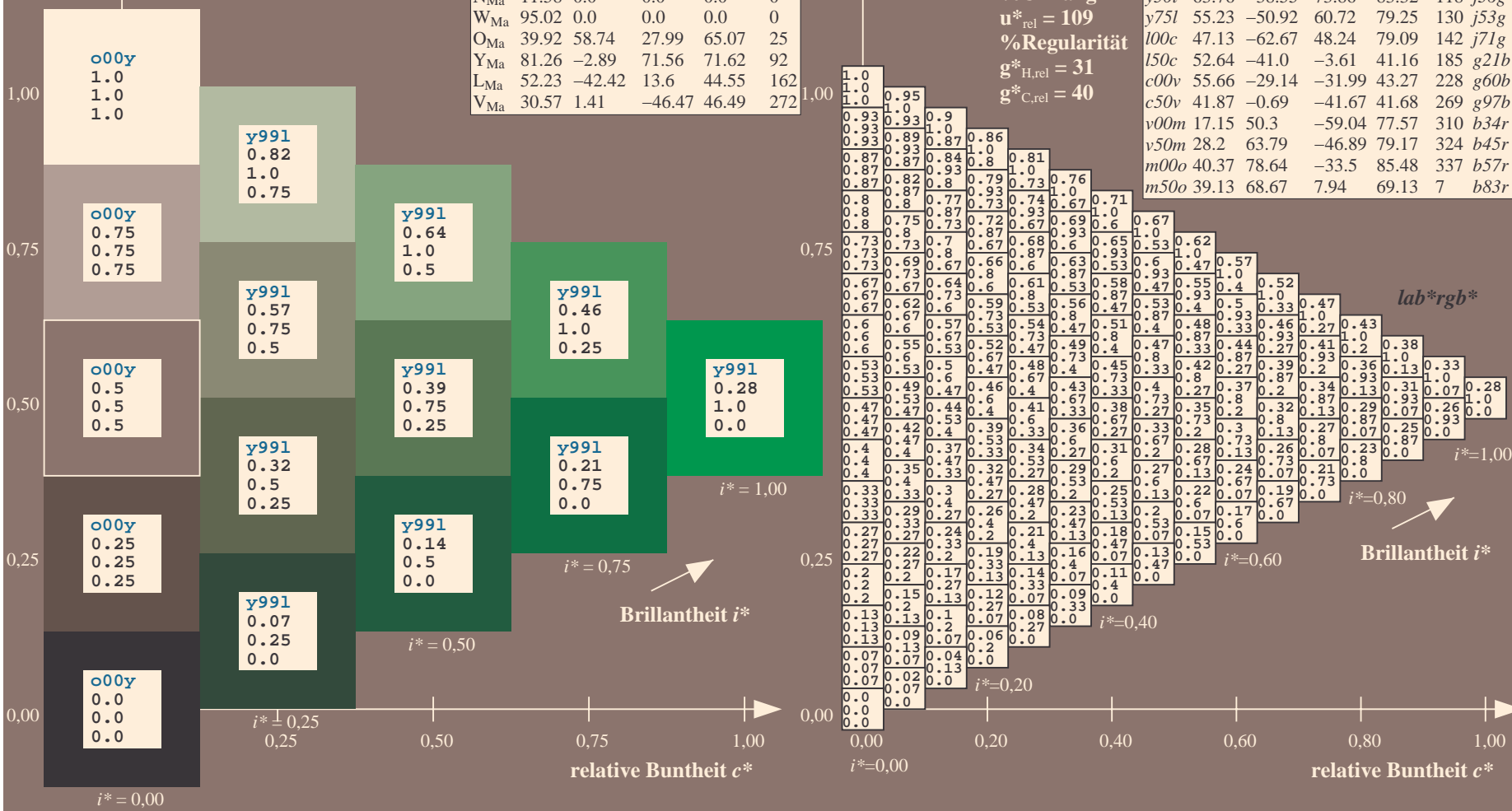
$u^*_{rel} = 109$

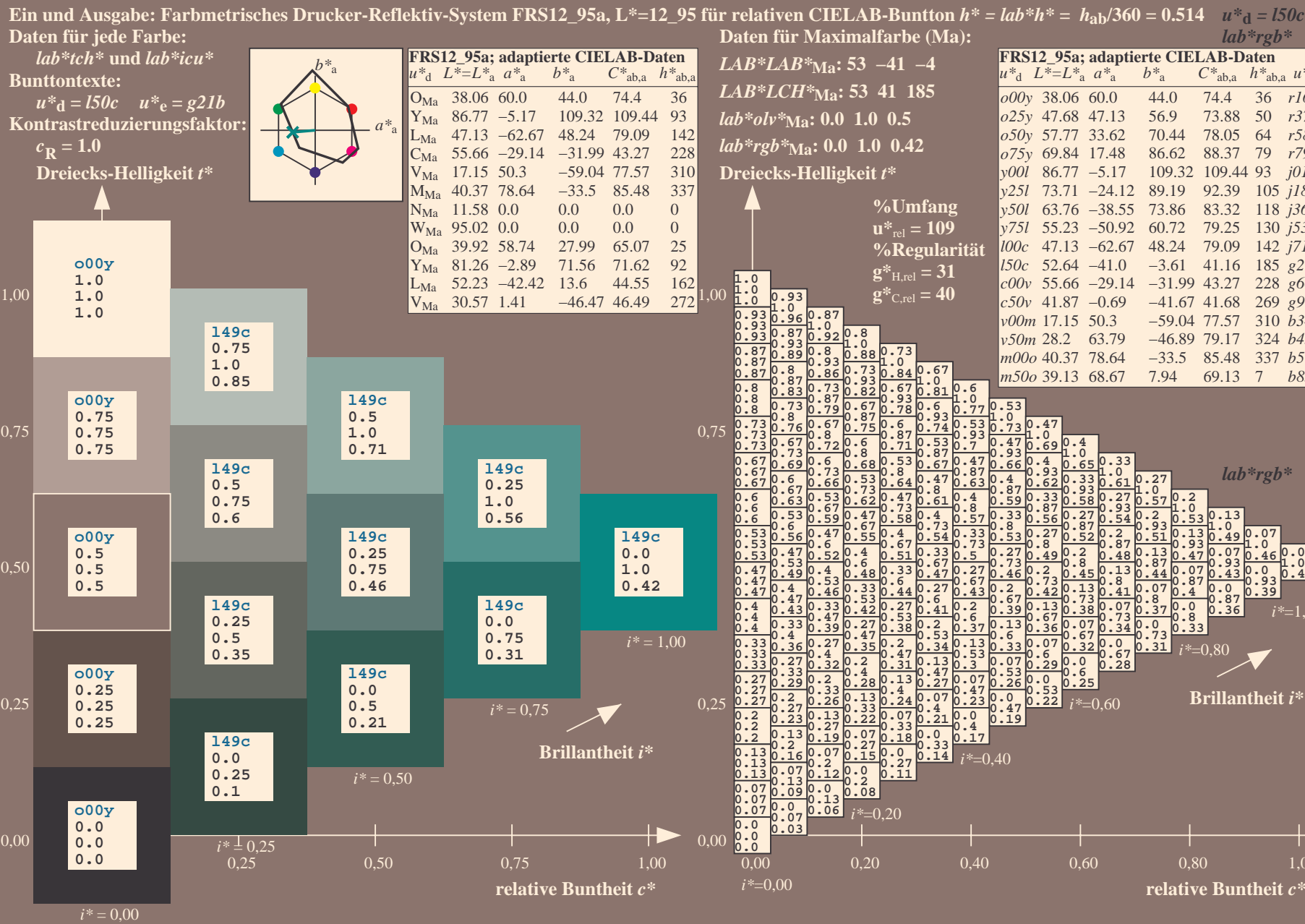
%Regularität

$g^*_{H,rel} = 31$

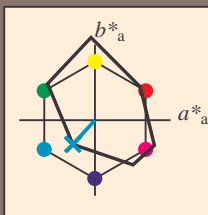
$g^*_{C,rel} = 40$

FRS12_95a; adaptierte CIELAB-Daten						
u^*_d	$L^*=L^*_a$	a^*_a	b^*_a	$C^*_{ab,a}$	$h^*_{ab,a}$	u^*_e
o00y	38.06	60.0	44.0	74.4	36	r16j
o25y	47.68	47.13	56.9	73.88	50	r37j
o50y	57.77	33.62	70.44	78.05	64	r58j
o75y	69.84	17.48	86.62	88.37	79	r79j
y00l	86.77	-5.17	109.32	109.44	93	j01g
y25l	73.71	-24.12	89.19	92.39	105	j18g
y50l	63.76	-38.55	73.86	83.32	118	j36g
y75l	55.23	-50.92	60.72	79.25	130	j53g
l00c	47.13	-62.67	48.24	79.09	142	j71g
l50c	52.64	-41.0	-3.61	41.16	185	g21b
c50v	55.66	-29.14	-31.99	43.27	228	g60b
c50m	41.87	-0.69	-41.67	41.68	269	g97b
v00m	17.15	50.3	-59.04	77.57	310	b34r
v50m	28.2	63.79	-46.89	79.17	324	b45r
m00o	40.37	78.64	-33.5	85.48	337	b57r
m50o	39.13	68.67	7.94	69.13	7	b83r





Ein und Ausgabe: Farbmetrisches Drucker-Reflektiv-System FRS12_95a, L*=12_95 für relativen CIELAB-Buntton $h^* = lab^*h^* = h_{ab}/360 = 0.632$ $u^*_d = c00v$
Daten für jede Farbe:
 lab^*tch^* und lab^*icu^*
Bunttontexte:
 $u^*_d = c00v$ $u^*_e = g60b$
Kontrastreduzierungsfaktor:
 $c_R = 1.0$
Dreiecks-Helligkeit i^*



FRS12_95a; adaptierte CIELAB-Daten						
	u^*_d	$L^*=L^*_a$	a^*_a	b^*_a	$C^*_{ab,a}$	$h^*_{ab,a}$
O _{Ma}	38.06	60.0	44.0	74.4	36	
Y _{Ma}	86.77	-5.17	109.32	109.44	93	
L _{Ma}	47.13	-62.67	48.24	79.09	142	
C _{Ma}	55.66	-29.14	-31.99	43.27	228	
V _{Ma}	17.15	50.3	-59.04	77.57	310	
M _{Ma}	40.37	78.64	-33.5	85.48	337	
N _{Ma}	11.58	0.0	0.0	0.0	0	
W _{Ma}	95.02	0.0	0.0	0.0	0	
O _{Ma}	39.92	58.74	27.99	65.07	25	
Y _{Ma}	81.26	-2.89	71.56	71.62	92	
L _{Ma}	52.23	-42.42	13.6	44.55	162	
V _{Ma}	30.57	1.41	-46.47	46.49	272	

Daten für Maximalfarbe (Ma):

$LAB^*LAB^*_{Ma}$: 56 -29 -32

$LAB^*LCH^*_{Ma}$: 56 43 227

$lab^*olv^*_{Ma}$: 0.0 1.0 1.0

$lab^*rgb^*_{Ma}$: 0.0 0.8 1.0

Dreiecks-Helligkeit i^*

%Umfang

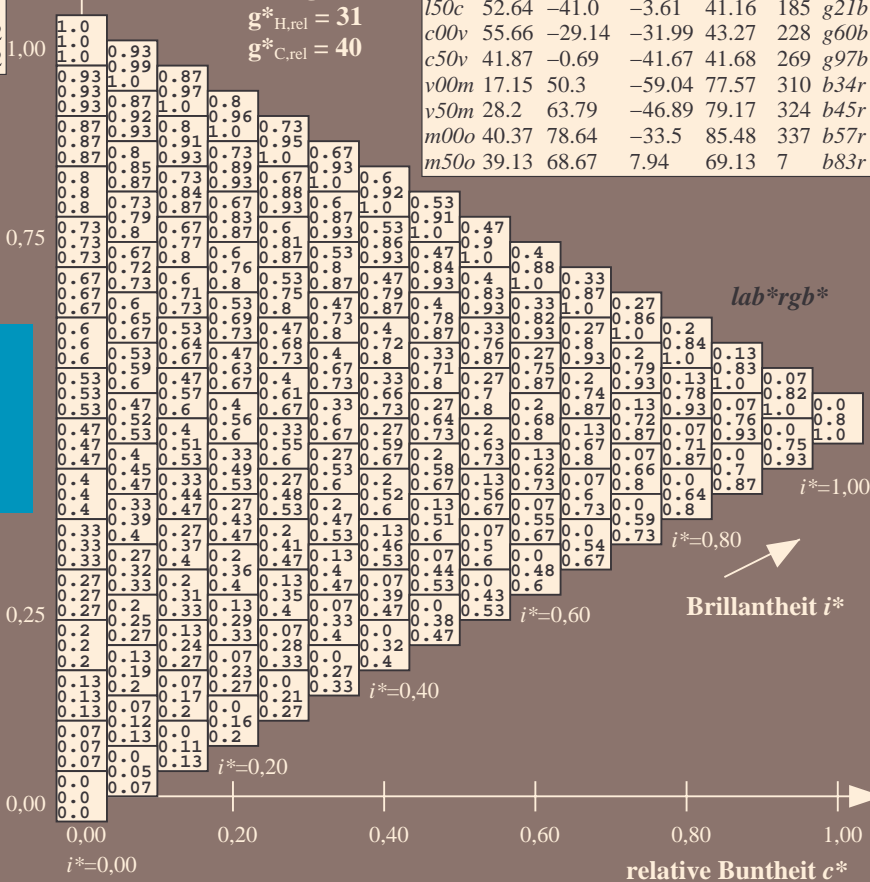
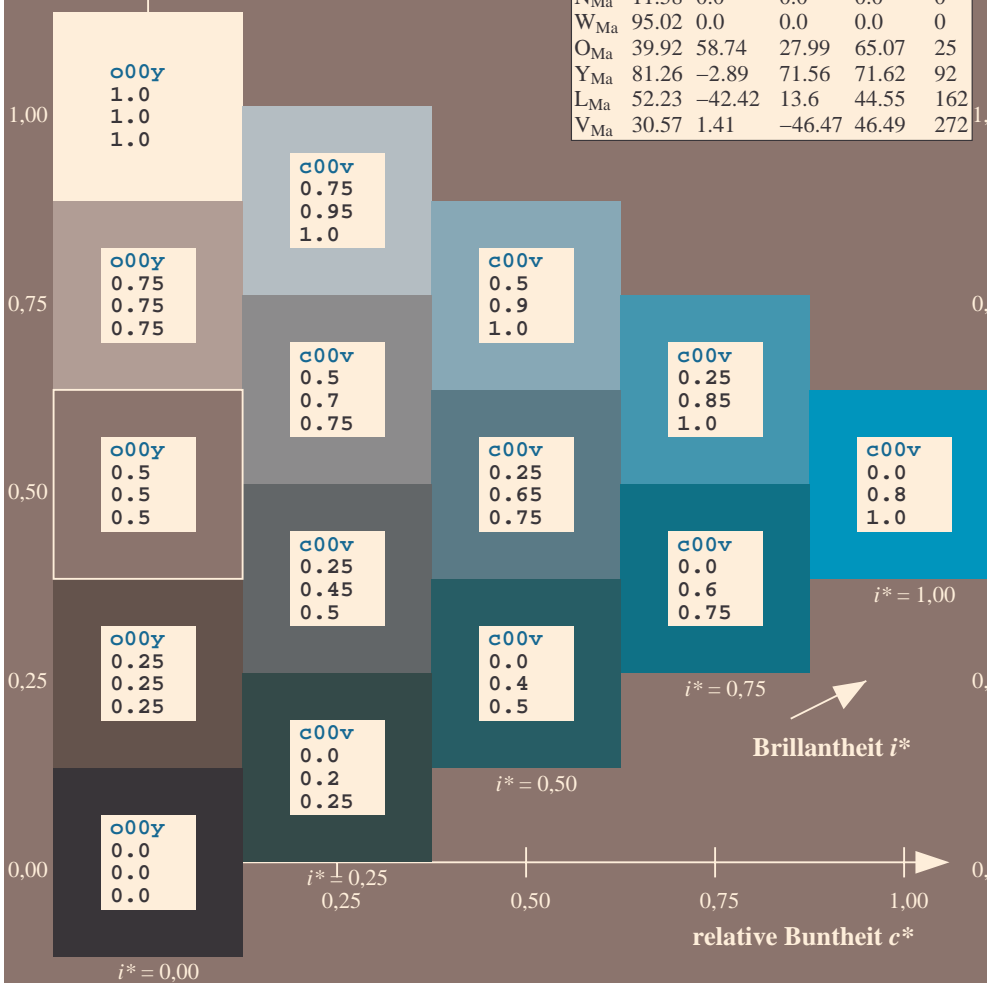
$u^*_{rel} = 109$

%Regularität

$g^*_{H,rel} = 31$

$g^*_{C,rel} = 40$

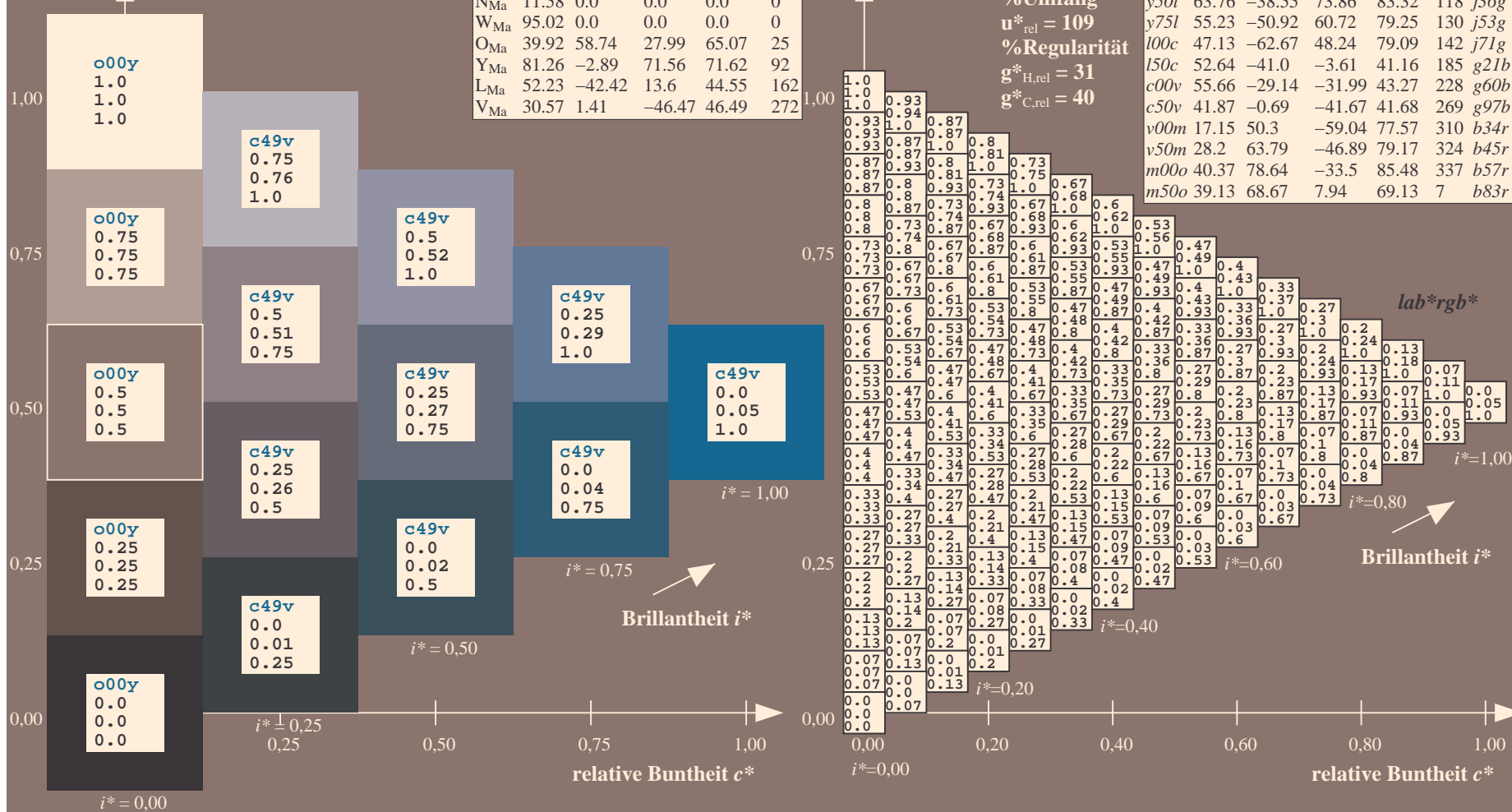
FRS12_95a; adaptierte CIELAB-Daten						
	u^*_d	$L^*=L^*_a$	a^*_a	b^*_a	$C^*_{ab,a}$	$h^*_{ab,a}$
o00y	38.06	60.0	44.0	74.4	36	r16j
o25y	47.68	47.13	56.9	73.88	50	r37j
o50y	57.77	33.62	70.44	78.05	64	r58j
o75y	69.84	17.48	86.62	88.37	79	r79j
y00l	86.77	-5.17	109.32	109.44	93	j01g
y25l	73.71	-24.12	89.19	92.39	105	j18g
y50l	63.76	-38.55	73.86	83.32	118	j36g
y75l	55.23	-50.92	60.72	79.25	130	j53g
l00c	47.13	-62.67	48.24	79.09	142	j71g
l50c	52.64	-41.0	-3.61	41.16	185	g21b
c00v	55.66	-29.14	-31.99	43.27	228	g60b
c50v	41.87	-0.69	-41.67	41.68	269	g97b
v00m	17.15	50.3	-59.04	77.57	310	b34r
v50m	28.2	63.79	-46.89	79.17	324	b45r
m00o	40.37	78.64	-33.5	85.48	337	b57r
m50o	39.13	68.67	7.94	69.13	7	b83r



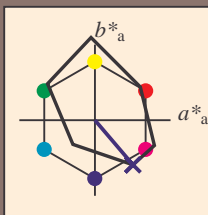
Ein und Ausgabe: Farbmetrisches Drucker-Reflektiv-System FRS12_95a, L*=12_95 für relativen CIELAB-Buntton $h^* = lab^*h^* = h_{ab}/360 = 0.747$ $u^*_d = c50v$			Daten für jede Farbe:			Daten für Maximalfarbe (Ma):		
lab^*tch^* und lab^*icu^*			lab^*tch^* und lab^*icu^*			lab^*rgb^*		
Bunttontexte:			Bunttontexte:			Bunttontexte:		
$u^*_d = c50v$ $u^*_e = g97b$			$u^*_d = c50v$ $u^*_e = g97b$			$u^*_d = c50v$ $u^*_e = g97b$		
Kontrastreduzierungsfaktor:			Kontrastreduzierungsfaktor:			Kontrastreduzierungsfaktor:		
$c_R = 1.0$			$c_R = 1.0$			$c_R = 1.0$		
Dreiecks-Helligkeit t^*			Dreiecks-Helligkeit t^*			Dreiecks-Helligkeit t^*		

FRS12_95a; adaptierte CIELAB-Daten						
	u^*_d	$L^*=L^*_a$	a^*_a	b^*_a	$C^*_{ab,a}$	$h^*_{ab,a}$
O_{Ma}	38.06	60.0		44.0	74.4	36
Y_{Ma}	86.77	-5.17		109.32	109.44	93
L_{Ma}	47.13	-62.67		48.24	79.09	142
C_{Ma}	55.66	-29.14		-31.99	43.27	228
V_{Ma}	17.15	50.3		-59.04	77.57	310
M_{Ma}	40.37	78.64		-33.5	85.48	337
N_{Ma}	11.58	0.0	0.0	0.0	0.0	0
W_{Ma}	95.02	0.0	0.0	0.0	0.0	0
O_{Ma}	39.92	58.74		27.99	65.07	25
Y_{Ma}	81.26	-2.89		71.56	71.62	92
L_{Ma}	52.23	-42.42		13.6	44.55	162
V_{Ma}	30.57	1.41		-46.47	46.49	272

FRS12_95a; adaptierte CIELAB-Daten							
u_d^*	$L^*=L_a^*$	a_a^*	b_a^*	$C^*_{ab,a}$	$h^*_{ab,a}$	u_e^*	
<i>o00y</i>	38.06	60.0	44.0	74.4	36	<i>r16j</i>	
<i>o25y</i>	47.68	47.13	56.9	73.88	50	<i>r37j</i>	
<i>o50y</i>	57.77	33.62	70.44	78.05	64	<i>r58j</i>	
<i>o75y</i>	69.84	17.48	86.62	88.37	79	<i>r79j</i>	
<i>y00l</i>	86.77	-5.17	109.32	109.44	93	<i>j01g</i>	
<i>y25l</i>	73.71	-24.12	89.19	92.39	105	<i>j18g</i>	
<i>y50l</i>	63.76	-38.55	73.86	83.32	118	<i>j36g</i>	
<i>y75l</i>	55.23	-50.92	60.72	79.25	130	<i>j53g</i>	
<i>l00c</i>	47.13	-62.67	48.24	79.09	142	<i>j71g</i>	
<i>l50c</i>	52.64	-41.0	-3.61	41.16	185	<i>g21b</i>	
<i>c00v</i>	55.66	-29.14	-31.99	43.27	228	<i>g60b</i>	
<i>c50v</i>	41.87	-0.69	-41.67	41.68	269	<i>g97b</i>	
<i>v00m</i>	17.15	50.3	-59.04	77.57	310	<i>b34r</i>	
<i>v50m</i>	28.2	63.79	-46.89	79.17	324	<i>b45r</i>	
<i>m00o</i>	40.37	78.64	-33.5	85.48	337	<i>b57r</i>	
<i>m50o</i>	39.13	68.67	7.94	69.13	7	<i>b83r</i>	



Ein und Ausgabe: Farbmetrisches Drucker-Reflektiv-System FRS12_95a, L*=12_95 für relativen CIELAB-Buntton $h^* = lab^*h^* = h_{ab}/360 = 0.862$ $u^*_d = v00m$
Daten für jede Farbe:
 lab^*tch^* und lab^*icu^*
Bunttontexte:
 $u^*_d = v00m$ $u^*_e = b34r$
Kontrastreduzierungsfaktor:
 $c_R = 1.0$
Dreiecks-Helligkeit i^*



FRS12_95a; adaptierte CIELAB-Daten						
u^*_d	$L^*=L^*_a$	a^*_a	b^*_a	$C^*_{ab,a}$	$h^*_{ab,a}$	u^*_e
O _{Ma}	38.06	60.0	44.0	74.4	36	r16j
Y _{Ma}	86.77	-5.17	109.32	109.44	93	r37j
L _{Ma}	47.13	-62.67	48.24	79.09	142	r58j
C _{Ma}	55.66	-29.14	-31.99	43.27	228	r79j
V _{Ma}	17.15	50.3	-59.04	77.57	310	j01g
M _{Ma}	40.37	78.64	-33.5	85.48	337	j18g
N _{Ma}	11.58	0.0	0.0	0.0	0	j36g
W _{Ma}	95.02	0.0	0.0	0.0	0	j53g
O _{Ma}	39.92	58.74	27.99	65.07	25	j71g
Y _{Ma}	81.26	-2.89	71.56	71.62	92	l50c
L _{Ma}	52.23	-42.42	13.6	44.55	162	c00v
V _{Ma}	30.57	1.41	-46.47	46.49	272	c50v

Daten für Maximalfarbe (Ma):

$LAB^*LAB^*_{Ma}$: 17 50 -59

$LAB^*LCH^*_{Ma}$: 17 78 310

$lab^*olv^*_{Ma}$: 0.0 0.0 1.0

$lab^*rgb^*_{Ma}$: 0.68 0.0 1.0

Dreiecks-Helligkeit i^*

%Umfang

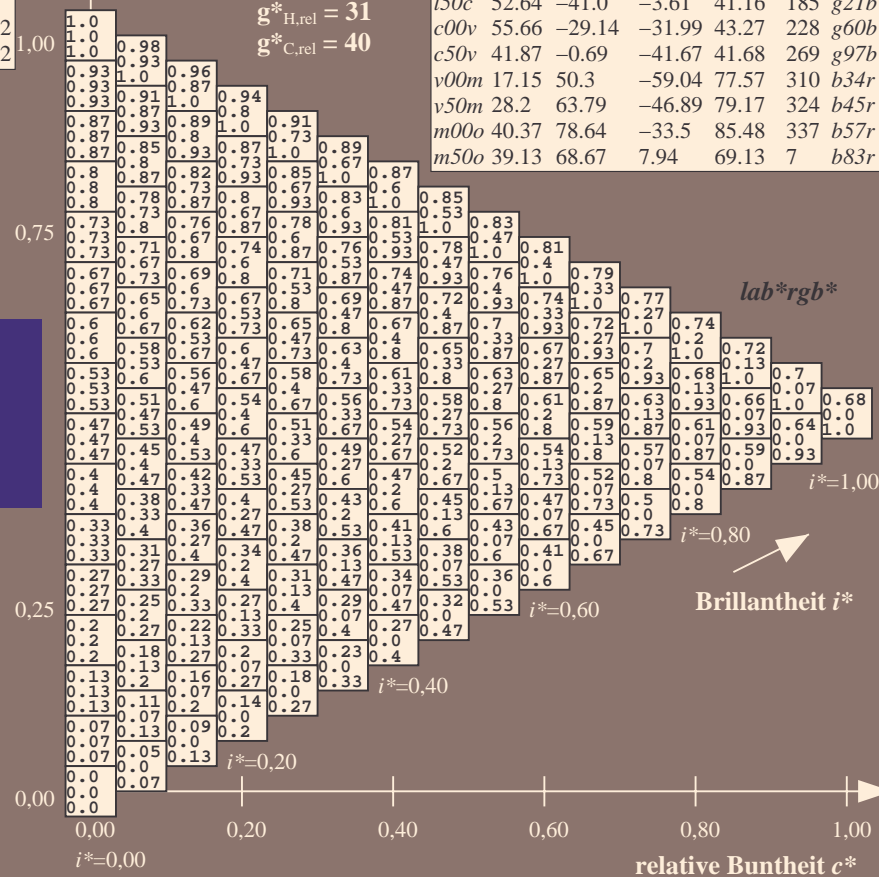
$u^*_{rel} = 109$

%Regularität

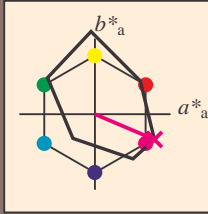
$g^*_{H,rel} = 31$

$g^*_{C,rel} = 40$

FRS12_95a; adaptierte CIELAB-Daten						
u^*_d	$L^*=L^*_a$	a^*_a	b^*_a	$C^*_{ab,a}$	$h^*_{ab,a}$	u^*_e
o00y	38.06	60.0	44.0	74.4	36	r16j
o25y	47.68	47.13	56.9	73.88	50	r37j
o50y	57.77	33.62	70.44	78.05	64	r58j
o75y	69.84	17.48	86.62	88.37	79	r79j
y00l	86.77	-5.17	109.32	109.44	93	j01g
y25l	73.71	-24.12	89.19	92.39	105	j18g
y50l	63.76	-38.55	73.86	83.32	118	j36g
y75l	55.23	-50.92	60.72	79.25	130	j53g
l00c	47.13	-62.67	48.24	79.09	142	j71g
l50c	52.64	-41.0	-3.61	41.16	185	g21b
c00v	55.66	-29.14	-31.99	43.27	228	g60b
c50v	41.87	-0.69	-41.67	41.68	269	g97b
v00m	17.15	50.3	-59.04	77.57	310	b34r
v50m	28.2	63.79	-46.89	79.17	324	b45r
m00o	40.37	78.64	-33.5	85.48	337	b57r
m50o	39.13	68.67	7.94	69.13	7	b83r



Ein und Ausgabe: Farbmetrisches Drucker-Reflektiv-System FRS12_95a, L*=12_95 für relativen CIELAB-Buntton $h^* = lab^*h^* = h_{ab}/360 = 0.936$ $u^*_d = m00o$
Daten für jede Farbe:
 lab^*tch^* und lab^*icu^*
Bunttontexte:
 $u^*_d = m00o$ $u^*_e = b57r$
Kontrastreduzierungsfaktor:
 $c_R = 1.0$
Dreiecks-Helligkeit i^*



FRS12_95a; adaptierte CIELAB-Daten						
u^*_d	$L^*=L^*_a$	a^*_a	b^*_a	$C^*_{ab,a}$	$h^*_{ab,a}$	u^*_e
O _{Ma}	38.06	60.0	44.0	74.4	36	r16j
Y _{Ma}	86.77	-5.17	109.32	109.44	93	r37j
L _{Ma}	47.13	-62.67	48.24	79.09	142	r58j
C _{Ma}	55.66	-29.14	-31.99	43.27	228	r79j
V _{Ma}	17.15	50.3	-59.04	77.57	310	j01g
M _{Ma}	40.37	78.64	-33.5	85.48	337	j18g
N _{Ma}	11.58	0.0	0.0	0.0	0	j36g
W _{Ma}	95.02	0.0	0.0	0.0	0	j53g
O _{Ma}	39.92	58.74	27.99	65.07	25	j71g
Y _{Ma}	81.26	-2.89	71.56	71.62	92	g21b
L _{Ma}	52.23	-42.42	13.6	44.55	162	g60b
V _{Ma}	30.57	1.41	-46.47	46.49	272	g97b

Daten für Maximalfarbe (Ma):

$LAB^*LAB^*_{Ma}$: 40 79 -34

$LAB^*LCH^*_{Ma}$: 40 85 336

$lab^*olv^*_{Ma}$: 1.0 0.0 1.0

$lab^*rgb^*_{Ma}$: 1.0 0.0 0.85

Dreiecks-Helligkeit i^*

%Umfang

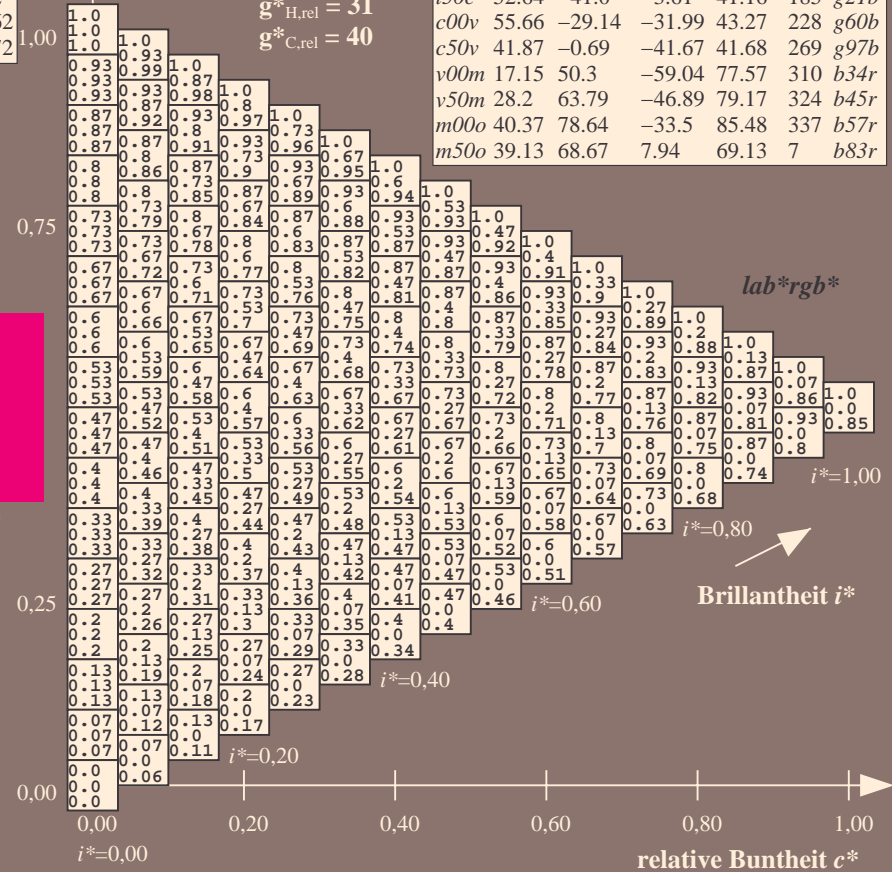
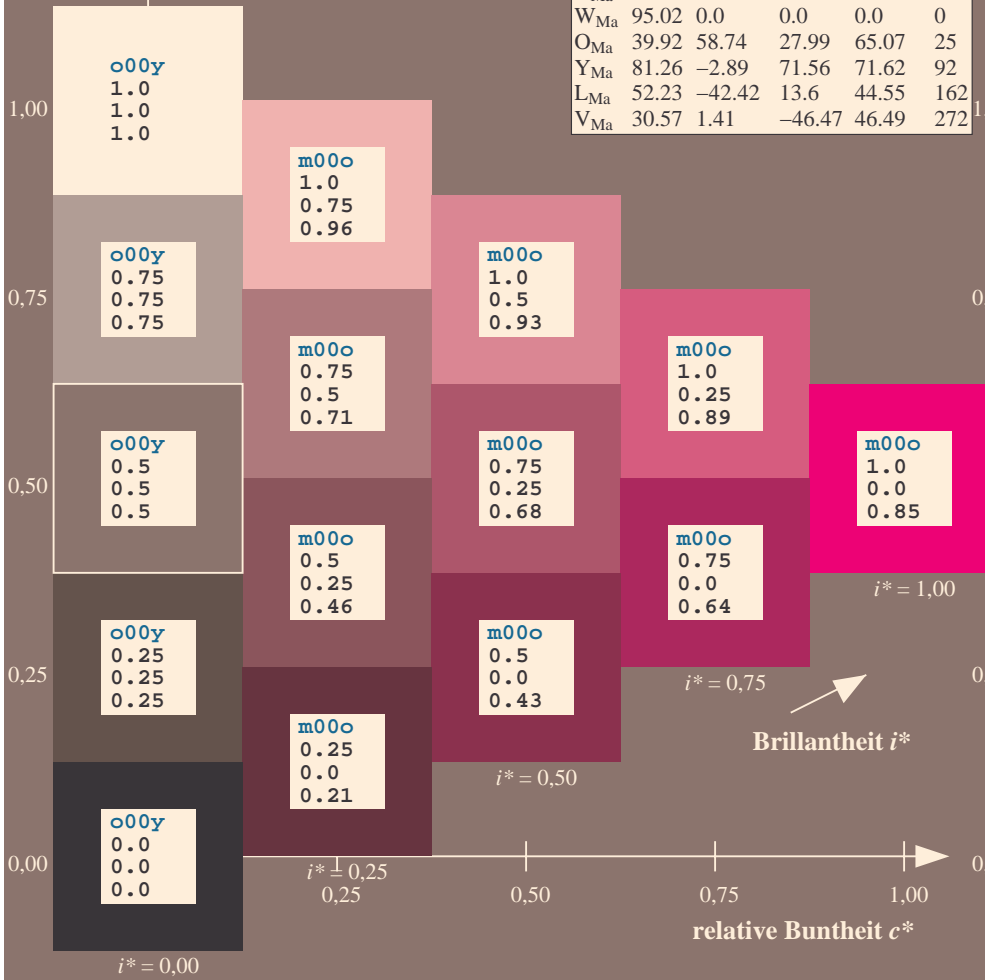
$u^*_{rel} = 109$

%Regularität

$g^*_{H,rel} = 31$

$g^*_{C,rel} = 40$

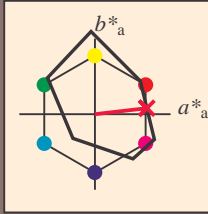
FRS12_95a; adaptierte CIELAB-Daten						
u^*_d	$L^*=L^*_a$	a^*_a	b^*_a	$C^*_{ab,a}$	$h^*_{ab,a}$	u^*_e
o00y	38.06	60.0	44.0	74.4	36	r16j
o25y	47.68	47.13	56.9	73.88	50	r37j
o50y	57.77	33.62	70.44	78.05	64	r58j
o75y	69.84	17.48	86.62	88.37	79	r79j
y00l	86.77	-5.17	109.32	109.44	93	j01g
y25l	73.71	-24.12	89.19	92.39	105	j18g
y50l	63.76	-38.55	73.86	83.32	118	j36g
y75l	55.23	-50.92	60.72	79.25	130	j53g
l00c	47.13	-62.67	48.24	79.09	142	j71g
l50c	52.64	-41.0	-3.61	41.16	185	g21b
c00v	55.66	-29.14	-31.99	43.27	228	g60b
c50v	41.87	-0.69	-41.67	41.68	269	g97b
v00m	17.15	50.3	-59.04	77.57	310	b34r
v50m	28.2	63.79	-46.89	79.17	324	b45r
m00o	40.37	78.64	-33.5	85.48	337	b57r
m50o	39.13	68.67	7.94	69.13	7	b83r



Siehe ähnliche Dateien: <http://www.ps.bam.de/Fg62/>; www.ps.bam.de/Fg62/10L/L62g00FP.PDF/ .PS
Technische Information: <http://www.ps.bam.de> Version 2.1, io=1,1, CIELAB, ColSpX=0

BAM-Registrierung: 20081001-Fg62/10L/L62g00FP.PDF/ .PS BAM-Material: Code=rh4ta
Anwendung für Beurteilung und Messung von Drucker- oder Monitorsystemen

Ein und Ausgabe: Farbmetrisches Drucker-Reflektiv-System FRS12_95a, L*=12_95 für relativen CIELAB-Buntton $h^* = lab^*h^* = h_{ab}/360 = 0.018$ $u^*_d = m50o$
Daten für jede Farbe:
 lab^*tch^* und lab^*icu^*
Bunttontexte:
 $u^*_d = m50o$ $u^*_e = b83r$
Kontrastreduzierungsfaktor:
 $c_R = 1.0$
Dreiecks-Helligkeit i^*



FRS12_95a; adaptierte CIELAB-Daten						
u^*_d	$L^*=L^*_a$	a^*_a	b^*_a	$C^*_{ab,a}$	$h^*_{ab,a}$	u^*_e
O _{Ma}	38.06	60.0	44.0	74.4	36	r16j
Y _{Ma}	86.77	-5.17	109.32	109.44	93	r37j
L _{Ma}	47.13	-62.67	48.24	79.09	142	r58j
C _{Ma}	55.66	-29.14	-31.99	43.27	228	r79j
V _{Ma}	17.15	50.3	-59.04	77.57	310	j01g
M _{Ma}	40.37	78.64	-33.5	85.48	337	j18g
N _{Ma}	11.58	0.0	0.0	0.0	0	j36g
W _{Ma}	95.02	0.0	0.0	0.0	0	j53g
O _{Ma}	39.92	58.74	27.99	65.07	25	j71g
Y _{Ma}	81.26	-2.89	71.56	71.62	92	l50c
L _{Ma}	52.23	-42.42	13.6	44.55	162	c00v
V _{Ma}	30.57	1.41	-46.47	46.49	272	c50v

Daten für Maximalfarbe (Ma):

$LAB^*LAB^*_{Ma}$: 39 69 8

$LAB^*LCH^*_{Ma}$: 39 69 6

$lab^*olv^*_{Ma}$: 1.0 0.0 0.5

$lab^*rgb^*_{Ma}$: 1.0 0.0 0.33

Dreiecks-Helligkeit i^*

%Umfang

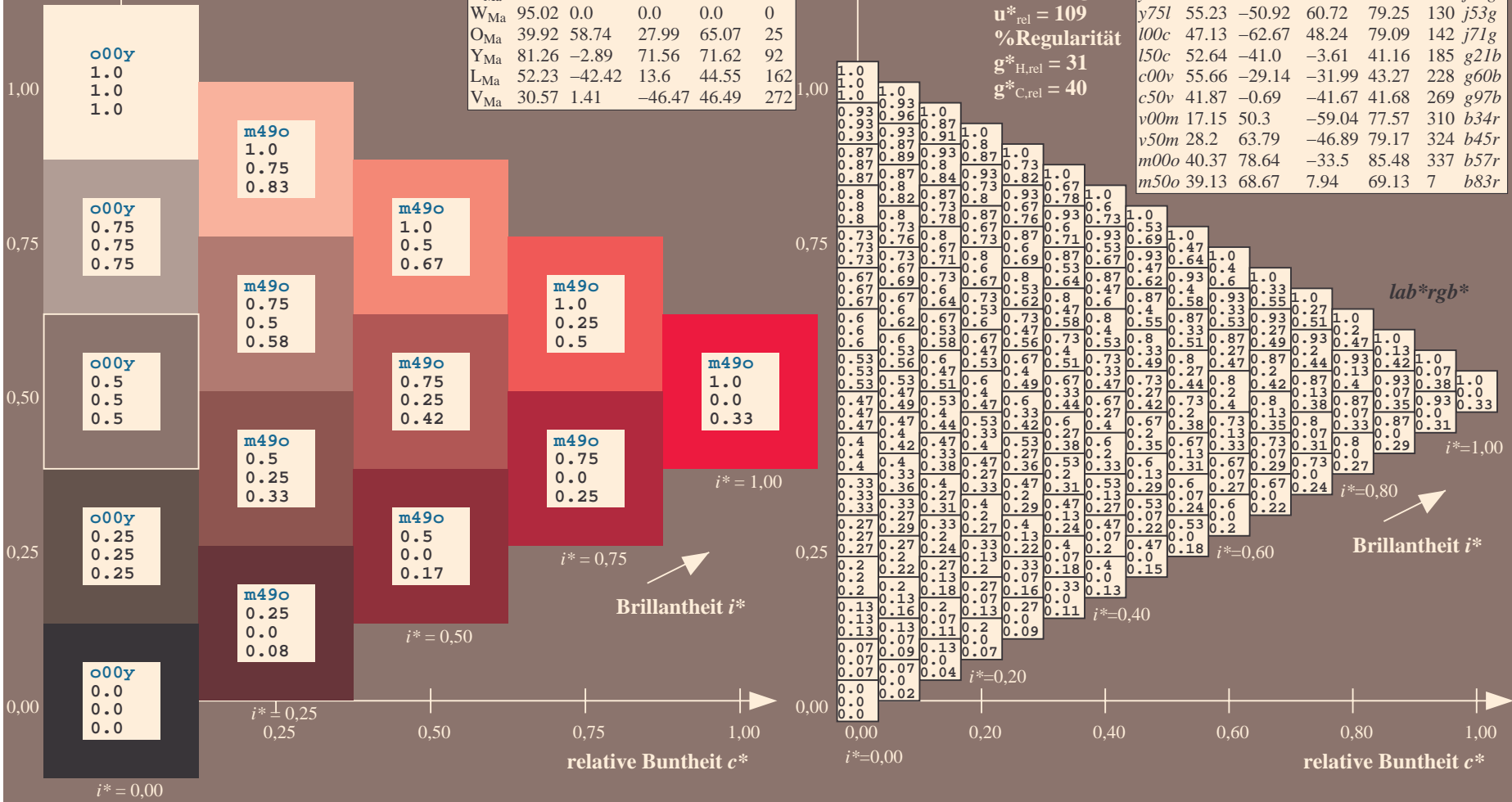
$u^*_{rel} = 109$

%Regularität

$g^*_{H,rel} = 31$

$g^*_{C,rel} = 40$

FRS12_95a; adaptierte CIELAB-Daten						
u^*_d	$L^*=L^*_a$	a^*_a	b^*_a	$C^*_{ab,a}$	$h^*_{ab,a}$	u^*_e
o00y	38.06	60.0	44.0	74.4	36	r16j
o25y	47.68	47.13	56.9	73.88	50	r37j
o50y	57.77	33.62	70.44	78.05	64	r58j
o75y	69.84	17.48	86.62	88.37	79	r79j
y00l	86.77	-5.17	109.32	109.44	93	j01g
y25l	73.71	-24.12	89.19	92.39	105	j18g
y50l	63.76	-38.55	73.86	83.32	118	j36g
y75l	55.23	-50.92	60.72	79.25	130	j53g
l00c	47.13	-62.67	48.24	79.09	142	j71g
l50c	52.64	-41.0	-3.61	41.16	185	g21b
c00v	55.66	-29.14	-31.99	43.27	228	g60b
c50v	41.87	-0.69	-41.67	41.68	269	g97b
v00m	17.15	50.3	-59.04	77.57	310	b34r
v50m	28.2	63.79	-46.89	79.17	324	b45r
m00o	40.37	78.64	-33.5	85.48	337	b57r
m50o	39.13	68.67	7.94	69.13	7	b83r



Siehe ähnliche Dateien: <http://www.ps.bam.de/Fg62/>; www.ps.bam.de/Fg62/; [www.ps.bam.de/Version 2.1, io=1.1, CIE LAB, ColSp=0](http://www.ps.bam.de/Version%202.1,%20io=1.1,%20CIE%20LAB,%20ColSp=0)
Technische Information: [http://www.ps.bam.de/Version 2.1, io=1.1, CIE LAB, ColSp=0](http://www.ps.bam.de/Version%202.1,%20io=1.1,%20CIE%20LAB,%20ColSp=0)

	A	B	C	D	E	F	G	H	I	J	K	L	M	N	O	P	Q	R	S	T	U	V	W	X	Y	Z	a	b	c	d	e	f	g	h	i	j	k	lab*rgb*																																																																																																																																																																																																																																																																																																																																																																																																																																																																																																																																																																																																																																																																																																																																																																																																																																																																																																																																																								
01	0.0	0.04	0.07	0.11	0.14	0.18	0.21	0.25	0.28	0.32	0.36	0.40	0.44	0.48	0.52	0.56	0.60	0.64	0.68	0.72	0.76	0.80	0.84	0.88	0.92	0.96	1.00	1.04	1.08	1.12	1.16	1.20	1.24	1.28	1.32	1.36	1.40	1.44	1.48	1.52	1.56	1.60	1.64	1.68	1.72	1.76	1.80	1.84	1.88	1.92	1.96	2.00																																																																																																																																																																																																																																																																																																																																																																																																																																																																																																																																																																																																																																																																																																																																																																																																																																																																																																																																										
02	0.0	0.13	0.25	0.38	0.5	0.63	0.75	0.88	1.0	1.13	1.25	1.38	1.5	1.63	1.75	1.88	2.0	2.13	2.25	2.38	2.5	2.63	2.75	2.88	3.0	3.13	3.25	3.38	3.5	3.63	3.75	3.88	4.0	4.13	4.25	4.38	4.5	4.63	4.75	4.88	5.0	5.13	5.25	5.38	5.5	5.63	5.75	5.88	6.0	6.13	6.25	6.38	6.5	6.63	6.75	6.88	7.0	7.13	7.25	7.38	7.5	7.63	7.75	7.88	8.0	8.13	8.25	8.38	8.5	8.63	8.75	8.88	9.0	9.13	9.25	9.38	9.5	9.63	9.75	9.88	10.0	10.13	10.25	10.38	10.5	10.63	10.75	10.88	11.0	11.13	11.25	11.38	11.5	11.63	11.75	11.88	12.0	12.13	12.25	12.38	12.5	12.63	12.75	12.88	13.0	13.13	13.25	13.38	13.5	13.63	13.75	13.88	14.0	14.13	14.25	14.38	14.5	14.63	14.75	14.88	15.0	15.13	15.25	15.38	15.5	15.63	15.75	15.88	16.0	16.13	16.25	16.38	16.5	16.63	16.75	16.88	17.0	17.13	17.25	17.38	17.5	17.63	17.75	17.88	18.0	18.13	18.25	18.38	18.5	18.63	18.75	18.88	19.0	19.13	19.25	19.38	19.5	19.63	19.75	19.88	20.0	20.13	20.25	20.38	20.5	20.63	20.75	20.88	21.0	21.13	21.25	21.38	21.5	21.63	21.75	21.88	22.0	22.13	22.25	22.38	22.5	22.63	22.75	22.88	23.0	23.13	23.25	23.38	23.5	23.63	23.75	23.88	24.0	24.13	24.25	24.38	24.5	24.63	24.75	24.88	25.0	25.13	25.25	25.38	25.5	25.63	25.75	25.88	26.0	26.13	26.25	26.38	26.5	26.63	26.75	26.88	27.0	27.13	27.25	27.38	27.5	27.63	27.75	27.88	28.0	28.13	28.25	28.38	28.5	28.63	28.75	28.88	29.0	29.13	29.25	29.38	29.5	29.63	29.75	29.88	30.0	30.13	30.25	30.38	30.5	30.63	30.75	30.88	31.0	31.13	31.25	31.38	31.5	31.63	31.75	31.88	32.0	32.13	32.25	32.38	32.5	32.63	32.75	32.88	33.0	33.13	33.25	33.38	33.5	33.63	33.75	33.88	34.0	34.13	34.25	34.38	34.5	34.63	34.75	34.88	35.0	35.13	35.25	35.38	35.5	35.63	35.75	35.88	36.0	36.13	36.25	36.38	36.5	36.63	36.75	36.88	37.0	37.13	37.25	37.38	37.5	37.63	37.75	37.88	38.0	38.13	38.25	38.38	38.5	38.63	38.75	38.88	39.0	39.13	39.25	39.38	39.5	39.63	39.75	39.88	40.0	40.13	40.25	40.38	40.5	40.63	40.75	40.88	41.0	41.13	41.25	41.38	41.5	41.63	41.75	41.88	42.0	42.13	42.25	42.38	42.5	42.63	42.75	42.88	43.0	43.13	43.25	43.38	43.5	43.63	43.75	43.88	44.0	44.13	44.25	44.38	44.5	44.63	44.75	44.88	45.0	45.13	45.25	45.38	45.5	45.63	45.75	45.88	46.0	46.13	46.25	46.38	46.5	46.63	46.75	46.88	47.0	47.13	47.25	47.38	47.5	47.63	47.75	47.88	48.0	48.13	48.25	48.38	48.5	48.63	48.75	48.88	49.0	49.13	49.25	49.38	49.5	49.63	49.75	49.88	50.0	50.13	50.25	50.38	50.5	50.63	50.75	50.88	51.0	51.13	51.25	51.38	51.5	51.63	51.75	51.88	52.0	52.13	52.25	52.38	52.5	52.63	52.75	52.88	53.0	53.13	53.25	53.38	53.5	53.63	53.75	53.88	54.0	54.13	54.25	54.38	54.5	54.63	54.75	54.88	55.0	55.13	55.25	55.38	55.5	55.63	55.75	55.88	56.0	56.13	56.25	56.38	56.5	56.63	56.75	56.88	57.0	57.13	57.25	57.38	57.5	57.63	57.75	57.88	58.0	58.13	58.25	58.38	58.5	58.63	58.75	58.88	59.0	59.13	59.25	59.38	59.5	59.63	59.75	59.88	60.0	60.13	60.25	60.38	60.5	60.63	60.75	60.88	61.0	61.13	61.25	61.38	61.5	61.63	61.75	61.88	62.0	62.13	62.25	62.38	62.5	62.63	62.75	62.88	63.0	63.13	63.25	63.38	63.5	63.63	63.75	63.88	64.0	64.13	64.25	64.38	64.5	64.63	64.75	64.88	65.0	65.13	65.25	65.38	65.5	65.63	65.75	65.88	66.0	66.13	66.25	66.38	66.5	66.63	66.75	66.88	67.0	67.13	67.25	67.38	67.5	67.63	67.75	67.88	68.0	68.13	68.25	68.38	68.5	68.63	68.75	68.88	69.0	69.13	69.25	69.38	69.5	69.63	69.75	69.88	70.0	70.13	70.25	70.38	70.5	70.63	70.75	70.88	71.0	71.13	71.25	71.38	71.5	71.63	71.75	71.88	72.0	72.13	72.25	72.38	72.5	72.63	72.75	72.88	73.0	73.13	73.25	73.38	73.5	73.63	73.75	73.88	74.0	74.13	74.25	74.38	74.5	74.63	74.75	74.88	75.0	75.13	75.25	75.38	75.5	75.63	75.75	75.88	76.0	76.13	76.25	76.38	76.5	76.63	76.75	76.88	77.0	77.13	77.25	77.38	77.5	77.63	77.75	77.88	78.0	78.13	78.25	78.38	78.5	78.63	78.75	78.88	79.0	79.13	79.25	79.38	79.5	79.63	79.75	79.88	80.0	80.13	80.25	80.38	80.5	80.63	80.75	80.88	81.0	81.13	81.25	81.38	81.5	81.63	81.75	81.88	82.0	82.13	82.25	82.38	82.5	82.63	82.75	82.88	83.0	83.13	83.25	83.38	83.5	83.63	83.75	83.88	84.0	84.13	84.25	84.38	84.5	84.63	84.75	84.88	85.0	85.13	85.25	85.38	85.5	85.63	85.75	85.88	86.0	86.13	86.25	86.38	86.5	86.63	86.75	86.88	87.0	87.13	87.25	87.38	87.5	87.63	87.75	87.88	88.0	88.13	88.25	88.38	88.5	88.63	88.75	88.88	89.0	89.13	89.25	89.38	89.5	89.63	89.75	89.88	90.0	90.13	90.25	90.38	90.5	90.63	90.75	90.88	91.0	91.13	91.25	91.38	91.5	91.63	91.75	91.88	92.0	92.13	92.25	92.38	92.5	92.63	92.75	92.88	93.0	93.13	93.25	93.38	93.5	93.63	93.75	93.88	94.0	94.13	94.25	94.38	94.5	94.63	94.75	94.88	95.0	95.13	95.25	95.38	95.5	95.63	95.75	95.88	96.0	96.13	96.25	96.38	96.5	96.63	96.75	96.88	97.0	97.13	97.25	97.38	97.5	97.63	97.75	97.88	98.0	98.13	98.25	98.38	98.5	98.63	98.75	98.88	99.0	99.13	99.25	99.38	99.5	99.63	99.75	99.88	100.0	100.13	100.25	100.38	100.5	100.63	100.75	100.88	101.0	101.13	101.25	101.38	101.5	101.63	101.75	101.88	102.0	102.13	102.25	102.38	102.5	102.63	102.75	102.88	103.0	103.13	103.25	103.38	103.5	103.63	103.75	103.88	104.0	104.13	104.25	104.38	104.5	104.63	104.75	104.88	105.0	105.13	105.25	105.38	105.5	105.63	105.75	105.88	106.0	106.13	106.25	106.38	106.5	106.63	106.75	106.88	107.0	107.13	107.25	107.38	107.5	107.63	107.75	107.88	108.0	108.13	108.25	108.38	108.5	108.63	108.75	108.88	109.0	109.13	109.25	109.38	109.5	109.63	109.75	109.88	110.0	110.13	110.25	110.38	110.5	110.63	110.75	110.88	111.0	111.13	111.25	111.38	111.5	111.63	111.75	111.88	112.0	112.13	112.25	112.38	112.5	112.63	112.75	112.88	113.0	113.13	113.25	113.38	113.5	113.63	113.75	113.88	114.0	114.13	114.25	114.38	114.5	114.63	114.75	114.88	115.0	115.13	115.25	115.38	115.5	115.63	115.75	115.88	116.0	116.13	116.25	116.38	116.5	116.63	116.75	116.88	117.0	117.13	117.25	117.38	117.5	117.63	117.75	117.88	118.0	118.13	118.25	118.38	118.5	118.63	118.75	118.88	119.0	119.13	119.25	119.38	119.5	

Ein und Ausgabe:
Farbmetrisches Drucker-Reflektiv-System FRS12_95a
Daten für jede Farbe:

u^*_d und Nummer $Nr.$ = 00 .. 15

Geräte-Bunttontext:

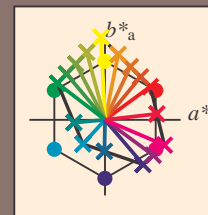
u^*_d = 16 Bunttoene $o00y$, $o25y$, ..., $m50o$

Kontrastreduzierungsfaktor:

$c_R = 1.0$

FRS12_95a; adaptierte CIELAB-Daten

u^*_d	$L^*=L^*_a$	a^*_a	b^*_a	$C^*_{ab,a}$	$h^*_{ab,a}$	u^*_e
$o00y$	38.06	60.0	44.0	74.4	36	$r16j$
$o25y$	47.68	47.13	56.9	73.88	50	$r37j$
$o50y$	57.77	33.62	70.44	78.05	64	$r58j$
$o75y$	69.84	17.48	86.62	88.37	79	$r79j$
$y00l$	86.77	-5.17	109.32	109.44	93	$j01g$
$y25l$	73.71	-24.12	89.19	92.39	105	$j18g$
$y50l$	63.76	-38.55	73.86	83.32	118	$j36g$
$y75l$	55.23	-50.92	60.72	79.25	130	$j53g$
$l00c$	47.13	-62.67	48.24	79.09	142	$j71g$
$l50c$	52.64	-41.0	-3.61	41.16	185	$g21b$
$c00v$	55.66	-29.14	-31.99	43.27	228	$g60b$
$c50v$	41.87	-0.69	-41.67	41.68	269	$g97b$
$v00m$	17.15	50.3	-59.04	77.57	310	$b34r$
$v50m$	28.2	63.79	-46.89	79.17	324	$b45r$
$m00o$	40.37	78.64	-33.5	85.48	337	$b57r$
$m50o$	39.13	68.67	7.94	69.13	7	$b83r$



%Umfang

$u^*_{rel} = 109$

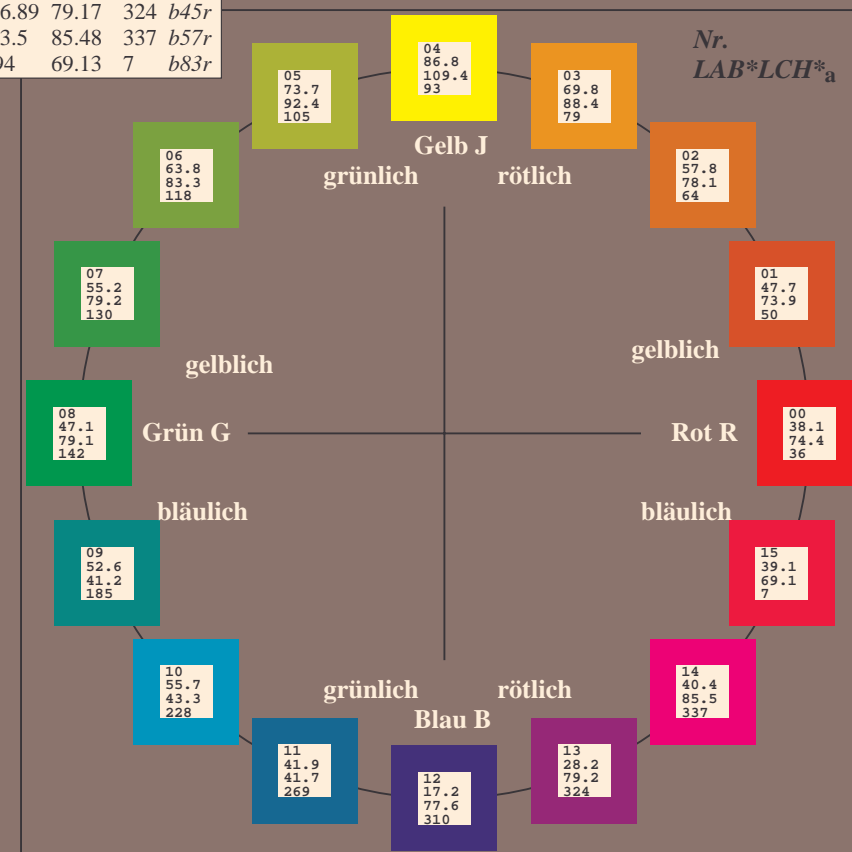
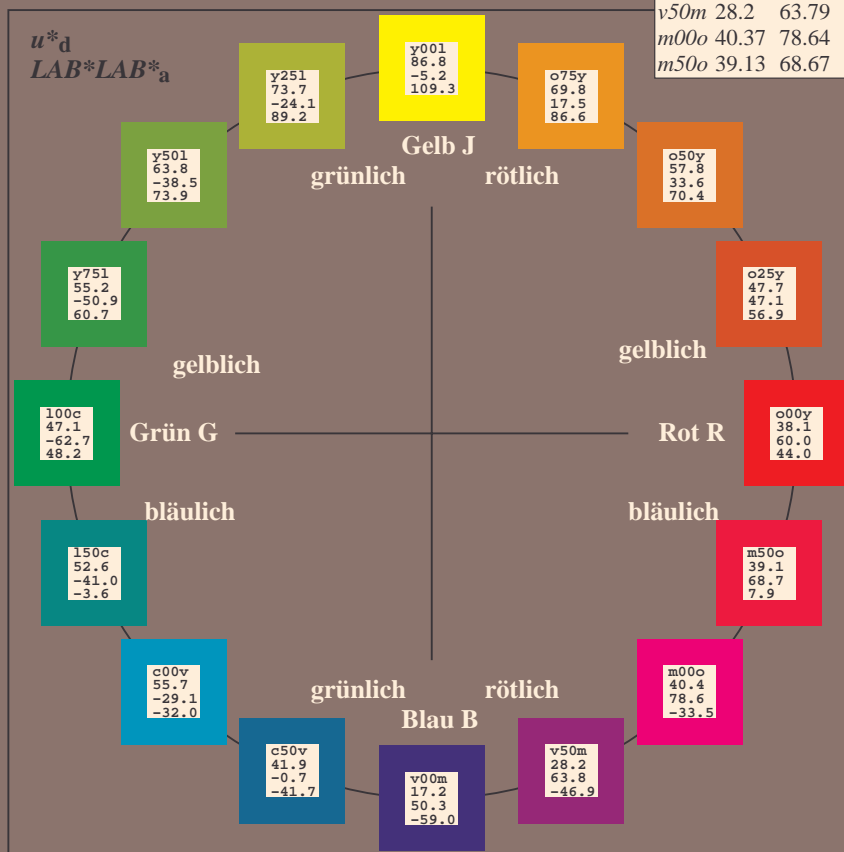
%Regularität

$g^*_{H,rel} = 31$

$g^*_{C,rel} = 40$

FRS12_95a; adaptierte CIELAB-Daten

Name	$L^*=L^*_a$	a^*_a	b^*_a	$C^*_{ab,a}$	$h^*_{ab,a}$
O_{Ma}	38.06	60.0	44.0	74.4	36
Y_{Ma}	86.77	-5.17	109.32	109.44	93
L_{Ma}	47.13	-62.67	48.24	79.09	142
C_{Ma}	55.66	-29.14	-31.99	43.27	228
V_{Ma}	17.15	50.3	-59.04	77.57	310
M_{Ma}	40.37	78.64	-33.5	85.48	337
N_{Ma}	11.58	0.0	0.0	0.0	0
W_{Ma}	95.02	0.0	0.0	0.0	0
O_{CIE}	39.92	58.74	27.99	65.07	25
Y_{CIE}	81.26	-2.89	71.56	71.62	92
L_{CIE}	52.23	-42.42	13.6	44.55	162
V_{CIE}	30.57	1.41	-46.47	46.49	272



Ein und Ausgabe: Farbmetrisches Drucker-Reflektiv-System FRS12_95a, L*=12_95 für relativen CIELAB-Buntton $h^* = lab^*h^* = h_{ab}/360 = 0.14$

Daten für jede Farbe:

lab^*ch^* und lab^*icu^*

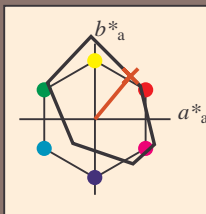
Bunttontexte:

$u^*_d = o25y$ $u^*_e = r37j$

Kontrastreduzierungsfaktor:

$c_R = 1.0$

Dreiecks-Helligkeit i^*



FRS12_95a; adaptierte CIELAB-Daten

u^*_d	$L^*=L^*_a$	a^*_a	b^*_a	$C^*_{ab,a}$	$h^*_{ab,a}$	u^*_e
O _{Ma}	38.06	60.0	44.0	74.4	36	r16j
Y _{Ma}	86.77	-5.17	109.32	109.44	93	r37j
L _{Ma}	47.13	-62.67	48.24	79.09	142	r58j
C _{Ma}	55.66	-29.14	-31.99	43.27	228	r79j
V _{Ma}	17.15	50.3	-59.04	77.57	310	j01g
M _{Ma}	40.37	78.64	-33.5	85.48	337	j18g
N _{Ma}	11.58	0.0	0.0	0.0	0	j36g
W _{Ma}	95.02	0.0	0.0	0.0	0	j53g
O _{Ma}	39.92	58.74	27.99	65.07	25	j71g
Y _{Ma}	81.26	-2.89	71.56	71.62	92	g21b
L _{Ma}	52.23	-42.42	13.6	44.55	162	g60b
V _{Ma}	30.57	1.41	-46.47	46.49	272	g97b

Daten für Maximalfarbe (Ma):

$LAB^*LAB^*_Ma$: 48 47 57

$LAB^*LCH^*_Ma$: 48 74 50

$lab^*olv^*_Ma$: 1.0 0.25 0.0

$lab^*rgb^*_Ma$: 1.0 0.37 0.0

Dreiecks-Helligkeit i^*

%Umfang

$u^*_{rel} = 109$

%Regularität

$g^*_{H,rel} = 31$

$g^*_{C,rel} = 40$

FRS12_95a; adaptierte CIELAB-Daten

u^*_d	$L^*=L^*_a$	a^*_a	b^*_a	$C^*_{ab,a}$	$h^*_{ab,a}$	u^*_e
o00y	38.06	60.0	44.0	74.4	36	r16j
o25y	47.68	47.13	56.9	73.88	50	r37j
o50y	57.77	33.62	70.44	78.05	64	r58j
o75y	69.84	17.48	86.62	88.37	79	r79j
y00l	86.77	-5.17	109.32	109.44	93	j01g
y25l	73.71	-24.12	89.19	92.39	105	j18g
y50l	63.76	-38.55	73.86	83.32	118	j36g
y75l	55.23	-50.92	60.72	79.25	130	j53g
l00c	47.13	-62.67	48.24	79.09	142	j71g
l50c	52.64	-41.0	-3.61	41.16	185	g21b
c00v	55.66	-29.14	-31.99	43.27	228	g60b
c50v	41.87	-0.69	-41.67	41.68	269	g97b
v00m	17.15	50.3	-59.04	77.57	310	b34r
v50m	28.2	63.79	-46.89	79.17	324	b45r
m00o	40.37	78.64	-33.5	85.48	337	b57r
m50o	39.13	68.67	7.94	69.13	7	b83r

$LAB^*LAB^*_a$

$i^* = 1.00$

Brillantheit i^*

$i^* = 0.80$

$i^* = 0.60$

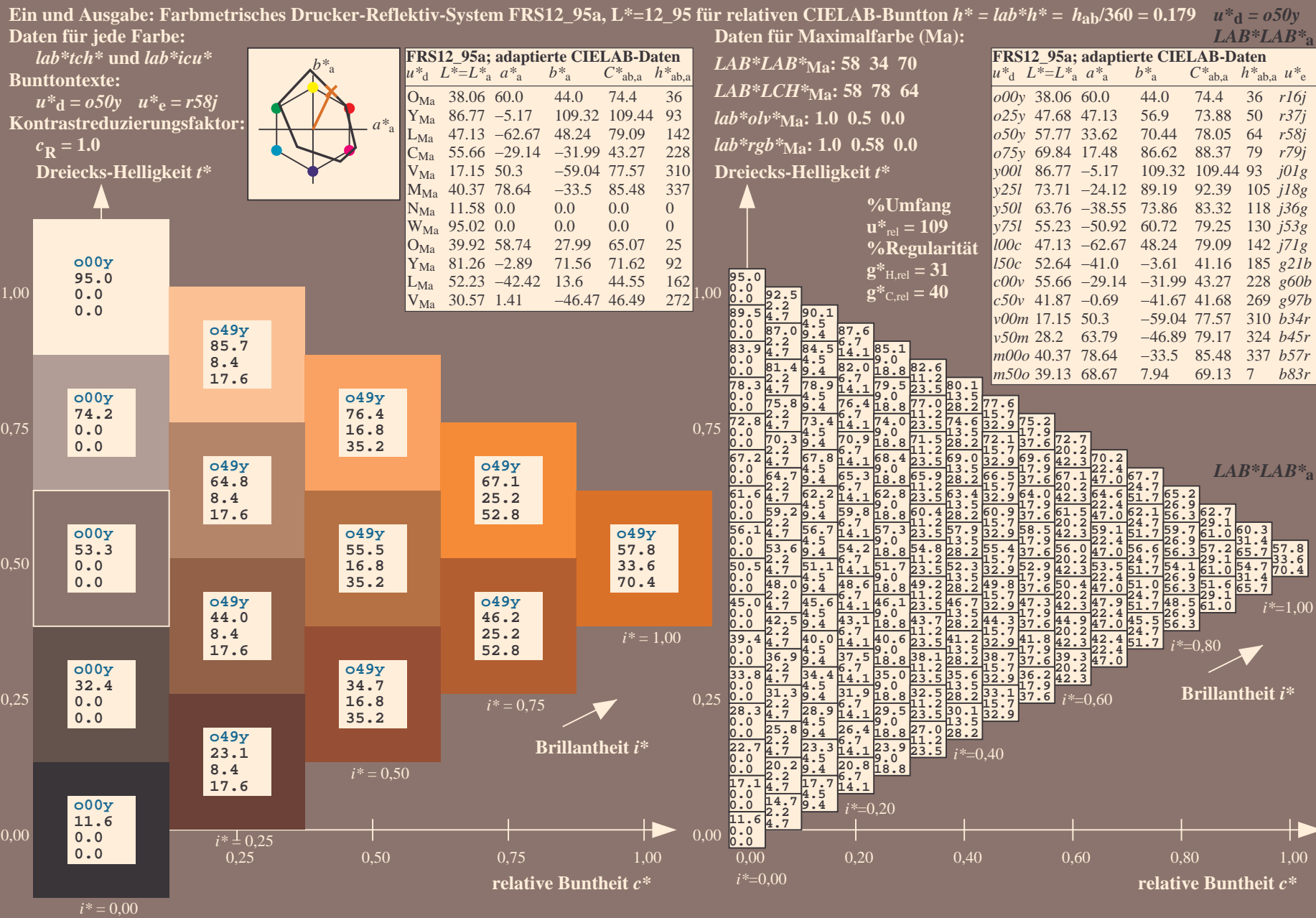
$i^* = 0.40$

$i^* = 0.20$

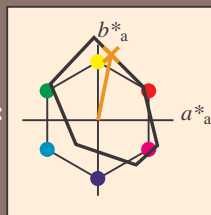
$i^* = 0.00$

relative Buntheit c^*

relative Buntheit c^*



Ein und Ausgabe: Farbmetrisches Drucker-Reflektiv-System FRS12_95a, L*=12_95 für relativen CIELAB-Buntton $h^* = \text{lab}^*h^* = h_{ab}/360 = 0.218$ $u^*_d = o75y$
Daten für jede Farbe:
 lab^*ch^* und lab^*icu^*
Bunttontexte:
 $u^*_d = o75y$ $u^*_e = r79j$
Kontrastreduzierungsfaktor:
 $c_R = 1.0$
Dreiecks-Helligkeit i^*



FRS12_95a; adaptierte CIELAB-Daten						
u^*_d	$L^*=L^*_a$	a^*_a	b^*_a	$C^*_{ab,a}$	$h^*_{ab,a}$	u^*_e
O _{Ma}	38.06	60.0	44.0	74.4	36	r16j
Y _{Ma}	86.77	-5.17	109.32	109.44	93	r37j
L _{Ma}	47.13	-62.67	48.24	79.09	142	r58j
C _{Ma}	55.66	-29.14	-31.99	43.27	228	r79j
V _{Ma}	17.15	50.3	-59.04	77.57	310	j01g
M _{Ma}	40.37	78.64	-33.5	85.48	337	j18g
N _{Ma}	11.58	0.0	0.0	0.0	0	j36g
W _{Ma}	95.02	0.0	0.0	0.0	0	j53g
O _{Ma}	39.92	58.74	27.99	65.07	25	j71g
Y _{Ma}	81.26	-2.89	71.56	71.62	92	g21b
L _{Ma}	52.23	-42.42	13.6	44.55	162	g60b
V _{Ma}	30.57	1.41	-46.47	46.49	272	g97b

Daten für Maximalfarbe (Ma):

$\text{LAB}^*\text{LAB}^*_{Ma}$: 70 17 87

$\text{LAB}^*\text{LCH}^*_{Ma}$: 70 88 78

$\text{lab}^*\text{olv}^*_{Ma}$: 1.0 0.75 0.0

$\text{lab}^*\text{rgb}^*_{Ma}$: 1.0 0.79 0.0

Dreiecks-Helligkeit i^*

%Umfang

$u^*_{rel} = 109$

%Regularität

$g^*_{H,rel} = 31$

$g^*_{C,rel} = 40$

FRS12_95a; adaptierte CIELAB-Daten						
u^*_d	$L^*=L^*_a$	a^*_a	b^*_a	$C^*_{ab,a}$	$h^*_{ab,a}$	u^*_e
o00y	38.06	60.0	44.0	74.4	36	r16j
o25y	47.68	47.13	56.9	73.88	50	r37j
o50y	57.77	33.62	70.44	78.05	64	r58j
o75y	69.84	17.48	86.62	88.37	79	r79j
y00l	86.77	-5.17	109.32	109.44	93	j01g
y25l	73.71	-24.12	89.19	92.39	105	j18g
y50l	63.76	-38.55	73.86	83.32	118	j36g
y75l	55.23	-50.92	60.72	79.25	130	j53g
l00c	47.13	-62.67	48.24	79.09	142	j71g
l50c	52.64	-41.0	-3.61	41.16	185	g21b
c00v	55.66	-29.14	-31.99	43.27	228	g60b
c50v	41.87	-0.69	-41.67	41.68	269	g97b
v00m	17.15	50.3	-59.04	77.57	310	b34r
v50m	28.2	63.79	-46.89	79.17	324	b45r
m00o	40.37	78.64	-33.5	85.48	337	b57r
m50o	39.13	68.67	7.94	69.13	7	b83r

$\text{LAB}^*\text{LAB}^*_{Ma}$

$i^* = 1.00$

Brillantheit i^*

$i^* = 0.80$

$i^* = 0.60$

$i^* = 0.40$

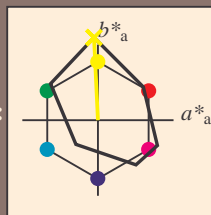
$i^* = 0.20$

$i^* = 0.00$

relative Buntheit c^*

relative Buntheit c^*

Ein und Ausgabe: Farbmatisches Drucker-Refektiv-System FRS12_95a, L*=12_95 für relativen CIELAB-Buntton $h^* = \text{lab}^*h^* = h_{ab}/360 = 0.258$ $u^*_d = y00l$
Daten für jede Farbe:
 lab^*tch^* und lab^*icu^*
Bunttontexte:
 $u^*_d = y00l$ $u^*_e = j01g$
Kontrastreduzierungsfaktor:
 $c_R = 1.0$
Dreiecks-Helligkeit i^*



FRS12_95a; adaptierte CIELAB-Daten						
u^*_d	$L^*=L^*_a$	a^*_a	b^*_a	$C^*_{ab,a}$	$h^*_{ab,a}$	u^*_e
O _{Ma}	38.06	60.0	44.0	74.4	36	r16j
Y _{Ma}	86.77	-5.17	109.32	109.44	93	r37j
L _{Ma}	47.13	-62.67	48.24	79.09	142	r58j
C _{Ma}	55.66	-29.14	-31.99	43.27	228	r79j
V _{Ma}	17.15	50.3	-59.04	77.57	310	j01g
M _{Ma}	40.37	78.64	-33.5	85.48	337	j18g
N _{Ma}	11.58	0.0	0.0	0.0	0	j36g
W _{Ma}	95.02	0.0	0.0	0.0	0	j53g
O _{Ma}	39.92	58.74	27.99	65.07	25	j71g
Y _{Ma}	81.26	-2.89	71.56	71.62	92	g21b
L _{Ma}	52.23	-42.42	13.6	44.55	162	g60b
V _{Ma}	30.57	1.41	-46.47	46.49	272	g97b

Daten für Maximalfarbe (Ma):

$\text{LAB}^*\text{LAB}^*_{\text{Ma}}$: 87 -5 109

$\text{LAB}^*\text{LCH}^*_{\text{Ma}}$: 87 109 92

$\text{lab}^*\text{olv}^*_{\text{Ma}}$: 1.0 1.0 0.0

$\text{lab}^*\text{rgb}^*_{\text{Ma}}$: 0.99 1.0 0.0

Dreiecks-Helligkeit i^*

%Umfang

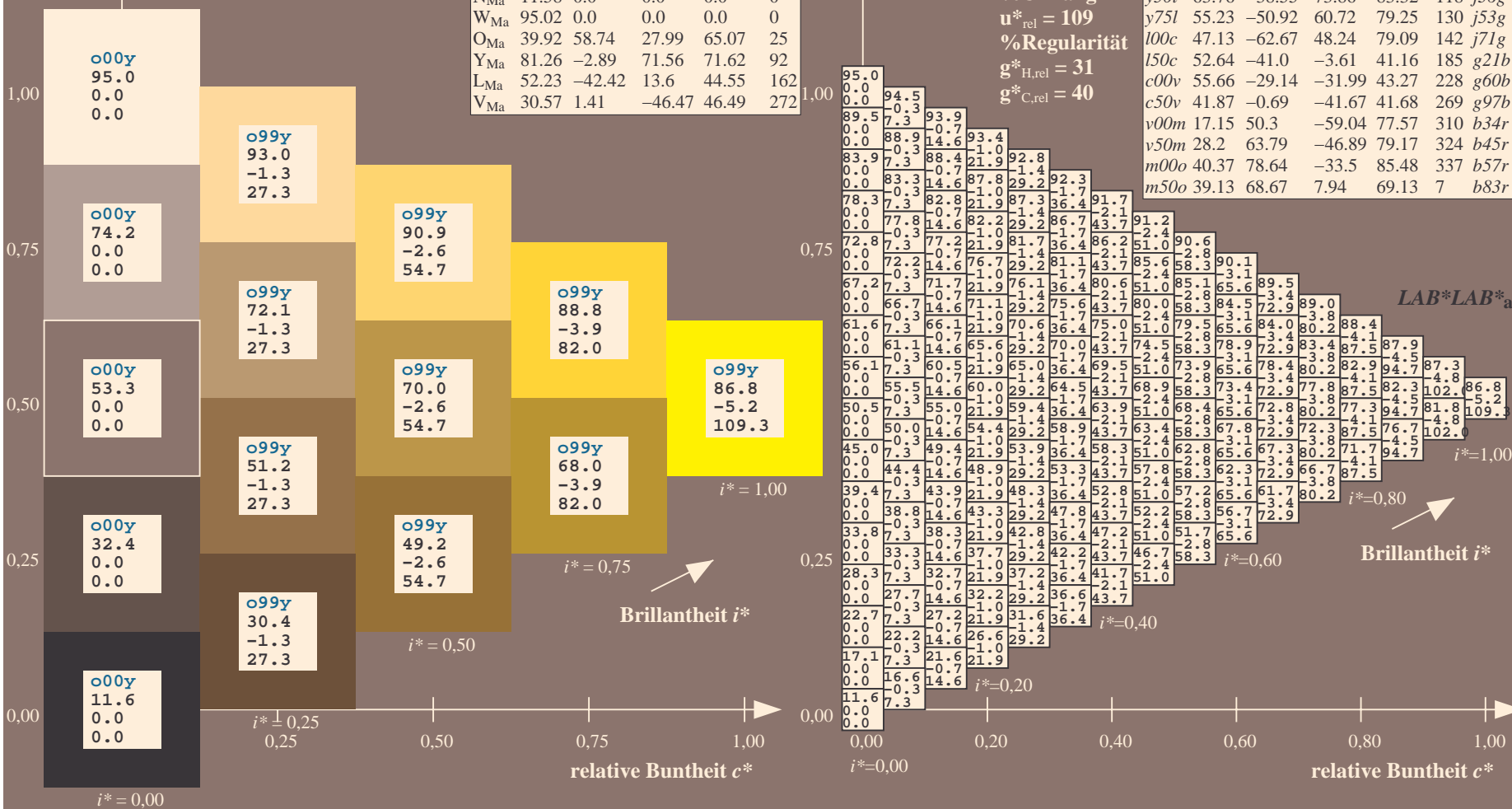
$u^*_{\text{rel}} = 109$

%Regularität

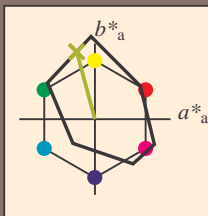
$g^*_{H,\text{rel}} = 31$

$g^*_{C,\text{rel}} = 40$

FRS12_95a; adaptierte CIELAB-Daten						
u^*_d	$L^*=L^*_a$	a^*_a	b^*_a	$C^*_{ab,a}$	$h^*_{ab,a}$	u^*_e
o00y	38.06	60.0	44.0	74.4	36	r16j
o25y	47.68	47.13	56.9	73.88	50	r37j
o50y	57.77	33.62	70.44	78.05	64	r58j
o75y	69.84	17.48	86.62	88.37	79	r79j
y00l	86.77	-5.17	109.32	109.44	93	j01g
y25l	73.71	-24.12	89.19	92.39	105	j18g
y50l	63.76	-38.55	73.86	83.32	118	j36g
y75l	55.23	-50.92	60.72	79.25	130	j53g
l00c	47.13	-62.67	48.24	79.09	142	j71g
l50c	52.64	-41.0	-3.61	41.16	185	g21b
c00v	55.66	-29.14	-31.99	43.27	228	g60b
c50v	41.87	-0.69	-41.67	41.68	269	g97b
v00m	17.15	50.3	-59.04	77.57	310	b34r
v50m	28.2	63.79	-46.89	79.17	324	b45r
m00o	40.37	78.64	-33.5	85.48	337	b57r
m50o	39.13	68.67	7.94	69.13	7	b83r



Ein und Ausgabe: Farbmatisches Drucker-Reflektiv-System FRS12_95a, L*=12_95 für relativen CIELAB-Buntton $h^* = lab^*h^* = h_{ab}/360 = 0.292$ $u^*_d = y25l$
Daten für jede Farbe:
 lab^*ch^* und lab^*icu^*
Bunttontexte:
 $u^*_d = y25l$ $u^*_e = j18g$
Kontrastreduzierungsfaktor:
 $c_R = 1.0$
Dreiecks-Helligkeit i^*



FRS12_95a; adaptierte CIELAB-Daten						
u^*_d	$L^*=L^*_a$	a^*_a	b^*_a	$C^*_{ab,a}$	$h^*_{ab,a}$	u^*_e
O _{Ma}	38.06	60.0	44.0	74.4	36	r16j
Y _{Ma}	86.77	-5.17	109.32	109.44	93	r37j
L _{Ma}	47.13	-62.67	48.24	79.09	142	r58j
C _{Ma}	55.66	-29.14	-31.99	43.27	228	r79j
V _{Ma}	17.15	50.3	-59.04	77.57	310	j01g
M _{Ma}	40.37	78.64	-33.5	85.48	337	j18g
N _{Ma}	11.58	0.0	0.0	0.0	0	j36g
W _{Ma}	95.02	0.0	0.0	0.0	0	j53g
O _{Ma}	39.92	58.74	27.99	65.07	25	j71g
Y _{Ma}	81.26	-2.89	71.56	71.62	92	g21b
L _{Ma}	52.23	-42.42	13.6	44.55	162	g60b
V _{Ma}	30.57	1.41	-46.47	46.49	272	g97b

Daten für Maximalfarbe (Ma):

$LAB^*LAB^*_Ma$: 74 -24 89

$LAB^*LCH^*_Ma$: 74 92 105

$lab^*olv^*_Ma$: 0.75 1.0 0.0

$lab^*rgb^*_Ma$: 0.82 1.0 0.0

Dreiecks-Helligkeit i^*

%Umfang

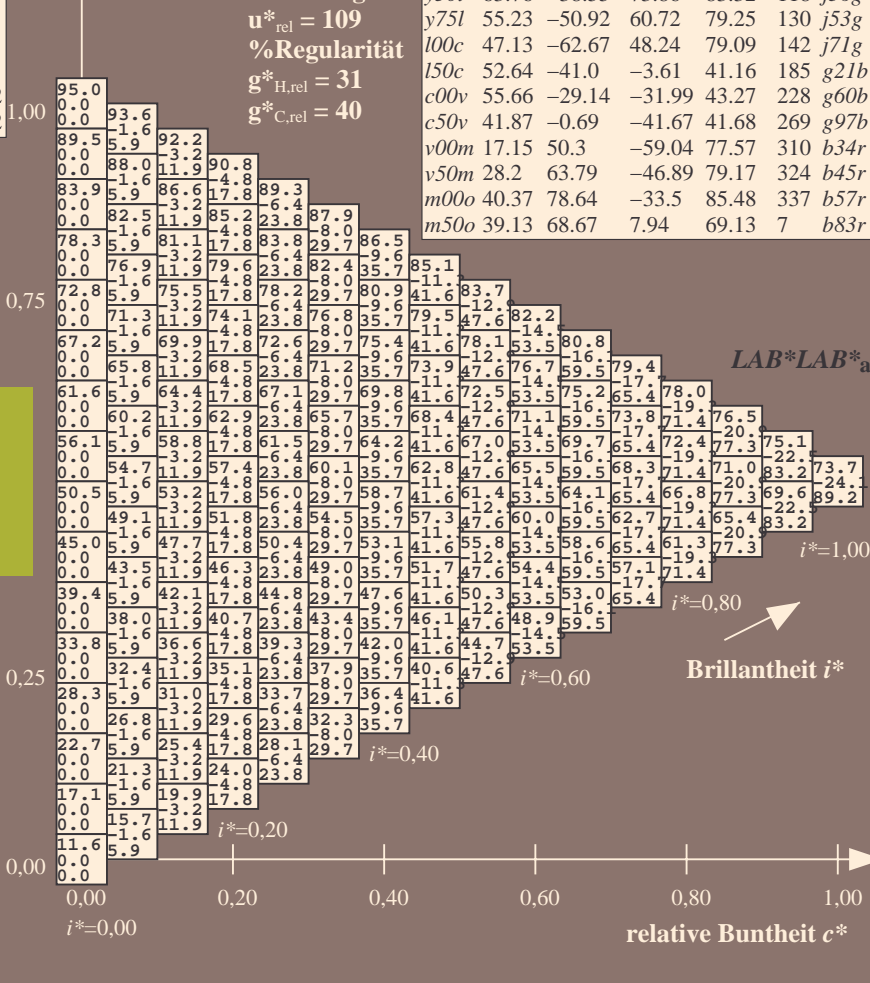
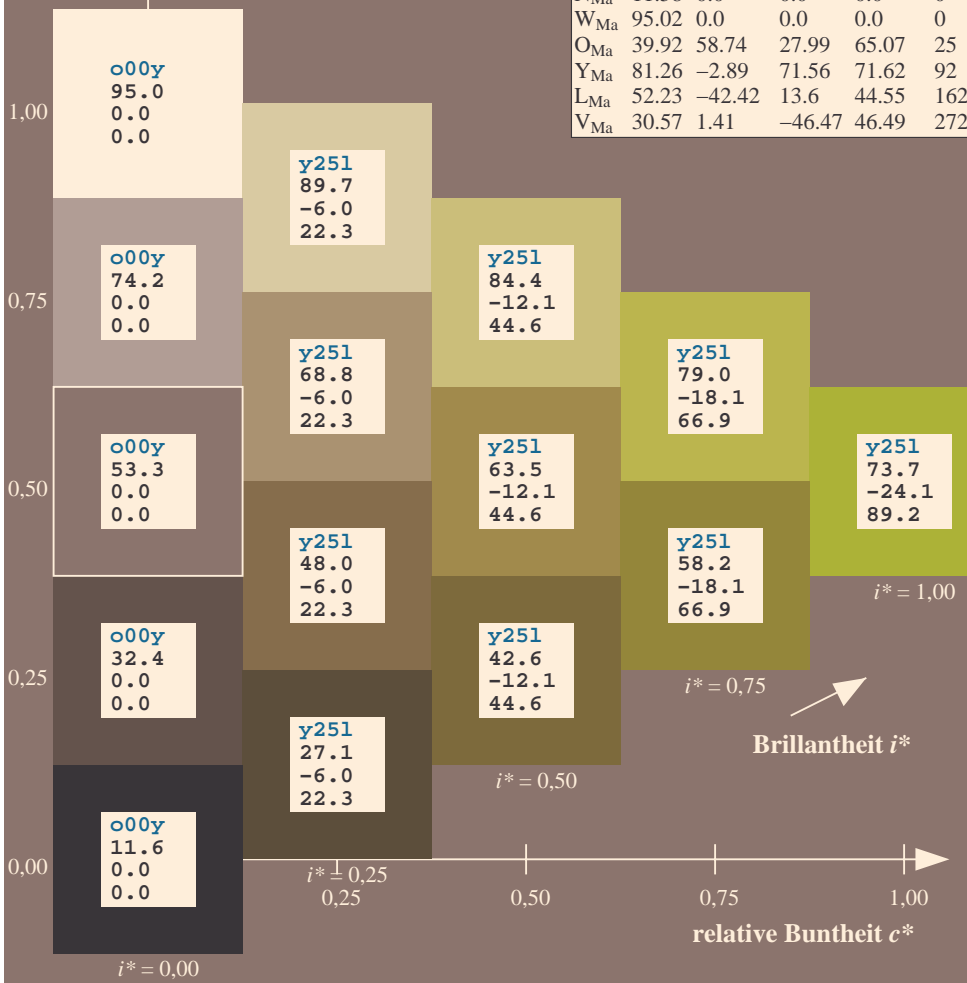
$u^*_{rel} = 109$

%Regularität

$g^*_{H,rel} = 31$

$g^*_{C,rel} = 40$

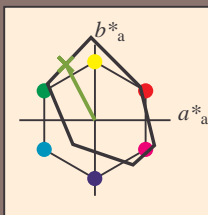
FRS12_95a; adaptierte CIELAB-Daten						
u^*_d	$L^*=L^*_a$	a^*_a	b^*_a	$C^*_{ab,a}$	$h^*_{ab,a}$	u^*_e
o00y	38.06	60.0	44.0	74.4	36	r16j
o25y	47.68	47.13	56.9	73.88	50	r37j
o50y	57.77	33.62	70.44	78.05	64	r58j
o75y	69.84	17.48	86.62	88.37	79	r79j
y00l	86.77	-5.17	109.32	109.44	93	j01g
y25l	73.71	-24.12	89.19	92.39	105	j18g
y50l	63.76	-38.55	73.86	83.32	118	j36g
y75l	55.23	-50.92	60.72	79.25	130	j53g
l00c	47.13	-62.67	48.24	79.09	142	j71g
l50c	52.64	-41.0	-3.61	41.16	185	g21b
c00v	55.66	-29.14	-31.99	43.27	228	g60b
c50v	41.87	-0.69	-41.67	41.68	269	g97b
v00m	17.15	50.3	-59.04	77.57	310	b34r
v50m	28.2	63.79	-46.89	79.17	324	b45r
m00o	40.37	78.64	-33.5	85.48	337	b57r
m50o	39.13	68.67	7.94	69.13	7	b83r



Siehe ähnliche Dateien: <http://www.ps.bam.de/Fg62/>; www.ps.bam.de/Fg62/10L/L62g00FP.PDF/ .PS
Technische Information: <http://www.ps.bam.de> Version 2.1, io=1,1, CIELAB, ColSpX=0

BAM-Registrierung: 20081001-Fg62/10L/L62g00FP.PDF/ .PS BAM-Material: Code=rh4ta
Anwendung für Beurteilung und Messung von Drucker- oder Monitorsystemen

Ein und Ausgabe: Farbmatisches Drucker-Reflektiv-System FRS12_95a, L*=12_95 für relativen CIELAB-Buntton $h^* = lab^*h^* = h_{ab}/360 = 0.327$ $u^*_d = y50l$
Daten für jede Farbe:
 lab^*ch^* und lab^*icu^*
Bunttontexte:
 $u^*_d = y50l$ $u^*_e = j36g$
Kontrastreduzierungsfaktor:
 $c_R = 1.0$
Dreiecks-Helligkeit i^*



FRS12_95a; adaptierte CIELAB-Daten						
u^*_d	$L^*=L^*_a$	a^*_a	b^*_a	$C^*_{ab,a}$	$h^*_{ab,a}$	u^*_e
O _{Ma}	38.06	60.0	44.0	74.4	36	r16j
Y _{Ma}	86.77	-5.17	109.32	109.44	93	r37j
L _{Ma}	47.13	-62.67	48.24	79.09	142	r58j
C _{Ma}	55.66	-29.14	-31.99	43.27	228	r79j
V _{Ma}	17.15	50.3	-59.04	77.57	310	j01g
M _{Ma}	40.37	78.64	-33.5	85.48	337	j18g
N _{Ma}	11.58	0.0	0.0	0.0	0	j36g
W _{Ma}	95.02	0.0	0.0	0.0	0	j53g
O _{Ma}	39.92	58.74	27.99	65.07	25	j71g
Y _{Ma}	81.26	-2.89	71.56	71.62	92	g21b
L _{Ma}	52.23	-42.42	13.6	44.55	162	g60b
V _{Ma}	30.57	1.41	-46.47	46.49	272	g97b

Daten für Maximalfarbe (Ma):

$LAB^*LAB^*_{Ma}$: 64 -39 74

$LAB^*LCH^*_{Ma}$: 64 83 117

$lab^*olv^*_{Ma}$: 0.5 1.0 0.0

$lab^*rgb^*_{Ma}$: 0.64 1.0 0.0

Dreiecks-Helligkeit i^*

%Umfang

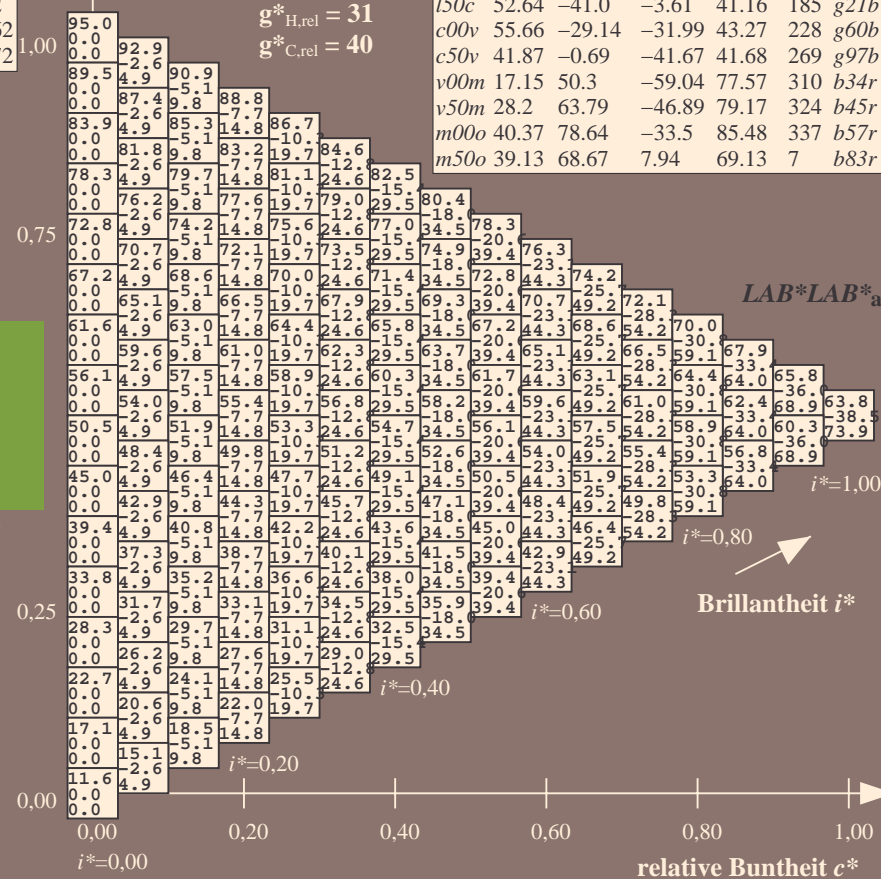
$u^*_{rel} = 109$

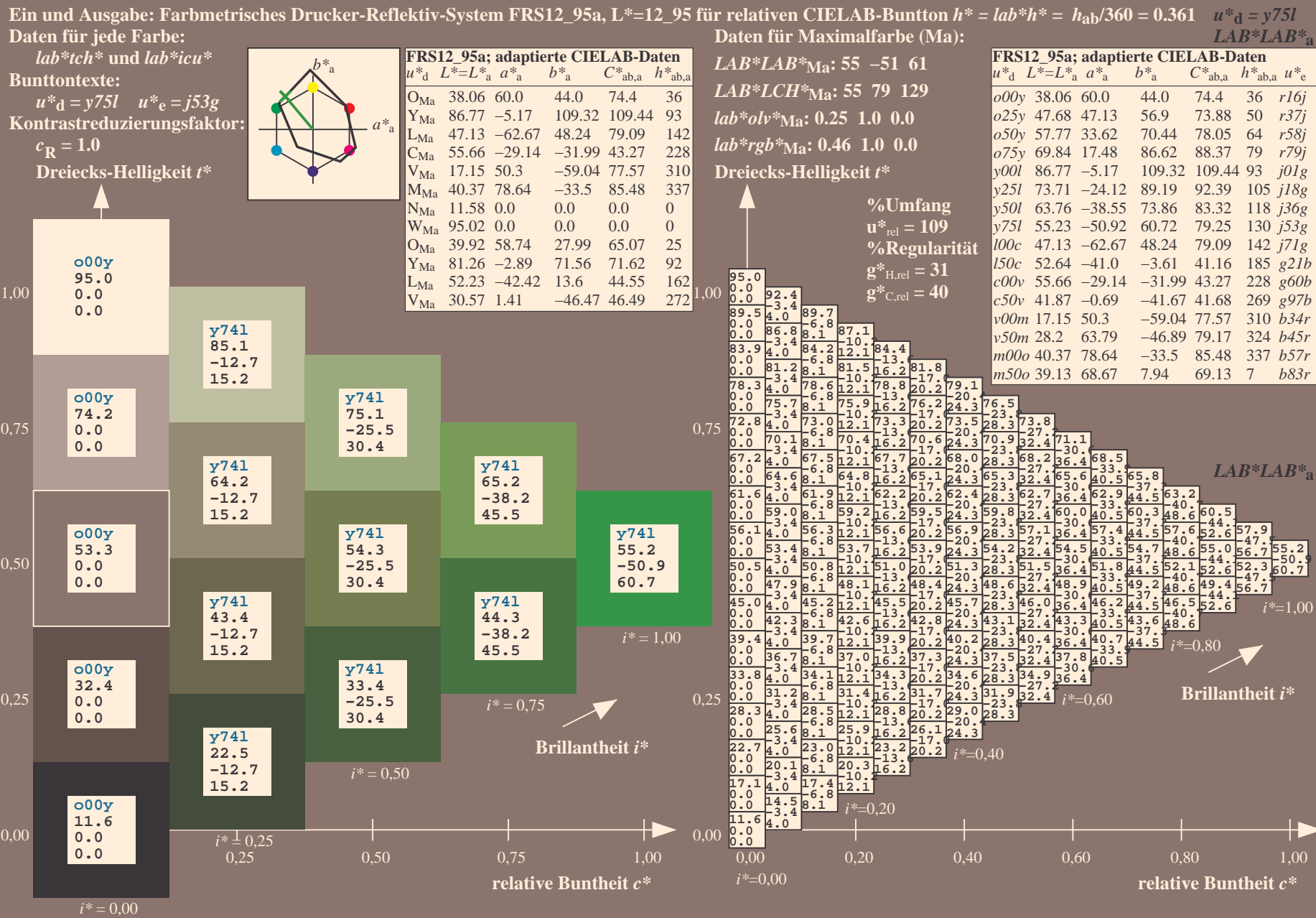
%Regularität

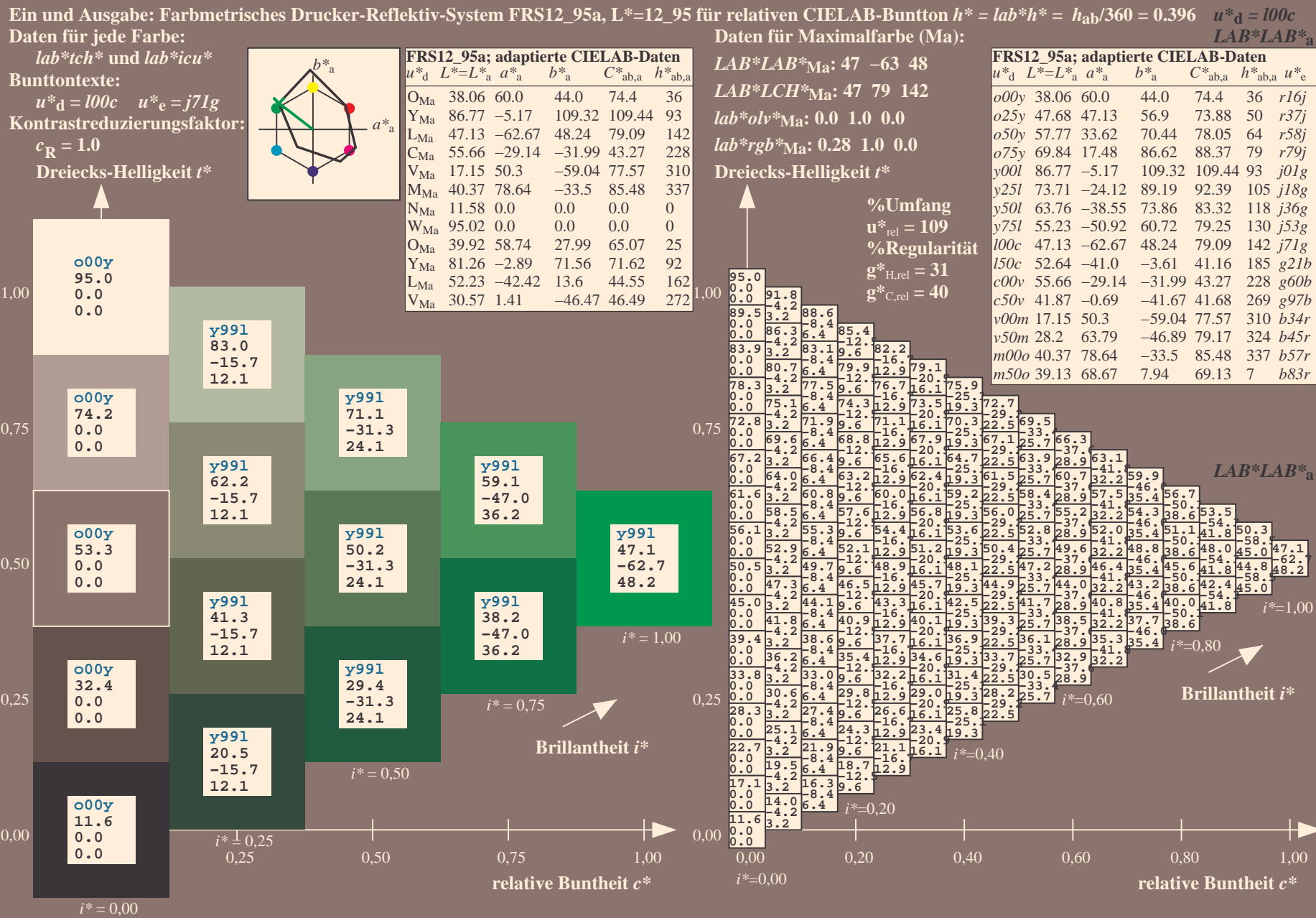
$g^*_{H,rel} = 31$

$g^*_{C,rel} = 40$

FRS12_95a; adaptierte CIELAB-Daten						
u^*_d	$L^*=L^*_a$	a^*_a	b^*_a	$C^*_{ab,a}$	$h^*_{ab,a}$	u^*_e
o00y	38.06	60.0	44.0	74.4	36	r16j
o25y	47.68	47.13	56.9	73.88	50	r37j
o50y	57.77	33.62	70.44	78.05	64	r58j
o75y	69.84	17.48	86.62	88.37	79	r79j
y00l	86.77	-5.17	109.32	109.44	93	j01g
y25l	73.71	-24.12	89.19	92.39	105	j18g
y50l	63.76	-38.55	73.86	83.32	118	j36g
y75l	55.23	-50.92	60.72	79.25	130	j53g
l00c	47.13	-62.67	48.24	79.09	142	j71g
l50c	52.64	-41.0	-3.61	41.16	185	g21b
c00v	55.66	-29.14	-31.99	43.27	228	g60b
c50v	41.87	-0.69	-41.67	41.68	269	g97b
v00m	17.15	50.3	-59.04	77.57	310	b34r
v50m	28.2	63.79	-46.89	79.17	324	b45r
m00o	40.37	78.64	-33.5	85.48	337	b57r
m50o	39.13	68.67	7.94	69.13	7	b83r







Ein und Ausgabe: Farbmimetrisches Drucker-Refektiv-System FRS12_95a, L*=12_95

Daten für jede Farbe:

$lab^{*}tch^{*}$ und $lab^{*}icu^{*}$

Bunttontexte:

$u^{*}_d = l50c$ $u^{*}_e = g21b$

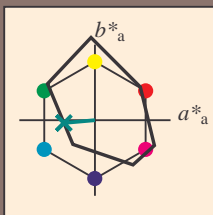
Kontrastreduzierungsfaktor:

$c_R = 1.0$

Dreiecks-Helligkeit t^{*}

FRS12_95a; adaptierte CIELAB-Daten						
	u^{*}_d	$L^{*}=L^{*}_a$	a^{*}_a	b^{*}_a	$C^{*}_{ab,a}$	$h^{*}_{ab,a}$
Q _{Ma}	38.06	60.0	44.0	74.4	36	
Y _{Ma}	86.77	-5.17	109.32	109.44	93	
L _{Ma}	47.13	-62.67	48.24	79.09	142	
C _{Ma}	55.66	-29.14	-31.99	43.27	228	
V _{Ma}	17.15	50.3	-59.04	77.57	310	

FRS12_95a; adaptierte CIELAB-Daten						
u^*_d	$L^*=L^*_a$	a^*_a	b^*_a	$C^*_{ab,a}$	$h^*_{ab,a}$	
O _{Ma}	38.06	60.0	44.0	74.4	36	
Y _{Ma}	86.77	-5.17	109.32	109.44	93	
L _{Ma}	47.13	-62.67	48.24	79.09	142	
C _{Ma}	55.66	-29.14	-31.99	43.27	228	
V _{Ma}	17.15	50.3	-59.04	77.57	310	
M _{Ma}	40.37	78.64	-33.5	85.48	337	
N _{Ma}	11.58	0.0	0.0	0.0	0	
W _{Ma}	95.02	0.0	0.0	0.0	0	
O _{Ma}	39.92	58.74	27.99	65.07	25	
Y _{Ma}	81.26	-2.89	71.56	71.62	92	
L _{Ma}	52.23	-42.42	13.6	44.55	162	
V _{Ma}	30.57	1.41	-46.47	46.49	272	



Daten für Maximalfarbe (Ma):

LAB*LAB*Ma: 53 -41 -4

LAB*LCH*Ma: 53 41 185

*lab*oly**Ma: 0.0 1.0 0.5

*lab*rgb**_{Ma}: 0.0 1.0 0.42

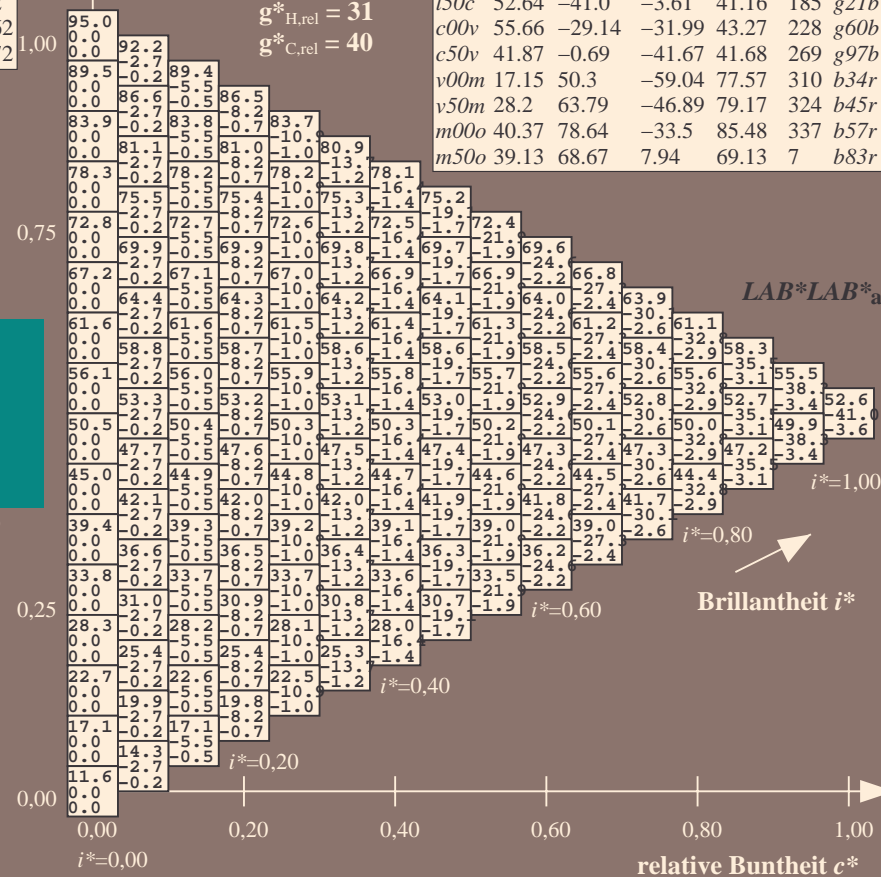
Dreiecks-Helligkeit t^*

▲ 2010年10月1日以前に竣工した建物に適用される。2010年10月1日以後に竣工した建物に適用されるのは、2011年10月1日以後に竣工した建物に適用される。

%Umfang

$$\mathbf{u}_{\text{rel}}^* = 109$$

%Regular:
 100 - 21 =

$$\sigma_{H,rel}^* = 51$$


Brillantheit i*

--	--	--	--

0.80 1.0

Relative Buntheit c^*

BAM-Prüfvorlage Fg62; Relatives Geräte-Farbsystem
D65: Farbreihen, Datentabellen für 16 Bunttöne $o00y$

Eingabe: 000n / w / nnn0 / www set...
Ausgabe: ->LAB*->cmy0* setcmyk

D65: Farbreihen, Datentabellen für 16 Bunttöne *o00y* bis *m50o*Ausgabe: $\rightarrow LAB^* \rightarrow cmy0^*$ *setcmyk*

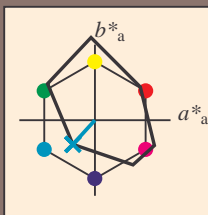
BAM-Registrierung: 20081001-Fg62/10L/L62g00FP.PDF/.PS BAM-Material: Code=rh4ta
Anwendung für Beurteilung und Messung von Drucker- oder Monitorsystemen

code=rha4ta

Siehe ähnliche Dateien: <http://www.ps.bam.de/Fg62/>; www.ps.bam.de/Fg.HTM
Technische Information: <http://www.ps.bam.de> Version 2.1, io=1,1, CIELAB, ColSpx=0

Siehe ähnliche Dateien: <http://www.ps.bam.de/Fg62/>; www.ps.bam.de/Fg.HTM
Technische Information: <http://www.ps.bam.de> Version 2.1, io=1,1, CIELAB, ColSpx=0

Ein und Ausgabe: Farbmetrisches Drucker-Reflektiv-System FRS12_95a, L*=12_95 für relativen CIELAB-Buntton $h^* = lab^*h^* = h_{ab}/360 = 0.632$ $u^*_d = c00v$
Daten für jede Farbe:
 lab^*ch^* und lab^*icu^*
Bunttontexte:
 $u^*_d = c00v$ $u^*_e = g60b$
Kontrastreduzierungsfaktor:
 $c_R = 1.0$
Dreiecks-Helligkeit i^*



FRS12_95a; adaptierte CIELAB-Daten						
u^*_d	$L^*=L^*_a$	a^*_a	b^*_a	$C^*_{ab,a}$	$h^*_{ab,a}$	u^*_e
O _{Ma}	38.06	60.0	44.0	74.4	36	r16j
Y _{Ma}	86.77	-5.17	109.32	109.44	93	r37j
L _{Ma}	47.13	-62.67	48.24	79.09	142	r58j
C _{Ma}	55.66	-29.14	-31.99	43.27	228	r79j
V _{Ma}	17.15	50.3	-59.04	77.57	310	j01g
M _{Ma}	40.37	78.64	-33.5	85.48	337	j18g
N _{Ma}	11.58	0.0	0.0	0.0	0	j36g
W _{Ma}	95.02	0.0	0.0	0.0	0	j53g
O _{Ma}	39.92	58.74	27.99	65.07	25	j71g
Y _{Ma}	81.26	-2.89	71.56	71.62	92	g21b
L _{Ma}	52.23	-42.42	13.6	44.55	162	g60b
V _{Ma}	30.57	1.41	-46.47	46.49	272	g97b

Daten für Maximalfarbe (Ma):

$LAB^*LAB^*_{Ma}$: 56 -29 -32

$LAB^*LCH^*_{Ma}$: 56 43 227

$lab^*olv^*_{Ma}$: 0.0 1.0 1.0

$lab^*rgb^*_{Ma}$: 0.0 0.8 1.0

Dreiecks-Helligkeit i^*

%Umfang

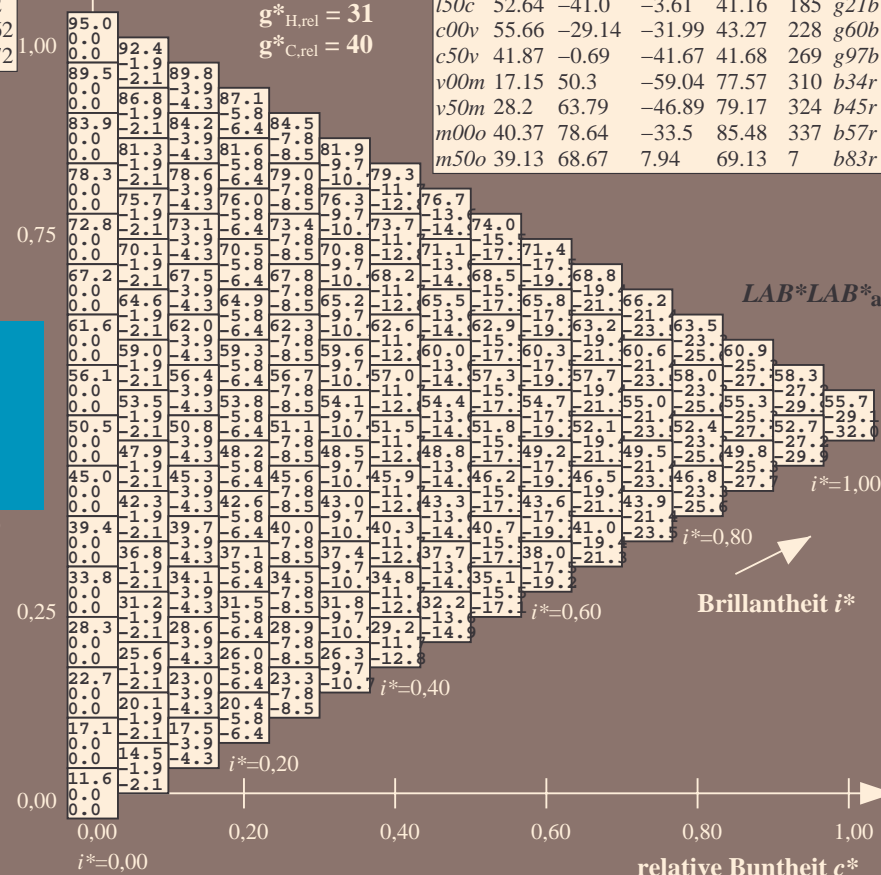
$u^*_{rel} = 109$

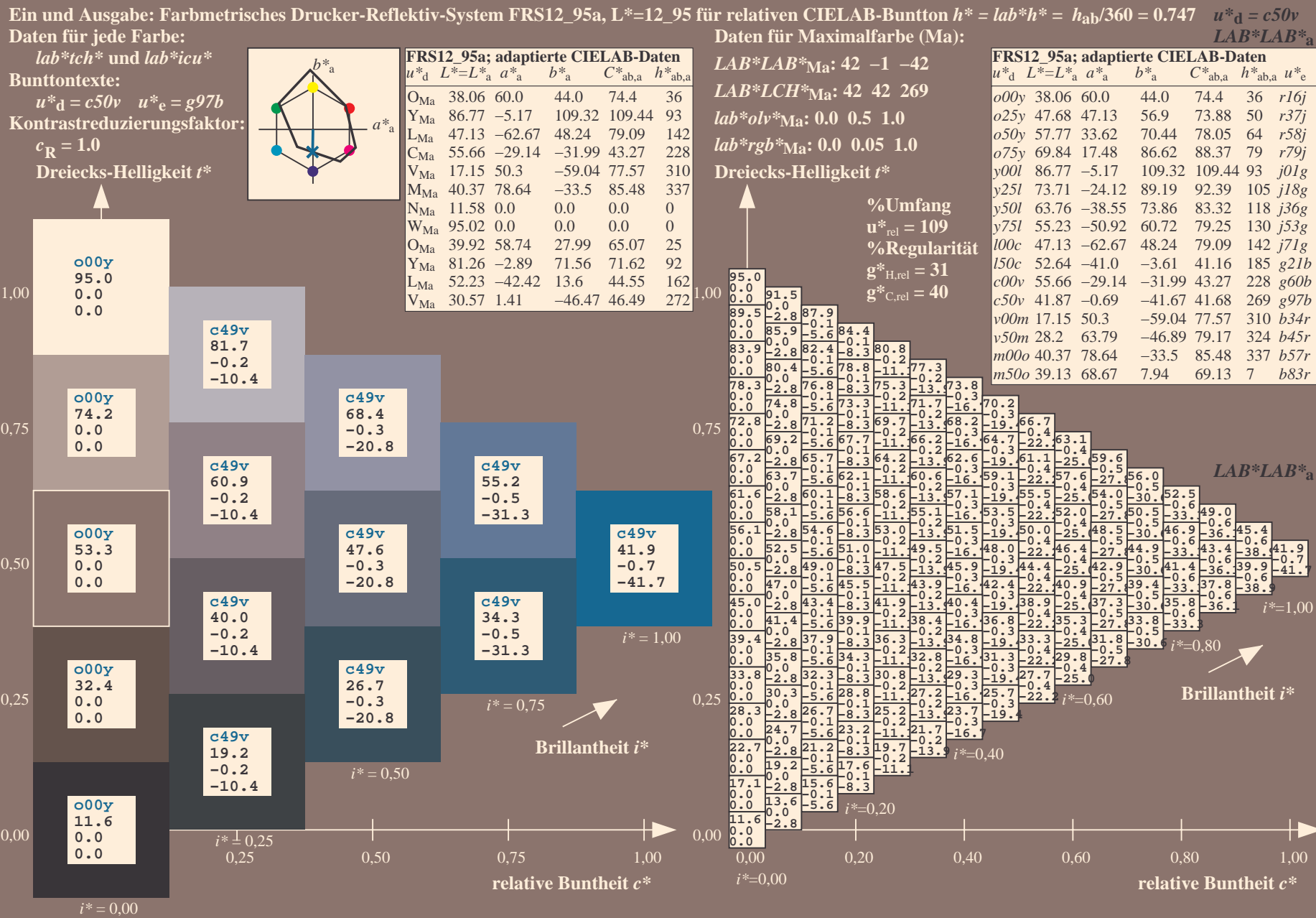
%Regularität

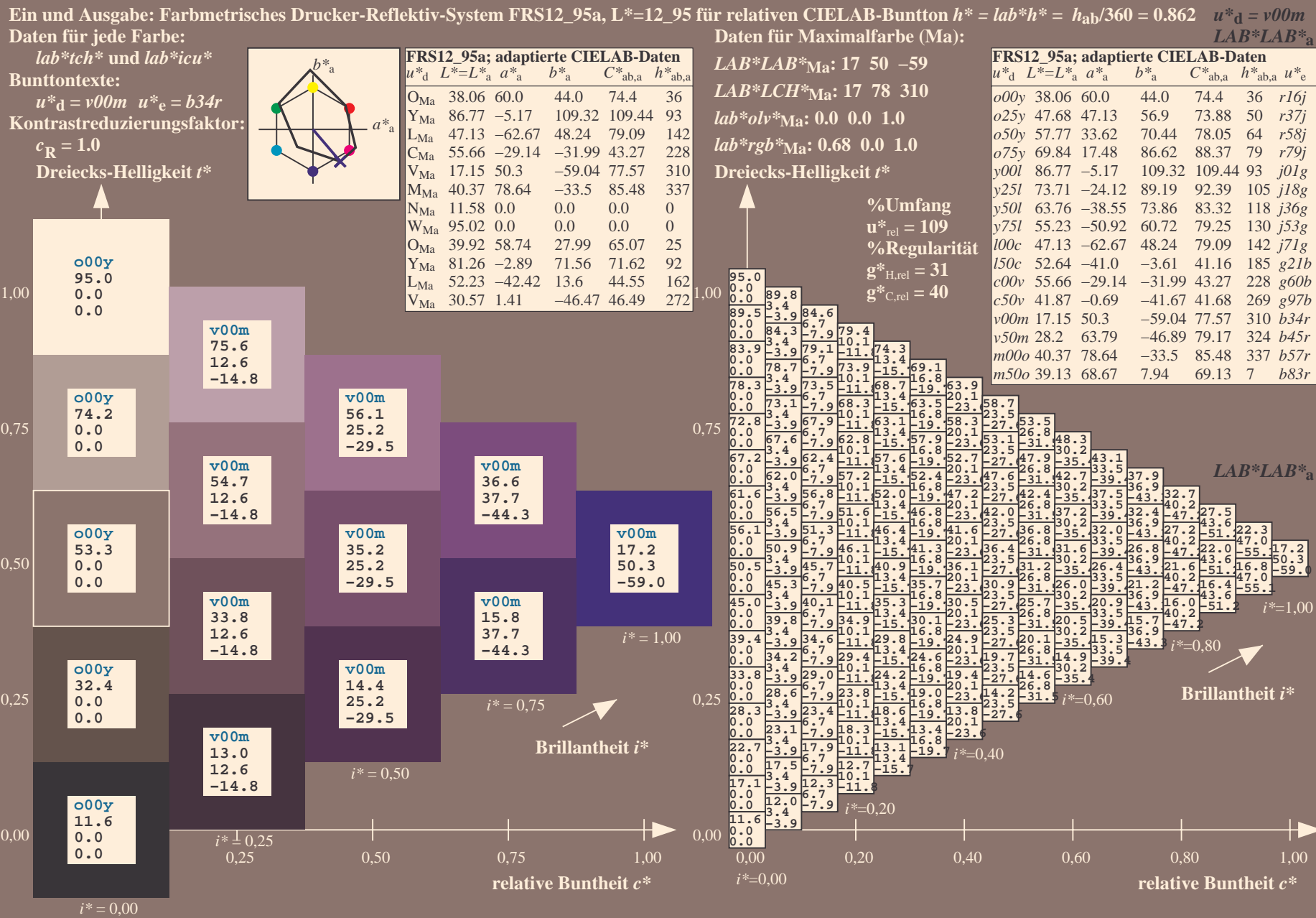
$g^*_{H,rel} = 31$

$g^*_{C,rel} = 40$

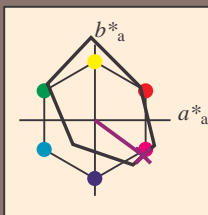
FRS12_95a; adaptierte CIELAB-Daten						
u^*_d	$L^*=L^*_a$	a^*_a	b^*_a	$C^*_{ab,a}$	$h^*_{ab,a}$	u^*_e
o00y	38.06	60.0	44.0	74.4	36	r16j
o25y	47.68	47.13	56.9	73.88	50	r37j
o50y	57.77	33.62	70.44	78.05	64	r58j
o75y	69.84	17.48	86.62	88.37	79	r79j
y00l	86.77	-5.17	109.32	109.44	93	j01g
y25l	73.71	-24.12	89.19	92.39	105	j18g
y50l	63.76	-38.55	73.86	83.32	118	j36g
y75l	55.23	-50.92	60.72	79.25	130	j53g
l00c	47.13	-62.67	48.24	79.09	142	j71g
l50c	52.64	-41.0	-3.61	41.16	185	g21b
c00v	55.66	-29.14	-31.99	43.27	228	g60b
c50v	41.87	-0.69	-41.67	41.68	269	g97b
v00m	17.15	50.3	-59.04	77.57	310	b34r
v50m	28.2	63.79	-46.89	79.17	324	b45r
m00o	40.37	78.64	-33.5	85.48	337	b57r
m50o	39.13	68.67	7.94	69.13	7	b83r







Ein und Ausgabe: Farbmetrisches Drucker-Reflektiv-System FRS12_95a, L*=12_95 für relativen CIELAB-Buntton $h^* = lab^*h^* = h_{ab}/360 = 0.899$ $u^*_d = v50m$
Daten für jede Farbe:
 lab^*ch^* und lab^*icu^*
Bunttontexte:
 $u^*_d = v50m$ $u^*_e = b45r$
Kontrastreduzierungsfaktor:
 $c_R = 1.0$
Dreiecks-Helligkeit i^*



FRS12_95a; adaptierte CIELAB-Daten						
	u^*_d	$L^*=L^*_a$	a^*_a	b^*_a	$C^*_{ab,a}$	$h^*_{ab,a}$
O _{Ma}	38.06	60.0	44.0	74.4	36	
Y _{Ma}	86.77	-5.17	109.32	109.44	93	
L _{Ma}	47.13	-62.67	48.24	79.09	142	
C _{Ma}	55.66	-29.14	-31.99	43.27	228	
V _{Ma}	17.15	50.3	-59.04	77.57	310	
M _{Ma}	40.37	78.64	-33.5	85.48	337	
N _{Ma}	11.58	0.0	0.0	0.0	0	
W _{Ma}	95.02	0.0	0.0	0.0	0	
O _{Ma}	39.92	58.74	27.99	65.07	25	
Y _{Ma}	81.26	-2.89	71.56	71.62	92	
L _{Ma}	52.23	-42.42	13.6	44.55	162	
V _{Ma}	30.57	1.41	-46.47	46.49	272	

Daten für Maximalfarbe (Ma):

$LAB^*LAB^*_Ma$: 28 64 -47

$LAB^*LCH^*_Ma$: 28 79 323

$lab^*olv^*_Ma$: 0.5 0.0 1.0

$lab^*rgb^*_Ma$: 0.91 0.0 1.0

Dreiecks-Helligkeit i^*

%Umfang

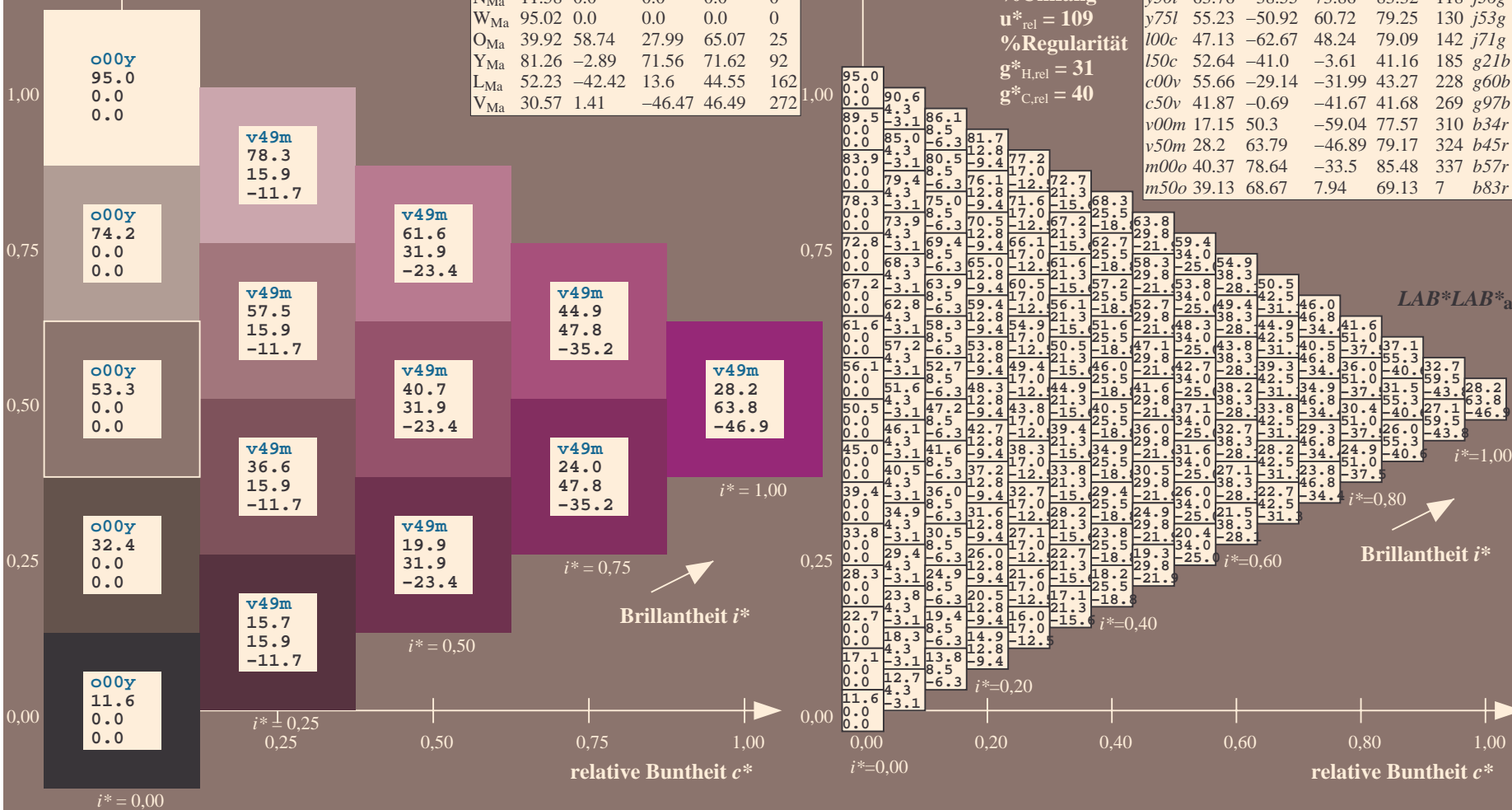
$u^*_{rel} = 109$

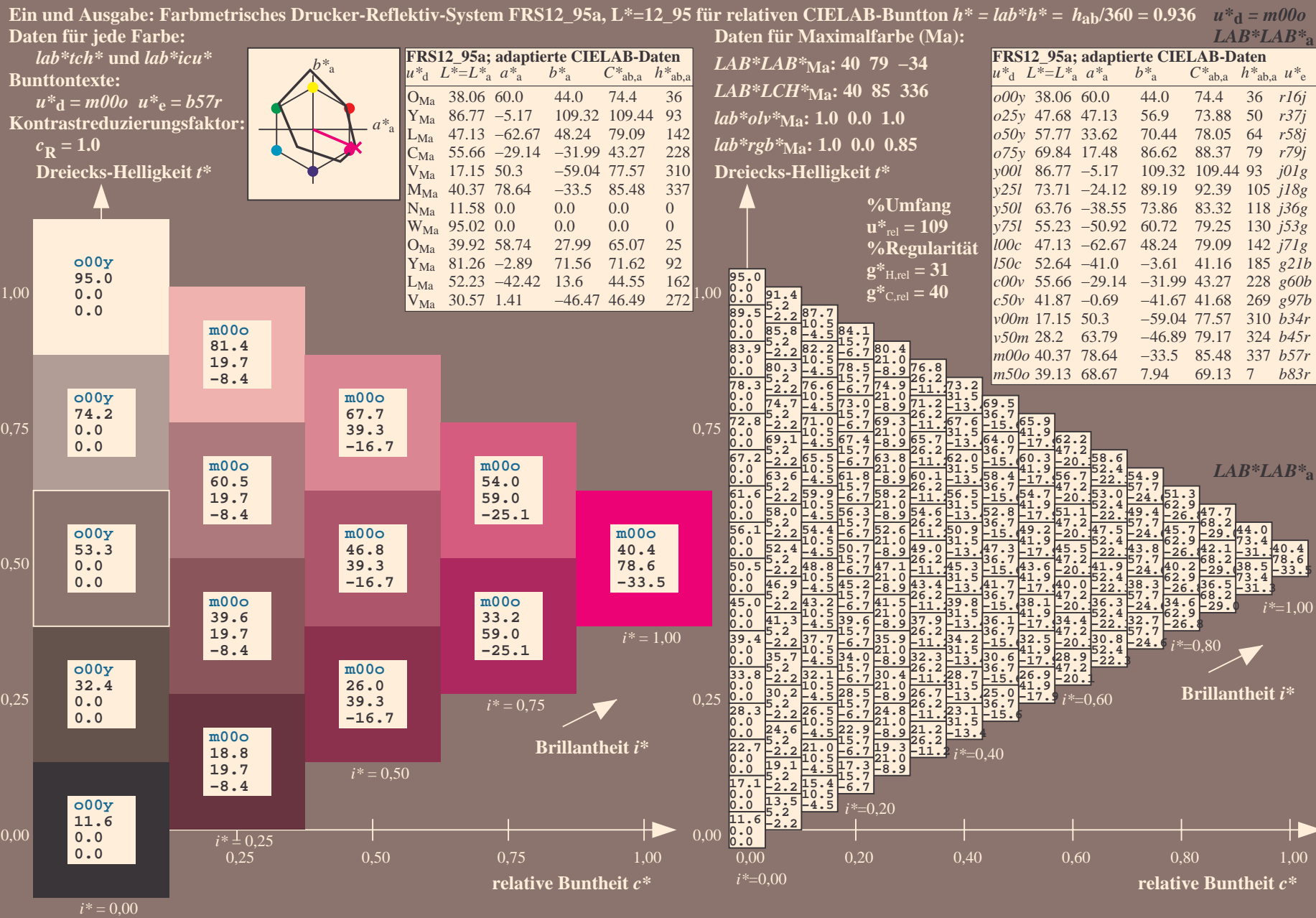
%Regularität

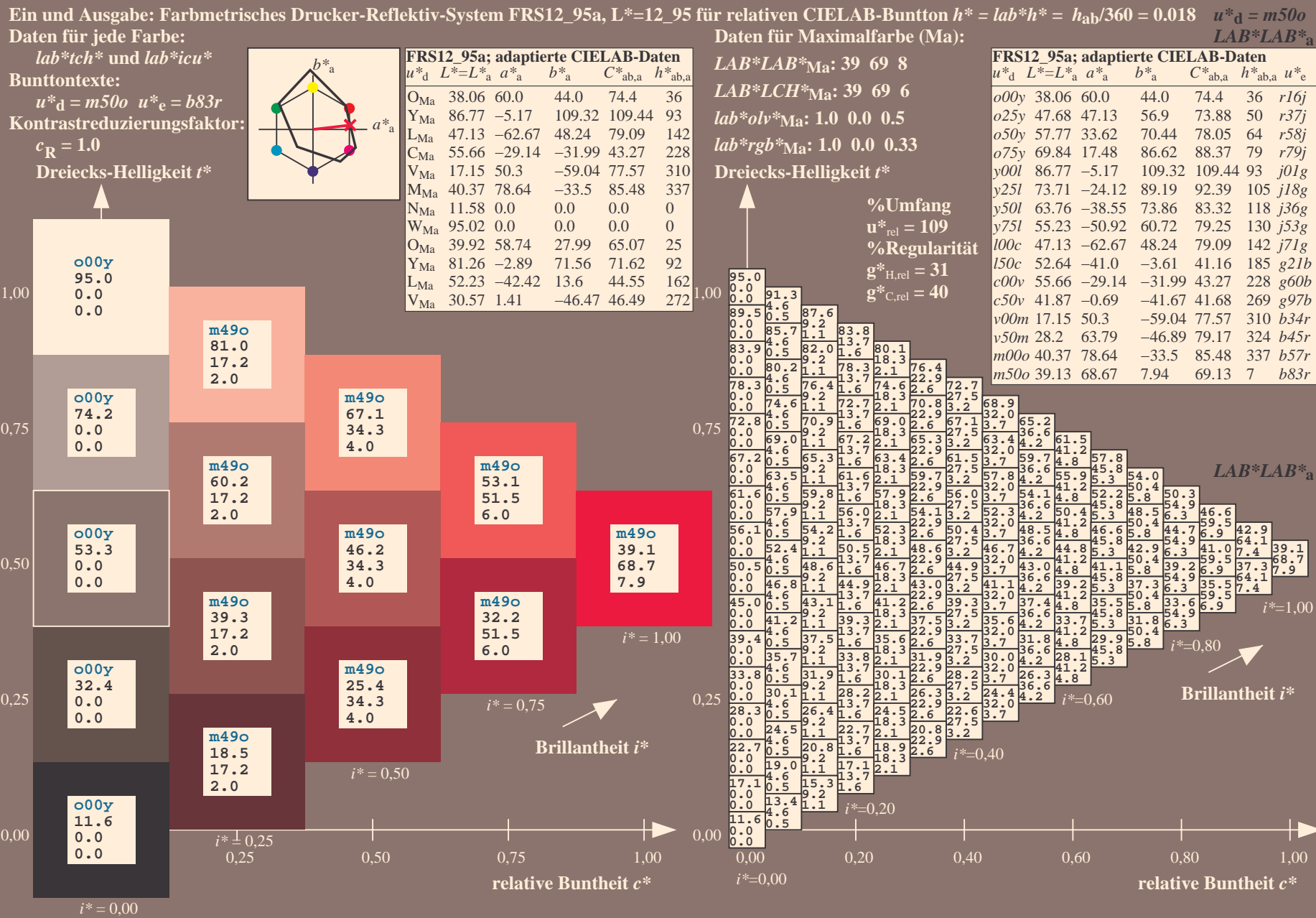
$g^*_{H,rel} = 31$

$g^*_{C,rel} = 40$

FRS12_95a; adaptierte CIELAB-Daten						
	u^*_d	$L^*=L^*_a$	a^*_a	b^*_a	$C^*_{ab,a}$	$h^*_{ab,a}$
o00y	38.06	60.0	44.0	74.4	36	r16j
o25y	47.68	47.13	56.9	73.88	50	r37j
o50y	57.77	33.62	70.44	78.05	64	r58j
o75y	69.84	17.48	86.62	88.37	79	r79j
y00l	86.77	-5.17	109.32	109.44	93	j01g
y25l	73.71	-24.12	89.19	92.39	105	j18g
y50l	63.76	-38.55	73.86	83.32	118	j36g
y75l	55.23	-50.92	60.72	79.25	130	j53g
l00c	47.13	-62.67	48.24	79.09	142	j71g
l50c	52.64	-41.0	-3.61	41.16	185	g21b
c00v	55.66	-29.14	-31.99	43.27	228	g60b
c50v	41.87	-0.69	-41.67	41.68	269	g97b
v00m	17.15	50.3	-59.04	77.57	310	b34r
v50m	28.2	63.79	-46.89	79.17	324	b45r
m00o	40.37	78.64	-33.5	85.48	337	b57r
m50o	39.13	68.67	7.94	69.13	7	b83r







Siehe ähnliche Dateien: <http://www.ps.bam.de/Fg62/>; www.ps.bam.de/Fg62/; www.ps.bam.de/Fg62/
Technische Information: [http://www.ps.bam.de/Version 2.1, io=1.1, CIELAB, ColSp=0](http://www.ps.bam.de/Version%202.1,%20io%3D1.1,CIELAB,%20ColSp%3D0)

	A	B	C	D	E	F	G	H	I	J	K	L	M	N	O	P	Q	R	S	T	U	V	W	X	Y	Z	a	b	c	d	e	f	g	h	i	j	k	LAB*LAB*a																																																																																																																												
01	11.6	16.0	20.5	24.9	29.4	33.8	38.2	42.7	47.1	51.4	55.8	59.9	63.4	67.3	70.7	73.6	76.1	78.2	80.0	81.5	82.8	83.9	84.8	85.5	86.0	86.3	86.5	86.6	86.7	86.8	86.9	87.0	87.1	87.2	87.3	87.4	87.5	87.6	87.7	87.8	87.9	88.0	88.1	88.2	88.3	88.4	88.5	88.6	88.7	88.8	88.9	89.0	89.1	89.2	89.3	89.4	89.5	89.6	89.7	89.8	89.9	90.0	90.1	90.2	90.3	90.4	90.5	90.6	90.7	90.8	90.9	91.0	91.1	91.2	91.3	91.4	91.5	91.6	91.7	91.8	91.9	92.0	92.1	92.2	92.3	92.4	92.5	92.6	92.7	92.8	92.9	93.0	93.1	93.2	93.3	93.4	93.5	93.6	93.7	93.8	93.9	94.0	94.1	94.2	94.3	94.4	94.5	94.6	94.7	94.8	94.9	95.0	95.1	95.2	95.3	95.4	95.5	95.6	95.7	95.8	95.9	96.0	96.1	96.2	96.3	96.4	96.5	96.6	96.7	96.8	96.9	97.0	97.1	97.2	97.3	97.4	97.5	97.6	97.7	97.8	97.9	98.0	98.1	98.2	98.3	98.4	98.5	98.6	98.7	98.8	98.9	99.0	99.1	99.2	99.3	99.4	99.5	99.6	99.7	99.8	99.9	100.0
02	12.3	17.1	21.8	26.5	31.2	35.7	40.3	44.8	49.3	53.7	58.0	62.2	66.3	70.4	74.4	78.3	82.1	85.8	89.4	92.9	96.3	99.6	102.8	105.9	108.9	111.8	114.6	117.3	119.9	122.4	124.8	127.1	129.3	131.5	133.6	135.6	137.5	139.3	141.0	142.6	144.1	145.5	146.8	148.0	149.1	150.2	151.2	152.1	153.0	153.9	154.7	155.5	156.3	157.0	157.7	158.4	159.0	159.6	160.2	160.8	161.3	161.8	162.3	162.8	163.3	163.8	164.3	164.8	165.3	165.8	166.3	166.8	167.3	167.8	168.3	168.8	169.3	169.8	170.3	170.8	171.3	171.8	172.3	172.8	173.3	173.8	174.3	174.8	175.3	175.8	176.3	176.8	177.3	177.8	178.3	178.8	179.3	179.8	180.3	180.8	181.3	181.8	182.3	182.8	183.3	183.8	184.3	184.8	185.3	185.8	186.3	186.8	187.3	187.8	188.3	188.8	189.3	189.8	190.3	190.8	191.3	191.8	192.3	192.8	193.3	193.8	194.3	194.8	195.3	195.8	196.3	196.8	197.3	197.8	198.3	198.8	199.3	199.8	200.0																							
03	13.0	17.9	22.6	27.4	32.1	36.6	41.1	45.6	50.0	54.3	58.5	62.6	66.6	70.6	74.5	78.3	82.0	85.6	89.1	92.5	95.8	99.0	102.1	105.1	108.1	111.0	113.8	116.4	119.1	121.6	124.0	126.3	128.5	130.6	132.6	134.5	136.3	138.0	139.6	141.1	142.5	143.8	145.0	146.2	147.3	148.4	149.5	150.5	151.5	152.5	153.5	154.5	155.5	156.5	157.5	158.5	159.5	160.5	161.5	162.5	163.5	164.5	165.5	166.5	167.5	168.5	169.5	170.5	171.5	172.5	173.5	174.5	175.5	176.5	177.5	178.5	179.5	180.5	181.5	182.5	183.5	184.5	185.5	186.5	187.5	188.5	189.5	190.5	191.5	192.5	193.5	194.5	195.5	196.5	197.5	198.5	199.5	200.0																																																																
04	13.7	20.9	24.7	28.1	32.8	37.6	42.4	47.1	51.8	56.4	60.9	65.3	69.6	73.8	77.9	81.9	85.8	89.6	93.3	96.9	100.4	103.8	107.1	110.3	113.4	116.4	119.3	122.1	124.8	127.4	130.0	132.5	134.9	137.2	139.4	141.6	143.7	145.8	147.8	149.7	151.6	153.4	155.2	156.9	158.6	160.3	161.9	163.5	165.1	166.7	168.2	169.7	171.2	172.7	174.1	175.6	177.0	178.4	179.8	181.2	182.6	184.0	185.4	186.8	188.2	189.6	191.0	192.4	193.8	195.2	196.6	198.0	199.4	200.0																																																																																								
05	14.4	22.4	26.7	30.1	33.6	38.3	43.1	47.9	52.6	57.1	61.4	65.6	69.7	73.8	77.8	81.7	85.5	89.2	92.8	96.3	99.7	103.0	106.2	109.4	112.5	115.5	118.4	121.2	123.9	126.5	129.0	131.5	133.9	136.2	138.4	140.6	142.7	144.8	146.8	148.8	150.7	152.5	154.3	156.1	157.8	159.5	161.2	162.9	164.5	166.2	167.8	169.4	171.0	172.6	174.1	175.7	177.2	178.7	180.2	181.7	183.2	184.7	186.2	187.7	189.2	190.7	192.2	193.7	195.2	196.7	198.2	199.7	200.0																																																																																									
06	15.1	23.7	28.6	32.3	35.6	39.7	43.8	47.8	51.8	55.7	59.5	63.3	67.0	70.6	74.1	77.5	80.9	84.2	87.4	90.6	93.7	96.7	99.6	102.5	105.3	108.1	110.8	113.4	116.0	118.5	121.0	123.4	125.8	128.1	130.4	132.6	134.8	136.9	139.0	141.1	143.1	145.1	147.1	149.0	150.9	152.8	154.7	156.5	158.4	160.2	162.0	163.8	165.6	167.4	169.1	170.9	172.6	174.3	176.0	177.7	179.4	181.1	182.8	184.5	186.2	187.9	189.6	191.3	193.0	194.7	196.4	198.1	199.8	200.0																																																																																								
07	15.8	24.8	30.3	34.3	37.7	41.9	46.1	50.2	54.2	58.1	61.9	65.6	69.3	72.9	76.4	79.8	83.1	86.3	89.5	92.6	95.6	98.5	101.4	104.2	106.9	109.6	112.3	114.9	117.5	120.0	122.5	124.9	127.2	129.5	131.7	133.9	136.1	138.2	140.3	142.4	144.4	146.4	148.4	150.4	152.3	154.3	156.2	158.1	160.0	161.9	163.8	165.6	167.5	169.3	171.2	173.0	174.9	176.7	178.5	180.4	182.2	184.1	185.9	187.8	189.6	191.5	193.3	195.2	197.0	198.9	200.0																																																																																											
08	16.5	25.9	31.8	36.2	39.8	43.2	46.5	50.1	53.4	56.7	59.9	63.0	66.0	68.9	71.7	74.5	77.2	79.9	82.5	85.1	87.6	90.1	92.5	94.9	97.2	99.5	101.8	104.0	106.2	108.4	110.6	112.8	114.9	117.0	119.1	121.2	123.2	125.2	127.2	129.2	131.2	133.1	135.0	136.9	138.8	140.7	142.6	144.5	146.4	148.3	150.2	152.1	154.0	155.9	157.8	159.7	161.6	163.5	165.4	167.3	169.2	171.1	173.0	174.9	176.8	178.7	180.6	182.5	184.4	186.3	188.2	190.1	192.0	193.9	195.8	197.7	199.6	200.0																																																																																				
09	17.2	26.9	33.2	38.1	41.9	45.3	48.6	52.0	55.7	59.9	63.6	67.2	70.7	74.1	77.4	80.6	83.8	86.9	89.9	92.9	95.8	98.7	101.5	104.3	107.0	109.7	112.4	115.0	117.6	120.1	122.6	125.0	127.4	129.7	132.0	134.3	136.5	138.7	140.9	143.1	145.3	147.5	149.7	151.9	154.1	156.3	158.5	160.7	162.9	165.1	167.3	169.5	171.7	173.9	176.1	178.3	180.5	182.7	184.9	187.1	189.3	191.5	193.7	195.9	198.1	200.0																																																																																																
10	17.9	27.6	34.3	39.4	43.2	46.5	50.1	53.4	56.7	59.9	63.0	66.0	68.9	71.7	74.5	77.2	79.9	82.5	85.1	87.6	90.1	92.5	94.9	97.2	99.5	101.8	104.0	106.2	108.4	110.6	112.8	114.9	117.0	119.1	121.2	123.2	125.2	127.2	129.2	131.2	133.1	135.0	136.9	138.8	140.7	142.6	144.5	146.4	148.3	150.2	152.1	154.0	155.9	157.8	159.7	161.6	163.5	165.4	167.3	169.2	171.1	173.0	174.9	176.8	178.7	180.6	182.5	184.4	186.3	188.2	190.1	192.0	193.9	195.8	197.7	199.6	200.0																																																																																					
11	18.6	28.4	35.5	40.8	44.6	47.9	51.5	55.1	58.7	62.2	65.6	68.9	72.1	75.3	78.4	81.5	84.5	87.5	90.4	93.3	96.1	98.9	101.6	104.3	107.0	109.6	112.1	114.6	117.1	119.6	122.1	124.5	126.7	128.9	131.1	133.3	135.4	137.5	139.6	141.7	143.8	145.9	148.0	150.1	152.2	154.3	156.4	158.5	160.6	162.7	164.8	166.9	169.0	171.1	173.2	175.3	177.4	179.5	181.6	183.7	185.8	187.9	189.9	192.0	194.1	196.2	198.3	200.0																																																																																														
12	19.3	29.3	36.8	42.3	46.1	49.4	53.0	56.6	60.1	63.5	66.8	69.9	73.0	76.0	78.9	81.8	84.6	87.4	90.1	92.8	95.4	98.0	100.6	103.1	105.6	108.1	110.5	112.9	115.3	117.7	120.1	122.4	1242																																																																																																																																	

Ein und Ausgabe:
Farbmetrisches Drucker-Reflektiv-System FRS12_95a
Daten für jede Farbe:

u^*_d und Nummer $Nr.$ = 00 .. 15

Geräte-Bunttontext:

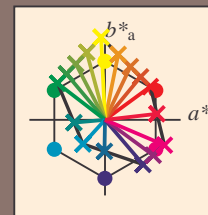
u^*_d = 16 Bunttoene $o00y$, $o25y$, ..., $m50o$

Kontrastreduzierungsfaktor:

$c_R = 1.0$

FRS12_95a; adaptierte CIELAB-Daten

u^*_d	$L^*=L^*_a$	a^*_a	b^*_a	$C^*_{ab,a}$	$h^*_{ab,a}$	u^*_e
$o00y$	38.06	60.0	44.0	74.4	36	$r16j$
$o25y$	47.68	47.13	56.9	73.88	50	$r37j$
$o50y$	57.77	33.62	70.44	78.05	64	$r58j$
$o75y$	69.84	17.48	86.62	88.37	79	$r79j$
$y00l$	86.77	-5.17	109.32	109.44	93	$j01g$
$y25l$	73.71	-24.12	89.19	92.39	105	$j18g$
$y50l$	63.76	-38.55	73.86	83.32	118	$j36g$
$y75l$	55.23	-50.92	60.72	79.25	130	$j53g$
$l00c$	47.13	-62.67	48.24	79.09	142	$j71g$
$l50c$	52.64	-41.0	-3.61	41.16	185	$g21b$
$c00v$	55.66	-29.14	-31.99	43.27	228	$g60b$
$c50v$	41.87	-0.69	-41.67	41.68	269	$g97b$
$v00m$	17.15	50.3	-59.04	77.57	310	$b34r$
$v50m$	28.2	63.79	-46.89	79.17	324	$b45r$
$m00o$	40.37	78.64	-33.5	85.48	337	$b57r$
$m50o$	39.13	68.67	7.94	69.13	7	$b83r$



%Umfang

$u^*_{rel} = 109$

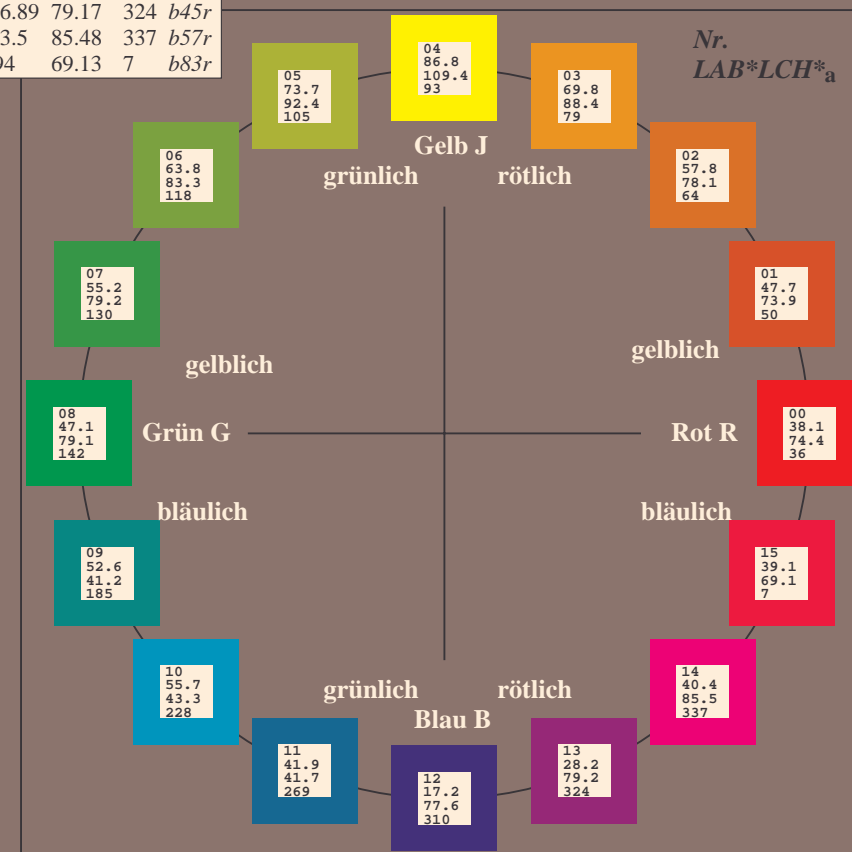
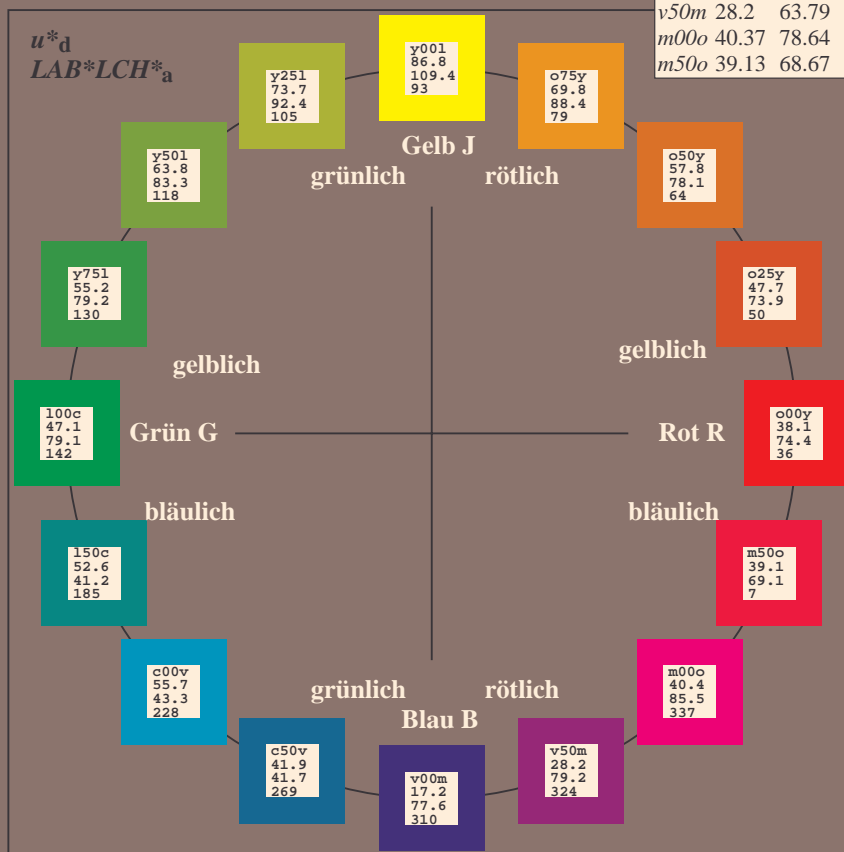
%Regularität

$g^*_{H,rel} = 31$

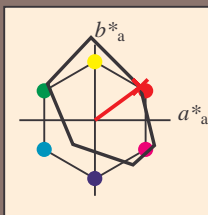
$g^*_{C,rel} = 40$

FRS12_95a; adaptierte CIELAB-Daten

Name	$L^*=L^*_a$	a^*_a	b^*_a	$C^*_{ab,a}$	$h^*_{ab,a}$
O_{Ma}	38.06	60.0	44.0	74.4	36
Y_{Ma}	86.77	-5.17	109.32	109.44	93
L_{Ma}	47.13	-62.67	48.24	79.09	142
C_{Ma}	55.66	-29.14	-31.99	43.27	228
V_{Ma}	17.15	50.3	-59.04	77.57	310
M_{Ma}	40.37	78.64	-33.5	85.48	337
N_{Ma}	11.58	0.0	0.0	0.0	0
W_{Ma}	95.02	0.0	0.0	0.0	0
O_{CIE}	39.92	58.74	27.99	65.07	25
Y_{CIE}	81.26	-2.89	71.56	71.62	92
L_{CIE}	52.23	-42.42	13.6	44.55	162
V_{CIE}	30.57	1.41	-46.47	46.49	272



Ein und Ausgabe: Farbmetrisches Drucker-Reflektiv-System FRS12_95a, L*=12_95 für relativen CIELAB-Buntton $h^* = lab^*h^* = h_{ab}/360 = 0.101$ $u^*_d = o00y$
Daten für jede Farbe:
 lab^*ch^* und lab^*icu^*
Bunttontexte:
 $u^*_d = o00y$ $u^*_e = r16j$
Kontrastreduzierungsfaktor:
 $c_R = 1.0$
Dreiecks-Helligkeit i^*



FRS12_95a; adaptierte CIELAB-Daten						
u^*_d	$L^*=L^*_a$	a^*_a	b^*_a	$C^*_{ab,a}$	$h^*_{ab,a}$	u^*_e
O _{Ma}	38.06	60.0	44.0	74.4	36	r16j
Y _{Ma}	86.77	-5.17	109.32	109.44	93	r37j
L _{Ma}	47.13	-62.67	48.24	79.09	142	r58j
C _{Ma}	55.66	-29.14	-31.99	43.27	228	r79j
V _{Ma}	17.15	50.3	-59.04	77.57	310	j01g
M _{Ma}	40.37	78.64	-33.5	85.48	337	j18g
N _{Ma}	11.58	0.0	0.0	0.0	0	j36g
W _{Ma}	95.02	0.0	0.0	0.0	0	j53g
O _{Ma}	39.92	58.74	27.99	65.07	25	j71g
Y _{Ma}	81.26	-2.89	71.56	71.62	92	g21b
L _{Ma}	52.23	-42.42	13.6	44.55	162	g60b
V _{Ma}	30.57	1.41	-46.47	46.49	272	g97b

Daten für Maximalfarbe (Ma):

LAB^*LAB^*Ma : 38 60 44

LAB^*LCH^*Ma : 38 74 36

lab^*olv^*Ma : 1.0 0.0 0.0

lab^*rgb^*Ma : 1.0 0.16 0.0

Dreiecks-Helligkeit i^*

%Umfang

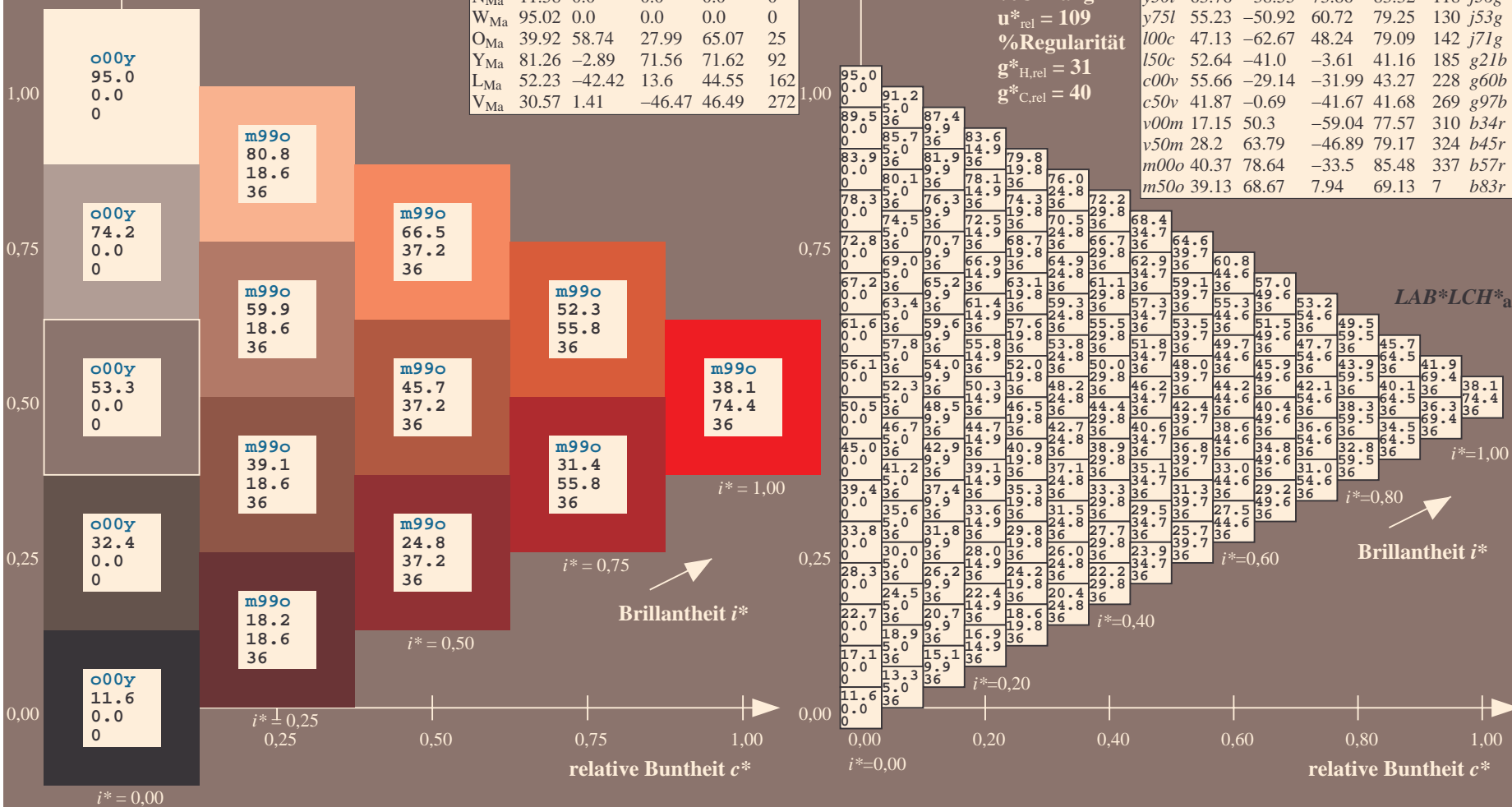
$u^*_{rel} = 109$

%Regularität

$g^*_{H,rel} = 31$

$g^*_{C,rel} = 40$

FRS12_95a; adaptierte CIELAB-Daten						
u^*_d	$L^*=L^*_a$	a^*_a	b^*_a	$C^*_{ab,a}$	$h^*_{ab,a}$	u^*_e
o00y	38.06	60.0	44.0	74.4	36	r16j
o25y	47.68	47.13	56.9	73.88	50	r37j
o50y	57.77	33.62	70.44	78.05	64	r58j
o75y	69.84	17.48	86.62	88.37	79	r79j
y00l	86.77	-5.17	109.32	109.44	93	j01g
y25l	73.71	-24.12	89.19	92.39	105	j18g
y50l	63.76	-38.55	73.86	83.32	118	j36g
y75l	55.23	-50.92	60.72	79.25	130	j53g
l00c	47.13	-62.67	48.24	79.09	142	j71g
l50c	52.64	-41.0	-3.61	41.16	185	g21b
c00v	55.66	-29.14	-31.99	43.27	228	g60b
c50v	41.87	-0.69	-41.67	41.68	269	g97b
v00m	17.15	50.3	-59.04	77.57	310	b34r
v50m	28.2	63.79	-46.89	79.17	324	b45r
m00o	40.37	78.64	-33.5	85.48	337	b57r
m50o	39.13	68.67	7.94	69.13	7	b83r



Ein und Ausgabe: Farbmimetrisches Drucker-Reflektiv-System FRS12_95a, L*=12_95 für relativen CIELAB-Buntton $h^* = lab^*h^* = h_{ab}/360 = 0.14$

Daten für jede Farbe:

lab^*tch^* und lab^*icu^*

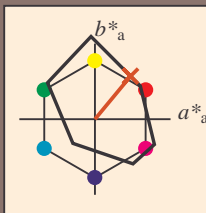
Bunttontexte:

$u^*_d = o25y$ $u^*_e = r37j$

Kontrastreduzierungsfaktor:

$c_R = 1.0$

Dreiecks-Helligkeit i^*



FRS12_95a; adaptierte CIELAB-Daten						
u^*_d	$L^*=L^*_a$	a^*_a	b^*_a	$C^*_{ab,a}$	$h^*_{ab,a}$	u^*_e
O _{Ma}	38.06	60.0	44.0	74.4	36	r16j
Y _{Ma}	86.77	-5.17	109.32	109.44	93	r37j
L _{Ma}	47.13	-62.67	48.24	79.09	142	r58j
C _{Ma}	55.66	-29.14	-31.99	43.27	228	r79j
V _{Ma}	17.15	50.3	-59.04	77.57	310	j01g
M _{Ma}	40.37	78.64	-33.5	85.48	337	j18g
N _{Ma}	11.58	0.0	0.0	0.0	0	j36g
W _{Ma}	95.02	0.0	0.0	0.0	0	j53g
O _{Ma}	39.92	58.74	27.99	65.07	25	j71g
Y _{Ma}	81.26	-2.89	71.56	71.62	92	g21b
L _{Ma}	52.23	-42.42	13.6	44.55	162	g60b
V _{Ma}	30.57	1.41	-46.47	46.49	272	g97b

Daten für Maximalfarbe (Ma):

LAB^*LAB^*Ma : 48 47 57

LAB^*LCH^*Ma : 48 74 50

lab^*olv^*Ma : 1.0 0.25 0.0

lab^*rgb^*Ma : 1.0 0.37 0.0

Dreiecks-Helligkeit i^*

%Umfang

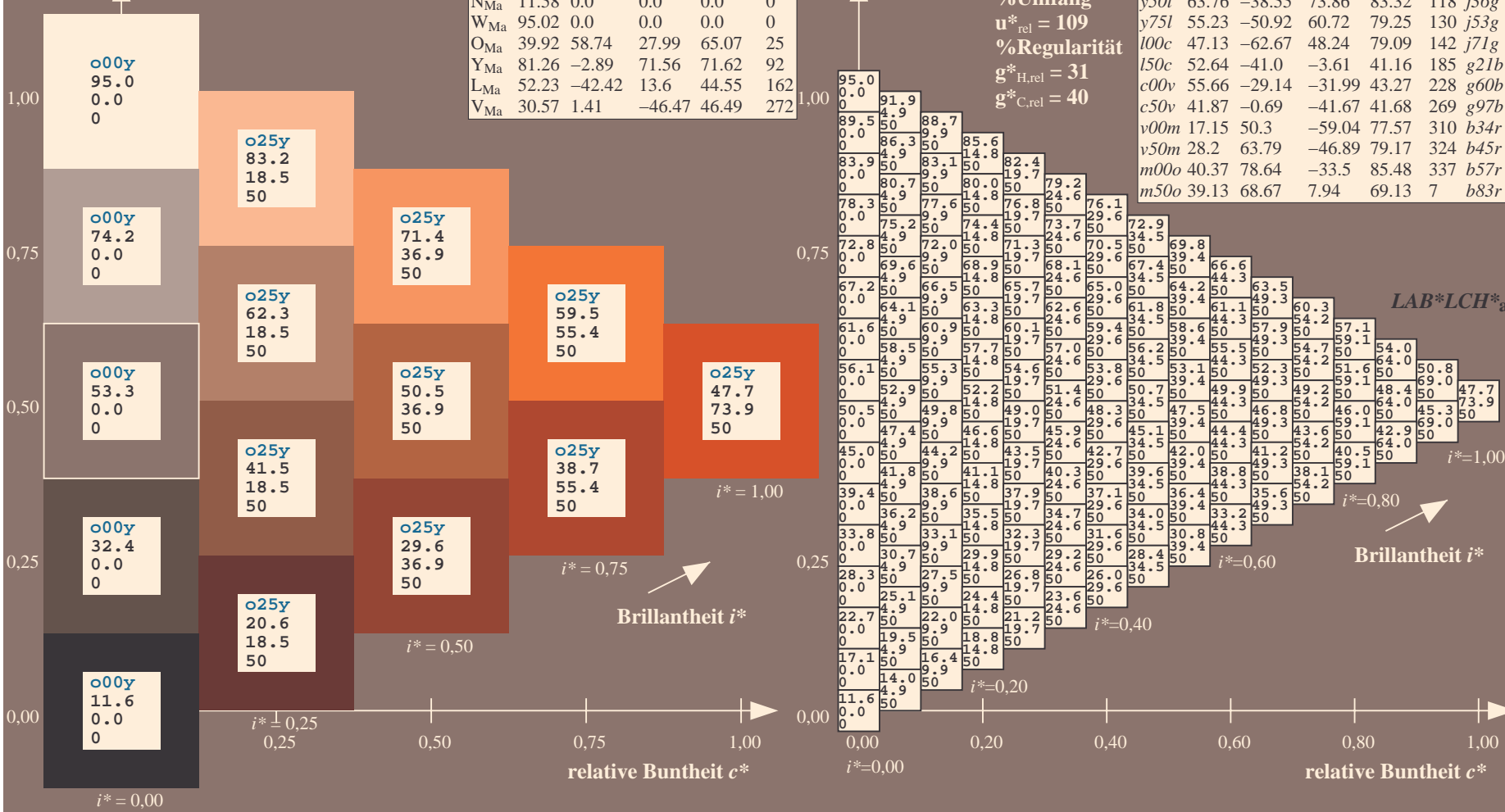
$u^*_{rel} = 109$

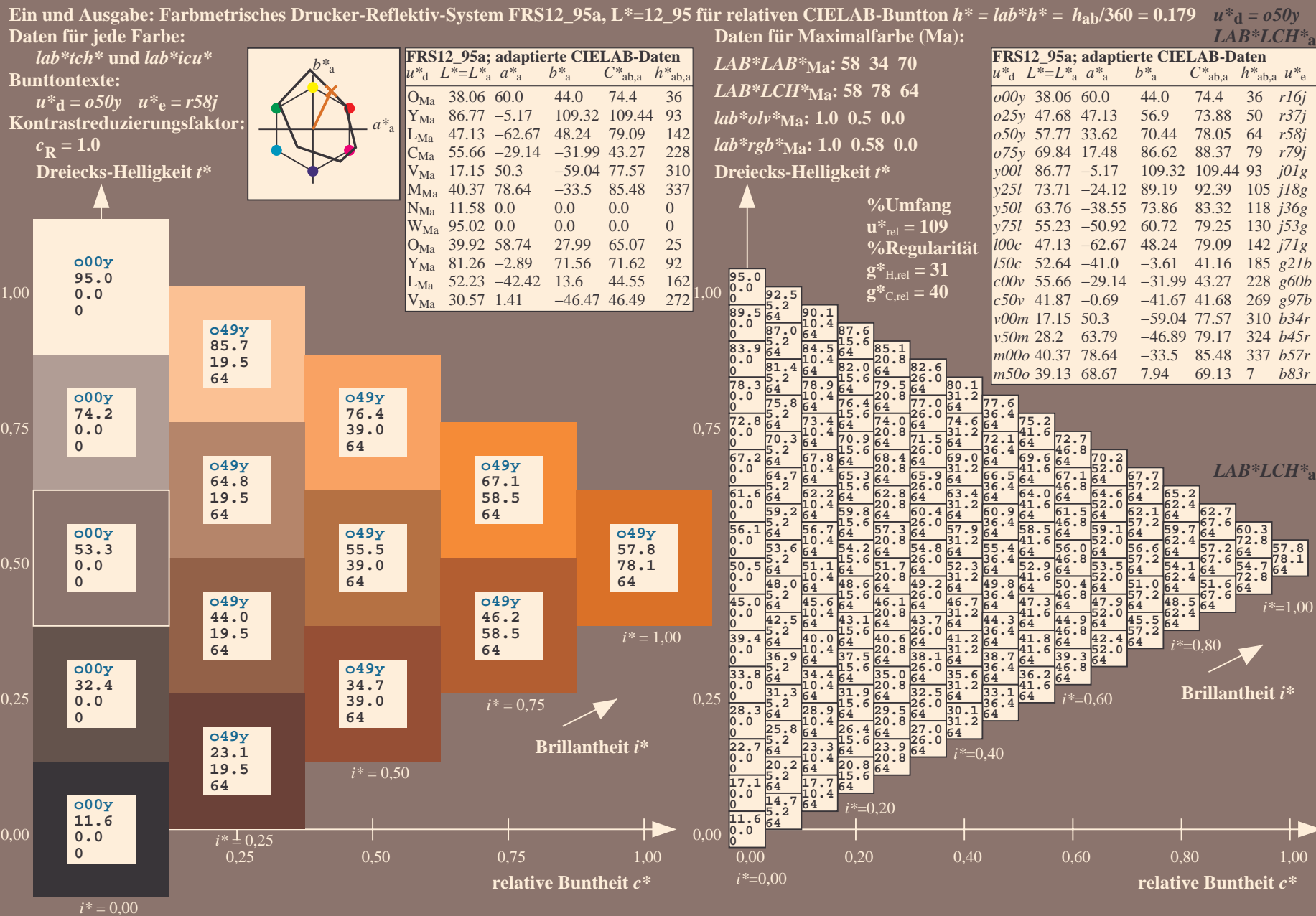
%Regularität

$g^*_{H,rel} = 31$

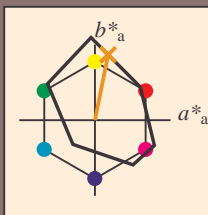
$g^*_{C,rel} = 40$

FRS12_95a; adaptierte CIELAB-Daten						
u^*_d	$L^*=L^*_a$	a^*_a	b^*_a	$C^*_{ab,a}$	$h^*_{ab,a}$	u^*_e
o00y	38.06	60.0	44.0	74.4	36	r16j
o25y	47.68	47.13	56.9	73.88	50	r37j
o50y	57.77	33.62	70.44	78.05	64	r58j
o75y	69.84	17.48	86.62	88.37	79	r79j
y00l	86.77	-5.17	109.32	109.44	93	j01g
y25l	73.71	-24.12	89.19	92.39	105	j18g
y50l	63.76	-38.55	73.86	83.32	118	j36g
y75l	55.23	-50.92	60.72	79.25	130	j53g
l00c	47.13	-62.67	48.24	79.09	142	j71g
l50c	52.64	-41.0	-3.61	41.16	185	g21b
c00v	55.66	-29.14	-31.99	43.27	228	g60b
c50v	41.87	-0.69	-41.67	41.68	269	g97b
v00m	17.15	50.3	-59.04	77.57	310	b34r
v50m	28.2	63.79	-46.89	79.17	324	b45r
m00o	40.37	78.64	-33.5	85.48	337	b57r
m50o	39.13	68.67	7.94	69.13	7	b83r





Ein und Ausgabe: Farbmetrisches Drucker-Reflektiv-System FRS12_95a, L*=12_95 für relativen CIELAB-Buntton $h^* = lab^*h^* = h_{ab}/360 = 0.218$ $u^*_d = o75y$
Daten für jede Farbe:
 lab^*tch^* und lab^*icu^*
Bunttontexte:
 $u^*_d = o75y$ $u^*_e = r79j$
Kontrastreduzierungsfaktor:
 $c_R = 1.0$
Dreiecks-Helligkeit i^*



FRS12_95a; adaptierte CIELAB-Daten						
u^*_d	$L^*=L^*_a$	a^*_a	b^*_a	$C^*_{ab,a}$	$h^*_{ab,a}$	u^*_e
O _{Ma}	38.06	60.0	44.0	74.4	36	r16j
Y _{Ma}	86.77	-5.17	109.32	109.44	93	r37j
L _{Ma}	47.13	-62.67	48.24	79.09	142	r58j
C _{Ma}	55.66	-29.14	-31.99	43.27	228	r79j
V _{Ma}	17.15	50.3	-59.04	77.57	310	j01g
M _{Ma}	40.37	78.64	-33.5	85.48	337	j18g
N _{Ma}	11.58	0.0	0.0	0.0	0	j36g
W _{Ma}	95.02	0.0	0.0	0.0	0	j53g
O _{Ma}	39.92	58.74	27.99	65.07	25	j71g
Y _{Ma}	81.26	-2.89	71.56	71.62	92	g21b
L _{Ma}	52.23	-42.42	13.6	44.55	162	g60b
V _{Ma}	30.57	1.41	-46.47	46.49	272	g97b

Daten für Maximalfarbe (Ma):

$LAB^*LAB^*_{Ma}$: 70 17 87

$LAB^*LCH^*_{Ma}$: 70 88 78

$lab^*olv^*_{Ma}$: 1.0 0.75 0.0

$lab^*rgb^*_{Ma}$: 1.0 0.79 0.0

Dreiecks-Helligkeit i^*

%Umfang

$u^*_{rel} = 109$

%Regularität

$g^*_{H,rel} = 31$

$g^*_{C,rel} = 40$

FRS12_95a; adaptierte CIELAB-Daten						
u^*_d	$L^*=L^*_a$	a^*_a	b^*_a	$C^*_{ab,a}$	$h^*_{ab,a}$	u^*_e
o00y	38.06	60.0	44.0	74.4	36	r16j
o25y	47.68	47.13	56.9	73.88	50	r37j
o50y	57.77	33.62	70.44	78.05	64	r58j
o75y	69.84	17.48	86.62	88.37	79	r79j
y00l	86.77	-5.17	109.32	109.44	93	j01g
y25l	73.71	-24.12	89.19	92.39	105	j18g
y50l	63.76	-38.55	73.86	83.32	118	j36g
y75l	55.23	-50.92	60.72	79.25	130	j53g
l00c	47.13	-62.67	48.24	79.09	142	j71g
l50c	52.64	-41.0	-3.61	41.16	185	g21b
c00v	55.66	-29.14	-31.99	43.27	228	g60b
c50v	41.87	-0.69	-41.67	41.68	269	g97b
v00m	17.15	50.3	-59.04	77.57	310	b34r
v50m	28.2	63.79	-46.89	79.17	324	b45r
m00o	40.37	78.64	-33.5	85.48	337	b57r
m50o	39.13	68.67	7.94	69.13	7	b83r

$LAB^*LCH^*_{Ma}$

$i^* = 1.00$

Brillantheit i^*

$i^* = 0.80$

$i^* = 0.60$

$i^* = 0.40$

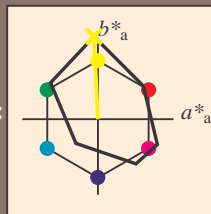
$i^* = 0.20$

$i^* = 0.00$

relative Buntheit c^*

relative Buntheit c^*

Ein und Ausgabe: Farbmetrisches Drucker-Reflektiv-System FRS12_95a, L*=12_95 für relativen CIELAB-Buntton $h^* = lab^*h^* = h_{ab}/360 = 0.258$ $u^*_d = y00l$
Daten für jede Farbe: lab^*ch^* und lab^*icu^*
Bunttontexte: $u^*_d = y00l$ $u^*_e = j01g$
Kontrastreduzierungsfaktor: $c_R = 1.0$
Dreiecks-Helligkeit i^*



FRS12_95a; adaptierte CIELAB-Daten						
u^*_d	$L^*=L^*_a$	a^*_a	b^*_a	$C^*_{ab,a}$	$h^*_{ab,a}$	u^*_e
O _{Ma}	38.06	60.0	44.0	74.4	36	r16j
Y _{Ma}	86.77	-5.17	109.32	109.44	93	r37j
L _{Ma}	47.13	-62.67	48.24	79.09	142	r58j
C _{Ma}	55.66	-29.14	-31.99	43.27	228	r79j
V _{Ma}	17.15	50.3	-59.04	77.57	310	j01g
M _{Ma}	40.37	78.64	-33.5	85.48	337	j18g
N _{Ma}	11.58	0.0	0.0	0.0	0	j36g
W _{Ma}	95.02	0.0	0.0	0.0	0	j53g
O _{Ma}	39.92	58.74	27.99	65.07	25	j71g
Y _{Ma}	81.26	-2.89	71.56	71.62	92	g21b
L _{Ma}	52.23	-42.42	13.6	44.55	162	g60b
V _{Ma}	30.57	1.41	-46.47	46.49	272	g97b

Daten für Maximalfarbe (Ma):

LAB^*LAB^*Ma : 87 -5 109

LAB^*LCH^*Ma : 87 109 92

lab^*olv^*Ma : 1.0 1.0 0.0

lab^*rgb^*Ma : 0.99 1.0 0.0

Dreiecks-Helligkeit i^*

%Umfang

$u^*_{rel} = 109$

%Regularität

$g^*_{H,rel} = 31$

$g^*_{C,rel} = 40$

FRS12_95a; adaptierte CIELAB-Daten						
u^*_d	$L^*=L^*_a$	a^*_a	b^*_a	$C^*_{ab,a}$	$h^*_{ab,a}$	u^*_e
o00y	38.06	60.0	44.0	74.4	36	r16j
o25y	47.68	47.13	56.9	73.88	50	r37j
o50y	57.77	33.62	70.44	78.05	64	r58j
o75y	69.84	17.48	86.62	88.37	79	r79j
y00l	86.77	-5.17	109.32	109.44	93	j01g
y25l	73.71	-24.12	89.19	92.39	105	j18g
y50l	63.76	-38.55	73.86	83.32	118	j36g
y75l	55.23	-50.92	60.72	79.25	130	j53g
l00c	47.13	-62.67	48.24	79.09	142	j71g
l50c	52.64	-41.0	-3.61	41.16	185	g21b
c00v	55.66	-29.14	-31.99	43.27	228	g60b
c50v	41.87	-0.69	-41.67	41.68	269	g97b
v00m	17.15	50.3	-59.04	77.57	310	b34r
v50m	28.2	63.79	-46.89	79.17	324	b45r
m00o	40.37	78.64	-33.5	85.48	337	b57r
m50o	39.13	68.67	7.94	69.13	7	b83r

LAB^*LCH^*a

$i^* = 1.00$

Brillantheit i^*

$i^* = 0.80$

$i^* = 0.60$

$i^* = 0.40$

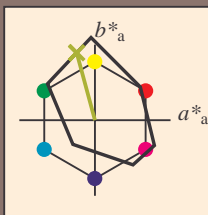
$i^* = 0.20$

$i^* = 0.00$

relative Buntheit c^*

relative Buntheit c^*

Ein und Ausgabe: Farbmatisches Drucker-Reflektiv-System FRS12_95a, L*=12_95 für relativen CIELAB-Buntton $h^* = lab^*h^* = h_{ab}/360 = 0.292$ $u^*_d = y25l$
Daten für jede Farbe:
 lab^*tch^* und lab^*icu^*
Bunttontexte:
 $u^*_d = y25l$ $u^*_e = j18g$
Kontrastreduzierungsfaktor:
 $c_R = 1.0$
Dreiecks-Helligkeit i^*



FRS12_95a; adaptierte CIELAB-Daten						
	u^*_d	$L^*=L^*_a$	a^*_a	b^*_a	$C^*_{ab,a}$	$h^*_{ab,a}$
O _{Ma}	38.06	60.0	44.0	74.4	36	
Y _{Ma}	86.77	-5.17	109.32	109.44	93	
L _{Ma}	47.13	-62.67	48.24	79.09	142	
C _{Ma}	55.66	-29.14	-31.99	43.27	228	
V _{Ma}	17.15	50.3	-59.04	77.57	310	
M _{Ma}	40.37	78.64	-33.5	85.48	337	
N _{Ma}	11.58	0.0	0.0	0.0	0	
W _{Ma}	95.02	0.0	0.0	0.0	0	
O _{Ma}	39.92	58.74	27.99	65.07	25	
Y _{Ma}	81.26	-2.89	71.56	71.62	92	
L _{Ma}	52.23	-42.42	13.6	44.55	162	
V _{Ma}	30.57	1.41	-46.47	46.49	272	

Daten für Maximalfarbe (Ma):

$LAB^*LAB^*_{Ma}$: 74 -24 89

$LAB^*LCH^*_{Ma}$: 74 92 105

$lab^*olv^*_{Ma}$: 0.75 1.0 0.0

$lab^*rgb^*_{Ma}$: 0.82 1.0 0.0

Dreiecks-Helligkeit i^*

%Umfang

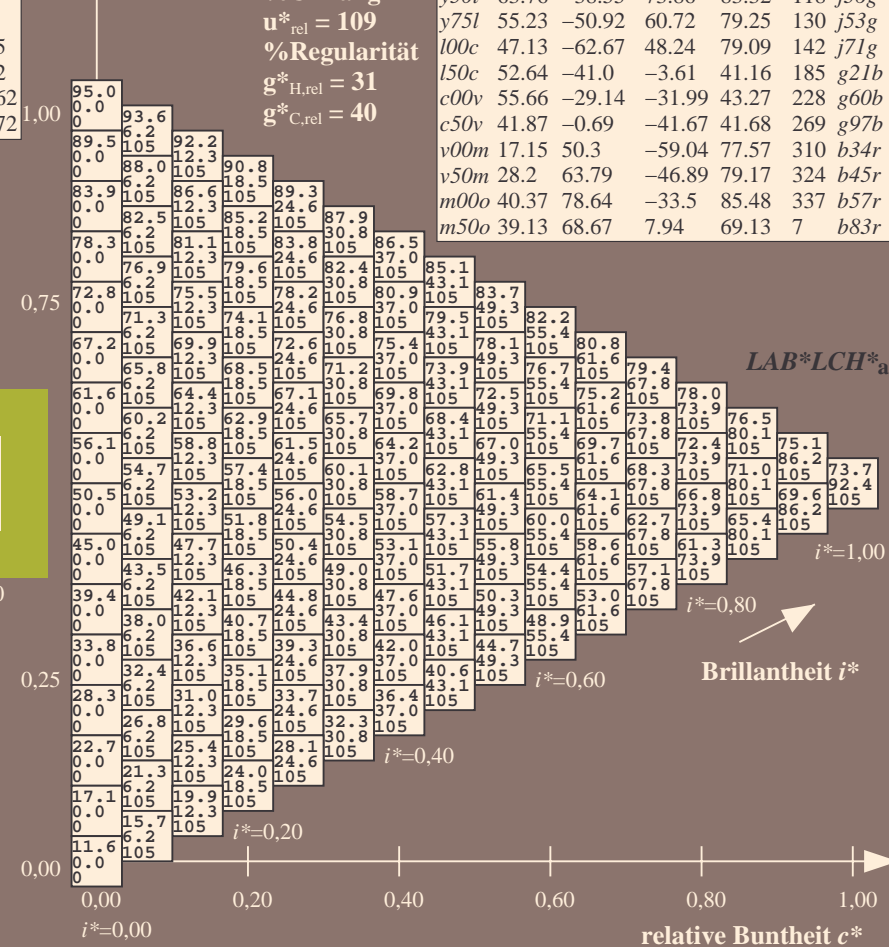
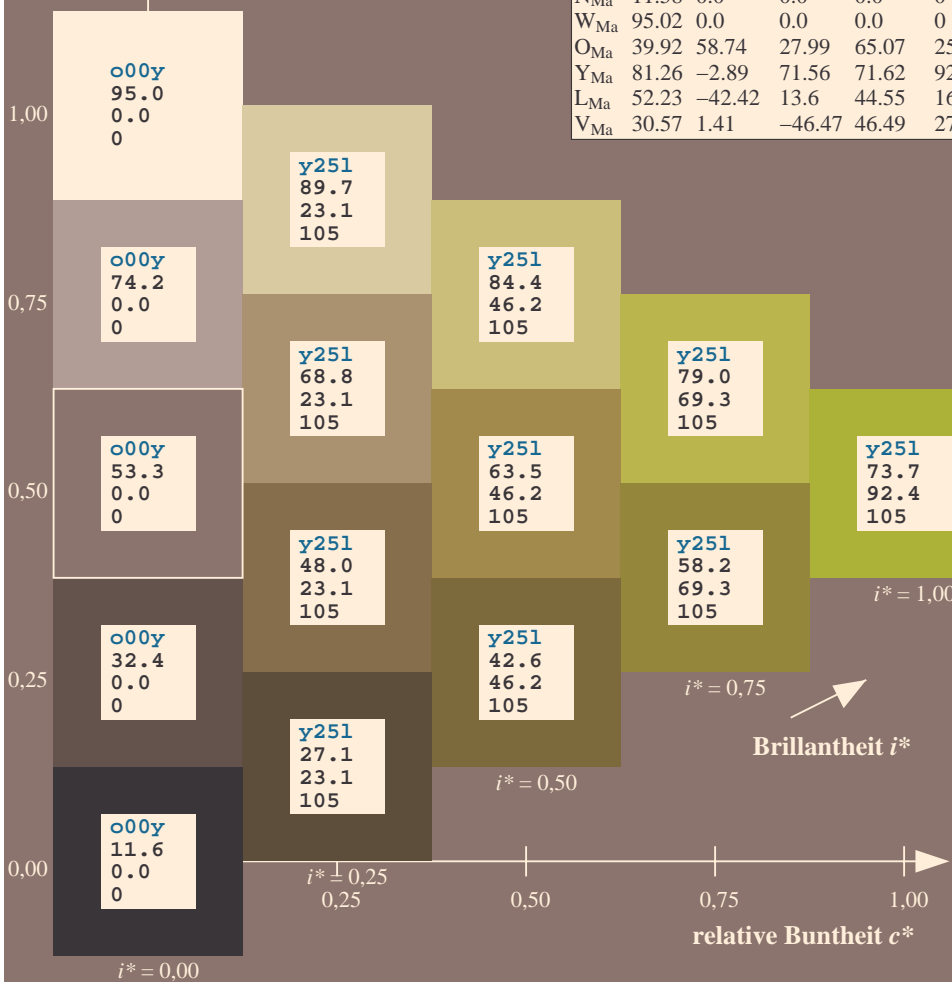
$u^*_{rel} = 109$

%Regularität

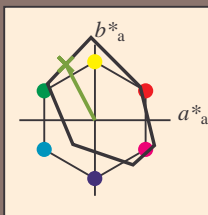
$g^*_{H,rel} = 31$

$g^*_{C,rel} = 40$

FRS12_95a; adaptierte CIELAB-Daten						
	u^*_d	$L^*=L^*_a$	a^*_a	b^*_a	$C^*_{ab,a}$	$h^*_{ab,a}$
o00y	38.06	60.0	44.0	74.4	36	r16j
o25y	47.68	47.13	56.9	73.88	50	r37j
o50y	57.77	33.62	70.44	78.05	64	r58j
o75y	69.84	17.48	86.62	88.37	79	r79j
y00l	86.77	-5.17	109.32	109.44	93	j01g
y25l	73.71	-24.12	89.19	92.39	105	j18g
y50l	63.76	-38.55	73.86	83.32	118	j36g
y75l	55.23	-50.92	60.72	79.25	130	j53g
l00c	47.13	-62.67	48.24	79.09	142	j71g
l50c	52.64	-41.0	-3.61	41.16	185	g21b
c00v	55.66	-29.14	-31.99	43.27	228	g60b
c50v	41.87	-0.69	-41.67	41.68	269	g97b
v00m	17.15	50.3	-59.04	77.57	310	b34r
v50m	28.2	63.79	-46.89	79.17	324	b45r
m00o	40.37	78.64	-33.5	85.48	337	b57r
m50o	39.13	68.67	7.94	69.13	7	b83r



Ein und Ausgabe: Farbmatisches Drucker-Reflektiv-System FRS12_95a, L*=12_95 für relativen CIELAB-Buntton $h^* = lab^*h^* = h_{ab}/360 = 0.327$ $u^*_d = y50l$
Daten für jede Farbe:
 lab^*ch^* und lab^*icu^*
Bunttontexte:
 $u^*_d = y50l$ $u^*_e = j36g$
Kontrastreduzierungsfaktor:
 $c_R = 1.0$
Dreiecks-Helligkeit i^*



FRS12_95a; adaptierte CIELAB-Daten						
u^*_d	$L^*=L^*_a$	a^*_a	b^*_a	$C^*_{ab,a}$	$h^*_{ab,a}$	u^*_e
O _{Ma}	38.06	60.0	44.0	74.4	36	r16j
Y _{Ma}	86.77	-5.17	109.32	109.44	93	r37j
L _{Ma}	47.13	-62.67	48.24	79.09	142	r58j
C _{Ma}	55.66	-29.14	-31.99	43.27	228	r79j
V _{Ma}	17.15	50.3	-59.04	77.57	310	j01g
M _{Ma}	40.37	78.64	-33.5	85.48	337	j18g
N _{Ma}	11.58	0.0	0.0	0.0	0	j36g
W _{Ma}	95.02	0.0	0.0	0.0	0	j53g
O _{Ma}	39.92	58.74	27.99	65.07	25	j71g
Y _{Ma}	81.26	-2.89	71.56	71.62	92	g21b
L _{Ma}	52.23	-42.42	13.6	44.55	162	g60b
V _{Ma}	30.57	1.41	-46.47	46.49	272	g97b

Daten für Maximalfarbe (Ma):

LAB^*LAB^*Ma : 64 -39 74

LAB^*LCH^*Ma : 64 83 117

lab^*olv^*Ma : 0.5 1.0 0.0

lab^*rgb^*Ma : 0.64 1.0 0.0

Dreiecks-Helligkeit i^*

%Umfang

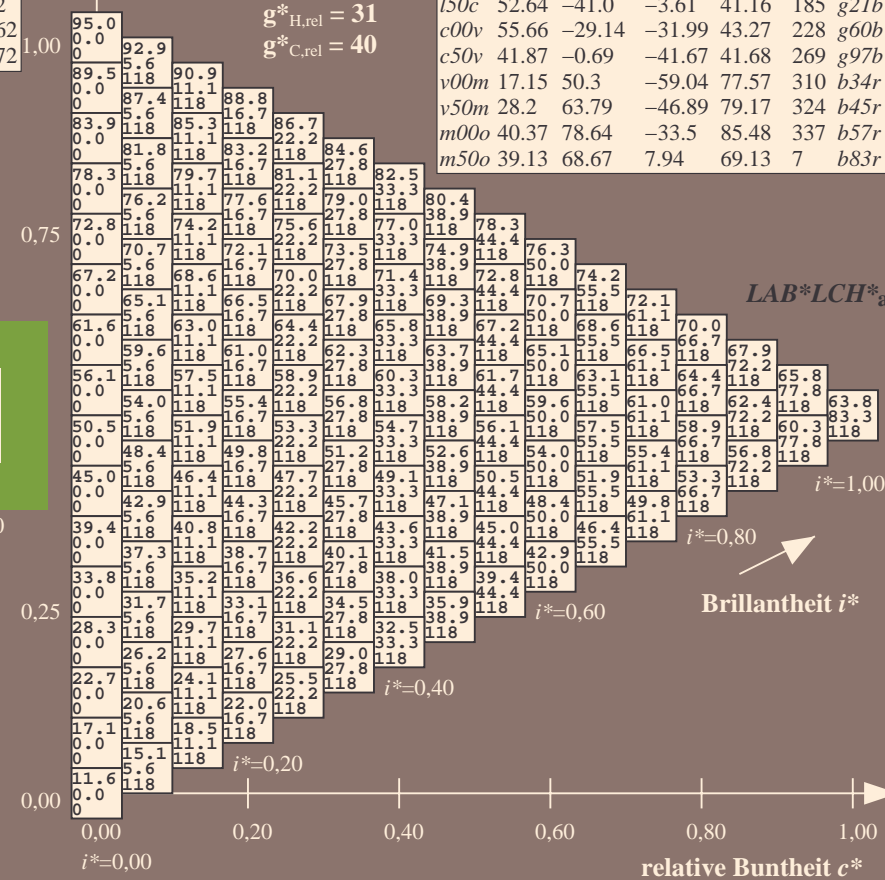
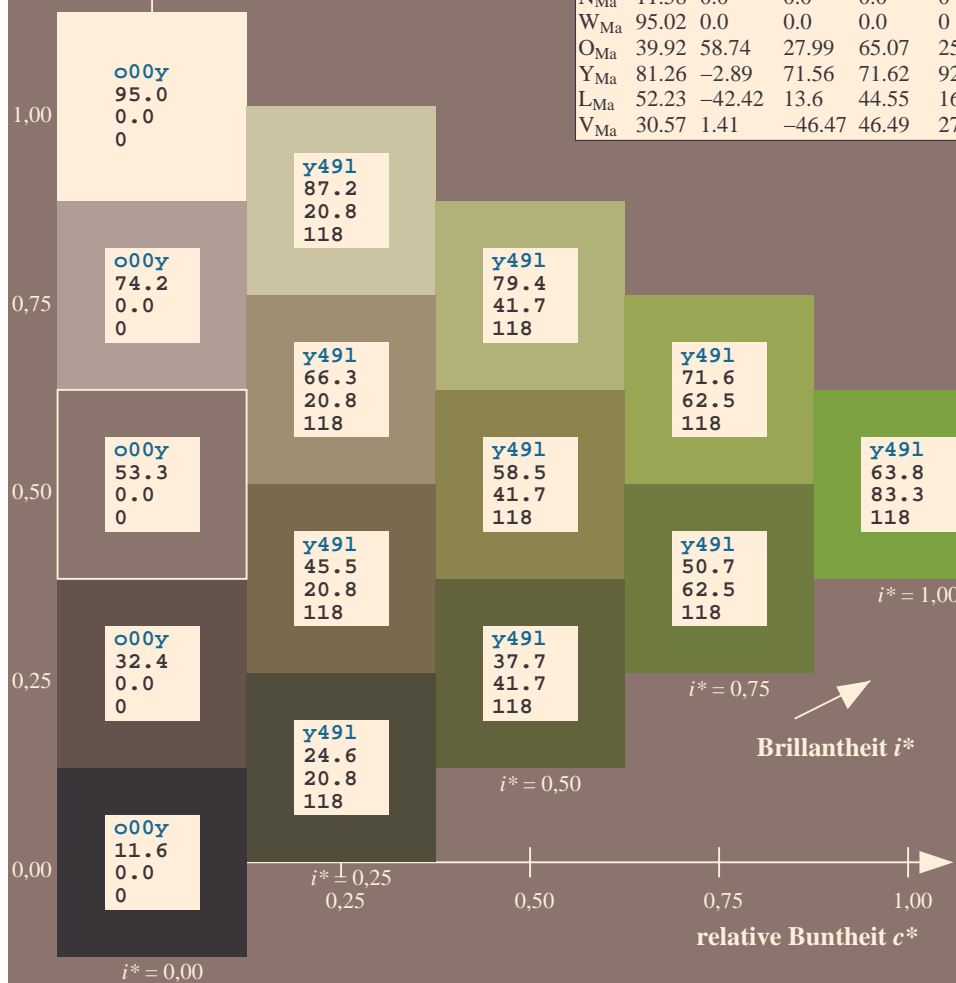
$u^*_{rel} = 109$

%Regularität

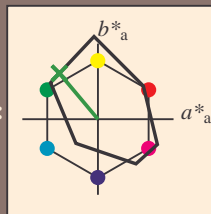
$g^*_{H,rel} = 31$

$g^*_{C,rel} = 40$

FRS12_95a; adaptierte CIELAB-Daten						
u^*_d	$L^*=L^*_a$	a^*_a	b^*_a	$C^*_{ab,a}$	$h^*_{ab,a}$	u^*_e
o00y	38.06	60.0	44.0	74.4	36	r16j
o25y	47.68	47.13	56.9	73.88	50	r37j
o50y	57.77	33.62	70.44	78.05	64	r58j
o75y	69.84	17.48	86.62	88.37	79	r79j
y00l	86.77	-5.17	109.32	109.44	93	j01g
y25l	73.71	-24.12	89.19	92.39	105	j18g
y50l	63.76	-38.55	73.86	83.32	118	j36g
y75l	55.23	-50.92	60.72	79.25	130	j53g
l00c	47.13	-62.67	48.24	79.09	142	j71g
l50c	52.64	-41.0	-3.61	41.16	185	g21b
c00v	55.66	-29.14	-31.99	43.27	228	g60b
c50v	41.87	-0.69	-41.67	41.68	269	g97b
v00m	17.15	50.3	-59.04	77.57	310	b34r
v50m	28.2	63.79	-46.89	79.17	324	b45r
m00o	40.37	78.64	-33.5	85.48	337	b57r
m50o	39.13	68.67	7.94	69.13	7	b83r



Ein und Ausgabe: Farbmatisches Drucker-Reflektiv-System FRS12_95a, L*=12_95 für relativen CIELAB-Buntton $h^* = lab^*h^* = h_{ab}/360 = 0.361$ $u^*_d = y75l$
Daten für jede Farbe:
 lab^*tch^* und lab^*icu^*
Bunttontexte:
 $u^*_d = y75l$ $u^*_e = j53g$
Kontrastreduzierungsfaktor:
 $c_R = 1.0$
Dreiecks-Helligkeit i^*



FRS12_95a; adaptierte CIELAB-Daten						
u^*_d	$L^*=L^*_a$	a^*_a	b^*_a	$C^*_{ab,a}$	$h^*_{ab,a}$	u^*_e
O _{Ma}	38.06	60.0	44.0	74.4	36	r16j
Y _{Ma}	86.77	-5.17	109.32	109.44	93	r37j
L _{Ma}	47.13	-62.67	48.24	79.09	142	r58j
C _{Ma}	55.66	-29.14	-31.99	43.27	228	r79j
V _{Ma}	17.15	50.3	-59.04	77.57	310	j01g
M _{Ma}	40.37	78.64	-33.5	85.48	337	j18g
N _{Ma}	11.58	0.0	0.0	0.0	0	j36g
W _{Ma}	95.02	0.0	0.0	0.0	0	j53g
O _{Ma}	39.92	58.74	27.99	65.07	25	j71g
Y _{Ma}	81.26	-2.89	71.56	71.62	92	g21b
L _{Ma}	52.23	-42.42	13.6	44.55	162	g60b
V _{Ma}	30.57	1.41	-46.47	46.49	272	g97b

Daten für Maximalfarbe (Ma):

$LAB^*LAB^*_{Ma}$: 55 -51 61

$LAB^*LCH^*_{Ma}$: 55 79 129

$lab^*olv^*_{Ma}$: 0.25 1.0 0.0

$lab^*rgb^*_{Ma}$: 0.46 1.0 0.0

Dreiecks-Helligkeit i^*

%Umfang

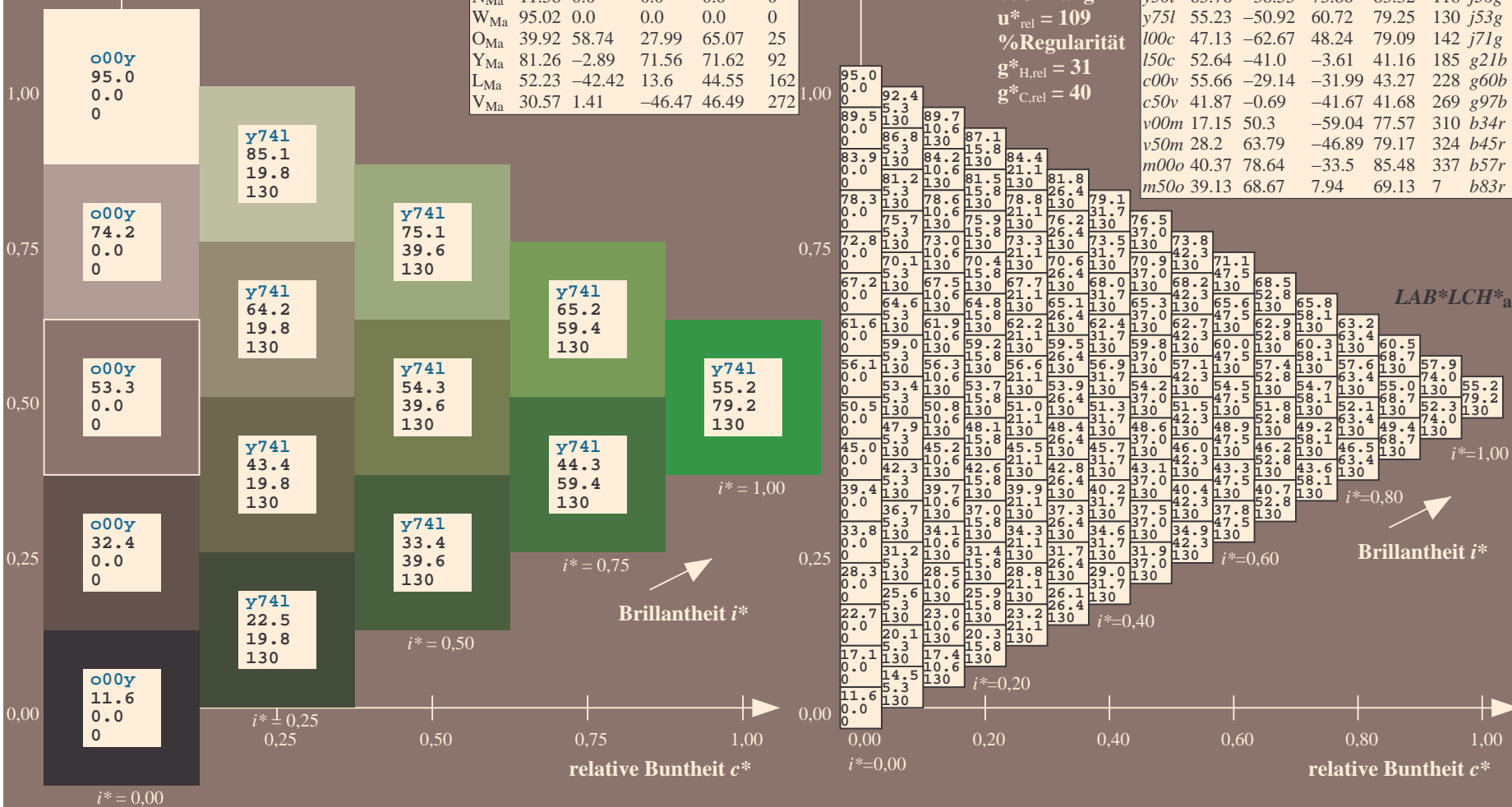
$u^*_{rel} = 109$

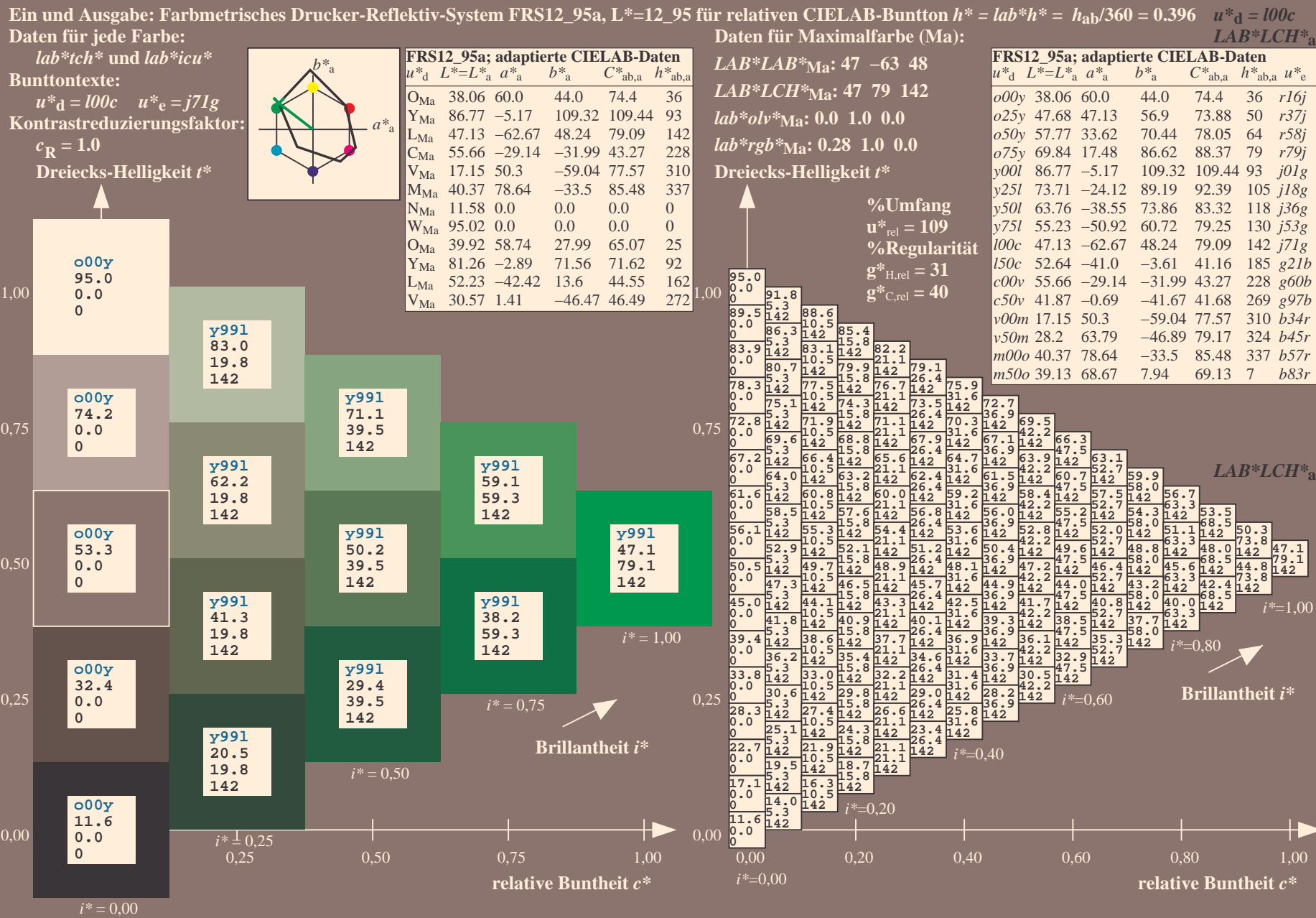
%Regularität

$g^*_{H,rel} = 31$

$g^*_{C,rel} = 40$

FRS12_95a; adaptierte CIELAB-Daten						
u^*_d	$L^*=L^*_a$	a^*_a	b^*_a	$C^*_{ab,a}$	$h^*_{ab,a}$	u^*_e
o00y	38.06	60.0	44.0	74.4	36	r16j
o25y	47.68	47.13	56.9	73.88	50	r37j
o50y	57.77	33.62	70.44	78.05	64	r58j
o75y	69.84	17.48	86.62	88.37	79	r79j
y00l	86.77	-5.17	109.32	109.44	93	j01g
y25l	73.71	-24.12	89.19	92.39	105	j18g
y50l	63.76	-38.55	73.86	83.32	118	j36g
y75l	55.23	-50.92	60.72	79.25	130	j53g
l00c	47.13	-62.67	48.24	79.09	142	j71g
l50c	52.64	-41.0	-3.61	41.16	185	g21b
c00v	55.66	-29.14	-31.99	43.27	228	g60b
c50v	41.87	-0.69	-41.67	41.68	269	g97b
v00m	17.15	50.3	-59.04	77.57	310	b34r
v50m	28.2	63.79	-46.89	79.17	324	b45r
m00o	40.37	78.64	-33.5	85.48	337	b57r
m50o	39.13	68.67	7.94	69.13	7	b83r

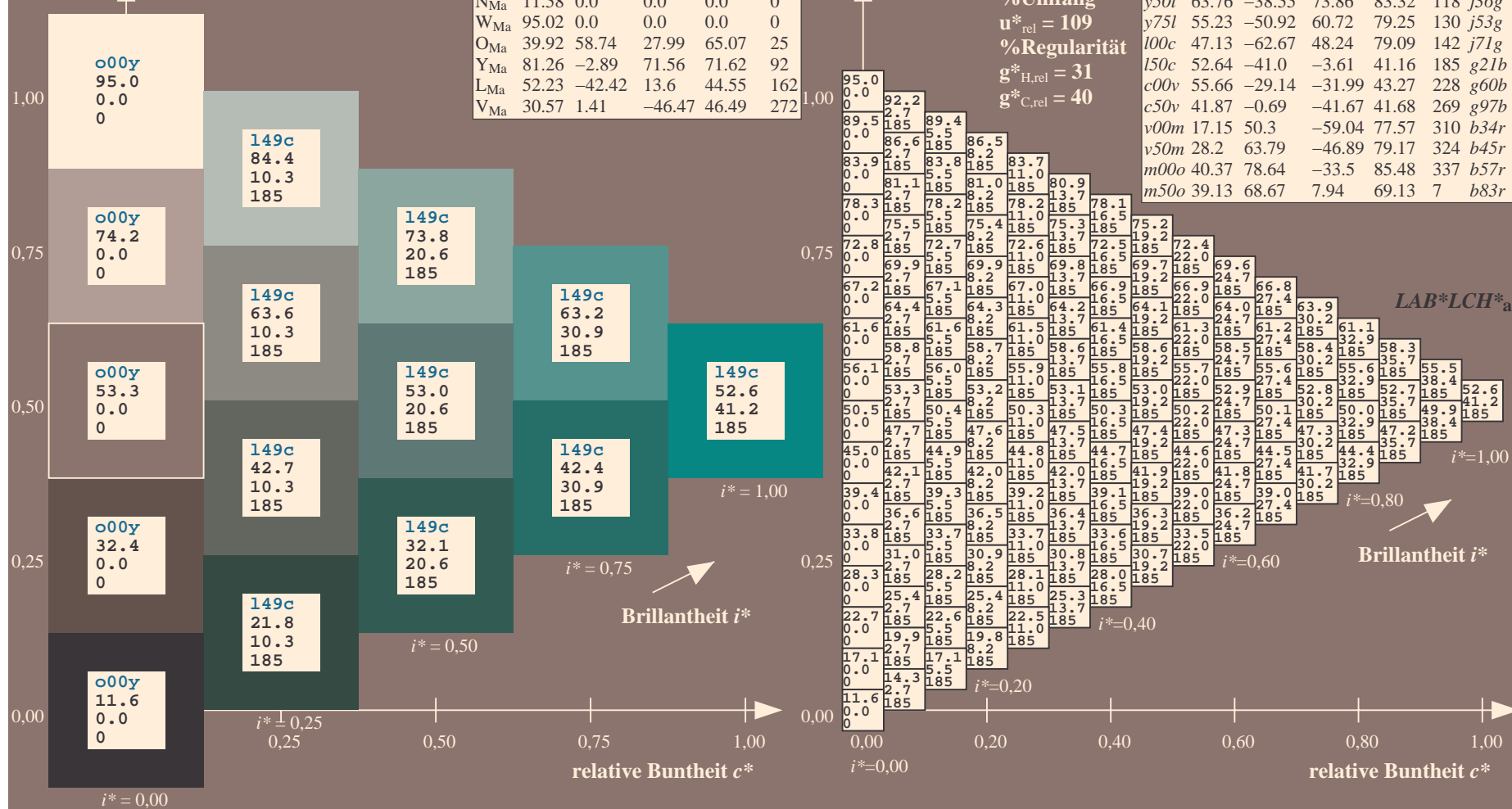




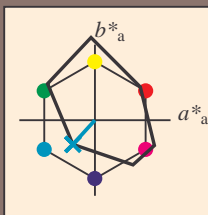
Ein und Ausgabe: Farbmetrisches Drucker-Reflektiv-System FRS12_95a, L*=12_95 für relativen CIELAB-Buntton $h^* = lab^*h^* = h_{ab}/360 = 0.514$ $u^*_d = l50c$			Daten für jede Farbe:			Daten für Maximalfarbe (Ma):		
lab^*tch^* und lab^*icu^*						$LAB^*LCH^*_a$		
Bunttontexte:								
$u^*_d = l50c$ $u^*_e = g21b$								
Kontrastreduzierungsfaktor:								
$c_R = 1.0$								
Dreiecks-Helligkeit t^*								

FRS12_95a; adaptierte CIELAB-Daten						
	u^*_d	$L^*=L^*_a$	a^*_a	b^*_a	$C^*_{ab,a}$	$h^*_{ab,a}$
O _{Ma}	38.06	60.0		44.0	74.4	36
Y _{Ma}	86.77	-5.17		109.32	109.44	93
L _{Ma}	47.13	-62.67		48.24	79.09	142
C _{Ma}	55.66	-29.14		-31.99	43.27	228
V _{Ma}	17.15	50.3		-59.04	77.57	310
M _{Ma}	40.37	78.64		-33.5	85.48	337
N _{Ma}	11.58	0.0		0.0	0.0	0
W _{Ma}	95.02	0.0		0.0	0.0	0
O _{Ma}	39.92	58.74		27.99	65.07	25
Y _{Ma}	81.26	-2.89		71.56	71.62	92
L _{Ma}	52.23	-42.42		13.6	44.55	162
V _{Ma}	30.57	1.41		-46.47	46.49	272

FRS12_95a; adaptierte CIELAB-Daten							
u_d^*	$L^*=L_a^*$	a_a^*	b_a^*	$C^*_{ab,a}$	$h^*_{ab,a}$	u_e^*	
<i>o00y</i>	38.06	60.0	44.0	74.4	36	<i>r16j</i>	
<i>o25y</i>	47.68	47.13	56.9	73.88	50	<i>r37j</i>	
<i>o50y</i>	57.77	33.62	70.44	78.05	64	<i>r58j</i>	
<i>o75y</i>	69.84	17.48	86.62	88.37	79	<i>r79j</i>	
<i>y00l</i>	86.77	-5.17	109.32	109.44	93	<i>j01g</i>	
<i>y25l</i>	73.71	-24.12	89.19	92.39	105	<i>j18g</i>	
<i>y50l</i>	63.76	-38.55	73.86	83.32	118	<i>j36g</i>	
<i>y75l</i>	55.23	-50.92	60.72	79.25	130	<i>j53g</i>	
<i>l00c</i>	47.13	-62.67	48.24	79.09	142	<i>j71g</i>	
<i>l50c</i>	52.64	-41.0	-3.61	41.16	185	<i>g21b</i>	
<i>c00v</i>	55.66	-29.14	-31.99	43.27	228	<i>g60b</i>	
<i>c50v</i>	41.87	-0.69	-41.67	41.68	269	<i>g97b</i>	
<i>v00m</i>	17.15	50.3	-59.04	77.57	310	<i>b34r</i>	
<i>v50m</i>	28.2	63.79	-46.89	79.17	324	<i>b45r</i>	
<i>m00o</i>	40.37	78.64	-33.5	85.48	337	<i>b57r</i>	
<i>m50o</i>	39.13	68.67	7.94	69.13	7	<i>b83r</i>	



Ein und Ausgabe: Farbmetrisches Drucker-Reflektiv-System FRS12_95a, L*=12_95 für relativen CIELAB-Buntton $h^* = lab^*h^* = h_{ab}/360 = 0.632$ $u^*_d = c00v$
Daten für jede Farbe:
 lab^*tch^* und lab^*icu^*
Bunttontexte:
 $u^*_d = c00v$ $u^*_e = g60b$
Kontrastreduzierungsfaktor:
 $c_R = 1.0$
Dreiecks-Helligkeit t^*



FRS12_95a; adaptierte CIELAB-Daten						
u^*_d	$L^*=L^*_a$	a^*_a	b^*_a	$C^*_{ab,a}$	$h^*_{ab,a}$	u^*_e
O _{Ma}	38.06	60.0	44.0	74.4	36	r16j
Y _{Ma}	86.77	-5.17	109.32	109.44	93	r37j
L _{Ma}	47.13	-62.67	48.24	79.09	142	r58j
C _{Ma}	55.66	-29.14	-31.99	43.27	228	r79j
V _{Ma}	17.15	50.3	-59.04	77.57	310	j01g
M _{Ma}	40.37	78.64	-33.5	85.48	337	j18g
N _{Ma}	11.58	0.0	0.0	0.0	0	j36g
W _{Ma}	95.02	0.0	0.0	0.0	0	j53g
O _{Ma}	39.92	58.74	27.99	65.07	25	j71g
Y _{Ma}	81.26	-2.89	71.56	71.62	92	g21b
L _{Ma}	52.23	-42.42	13.6	44.55	162	g60b
V _{Ma}	30.57	1.41	-46.47	46.49	272	g97b

Daten für Maximalfarbe (Ma):

$LAB^*LAB^*_{Ma}$: 56 -29 -32

$LAB^*LCH^*_{Ma}$: 56 43 227

$lab^*olv^*_{Ma}$: 0.0 1.0 1.0

$lab^*rgb^*_{Ma}$: 0.0 0.8 1.0

Dreiecks-Helligkeit t^*

%Umfang

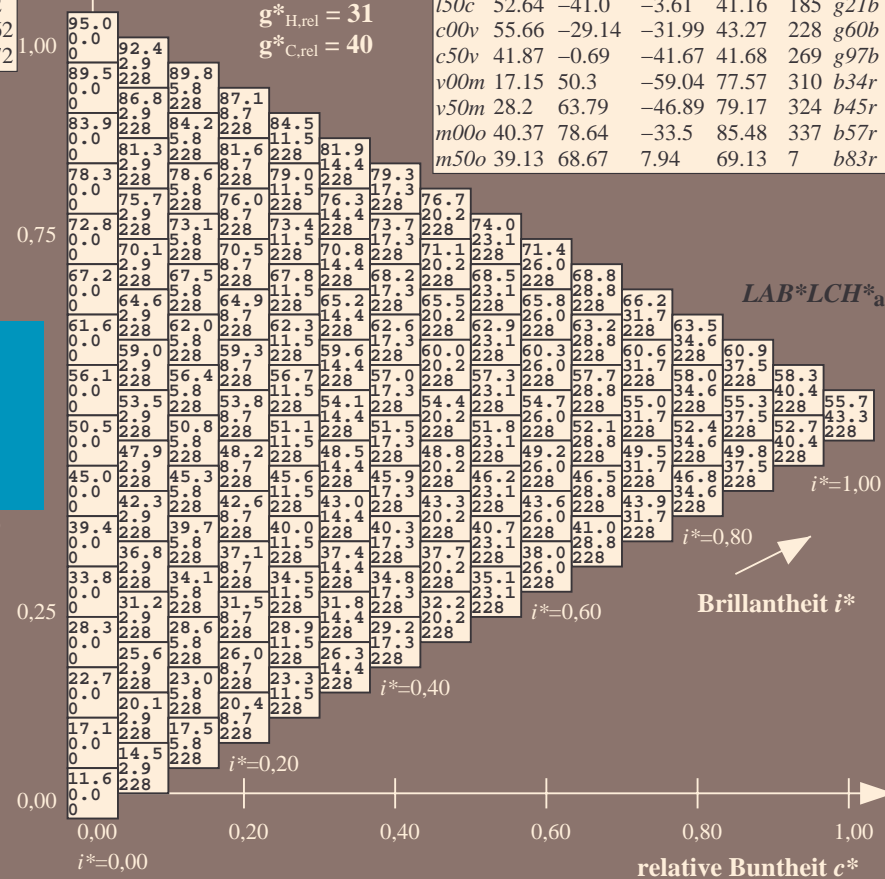
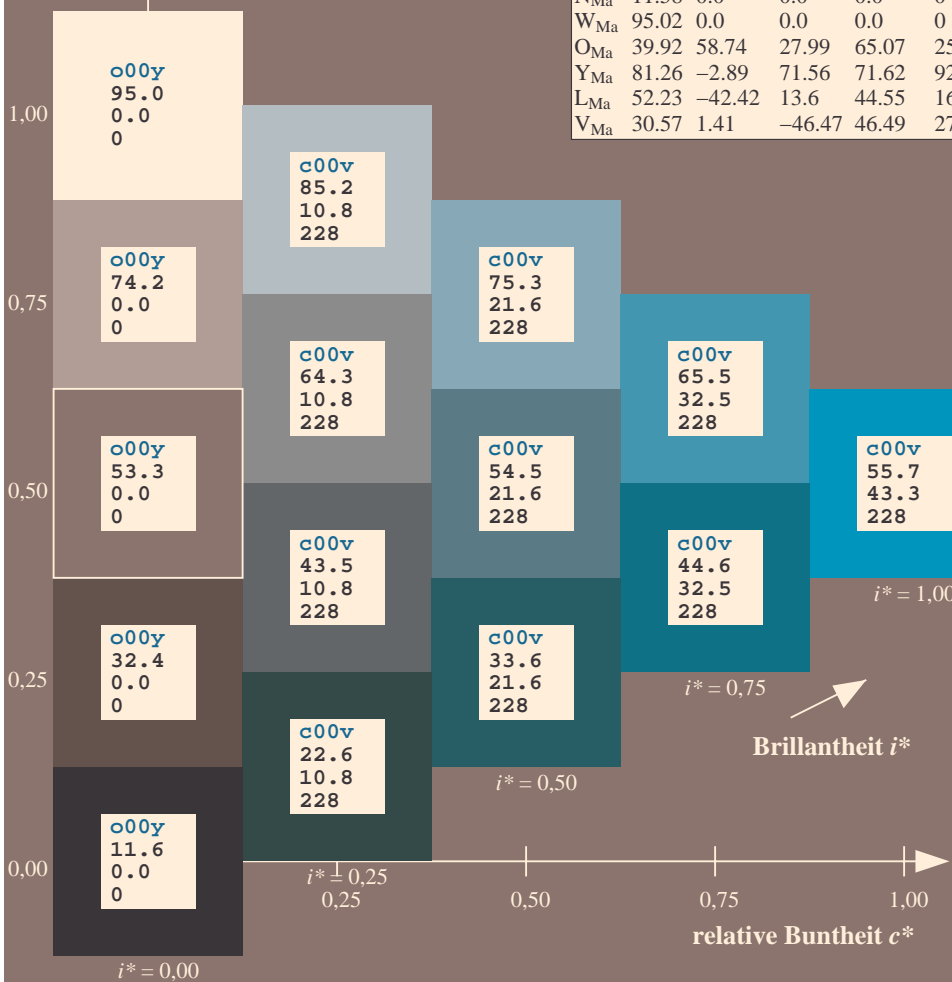
$u^*_{rel} = 109$

%Regularität

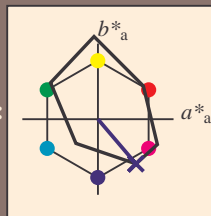
$g^*_{H,rel} = 31$

$g^*_{C,rel} = 40$

FRS12_95a; adaptierte CIELAB-Daten						
u^*_d	$L^*=L^*_a$	a^*_a	b^*_a	$C^*_{ab,a}$	$h^*_{ab,a}$	u^*_e
o00y	38.06	60.0	44.0	74.4	36	r16j
o25y	47.68	47.13	56.9	73.88	50	r37j
o50y	57.77	33.62	70.44	78.05	64	r58j
o75y	69.84	17.48	86.62	88.37	79	r79j
y00l	86.77	-5.17	109.32	109.44	93	j01g
y25l	73.71	-24.12	89.19	92.39	105	j18g
y50l	63.76	-38.55	73.86	83.32	118	j36g
y75l	55.23	-50.92	60.72	79.25	130	j53g
l00c	47.13	-62.67	48.24	79.09	142	j71g
l50c	52.64	-41.0	-3.61	41.16	185	g21b
c00v	55.66	-29.14	-31.99	43.27	228	g60b
c50v	41.87	-0.69	-41.67	41.68	269	g97b
v00m	17.15	50.3	-59.04	77.57	310	b34r
v50m	28.2	63.79	-46.89	79.17	324	b45r
m00o	40.37	78.64	-33.5	85.48	337	b57r
m50o	39.13	68.67	7.94	69.13	7	b83r



Ein und Ausgabe: Farbmetrisches Drucker-Reflektiv-System FRS12_95a, L*=12_95 für relativen CIELAB-Buntton $h^* = lab^*h^* = h_{ab}/360 = 0.862$ $u^*_d = v00m$
Daten für jede Farbe:
 lab^*tch^* und lab^*icu^*
Bunttontexte:
 $u^*_d = v00m$ $u^*_e = b34r$
Kontrastreduzierungsfaktor:
 $c_R = 1.0$
Dreiecks-Helligkeit t^*



FRS12_95a; adaptierte CIELAB-Daten						
	u^*_d	$L^*=L^*_a$	a^*_a	b^*_a	$C^*_{ab,a}$	$h^*_{ab,a}$
O _{Ma}	38.06	60.0	44.0	74.4	36	
Y _{Ma}	86.77	-5.17	109.32	109.44	93	
L _{Ma}	47.13	-62.67	48.24	79.09	142	
C _{Ma}	55.66	-29.14	-31.99	43.27	228	
V _{Ma}	17.15	50.3	-59.04	77.57	310	
M _{Ma}	40.37	78.64	-33.5	85.48	337	
N _{Ma}	11.58	0.0	0.0	0.0	0	
W _{Ma}	95.02	0.0	0.0	0.0	0	
O _{Ma}	39.92	58.74	27.99	65.07	25	
Y _{Ma}	81.26	-2.89	71.56	71.62	92	
L _{Ma}	52.23	-42.42	13.6	44.55	162	
V _{Ma}	30.57	1.41	-46.47	46.49	272	

Daten für Maximalfarbe (Ma):

$LAB^*LAB^*_{Ma}$: 17 50 -59

$LAB^*LCH^*_{Ma}$: 17 78 310

$lab^*olv^*_{Ma}$: 0.0 0.0 1.0

$lab^*rgb^*_{Ma}$: 0.68 0.0 1.0

Dreiecks-Helligkeit t^*

%Umfang

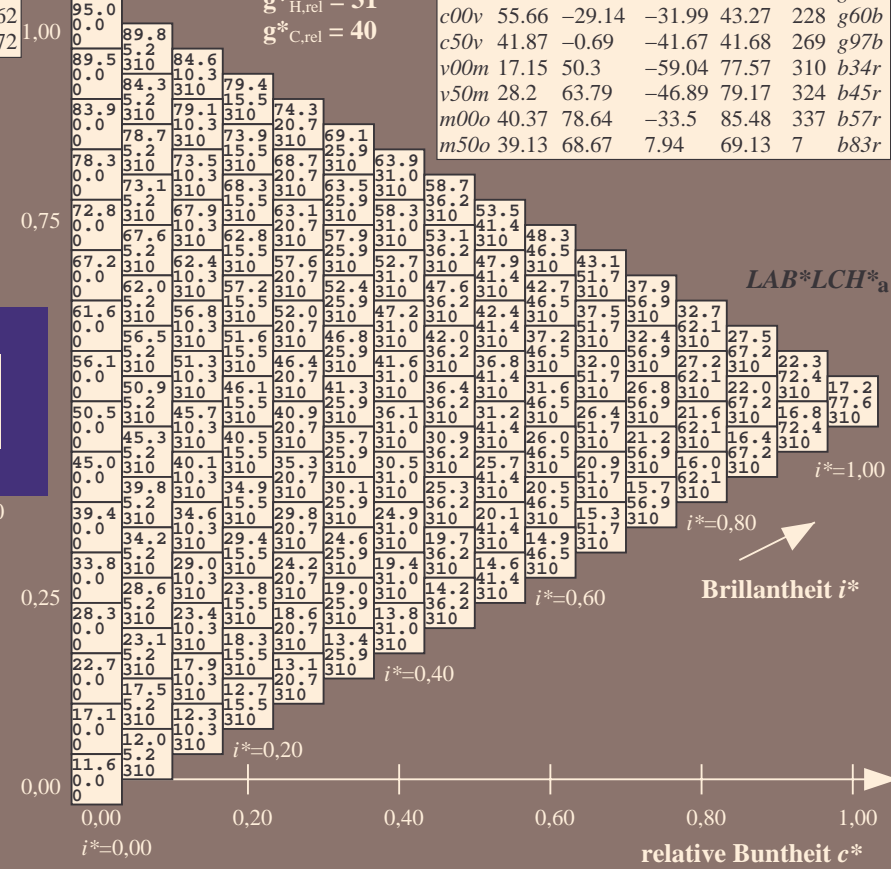
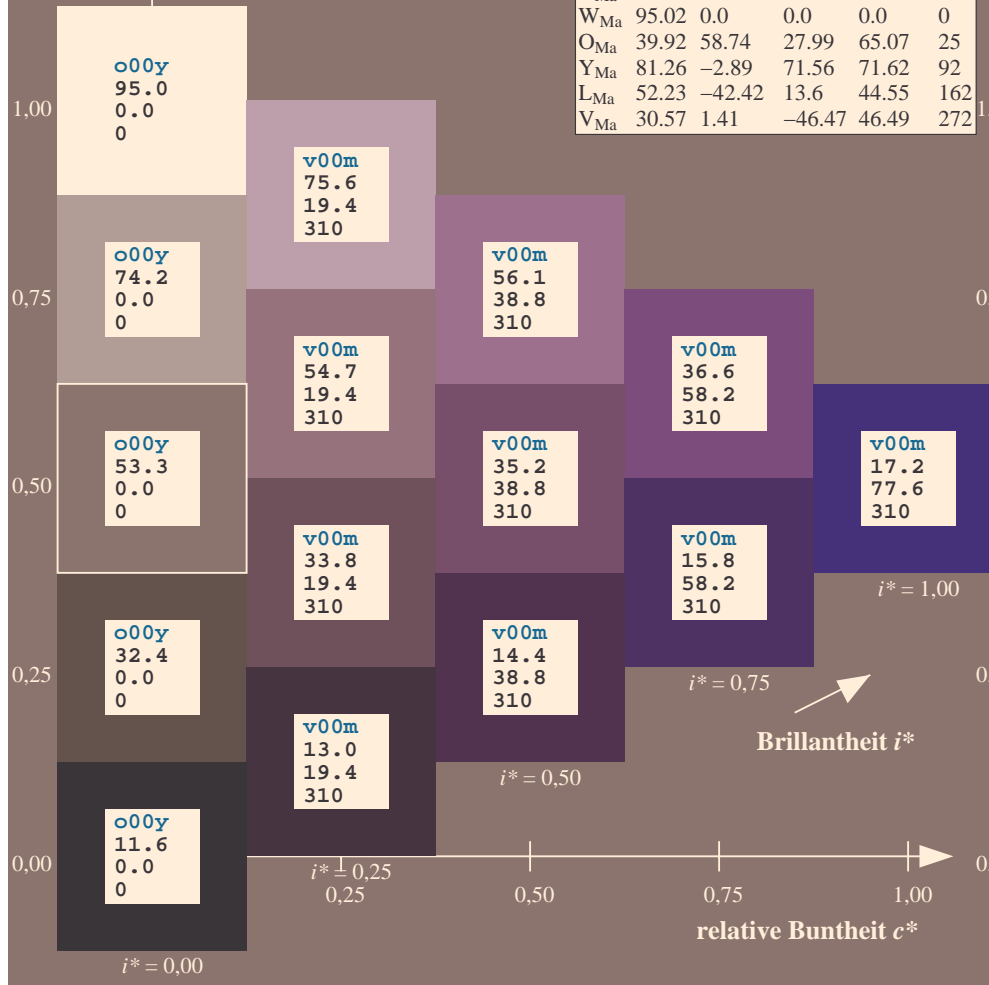
$u^*_{rel} = 109$

%Regularität

$g^*_{H,rel} = 31$

$g^*_{C,rel} = 40$

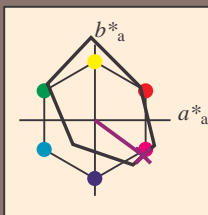
FRS12_95a; adaptierte CIELAB-Daten						
	u^*_d	$L^*=L^*_a$	a^*_a	b^*_a	$C^*_{ab,a}$	$h^*_{ab,a}$
o00y	38.06	60.0	44.0	74.4	36	r16j
o25y	47.68	47.13	56.9	73.88	50	r37j
o50y	57.77	33.62	70.44	78.05	64	r58j
o75y	69.84	17.48	86.62	88.37	79	r79j
y00l	86.77	-5.17	109.32	109.44	93	j01g
y25l	73.71	-24.12	89.19	92.39	105	j18g
y50l	63.76	-38.55	73.86	83.32	118	j36g
y75l	55.23	-50.92	60.72	79.25	130	j53g
l00c	47.13	-62.67	48.24	79.09	142	j71g
l50c	52.64	-41.0	-3.61	41.16	185	g21b
c00v	55.66	-29.14	-31.99	43.27	228	g60b
c50v	41.87	-0.69	-41.67	41.68	269	g97b
v00m	17.15	50.3	-59.04	77.57	310	b34r
v50m	28.2	63.79	-46.89	79.17	324	b45r
m00o	40.37	78.64	-33.5	85.48	337	b57r
m50o	39.13	68.67	7.94	69.13	7	b83r



Siehe ähnliche Dateien: <http://www.ps.bam.de/Fg62/>; www.ps.bam.de/Fg62/.HTM
Technische Information: <http://www.ps.bam.de> Version 2.1, io=1,1, CIELAB, ColSpX=0

BAM-Registrierung: 20081001-Fg62/10L/L62g00FP.PDF/ .PS BAM-Material: Code=rh4ta
Anwendung für Beurteilung und Messung von Drucker- oder Monitorsystemen

Ein und Ausgabe: Farbmetrisches Drucker-Reflektiv-System FRS12_95a, L*=12_95 für relativen CIELAB-Buntton $h^* = lab^*h^* = h_{ab}/360 = 0.899$ $u^*_d = v50m$
Daten für jede Farbe:
 lab^*ch^* und lab^*icu^*
Bunttontexte:
 $u^*_d = v50m$ $u^*_e = b45r$
Kontrastreduzierungsfaktor:
 $c_R = 1.0$
Dreiecks-Helligkeit i^*



FRS12_95a; adaptierte CIELAB-Daten						
u^*_d	$L^*=L^*_a$	a^*_a	b^*_a	$C^*_{ab,a}$	$h^*_{ab,a}$	u^*_e
O _{Ma}	38.06	60.0	44.0	74.4	36	r16j
Y _{Ma}	86.77	-5.17	109.32	109.44	93	r37j
L _{Ma}	47.13	-62.67	48.24	79.09	142	r58j
C _{Ma}	55.66	-29.14	-31.99	43.27	228	r79j
V _{Ma}	17.15	50.3	-59.04	77.57	310	j01g
M _{Ma}	40.37	78.64	-33.5	85.48	337	j18g
N _{Ma}	11.58	0.0	0.0	0.0	0	j36g
W _{Ma}	95.02	0.0	0.0	0.0	0	j53g
O _{Ma}	39.92	58.74	27.99	65.07	25	j71g
Y _{Ma}	81.26	-2.89	71.56	71.62	92	g21b
L _{Ma}	52.23	-42.42	13.6	44.55	162	g60b
V _{Ma}	30.57	1.41	-46.47	46.49	272	g97b

Daten für Maximalfarbe (Ma):

$LAB^*LAB^*_{Ma}$: 28 64 -47

$LAB^*LCH^*_{Ma}$: 28 79 323

$lab^*olv^*_{Ma}$: 0.5 0.0 1.0

$lab^*rgb^*_{Ma}$: 0.91 0.0 1.0

Dreiecks-Helligkeit i^*

%Umfang

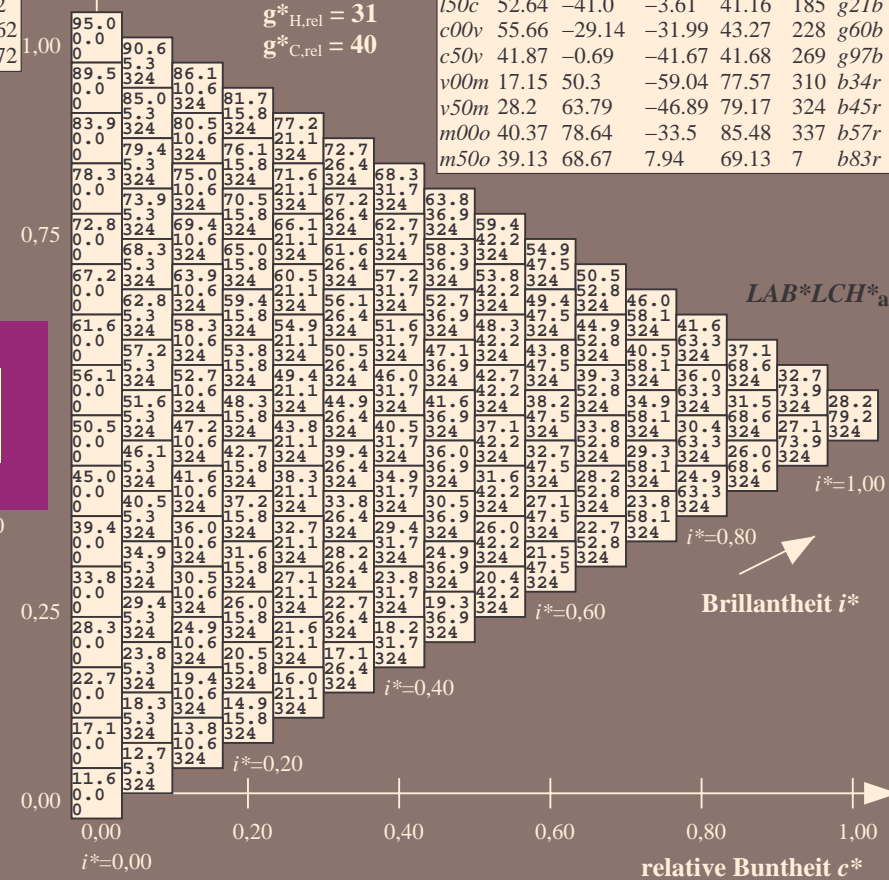
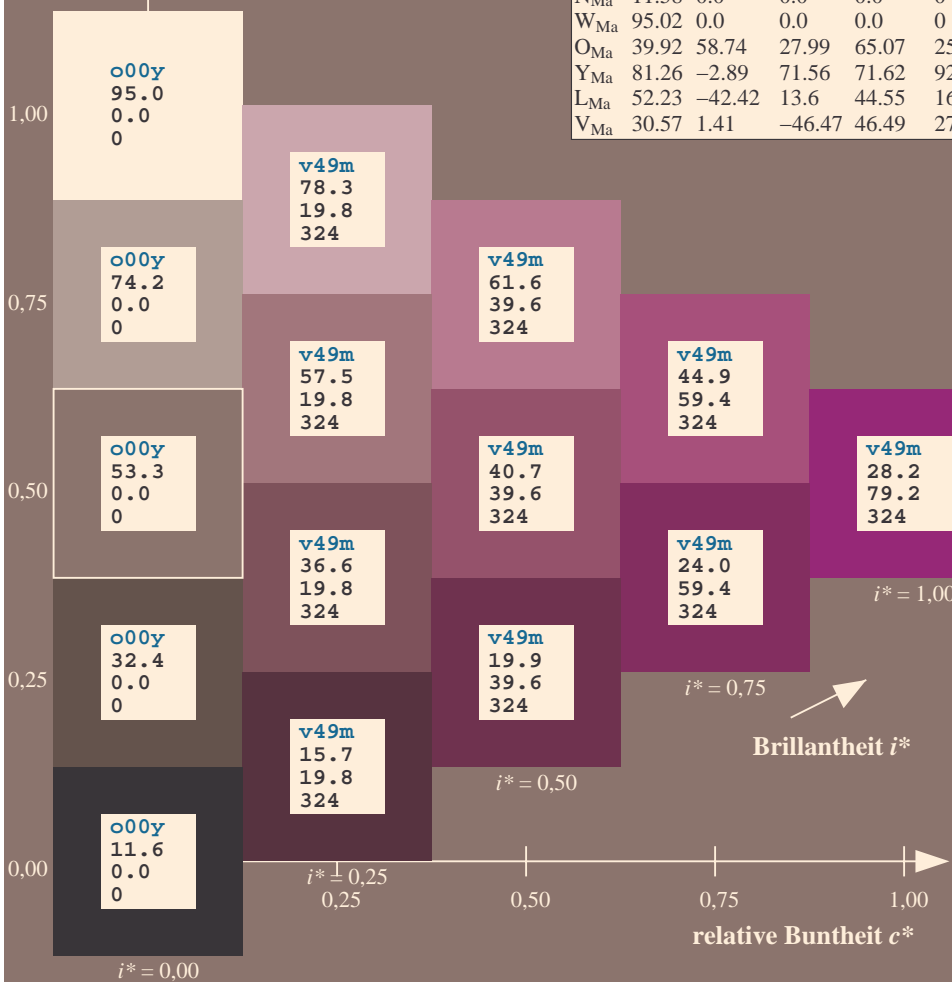
$u^*_{rel} = 109$

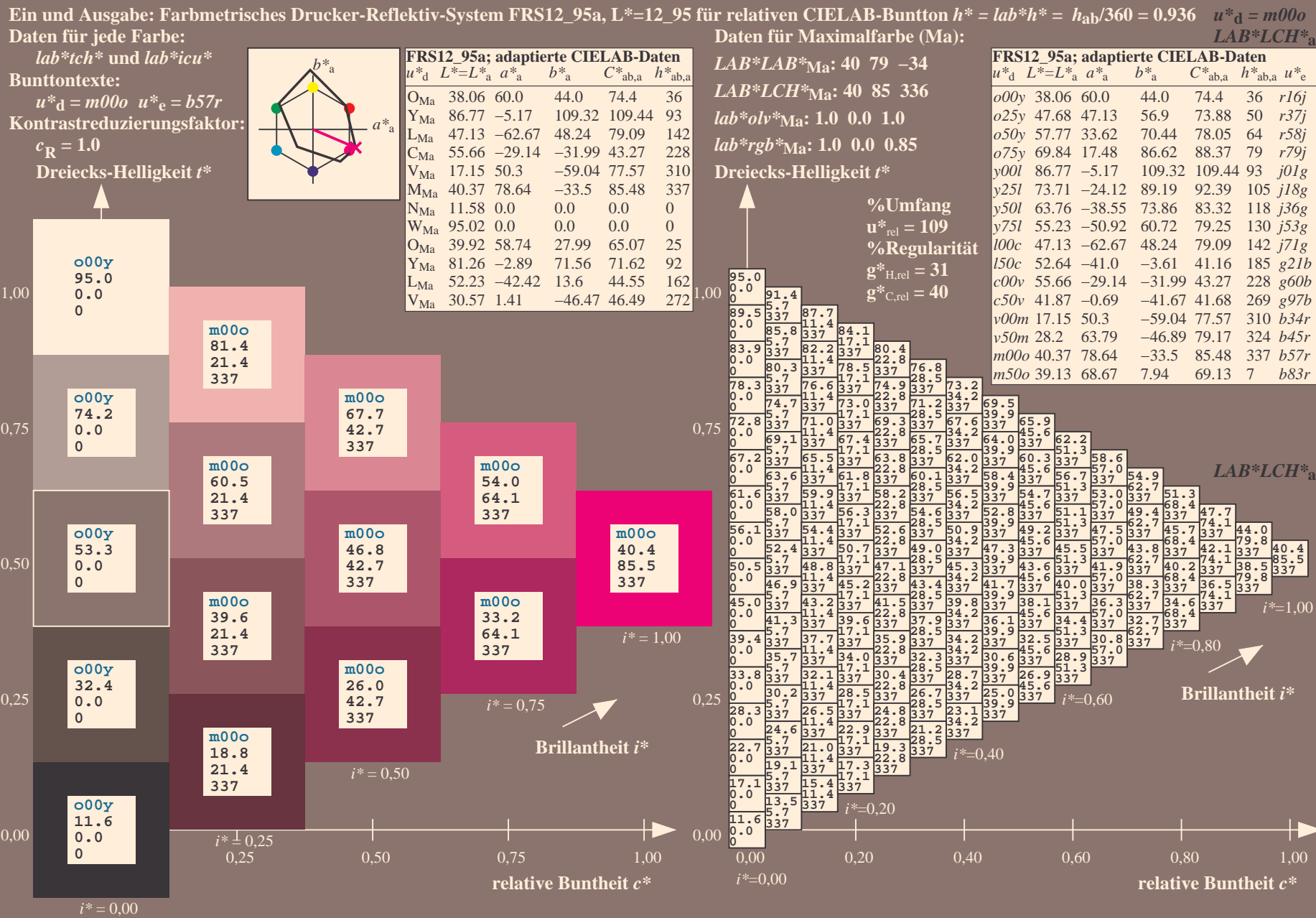
%Regularität

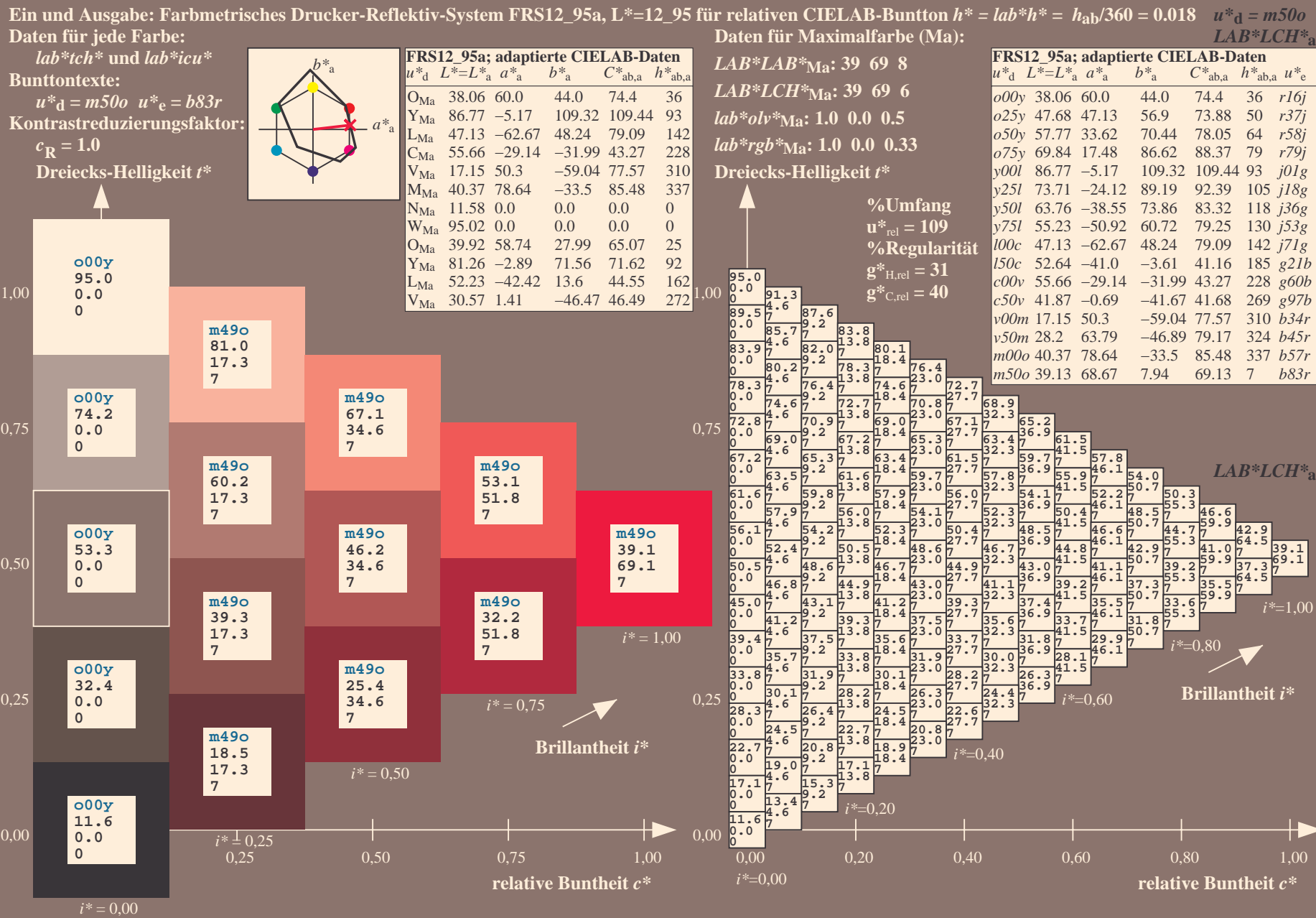
$g^*_{H,rel} = 31$

$g^*_{C,rel} = 40$

FRS12_95a; adaptierte CIELAB-Daten						
u^*_d	$L^*=L^*_a$	a^*_a	b^*_a	$C^*_{ab,a}$	$h^*_{ab,a}$	u^*_e
o00y	38.06	60.0	44.0	74.4	36	r16j
o25y	47.68	47.13	56.9	73.88	50	r37j
o50y	57.77	33.62	70.44	78.05	64	r58j
o75y	69.84	17.48	86.62	88.37	79	r79j
y00l	86.77	-5.17	109.32	109.44	93	j01g
y25l	73.71	-24.12	89.19	92.39	105	j18g
y50l	63.76	-38.55	73.86	83.32	118	j36g
y75l	55.23	-50.92	60.72	79.25	130	j53g
l00c	47.13	-62.67	48.24	79.09	142	j71g
l50c	52.64	-41.0	-3.61	41.16	185	g21b
c00v	55.66	-29.14	-31.99	43.27	228	g60b
c50v	41.87	-0.69	-41.67	41.68	269	g97b
v00m	17.15	50.3	-59.04	77.57	310	b34r
v50m	28.2	63.79	-46.89	79.17	324	b45r
m00o	40.37	78.64	-33.5	85.48	337	b57r
m50o	39.13	68.67	7.94	69.13	7	b83r







Siehe ähnliche Dateien: <http://www.ps.bam.de/Fg62/>; www.ps.bam.de/Fg.HTM
Technische Information: <http://www.ps.bam.de> Version 2.1, io=1.1, CIELAB, ColSpx=0

	A	B	C	D	E	F	G	H	I	J	K	L	M	N	O	P	Q	R	S	T	U	V	W	X	Y	Z	a	b	c	d	e	f	g	h	i	j	k	LAB*LCH*a	
01	11.6	16.0	20.5	24.9	29.4	33.8	38.2	42.7	47.1	51.4	55.7	59.9	64.0	68.1	72.2	76.3	80.4	84.5	88.6	92.7	96.8	100.9	105.0	109.1	113.2	117.3	121.4	125.5	129.6	133.7	137.8	141.9	146.0	150.1	154.2	158.3	162.4	166.5	170.6
02	12.3	17.1	21.8	26.5	31.2	35.7	40.3	44.8	49.3	53.8	58.3	62.8	67.3	71.8	76.3	80.8	85.3	89.8	94.3	98.8	103.3	107.8	112.3	116.8	121.3	125.8	130.3	134.8	139.3	143.8	148.3	152.8	157.3	161.8	166.3	170.8	175.3	179.8	
03	13.0	19.2	22.6	27.4	32.1	36.8	41.5	46.2	50.9	55.6	60.3	65.0	69.7	74.4	79.1	83.8	88.5	93.2	97.9	102.6	107.3	112.0	116.7	121.4	126.1	130.8	135.5	140.2	144.9	149.6	154.3	159.0	163.7	168.4	173.1	177.8	182.5	187.2	
04	13.7	20.9	24.7	28.1	32.8	37.6	42.4	47.1	51.8	56.5	61.2	65.9	70.6	75.3	80.0	84.7	89.4	94.1	98.8	103.5	108.2	112.9	117.6	122.3	127.0	131.7	136.4	141.1	145.8	150.5	155.2	159.9	164.6	169.3	174.0	178.7	183.4	188.1	
05	14.4	22.4	26.7	30.1	33.6	38.3	43.1	47.9	52.6	57.1	61.7	66.4	71.1	75.8	80.5	85.2	89.9	94.6	99.3	104.0	108.7	113.4	118.1	122.8	127.5	132.2	136.9	141.6	146.3	151.0	155.7	160.4	165.1	169.8	174.5	179.2	183.9	188.6	
06	15.1	23.7	28.6	32.3	35.8	39.1	43.8	48.4	53.4	58.4	63.4	68.4	73.4	78.4	83.4	88.4	93.4	98.4	103.4	108.4	113.4	118.4	123.4	128.4	133.4	138.4	143.4	148.4	153.4	158.4	163.4	168.4	173.4	178.4	183.4	188.4	193.4	198.4	
07	15.8	24.8	30.3	34.3	37.7	41.0	44.6	49.3	54.1	58.5	62.5	66.5	70.5	74.5	78.5	82.5	86.5	90.5	94.5	98.5	102.5	106.5	110.5	114.5	118.5	122.5	126.5	130.5	134.5	138.5	142.5	146.5	150.5	154.5	158.5	162.5	166.5	170.5	
08	16.5	25.9	31.8	36.2	39.8	43.2	46.8	51.5	56.4	61.2	66.0	70.8	75.6	80.4	85.2	90.0	94.8	99.6	104.4	109.2	114.0	118.8	123.6	128.4	133.2	138.0	142.8	147.6	152.4	157.2	162.0	166.8	171.6	176.4	181.2	186.0	190.8	195.6	
09	17.2	26.9	33.2	38.0	41.9	45.3	48.6	52.0	55.7	59.6	63.6	67.5	71.4	75.3	79.2	83.1	87.0	90.9	94.8	98.7	102.6	106.5	110.4	114.3	118.2	122.1	126.0	129.9	133.8	137.7	141.6	145.5	149.4	153.3	157.2	161.1	165.0	168.9	
10	21.5	26.3	31.8	39.8	42.6	46.5	50.7	55.0	59.4	63.8	68.2	72.6	77.0	81.4	85.8	90.2	94.6	99.0	103.4	107.8	112.2	116.6	121.0	125.4	129.8	134.2	138.6	143.0	147.4	151.8	156.2	160.6	165.0	169.4	173.8	178.2	182.6	187.0	191.4
11	22.8	28.6	33.8	40.0	44.0	48.1	52.1	56.8	61.2	65.1	69.1	73.1	77.1	81.1	85.1	89																							

Ein und Ausgabe:
Farbmetrisches Drucker-Reflektiv-System FRS12_95a
Daten für jede Farbe:

u^*_d und Nummer $Nr.$ = 00 .. 15

Geräte-Bunttontext:

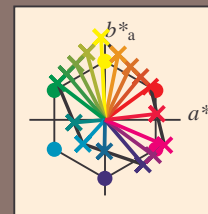
u^*_d = 16 Bunttoene $o00y$, $o25y$, ..., $m50o$

Kontrastreduzierungsfaktor:

$c_R = 1.0$

FRS12_95a; adaptierte CIELAB-Daten

u^*_d	$L^*=L^*_a$	a^*_a	b^*_a	$C^*_{ab,a}$	$h^*_{ab,a}$	u^*_e
$o00y$	38.06	60.0	44.0	74.4	36	$r16j$
$o25y$	47.68	47.13	56.9	73.88	50	$r37j$
$o50y$	57.77	33.62	70.44	78.05	64	$r58j$
$o75y$	69.84	17.48	86.62	88.37	79	$r79j$
$y00l$	86.77	-5.17	109.32	109.44	93	$j01g$
$y25l$	73.71	-24.12	89.19	92.39	105	$j18g$
$y50l$	63.76	-38.55	73.86	83.32	118	$j36g$
$y75l$	55.23	-50.92	60.72	79.25	130	$j53g$
$l00c$	47.13	-62.67	48.24	79.09	142	$j71g$
$l50c$	52.64	-41.0	-3.61	41.16	185	$g21b$
$c00v$	55.66	-29.14	-31.99	43.27	228	$g60b$
$c50v$	41.87	-0.69	-41.67	41.68	269	$g97b$
$v00m$	17.15	50.3	-59.04	77.57	310	$b34r$
$v50m$	28.2	63.79	-46.89	79.17	324	$b45r$
$m00o$	40.37	78.64	-33.5	85.48	337	$b57r$
$m50o$	39.13	68.67	7.94	69.13	7	$b83r$



%Umfang

$u^*_{rel} = 109$

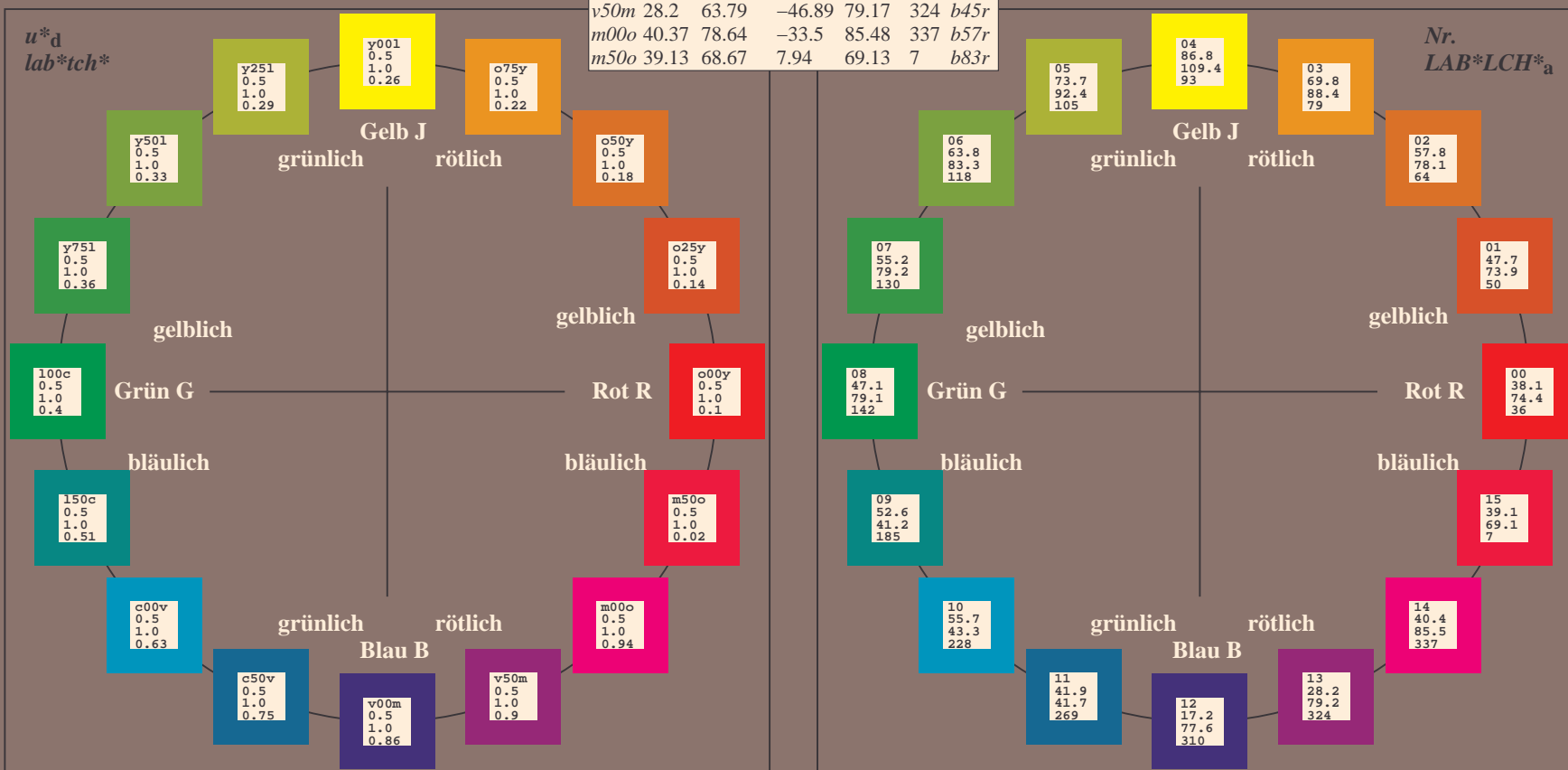
%Regularität

$g^*_{H,rel} = 31$

$g^*_{C,rel} = 40$

FRS12_95a; adaptierte CIELAB-Daten

Name	$L^*=L^*_a$	a^*_a	b^*_a	$C^*_{ab,a}$	$h^*_{ab,a}$
O_{Ma}	38.06	60.0	44.0	74.4	36
Y_{Ma}	86.77	-5.17	109.32	109.44	93
L_{Ma}	47.13	-62.67	48.24	79.09	142
C_{Ma}	55.66	-29.14	-31.99	43.27	228
V_{Ma}	17.15	50.3	-59.04	77.57	310
M_{Ma}	40.37	78.64	-33.5	85.48	337
N_{Ma}	11.58	0.0	0.0	0.0	0
W_{Ma}	95.02	0.0	0.0	0.0	0
O_{CIE}	39.92	58.74	27.99	65.07	25
Y_{CIE}	81.26	-2.89	71.56	71.62	92
L_{CIE}	52.23	-42.42	13.6	44.55	162
V_{CIE}	30.57	1.41	-46.47	46.49	272



Ein und Ausgabe: Farbmétrisches Drucker-Reflektiv-System FRS12_95a, $L^*=12_95$ für relativen CIELAB-Buntton $h^* = lab^*h^* = h_{ab}/360 = 0.14$

Daten für jede Farbe:

*lab*tch** und *lab*icu**

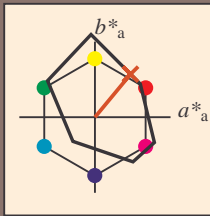
Bunttexte:

$$u_d^* = 0.25y \quad u_e^* = 0.37j$$

Kontrastreduzierungsfaktor:

$$c_{\mathbf{R}} = 1.0$$

Dreiecks-Helligkeit t^*



FRS12_95a; adaptierte CIELAB-Daten						
	u^*_d	$L^*-L^*_a$	a^*_a	b^*_a	$C^*_{ab,a}$	$h^*_{ab,a}$
O _{Ma}	38.06	60.0		44.0	74.4	36
Y _{Ma}	86.77	-5.17		109.32	109.44	93
L _{Ma}	47.13	-62.67		48.24	79.09	142
C _{Ma}	55.66	-29.14		-31.99	43.27	228
V _{Ma}	17.15	50.3		-59.04	77.57	310
M _{Ma}	40.37	78.64		-33.5	85.48	337
N _{Ma}	11.58	0.0		0.0	0.0	0
W _{Ma}	95.02	0.0		0.0	0.0	0
O _{Ma}	39.92	58.74		27.99	65.07	25
Y _{Ma}	81.26	-2.89		71.56	71.62	92
L _{Ma}	52.23	-42.42		13.6	44.55	162
V _{Ma}	30.57	1.41		-46.47	46.49	272

Daten für Maximalfarbe (Ma):

LAB*LAB*Mo: 48 47 57

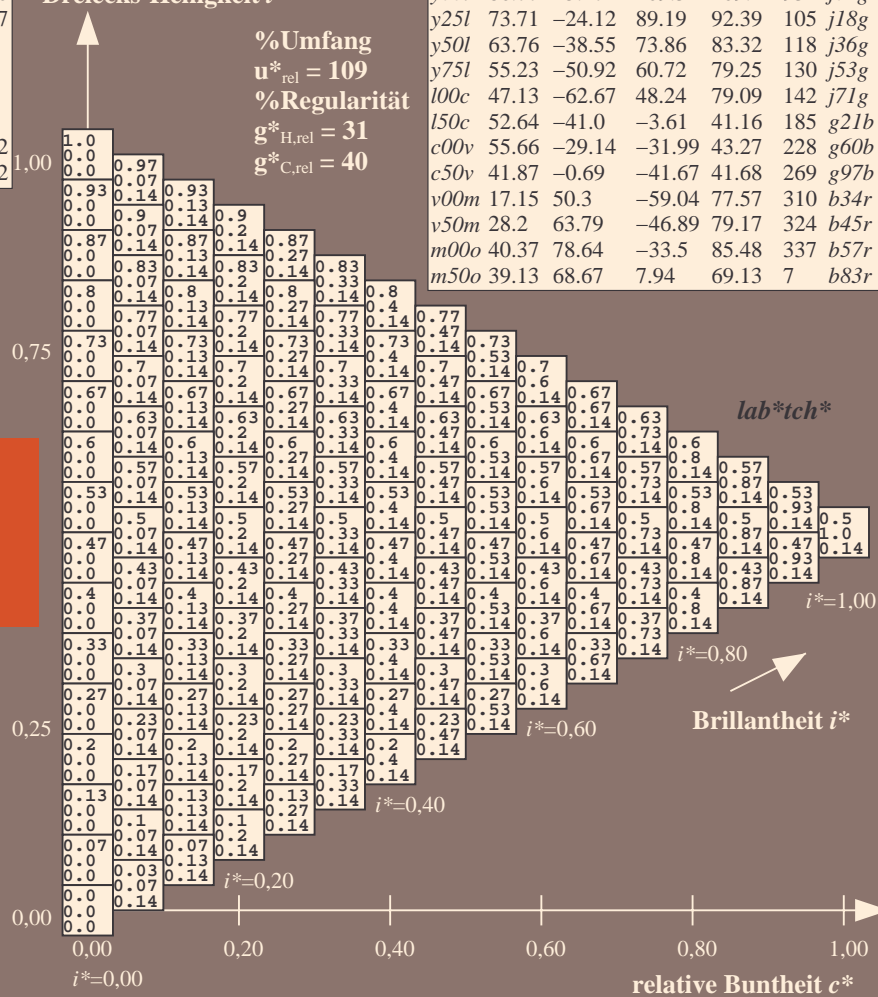
LAD*LCU* - - - 48 54 59

LABLCH**_{Ma}: 48 74 50**

*lab*olv**Ma: 1.0 0.25 0.0

*lab*rgb*_Ma: 1.0 0.37 0.0*

Dreiecks-Helligkeit t^*



BAM-Prüfvorlage Fg62: Relatives Geräte-Farbsystem

D65: Farbreihen, Datentabellen für 16 Bunttöne $000y$ b

Eingabe: *000n / w / nnn0 / www set...*

oAusgabe: $\rightarrow LAB^* \rightarrow cmy0^*$ setcmyk

Siehe ähnliche Dateien: <http://www.ps.bam.de/Fg62/>; www.ps.bam.de/Fg.HTM
Technische Information: <http://www.ps.bam.de> Version 2.1, io=1, CIELAB, 0

BAM-Registrierung: 20081001-Fg62/10L/L62g00FP.PDF/.PS BAM-Material: Code=rh4ta
Anwendung für Beurteilung und Messung von Drucker- oder Monitorsystemen

Ein und Ausgabe: Farbmimetrisches Drucker-Refektiv-System FRS12_95a, L*=12_95

Daten für jede Farbe:

$lab^{*}tch^{*}$ und $lab^{*}icu^{*}$

Bunttontexte:

$u^{*}_d = o50y$ $u^{*}_e = r58j$

Kontrastreduzierungsfaktor:

$c_R = 1.0$

Dreiecks-Helligkeit t^{*}

FRS12_95a; adaptierte CIELAB-Daten						
	u^{*}_d	$L^{*} = L^{*}_a$	a^{*}_a	b^{*}_a	$C^{*}_{ab,a}$	$h^{*}_{ab,a}$
OMa	38.06	60.0	44.0	74.4	36	
YMa	86.77	-5.17	109.32	109.44	93	
LMa	47.13	-62.67	48.24	79.09	142	
CMa	55.66	-29.14	-31.99	43.27	228	
VMa	17.15	50.3	-59.04	77.57	310	

FRS12_95a; adaptierte CIELAB-Daten						
u^*_d	$L^*=L^*_a$	a^*_a	b^*_a	$C^*_{ab,a}$	$h^*_{ab,a}$	
O_{Ma}	38.06	60.0	44.0	74.4	36	
Y_{Ma}	86.77	-5.17	109.32	109.44	93	
L_{Ma}	47.13	-62.67	48.24	79.09	142	
C_{Ma}	55.66	-29.14	-31.99	43.27	228	
V_{Ma}	17.15	50.3	-59.04	77.57	310	
M_{Ma}	40.37	78.64	-33.5	85.48	337	
N_{Ma}	11.58	0.0	0.0	0.0	0	
W_{Ma}	95.02	0.0	0.0	0.0	0	
O_{Ma}	39.92	58.74	27.99	65.07	25	
Y_{Ma}	81.26	-2.89	71.56	71.62	92	
L_{Ma}	52.23	-42.42	13.6	44.55	162	
V_{Ma}	30.57	1.41	-46.47	46.49	272	

Daten für Maximalfarbe (Ma):

*LAB*LAB**_{Ma}: 58 34 70

*LAB*LCH**M_a: 58 78 64

*lab*olv**Ma: 1.0 0.5 0.0

*lab*rgb*_{Ma}: 1.0 0.58 0.0

Dreiecks-Helligkeit t^*

%Umfang

$$\mathbf{u}_{\text{rel}}^* = 109$$

%Regular:

$$g^*_{H,rel} = 31$$
 $g^{\text{rel}}_{\text{C,rel}} = 40$

9

18	0.87	
	0.27	

0.85	0.18	0.85	
2		0.33	
18	0.8	0.18	0

77	0.27	0.77	0
2	0.18	0.33	0

18	0.73	0.18	0
7	0.27	0.7	0

2	0.10	0.33	0.33
18	0.67	0.18	0.18

63	0.27	0.63	0.01
2	0.18	0.33	0.01

18	0.0	0.18	0
57	0.27	0.57	0
	0.18		0

2	0.33	0
18	0.53	0.18
	0.27	0

5	0.18	0.5	0
2		0.33	
10	0.47	0.10	0

18	0.27	0.18	0
43	0.18	0.43	0
2		22	0

18	0.4	0.33	0
27	0.27	0.18	0

0.18	0.33	0.18	0.33
0.33	0.18	0.33	0.18

3	0.27	0.3	0
2	0.18	0.33	0

18	0.27	0.18	0
23	0.27	0.23	0

2	0.10	0.33	0.10
18	0.2	0.18	0.18

17	0.27	0.17	0
2	0.18	0.33	0

18	0.15	0.18
1	0.27	
	0.18	

2
18 $\ast=0,20$

0,20

000- /... /

 $\cdot \neg I \wedge B^*$

L

FRS12_95a; adaptierte CIELAB-Daten							
u^*_d	$L^*=L^*_a$	a^*_a	b^*_a	$C^*_{ab,a}$	$h^*_{ab,a}$	u^*_e	
<i>o00y</i>	38.06	60.0	44.0	74.4	36	<i>r16j</i>	
<i>o25y</i>	47.68	47.13	56.9	73.88	50	<i>r37j</i>	
<i>o50y</i>	57.77	33.62	70.44	78.05	64	<i>r58j</i>	
<i>o75y</i>	69.84	17.48	86.62	88.37	79	<i>r79j</i>	
<i>y00l</i>	86.77	-5.17	109.32	109.44	93	<i>j01g</i>	
<i>y25l</i>	73.71	-24.12	89.19	92.39	105	<i>j18g</i>	
<i>y50l</i>	63.76	-38.55	73.86	83.32	118	<i>j36g</i>	
<i>y75l</i>	55.23	-50.92	60.72	79.25	130	<i>j53g</i>	
<i>l00c</i>	47.13	-62.67	48.24	79.09	142	<i>j71g</i>	
<i>l50c</i>	52.64	-41.0	-3.61	41.16	185	<i>g21b</i>	
<i>c00v</i>	55.66	-29.14	-31.99	43.27	228	<i>g60b</i>	
<i>c50v</i>	41.87	-0.69	-41.67	41.68	269	<i>g97b</i>	
<i>v00m</i>	17.15	50.3	-59.04	77.57	310	<i>b34r</i>	
<i>v50m</i>	28.2	63.79	-46.89	79.17	324	<i>b45r</i>	
<i>m00o</i>	40.37	78.64	-33.5	85.48	337	<i>b57r</i>	
<i>m50o</i>	39.13	68.67	7.94	69.13	7	<i>b83r</i>	

*lab*tch**

 $i^*=1,00$

Brillantheit *i**

BAM-Prüfvorlage Fg62; Relatives Geräte-Farbsystem
D65: Farbreihen, Datentabellen für 16 Bunttöne 000y l

Eingabe: 000n / w / nnn0 / www set...
Ausgabe: ->LAB*->cmv0* setcmv

D65: Farbreihen, Datentabellen für 16 Bunttöne *o00y* bis *m50o*Ausgabe: $\rightarrow LAB^* \rightarrow cmy0^*$ *setcmyk*

Ein und Ausgabe: Farbmétrisches Drucker-Reflektiv-System FRS12_95a, $L^*=12.95$ für relativen CIELAB-Buntton $h^* = lab^*h^* = h_{ab}/360 = 0.218$ $u^*_d = 0.75y$

Daten für jede Farbe:

*lab*tch** und *lab*icu**

Bunttontexte:

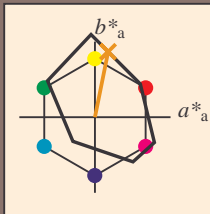
$$u^*_d = o75y \quad u^*_e = r79j$$

Kontrastreduzierungsfaktor:

$$c_P = 1.0$$

Dreiecks-Helligkeit t^*

Brooks Remington:



FRS12_95a; adaptierte CIELAB-Daten						
u^*_d	$L^*-L^*_a$	a^*_a	b^*_a	$C^*_{ab,a}$	$h^*_{ab,a}$	
O _{Ma}	38.06	60.0	44.0	74.4	36	
Y _{Ma}	86.77	-5.17	109.32	109.44	93	
L _{Ma}	47.13	-62.67	48.24	79.09	142	
C _{Ma}	55.66	-29.14	-31.99	43.27	228	
V _{Ma}	17.15	50.3	-59.04	77.57	310	
M _{Ma}	40.37	78.64	-33.5	85.48	337	
N _{Ma}	11.58	0.0	0.0	0.0	0	
W _{Ma}	95.02	0.0	0.0	0.0	0	
O _{Ma}	39.92	58.74	27.99	65.07	25	
Y _{Ma}	81.26	-2.89	71.56	71.62	92	
L _{Ma}	52.23	-42.42	13.6	44.55	162	
V _{Ma}	30.57	1.41	-46.47	46.49	272	

Daten für Maximalfarbe (Ma):

LAB*LAB* M_2 : 70 17 87

LAD*LCU* 50 88 79

LABLCH**Ma: 70 88 78**

*lab*olv*_Ma: 1.0 0.75 0.0*

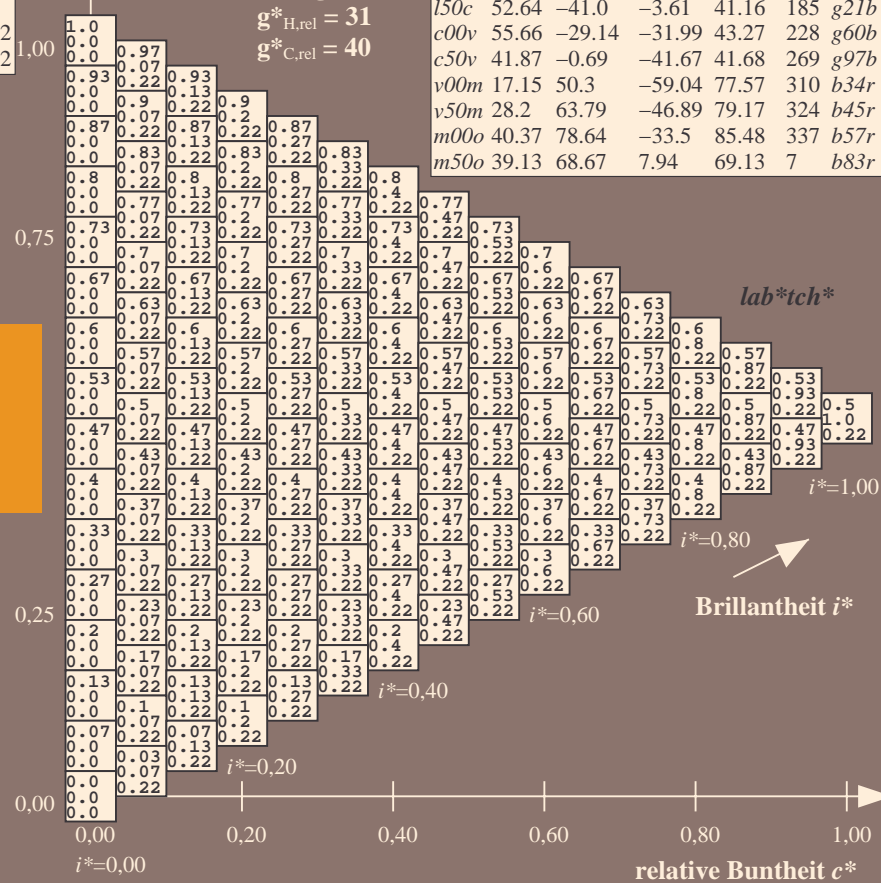
*lab*rgb*_Ma: 1.0 0.79 0.0*

Dreiecks-Helligkeit t^*

Drakens Height:

$$u_{\text{rel}}^* = 109$$

%Regularität

$$g^*_{H,rel} = 31$$
$$g^*_{C,rel} = 40$$


Brillantheit i^*

--	--	--	--

[illegible]

Relative Buntheit c^*

BAM-Prüfvorlage Fg62: Relatives Geräte-Farbsystem

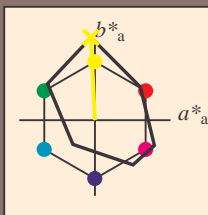
D65: Farbreihen, Datentabellen für 16 Bunttöne $o00y$ b

Eingabe: *000n / w / nnn0 / www set...*

oAusgabe: $\rightarrow LAB^* \rightarrow cmy0^*$ *setcmyk*

C	M	Y
---	---	---

Ein und Ausgabe: Farbmimetrisches Drucker-Reflektiv-System FRS12_95a, L*=12_95 für relativen CIELAB-Buntton $h^* = \text{lab}^*h^* = h_{ab}/360 = 0.258$ $u^*_d = y00l$
Daten für jede Farbe:
 lab^*tch^* und lab^*icu^*
Bunttontexte:
 $u^*_d = y00l$ $u^*_e = j01g$
Kontrastreduzierungsfaktor:
 $c_R = 1.0$
Dreiecks-Helligkeit i^*



FRS12_95a; adaptierte CIELAB-Daten						
u^*_d	$L^*=L^*_a$	a^*_a	b^*_a	$C^*_{ab,a}$	$h^*_{ab,a}$	u^*_e
O _{Ma}	38.06	60.0	44.0	74.4	36	r16j
Y _{Ma}	86.77	-5.17	109.32	109.44	93	r37j
L _{Ma}	47.13	-62.67	48.24	79.09	142	r58j
C _{Ma}	55.66	-29.14	-31.99	43.27	228	r79j
V _{Ma}	17.15	50.3	-59.04	77.57	310	j01g
M _{Ma}	40.37	78.64	-33.5	85.48	337	j18g
N _{Ma}	11.58	0.0	0.0	0.0	0	j36g
W _{Ma}	95.02	0.0	0.0	0.0	0	j53g
O _{Ma}	39.92	58.74	27.99	65.07	25	j71g
Y _{Ma}	81.26	-2.89	71.56	71.62	92	g21b
L _{Ma}	52.23	-42.42	13.6	44.55	162	g60b
V _{Ma}	30.57	1.41	-46.47	46.49	272	g97b

Daten für Maximalfarbe (Ma):

$\text{LAB}^*\text{LAB}^*_{\text{Ma}}$: 87 -5 109

$\text{LAB}^*\text{LCH}^*_{\text{Ma}}$: 87 109 92

$\text{lab}^*\text{olv}^*_{\text{Ma}}$: 1.0 1.0 0.0

$\text{lab}^*\text{rgb}^*_{\text{Ma}}$: 0.99 1.0 0.0

Dreiecks-Helligkeit i^*

%Umfang

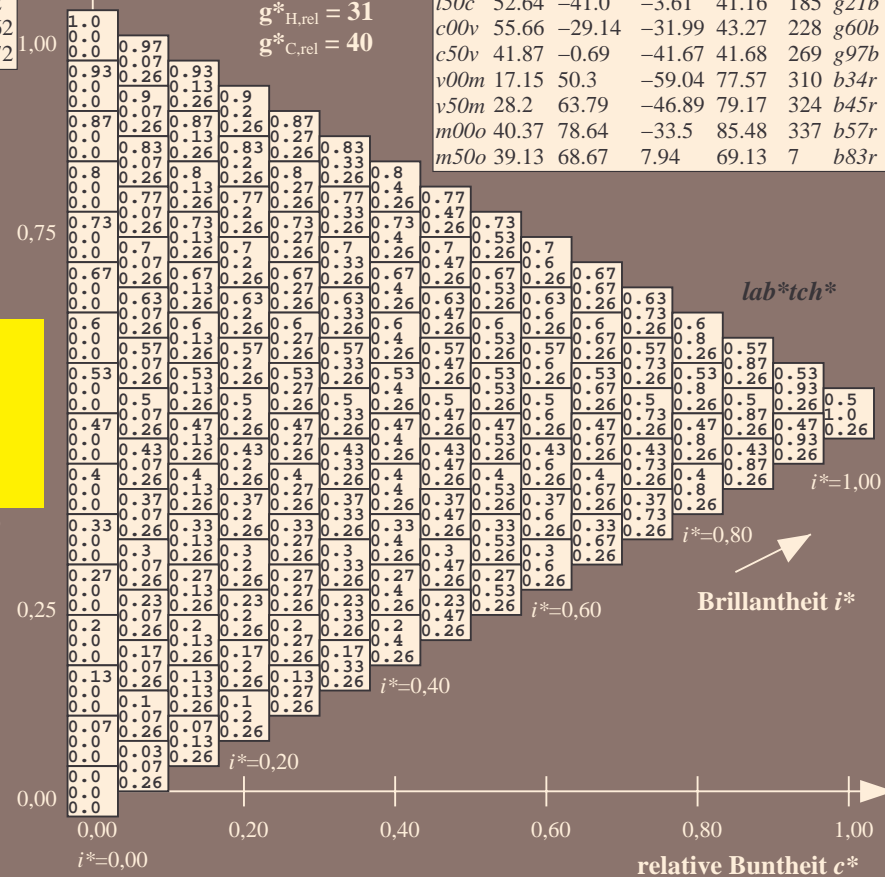
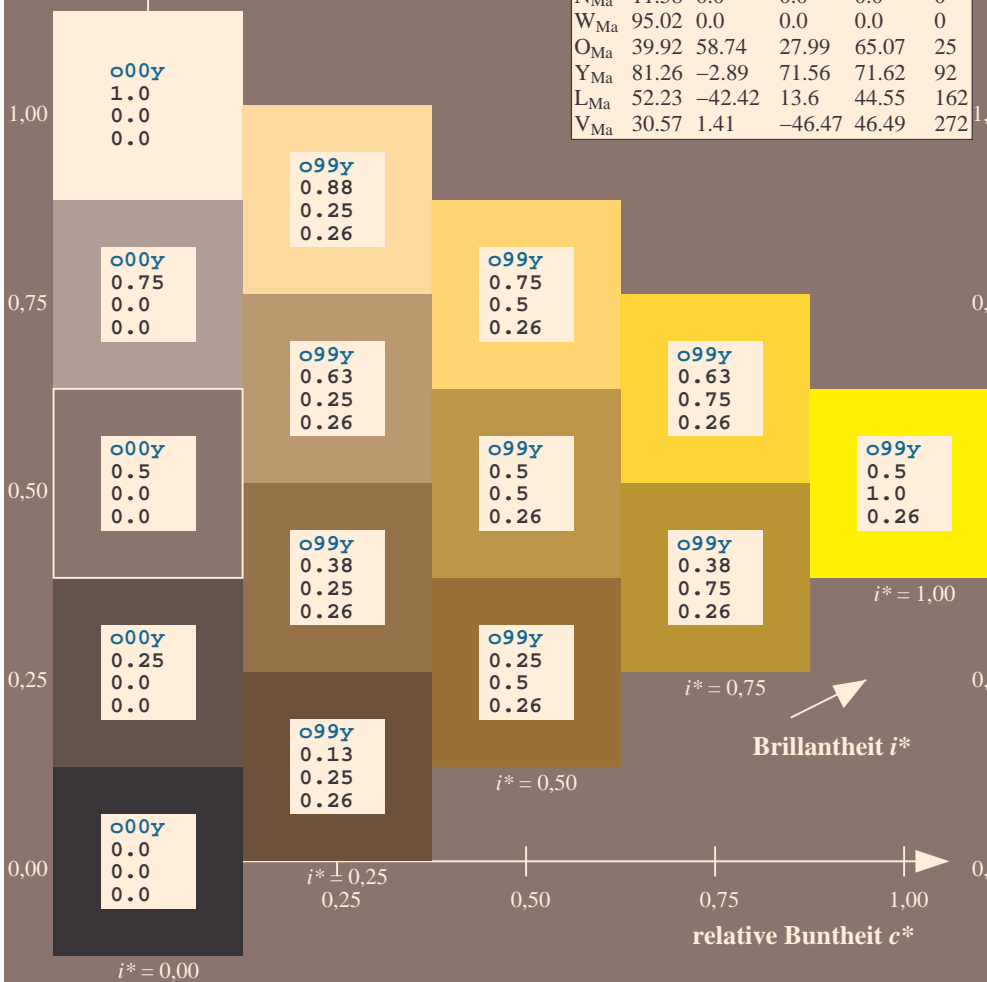
$u^*_{\text{rel}} = 109$

%Regularität

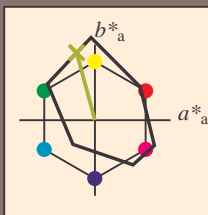
$g^*_{H,\text{rel}} = 31$

$g^*_{C,\text{rel}} = 40$

FRS12_95a; adaptierte CIELAB-Daten						
u^*_d	$L^*=L^*_a$	a^*_a	b^*_a	$C^*_{ab,a}$	$h^*_{ab,a}$	u^*_e
o00y	38.06	60.0	44.0	74.4	36	r16j
o25y	47.68	47.13	56.9	73.88	50	r37j
o50y	57.77	33.62	70.44	78.05	64	r58j
o75y	69.84	17.48	86.62	88.37	79	r79j
y00l	86.77	-5.17	109.32	109.44	93	j01g
y25l	73.71	-24.12	89.19	92.39	105	j18g
y50l	63.76	-38.55	73.86	83.32	118	j36g
y75l	55.23	-50.92	60.72	79.25	130	j53g
l00c	47.13	-62.67	48.24	79.09	142	j71g
l50c	52.64	-41.0	-3.61	41.16	185	g21b
c00v	55.66	-29.14	-31.99	43.27	228	g60b
c50v	41.87	-0.69	-41.67	41.68	269	g97b
v00m	17.15	50.3	-59.04	77.57	310	b34r
v50m	28.2	63.79	-46.89	79.17	324	b45r
m00o	40.37	78.64	-33.5	85.48	337	b57r
m50o	39.13	68.67	7.94	69.13	7	b83r



Ein und Ausgabe: Farbmatisches Drucker-Reflektiv-System FRS12_95a, L*=12_95 für relativen CIELAB-Buntton $h^* = lab^*h^* = h_{ab}/360 = 0.292$ $u^*_d = y25l$
Daten für jede Farbe:
 lab^*tch^* und lab^*icu^*
Bunttontexte:
 $u^*_d = y25l$ $u^*_e = j18g$
Kontrastreduzierungsfaktor:
 $c_R = 1.0$
Dreiecks-Helligkeit i^*



FRS12_95a; adaptierte CIELAB-Daten						
u^*_d	$L^*=L^*_a$	a^*_a	b^*_a	$C^*_{ab,a}$	$h^*_{ab,a}$	u^*_e
O _{Ma}	38.06	60.0	44.0	74.4	36	
Y _{Ma}	86.77	-5.17	109.32	109.44	93	
L _{Ma}	47.13	-62.67	48.24	79.09	142	
C _{Ma}	55.66	-29.14	-31.99	43.27	228	
V _{Ma}	17.15	50.3	-59.04	77.57	310	
M _{Ma}	40.37	78.64	-33.5	85.48	337	
N _{Ma}	11.58	0.0	0.0	0.0	0	
W _{Ma}	95.02	0.0	0.0	0.0	0	
O _{Ma}	39.92	58.74	27.99	65.07	25	
Y _{Ma}	81.26	-2.89	71.56	71.62	92	
L _{Ma}	52.23	-42.42	13.6	44.55	162	
V _{Ma}	30.57	1.41	-46.47	46.49	272	

Daten für Maximalfarbe (Ma):

$LAB^*LAB^*_{Ma}$: 74 -24 89

$LAB^*LCH^*_{Ma}$: 74 92 105

$lab^*olv^*_{Ma}$: 0.75 1.0 0.0

$lab^*rgb^*_{Ma}$: 0.82 1.0 0.0

Dreiecks-Helligkeit i^*

%Umfang

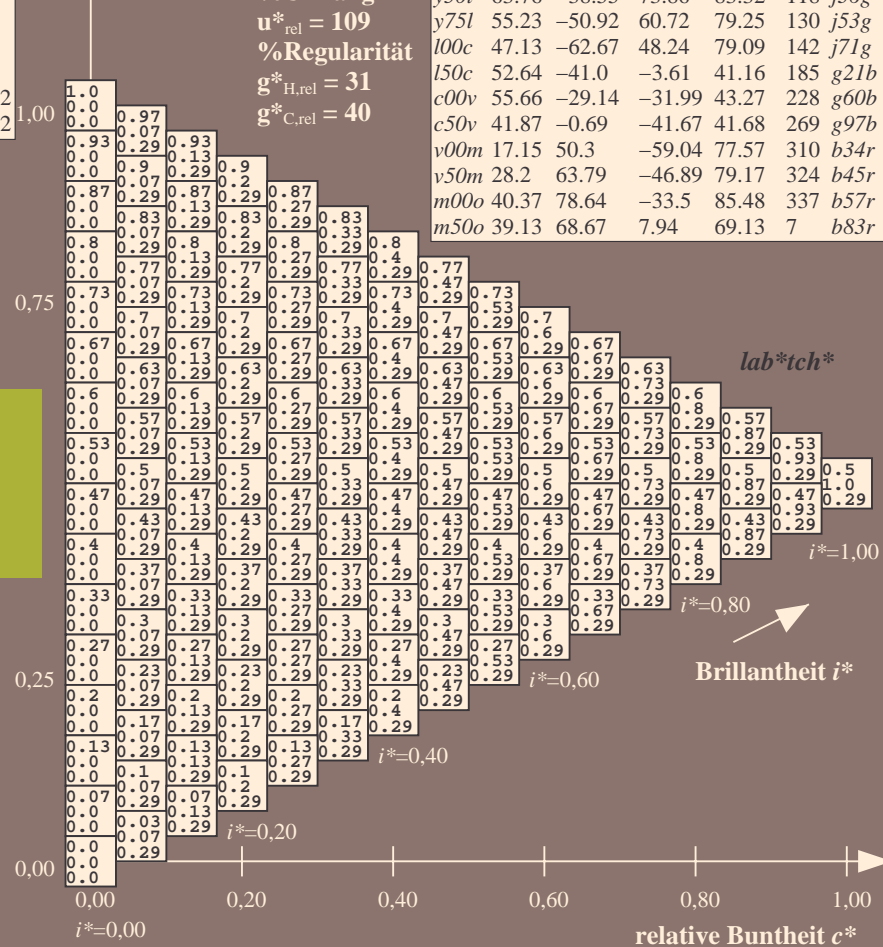
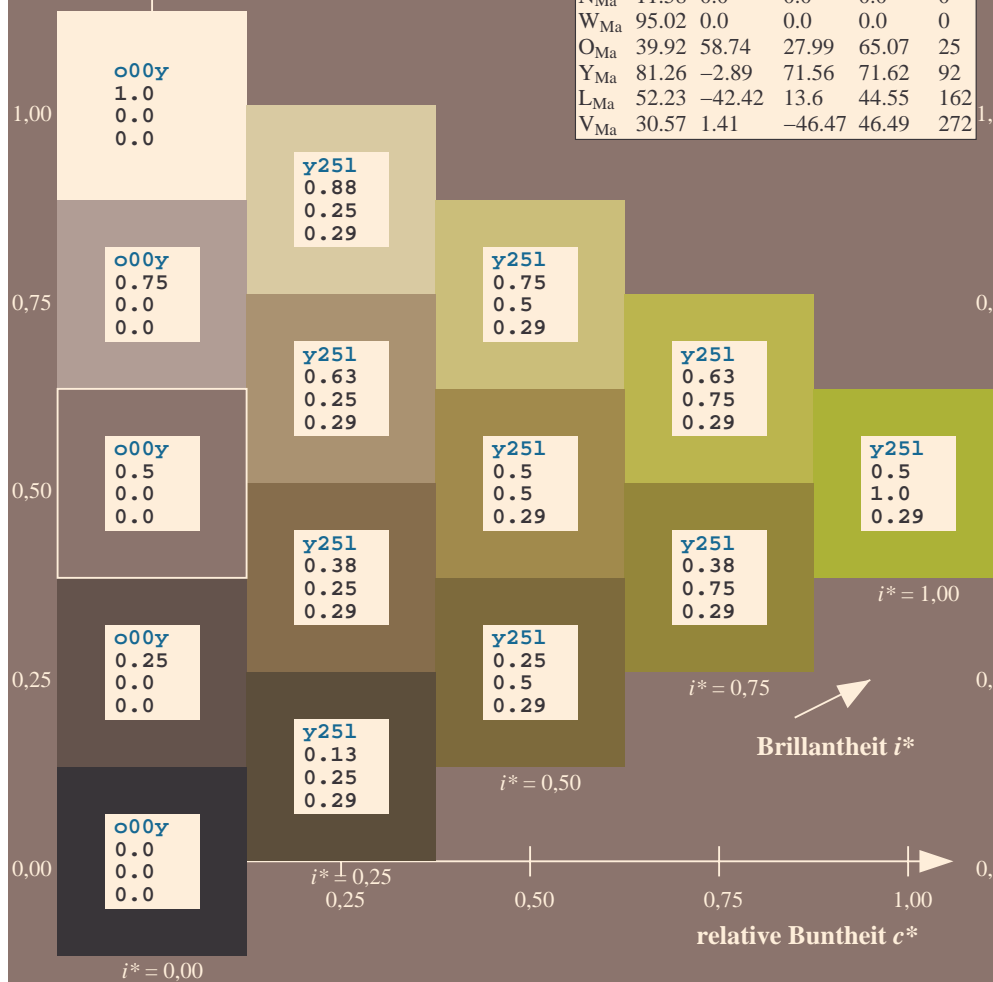
$u^*_{rel} = 109$

%Regularität

$g^*_{H,rel} = 31$

$g^*_{C,rel} = 40$

FRS12_95a; adaptierte CIELAB-Daten						
u^*_d	$L^*=L^*_a$	a^*_a	b^*_a	$C^*_{ab,a}$	$h^*_{ab,a}$	u^*_e
o00y	38.06	60.0	44.0	74.4	36	r16j
o25y	47.68	47.13	56.9	73.88	50	r37j
o50y	57.77	33.62	70.44	78.05	64	r58j
o75y	69.84	17.48	86.62	88.37	79	r79j
y00l	86.77	-5.17	109.32	109.44	93	j01g
y25l	73.71	-24.12	89.19	92.39	105	j18g
y50l	63.76	-38.55	73.86	83.32	118	j36g
y75l	55.23	-50.92	60.72	79.25	130	j53g
l00c	47.13	-62.67	48.24	79.09	142	j71g
l50c	52.64	-41.0	-3.61	41.16	185	g21b
c00v	55.66	-29.14	-31.99	43.27	228	g60b
c50v	41.87	-0.69	-41.67	41.68	269	g97b
v00m	17.15	50.3	-59.04	77.57	310	b34r
v50m	28.2	63.79	-46.89	79.17	324	b45r
m00o	40.37	78.64	-33.5	85.48	337	b57r
m50o	39.13	68.67	7.94	69.13	7	b83r



Ein und Ausgabe: Farbmimetrisches Drucker-Reflektiv-System FRS12_95a, $L^*=12.95$ für relativen CIELAB-Buntton $h^* = lab^*h^* = h_{ab}/360 = 0.361$ $u^*_d = y75l$

Daten für jede Farbe:

*lab*tch** und *lab*icu**

Bunttexte:

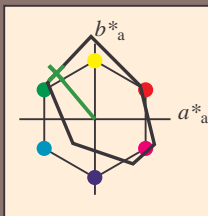
$$u_d^* = y75l \quad u_e^* = j53g$$

Kontrastreduzierungsfaktor:

$$c_P = 1.0$$

Dreiecks-Helligkeit t^*

Stress Management:



FRS12_95a; adaptierte CIELAB-Daten						
u^*_d	$L^*=L^*_a$	a^*_a	b^*_a	$C^*_{ab,a}$	$h^*_{ab,a}$	
O _{Ma}	38.06	60.0	44.0	74.4	36	
Y _{Ma}	86.77	-5.17	109.32	109.44	93	
L _{Ma}	47.13	-62.67	48.24	79.09	142	
C _{Ma}	55.66	-29.14	-31.99	43.27	228	
V _{Ma}	17.15	50.3	-59.04	77.57	310	
M _{Ma}	40.37	78.64	-33.5	85.48	337	
N _{Ma}	11.58	0.0	0.0	0.0	0	
W _{Ma}	95.02	0.0	0.0	0.0	0	
O _{Ma}	39.92	58.74	27.99	65.07	25	
Y _{Ma}	81.26	-2.89	71.56	71.62	92	
L _{Ma}	52.23	-42.42	13.6	44.55	162	
V _{Ma}	30.57	1.41	-46.47	46.49	272	

Daten für Maximalfarbe (Ma):

*LAB*LAB**_M: 55 -51 61

LAD*LGH* 55 59 100

LAB*LCH*Ma: 55 79 12

*lab*olv****Ma: 0.25 1.0 0.0**

lab*rgb*_Ma: 0.46 1.0 0.0

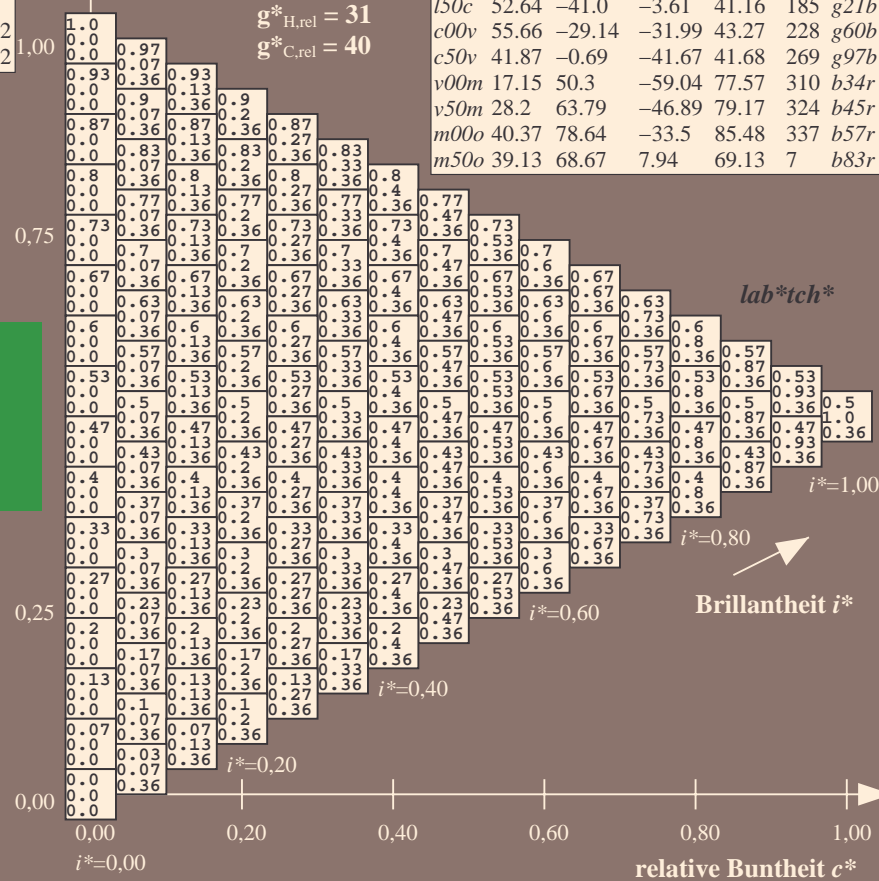
Dreiecks-Helligkeit t^*

►

%Umfang

$$\mathbf{u}_{\text{rel}}^* = 109$$

%Regular

$$g^*_{H,rel} = 31$$
$$g^*_{C,rel} = 40$$


Brillantheit i^*

0,80 1,0

Relative Buntheit c^*

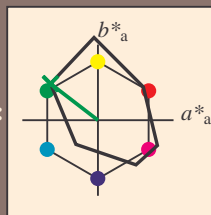
BAM-Prüfvorlage Fg62: Relatives Geräte-Farbsystem

D65: Farbreihen, Datentabellen für 16 Bunttöne 000v1

Eingabe: 000n / w / nnn0 / www set...

Output: $\rightarrow LAB^* \rightarrow cmv0^* setcmv$

Ein und Ausgabe: Farbmetrisches Drucker-Reflektiv-System FRS12_95a, L*=12_95 für relativen CIELAB-Buntton $h^* = lab^*h^* = h_{ab}/360 = 0.396$ $u^*_d = 100c$
Daten für jede Farbe:
 lab^*tch^* und lab^*icu^*
Bunttontexte:
 $u^*_d = 100c$ $u^*_e = j71g$
Kontrastreduzierungsfaktor:
 $c_R = 1.0$
Dreiecks-Helligkeit i^*



FRS12_95a; adaptierte CIELAB-Daten						
u^*_d	$L^*=L^*_a$	a^*_a	b^*_a	$C^*_{ab,a}$	$h^*_{ab,a}$	u^*_e
O _{Ma}	38.06	60.0	44.0	74.4	36	
Y _{Ma}	86.77	-5.17	109.32	109.44	93	
L _{Ma}	47.13	-62.67	48.24	79.09	142	
C _{Ma}	55.66	-29.14	-31.99	43.27	228	
V _{Ma}	17.15	50.3	-59.04	77.57	310	
M _{Ma}	40.37	78.64	-33.5	85.48	337	
N _{Ma}	11.58	0.0	0.0	0.0	0	
W _{Ma}	95.02	0.0	0.0	0.0	0	
O _{Ma}	39.92	58.74	27.99	65.07	25	
Y _{Ma}	81.26	-2.89	71.56	71.62	92	
L _{Ma}	52.23	-42.42	13.6	44.55	162	
V _{Ma}	30.57	1.41	-46.47	46.49	272	

Daten für Maximalfarbe (Ma):

$LAB^*LAB^*_{Ma}$: 47 -63 48

$LAB^*LCH^*_{Ma}$: 47 79 142

$lab^*olv^*_{Ma}$: 0.0 1.0 0.0

$lab^*rgb^*_{Ma}$: 0.28 1.0 0.0

Dreiecks-Helligkeit i^*

%Umfang

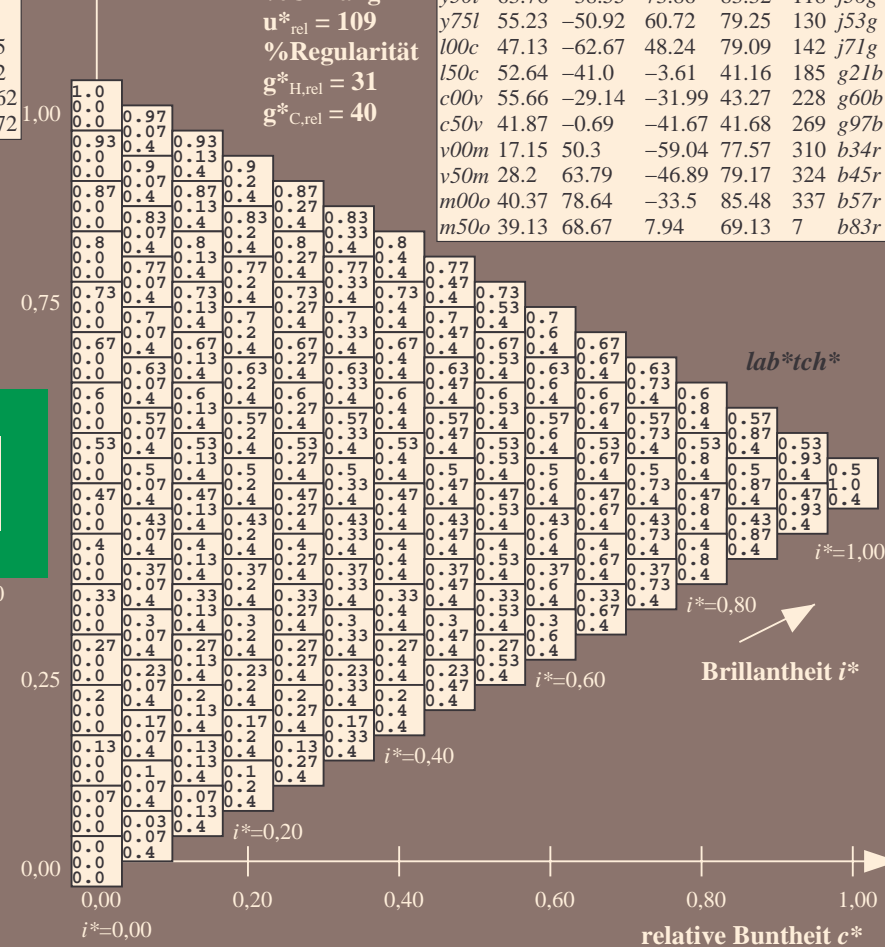
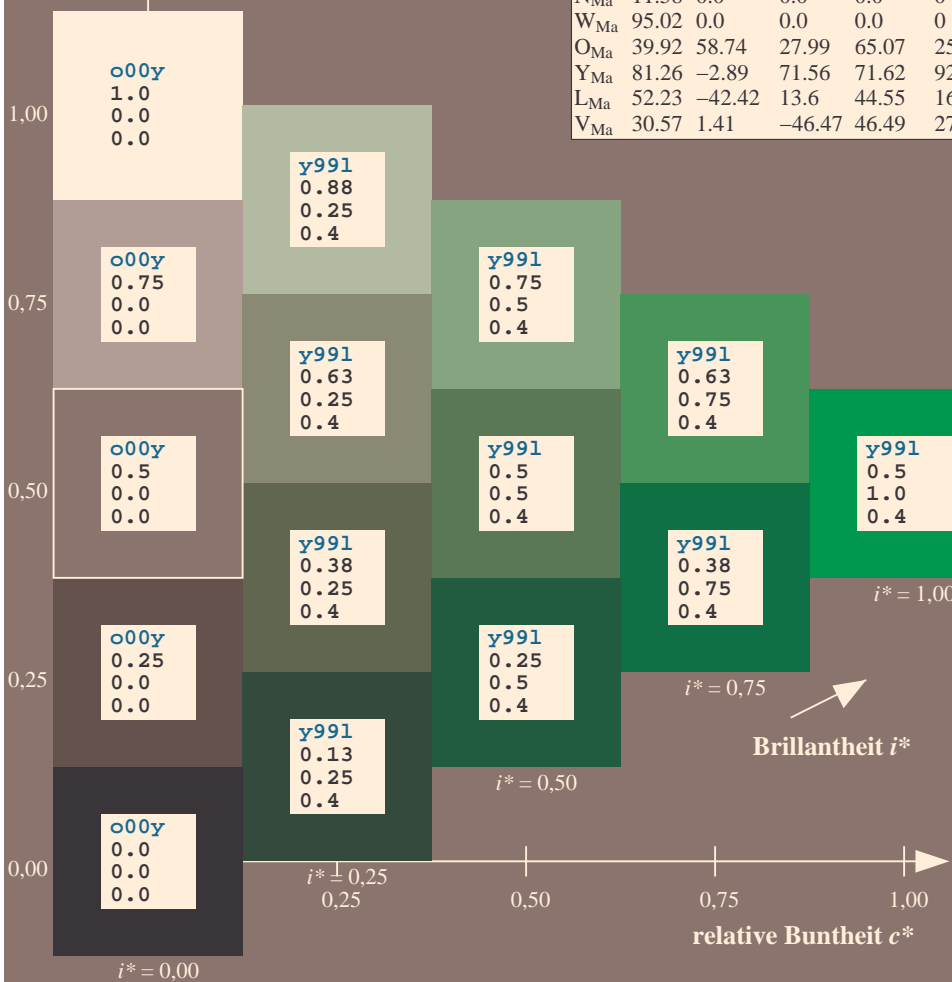
$u^*_{rel} = 109$

%Regularität

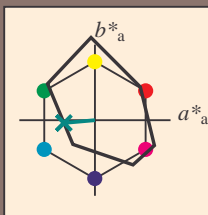
$g^*_{H,rel} = 31$

$g^*_{C,rel} = 40$

FRS12_95a; adaptierte CIELAB-Daten						
u^*_d	$L^*=L^*_a$	a^*_a	b^*_a	$C^*_{ab,a}$	$h^*_{ab,a}$	u^*_e
o00y	38.06	60.0	44.0	74.4	36	r16j
o25y	47.68	47.13	56.9	73.88	50	r37j
o50y	57.77	33.62	70.44	78.05	64	r58j
o75y	69.84	17.48	86.62	88.37	79	r79j
y00l	86.77	-5.17	109.32	109.44	93	j01g
y25l	73.71	-24.12	89.19	92.39	105	j18g
y50l	63.76	-38.55	73.86	83.32	118	j36g
y75l	55.23	-50.92	60.72	79.25	130	j53g
l00c	47.13	-62.67	48.24	79.09	142	j71g
l50c	52.64	-41.0	-3.61	41.16	185	g21b
c00v	55.66	-29.14	-31.99	43.27	228	g60b
c50v	41.87	-0.69	-41.67	41.68	269	g97b
v00m	17.15	50.3	-59.04	77.57	310	b34r
v50m	28.2	63.79	-46.89	79.17	324	b45r
m00o	40.37	78.64	-33.5	85.48	337	b57r
m50o	39.13	68.67	7.94	69.13	7	b83r



Ein und Ausgabe: Farbmetrisches Drucker-Reflektiv-System FRS12_95a, L*=12_95 für relativen CIELAB-Buntton $h^* = \text{lab}^*h^* = h_{ab}/360 = 0.514$ $u^*_d = 150c$
Daten für jede Farbe:
 lab^*tch^* und lab^*icu^*
Bunttontexte:
 $u^*_d = 150c$ $u^*_e = g21b$
Kontrastreduzierungsfaktor:
 $c_R = 1.0$
Dreiecks-Helligkeit t^*



FRS12_95a; adaptierte CIELAB-Daten						
u^*_d	$L^*=L^*_a$	a^*_a	b^*_a	$C^*_{ab,a}$	$h^*_{ab,a}$	u^*_e
O _{Ma}	38.06	60.0	44.0	74.4	36	
Y _{Ma}	86.77	-5.17	109.32	109.44	93	
L _{Ma}	47.13	-62.67	48.24	79.09	142	
C _{Ma}	55.66	-29.14	-31.99	43.27	228	
V _{Ma}	17.15	50.3	-59.04	77.57	310	
M _{Ma}	40.37	78.64	-33.5	85.48	337	
N _{Ma}	11.58	0.0	0.0	0.0	0	
W _{Ma}	95.02	0.0	0.0	0.0	0	
O _{Ma}	39.92	58.74	27.99	65.07	25	
Y _{Ma}	81.26	-2.89	71.56	71.62	92	
L _{Ma}	52.23	-42.42	13.6	44.55	162	
V _{Ma}	30.57	1.41	-46.47	46.49	272	

Daten für Maximalfarbe (Ma):

$\text{LAB}^*\text{LAB}^*_{\text{Ma}}$: 53 -41 -4

$\text{LAB}^*\text{LCH}^*_{\text{Ma}}$: 53 41 185

$\text{lab}^*\text{olv}^*_{\text{Ma}}$: 0.0 1.0 0.5

$\text{lab}^*\text{rgb}^*_{\text{Ma}}$: 0.0 1.0 0.42

Dreiecks-Helligkeit t^*

%Umfang

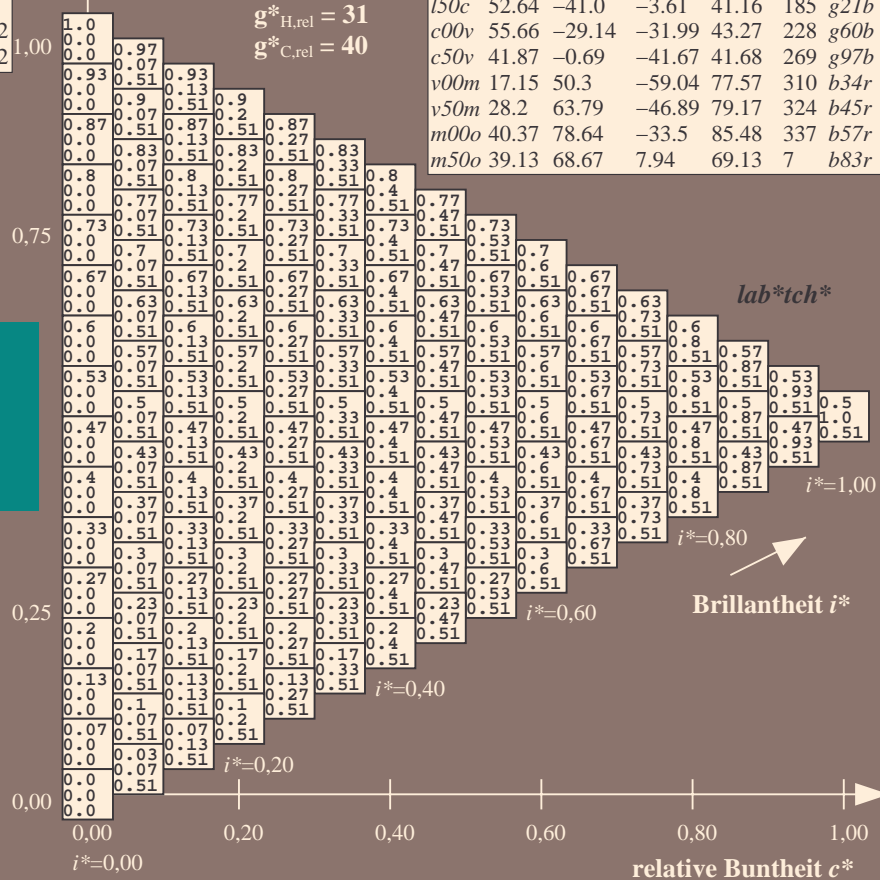
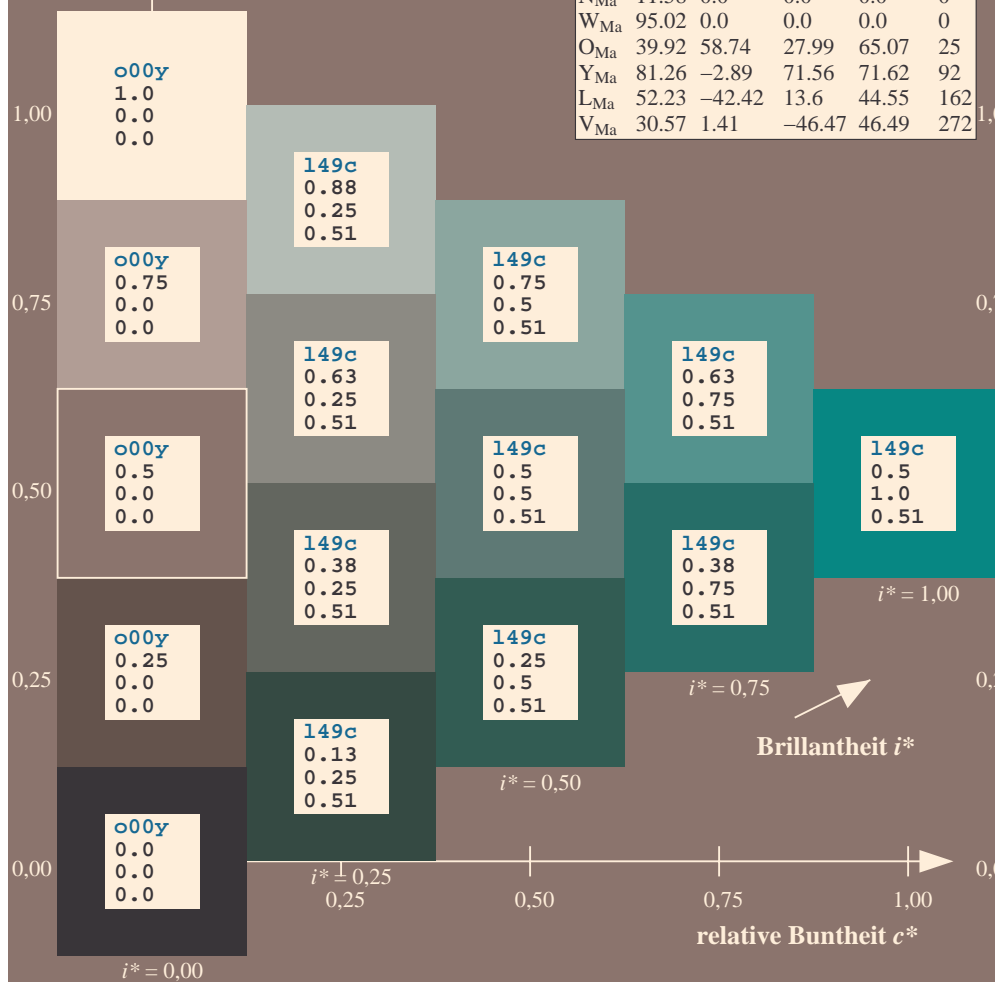
$u^*_{\text{rel}} = 109$

%Regularität

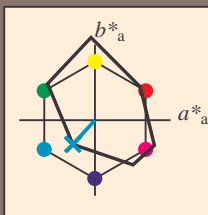
$g^*_{H,\text{rel}} = 31$

$g^*_{C,\text{rel}} = 40$

FRS12_95a; adaptierte CIELAB-Daten						
u^*_d	$L^*=L^*_a$	a^*_a	b^*_a	$C^*_{ab,a}$	$h^*_{ab,a}$	u^*_e
o00y	38.06	60.0	44.0	74.4	36	r16j
o25y	47.68	47.13	56.9	73.88	50	r37j
o50y	57.77	33.62	70.44	78.05	64	r58j
o75y	69.84	17.48	86.62	88.37	79	r79j
y00l	86.77	-5.17	109.32	109.44	93	j01g
y25l	73.71	-24.12	89.19	92.39	105	j18g
y50l	63.76	-38.55	73.86	83.32	118	j36g
y75l	55.23	-50.92	60.72	79.25	130	j53g
l00c	47.13	-62.67	48.24	79.09	142	j71g
l50c	52.64	-41.0	-3.61	41.16	185	g21b
c00v	55.66	-29.14	-31.99	43.27	228	g60b
c50v	41.87	-0.69	-41.67	41.68	269	g97b
v00m	17.15	50.3	-59.04	77.57	310	b34r
v50m	28.2	63.79	-46.89	79.17	324	b45r
m00o	40.37	78.64	-33.5	85.48	337	b57r
m50o	39.13	68.67	7.94	69.13	7	b83r



Ein und Ausgabe: Farbmetrisches Drucker-Reflektiv-System FRS12_95a, L*=12_95 für relativen CIELAB-Buntton $h^* = lab^*h^* = h_{ab}/360 = 0.632$ $u^*_d = c00v$
Daten für jede Farbe:
 lab^*tch^* und lab^*icu^*
Bunttontexte:
 $u^*_d = c00v$ $u^*_e = g60b$
Kontrastreduzierungsfaktor:
 $c_R = 1.0$
Dreiecks-Helligkeit i^*



FRS12_95a; adaptierte CIELAB-Daten						
u^*_d	$L^*=L^*_a$	a^*_a	b^*_a	$C^*_{ab,a}$	$h^*_{ab,a}$	u^*_e
O _{Ma}	38.06	60.0	44.0	74.4	36	r16j
Y _{Ma}	86.77	-5.17	109.32	109.44	93	r37j
L _{Ma}	47.13	-62.67	48.24	79.09	142	r58j
C _{Ma}	55.66	-29.14	-31.99	43.27	228	r79j
V _{Ma}	17.15	50.3	-59.04	77.57	310	j01g
M _{Ma}	40.37	78.64	-33.5	85.48	337	j18g
N _{Ma}	11.58	0.0	0.0	0.0	0	j36g
W _{Ma}	95.02	0.0	0.0	0.0	0	j53g
O _{Ma}	39.92	58.74	27.99	65.07	25	j71g
Y _{Ma}	81.26	-2.89	71.56	71.62	92	g21b
L _{Ma}	52.23	-42.42	13.6	44.55	162	g60b
V _{Ma}	30.57	1.41	-46.47	46.49	272	g97b

Daten für Maximalfarbe (Ma):

$LAB^*LAB^*_{Ma}$: 56 -29 -32

$LAB^*LCH^*_{Ma}$: 56 43 227

$lab^*olv^*_{Ma}$: 0.0 1.0 1.0

$lab^*rgb^*_{Ma}$: 0.0 0.8 1.0

Dreiecks-Helligkeit i^*

%Umfang

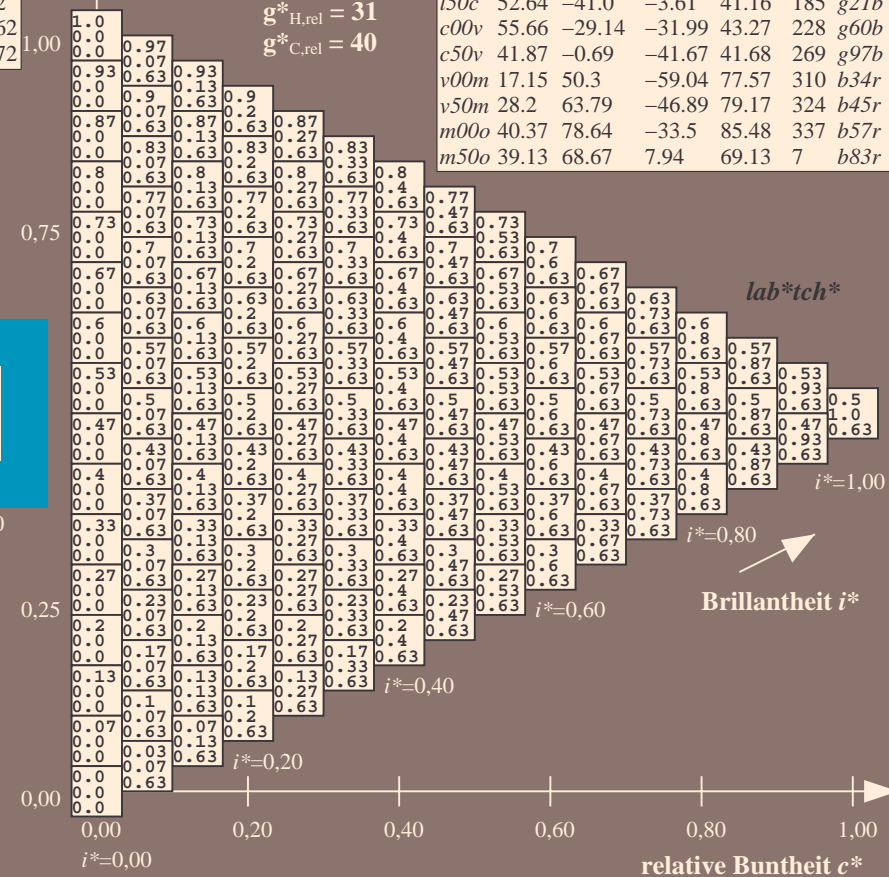
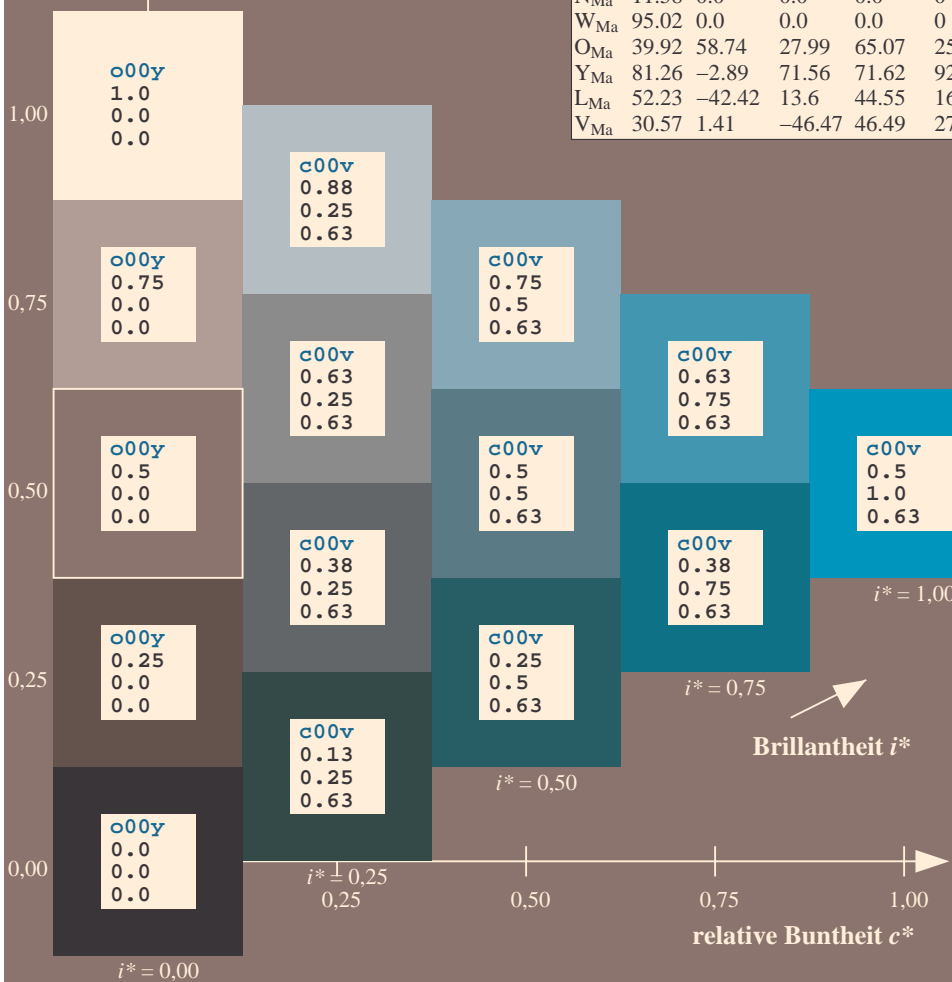
$u^*_{rel} = 109$

%Regularität

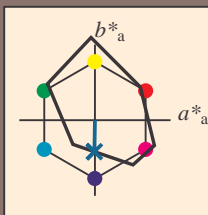
$g^*_{H,rel} = 31$

$g^*_{C,rel} = 40$

FRS12_95a; adaptierte CIELAB-Daten						
u^*_d	$L^*=L^*_a$	a^*_a	b^*_a	$C^*_{ab,a}$	$h^*_{ab,a}$	u^*_e
o00y	38.06	60.0	44.0	74.4	36	r16j
o25y	47.68	47.13	56.9	73.88	50	r37j
o50y	57.77	33.62	70.44	78.05	64	r58j
o75y	69.84	17.48	86.62	88.37	79	r79j
y00l	86.77	-5.17	109.32	109.44	93	j01g
y25l	73.71	-24.12	89.19	92.39	105	j18g
y50l	63.76	-38.55	73.86	83.32	118	j36g
y75l	55.23	-50.92	60.72	79.25	130	j53g
l00c	47.13	-62.67	48.24	79.09	142	j71g
l50c	52.64	-41.0	-3.61	41.16	185	g21b
c00v	55.66	-29.14	-31.99	43.27	228	g60b
c50v	41.87	-0.69	-41.67	41.68	269	g97b
v00m	17.15	50.3	-59.04	77.57	310	b34r
v50m	28.2	63.79	-46.89	79.17	324	b45r
m00o	40.37	78.64	-33.5	85.48	337	b57r
m50o	39.13	68.67	7.94	69.13	7	b83r



Ein und Ausgabe: Farbmetrisches Drucker-Reflektiv-System FRS12_95a, L*=12_95 für relative CIELAB-Buntton $h^* = lab^*h^* = h_{ab}/360 = 0.747$ $u^*_d = c50v$
Daten für jede Farbe:
 lab^*tch^* und lab^*icu^*
Bunttontexte:
 $u^*_d = c50v$ $u^*_e = g97b$
Kontrastreduzierungsfaktor:
 $c_R = 1.0$
Dreiecks-Helligkeit i^*



FRS12_95a; adaptierte CIELAB-Daten						
u^*_d	$L^*=L^*_a$	a^*_a	b^*_a	$C^*_{ab,a}$	$h^*_{ab,a}$	u^*_e
O _{Ma}	38.06	60.0	44.0	74.4	36	
Y _{Ma}	86.77	-5.17	109.32	109.44	93	
L _{Ma}	47.13	-62.67	48.24	79.09	142	
C _{Ma}	55.66	-29.14	-31.99	43.27	228	
V _{Ma}	17.15	50.3	-59.04	77.57	310	
M _{Ma}	40.37	78.64	-33.5	85.48	337	
N _{Ma}	11.58	0.0	0.0	0.0	0	
W _{Ma}	95.02	0.0	0.0	0.0	0	
O _{Ma}	39.92	58.74	27.99	65.07	25	
Y _{Ma}	81.26	-2.89	71.56	71.62	92	
L _{Ma}	52.23	-42.42	13.6	44.55	162	
V _{Ma}	30.57	1.41	-46.47	46.49	272	

Daten für Maximalfarbe (Ma):

$LAB^*LAB^*_{Ma}$: 42 -1 -42

$LAB^*LCH^*_{Ma}$: 42 42 269

$lab^*olv^*_{Ma}$: 0.0 0.5 1.0

$lab^*rgb^*_{Ma}$: 0.0 0.05 1.0

Dreiecks-Helligkeit i^*

%Umfang

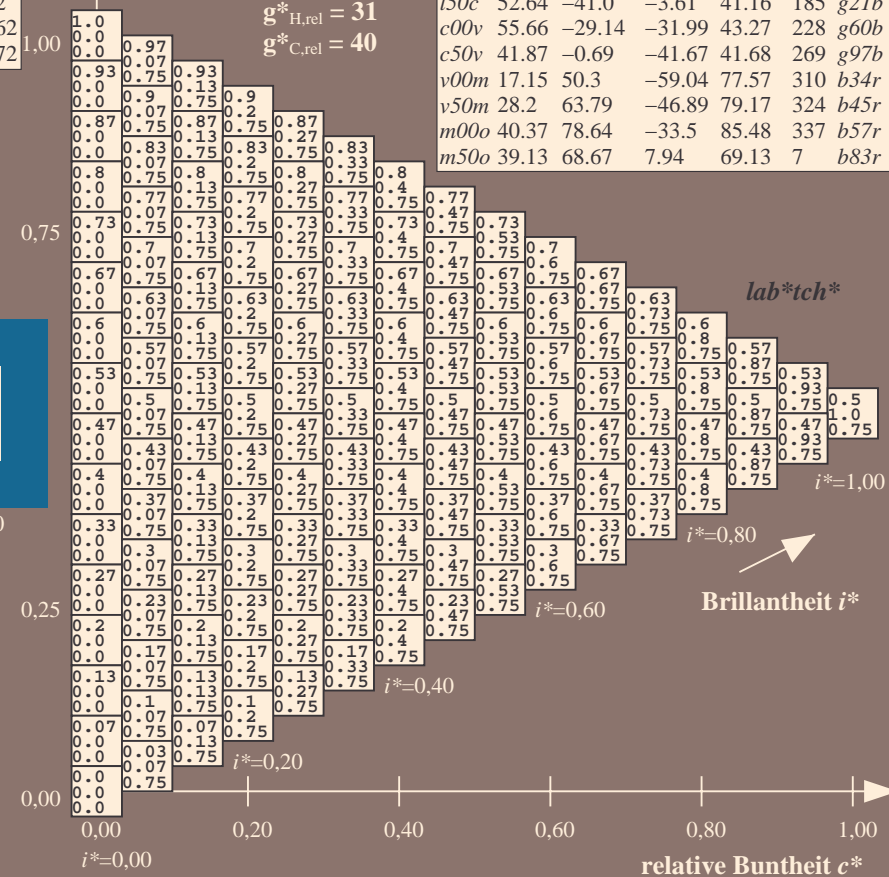
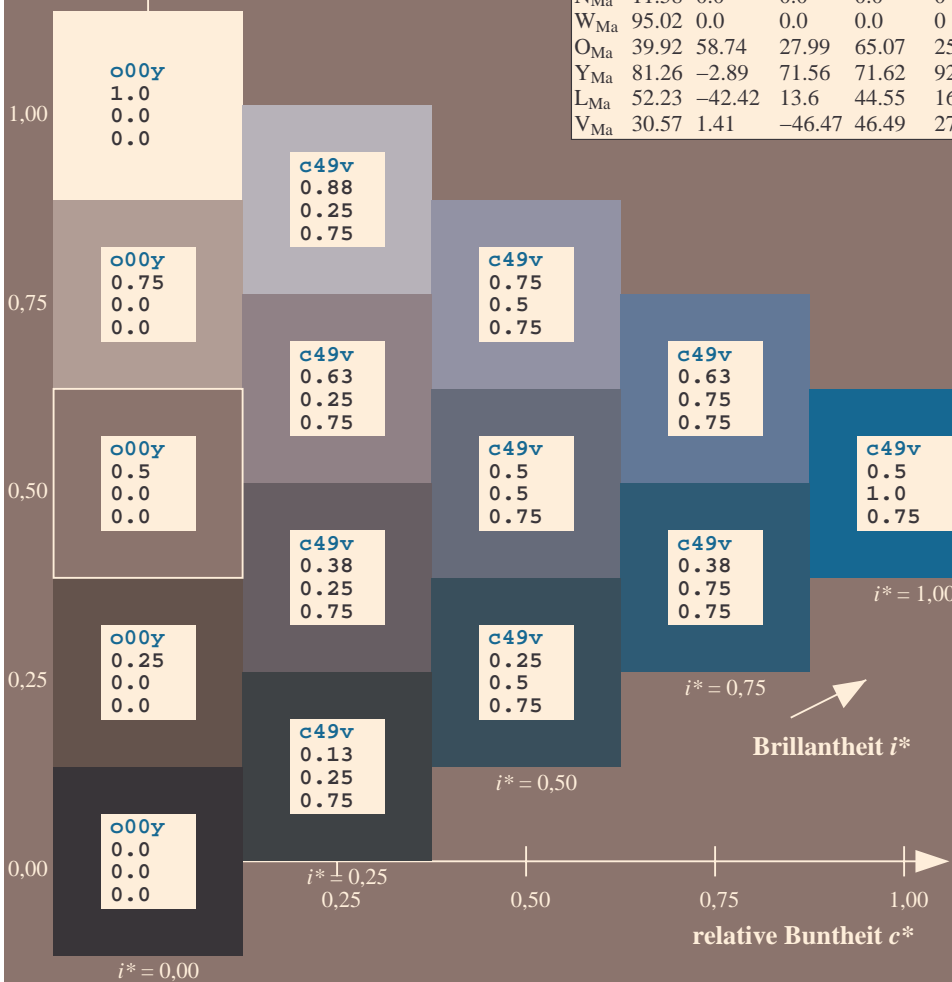
$u^*_{rel} = 109$

%Regularität

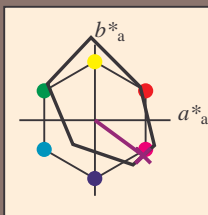
$g^*_{H,rel} = 31$

$g^*_{C,rel} = 40$

FRS12_95a; adaptierte CIELAB-Daten						
u^*_d	$L^*=L^*_a$	a^*_a	b^*_a	$C^*_{ab,a}$	$h^*_{ab,a}$	u^*_e
o00y	38.06	60.0	44.0	74.4	36	r16j
o25y	47.68	47.13	56.9	73.88	50	r37j
o50y	57.77	33.62	70.44	78.05	64	r58j
o75y	69.84	17.48	86.62	88.37	79	r79j
y00l	86.77	-5.17	109.32	109.44	93	j01g
y25l	73.71	-24.12	89.19	92.39	105	j18g
y50l	63.76	-38.55	73.86	83.32	118	j36g
y75l	55.23	-50.92	60.72	79.25	130	j53g
l00c	47.13	-62.67	48.24	79.09	142	j71g
l50c	52.64	-41.0	-3.61	41.16	185	g21b
c00v	55.66	-29.14	-31.99	43.27	228	g60b
c50v	41.87	-0.69	-41.67	41.68	269	g97b
v00m	17.15	50.3	-59.04	77.57	310	b34r
v50m	28.2	63.79	-46.89	79.17	324	b45r
m00o	40.37	78.64	-33.5	85.48	337	b57r
m50o	39.13	68.67	7.94	69.13	7	b83r



Ein und Ausgabe: Farbmetrisches Drucker-Reflektiv-System FRS12_95a, L*=12_95 für relativen CIELAB-Buntton $h^* = lab^*h^* = h_{ab}/360 = 0.899$ $u^*_d = v50m$
Daten für jede Farbe:
 lab^*tch^* und lab^*icu^*
Bunttontexte:
 $u^*_d = v50m$ $u^*_e = b45r$
Kontrastreduzierungsfaktor:
 $c_R = 1.0$
Dreiecks-Helligkeit i^*



FRS12_95a; adaptierte CIELAB-Daten						
	u^*_d	$L^*=L^*_a$	a^*_a	b^*_a	$C^*_{ab,a}$	$h^*_{ab,a}$
O _{Ma}	38.06	60.0	44.0	74.4	36	
Y _{Ma}	86.77	-5.17	109.32	109.44	93	
L _{Ma}	47.13	-62.67	48.24	79.09	142	
C _{Ma}	55.66	-29.14	-31.99	43.27	228	
V _{Ma}	17.15	50.3	-59.04	77.57	310	
M _{Ma}	40.37	78.64	-33.5	85.48	337	
N _{Ma}	11.58	0.0	0.0	0.0	0	
W _{Ma}	95.02	0.0	0.0	0.0	0	
O _{Ma}	39.92	58.74	27.99	65.07	25	
Y _{Ma}	81.26	-2.89	71.56	71.62	92	
L _{Ma}	52.23	-42.42	13.6	44.55	162	
V _{Ma}	30.57	1.41	-46.47	46.49	272	

Daten für Maximalfarbe (Ma):

$LAB^*LAB^*_{Ma}$: 28 64 -47

$LAB^*LCH^*_{Ma}$: 28 79 323

$lab^*olv^*_{Ma}$: 0.5 0.0 1.0

$lab^*rgb^*_{Ma}$: 0.91 0.0 1.0

Dreiecks-Helligkeit i^*

%Umfang

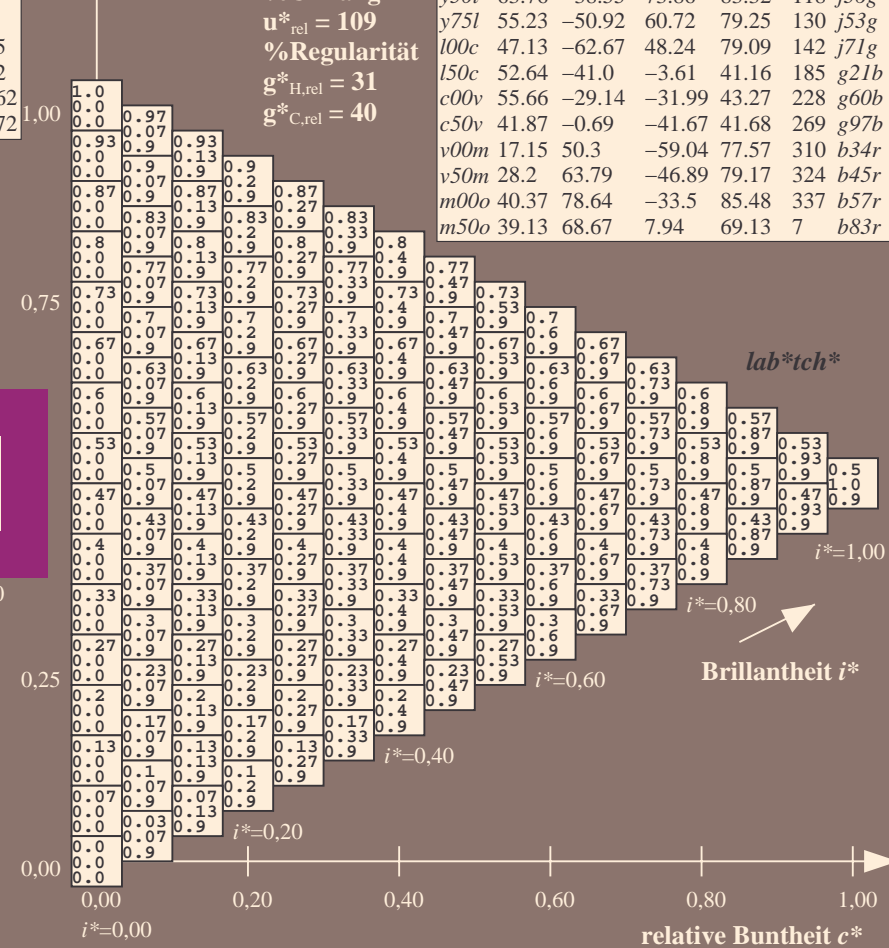
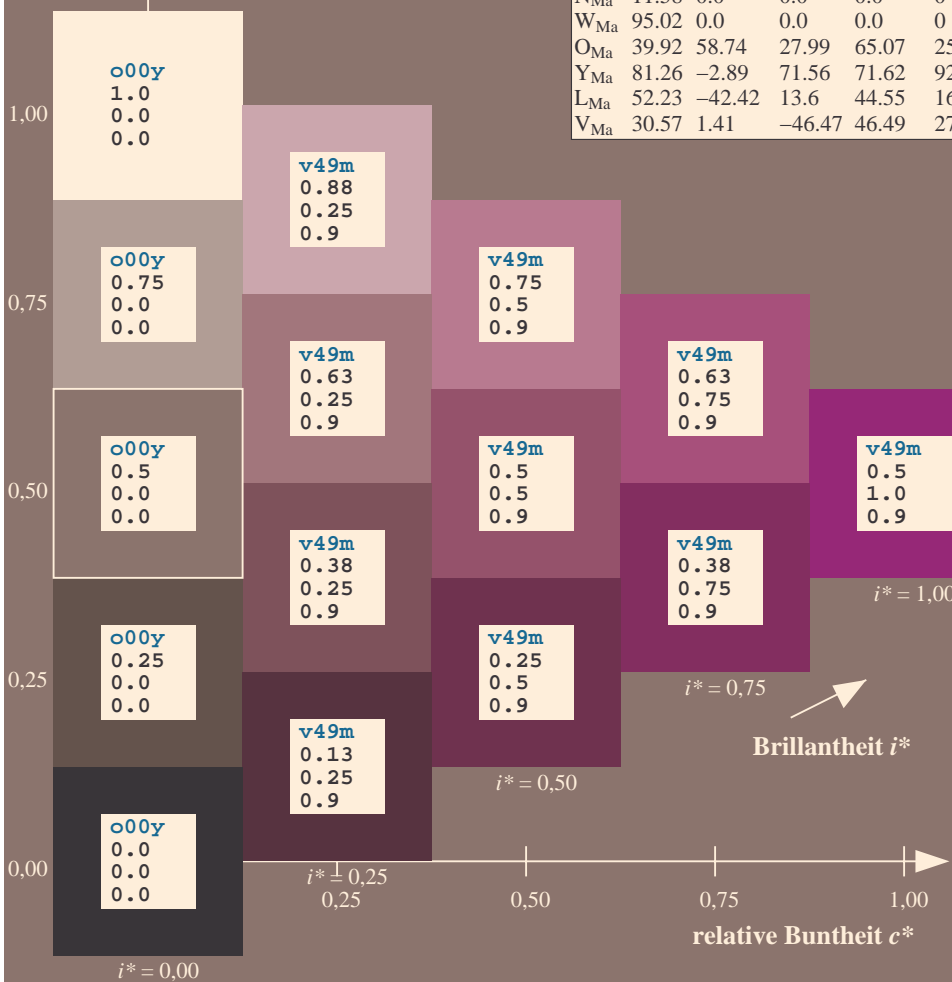
$u^*_{rel} = 109$

%Regularität

$g^*_{H,rel} = 31$

$g^*_{C,rel} = 40$

FRS12_95a; adaptierte CIELAB-Daten						
	u^*_d	$L^*=L^*_a$	a^*_a	b^*_a	$C^*_{ab,a}$	$h^*_{ab,a}$
o00y	38.06	60.0	44.0	74.4	36	r16j
o25y	47.68	47.13	56.9	73.86	50	r37j
o50y	57.77	33.62	70.44	78.05	64	r58j
o75y	69.84	17.48	86.62	88.37	79	r79j
y00l	86.77	-5.17	109.32	109.44	93	j01g
y25l	73.71	-24.12	89.19	92.39	105	j18g
y50l	63.76	-38.55	73.86	83.32	118	j36g
y75l	55.23	-50.92	60.72	79.25	130	j53g
l00c	47.13	-62.67	48.24	79.09	142	j71g
l50c	52.64	-41.0	-3.61	41.16	185	g21b
c00v	55.66	-29.14	-31.99	43.27	228	g60b
c50v	41.87	-0.69	-41.67	41.68	269	g97b
v00m	17.15	50.3	-59.04	77.57	310	b34r
v50m	28.2	63.79	-46.89	79.17	324	b45r
m00o	40.37	78.64	-33.5	85.48	337	b57r
m50o	39.13	68.67	7.94	69.13	7	b83r



Ein und Ausgabe: Farbmetrisches Drucker-Reflektiv-System FRS12_95a, L*=12_95 für relativen CIELAB-Buntton $h^* = lab^*h^* = h_{ab}/360 = 0.936$ $u^*_d = m00o$			Daten für jede Farbe:			Daten für Maximalfarbe (Ma):		
lab^*tch^* und lab^*icu^*			lab^*tch^* und lab^*icu^*			lab^*tch^* und lab^*icu^*		
Bunttontexte:			Bunttontexte:			Bunttontexte:		
$u^*_d = m00o$ $u^*_e = b57r$			$u^*_d = m00o$ $u^*_e = b57r$			$u^*_d = m00o$ $u^*_e = b57r$		
Kontrastreduzierungsfaktor:			Kontrastreduzierungsfaktor:			Kontrastreduzierungsfaktor:		
$c_R = 1.0$			$c_R = 1.0$			$c_R = 1.0$		
Dreiecks-Helligkeit t^*			Dreiecks-Helligkeit t^*			Dreiecks-Helligkeit t^*		

FRS12_95a; adaptierte CIELAB-Daten						
	u^*_d	$L^*-L^*_a$	a^*_a	b^*_a	$C^*_{ab,a}$	$h^*_{ab,a}$
O _{Ma}	38.06	60.0		44.0	74.4	36
Y _{Ma}	86.77	-5.17		109.32	109.44	93
L _{Ma}	47.13	-62.67		48.24	79.09	142
C _{Ma}	55.66	-29.14		-31.99	43.27	228
V _{Ma}	17.15	50.3		-59.04	77.57	310
M _{Ma}	40.37	78.64		-33.5	85.48	337
N _{Ma}	11.58	0.0		0.0	0.0	0
W _{Ma}	95.02	0.0		0.0	0.0	0
O _{Ma}	39.92	58.74		27.99	65.07	25
Y _{Ma}	81.26	-2.89		71.56	71.62	92
L _{Ma}	52.23	-42.42		13.6	44.55	162
V _{Ma}	30.57	1.41		-46.47	46.49	272

Daten für Maximalfarbe (Ma):

LAB*LAB*Ma: 40 79 -34

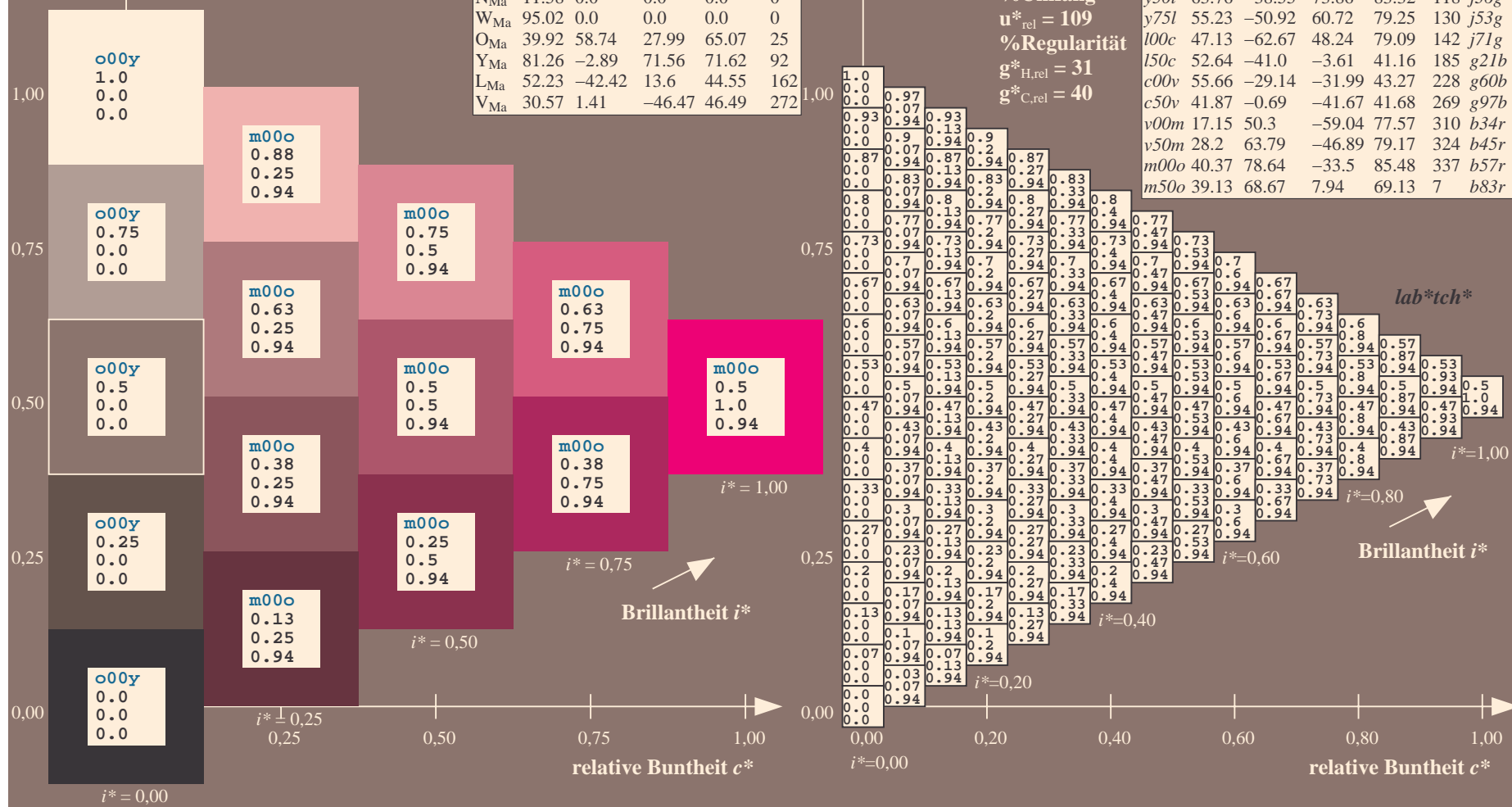
LAB*LCH*Ma: 40 85 336







*lab*olv**Ma: 1.0 0.0 1.0

*lab*rgb*_{Ma}: 1.0 0.0 0.85

Dreiecks-Helligkeit t^*

FRS12_95a; adaptierte CIELAB-Daten							
u_d^*	$L^*=L_a^*$	a_a^*	b_a^*	$C^*_{ab,a}$	$h^*_{ab,a}$	u_e^*	
<i>o00y</i>	38.06	60.0	44.0	74.4	36	<i>r16j</i>	
<i>o25y</i>	47.68	47.13	56.9	73.88	50	<i>r37j</i>	
<i>o50y</i>	57.77	33.62	70.44	78.05	64	<i>r58j</i>	
<i>o75y</i>	69.84	17.48	86.62	88.37	79	<i>r79j</i>	
<i>y00l</i>	86.77	-5.17	109.32	109.44	93	<i>j01g</i>	
<i>y25l</i>	73.71	-24.12	89.19	92.39	105	<i>j18g</i>	
<i>y50l</i>	63.76	-38.55	73.86	83.32	118	<i>j36g</i>	
<i>y75l</i>	55.23	-50.92	60.72	79.25	130	<i>j53g</i>	
<i>l00c</i>	47.13	-62.67	48.24	79.09	142	<i>j71g</i>	
<i>l50c</i>	52.64	-41.0	-3.61	41.16	185	<i>g21b</i>	
<i>c00v</i>	55.66	-29.14	-31.99	43.27	228	<i>g60b</i>	
<i>c50v</i>	41.87	-0.69	-41.67	41.68	269	<i>g97b</i>	
<i>v00m</i>	17.15	50.3	-59.04	77.57	310	<i>b34r</i>	
<i>v50m</i>	28.52	63.79	-46.89	79.17	324	<i>b45r</i>	
<i>m00o</i>	40.37	78.64	-33.5	85.48	337	<i>b57r</i>	
<i>m50o</i>	39.13	68.67	7.94	69.13	7	<i>b83r</i>	



Dreiecks-Helligkeit t^*		V_{Ma}	17.15	50.3	-59.04	77.57	310	Dreiecks-Helligkeit t^*
y001		M_{Ma}	40.37	75.64	32.5	85.48	337	86.77
								-5.17
								109.32
								104.44
								93
								j01
								178
								351
								32.71
								34.12
								88.18
								93.28
								185
								j01g

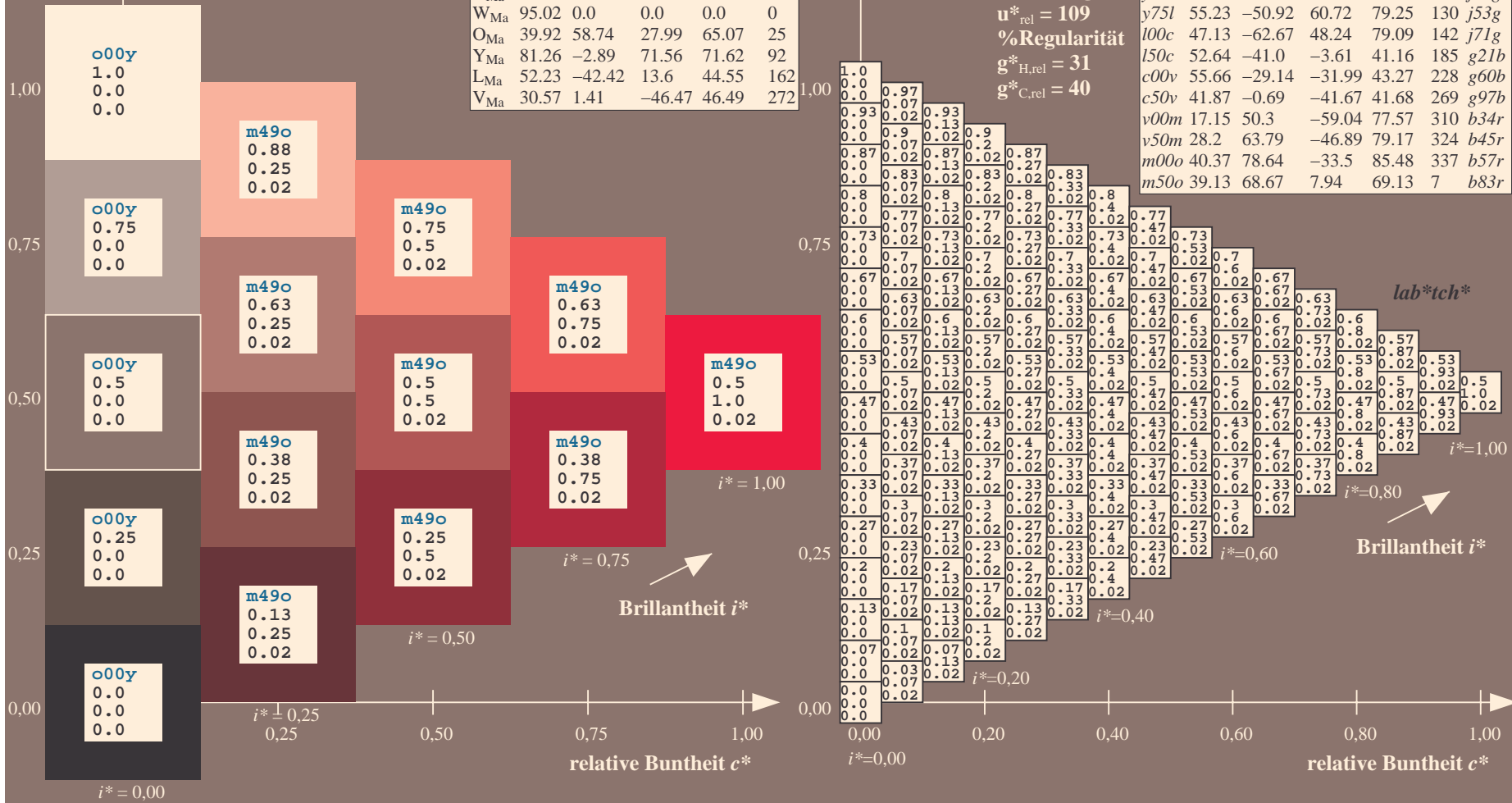
FRS12_95a; adaptierte CIELAB-Daten						
u^*_d	$L^*=L^*_a$	a^*_a	b^*_a	$C^*_{ab,a}$	$h^*_{ab,a}$	
O _{Ma}	38.06	60.0	44.0	74.4	36	
Y _{Ma}	86.77	-5.17	109.32	109.44	93	
L _{Ma}	47.13	-62.67	48.24	79.09	142	
C _{Ma}	55.66	-29.14	-31.99	43.27	228	
V _{Ma}	17.15	50.3	-59.04	77.57	310	
M _{Ma}	40.37	78.64	-33.5	85.48	337	
N _{Ma}	11.58	0.0	0.0	0.0	0	
W _{Ma}	95.02	0.0	0.0	0.0	0	
O _{Ma}	39.92	58.74	27.99	65.07	25	
Y _{Ma}	81.26	-2.89	71.56	71.62	92	
L _{Ma}	52.23	-42.42	13.6	44.55	162	
V _{Ma}	30.57	1.41	-46.47	46.49	272	

*lab*rgb*Ma: 1.0 0.0 0.3

9/11

$$\mathbf{g}_{\text{C,rel}}^* = 40$$

FRS12 95a; adaptierte CIELAB-Daten							
u^*_d	$L^*=L^*_a$	a^*_a	b^*_a	$C^*_{ab,a}$	$h^*_{ab,a}$	u^*_e	
<i>o00y</i>	38.06	60.0	44.0	74.4	36	<i>r16j</i>	
<i>o25y</i>	47.68	47.13	56.9	73.88	50	<i>r37j</i>	
<i>o50y</i>	57.77	33.62	70.44	78.05	64	<i>r58j</i>	
<i>o75y</i>	69.84	17.48	86.62	88.37	79	<i>r79j</i>	
<i>y00l</i>	86.77	-5.17	109.32	109.44	93	<i>j01g</i>	
<i>y25l</i>	73.71	-24.12	89.19	92.39	105	<i>j18g</i>	
<i>y50l</i>	63.76	-38.55	73.86	83.32	118	<i>j36g</i>	
<i>y75l</i>	55.23	-50.92	60.72	79.25	130	<i>j53g</i>	
<i>l00c</i>	47.13	-62.67	48.24	79.09	142	<i>j71g</i>	
<i>l50c</i>	52.64	-41.0	-3.61	41.16	185	<i>g21b</i>	
<i>c00v</i>	55.66	-29.14	-31.99	43.27	228	<i>g60b</i>	
<i>c50v</i>	41.87	-0.69	-41.67	41.68	269	<i>g97b</i>	
<i>v00m</i>	17.15	50.3	-59.04	77.57	310	<i>b34r</i>	
<i>v50m</i>	28.2	63.79	-46.89	79.17	324	<i>b45r</i>	
<i>m00o</i>	40.37	78.64	-33.5	85.48	337	<i>b57r</i>	
<i>m50o</i>	39.13	68.67	7.94	69.13	7	<i>b83r</i>	



[illegible]

Siehe ähnliche Dateien: <http://www.ps.bam.de/Fig62/>; www.ps.bam.de/Fig.HTM
Technische Information: <http://www.ps.bam.de> Version 2.1, io=1,1, CIELAB, ColSpx=0

Ein und Ausgabe:
Farbmetrisches Drucker-Reflektiv-System FRS12_95a
Daten für jede Farbe:

u^*_d und Nummer $Nr.$ = 00 .. 15

Geräte-Bunttontext:

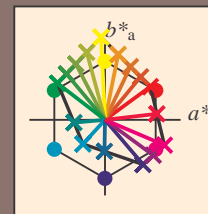
u^*_d = 16 Bunttoene $o00y$, $o25y$, ..., $m50o$

Kontrastreduzierungsfaktor:

$c_R = 1.0$

FRS12_95a; adaptierte CIELAB-Daten

u^*_d	$L^*=L^*_a$	a^*_a	b^*_a	$C^*_{ab,a}$	$h^*_{ab,a}$	u^*_e
$o00y$	38.06	60.0	44.0	74.4	36	$r16j$
$o25y$	47.68	47.13	56.9	73.88	50	$r37j$
$o50y$	57.77	33.62	70.44	78.05	64	$r58j$
$o75y$	69.84	17.48	86.62	88.37	79	$r79j$
$y00l$	86.77	-5.17	109.32	109.44	93	$j01g$
$y25l$	73.71	-24.12	89.19	92.39	105	$j18g$
$y50l$	63.76	-38.55	73.86	83.32	118	$j36g$
$y75l$	55.23	-50.92	60.72	79.25	130	$j53g$
$l00c$	47.13	-62.67	48.24	79.09	142	$j71g$
$l50c$	52.64	-41.0	-3.61	41.16	185	$g21b$
$c00v$	55.66	-29.14	-31.99	43.27	228	$g60b$
$c50v$	41.87	-0.69	-41.67	41.68	269	$g97b$
$v00m$	17.15	50.3	-59.04	77.57	310	$b34r$
$v50m$	28.2	63.79	-46.89	79.17	324	$b45r$
$m00o$	40.37	78.64	-33.5	85.48	337	$b57r$
$m50o$	39.13	68.67	7.94	69.13	7	$b83r$



%Umfang

$u^*_{rel} = 109$

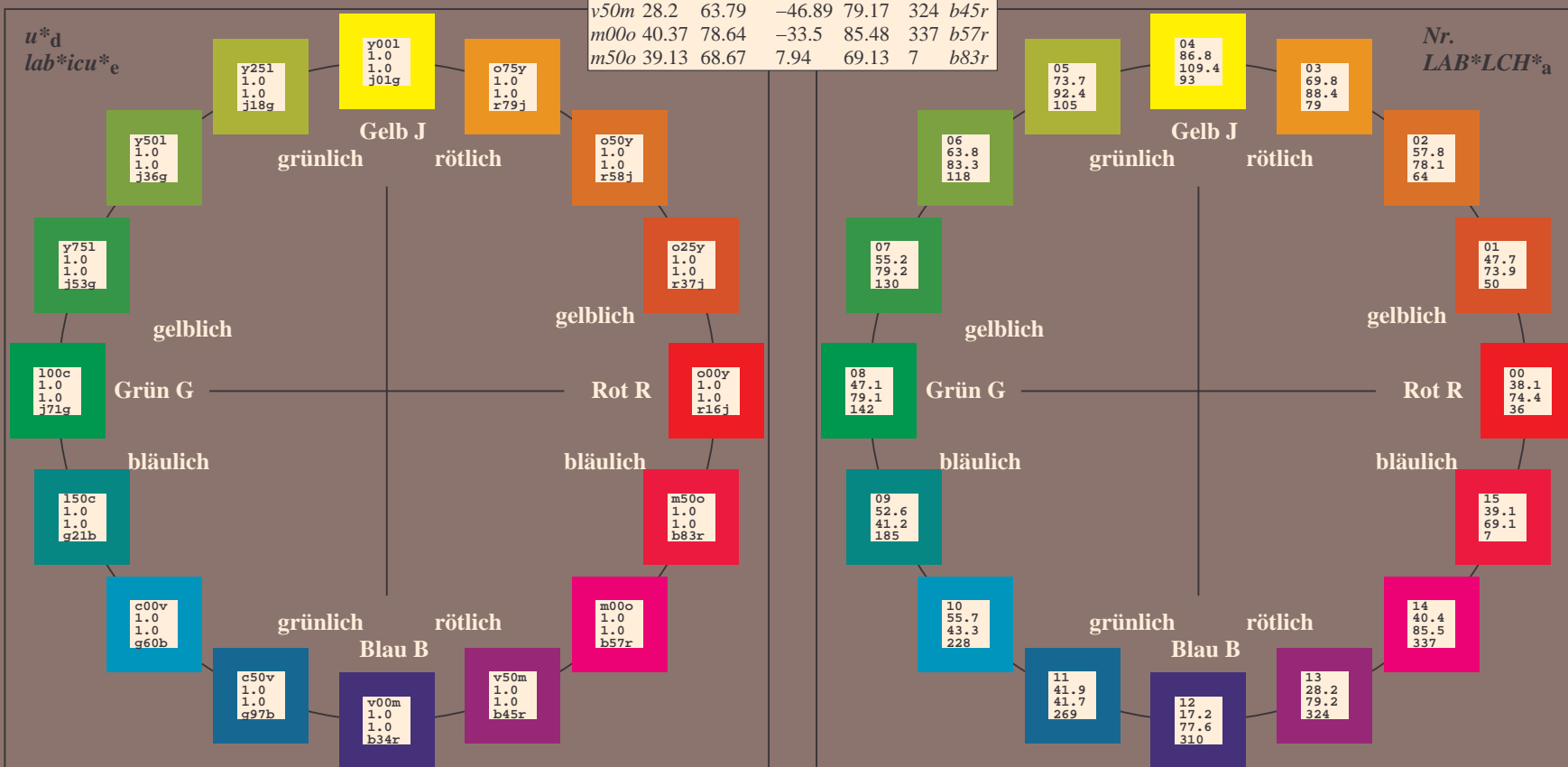
%Regularität

$g^*_{H,rel} = 31$

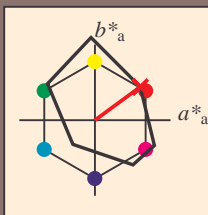
$g^*_{C,rel} = 40$

FRS12_95a; adaptierte CIELAB-Daten

Name	$L^*=L^*_a$	a^*_a	b^*_a	$C^*_{ab,a}$	$h^*_{ab,a}$
O_{Ma}	38.06	60.0	44.0	74.4	36
Y_{Ma}	86.77	-5.17	109.32	109.44	93
L_{Ma}	47.13	-62.67	48.24	79.09	142
C_{Ma}	55.66	-29.14	-31.99	43.27	228
V_{Ma}	17.15	50.3	-59.04	77.57	310
M_{Ma}	40.37	78.64	-33.5	85.48	337
N_{Ma}	11.58	0.0	0.0	0.0	0
W_{Ma}	95.02	0.0	0.0	0.0	0
O_{CIE}	39.92	58.74	27.99	65.07	25
Y_{CIE}	81.26	-2.89	71.56	71.62	92
L_{CIE}	52.23	-42.42	13.6	44.55	162
V_{CIE}	30.57	1.41	-46.47	46.49	272



Ein und Ausgabe: Farbmatisches Drucker-Reflektiv-System FRS12_95a, L*=12_95 für relativen CIELAB-Buntton $h^* = lab^*h^* = h_{ab}/360 = 0.101$ $u^*_d = o00y$
Daten für jede Farbe:
 lab^*ch^* und lab^*icu^*
Bunttontexte:
 $u^*_d = o00y$ $u^*_e = r16j$
Kontrastreduzierungsfaktor:
 $c_R = 1.0$
Dreiecks-Helligkeit i^*



FRS12_95a; adaptierte CIELAB-Daten						
u^*_d	$L^*=L^*_a$	a^*_a	b^*_a	$C^*_{ab,a}$	$h^*_{ab,a}$	
O _{Ma}	38.06	60.0	44.0	74.4	36	
Y _{Ma}	86.77	-5.17	109.32	109.44	93	
L _{Ma}	47.13	-62.67	48.24	79.09	142	
C _{Ma}	55.66	-29.14	-31.99	43.27	228	
V _{Ma}	17.15	50.3	-59.04	77.57	310	
M _{Ma}	40.37	78.64	-33.5	85.48	337	
N _{Ma}	11.58	0.0	0.0	0.0	0	
W _{Ma}	95.02	0.0	0.0	0.0	0	
O _{Ma}	39.92	58.74	27.99	65.07	25	
Y _{Ma}	81.26	-2.89	71.56	71.62	92	
L _{Ma}	52.23	-42.42	13.6	44.55	162	
V _{Ma}	30.57	1.41	-46.47	46.49	272	

Daten für Maximalfarbe (Ma):

$LAB^*LAB^*_{Ma}$: 38 60 44

$LAB^*LCH^*_{Ma}$: 38 74 36

$lab^*olv^*_{Ma}$: 1.0 0.0 0.0

$lab^*rgb^*_{Ma}$: 1.0 0.16 0.0

Dreiecks-Helligkeit i^*

%Umfang

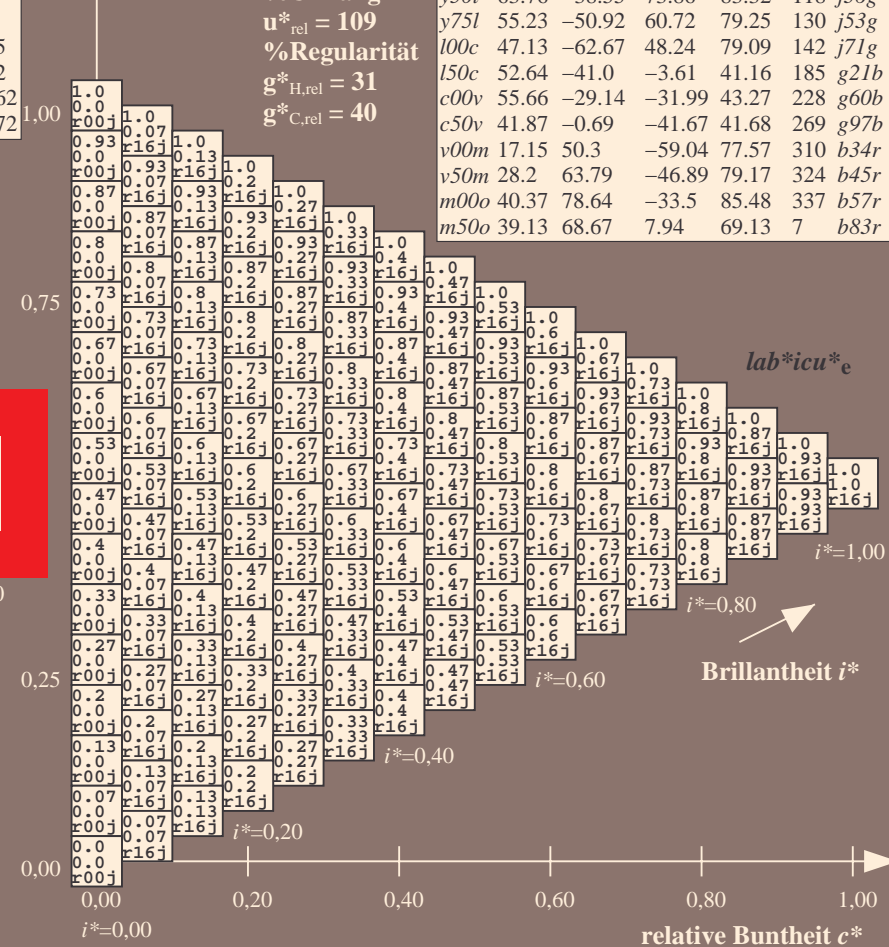
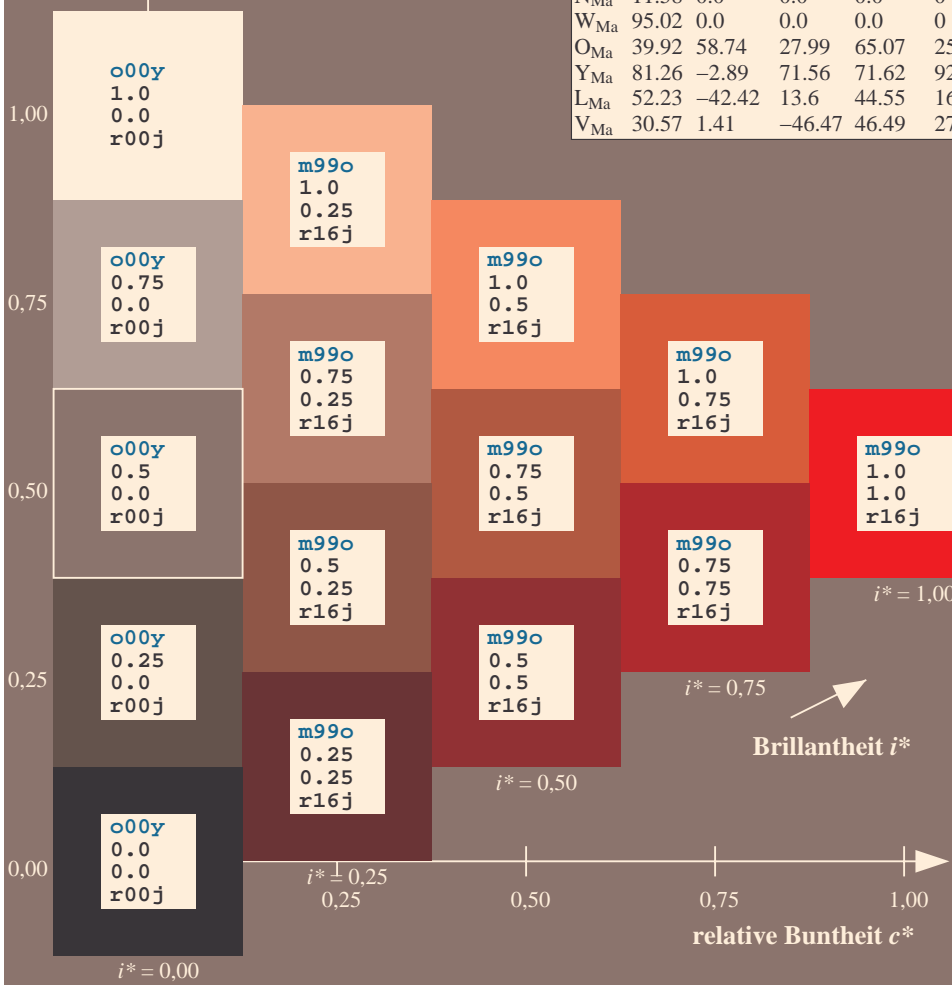
$u^*_{rel} = 109$

%Regularität

$g^*_{H,rel} = 31$

$g^*_{C,rel} = 40$

FRS12_95a; adaptierte CIELAB-Daten							
u^*_d	$L^*=L^*_a$	a^*_a	b^*_a	$C^*_{ab,a}$	$h^*_{ab,a}$	u^*_e	
$o00y$	38.06	60.0	44.0	74.4	36	$r16j$	
$o25y$	47.68	47.13	56.9	73.88	50	$r37j$	
$o50y$	57.77	33.62	70.44	78.05	64	$r58j$	
$o75y$	69.84	17.48	86.62	88.37	79	$r79j$	
$y00l$	86.77	-5.17	109.32	109.44	93	$j01g$	
$y25l$	73.71	-24.12	89.19	92.39	105	$j18g$	
$y50l$	63.76	-38.55	73.86	83.32	118	$j36g$	
$y75l$	55.23	-50.92	60.72	79.25	130	$j53g$	
$l00c$	47.13	-62.67	48.24	79.09	142	$j71g$	
$l50c$	52.64	-41.0	-3.61	41.16	185	$g21b$	
$c00v$	55.66	-29.14	-31.99	43.27	228	$g60b$	
$c50v$	41.87	-0.69	-41.67	41.68	269	$g97b$	
$v00m$	17.15	50.3	-59.04	77.57	310	$b34r$	
$v50m$	28.2	63.79	-46.89	79.17	324	$b45r$	
$m00o$	40.37	78.64	-33.5	85.48	337	$b57r$	
$m50o$	39.13	68.67	7.94	69.13	7	$b83r$	



Ein und Ausgabe: Farbmatisches Drucker-Reflektiv-System FRS12_95a, L*=12_95 für relativen CIELAB-Buntton $h^* = lab^*h^* = h_{ab}/360 = 0.14$

Daten für jede Farbe:

lab^*ch^* und lab^*icu^*

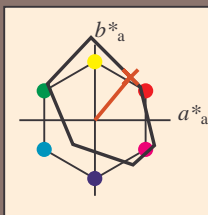
Bunttontexte:

$u^*_d = o25y$ $u^*_e = r37j$

Kontrastreduzierungsfaktor:

$c_R = 1.0$

Dreiecks-Helligkeit i^*



FRS12_95a; adaptierte CIELAB-Daten						
u^*_d	$L^*=L^*_a$	a^*_a	b^*_a	$C^*_{ab,a}$	$h^*_{ab,a}$	u^*_e
O _{Ma}	38.06	60.0	44.0	74.4	36	
Y _{Ma}	86.77	-5.17	109.32	109.44	93	
L _{Ma}	47.13	-62.67	48.24	79.09	142	
C _{Ma}	55.66	-29.14	-31.99	43.27	228	
V _{Ma}	17.15	50.3	-59.04	77.57	310	
M _{Ma}	40.37	78.64	-33.5	85.48	337	
N _{Ma}	11.58	0.0	0.0	0.0	0	
W _{Ma}	95.02	0.0	0.0	0.0	0	
O _{Ma}	39.92	58.74	27.99	65.07	25	
Y _{Ma}	81.26	-2.89	71.56	71.62	92	
L _{Ma}	52.23	-42.42	13.6	44.55	162	
V _{Ma}	30.57	1.41	-46.47	46.49	272	

Daten für Maximalfarbe (Ma):

$LAB^*LAB^*_{Ma}$: 48 47 57

$LAB^*LCH^*_{Ma}$: 48 74 50

$lab^*olv^*_{Ma}$: 1.0 0.25 0.0

$lab^*rgb^*_{Ma}$: 1.0 0.37 0.0

Dreiecks-Helligkeit i^*

%Umfang

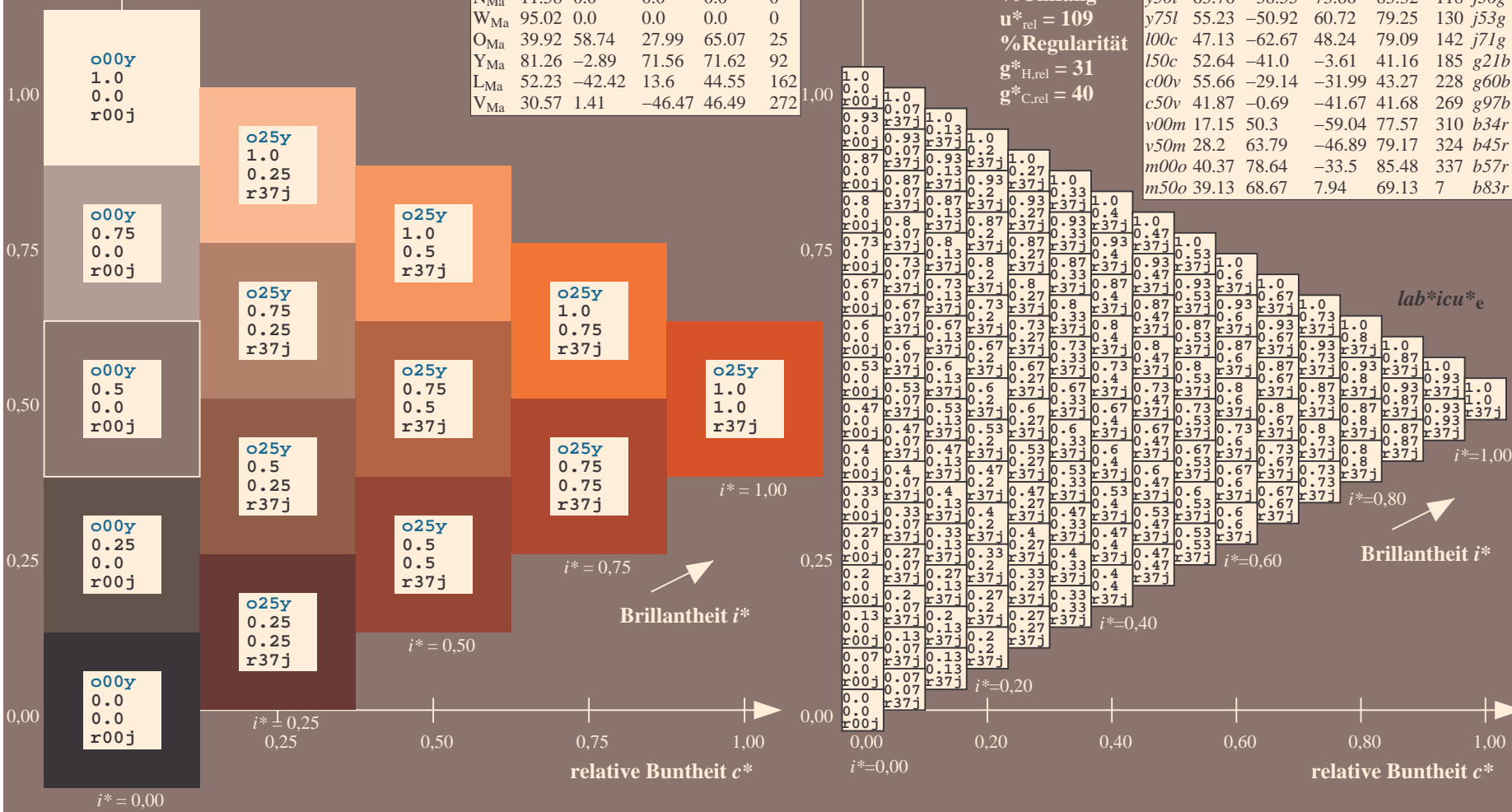
$u^*_{rel} = 109$

%Regularität

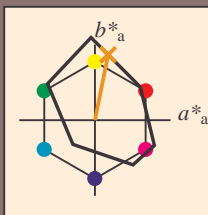
$g^*_{H,rel} = 31$

$g^*_{C,rel} = 40$

FRS12_95a; adaptierte CIELAB-Daten						
u^*_d	$L^*=L^*_a$	a^*_a	b^*_a	$C^*_{ab,a}$	$h^*_{ab,a}$	u^*_e
o00y	38.06	60.0	44.0	74.4	36	r16j
o25y	47.68	47.13	56.9	73.88	50	r37j
o50y	57.77	33.62	70.44	78.05	64	r58j
o75y	69.84	17.48	86.62	88.37	79	r79j
y00l	86.77	-5.17	109.32	109.44	93	j01g
y25l	73.71	-24.12	89.19	92.39	105	j18g
y50l	63.76	-38.55	73.86	83.32	118	j36g
y75l	55.23	-50.92	60.72	79.25	130	j53g
l00c	47.13	-62.67	48.24	79.09	142	j71g
l50c	52.64	-41.0	-3.61	41.16	185	g21b
c00v	55.66	-29.14	-31.99	43.27	228	g60b
c50v	41.87	-0.69	-41.67	41.68	269	g97b
v00m	17.15	50.3	-59.04	77.57	310	b34r
v50m	28.2	63.79	-46.89	79.17	324	b45r
m00o	40.37	78.64	-33.5	85.48	337	b57r
m50o	39.13	68.67	7.94	69.13	7	b83r



Ein und Ausgabe: Farbmatisches Drucker-Reflektiv-System FRS12_95a, L*=12_95 für relativen CIELAB-Buntton $h^* = lab^*h^* = h_{ab}/360 = 0.218$ $u^*_d = o75y$
Daten für jede Farbe:
 lab^*ch^* und lab^*icu^*
Bunttontexte:
 $u^*_d = o75y$ $u^*_e = r79j$
Kontrastreduzierungsfaktor:
 $c_R = 1.0$
Dreiecks-Helligkeit i^*



FRS12_95a; adaptierte CIELAB-Daten						
u^*_d	$L^*=L^*_a$	a^*_a	b^*_a	$C^*_{ab,a}$	$h^*_{ab,a}$	u^*_e
O _{Ma}	38.06	60.0	44.0	74.4	36	
Y _{Ma}	86.77	-5.17	109.32	109.44	93	
L _{Ma}	47.13	-62.67	48.24	79.09	142	
C _{Ma}	55.66	-29.14	-31.99	43.27	228	
V _{Ma}	17.15	50.3	-59.04	77.57	310	
M _{Ma}	40.37	78.64	-33.5	85.48	337	
N _{Ma}	11.58	0.0	0.0	0.0	0	
W _{Ma}	95.02	0.0	0.0	0.0	0	
O _{Ma}	39.92	58.74	27.99	65.07	25	
Y _{Ma}	81.26	-2.89	71.56	71.62	92	
L _{Ma}	52.23	-42.42	13.6	44.55	162	
V _{Ma}	30.57	1.41	-46.47	46.49	272	

Daten für Maximalfarbe (Ma):

LAB^*LAB^*Ma : 70 17 87

LAB^*LCH^*Ma : 70 88 78

lab^*olv^*Ma : 1.0 0.75 0.0

lab^*rgb^*Ma : 1.0 0.79 0.0

Dreiecks-Helligkeit i^*

%Umfang

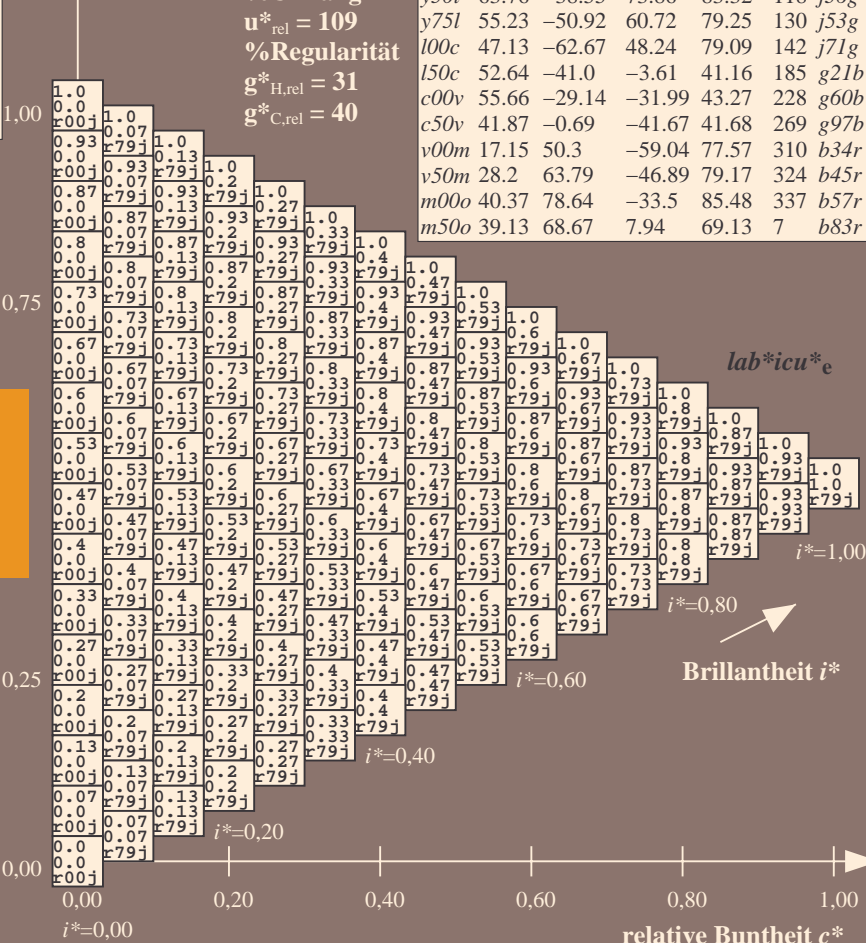
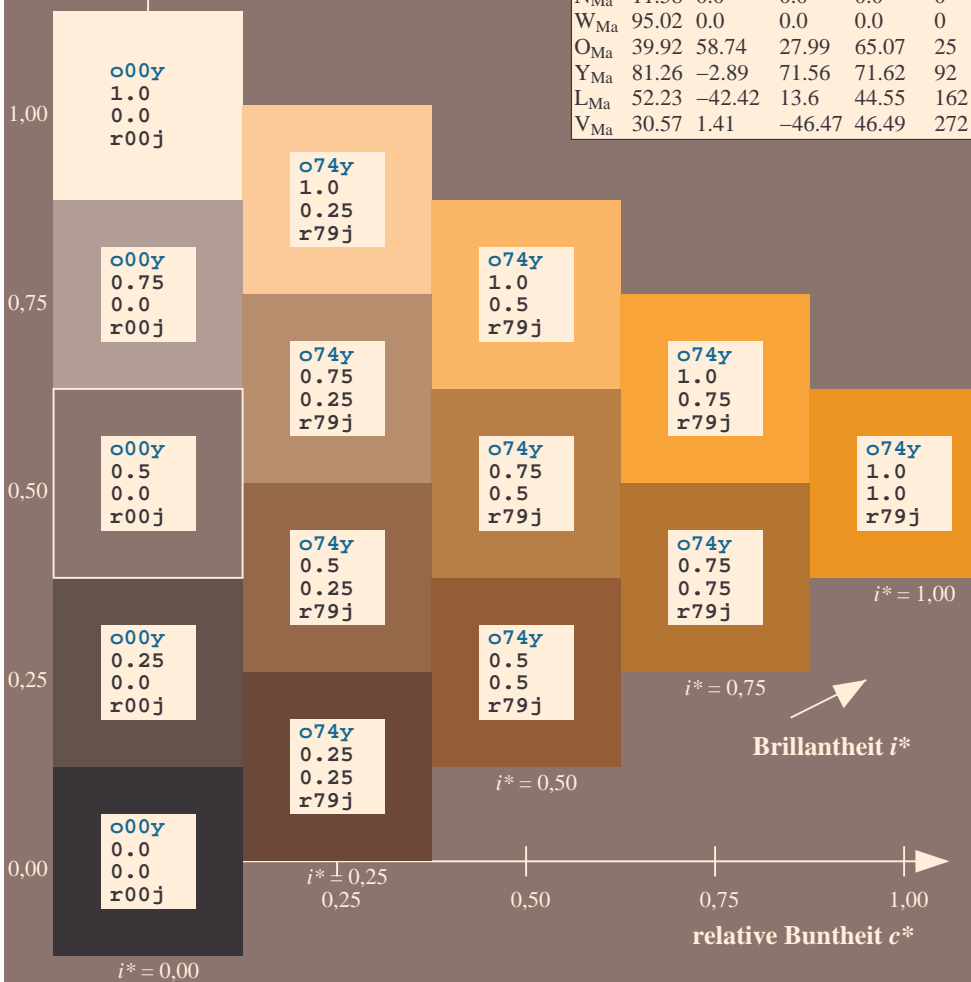
$u^*_{rel} = 109$

%Regularität

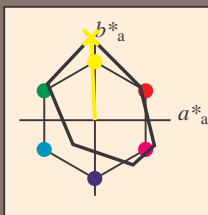
$g^*_{H,rel} = 31$

$g^*_{C,rel} = 40$

FRS12_95a; adaptierte CIELAB-Daten						
u^*_d	$L^*=L^*_a$	a^*_a	b^*_a	$C^*_{ab,a}$	$h^*_{ab,a}$	u^*_e
o00y	38.06	60.0	44.0	74.4	36	r16j
o25y	47.68	47.13	56.9	73.88	50	r37j
o50y	57.77	33.62	70.44	78.05	64	r58j
o75y	69.84	17.48	86.62	88.37	79	r79j
y00l	86.77	-5.17	109.32	109.44	93	j01g
y25l	73.71	-24.12	89.19	92.39	105	j18g
y50l	63.76	-38.55	73.86	83.32	118	j36g
y75l	55.23	-50.92	60.72	79.25	130	j53g
l00c	47.13	-62.67	48.24	79.09	142	j71g
l50c	52.64	-41.0	-3.61	41.16	185	g21b
c00v	55.66	-29.14	-31.99	43.27	228	g60b
c50v	41.87	-0.69	-41.67	41.68	269	g97b
v00m	17.15	50.3	-59.04	77.57	310	b34r
v50m	28.2	63.79	-46.89	79.17	324	b45r
m00o	40.37	78.64	-33.5	85.48	337	b57r
m50o	39.13	68.67	7.94	69.13	7	b83r



Ein und Ausgabe: Farbmetrisches Drucker-Reflektiv-System FRS12_95a, L*=12_95 für relativen CIELAB-Buntton $h^* = lab^*h^* = h_{ab}/360 = 0.258$ $u^*_d = y00l$
Daten für jede Farbe:
 lab^*tch^* und lab^*icu^*
Bunttontexte:
 $u^*_d = y00l$ $u^*_e = j01g$
Kontrastreduzierungsfaktor:
 $c_R = 1.0$
Dreiecks-Helligkeit i^*



FRS12_95a; adaptierte CIELAB-Daten						
u^*_d	$L^*=L^*_a$	a^*_a	b^*_a	$C^*_{ab,a}$	$h^*_{ab,a}$	
O _{Ma}	38.06	60.0	44.0	74.4	36	
Y _{Ma}	86.77	-5.17	109.32	109.44	93	
L _{Ma}	47.13	-62.67	48.24	79.09	142	
C _{Ma}	55.66	-29.14	-31.99	43.27	228	
V _{Ma}	17.15	50.3	-59.04	77.57	310	
M _{Ma}	40.37	78.64	-33.5	85.48	337	
N _{Ma}	11.58	0.0	0.0	0.0	0	
W _{Ma}	95.02	0.0	0.0	0.0	0	
O _{Ma}	39.92	58.74	27.99	65.07	25	
Y _{Ma}	81.26	-2.89	71.56	71.62	92	
L _{Ma}	52.23	-42.42	13.6	44.55	162	
V _{Ma}	30.57	1.41	-46.47	46.49	272	

Daten für Maximalfarbe (Ma):

$LAB^*LAB^*_{Ma}$: 87 -5 109

$LAB^*LCH^*_{Ma}$: 87 109 92

$lab^*olv^*_{Ma}$: 1.0 1.0 0.0

$lab^*rgb^*_{Ma}$: 0.99 1.0 0.0

Dreiecks-Helligkeit i^*

%Umfang

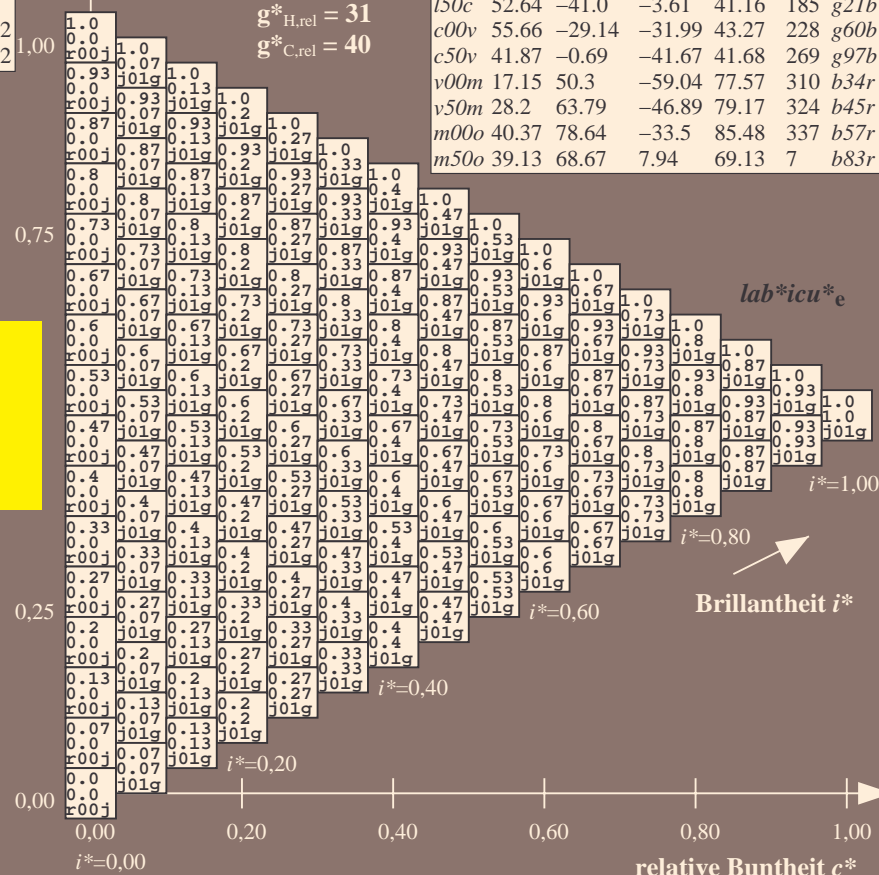
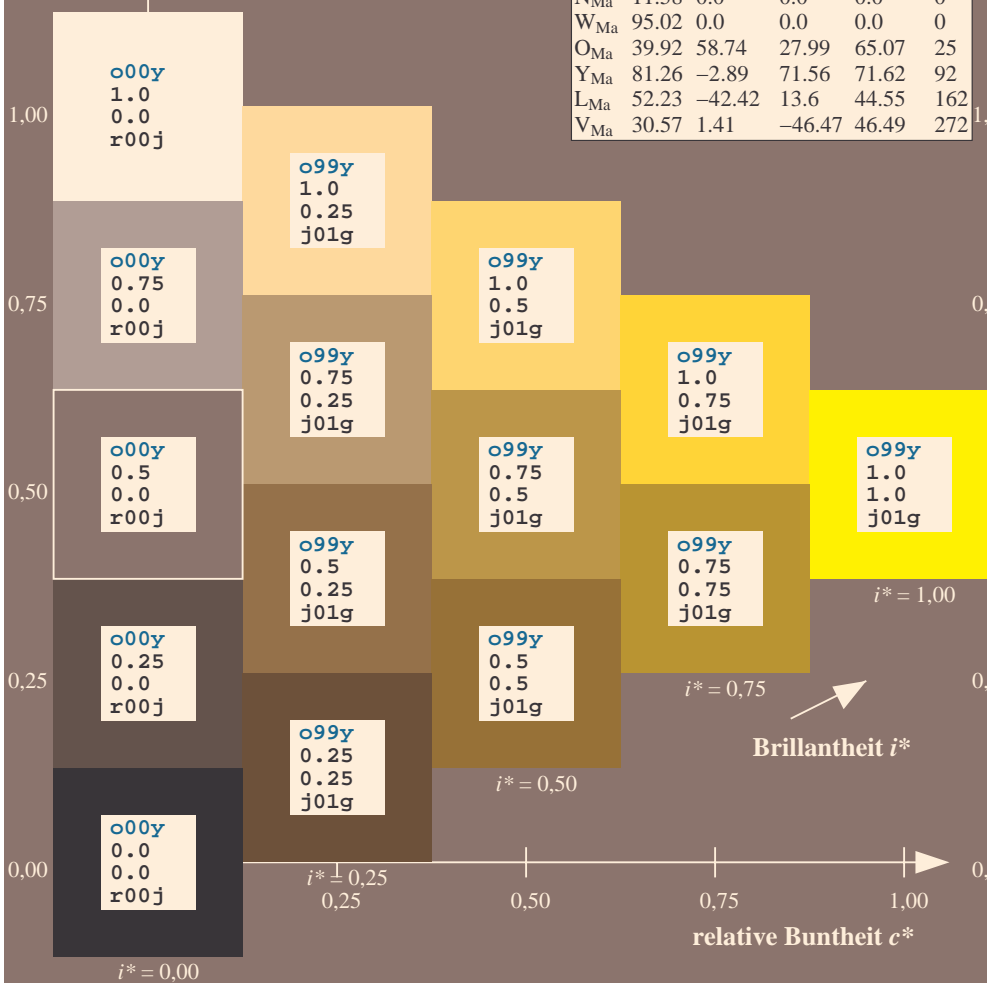
$u^*_{rel} = 109$

%Regularität

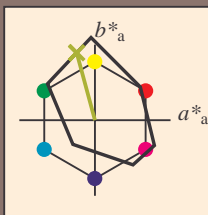
$g^*_{H,rel} = 31$

$g^*_{C,rel} = 40$

FRS12_95a; adaptierte CIELAB-Daten						
u^*_d	$L^*=L^*_a$	a^*_a	b^*_a	$C^*_{ab,a}$	$h^*_{ab,a}$	u^*_e
o00y	38.06	60.0	44.0	74.4	36	r16j
o25y	47.68	47.13	56.9	73.88	50	r37j
o50y	57.77	33.62	70.44	78.05	64	r58j
o75y	69.84	17.48	86.62	88.37	79	r79j
y00l	86.77	-5.17	109.32	109.44	93	j01g
y25l	73.71	-24.12	89.19	92.39	105	j18g
y50l	63.76	-38.55	73.86	83.32	118	j36g
y75l	55.23	-50.92	60.72	79.25	130	j53g
l00c	47.13	-62.67	48.24	79.09	142	j71g
l50c	52.64	-41.0	-3.61	41.16	185	g21b
c00v	55.66	-29.14	-31.99	43.27	228	g60b
c50v	41.87	-0.69	-41.67	41.68	269	g97b
v00m	17.15	50.3	-59.04	77.57	310	b34r
v50m	28.2	63.79	-46.89	79.17	324	b45r
m00o	40.37	78.64	-33.5	85.48	337	b57r
m50o	39.13	68.67	7.94	69.13	7	b83r



Ein und Ausgabe: Farbmatisches Drucker-Reflektiv-System FRS12_95a, L*=12_95 für relativen CIELAB-Buntton $h^* = lab^*h^* = h_{ab}/360 = 0.292$ $u^*_d = y25l$
Daten für jede Farbe:
 lab^*ch^* und lab^*icu^*
Bunttontexte:
 $u^*_d = y25l$ $u^*_e = j18g$
Kontrastreduzierungsfaktor:
 $c_R = 1.0$
Dreiecks-Helligkeit i^*



FRS12_95a; adaptierte CIELAB-Daten						
u^*_d	$L^*=L^*_a$	a^*_a	b^*_a	$C^*_{ab,a}$	$h^*_{ab,a}$	u^*_e
O _{Ma}	38.06	60.0	44.0	74.4	36	r16j
Y _{Ma}	86.77	-5.17	109.32	109.44	93	r37j
L _{Ma}	47.13	-62.67	48.24	79.09	142	r58j
C _{Ma}	55.66	-29.14	-31.99	43.27	228	r79j
V _{Ma}	17.15	50.3	-59.04	77.57	310	j01g
M _{Ma}	40.37	78.64	-33.5	85.48	337	j18g
N _{Ma}	11.58	0.0	0.0	0.0	0	j36g
W _{Ma}	95.02	0.0	0.0	0.0	0	j53g
O _{Ma}	39.92	58.74	27.99	65.07	25	j71g
Y _{Ma}	81.26	-2.89	71.56	71.62	92	g21b
L _{Ma}	52.23	-42.42	13.6	44.55	162	g60b
V _{Ma}	30.57	1.41	-46.47	46.49	272	g97b

Daten für Maximalfarbe (Ma):

$LAB^*LAB^*_{Ma}$: 74 -24 89

$LAB^*LCH^*_{Ma}$: 74 92 105

$lab^*olv^*_{Ma}$: 0.75 1.0 0.0

$lab^*rgb^*_{Ma}$: 0.82 1.0 0.0

Dreiecks-Helligkeit i^*

%Umfang

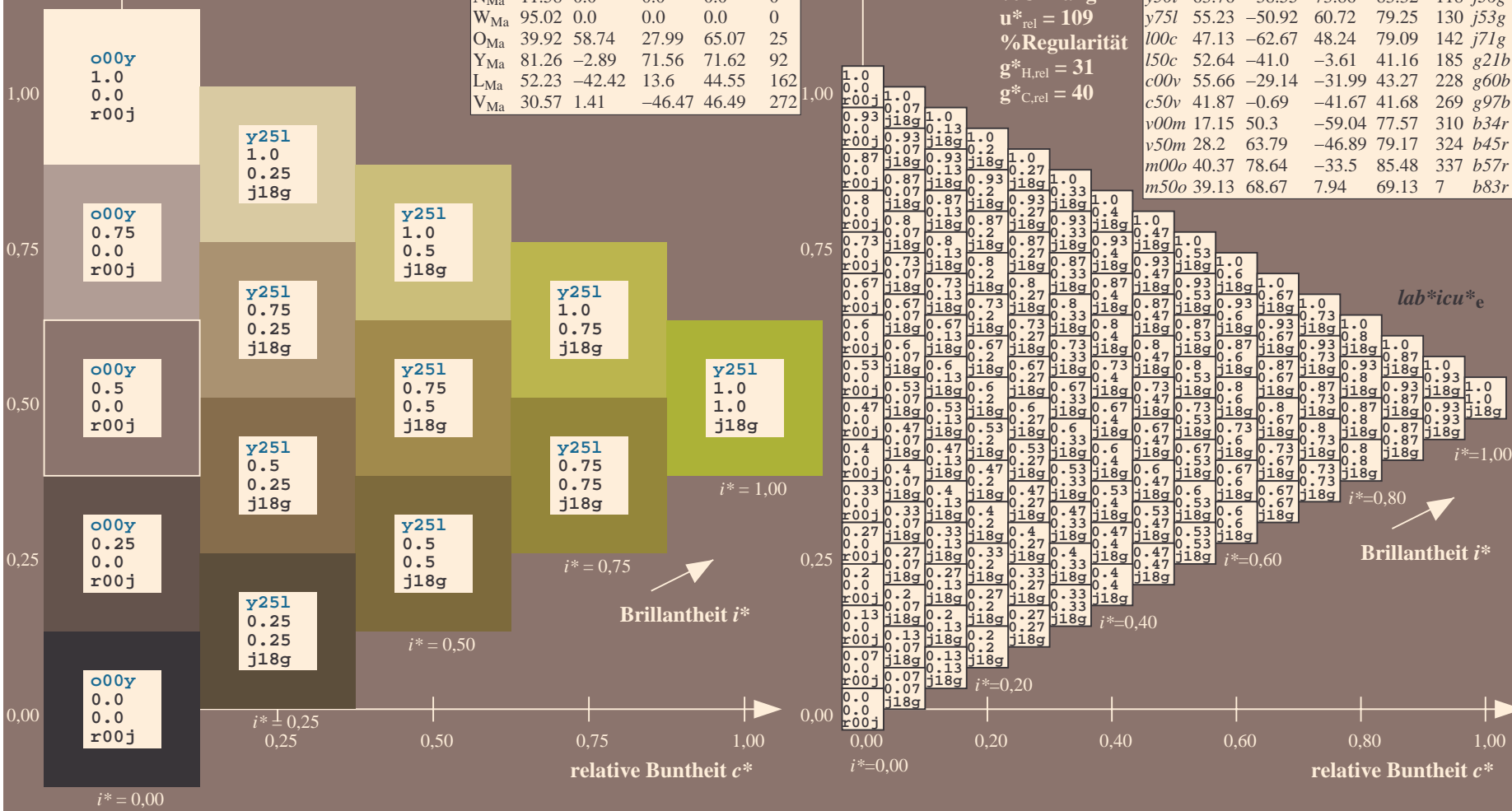
$u^*_{rel} = 109$

%Regularität

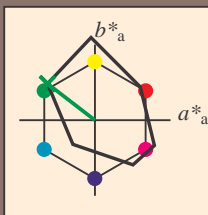
$g^*_{H,rel} = 31$

$g^*_{C,rel} = 40$

FRS12_95a; adaptierte CIELAB-Daten						
u^*_d	$L^*=L^*_a$	a^*_a	b^*_a	$C^*_{ab,a}$	$h^*_{ab,a}$	u^*_e
o00y	38.06	60.0	44.0	74.4	36	r16j
o25y	47.68	47.13	56.9	73.86	50	r37j
o50y	57.77	33.62	70.44	78.05	64	r58j
o75y	69.84	17.48	86.62	88.37	79	r79j
y00l	86.77	-5.17	109.32	109.44	93	j01g
y25l	73.71	-24.12	89.19	92.39	105	j18g
y50l	63.76	-38.55	73.86	83.32	118	j36g
y75l	55.23	-50.92	60.72	79.25	130	j53g
l00c	47.13	-62.67	48.24	79.09	142	j71g
l50c	52.64	-41.0	-3.61	41.16	185	g21b
c00v	55.66	-29.14	-31.99	43.27	228	g60b
c50v	41.87	-0.69	-41.67	41.68	269	g97b
v00m	17.15	50.3	-59.04	77.57	310	b34r
v50m	28.2	63.79	-46.89	79.17	324	b45r
m00o	40.37	78.64	-33.5	85.48	337	b57r
m50o	39.13	68.67	7.94	69.13	7	b83r



Ein und Ausgabe: Farbmetrisches Drucker-Reflektiv-System FRS12_95a, L*=12_95 für relativen CIELAB-Buntton $h^* = lab^*h^* = h_{ab}/360 = 0.396$ $u^*_d = 100c$
Daten für jede Farbe:
 lab^*ch^* und lab^*icu^*
Bunttontexte:
 $u^*_d = 100c$ $u^*_e = j71g$
Kontrastreduzierungsfaktor:
 $c_R = 1.0$
Dreiecks-Helligkeit i^*



FRS12_95a; adaptierte CIELAB-Daten						
u^*_d	$L^*=L^*_a$	a^*_a	b^*_a	$C^*_{ab,a}$	$h^*_{ab,a}$	u^*_e
O _{Ma}	38.06	60.0	44.0	74.4	36	r16j
Y _{Ma}	86.77	-5.17	109.32	109.44	93	r37j
L _{Ma}	47.13	-62.67	48.24	79.09	142	r58j
C _{Ma}	55.66	-29.14	-31.99	43.27	228	r79j
V _{Ma}	17.15	50.3	-59.04	77.57	310	j01g
M _{Ma}	40.37	78.64	-33.5	85.48	337	j18g
N _{Ma}	11.58	0.0	0.0	0.0	0	j36g
W _{Ma}	95.02	0.0	0.0	0.0	0	j53g
O _{Ma}	39.92	58.74	27.99	65.07	25	j71g
Y _{Ma}	81.26	-2.89	71.56	71.62	92	g21b
L _{Ma}	52.23	-42.42	13.6	44.55	162	g60b
V _{Ma}	30.57	1.41	-46.47	46.49	272	g97b

Daten für Maximalfarbe (Ma):

$LAB^*LAB^*_{Ma}$: 47 -63 48

$LAB^*LCH^*_{Ma}$: 47 79 142

$lab^*olv^*_{Ma}$: 0.0 1.0 0.0

$lab^*rgb^*_{Ma}$: 0.28 1.0 0.0

Dreiecks-Helligkeit i^*

%Umfang

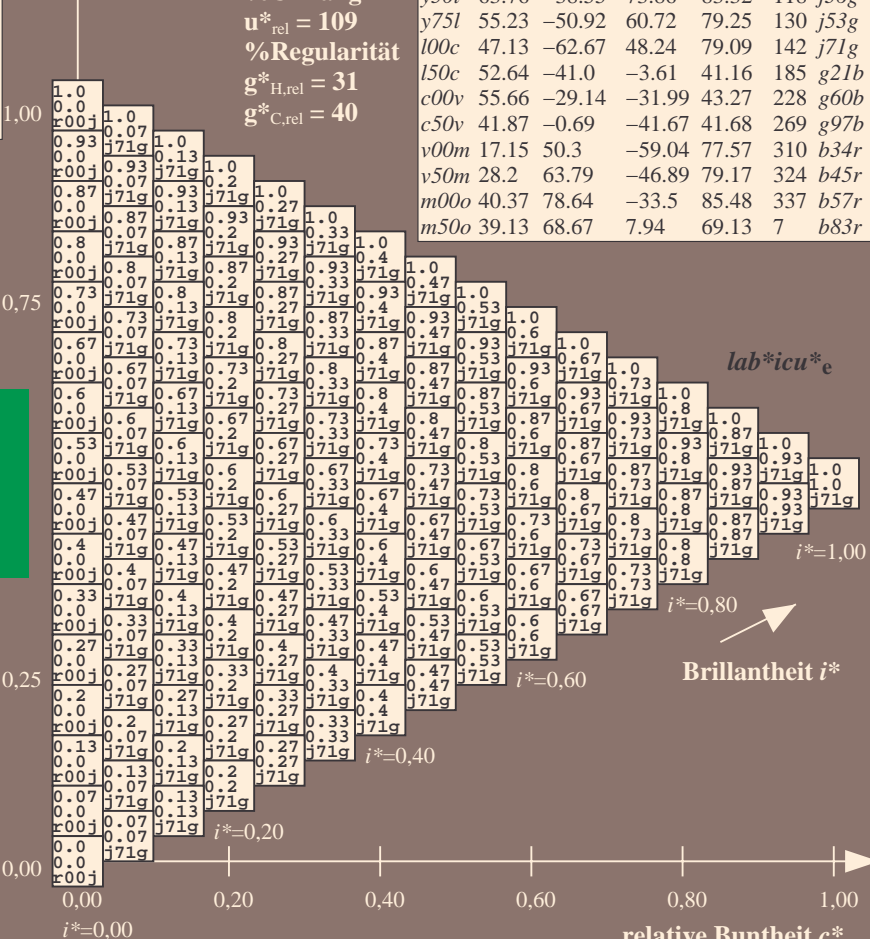
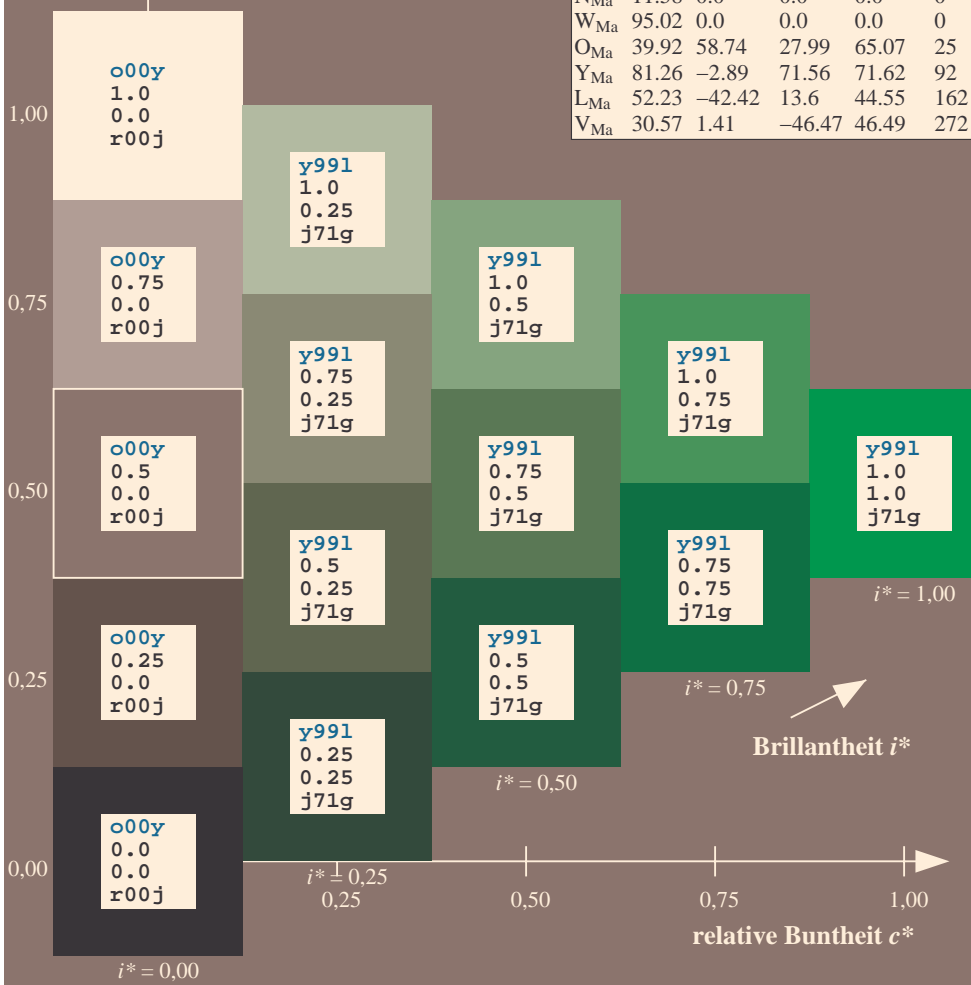
$u^*_{rel} = 109$

%Regularität

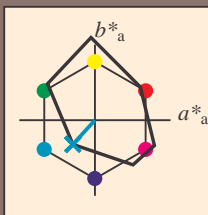
$g^*_{H,rel} = 31$

$g^*_{C,rel} = 40$

FRS12_95a; adaptierte CIELAB-Daten						
u^*_d	$L^*=L^*_a$	a^*_a	b^*_a	$C^*_{ab,a}$	$h^*_{ab,a}$	u^*_e
o00y	38.06	60.0	44.0	74.4	36	r16j
o25y	47.68	47.13	56.9	73.88	50	r37j
o50y	57.77	33.62	70.44	78.05	64	r58j
o75y	69.84	17.48	86.62	88.37	79	r79j
y00l	86.77	-5.17	109.32	109.44	93	j01g
y25l	73.71	-24.12	89.19	92.39	105	j18g
y50l	63.76	-38.55	73.86	83.32	118	j36g
y75l	55.23	-50.92	60.72	79.25	130	j53g
l00c	47.13	-62.67	48.24	79.09	142	j71g
l50c	52.64	-41.0	-3.61	41.16	185	g21b
c00v	55.66	-29.14	-31.99	43.27	228	g60b
c50v	41.87	-0.69	-41.67	41.68	269	g97b
v00m	17.15	50.3	-59.04	77.57	310	b34r
v50m	28.2	63.79	-46.89	79.17	324	b45r
m00o	40.37	78.64	-33.5	85.48	337	b57r
m50o	39.13	68.67	7.94	69.13	7	b83r



Ein und Ausgabe: Farbmatisches Drucker-Reflektiv-System FRS12_95a, L*=12_95 für relativen CIELAB-Buntton $h^* = lab^*h^* = h_{ab}/360 = 0.632$ $u^*_d = c00v$
Daten für jede Farbe:
 lab^*ch^* und lab^*icu^*
Bunttontexte:
 $u^*_d = c00v$ $u^*_e = g60b$
Kontrastreduzierungsfaktor:
 $c_R = 1.0$
Dreiecks-Helligkeit i^*



FRS12_95a; adaptierte CIELAB-Daten						
u^*_d	$L^*=L^*_a$	a^*_a	b^*_a	$C^*_{ab,a}$	$h^*_{ab,a}$	u^*_e
O _{Ma}	38.06	60.0	44.0	74.4	36	
Y _{Ma}	86.77	-5.17	109.32	109.44	93	
L _{Ma}	47.13	-62.67	48.24	79.09	142	
C _{Ma}	55.66	-29.14	-31.99	43.27	228	
V _{Ma}	17.15	50.3	-59.04	77.57	310	
M _{Ma}	40.37	78.64	-33.5	85.48	337	
N _{Ma}	11.58	0.0	0.0	0.0	0	
W _{Ma}	95.02	0.0	0.0	0.0	0	
O _{Ma}	39.92	58.74	27.99	65.07	25	
Y _{Ma}	81.26	-2.89	71.56	71.62	92	
L _{Ma}	52.23	-42.42	13.6	44.55	162	
V _{Ma}	30.57	1.41	-46.47	46.49	272	

Daten für Maximalfarbe (Ma):

$LAB^*LAB^*_{Ma}$: 56 -29 -32

$LAB^*LCH^*_{Ma}$: 56 43 227

$lab^*olv^*_{Ma}$: 0.0 1.0 1.0

$lab^*rgb^*_{Ma}$: 0.0 0.8 1.0

Dreiecks-Helligkeit i^*

%Umfang

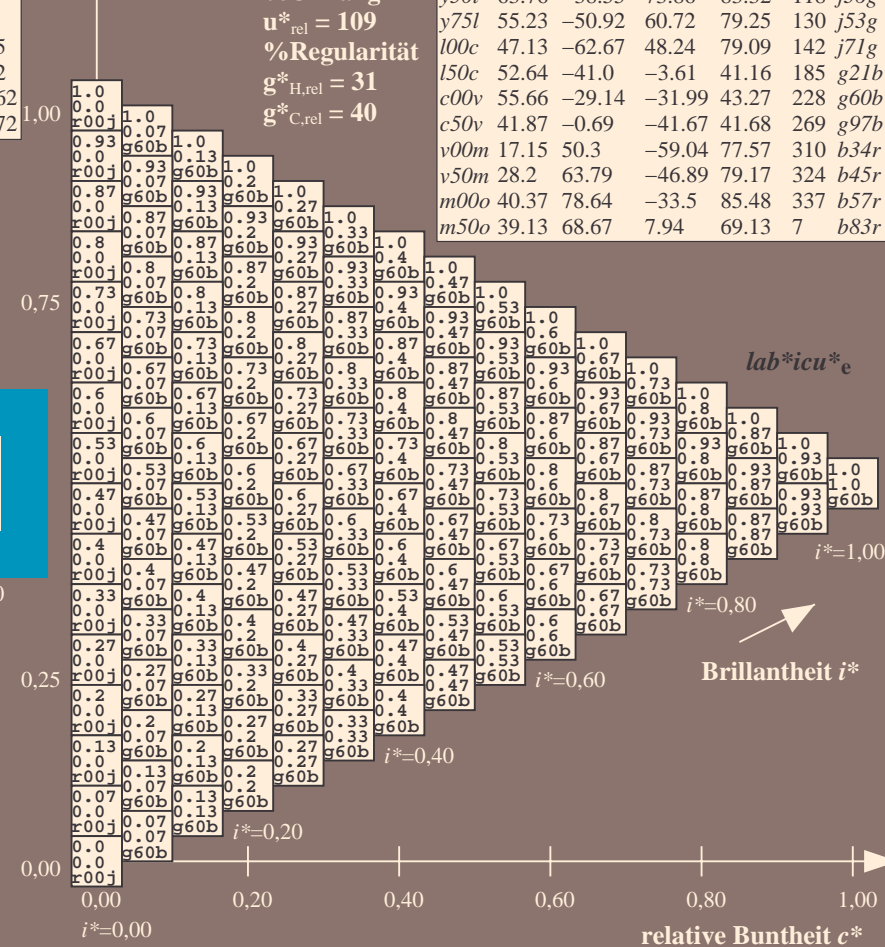
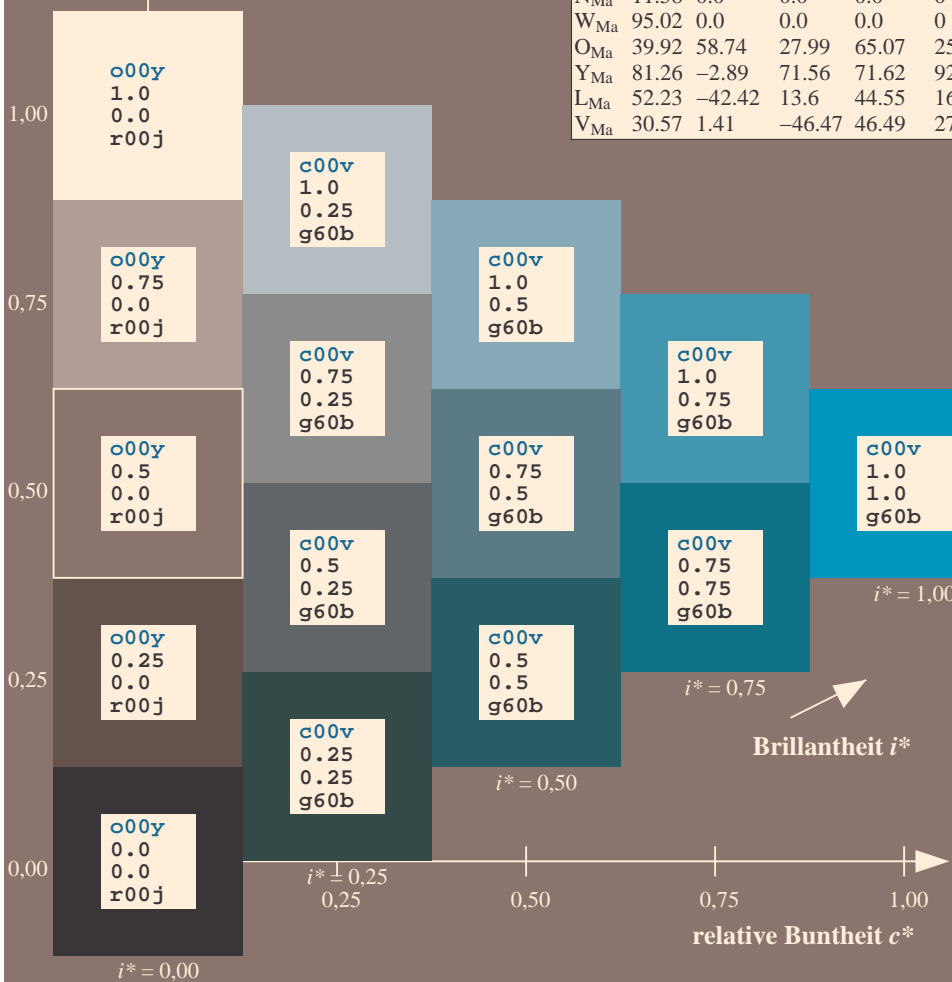
$u^*_{rel} = 109$

%Regularität

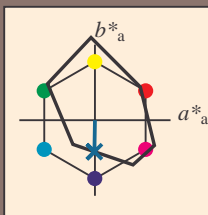
$g^*_{H,rel} = 31$

$g^*_{C,rel} = 40$

FRS12_95a; adaptierte CIELAB-Daten						
u^*_d	$L^*=L^*_a$	a^*_a	b^*_a	$C^*_{ab,a}$	$h^*_{ab,a}$	u^*_e
o00y	38.06	60.0	44.0	74.4	36	r16j
o25y	47.68	47.13	56.9	73.88	50	r37j
o50y	57.77	33.62	70.44	78.05	64	r58j
o75y	69.84	17.48	86.62	88.37	79	r79j
y00l	86.77	-5.17	109.32	109.44	93	j01g
y25l	73.71	-24.12	89.19	92.39	105	j18g
y50l	63.76	-38.55	73.86	83.32	118	j36g
y75l	55.23	-50.92	60.72	79.25	130	j53g
l00c	47.13	-62.67	48.24	79.09	142	j71g
l50c	52.64	-41.0	-3.61	41.16	185	g21b
c00v	55.66	-29.14	-31.99	43.27	228	g60b
c50v	41.87	-0.69	-41.67	41.68	269	g97b
v00m	17.15	50.3	-59.04	77.57	310	b34r
v50m	28.2	63.79	-46.89	79.17	324	b45r
m00o	40.37	78.64	-33.5	85.48	337	b57r
m50o	39.13	68.67	7.94	69.13	7	b83r



Ein und Ausgabe: Farbmetrisches Drucker-Reflektiv-System FRS12_95a, L*=12_95 für relativen CIELAB-Buntton $h^* = lab^*h^* = h_{ab}/360 = 0.747$ $u^*_d = c50v$
Daten für jede Farbe:
 lab^*ch^* und lab^*icu^*
Bunttontexte:
 $u^*_d = c50v$ $u^*_e = g97b$
Kontrastreduzierungsfaktor:
 $c_R = 1.0$
Dreiecks-Helligkeit i^*



FRS12_95a; adaptierte CIELAB-Daten						
u^*_d	$L^*=L^*_a$	a^*_a	b^*_a	$C^*_{ab,a}$	$h^*_{ab,a}$	u^*_e
O _{Ma}	38.06	60.0	44.0	74.4	36	
Y _{Ma}	86.77	-5.17	109.32	109.44	93	
L _{Ma}	47.13	-62.67	48.24	79.09	142	
C _{Ma}	55.66	-29.14	-31.99	43.27	228	
V _{Ma}	17.15	50.3	-59.04	77.57	310	
M _{Ma}	40.37	78.64	-33.5	85.48	337	
N _{Ma}	11.58	0.0	0.0	0.0	0	
W _{Ma}	95.02	0.0	0.0	0.0	0	
O _{Ma}	39.92	58.74	27.99	65.07	25	
Y _{Ma}	81.26	-2.89	71.56	71.62	92	
L _{Ma}	52.23	-42.42	13.6	44.55	162	
V _{Ma}	30.57	1.41	-46.47	46.49	272	

Daten für Maximalfarbe (Ma):

$LAB^*LAB^*_{Ma}$: 42 -1 -42

$LAB^*LCH^*_{Ma}$: 42 42 269

$lab^*olv^*_{Ma}$: 0.0 0.5 1.0

$lab^*rgb^*_{Ma}$: 0.0 0.05 1.0

Dreiecks-Helligkeit i^*

%Umfang

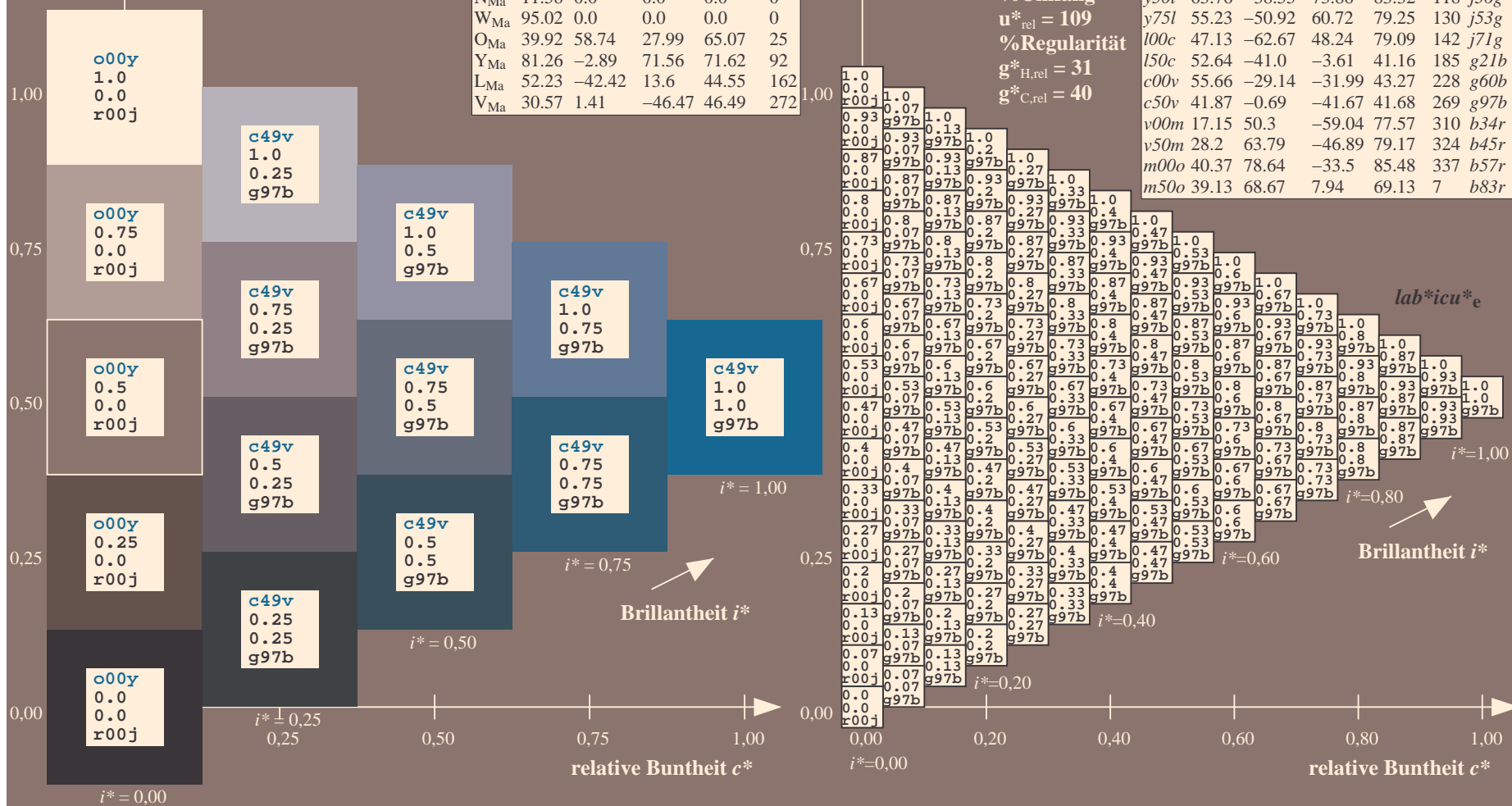
$u^*_{rel} = 109$

%Regularität

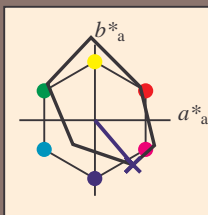
$g^*_{H,rel} = 31$

$g^*_{C,rel} = 40$

FRS12_95a; adaptierte CIELAB-Daten						
u^*_d	$L^*=L^*_a$	a^*_a	b^*_a	$C^*_{ab,a}$	$h^*_{ab,a}$	u^*_e
o00y	38.06	60.0	44.0	74.4	36	r16j
o25y	47.68	47.13	56.9	73.88	50	r37j
o50y	57.77	33.62	70.44	78.05	64	r58j
o75y	69.84	17.48	86.62	88.37	79	r79j
y00l	86.77	-5.17	109.32	109.44	93	j01g
y25l	73.71	-24.12	89.19	92.39	105	j18g
y50l	63.76	-38.55	73.86	83.32	118	j36g
y75l	55.23	-50.92	60.72	79.25	130	j53g
l00c	47.13	-62.67	48.24	79.09	142	j71g
l50c	52.64	-41.0	-3.61	41.16	185	g21b
c00v	55.66	-29.14	-31.99	43.27	228	g60b
c50v	41.87	-0.69	-41.67	41.68	269	g97b
v00m	17.15	50.3	-59.04	77.57	310	b34r
v50m	28.2	63.79	-46.89	79.17	324	b45r
m00o	40.37	78.64	-33.5	85.48	337	b57r
m50o	39.13	68.67	7.94	69.13	7	b83r



Ein und Ausgabe: Farbmatisches Drucker-Reflektiv-System FRS12_95a, L*=12_95 für relativen CIELAB-Buntton $h^* = lab^*h^* = h_{ab}/360 = 0.862$ $u^*_d = v00m$
Daten für jede Farbe:
 lab^*ch^* und lab^*icu^*
Bunttontexte:
 $u^*_d = v00m$ $u^*_e = b34r$
Kontrastreduzierungsfaktor:
 $c_R = 1.0$
Dreiecks-Helligkeit i^*



FRS12_95a; adaptierte CIELAB-Daten						
u^*_d	$L^*=L^*_a$	a^*_a	b^*_a	$C^*_{ab,a}$	$h^*_{ab,a}$	u^*_e
O _{Ma}	38.06	60.0	44.0	74.4	36	
Y _{Ma}	86.77	-5.17	109.32	109.44	93	
L _{Ma}	47.13	-62.67	48.24	79.09	142	
C _{Ma}	55.66	-29.14	-31.99	43.27	228	
V _{Ma}	17.15	50.3	-59.04	77.57	310	
M _{Ma}	40.37	78.64	-33.5	85.48	337	
N _{Ma}	11.58	0.0	0.0	0.0	0	
W _{Ma}	95.02	0.0	0.0	0.0	0	
O _{Ma}	39.92	58.74	27.99	65.07	25	
Y _{Ma}	81.26	-2.89	71.56	71.62	92	
L _{Ma}	52.23	-42.42	13.6	44.55	162	
V _{Ma}	30.57	1.41	-46.47	46.49	272	

Daten für Maximalfarbe (Ma):

LAB^*LAB^*Ma : 17 50 -59

LAB^*LCH^*Ma : 17 78 310

lab^*olv^*Ma : 0.0 0.0 1.0

lab^*rgb^*Ma : 0.68 0.0 1.0

Dreiecks-Helligkeit i^*

%Umfang

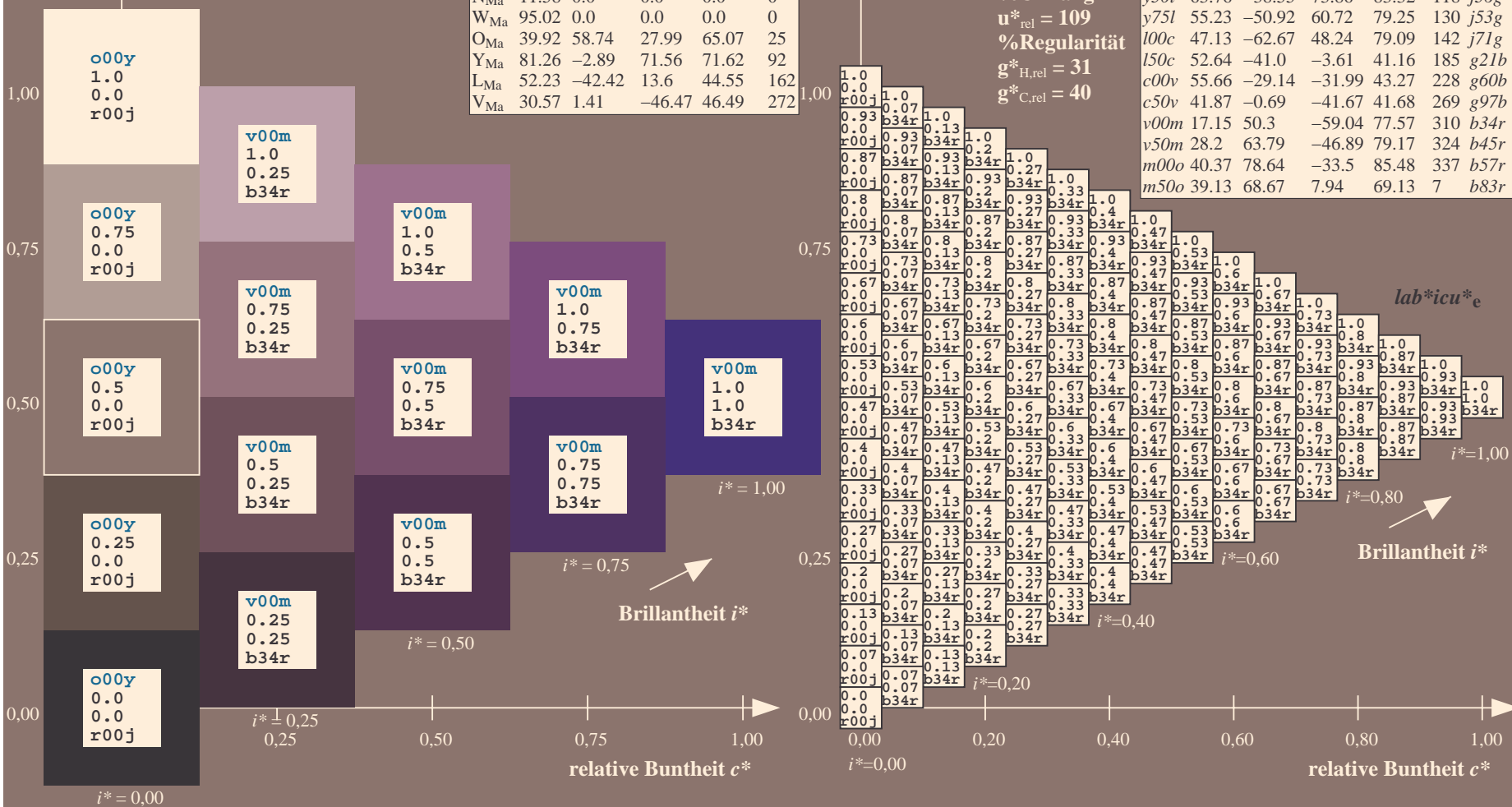
$u^*_{rel} = 109$

%Regularität

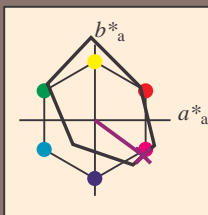
$g^*_{H,rel} = 31$

$g^*_{C,rel} = 40$

FRS12_95a; adaptierte CIELAB-Daten							
u^*_d	$L^*=L^*_a$	a^*_a	b^*_a	$C^*_{ab,a}$	$h^*_{ab,a}$	u^*_e	
o00y	38.06	60.0	44.0	74.4	36	r16j	
o25y	47.68	47.13	56.9	73.88	50	r37j	
o50y	57.77	33.62	70.44	78.05	64	r58j	
o75y	69.84	17.48	86.62	88.37	79	r79j	
y00l	86.77	-5.17	109.32	109.44	93	j01g	
y25l	73.71	-24.12	89.19	92.39	105	j18g	
y50l	63.76	-38.55	73.86	83.32	118	j36g	
y75l	55.23	-50.92	60.72	79.25	130	j53g	
l00c	47.13	-62.67	48.24	79.09	142	j71g	
l50c	52.64	-41.0	-3.61	41.16	185	g21b	
c00v	55.66	-29.14	-31.99	43.27	228	g60b	
c50v	41.87	-0.69	-41.67	41.68	269	g97b	
v00m	17.15	50.3	-59.04	77.57	310	b34r	
v50m	28.2	63.79	-46.89	79.17	324	b45r	
m00o	40.37	78.64	-33.5	85.48	337	b57r	
m50o	39.13	68.67	7.94	69.13	7	b83r	



Ein und Ausgabe: Farbmetrisches Drucker-Reflektiv-System FRS12_95a, L*=12_95 für relativen CIELAB-Buntton $h^* = lab^*h^* = h_{ab}/360 = 0.899$ $u^*_d = v50m$
Daten für jede Farbe:
 lab^*ch^* und lab^*icu^*
Bunttontexte:
 $u^*_d = v50m$ $u^*_e = b45r$
Kontrastreduzierungsfaktor:
 $c_R = 1.0$
Dreiecks-Helligkeit i^*



FRS12_95a; adaptierte CIELAB-Daten						
u^*_d	$L^*=L^*_a$	a^*_a	b^*_a	$C^*_{ab,a}$	$h^*_{ab,a}$	u^*_e
O _{Ma}	38.06	60.0	44.0	74.4	36	r16j
Y _{Ma}	86.77	-5.17	109.32	109.44	93	r37j
L _{Ma}	47.13	-62.67	48.24	79.09	142	r58j
C _{Ma}	55.66	-29.14	-31.99	43.27	228	r79j
V _{Ma}	17.15	50.3	-59.04	77.57	310	j01g
M _{Ma}	40.37	78.64	-33.5	85.48	337	j18g
N _{Ma}	11.58	0.0	0.0	0.0	0	j36g
W _{Ma}	95.02	0.0	0.0	0.0	0	j53g
O _{Ma}	39.92	58.74	27.99	65.07	25	j71g
Y _{Ma}	81.26	-2.89	71.56	71.62	92	g21b
L _{Ma}	52.23	-42.42	13.6	44.55	162	g60b
V _{Ma}	30.57	1.41	-46.47	46.49	272	g97b

Daten für Maximalfarbe (Ma):

$LAB^*LAB^*_{Ma}$: 28 64 -47

$LAB^*LCH^*_{Ma}$: 28 79 323

$lab^*olv^*_{Ma}$: 0.5 0.0 1.0

$lab^*rgb^*_{Ma}$: 0.91 0.0 1.0

Dreiecks-Helligkeit i^*

%Umfang

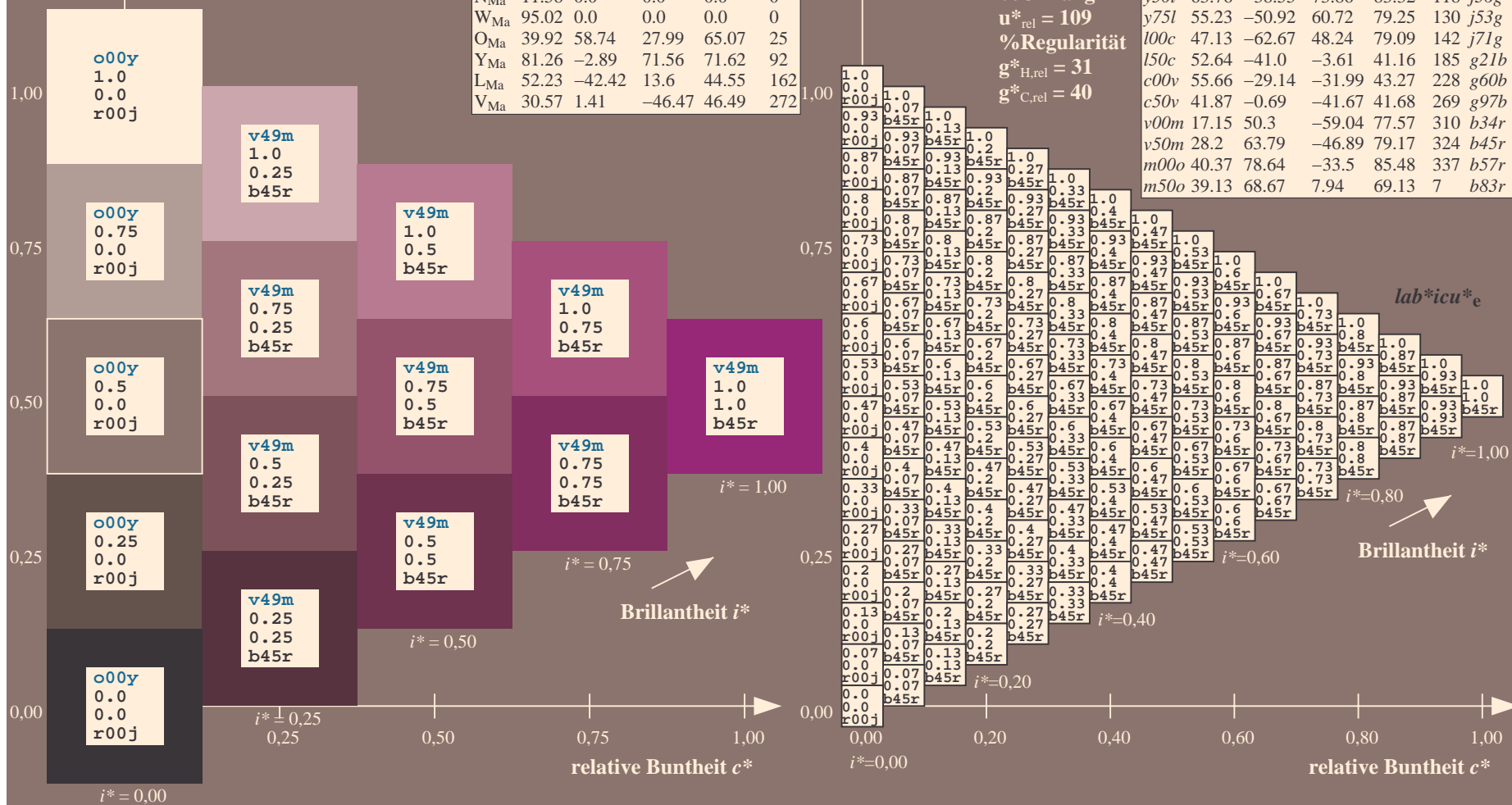
$u^*_{rel} = 109$

%Regularität

$g^*_{H,rel} = 31$

$g^*_{C,rel} = 40$

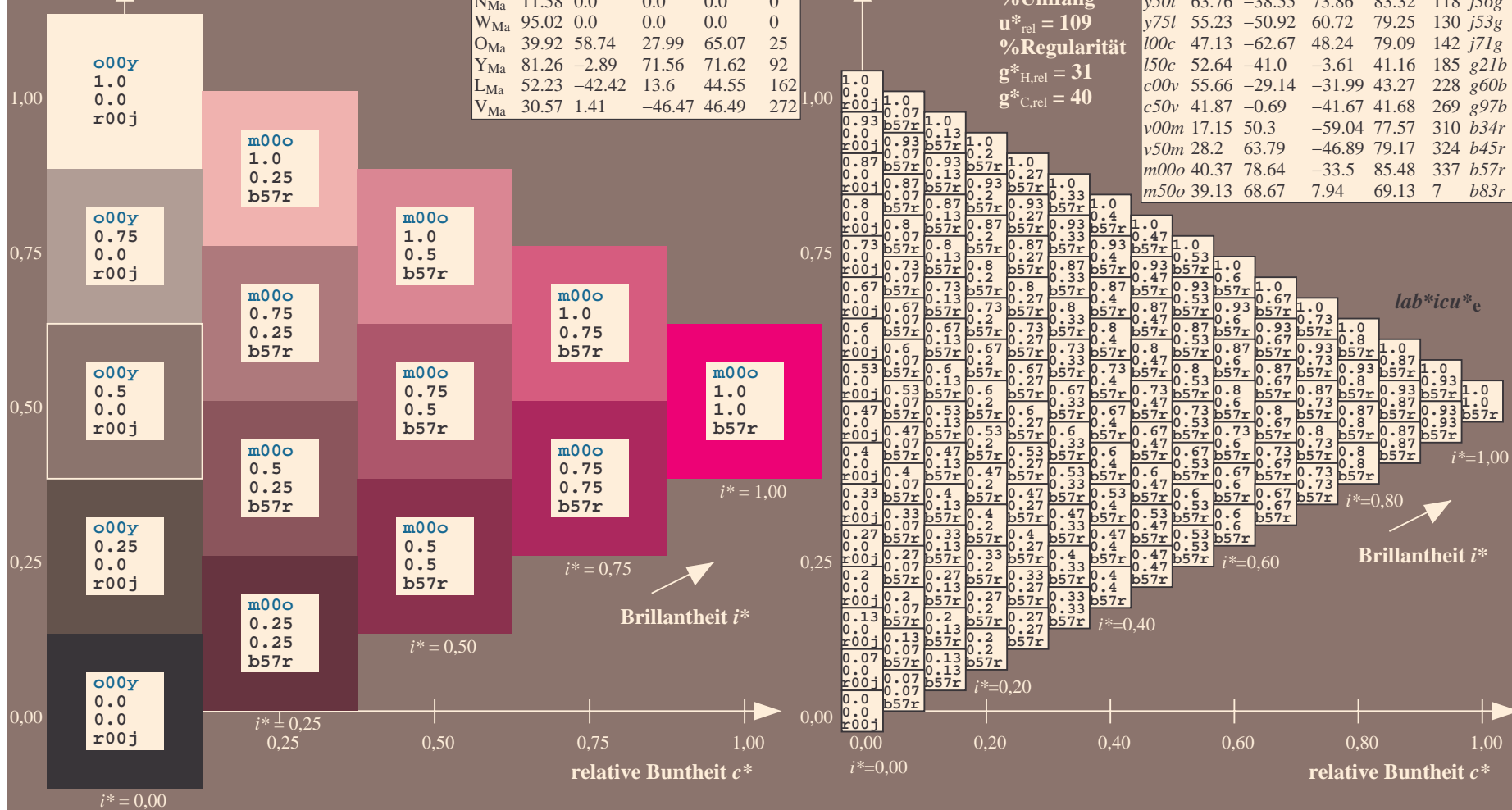
FRS12_95a; adaptierte CIELAB-Daten						
u^*_d	$L^*=L^*_a$	a^*_a	b^*_a	$C^*_{ab,a}$	$h^*_{ab,a}$	u^*_e
o00y	38.06	60.0	44.0	74.4	36	r16j
o25y	47.68	47.13	56.9	73.88	50	r37j
o50y	57.77	33.62	70.44	78.05	64	r58j
o75y	69.84	17.48	86.62	88.37	79	r79j
y00l	86.77	-5.17	109.32	109.44	93	j01g
y25l	73.71	-24.12	89.19	92.39	105	j18g
y50l	63.76	-38.55	73.86	83.32	118	j36g
y75l	55.23	-50.92	60.72	79.25	130	j53g
l00c	47.13	-62.67	48.24	79.09	142	j71g
l50c	52.64	-41.0	-3.61	41.16	185	g21b
c00v	55.66	-29.14	-31.99	43.27	228	g60b
c50v	41.87	-0.69	-41.67	41.68	269	g97b
v00m	17.15	50.3	-59.04	77.57	310	b34r
v50m	28.2	63.79	-46.89	79.17	324	b45r
m00o	40.37	78.64	-33.5	85.48	337	b57r
m50o	39.13	68.67	7.94	69.13	7	b83r



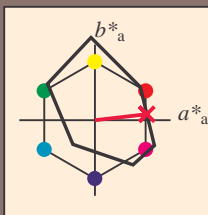
Ein und Ausgabe: Farbmetrisches Drucker-Reflektiv-System FRS12_95a, L*=12_95 für relativen CIELAB-Buntton $h^* = lab^*h^* = h_{ab}/360 = 0.936$ $u^*_d = m00o$			Daten für jede Farbe:			Daten für Maximalfarbe (Ma):		
lab^*tch^* und lab^*icu^*						$lab^*icu^*_e$		
Bunttontexte:			Bunttontexte:			Bunttontexte:		
$u^*_d = m00o$ $u^*_e = b57r$			$u^*_d = m00o$ $u^*_e = b57r$			$u^*_d = m00o$ $u^*_e = b57r$		
Kontrastreduzierungsfaktor:			Kontrastreduzierungsfaktor:			Kontrastreduzierungsfaktor:		
$c_R = 1.0$			$c_R = 1.0$			$c_R = 1.0$		
Dreiecks-Helligkeit t^*			Dreiecks-Helligkeit t^*			Dreiecks-Helligkeit t^*		

FRS12_95a; adaptierte CIELAB-Daten						
u^*_d	$L^*=L^*_a$	a^*_a	b^*_a	$C^*_{ab,a}$	$h^*_{ab,a}$	
O_{Ma}	38.06	60.0	44.0	74.4	36	
Y_{Ma}	86.77	-5.17	109.32	109.44	93	
L_{Ma}	47.13	-62.67	48.24	79.09	142	
C_{Ma}	55.66	-29.14	-31.99	43.27	228	
V_{Ma}	17.15	50.3	-59.04	77.57	310	
M_{Ma}	40.37	78.64	-33.5	85.48	337	
N_{Ma}	11.58	0.0	0.0	0.0	0	
W_{Ma}	95.02	0.0	0.0	0.0	0	
O_{Ma}	39.92	58.74	27.99	65.07	25	
Y_{Ma}	81.26	-2.89	71.56	71.62	92	
L_{Ma}	52.23	-42.42	13.6	44.55	162	
V_{Ma}	30.57	1.41	-46.47	46.49	272	

FRS12_95a; adaptierte CIELAB-Daten							
u_d^*	$L^*=L_a^*$	a_a^*	b_a^*	$C_{ab,a}^*$	$h_{ab,a}^*$	u_e^*	
<i>o00y</i>	38.06	60.0	44.0	74.4	36	<i>r16j</i>	
<i>o25y</i>	47.68	47.13	56.9	73.88	50	<i>r37j</i>	
<i>o50y</i>	57.77	33.62	70.44	78.05	64	<i>r58j</i>	
<i>o75y</i>	69.84	17.48	86.62	88.37	79	<i>r79j</i>	
<i>y00l</i>	86.77	-5.17	109.32	109.44	93	<i>j01g</i>	
<i>y25l</i>	73.71	-24.12	89.19	92.39	105	<i>j18g</i>	
<i>y50l</i>	63.76	-38.55	73.86	83.32	118	<i>j36g</i>	
<i>y75l</i>	55.23	-50.92	60.72	79.25	130	<i>j53g</i>	
<i>l00c</i>	47.13	-62.67	48.24	79.09	142	<i>j71g</i>	
<i>l50c</i>	52.64	-41.0	-3.61	41.16	185	<i>g21b</i>	
<i>c00v</i>	55.66	-29.14	-31.99	43.27	228	<i>g60b</i>	
<i>c50v</i>	41.87	-0.69	-41.67	41.68	269	<i>g97b</i>	
<i>v00m</i>	17.15	50.3	-59.04	77.57	310	<i>b34r</i>	
<i>v50m</i>	28.2	63.79	-46.89	79.17	324	<i>b45r</i>	
<i>m00o</i>	40.37	78.64	-33.5	85.48	337	<i>b57r</i>	
<i>m50o</i>	39.13	68.67	7.94	69.13	7	<i>b83r</i>	



Ein und Ausgabe: Farbmatisches Drucker-Reflektiv-System FRS12_95a, L*=12_95 für relativen CIELAB-Buntton $h^* = lab^*h^* = h_{ab}/360 = 0.018$ $u^*_d = m50o$
Daten für jede Farbe:
 lab^*ch^* und lab^*icu^*
Bunttontexte:
 $u^*_d = m50o$ $u^*_e = b83r$
Kontrastreduzierungsfaktor:
 $c_R = 1.0$
Dreiecks-Helligkeit i^*



FRS12_95a; adaptierte CIELAB-Daten						
u^*_d	$L^*=L^*_a$	a^*_a	b^*_a	$C^*_{ab,a}$	$h^*_{ab,a}$	u^*_e
O _{Ma}	38.06	60.0	44.0	74.4	36	
Y _{Ma}	86.77	-5.17	109.32	109.44	93	
L _{Ma}	47.13	-62.67	48.24	79.09	142	
C _{Ma}	55.66	-29.14	-31.99	43.27	228	
V _{Ma}	17.15	50.3	-59.04	77.57	310	
M _{Ma}	40.37	78.64	-33.5	85.48	337	
N _{Ma}	11.58	0.0	0.0	0.0	0	
W _{Ma}	95.02	0.0	0.0	0.0	0	
O _{Ma}	39.92	58.74	27.99	65.07	25	
Y _{Ma}	81.26	-2.89	71.56	71.62	92	
L _{Ma}	52.23	-42.42	13.6	44.55	162	
V _{Ma}	30.57	1.41	-46.47	46.49	272	

Daten für Maximalfarbe (Ma):

LAB^*LAB^*Ma : 39 69 8

LAB^*LCH^*Ma : 39 69 6

lab^*olv^*Ma : 1.0 0.0 0.5

lab^*rgb^*Ma : 1.0 0.0 0.33

Dreiecks-Helligkeit i^*

%Umfang

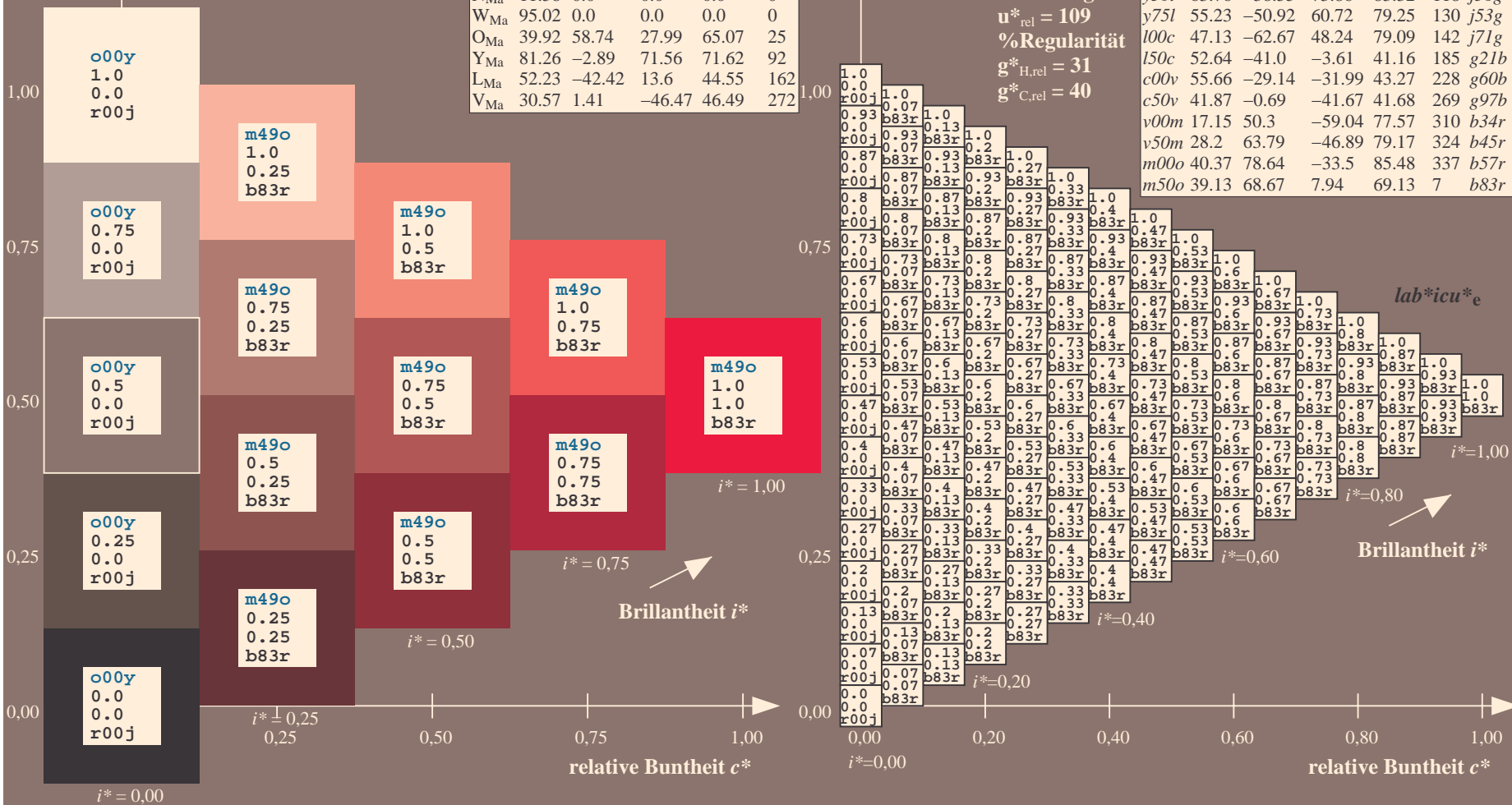
$u^*_{rel} = 109$

%Regularität

$g^*_{H,rel} = 31$

$g^*_{C,rel} = 40$

FRS12_95a; adaptierte CIELAB-Daten						
u^*_d	$L^*=L^*_a$	a^*_a	b^*_a	$C^*_{ab,a}$	$h^*_{ab,a}$	u^*_e
o00y	38.06	60.0	44.0	74.4	36	r16j
o25y	47.68	47.13	56.9	73.88	50	r37j
o50y	57.77	33.62	70.44	78.05	64	r58j
o75y	69.84	17.48	86.62	88.37	79	r79j
y00l	86.77	-5.17	109.32	109.44	93	j01g
y25l	73.71	-24.12	89.19	92.39	105	j18g
y50l	63.76	-38.55	73.86	83.32	118	j36g
y75l	55.23	-50.92	60.72	79.25	130	j53g
l00c	47.13	-62.67	48.24	79.09	142	j71g
l50c	52.64	-41.0	-3.61	41.16	185	g21b
c00v	55.66	-29.14	-31.99	43.27	228	g60b
c50v	41.87	-0.69	-41.67	41.68	269	g97b
v00m	17.15	50.3	-59.04	77.57	310	b34r
v50m	28.2	63.79	-46.89	79.17	324	b45r
m00o	40.37	78.64	-33.5	85.48	337	b57r
m50o	39.13	68.67	7.94	69.13	7	b83r



Siehe ähnliche Dateien: <http://www.ps.bam.de/Fg62/>; www.ps.bam.de/Fg62/; [www.ps.bam.de/Version 2.1, io=1,1, CIELAB, ColSpx=0](http://www.ps.bam.de/Version%202.1,%20io=1,1,CIELAB,ColSpx=0)
Technische Information: [http://www.ps.bam.de/Version 2.1, io=1,1, CIELAB, ColSpx=0](http://www.ps.bam.de/Version%202.1,%20io=1,1,CIELAB,ColSpx=0)

	A	B	C	D	E	F	G	H	I	J	K	L	M	N	O	P	Q	R	S	T	U	V	W	X	Y	Z	a	b	c	d	e	f	g	h	i	j	k	lab*	icu*	e	
01	0.0	0.13	0.25	0.38	0.5	0.63	0.75	0.88	1.0	0.13	0.13	0.25	0.38	0.5	0.63	0.75	0.88	1.0	0.25	0.25	0.38	0.5	0.63	0.75	0.88	1.0	0.25	0.25	0.38	0.5	0.63	0.75	0.88	1.0	0.0	0.0	0.0	0.0	0.0	0.0	0.0
02	0.001	0.13	0.25	0.38	0.5	0.63	0.75	0.88	1.0	0.13	0.13	0.25	0.38	0.5	0.63	0.75	0.88	1.0	0.25	0.25	0.38	0.5	0.63	0.75	0.88	1.0	0.25	0.25	0.38	0.5	0.63	0.75	0.88	1.0	0.0	0.0	0.0	0.0	0.0	0.0	0.0
03	0.001	0.13	0.25	0.38	0.5	0.63	0.75	0.88	1.0	0.13	0.13	0.25	0.38	0.5	0.63	0.75	0.88	1.0	0.25	0.25	0.38	0.5	0.63	0.75	0.88	1.0	0.25	0.25	0.38	0.5	0.63	0.75	0.88	1.0	0.0	0.0	0.0	0.0	0.0	0.0	0.0
04	0.001	0.13	0.25	0.38	0.5	0.63	0.75	0.88	1.0	0.13	0.13	0.25	0.38	0.5	0.63	0.75	0.88	1.0	0.25	0.25	0.38	0.5	0.63	0.75	0.88	1.0	0.25	0.25	0.38	0.5	0.63	0.75	0.88	1.0	0.0	0.0	0.0	0.0	0.0	0.0	0.0
05	0.001	0.13	0.25	0.38	0.5	0.63	0.75	0.88	1.0	0.13	0.13	0.25	0.38	0.5	0.63	0.75	0.88	1.0	0.25	0.25	0.38	0.5	0.63	0.75	0.88	1.0	0.25	0.25	0.38	0.5	0.63	0.75	0.88	1.0	0.0	0.0	0.0	0.0	0.0	0.0	0.0
06	0.001	0.13	0.25	0.38	0.5	0.63	0.75	0.88	1.0	0.13	0.13	0.25	0.38	0.5	0.63	0.75	0.88	1.0	0.25	0.25	0.38	0.5	0.63	0.75	0.88	1.0	0.25	0.25	0.38	0.5	0.63	0.75	0.88	1.0	0.0	0.0	0.0	0.0	0.0	0.0	0.0
07	0.001	0.13	0.25	0.38	0.5	0.63	0.75	0.88	1.0	0.13	0.13	0.25	0.38	0.5	0.63	0.75	0.88	1.0	0.25	0.25	0.38	0.5	0.63	0.75	0.88	1.0	0.25	0.25	0.38	0.5	0.63	0.75	0.88	1.0	0.0	0.0	0.0	0.0	0.0	0.0	0.0
08	0.001	0.13	0.25	0.38	0.5	0.63	0.75	0.88	1.0	0.13	0.13	0.25	0.38	0.5	0.63	0.75	0.88	1.0	0.25	0.25	0.38	0.5	0.63	0.75	0.88	1.0	0.25	0.25	0.38	0.5	0.63	0.75	0.88	1.0	0.0	0.0	0.0	0.0	0.0	0.0	0.0
09	0.001	0.13	0.25	0.38	0.5	0.63	0.75	0.88	1.0	0.13	0.13	0.25	0.38	0.5	0.63	0.75	0.88	1.0	0.25	0.25	0.38	0.5	0.63	0.75	0.88	1.0	0.25	0.25	0.38	0.5	0.63	0.75	0.88	1.0	0.0	0.0	0.0	0.0	0.0	0.0	0.0
10	0.001	0.13	0.25	0.38	0.5	0.63	0.75	0.88	1.0	0.13	0.13	0.25	0.38	0.5	0.63	0.75	0.88	1.0	0.25	0.25	0.38	0.5	0.63	0.75	0.88	1.0	0.25	0.25	0.38	0.5	0.63	0.75	0.88	1.0	0.0	0.0	0.0	0.0	0.0	0.0	0.0
11	0.001	0.13	0.25	0.38	0.5	0.63	0.75	0.88	1.0	0.13	0.13	0.25	0.38	0.5	0.63	0.75	0.88	1.0	0.25	0.25	0.38	0.5	0.63	0.75	0.88	1.0	0.25	0.25	0.38	0.5	0.63	0.75	0.88	1.0	0.0	0.0	0.0	0.0	0.0	0.0	0.0
12	0.001	0.13	0.25	0.38	0.5	0.63	0.75	0.88	1.0	0.13	0.13	0.25	0.38	0.5	0.63	0.75	0.88	1.0	0.25	0.25	0.38	0.5	0.63	0.75	0.88	1.0	0.25	0.25	0.38	0.5	0.63	0.75	0.88	1.0	0.0	0.0	0.0	0.0	0.0	0.0	0.0
13	0.001	0.13	0.25	0.38	0.5	0.63	0.75	0.88	1.0	0.13	0.13	0.25	0.38	0.5	0.63	0.75	0.88	1.0	0.25	0.25	0.38	0.5	0.63	0.75	0.88	1.0	0.25	0.25	0.38	0.5	0.63	0.75	0.88	1.0	0.0	0.0	0.0	0.0	0.0	0.0	0.0
14	0.001	0.13	0.25	0.38	0.5	0.63	0.75	0.88	1.0	0.13	0.13	0.25	0.38	0.5	0.63	0.75	0.88	1.0	0.25	0.25	0.38	0.5	0.63	0.75	0.88	1.0	0.25	0.25	0.38	0.5	0.63	0.75	0.88	1.0	0.0	0.0	0.0	0.0	0.0	0.0	0.0
15	0.001	0.13	0.25	0.38	0.5	0.63	0.75	0.88	1.0	0.13	0.13	0.25	0.38	0.5	0.63	0.75	0.88	1.0	0.25	0.25	0.38	0.5	0.63	0.75	0.88	1.0	0.25	0.25	0.38	0.5	0.63	0.75	0.88	1.0	0.0	0.0	0.0	0.0	0.0	0.0	0.0
16	0.001	0.13	0.25	0.38	0.5	0.63	0.75	0.88	1.0	0.13	0.13	0.25	0.38	0.5	0.63	0.75	0.88	1.0	0.25	0.25	0.38	0.5	0.63	0.75	0.88	1.0	0.25	0.25	0.38	0.5	0.63	0.75	0.88	1.0	0.0	0.0	0.0	0.0	0.0	0.0	0.0
17	0.001	0.13	0.25	0.38	0.5	0.63	0.75	0.88	1.0	0.13	0.13	0.25	0.38	0.5	0.63	0.75	0.88	1.0	0.25	0.25	0.38	0.5	0.63	0.75	0.88	1.0	0.25	0.25	0.38	0.5	0.63	0.75	0.88	1.0	0.0	0.0	0.0	0.0	0.0	0.0	0.0
18	0.001	0.13	0.25	0.38	0.5	0.63	0.75	0.88	1.0	0.13	0.13	0.25	0.38	0.5	0.63	0.75	0.88	1.0	0.25	0.25	0.38	0.5	0.63	0.75	0.88	1.0	0.25	0.25	0.38	0.5	0.63	0.75	0.88	1.0	0.0	0.0	0.0	0.0	0.0	0.0	0.0
19	0.001	0.13	0.25	0.38	0.5	0.63	0.75	0.88	1.0	0.13	0.13	0.25	0.38	0.5	0.63	0.75	0.88	1.0	0.25	0.25	0.38	0.5	0.63	0.75	0.88	1.0	0.25	0.25	0.38	0.5	0.63	0.75	0.88	1.0	0.0	0.0	0.0	0.0	0.0	0.0	0.0
20	0.001	0.13	0.25	0.38	0.5	0.63	0.75	0.88	1.0	0.13	0.13	0.25	0.38	0.5	0.63	0.75	0.88	1.0	0.25	0.25	0.38	0.5	0.63	0.75	0.88	1.0	0.25	0.25	0.38	0.5	0.63	0.75	0.88	1.0	0.0	0.0	0.0	0.0	0.0	0.0	0.0
21	0.001	0.13	0.25	0.38	0.5	0.63	0.75	0.88	1.0	0.13	0.13	0.25	0.38	0.5	0.63	0.75	0.88	1.0	0.25	0.25	0.38	0.5	0.63	0.75	0.88	1.0	0.25	0.25	0.38	0.5	0.63	0.75	0.88	1.0	0.0	0.0	0.0	0.0	0.0	0.0	0.0
22	0.001	0.13	0.25	0.38	0.5	0.63	0.75	0.88	1.0	0.13	0.13	0.25	0.38	0.5	0.63	0.75	0.88	1.0	0.25	0.25	0.38	0.5	0.63	0.75	0.88	1.0	0.25	0.25	0.38	0.5	0.63	0.75	0.88	1.0	0.0	0.0	0.0	0.0	0.0	0.0	0.0
23	0.001	0.13	0.25	0.38	0.5	0.63	0.75	0.88	1.0	0.13	0.13	0.25	0.38	0.5	0.63	0.75	0.88	1.0	0.25	0.25	0.38	0.5	0.63	0.75	0.88	1.0	0.25	0.25	0.38	0.5	0.63	0.75	0.88	1.0	0.0	0.0	0.0	0.0	0.0	0.0	0.0
24	0.001	0.13	0.25	0.38	0.5	0.63	0.75	0.88	1.0	0.13	0.13	0.25	0.38	0.5	0.63	0.75	0.88	1.0	0.25	0.25	0.38	0.5	0.63	0.75	0.88	1.0	0.25	0.25	0.38	0.5	0.63	0.75	0.88	1.0	0.0	0.0	0.0	0.0	0.0	0.0	0.0
25	0.001	0.13	0.25	0.38	0.5	0.63	0.75	0.88	1.0	0.13	0.13	0.25	0.38	0.5	0.63	0.75	0.88	1.0	0.25	0.25	0.38	0.5	0.63	0.75	0.88	1.0	0.25	0.25	0.38	0.5	0.63	0.75	0.88	1.0	0.0	0.0	0.0	0.0	0.0	0.0	0.0
26	0.001	0.13	0.25	0.38	0.5	0.63	0.75	0.88	1.0	0.13	0.13	0.25	0.38	0.5	0.63	0.75	0.88	1.0	0.25	0.25	0.38	0.5	0.63	0.75	0.88	1.0	0.25	0.25	0.38	0.5	0.63	0.75	0.88	1.0	0.0	0.0	0.0	0.0	0.0	0.0	0.0
27	0.001	0.13	0.25	0.38	0.5	0.63	0.75	0.88	1.0	0.13	0.13	0.25	0.38	0.5	0.63	0.75	0.88	1.0	0.25	0.25	0.38	0.5	0.63	0.75	0.88	1.0	0.25	0.25	0.38	0.5	0.63	0.75	0.88	1.0	0.0	0.0	0.0	0.0	0.0	0.0	0.0

BAM-Registrierung: 20081001-Fg62/10L/L62g00FP.PDF/ .PS BAM-Material: Code=th4ta
Anwendung für Beurteilung und Messung von Drucker- oder Monitorsystemen

Ein und Ausgabe:
Farbmetrisches Drucker-Reflektiv-System FRS12_95a
Daten für jede Farbe:

u^*_d und Nummer $Nr.$ = 00 .. 15

Geräte-Bunttontext:

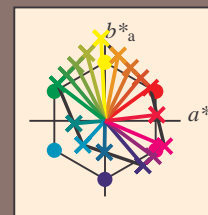
u^*_d = 16 Bunttoene $o00y$, $o25y$, ..., $m50o$

Kontrastreduzierungsfaktor:

$c_R = 1.0$

FRS12_95a; adaptierte CIELAB-Daten

u^*_d	$L^*=L^*_a$	a^*_a	b^*_a	$C^*_{ab,a}$	$h^*_{ab,a}$	u^*_e
$o00y$	38.06	60.0	44.0	74.4	36	$r16j$
$o25y$	47.68	47.13	56.9	73.88	50	$r37j$
$o50y$	57.77	33.62	70.44	78.05	64	$r58j$
$o75y$	69.84	17.48	86.62	88.37	79	$r79j$
$y00l$	86.77	-5.17	109.32	109.44	93	$j01g$
$y25l$	73.71	-24.12	89.19	92.39	105	$j18g$
$y50l$	63.76	-38.55	73.86	83.32	118	$j36g$
$y75l$	55.23	-50.92	60.72	79.25	130	$j53g$
$l00c$	47.13	-62.67	48.24	79.09	142	$j71g$
$l50c$	52.64	-41.0	-3.61	41.16	185	$g21b$
$c00v$	55.66	-29.14	-31.99	43.27	228	$g60b$
$c50v$	41.87	-0.69	-41.67	41.68	269	$g97b$
$v00m$	17.15	50.3	-59.04	77.57	310	$b34r$
$v50m$	28.2	63.79	-46.89	79.17	324	$b45r$
$m00o$	40.37	78.64	-33.5	85.48	337	$b57r$
$m50o$	39.13	68.67	7.94	69.13	7	$b83r$



%Umfang

$u^*_{rel} = 109$

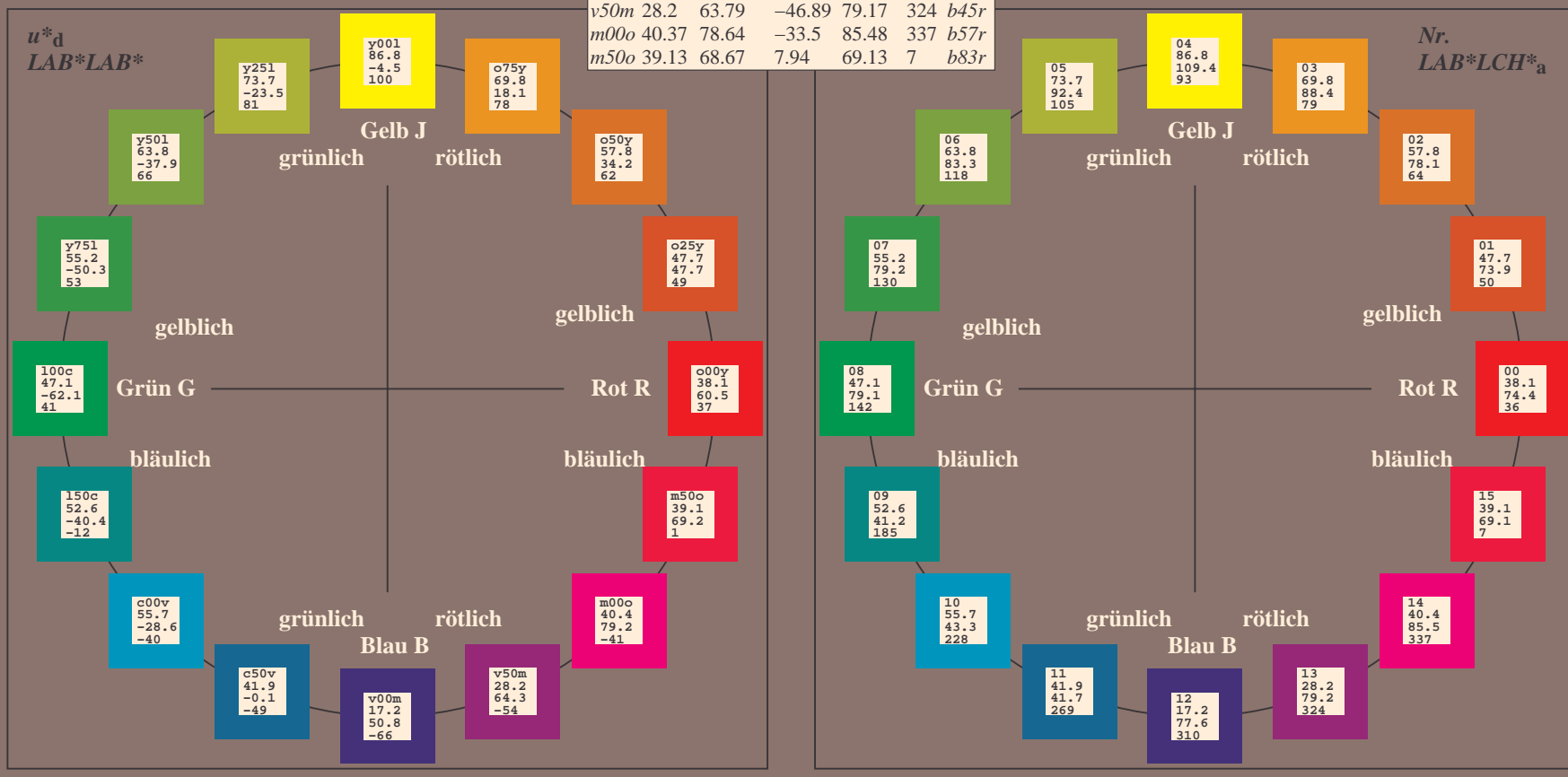
%Regularität

$g^*_{H,rel} = 31$

$g^*_{C,rel} = 40$

FRS12_95; CIELAB-Daten

Name	$L^*=L^*_a$	a^*_a	b^*_a	C^*_{ab}	h^*_{ab}
O_M	38.06	60.53	36.66	70.77	31
Y_M	86.77	-4.5	100.15	100.25	93
L_M	47.13	-62.11	40.56	74.18	147
C_M	55.66	-28.56	-39.99	49.14	234
V_M	17.15	50.78	-65.6	82.96	308
M_M	40.37	79.18	-40.93	89.13	333
N_M	11.58	0.46	-6.35	6.37	274
W_M	95.02	0.69	-9.48	9.51	274
O_{CIE}	39.92	58.74	27.99	65.07	25
Y_{CIE}	81.26	-2.89	71.56	71.62	92
L_{CIE}	52.23	-42.42	13.6	44.55	162
V_{CIE}	30.57	1.41	-46.47	46.49	272

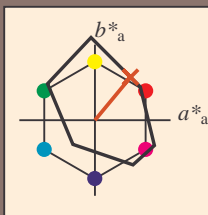


BAM-Registrierung: 20081001-fg62/10/L62g00f.PDF/.PS BAM-Material: Code=rha4ta
Anwendung für Beurteilung und Messung von Drucker- oder Monitorssystemen

Ein und Ausgabe: Farbmetrisches Drucker-Reflektiv-System FRS12_95a, L*=12_95 für relativen CIELAB-Buntton $h^* = lab^*h^* = h_{ab}/360 = 0.14$ $u^*_d = o25y$
Daten für jede Farbe: lab^*tch^* und lab^*icu^* **LAB*LAB***

Bunttontexte:
 $u^*_d = o25y$ $u^*_e = r37j$

Kontrastreduzierungsfaktor:
 $c_R = 1.0$
Dreiecks-Helligkeit i^*



FRS12_95; CIELAB-Daten						
u^*_d	$L^*=L^*$	a^*	b^*	C^*_{ab}	h^*_{ab}	
O _M	38.06	60.53	36.66	70.77	31	
Y _M	86.77	-4.5	100.15	100.25	93	
L _M	47.13	-62.11	40.56	74.18	147	
C _M	55.66	-28.56	-39.99	49.14	234	
V _M	17.15	50.78	-65.6	82.96	308	
M _M	40.37	79.18	-40.93	89.13	333	
N _M	11.58	0.46	-6.35	6.37	274	
W _M	95.02	0.69	-9.48	9.51	274	
O _M	39.92	58.74	27.99	65.07	25	
Y _M	81.26	-2.89	71.56	71.62	92	
L _M	52.23	-42.42	13.6	44.55	162	
V _M	30.57	1.41	-46.47	46.49	272	

Daten für Maximalfarbe (Ma):

LAB^*LAB^*Ma : 48 47 57

LAB^*LCH^*Ma : 48 74 50

lab^*olv^*Ma : 1.0 0.25 0.0

lab^*rgb^*Ma : 1.0 0.37 0.0

Dreiecks-Helligkeit i^*

%Umfang

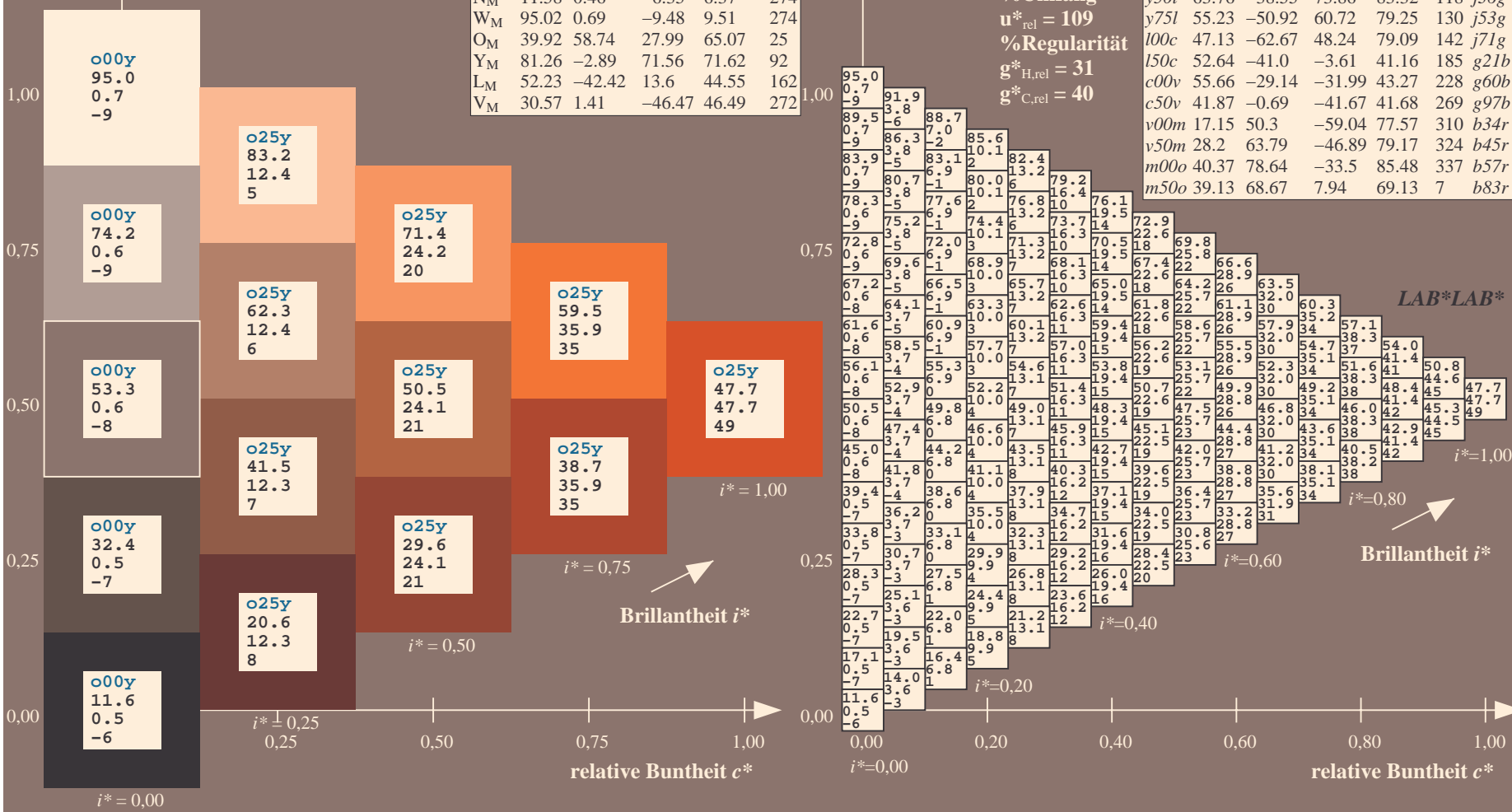
$u^*_{rel} = 109$

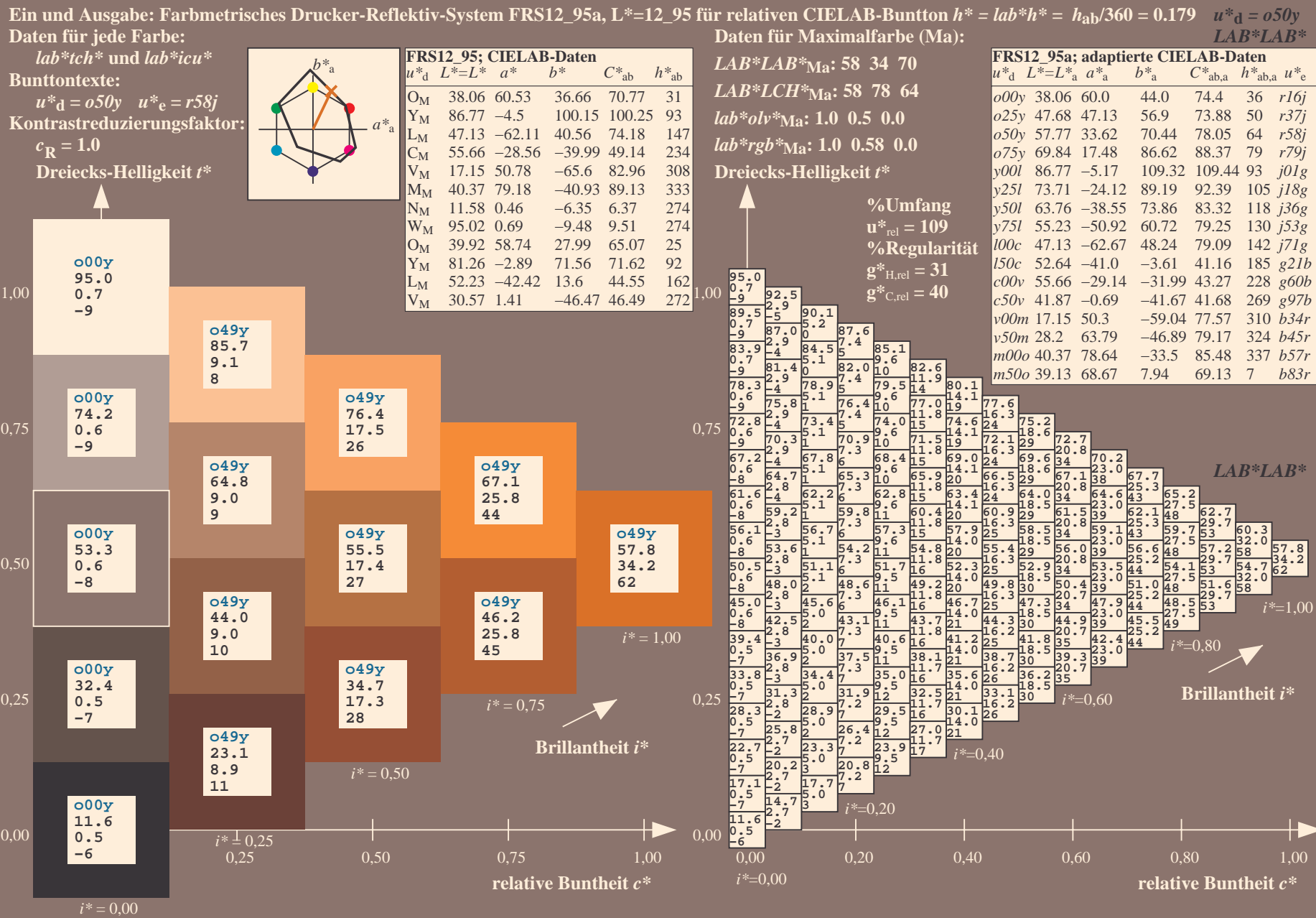
%Regularität

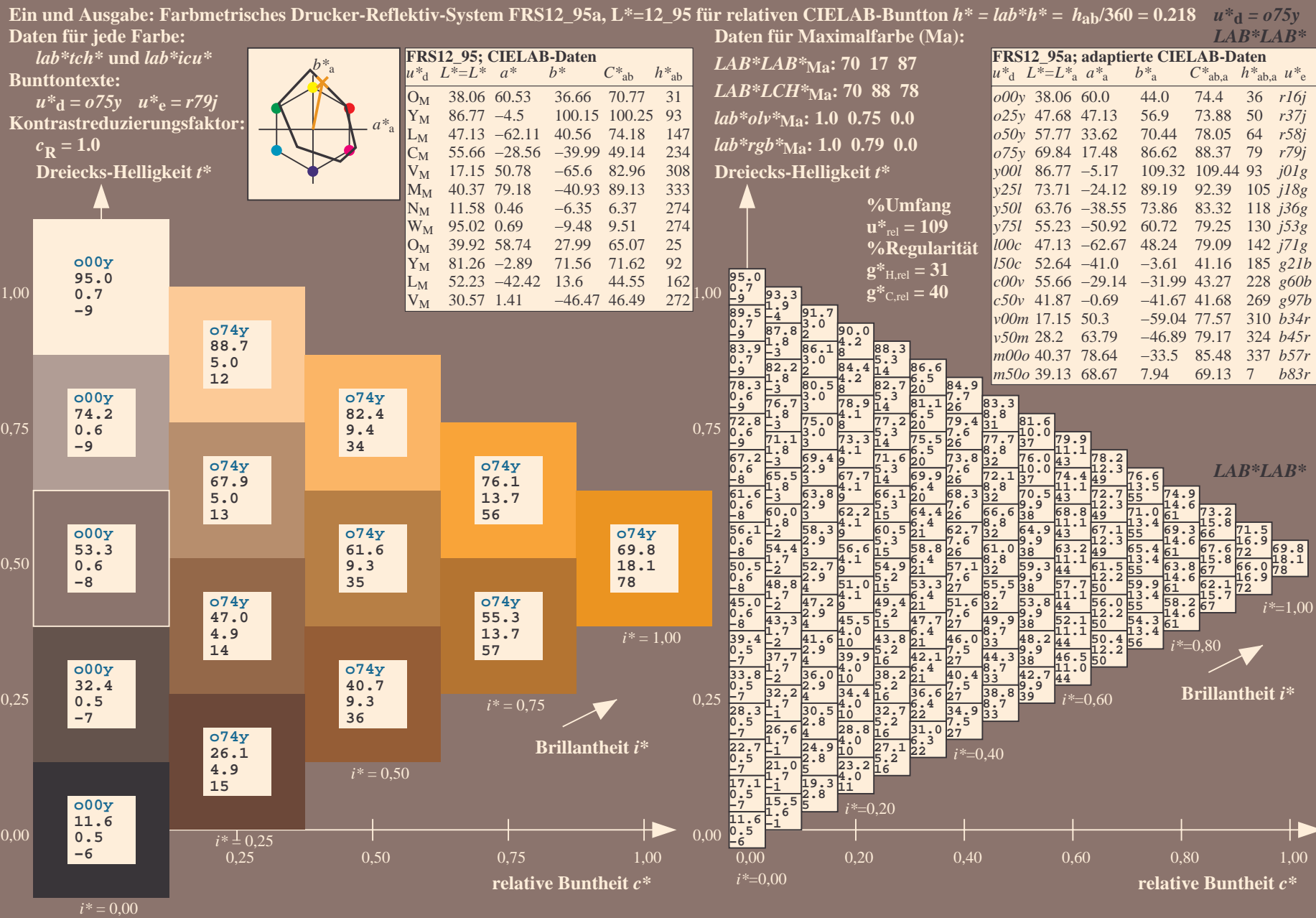
$g^*_{H,rel} = 31$

$g^*_{C,rel} = 40$

FRS12_95a; adaptierte CIELAB-Daten							
u^*_d	$L^*=L^*_a$	a^*_a	b^*_a	$C^*_{ab,a}$	$h^*_{ab,a}$	u^*_e	
o00y	38.06	60.0	44.0	74.4	36	r16j	
o25y	47.68	47.13	56.9	73.86	50	r37j	
o50y	57.77	33.62	70.44	78.05	64	r58j	
o75y	69.84	17.48	86.62	88.37	79	r79j	
y00l	86.77	-5.17	109.32	109.44	93	j01g	
y25l	73.71	-24.12	89.19	92.39	105	j18g	
y50l	63.76	-38.55	73.86	83.32	118	j36g	
y75l	55.23	-50.92	60.72	79.25	130	j53g	
l00c	47.13	-62.67	48.24	79.09	142	j71g	
l50c	52.64	-41.0	-3.61	41.16	185	g21b	
c00v	55.66	-29.14	-31.99	43.27	228	g60b	
c50v	41.87	-0.69	-41.67	41.68	269	g97b	
v00m	17.15	50.3	-59.04	77.57	310	b34r	
v50m	28.2	63.79	-46.89	79.17	324	b45r	
m00o	40.37	78.64	-33.5	85.48	337	b57r	
m50o	39.13	68.67	7.94	69.13	7	b83r	







Ein und Ausgabe: Farbmatisches Drucker-Reflektiv-System FRS12_95a, L*=12_95 für relativen CIELAB-Buntton $h^* = lab^*h^* = h_{ab}/360 = 0.258$ $u^*_d = y00l$

Daten für jede Farbe:

lab^*tch^* und lab^*icu^*

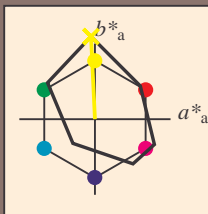
Bunttontexte:

$u^*_d = y00l$ $u^*_e = j0l1g$

Kontrastreduzierungsfaktor:

$c_R = 1.0$

Dreiecks-Helligkeit i^*



FRS12_95; CIELAB-Daten

u^*_d	$L^*=L^*_a$	a^*	b^*	C^*_{ab}	h^*_{ab}
O _M	38.06	60.53	36.66	70.77	31
Y _M	86.77	-4.5	100.15	100.25	93
L _M	47.13	-62.11	40.56	74.18	147
C _M	55.66	-28.56	-39.99	49.14	234
V _M	17.15	50.78	-65.6	82.96	308
M _M	40.37	79.18	-40.93	89.13	333
N _M	11.58	0.46	-6.35	6.37	274
W _M	95.02	0.69	-9.48	9.51	274
O _M	39.92	58.74	27.99	65.07	25
Y _M	81.26	-2.89	71.56	71.62	92
L _M	52.23	-42.42	13.6	44.55	162
V _M	30.57	1.41	-46.47	46.49	272

Daten für Maximalfarbe (Ma):

$LAB^*LAB^*Ma: 87 -5 109$

$LAB^*LCH^*Ma: 87 109 92$

$lab^*olv^*Ma: 1.0 1.0 0.0$

$lab^*rgb^*Ma: 0.99 1.0 0.0$

Dreiecks-Helligkeit i^*

%Umfang

$u^*_{rel} = 109$

%Regularität

$g^*_{H,rel} = 31$

$g^*_{C,rel} = 40$

FRS12_95a; adaptierte CIELAB-Daten

u^*_d	$L^*=L^*_a$	a^*_a	b^*_a	$C^*_{ab,a}$	$h^*_{ab,a}$	u^*_e
o00y	38.06	60.0	44.0	74.4	36	r16j
o25y	47.68	47.13	56.9	73.88	50	r37j
o50y	57.77	33.62	70.44	78.05	64	r58j
o75y	69.84	17.48	86.62	88.37	79	r79j
y00l	86.77	-5.17	109.32	109.44	93	j0l1g
y25l	73.71	-24.12	89.19	92.39	105	j18g
y50l	63.76	-38.55	73.86	83.32	118	j36g
y75l	55.23	-50.92	60.72	79.25	130	j53g
l00c	47.13	-62.67	48.24	79.09	142	j71g
l50c	52.64	-41.0	-3.61	41.16	185	g21b
c00v	55.66	-29.14	-31.99	43.27	228	g60b
c50v	41.87	-0.69	-41.67	41.68	269	g97b
v00m	17.15	50.3	-59.04	77.57	310	b34r
v50m	28.2	63.79	-46.89	79.17	324	b45r
m00o	40.37	78.64	-33.5	85.48	337	b57r
m50o	39.13	68.67	7.94	69.13	7	b83r

LAB^*LAB^*

$i^*=1.00$

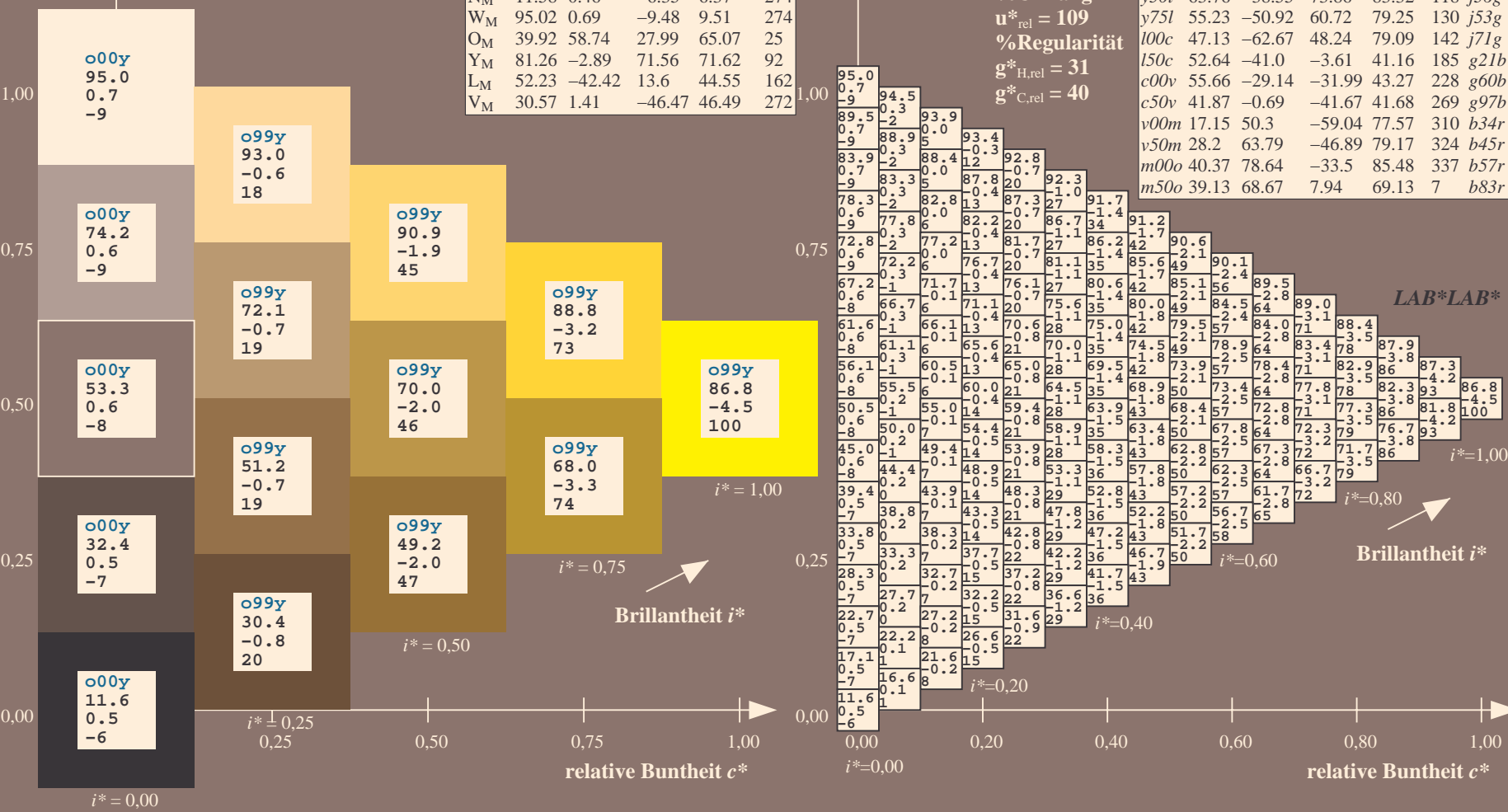
Brillantheit i^*

$i^*=0.80$

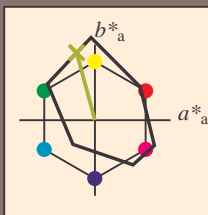
$i^*=0.60$

$i^*=0.40$

$i^*=0.20$



Ein und Ausgabe: Farbmimetrisches Drucker-Reflektiv-System FRS12_95a, L*=12_95 für relativen CIELAB-Buntton $h^* = \text{lab}^*h^* = h_{ab}/360 = 0.292$ $u^*_d = y25l$
Daten für jede Farbe:
 lab^*tch^* und lab^*icu^*
Bunttontexte:
 $u^*_d = y25l$ $u^*_e = j18g$
Kontrastreduzierungsfaktor:
 $c_R = 1.0$
Dreiecks-Helligkeit i^*



FRS12_95; CIELAB-Daten						
u^*_d	$L^*=L^*$	a^*	b^*	C^*_{ab}	h^*_{ab}	
O _M	38.06	60.53	36.66	70.77	31	
Y _M	86.77	-4.5	100.15	100.25	93	
L _M	47.13	-62.11	40.56	74.18	147	
C _M	55.66	-28.56	-39.99	49.14	234	
V _M	17.15	50.78	-65.6	82.96	308	
M _M	40.37	79.18	-40.93	89.13	333	
N _M	11.58	0.46	-6.35	6.37	274	
W _M	95.02	0.69	-9.48	9.51	274	
O _M	39.92	58.74	27.99	65.07	25	
Y _M	81.26	-2.89	71.56	71.62	92	
L _M	52.23	-42.42	13.6	44.55	162	
V _M	30.57	1.41	-46.47	46.49	272	

Daten für Maximalfarbe (Ma):

$\text{LAB}^*\text{LAB}^*\text{Ma}: 74 -24 89$

$\text{LAB}^*\text{LCH}^*\text{Ma}: 74 92 105$

$\text{lab}^*\text{olv}^*\text{Ma}: 0.75 1.0 0.0$

$\text{lab}^*\text{rgb}^*\text{Ma}: 0.82 1.0 0.0$

Dreiecks-Helligkeit i^*

%Umfang

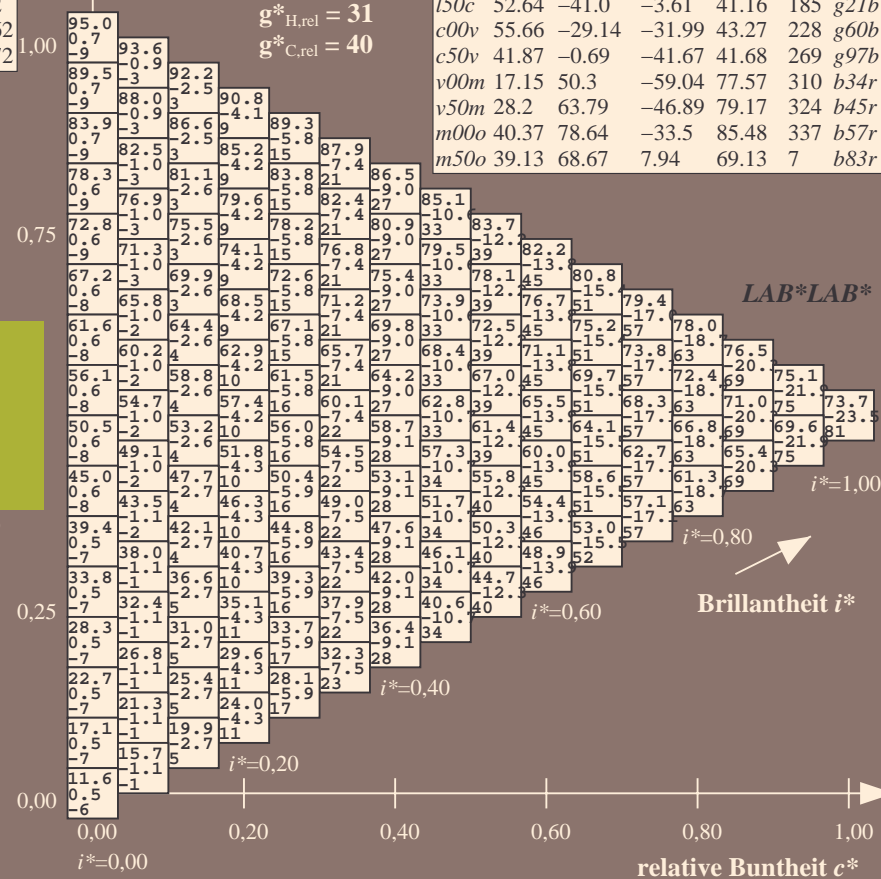
$u^*_{\text{rel}} = 109$

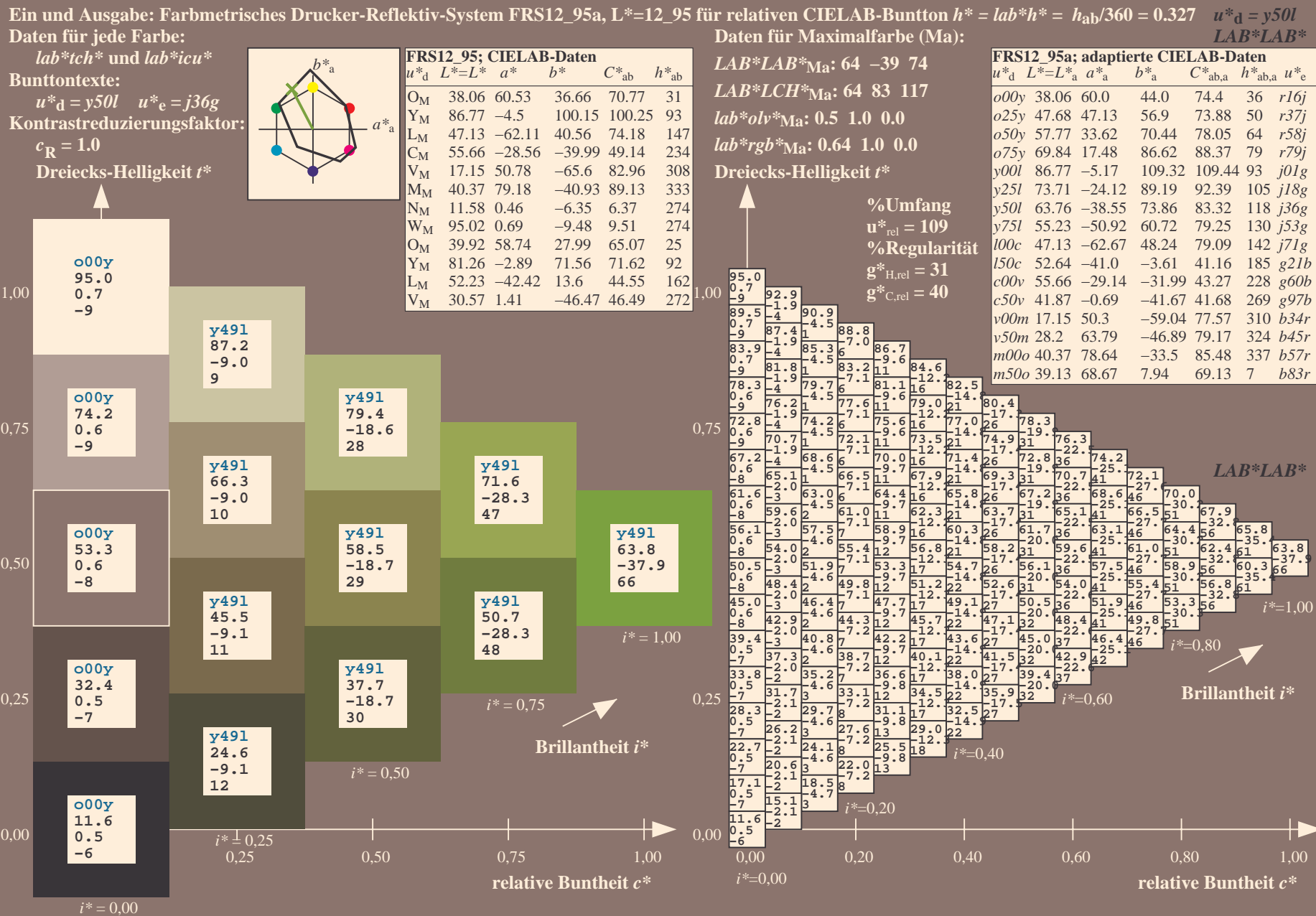
%Regularität

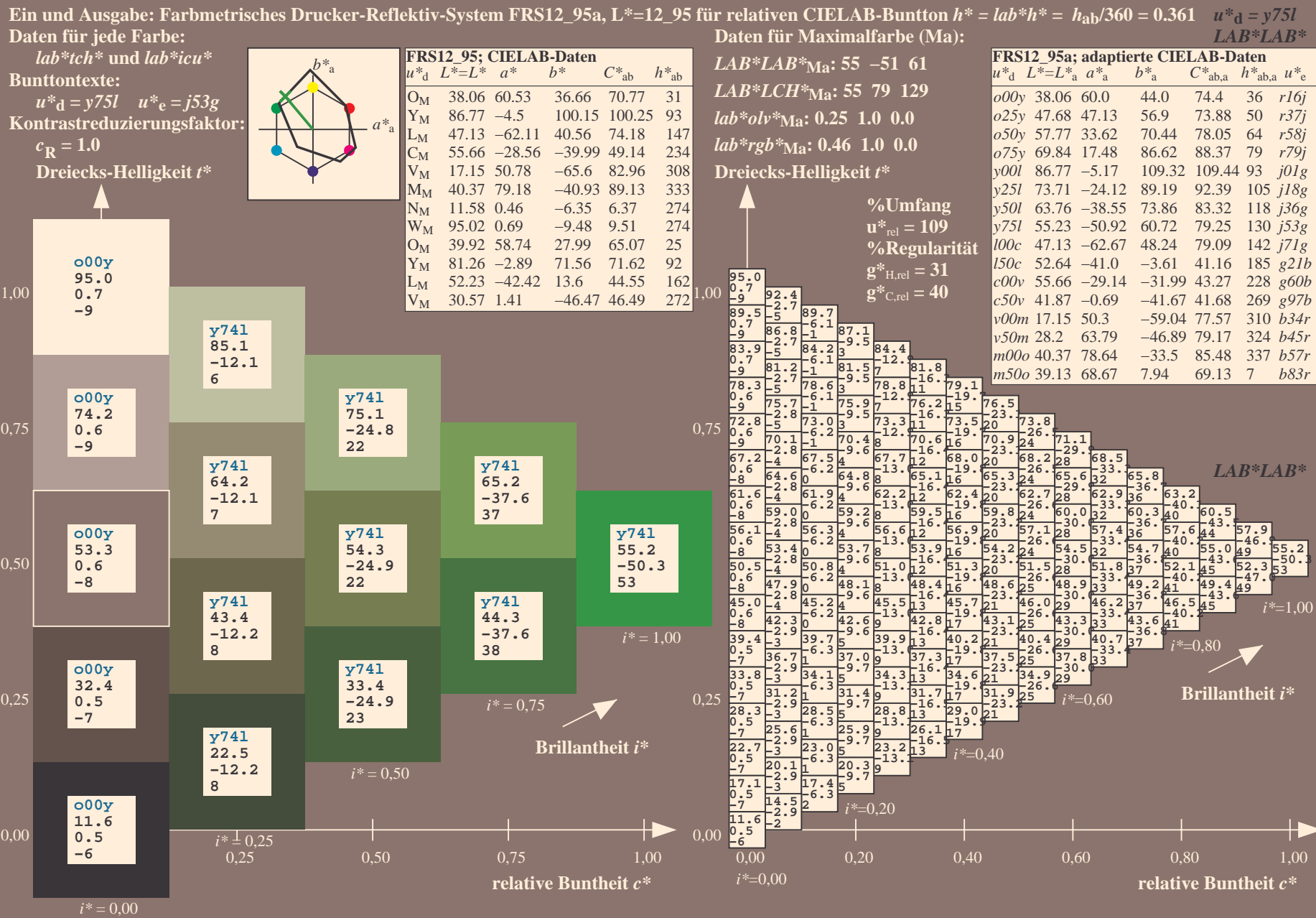
$g^*_{H,\text{rel}} = 31$

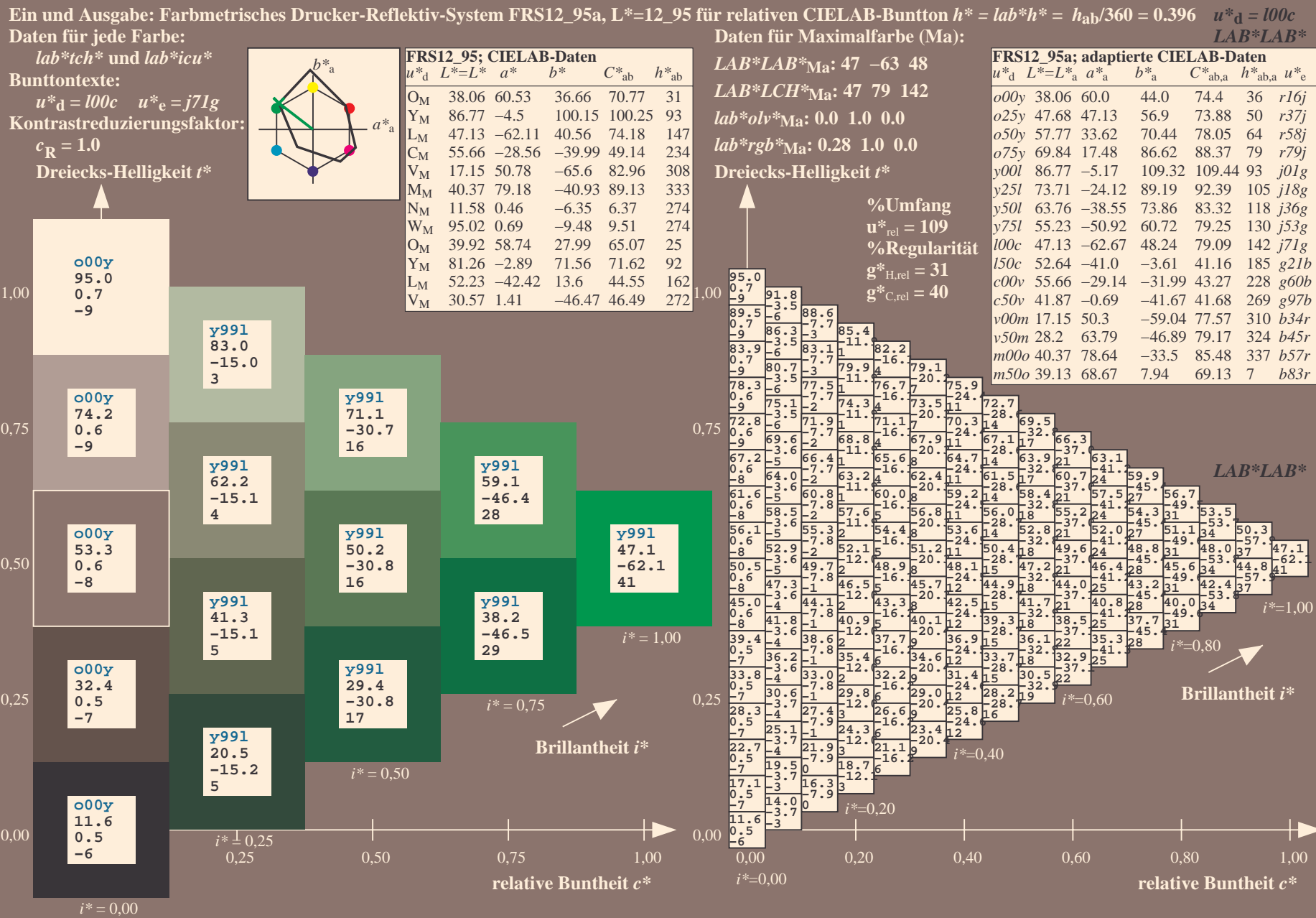
$g^*_{C,\text{rel}} = 40$

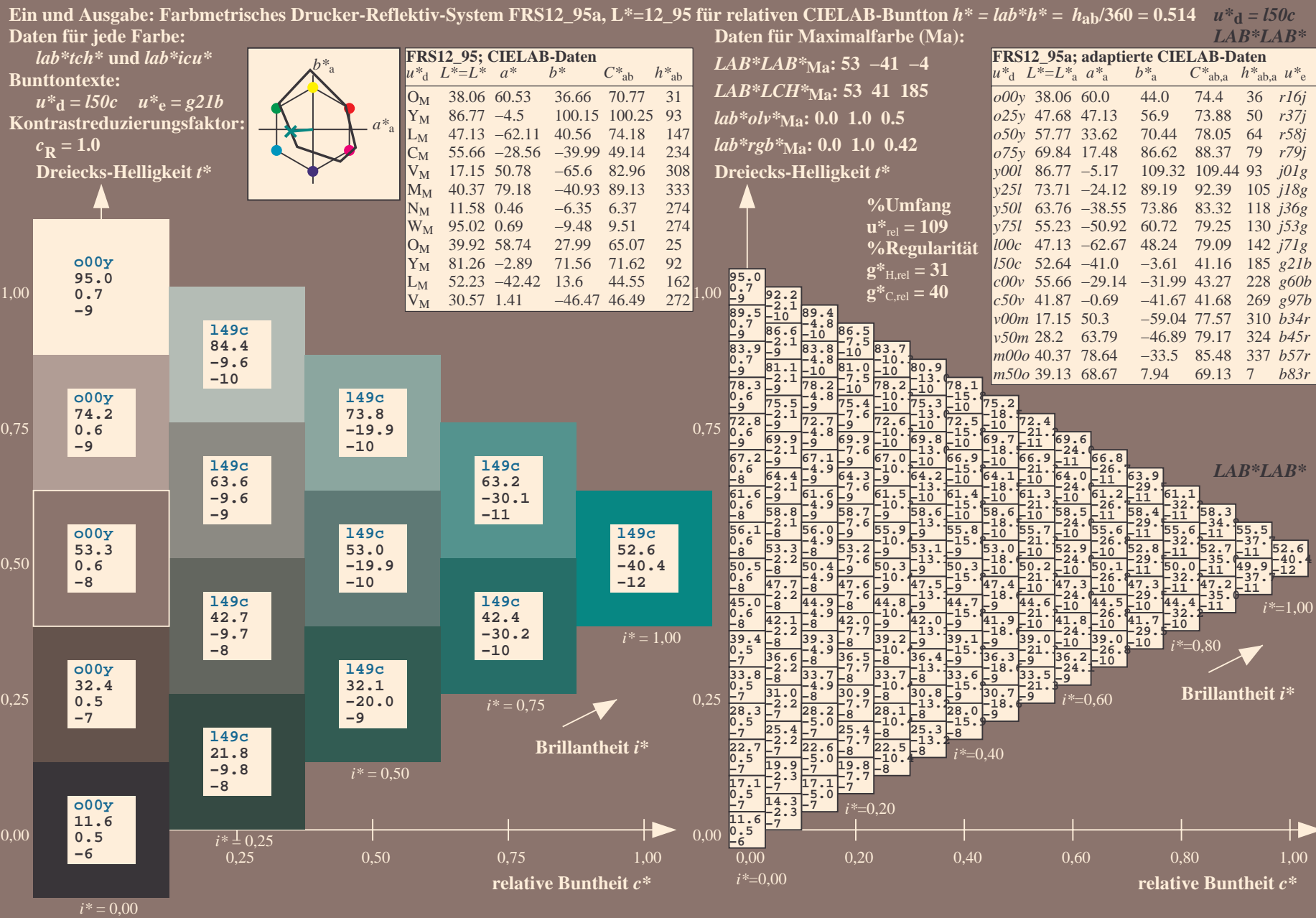
FRS12_95a; adaptierte CIELAB-Daten									
u^*_d	$L^*=L^*$	a^*_a	b^*_a	$C^*_{ab,a}$	$h^*_{ab,a}$	u^*_e			
o00y	38.06	60.0	44.0	74.4	36	r16j			
o25y	47.68	47.13	56.9	73.88	50	r37j			
o50y	57.77	33.62	70.44	78.05	64	r58j			
o75y	69.84	17.48	86.62	88.37	79	r79j			
y00l	86.77	-5.17	109.32	109.44	93	j01g			
y25l	73.71	-24.12	89.19	92.39	105	j18g			
y50l	63.76	-38.55	73.86	83.32	118	j36g			
y75l	55.23	-50.92	60.72	79.25	130	j53g			
l00c	47.13	-62.67	48.24	79.09	142	j71g			
l50c	52.64	-41.0	-3.61	41.16	185	g21b			
c00v	55.66	-29.14	-31.99	43.27	228	g60b			
c50v	41.87	-0.69	-41.67	41.68	269	g97b			
v00m	17.15	50.3	-59.04	77.57	310	b34r			
v50m	28.2	63.79	-46.89	79.17	324	b45r			
m00o	40.37	78.64	-33.5	85.48	337	b57r			
m50o	39.13	68.67	7.94	69.13	7	b83r			



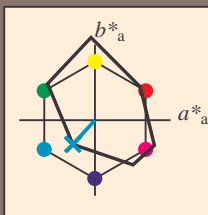








Ein und Ausgabe: Farbmetrisches Drucker-Reflektiv-System FRS12_95a, L*=12_95 für relativen CIELAB-Buntton $h^* = lab^*h^* = h_{ab}/360 = 0.632$ $u^*_d = c00v$
Daten für jede Farbe:
 lab^*ch^* und lab^*icu^*
Bunttontexte:
 $u^*_d = c00v$ $u^*_e = g60b$
Kontrastreduzierungsfaktor:
 $c_R = 1.0$
Dreiecks-Helligkeit i^*



FRS12_95; CIELAB-Daten						
u^*_d	$L^*=L^*$	a^*	b^*	C^*_{ab}	h^*_{ab}	
O _M	38.06	60.53	36.66	70.77	31	
Y _M	86.77	-4.5	100.15	100.25	93	
L _M	47.13	-62.11	40.56	74.18	147	
C _M	55.66	-28.56	-39.99	49.14	234	
V _M	17.15	50.78	-65.6	82.96	308	
M _M	40.37	79.18	-40.93	89.13	333	
N _M	11.58	0.46	-6.35	6.37	274	
W _M	95.02	0.69	-9.48	9.51	274	
O _M	39.92	58.74	27.99	65.07	25	
Y _M	81.26	-2.89	71.56	71.62	92	
L _M	52.23	-42.42	13.6	44.55	162	
V _M	30.57	1.41	-46.47	46.49	272	

Daten für Maximalfarbe (Ma):

$LAB^*LAB^*Ma: 56 -29 -32$

$LAB^*LCH^*Ma: 56 43 227$

$lab^*olv^*Ma: 0.0 1.0 1.0$

$lab^*rgb^*Ma: 0.0 0.8 1.0$

Dreiecks-Helligkeit i^*

%Umfang

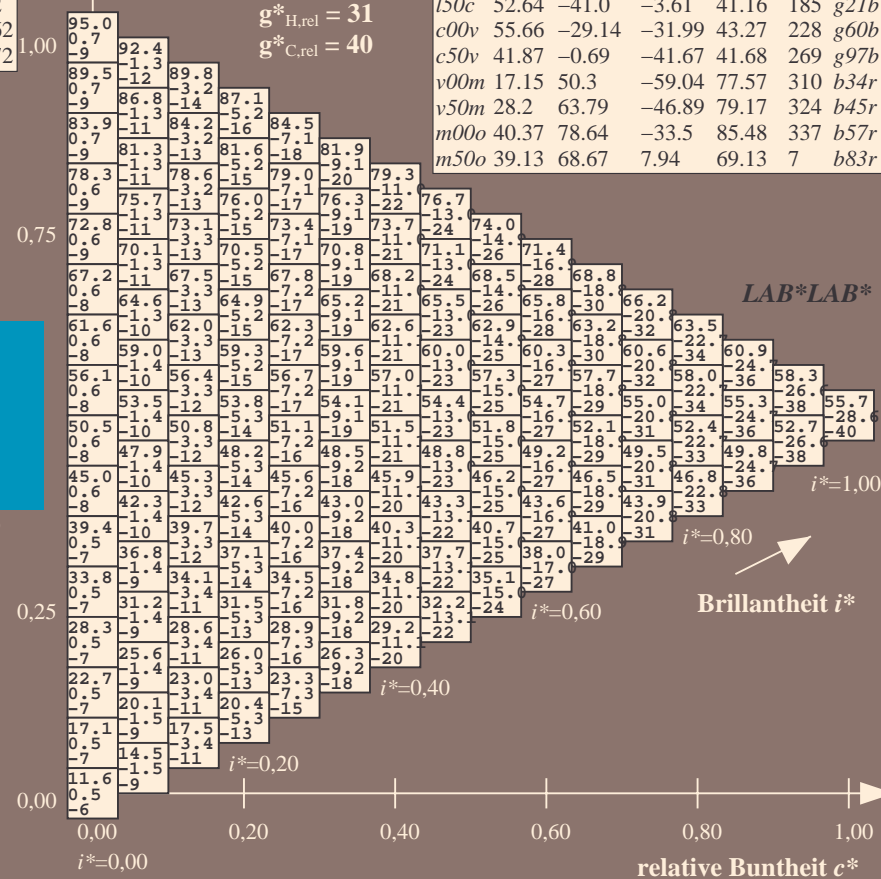
$u^*_{rel} = 109$

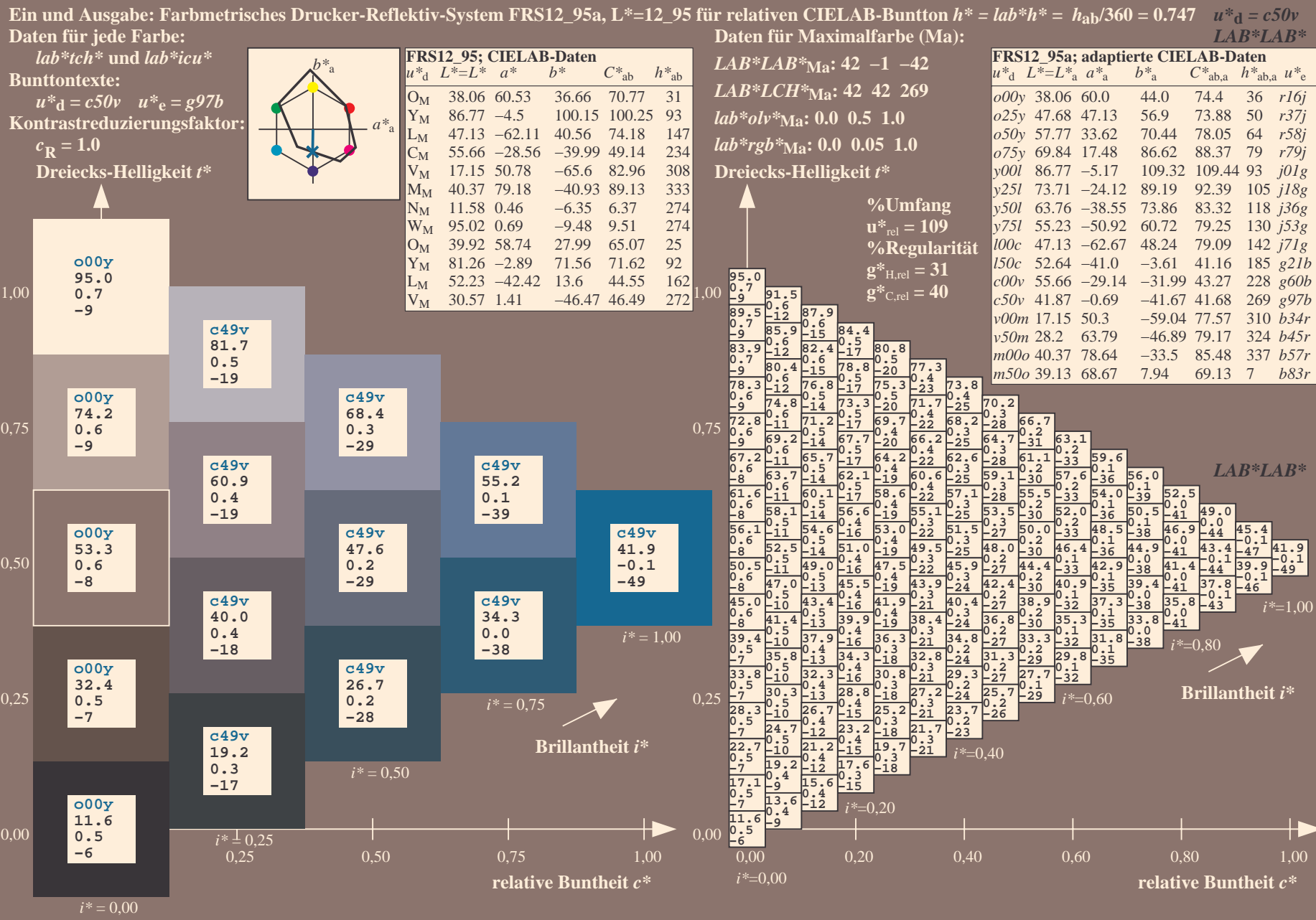
%Regularität

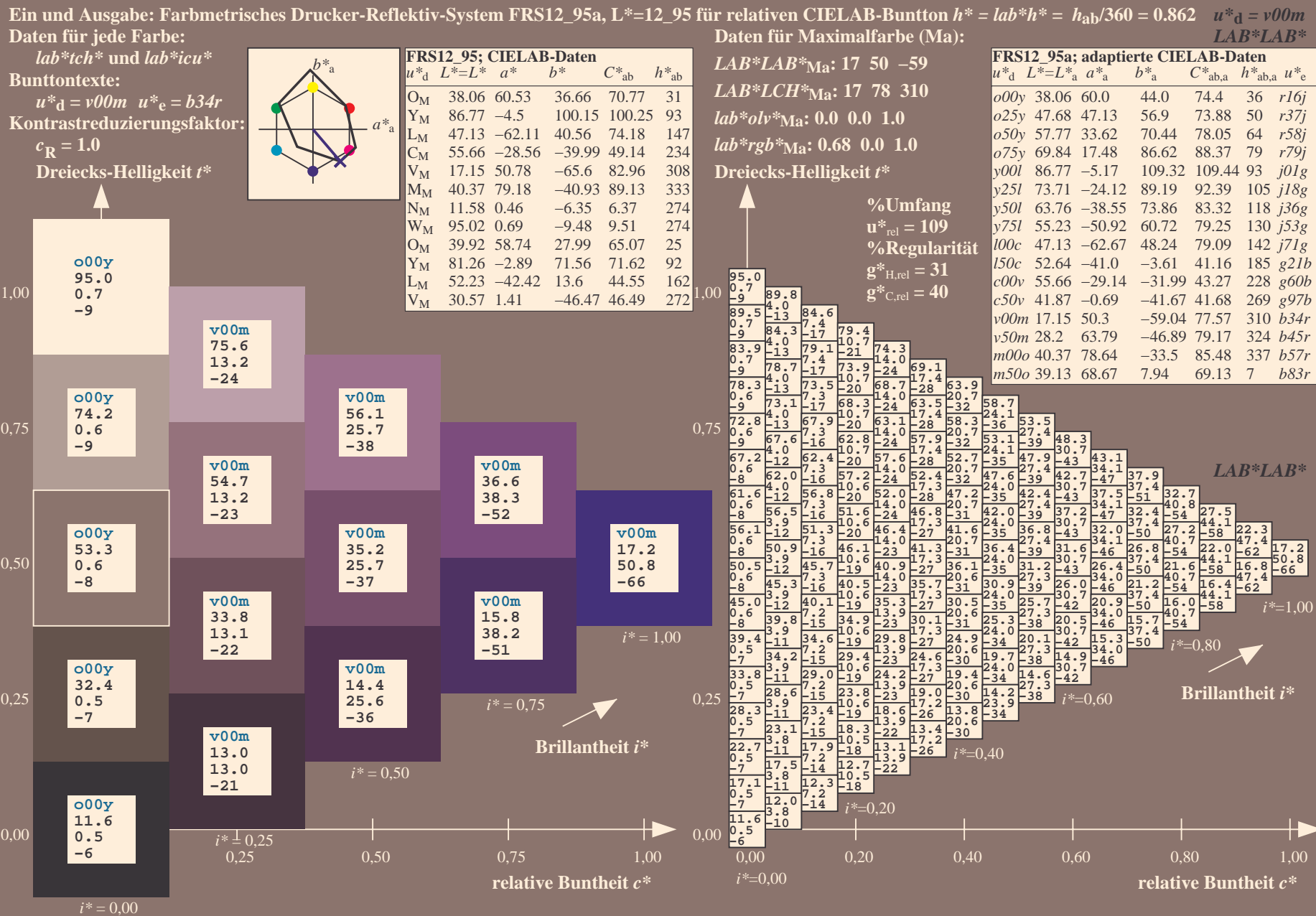
$g^*_{H,rel} = 31$

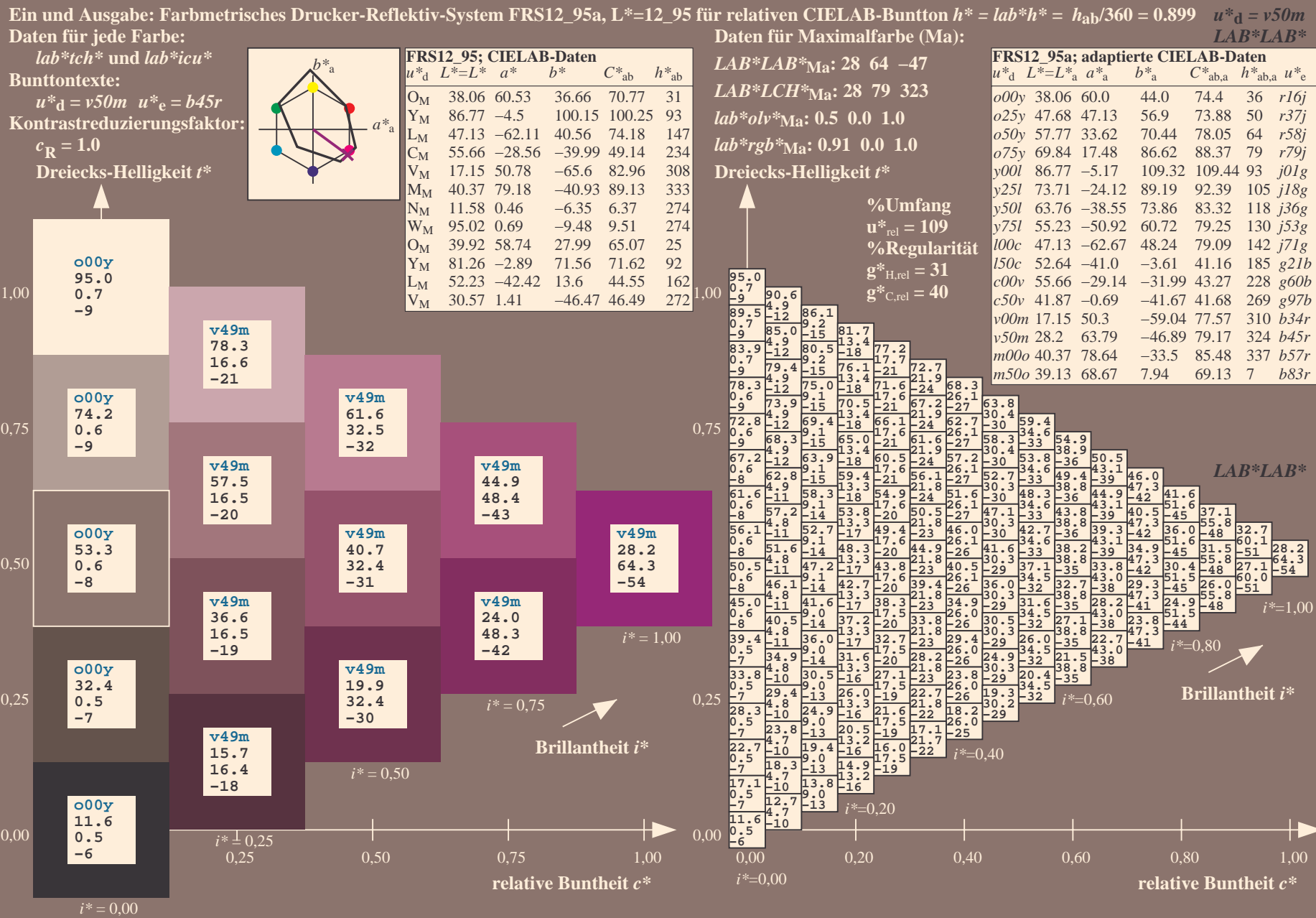
$g^*_{C,rel} = 40$

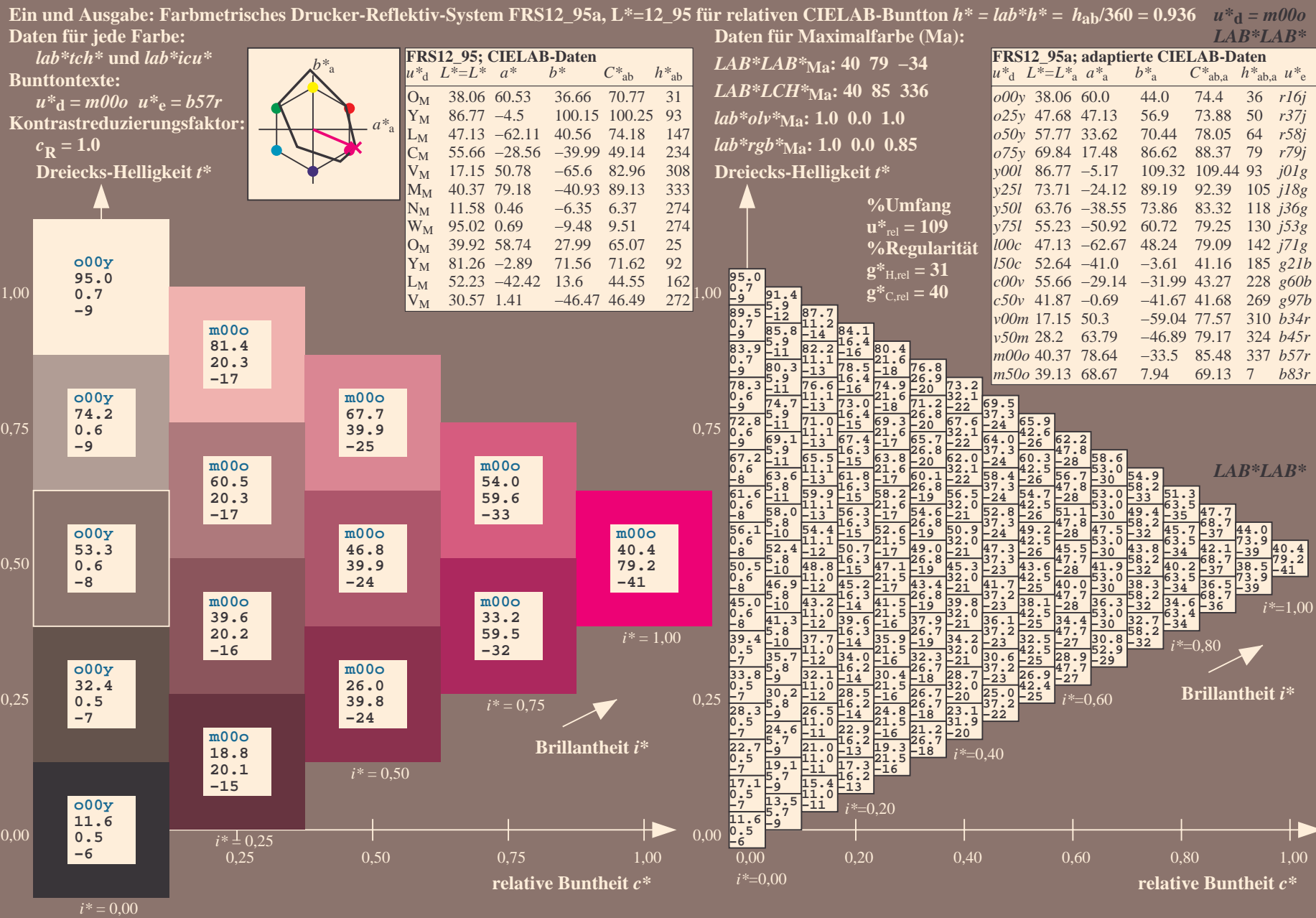
FRS12_95a; adaptierte CIELAB-Daten								
u^*_d	$L^*=L^*$	a^*_a	b^*_a	$C^*_{ab,a}$	$h^*_{ab,a}$	u^*_e		
o00y	38.06	60.0	44.0	74.4	36	r16j		
o25y	47.68	47.13	56.9	73.85	50	r37j		
o50y	57.77	33.62	70.44	78.05	64	r58j		
o75y	69.84	17.48	86.62	88.37	79	r79j		
y00l	86.77	-5.17	109.32	109.44	93	j01g		
y25l	73.71	-24.12	89.19	92.39	105	j18g		
y50l	63.76	-38.55	73.86	83.32	118	j36g		
y75l	55.23	-50.92	60.72	79.25	130	j53g		
l00c	47.13	-62.67	48.24	79.09	142	j71g		
l50c	52.64	-41.0	-3.61	41.16	185	g21b		
c00v	55.66	-29.14	-31.99	43.27	228	g60b		
c50v	41.87	-0.69	-41.67	41.68	269	g97b		
v00m	17.15	50.3	-59.04	77.57	310	b34r		
v50m	28.2	63.79	-46.89	79.17	324	b45r		
m00o	40.37	78.64	-33.5	85.48	337	b57r		
m50o	39.13	68.67	7.94	69.13	7	b83r		

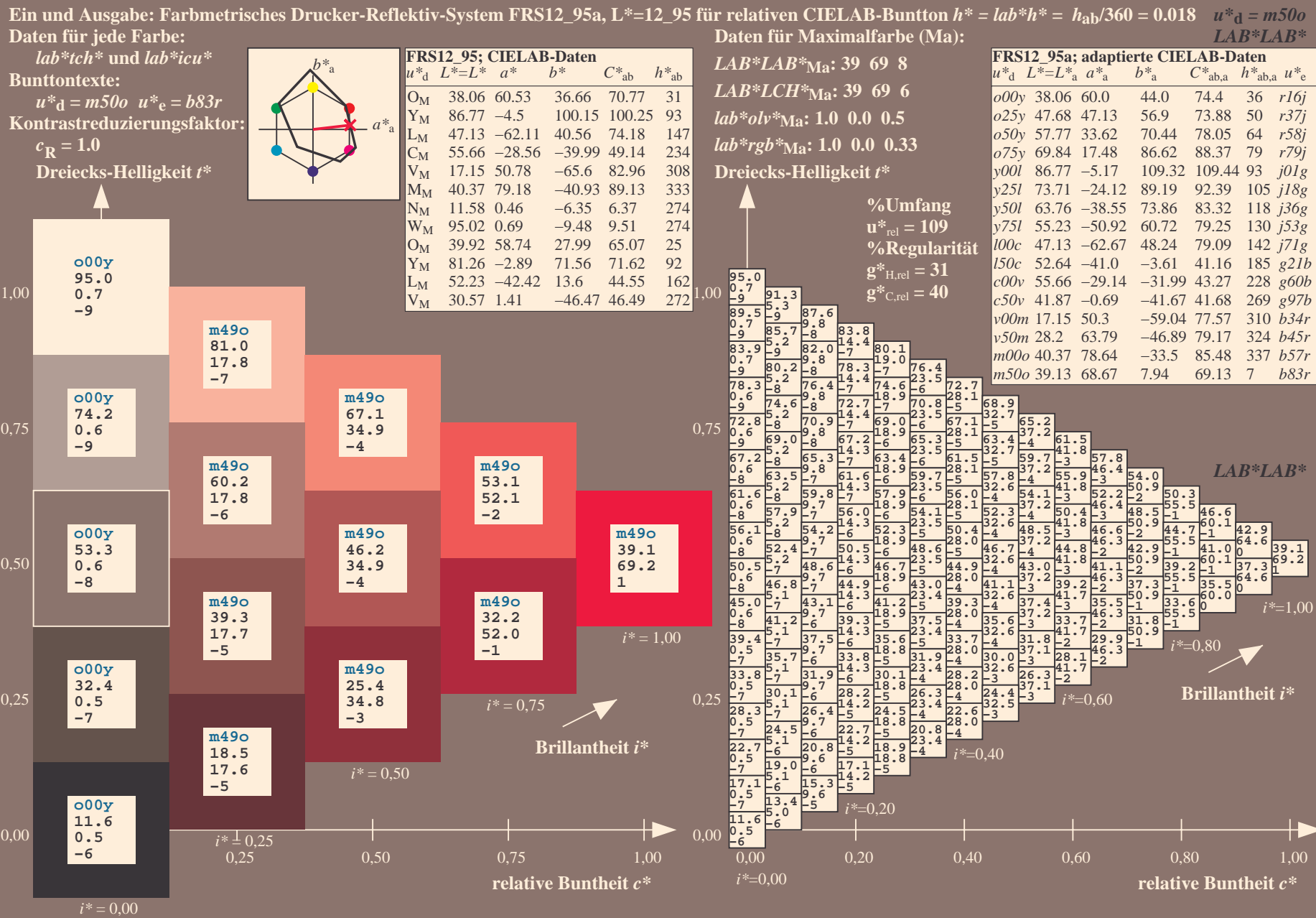












Siehe ähnliche Dateien: <http://www.ps.bam.de/Fg62/>; www.ps.bam.de/Fg62/; www.ps.bam.de/Fg62/
Technische Information: [http://www.ps.bam.de/Version 2.1, io=1.1, CIELAB, ColSpx=0](http://www.ps.bam.de/Version%202.1,%20io=1.1,CIELAB,ColSpx=0)

	A	B	C	D	E	F	G	H	I	J	K	L	M	N	O	P	Q	R	S	T	U	V	W	X	Y	Z	a	b	c	d	e	f	g	h	i	j	k	LAB*LAB*																																																																																																																																																																																																																																																																																																																																																																																																																																																																																																																																																																																																																																																																																																																																																																																																																																																																																																																
01	11.6	16.0	20.5	24.9	29.4	33.8	38.2	42.7	47.1	51.4	55.7	59.9	64.1	68.3	72.5	76.7	80.9	85.1	89.3	93.5	97.7	101.9	106.1	110.3	114.5	118.7	122.9	127.1	131.3	135.5	139.7	143.9	148.1	152.3	156.5	160.7	164.9	169.1	173.3	177.5	181.7	185.9	190.1	194.3	198.5	202.7	206.9	211.1	215.3	219.5	223.7	227.9	232.1	236.3	240.5	244.7	248.9	253.1	257.3	261.5	265.7	269.9	274.1	278.3	282.5	286.7	290.9	295.1	299.3	303.5	307.7	311.9	316.1	320.3	324.5	328.7	332.9	337.1	341.3	345.5	349.7	353.9	358.1	362.3	366.5	370.7	374.9	379.1	383.3	387.5	391.7	395.9	400.1	404.3	408.5	412.7	416.9	421.1	425.3	429.5	433.7	437.9	442.1	446.3	450.5	454.7	458.9	463.1	467.3	471.5	475.7	479.9	484.1	488.3	492.5	496.7	500.9	505.1	509.3	513.5	517.7	521.9	526.1	530.3	534.5	538.7	542.9	547.1	551.3	555.5	559.7	563.9	568.1	572.3	576.5	580.7	584.9	589.1	593.3	597.5	601.7	605.9	610.1	614.3	618.5	622.7	626.9	631.1	635.3	639.5	643.7	647.9	652.1	656.3	660.5	664.7	668.9	673.1	677.3	681.5	685.7	689.9	694.1	698.3	702.5	706.7	710.9	715.1	719.3	723.5	727.7	731.9	736.1	740.3	744.5	748.7	752.9	757.1	761.3	765.5	769.7	773.9	778.1	782.3	786.5	790.7	794.9	799.1	803.3	807.5	811.7	815.9	820.1	824.3	828.5	832.7	836.9	841.1	845.3	849.5	853.7	857.9	862.1	866.3	870.5	874.7	878.9	883.1	887.3	891.5	895.7	899.9	904.1	908.3	912.5	916.7	920.9	925.1	929.3	933.5	937.7	941.9	946.1	950.3	954.5	958.7	962.9	967.1	971.3	975.5	979.7	983.9	988.1	992.3	996.5	1000.7	1004.9	1009.1	1013.3	1017.5	1021.7	1025.9	1030.1	1034.3	1038.5	1042.7	1046.9	1051.1	1055.3	1059.5	1063.7	1067.9	1072.1	1076.3	1080.5	1084.7	1088.9	1093.1	1097.3	1101.5	1105.7	1109.9	1114.1	1118.3	1122.5	1126.7	1130.9	1135.1	1139.3	1143.5	1147.7	1151.9	1156.1	1160.3	1164.5	1168.7	1172.9	1177.1	1181.3	1185.5	1189.7	1193.9	1198.1	1202.3	1206.5	1210.7	1214.9	1219.1	1223.3	1227.5	1231.7	1235.9	1240.1	1244.3	1248.5	1252.7	1256.9	1261.1	1265.3	1269.5	1273.7	1277.9	1282.1	1286.3	1290.5	1294.7	1298.9	1303.1	1307.3	1311.5	1315.7	1319.9	1324.1	1328.3	1332.5	1336.7	1340.9	1345.1	1349.3	1353.5	1357.7	1361.9	1366.1	1370.3	1374.5	1378.7	1382.9	1387.1	1391.3	1395.5	1399.7	1403.9	1408.1	1412.3	1416.5	1420.7	1424.9	1429.1	1433.3	1437.5	1441.7	1445.9	1450.1	1454.3	1458.5	1462.7	1466.9	1471.1	1475.3	1479.5	1483.7	1487.9	1492.1	1496.3	1500.5	1504.7	1508.9	1513.1	1517.3	1521.5	1525.7	1529.9	1534.1	1538.3	1542.5	1546.7	1550.9	1555.1	1559.3	1563.5	1567.7	1571.9	1576.1	1580.3	1584.5	1588.7	1592.9	1597.1	1601.3	1605.5	1609.7	1613.9	1618.1	1622.3	1626.5	1630.7	1634.9	1639.1	1643.3	1647.5	1651.7	1655.9	1660.1	1664.3	1668.5	1672.7	1676.9	1681.1	1685.3	1689.5	1693.7	1697.9	1702.1	1706.3	1710.5	1714.7	1718.9	1723.1	1727.3	1731.5	1735.7	1739.9	1744.1	1748.3	1752.5	1756.7	1760.9	1765.1	1769.3	1773.5	1777.7	1781.9	1786.1	1790.3	1794.5	1798.7	1802.9	1807.1	1811.3	1815.5	1819.7	1823.9	1828.1	1832.3	1836.5	1840.7	1844.9	1849.1	1853.3	1857.5	1861.7	1865.9	1870.1	1874.3	1878.5	1882.7	1886.9	1891.1	1895.3	1899.5	1903.7	1907.9	1912.1	1916.3	1920.5	1924.7	1928.9	1933.1	1937.3	1941.5	1945.7	1949.9	1954.1	1958.3	1962.5	1966.7	1970.9	1975.1	1979.3	1983.5	1987.7	1991.9	1996.1	2000.3	2004.5	2008.7	2012.9	2017.1	2021.3	2025.5	2029.7	2033.9	2038.1	2042.3	2046.5	2050.7	2054.9	2059.1	2063.3	2067.5	2071.7	2075.9	2080.1	2084.3	2088.5	2092.7	2096.9	2101.1	2105.3	2109.5	2113.7	2117.9	2122.1	2126.3	2130.5	2134.7	2138.9	2143.1	2147.3	2151.5	2155.7	2159.9	2164.1	2168.3	2172.5	2176.7	2180.9	2185.1	2189.3	2193.5	2197.7	2201.9	2206.1	2210.3	2214.5	2218.7	2222.9	2227.1	2231.3	2235.5	2239.7	2243.9	2248.1	2252.3	2256.5	2260.7	2264.9	2269.1	2273.3	2277.5	2281.7	2285.9	2290.1	2294.3	2298.5	2302.7	2306.9	2311.1	2315.3	2319.5	2323.7	2327.9	2332.1	2336.3	2340.5	2344.7	2348.9	2353.1	2357.3	2361.5	2365.7	2369.9	2374.1	2378.3	2382.5	2386.7	2390.9	2395.1	2399.3	2403.5	2407.7	2411.9	2416.1	2420.3	2424.5	2428.7	2432.9	2437.1	2441.3	2445.5	2449.7	2453.9	2458.1	2462.3	2466.5	2470.7	2474.9	2479.1	2483.3	2487.5	2491.7	2495.9	2500.1	2504.3	2508.5	2512.7	2516.9	2521.1	2525.3	2529.5	2533.7	2537.9	2542.1	2546.3	2550.5	2554.7	2558.9	2563.1	2567.3	2571.5	2575.7	2579.9	2584.1	2588.3	2592.5	2596.7	2600.9	2605.1	2609.3	2613.5	2617.7	2621.9	2626.1	2630.3	2634.5	2638.7	2642.9	2647.1	2651.3	2655.5	2659.7	2663.9	2668.1	2672.3	2676.5	2680.7	2684.9	2689.1	2693.3	2697.5	2701.7	2705.9	2710.1	2714.3	2718.5	2722.7	2726.9	2731.1	2735.3	2739.5	2743.7	2747.9	2752.1	2756.3	2760.5	2764.7	2768.9	2773.1	2777.3	2781.5	2785.7	2789.9	2794.1	2798.3	2802.5	2806.7	2810.9	2815.1	2819.3	2823.5	2827.7	2831.9	2836.1	2840.3	2844.5	2848.7	2852.9	2857.1	2861.3	2865.5	2869.7	2873.9	2878.1	2882.3	2886.5	2890.7	2894.9	2899.1	2903.3	2907.5	2911.7	2915.9	2920.1	2924.3	2928.5	2932.7	2936.9	2941.1	2945.3	2949.5	2953.7	2957.9	2962.1	2966.3	2970.5	2974.7	2978.9	2983.1	2987.3	2991.5	2995.7	2999.9	3004.1	3008.3	3012.5	3016.7	3020.9	3025.1	3029.3	3033.5	3037.7	3041.9	3046.1	3050.3	3054.5	3058.7	3062.9	3067.1	3071.3	3075.5	3079.7	3083.9	3088.1	3092.3	3096.5	3100.7	3104.9	3109.1	3113.3	3117.5	3121.7	3125.9	3130.1	3134.3	3138.5	3142.7	3146.9	3151.1	3155.3	3159.5	3163.7	3167.9	3172.1	3176.3	3180.5	3184.7	3188.9	3193.1	3197.3	3201.5	3205.7	3209.9	3214.1	3218.3	3222.5	3226.7	3230.9	3235.1	3239.3	3243.5	3247.7	3251.9	3256.1	3260.3	3264.5	3268.7	3272.9	3277.1	3281.3	3285.5	3289.7	3293.9	3298.1	3302.3	3306.5	3310.7	3314.9	3319.1	3323.3	3327.5	3331.7	3335.9	3340.1	3344.3	3348.5	3352.7	3356.9	3361.1	3365.3	3369.5	3373.7	3377.9	3382.1	3386.3	3390.5	3394.7	3398.9	3403.1	3407.3	3411.5	3415.7	3419.9	3424.1	3428.3	3432.5	3436.7	3440.9	3445.1	3449.3	3453.5	3457.7	3461.9	3466.1	3470.3	3474.5	3478.7	3482.9	3487.1	3491.3	3495.5	3499.7	3503.9	3508.1	3512.3	3516.5	3520.7	3524.9	3529.1	3533.3	3537.5	3541.7	3545.9	3550.1	3554.3	3558.5	3562.7	3566.9	3571.1	3575.3	3579.5	3583.7	3587.9	3592.1	3596.3	3600.5	3604.7	3608.9	3613.1	3617.3	3621.5	3625.7	3629.9	3634.1	3638.3	3642.5	3646.7	3650.9	3655.1	3659.3	3663.5	3667.7	3671.9	3676.1	3680.3	3684.5	3688.7	3692.9	3697.1	3701.3	3705.5	3709.7	3713.9	3718.1	3722.3	3726.5	3730.7	3734.9	3739.1	3743.3	3747.5	3751.7	3755.9	3760.1	3764.3	3768.5	3772.7	3776.9	3781.1	3785.3	3789.5	3793.7	3797.9	3802.1	3806.3	3810.5	3814.7	3818.9	3823.1	3827.3	3831.5	3835.7	3839.9	3844.1	3848.3	3852.5	3856.7	3860.9	3865

Ein und Ausgabe:
Farbmetrisches Drucker-Reflektiv-System FRS12_95a
Daten für jede Farbe:

u^*_d und Nummer $Nr.$ = 00 .. 15

Geräte-Bunttontext:

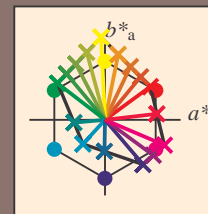
u^*_d = 16 Bunttoene $o00y$, $o25y$, ..., $m50o$

Kontrastreduzierungsfaktor:

$c_R = 1.0$

FRS12_95a; adaptierte CIELAB-Daten

u^*_d	$L^*=L^*_a$	a^*_a	b^*_a	$C^*_{ab,a}$	$h^*_{ab,a}$	u^*_e
$o00y$	38.06	60.0	44.0	74.4	36	$r16j$
$o25y$	47.68	47.13	56.9	73.88	50	$r37j$
$o50y$	57.77	33.62	70.44	78.05	64	$r58j$
$o75y$	69.84	17.48	86.62	88.37	79	$r79j$
$y00l$	86.77	-5.17	109.32	109.44	93	$j01g$
$y25l$	73.71	-24.12	89.19	92.39	105	$j18g$
$y50l$	63.76	-38.55	73.86	83.32	118	$j36g$
$y75l$	55.23	-50.92	60.72	79.25	130	$j53g$
$l00c$	47.13	-62.67	48.24	79.09	142	$j71g$
$l50c$	52.64	-41.0	-3.61	41.16	185	$g21b$
$c00v$	55.66	-29.14	-31.99	43.27	228	$g60b$
$c50v$	41.87	-0.69	-41.67	41.68	269	$g97b$
$v00m$	17.15	50.3	-59.04	77.57	310	$b34r$
$v50m$	28.2	63.79	-46.89	79.17	324	$b45r$
$m00o$	40.37	78.64	-33.5	85.48	337	$b57r$
$m50o$	39.13	68.67	7.94	69.13	7	$b83r$



%Umfang

$u^*_{rel} = 109$

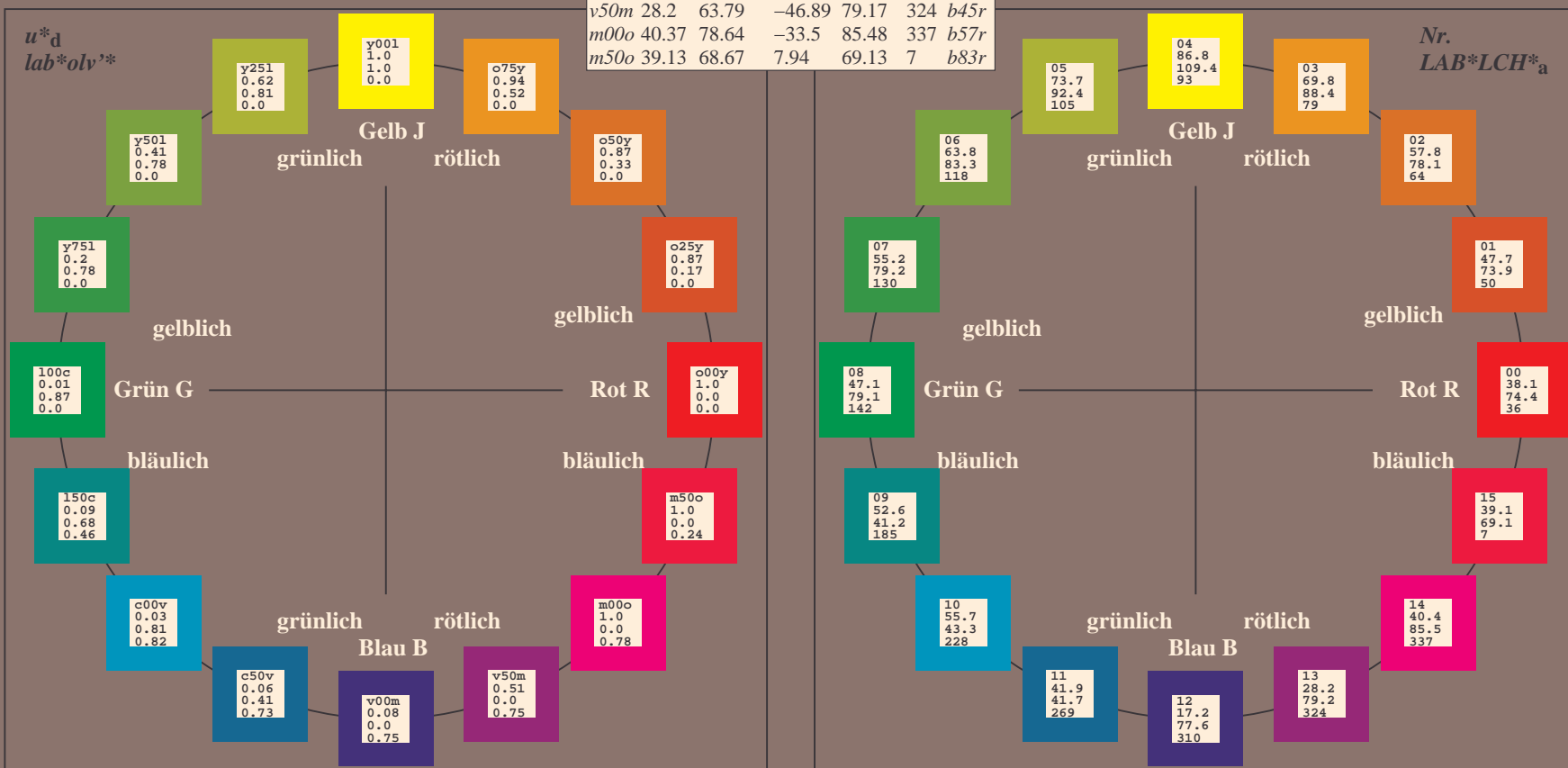
%Regularität

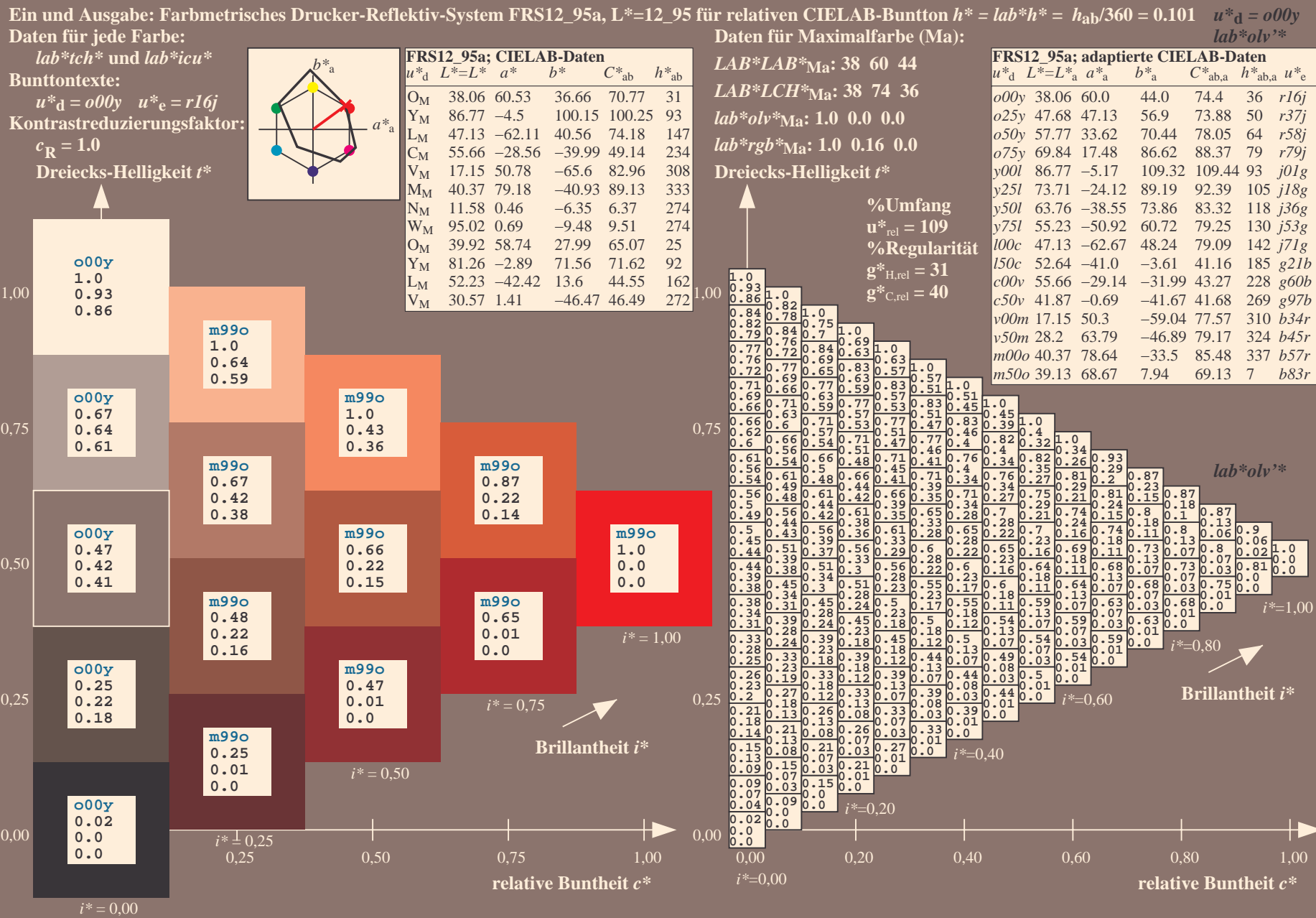
$g^*_{H,rel} = 31$

$g^*_{C,rel} = 40$

FRS12_95a; CIELAB-Daten

Name	$L^*=L^*$	a^*	b^*	C^*_{ab}	h^*_{ab}
O_M	38.06	60.53	36.66	70.77	31
Y_M	86.77	-4.5	100.15	100.25	93
L_M	47.13	-62.11	40.56	74.18	147
C_M	55.66	-28.56	-39.99	49.14	234
V_M	17.15	50.78	-65.6	82.96	308
M_M	40.37	79.18	-40.93	89.13	333
N_M	11.58	0.46	-6.35	6.37	274
W_M	95.02	0.69	-9.48	9.51	274
O_{CIE}	39.92	58.74	27.99	65.07	25
Y_{CIE}	81.26	-2.89	71.56	71.62	92
L_{CIE}	52.23	-42.42	13.6	44.55	162
V_{CIE}	30.57	1.41	-46.47	46.49	272



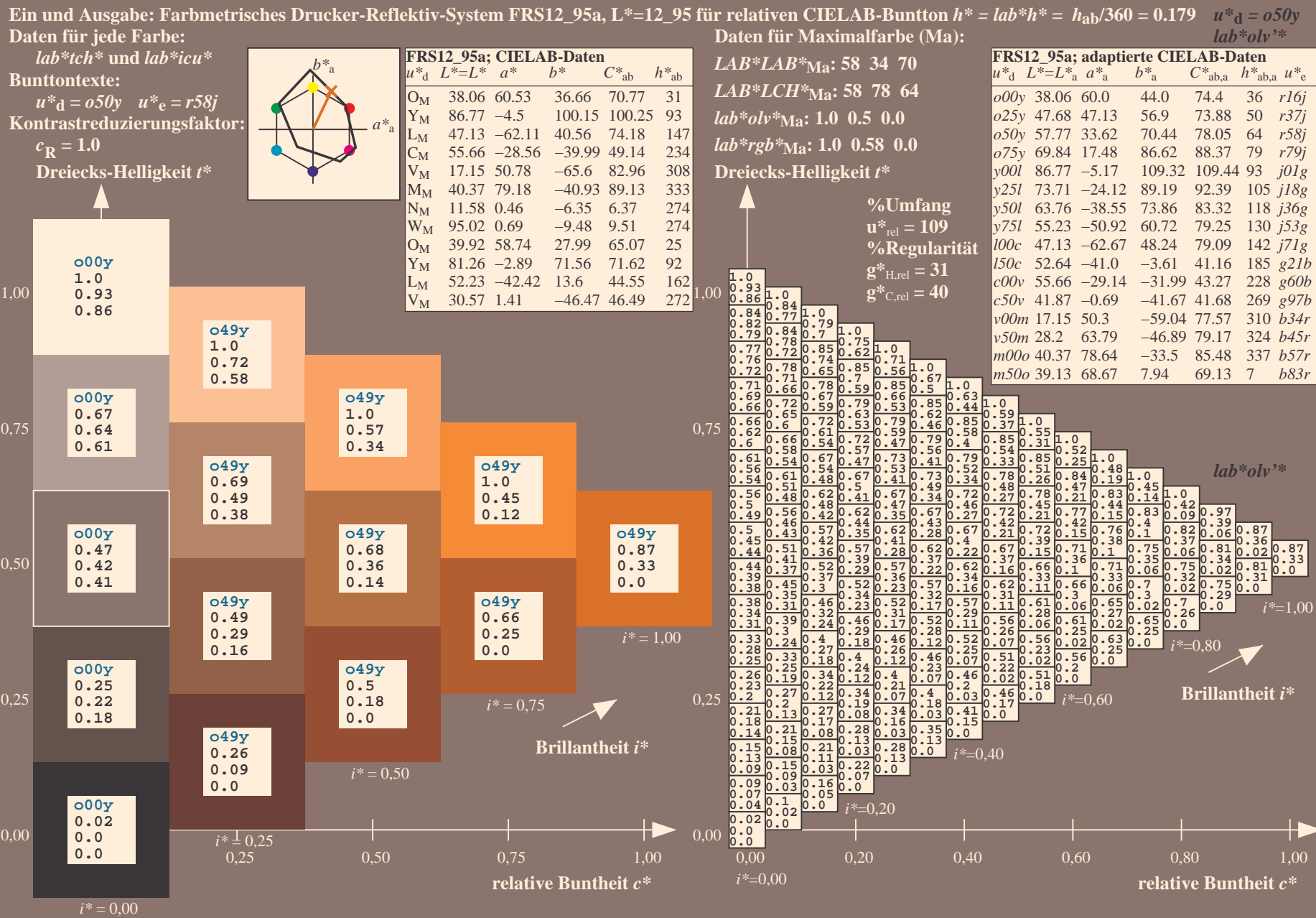


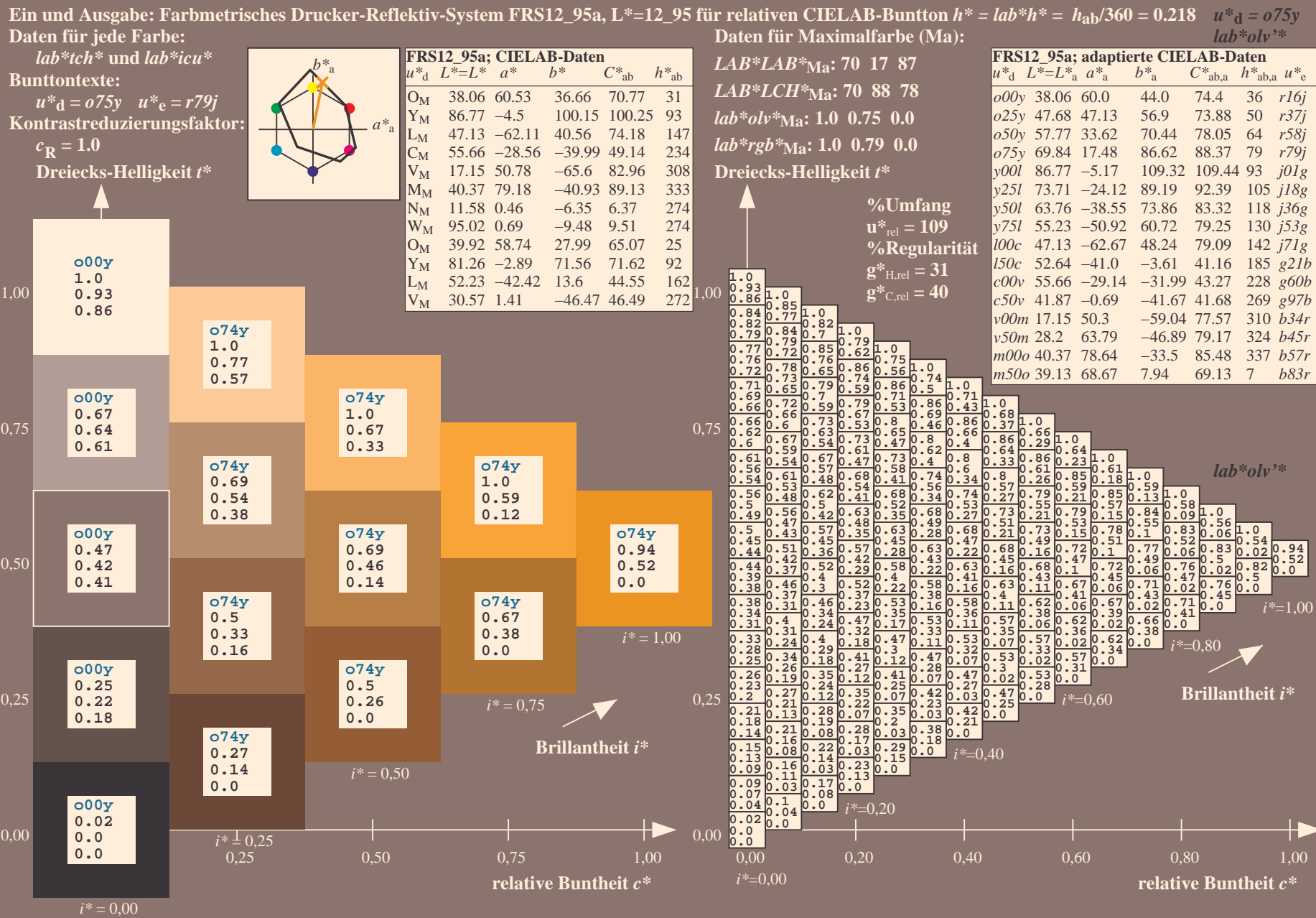
Dreiecks-Helligkeit t^*

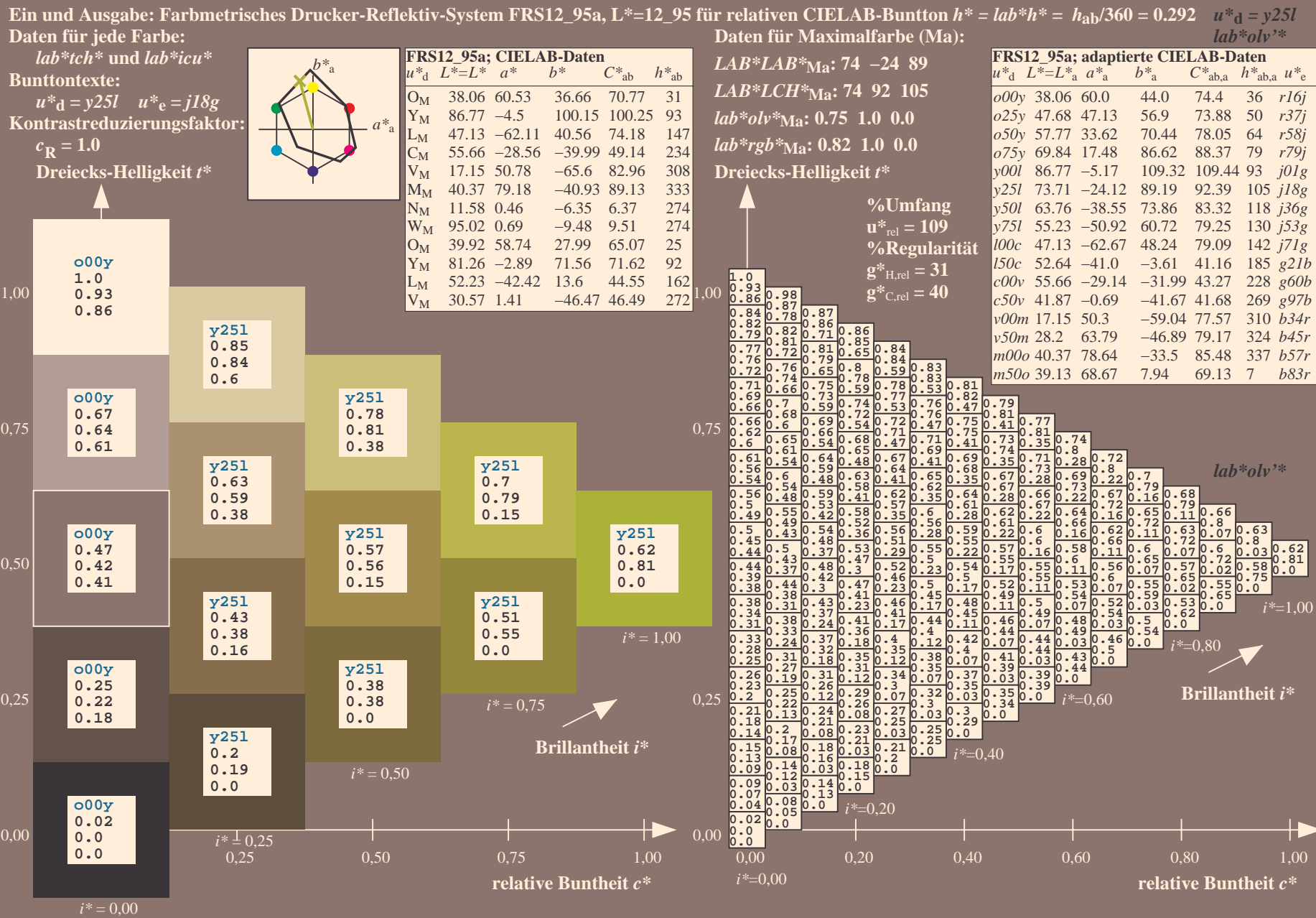

$$g^*_{C,rel} = 40$$

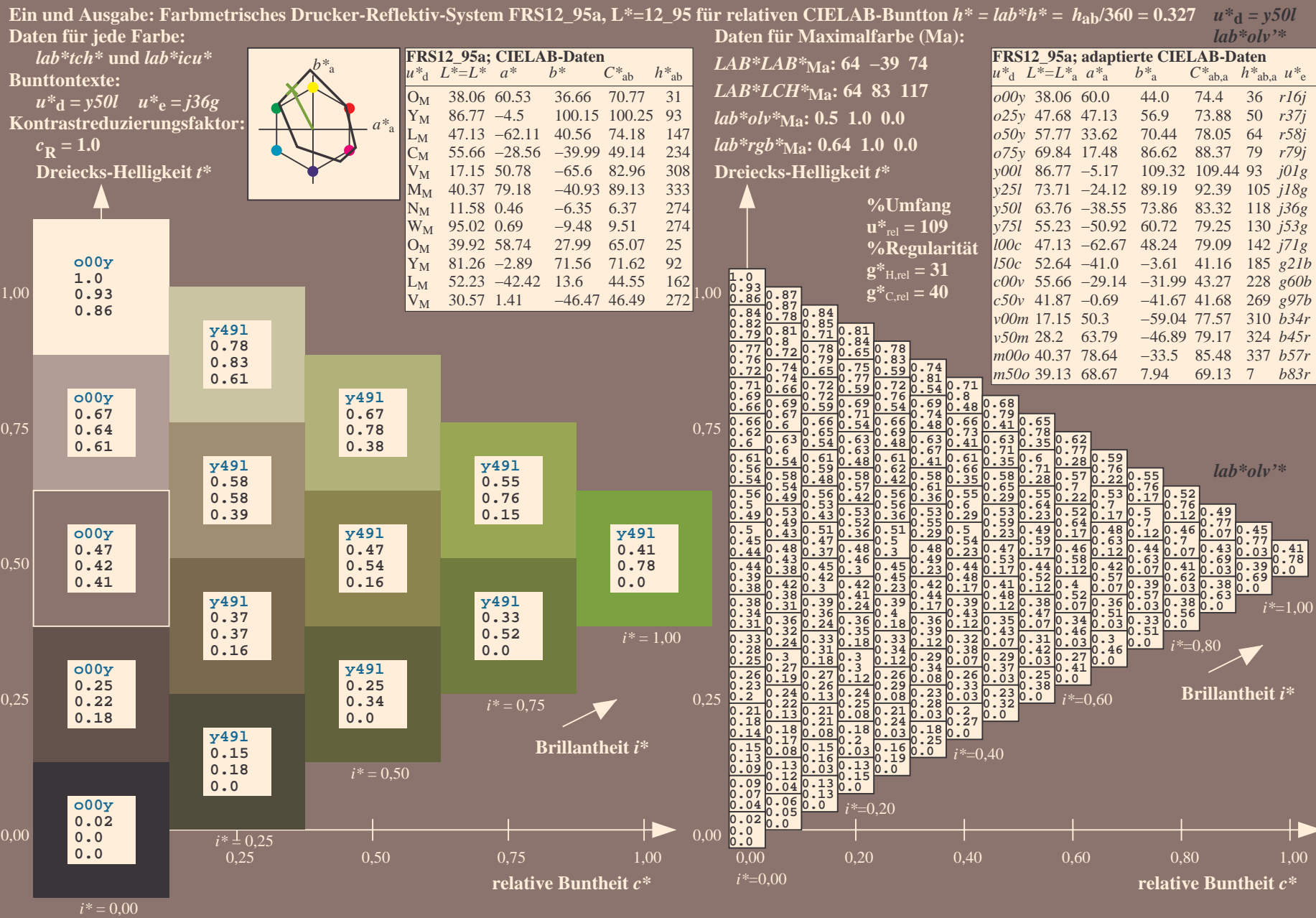
DoAusgabe: $\rightarrow LAB^* \rightarrow cmv0^* setcmv$

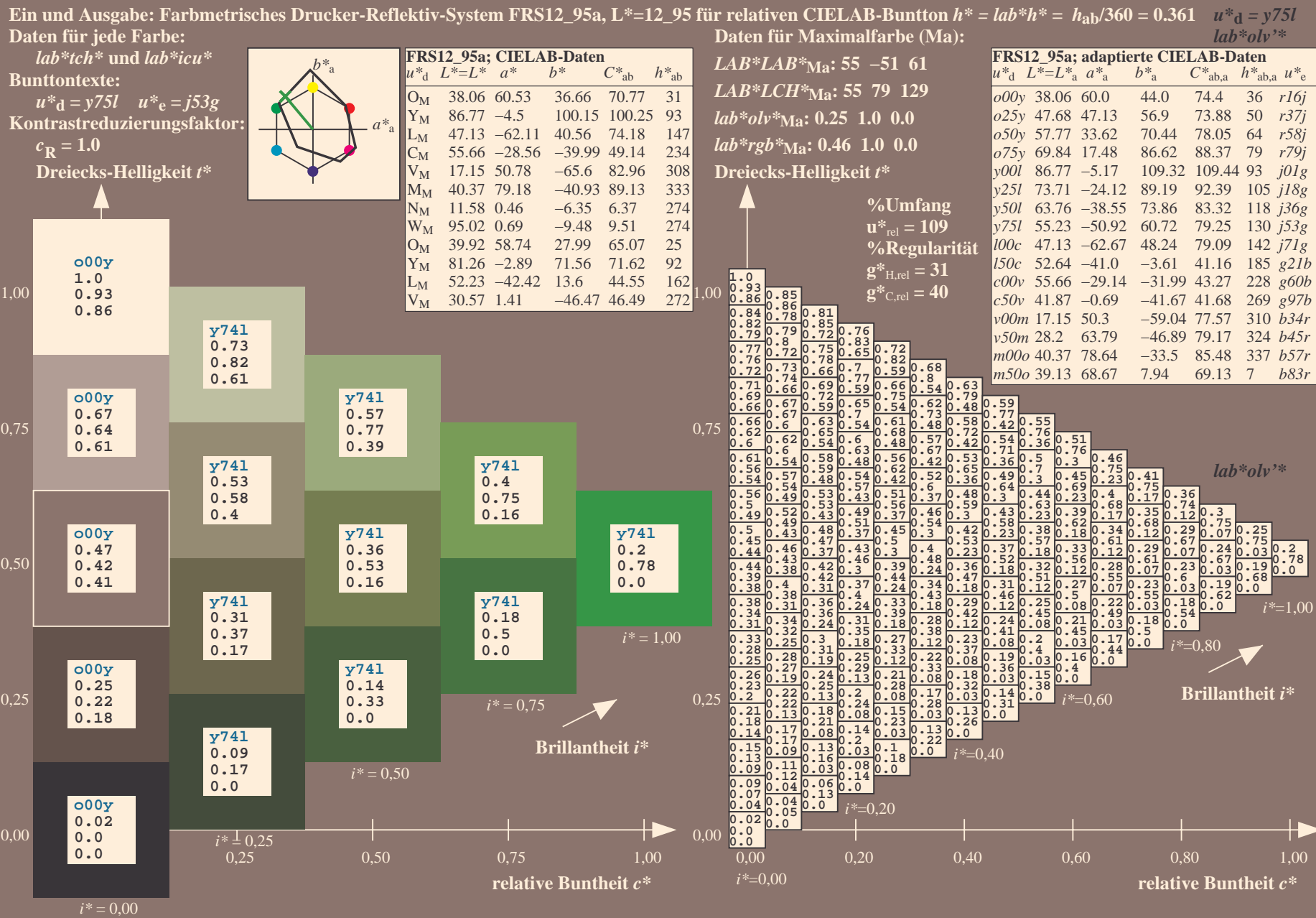
BAM-Registrierung: 20081001-Fg62/10L/L62g00FP.PDF/.PS BAM-Material: Code=rh4ta
Anwendung für Beurteilung und Messung von Drucker- oder Monitorsystemen

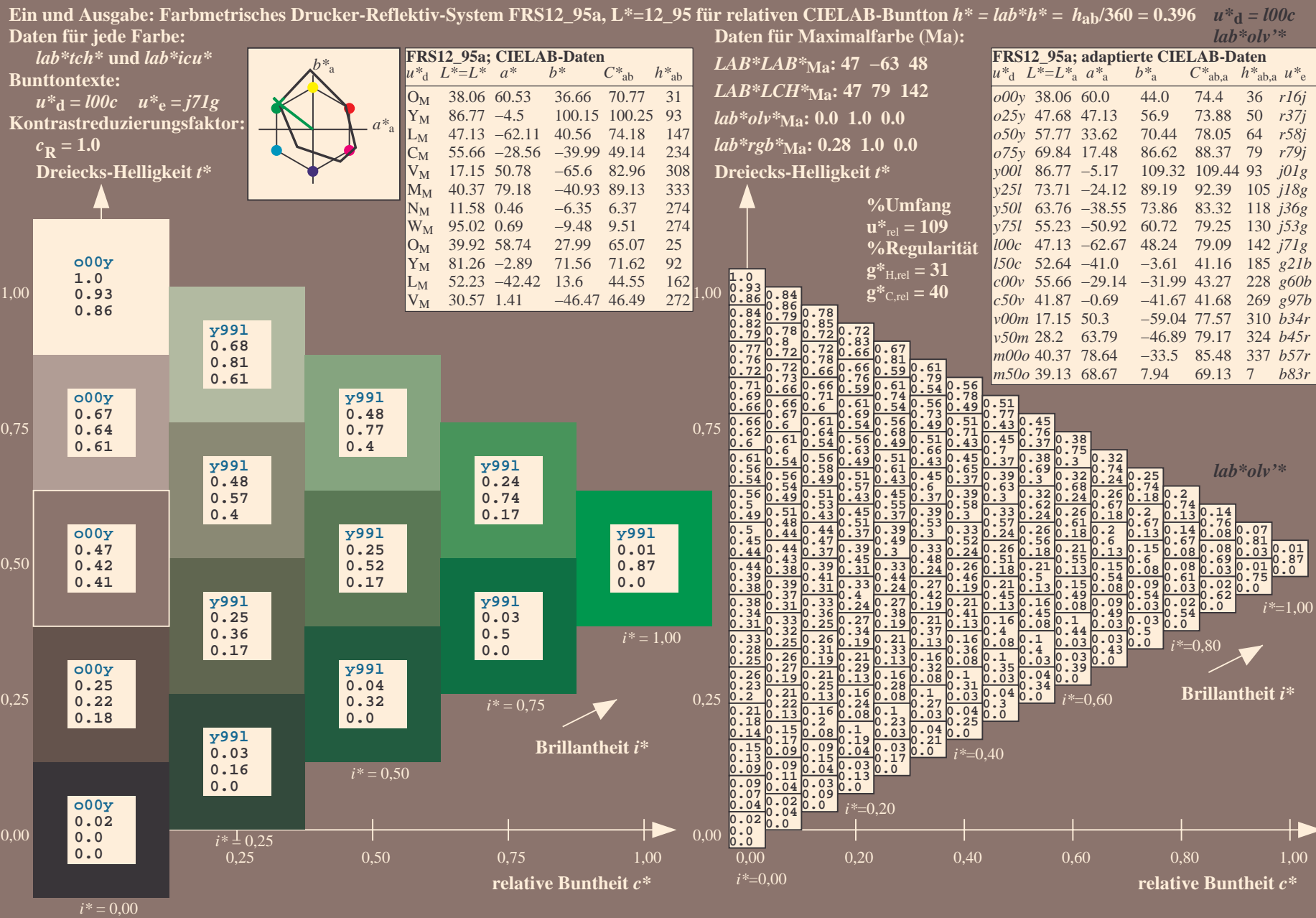


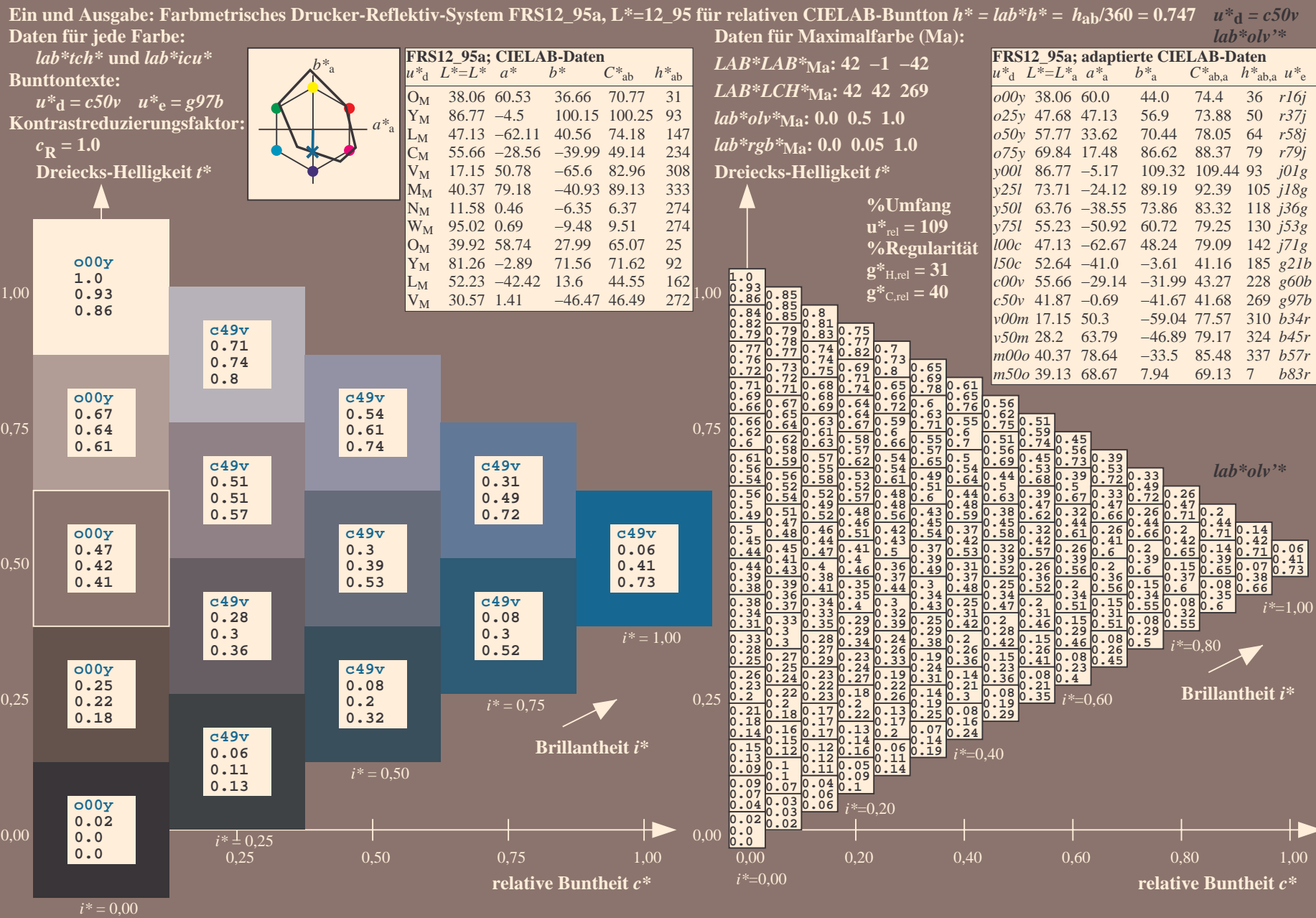


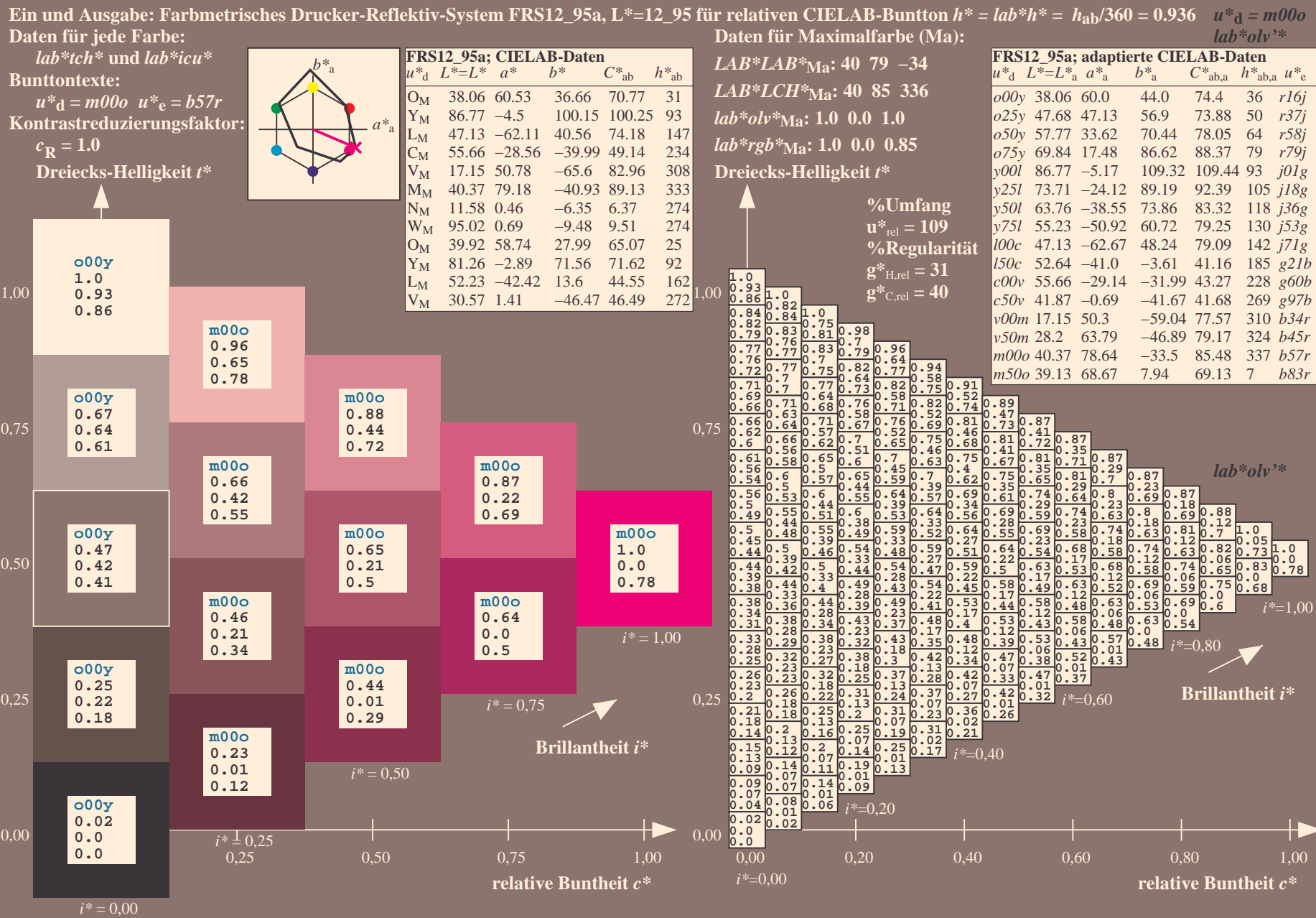


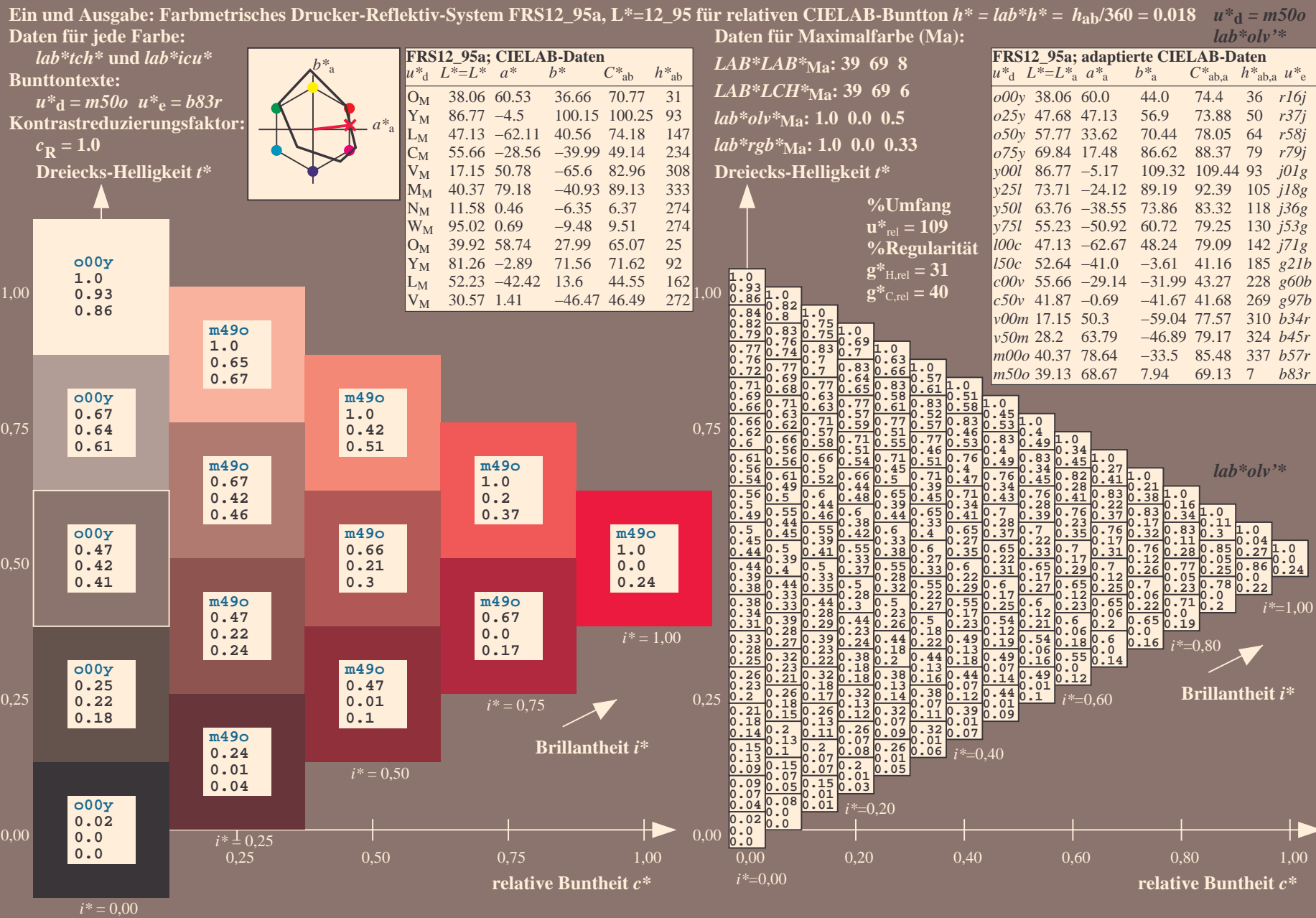












Siehe ähnliche Dateien: <http://www.ps.bam.de/Fg62/>; www.ps.bam.de/Fg62/; www.ps.bam.de/Fg62/
Technische Information: <http://www.ps.bam.de> Version 2.1, io=1,1, CIELAB, ColSpx=0

	A	B	C	D	E	F	G	H	I	J	K	L	M	N	O	P	Q	R	S	T	U	V	W	X	Y	Z	a	b	c	d	e	f	g	h	i	j	k	lab*oly*		
01	0.02	0.03	0.03	0.04	0.04	0.03	0.03	0.02	0.01	0.15	0.17	0.15	0.15	0.14	0.14	0.13	0.13	0.13	0.25	0.26	0.29	0.25	0.25	0.23	0.22	0.21	2.0	1.0	1.0	1.0	1.0	1.0	0.98	0.87	0.87	1.0	0.02	0.02	0.02	0.02
02	0.00	0.08	0.16	0.25	0.32	0.4	0.5	0.62	0.87	0	0.13	0.18	0.25	0.33	0.41	0.5	0.63	0.8	0.01	0.09	0.2	0.26	0.34	0.42	0.5	0.62	0.78	0.93	0.76	0.64	0.53	0.43	0.32	0.22	0.12	0	0	0	0	
03	0.00	0.00	0.00	0.00	0.00	0.00	0.00	0.00	0.00	0.00	0.00	0.00	0.00	0.00	0.00	0.00	0.00	0.00	0.00	0.00	0.00	0.00	0.00	0.00	0.00	0.00	0.86	0.71	0.59	0.47	0.36	0.24	0.14	0.06	0	0	0	0		
04	0.04	0.03	0.05	0.06	0.07	0.08	0.08	0.08	0.07	0.13	0.14	0.15	0.15	0.15	0.15	0.15	0.14	0.13	0.24	0.25	0.27	0.25	0.24	0.24	0.24	0.23	0.22	0.8	0.78	0.78	0.78	0.77	0.76	0.75	0.74	0.75	0.14	0.14	0.14	0.14
05	0.00	0.09	0.17	0.23	0.31	0.38	0.47	0.56	0.7	0.01	0.13	0.19	0.26	0.34	0.42	0.5	0.61	0.76	0.01	0.12	0.21	0.27	0.35	0.43	0.51	0.61	0.75	0.85	0.76	0.65	0.53	0.43	0.32	0.22	0.13	0	0	0	0	
06	0.04	0.06	0.08	0.1	0.11	0.12	0.13	0.14	0.14	0.05	0.08	0.08	0.08	0.08	0.08	0.08	0.08	0.08	0.04	0.07	0.07	0.07	0.07	0.07	0.07	0.07	0.07	0.84	0.73	0.61	0.5	0.38	0.25	0.15	0.06	0	0	0	0	
07	0.08	0.06	0.05	0.07	0.07	0.08	0.09	0.09	0.1	0.16	0.17	0.16	0.17	0.17	0.18	0.18	0.18	0.18	0.23	0.24	0.25	0.25	0.25	0.25	0.24	0.24	0.7	0.69	0.67	0.67	0.67	0.67	0.66	0.65	0.65	0.25	0.25	0.25	0.25	
08	0.00	0.11	0.17	0.24	0.31	0.39	0.47	0.56	0.67	0	0.11	0.19	0.26	0.33	0.41	0.49	0.58	0.69	0.01	0.12	0.22	0.29	0.36	0.44	0.52	0.61	0.74	0.82	0.73	0.64	0.52	0.42	0.31	0.22	0.12	0.01	0.22	0.22	0.22	
09	0.11	0.13	0.15	0.17	0.2	0.22	0.24	0.25	0.27	0.11	0.14	0.16	0.19	0.21	0.22	0.23	0.24	0.24	0.12	0.15	0.18	0.18	0.17	0.17	0.17	0.17	0.17	0.82	0.71	0.61	0.5	0.38	0.26	0.15	0.06	0	0	0	0	
10	0.1	0.08	0.07	0.06	0.07	0.08	0.09	0.09	0.1	0.18	0.2	0.18	0.17	0.17	0.18	0.18	0.19	0.19	0.26	0.27	0.28	0.26	0.27	0.27	0.27	0.28	0.28	0.61	0.6	0.59	0.57	0.58	0.57	0.56	0.56	0.36	0.36	0.36	0.36	
11	0.00	0.12	0.18	0.24	0.32	0.39	0.47	0.56	0.67	0	0.1	0.21	0.26	0.34	0.41	0.49	0.57	0.68	0	0.11	0.21	0.29	0.36	0.43	0.51	0.6	0.7	0.78	0.69	0.6	0.52	0.41	0.31	0.22	0.13	0	0	0	0	
12	0.19	0.21	0.23	0.24	0.27	0.3	0.33	0.35	0.38	0.19	0.22	0.24	0.26	0.28	0.31	0.34	0.36	0.37	0.2	0.22	0.25	0.27	0.3	0.32	0.33	0.34	0.35	0.79	0.69	0.6	0.51	0.4	0.27	0.15	0.07	0	0	0		
13	0.13	0.09	0.08	0.07	0.06	0.07	0.08	0.09	0.09	0.2	0.22	0.19	0.18	0.17	0.18	0.18	0.19	0.19	0.28	0.29	0.3	0.28	0.27	0.27	0.28	0.28	0.29	0.52	0.51	0.5	0.49	0.47	0.48	0.48	0.47	0.47	0.47	0.47		
14	0.00	0.13	0.2	0.26	0.32	0.4	0.47	0.56	0.67	0.68	0	0.09	0.21	0.28	0.34	0.41	0.49	0.58	0.68	0	0.1	0.19	0.3	0.36	0.43	0.51	0.6	0.7	0.76	0.66	0.58	0.49	0.42	0.32	0.22	0.13	0	0	0	
15	0.28	0.3	0.32	0.34	0.36	0.38	0.41	0.43	0.46	0.28	0.31	0.33	0.35	0.36	0.39	0.41	0.44	0.46	0.28	0.31	0.33	0.36	0.38	0.4	0.42	0.44	0.46	0.78	0.68	0.59	0.5	0.41	0.28	0.16	0.07	0	0	0	0	
16	0.00	0.13	0.21	0.28	0.34	0.41	0.49	0.58	0.69	0	0.08	0.22	0.29	0.35	0.42	0.49	0.58	0.69	0	0.09	0.19	0.31	0.37	0.44	0.51	0.6	0.7	0.74	0.64	0.55	0.46	0.39	0.32	0.22	0.13	0	0	0	0	
17	0.38	0.4	0.41	0.43	0.44	0.46	0.48	0.51	0.53	0.28	0.44	0.42	0.43	0.45	0.46	0.48	0.51	0.53	0.38	0.39	0.42	0.44	0.45	0.47	0.49	0.51	0.54	0.77	0.66	0.57	0.48	0.39	0.32	0.22	0.13	0	0	0	0	
18	0.12	0.1	0.09	0.08	0.07	0.06	0.05	0.06	0.07	0.22	0.24	0.22	0.2	0.19	0.18	0.17	0.18	0.18	0.31	0.33	0.35	0.36	0.37	0.38	0.39	0.4	0.42	0.72	0.61	0.52	0.43	0.36	0.29	0.22	0.12	0	0	0	0	
19	0.5	0.48	0.5	0.52	0.53	0.55	0.56	0.58	0.6	0.5	0.49	0.5	0.51	0.53	0.54	0.56	0.57	0.59	0.5	0.48	0.5	0.52	0.53	0.55	0.56	0.58	0.6	0.76	0.65	0.56	0.47	0.38	0.27	0.18	0.07	0	0	0		
20	0.1	0.1	0.09	0.08	0.07	0.06	0.05	0.04	0.05	0.22	0.25	0.22	0.21	0.2	0.19	0.18	0.16	0.17	0.32	0.34	0.36	0.33	0.32	0.3	0.29	0.27	0.29	0.16	0.16	0.17	0.17	0.17	0.17	0.16	0.14	0.15	0.78	0.78	0.78	0.78
21	0.00	0.14	0.24	0.32	0.38	0.45	0.53	0.62	0.74	0	0.07	0.22	0.32	0.39	0.45	0.52	0.6	0.71	0	0.08	0.17	0.32	0.4	0.47	0.53	0.61	0.71	0.73	0.6	0.5	0.42	0.34	0.26	0.19	0.13	0	0	0	0	
22	0.59	0.58	0.59	0.6	0.61	0.63	0.65	0.67	0.68	0.58	0.58	0.58	0.59	0.6	0.62	0.63	0.65	0.67	0.58	0.57	0.58	0.6	0.61	0.62	0.63	0.65	0.67	0.77	0.65	0.56	0.46	0.36	0.26	0.16	0.08	0	0	0	0	
23	0.08	0.09	0.08	0.07	0.06	0.06	0.05	0.04	0.03	0.21	0.25	0.23	0.21	0.2	0.19	0.18	0.17	0.16	0.33	0.35	0.38	0.35	0.33	0.31	0.3	0.29	0.28	0.03	0.04	0.05	0.06	0.06	0.06	0.05	0.03	0.02	1.0	1.0	1.0	1.0
24	0.00	0.15	0.25	0.34	0.41	0.48	0.56	0.65	0.81	0	0.07	0.22	0.33	0.41	0.48	0.55	0.62	0.73	0	0.07	0.17	0.32	0.42	0.49	0.56	0.63	0.72	0.81	0.62	0.5	0.41	0.32	0.24	0.17	0.09	0	0	0	0	
25	0.75	0.69	0.7	0.71	0.73	0.74	0.76	0.79	0.82	0.75	0.69	0.68	0.69	0.7	0.72	0.73	0.74	0.77	0.75	0.69	0.68	0.69	0.7	0.72	0.73	0.74	0.76	0.82	0.71	0.6	0.56	0.46	0.36	0.24	0.15	0.06	0	0	0	
26	0.38	0.38	0.39	0.41	0.38	0.38	0.33	0.32	0.3	0.47	0.5	0.5	0.5	0.52	0.5	0.45	0.43	0.41	0.56	0.56	0.57	0.58	0.59	0.63	0.56	0.53	0.51	1.0	1.0	1.0	1.0	1.0	1.0	1.0	1.0	0.02	0.02	0.02	0.02	
27	0.01	0.13	0.18	0.3	0.38	0.44	0.52	0.62	0.77	0.01	0.13	0.18	0.26	0.39	0.46	0.54	0.64	0.78	0.01	0.13	0.17	0.25	0.38	0.5	0.56	0.6	0.8	0.93	0.86	0.85	0.84	0.85	0.84	0.85	0.86	1.0	1.0	0.0	0.0	
28	0.00	0.00	0.00	0.00	0.00	0.00	0.00	0.00	0.00	0.00	0.00	0.00	0.00	0.00	0.00	0.00	0.00	0.00	0.00	0.00	0.00	0.00	0.00	0.00	0.00	0.00	0.86	0.7	0.58	0.46	0.34	0.22	0.13	0.06	0	0	0	0		
29	0.37	0.36	0.38	0																																				

Ein und Ausgabe:
Farbmetrisches Drucker-Reflektiv-System FRS12_95a
Daten für jede Farbe:

u^*_d und Nummer Nr. = 00 .. 15

Geräte-Bunttontext:

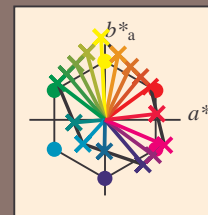
u^*_d = 16 Bunttoene *o00y*, *o25y*, ..., *m50o*

Kontrastreduzierungsfaktor:

$c_R = 1.0$

FRS12_95a; adaptierte CIELAB-Daten

u^*_d	$L^*=L^*_a$	a^*_a	b^*_a	$C^*_{ab,a}$	$h^*_{ab,a}$	u^*_e
<i>o00y</i>	38.06	60.0	44.0	74.4	36	<i>r16j</i>
<i>o25y</i>	47.68	47.13	56.9	73.88	50	<i>r37j</i>
<i>o50y</i>	57.77	33.62	70.44	78.05	64	<i>r58j</i>
<i>o75y</i>	69.84	17.48	86.62	88.37	79	<i>r79j</i>
<i>y00l</i>	86.77	-5.17	109.32	109.44	93	<i>j01g</i>
<i>y25l</i>	73.71	-24.12	89.19	92.39	105	<i>j18g</i>
<i>y50l</i>	63.76	-38.55	73.86	83.32	118	<i>j36g</i>
<i>y75l</i>	55.23	-50.92	60.72	79.25	130	<i>j53g</i>
<i>l00c</i>	47.13	-62.67	48.24	79.09	142	<i>j71g</i>
<i>l50c</i>	52.64	-41.0	-3.61	41.16	185	<i>g21b</i>
<i>c00v</i>	55.66	-29.14	-31.99	43.27	228	<i>g60b</i>
<i>c50v</i>	41.87	-0.69	-41.67	41.68	269	<i>g97b</i>
<i>v00m</i>	17.15	50.3	-59.04	77.57	310	<i>b34r</i>
<i>v50m</i>	28.2	63.79	-46.89	79.17	324	<i>b45r</i>
<i>m00o</i>	40.37	78.64	-33.5	85.48	337	<i>b57r</i>
<i>m50o</i>	39.13	68.67	7.94	69.13	7	<i>b83r</i>



%Umfang

$u^*_{rel} = 109$

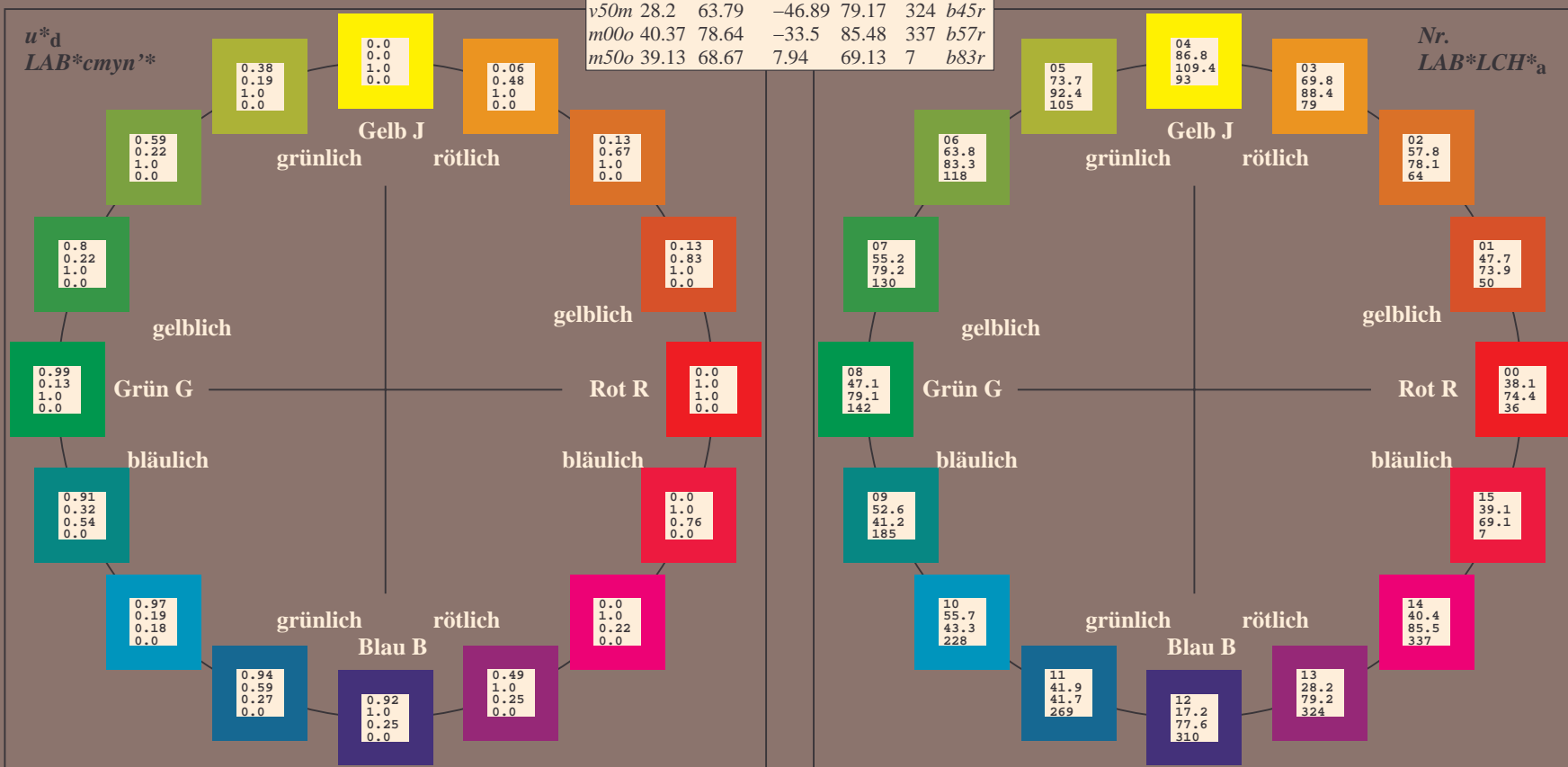
%Regularität

$g^*_{H,rel} = 31$

$g^*_{C,rel} = 40$

FRS12_95a; CIELAB-Daten

Name	$L^*=L^*$	a^*	b^*	C^*_{ab}	h^*_{ab}
O _M	38.06	60.53	36.66	70.77	31
Y _M	86.77	-4.5	100.15	100.25	93
L _M	47.13	-62.11	40.56	74.18	147
C _M	55.66	-28.56	-39.99	49.14	234
V _M	17.15	50.78	-65.6	82.96	308
M _M	40.37	79.18	-40.93	89.13	333
N _M	11.58	0.46	-6.35	6.37	274
W _M	95.02	0.69	-9.48	9.51	274
O _{CIE}	39.92	58.74	27.99	65.07	25
Y _{CIE}	81.26	-2.89	71.56	71.62	92
L _{CIE}	52.23	-42.42	13.6	44.55	162
V _{CIE}	30.57	1.41	-46.47	46.49	272



Ein und Ausgabe: Farbmatisches Drucker-Reflektiv-System FRS12_95a, L*=12_95 für relativen CIELAB-Buntton $h^* = lab^*h^* = h_{ab}/360 = 0.101$ $u^*_d = o00y$

Daten für jede Farbe:
 lab^*ch^* und lab^*icu^*

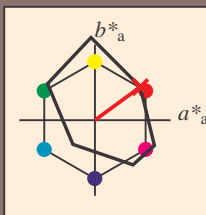
Bunttontexte:

$u^*_d = o00y$ $u^*_e = r16j$

Kontrastreduzierungsfaktor:

$c_R = 1.0$

Dreiecks-Helligkeit i^*



FRS12_95a; CIELAB-Daten						
u^*_d	$L^*=L^*_a$	a^*	b^*	C^*_{ab}	h^*_{ab}	
O _M	38.06	60.53	36.66	70.77	31	
Y _M	86.77	-4.5	100.15	100.25	93	
L _M	47.13	-62.11	40.56	74.18	147	
C _M	55.66	-28.56	-39.99	49.14	234	
V _M	17.15	50.78	-65.6	82.96	308	
M _M	40.37	79.18	-40.93	89.13	333	
N _M	11.58	0.46	-6.35	6.37	274	
W _M	95.02	0.69	-9.48	9.51	274	
O _M	39.92	58.74	27.99	65.07	25	
Y _M	81.26	-2.89	71.56	71.62	92	
L _M	52.23	-42.42	13.6	44.55	162	
V _M	30.57	1.41	-46.47	46.49	272	

Daten für Maximalfarbe (Ma):

LAB^*LAB^*Ma : 38 60 44

LAB^*LCH^*Ma : 38 74 36

lab^*olv^*Ma : 1.0 0.0 0.0

lab^*rgb^*Ma : 1.0 0.16 0.0

Dreiecks-Helligkeit i^*

%Umfang

$u^*_{rel} = 109$

%Regularität

$g^*_{H,rel} = 31$

$g^*_{C,rel} = 40$

FRS12_95a; adaptierte CIELAB-Daten							
u^*_d	$L^*=L^*_a$	a^*_a	b^*_a	$C^*_{ab,a}$	$h^*_{ab,a}$	u^*_e	
$o00y$	38.06	60.0	44.0	74.4	36	$r16j$	
$o25y$	47.68	47.13	56.9	73.88	50	$r37j$	
$o50y$	57.77	33.62	70.44	78.05	64	$r58j$	
$o75y$	69.84	17.48	86.62	88.37	79	$r79j$	
$y00l$	86.77	-5.17	109.32	109.44	93	$j01g$	
$y25l$	73.71	-24.12	89.19	92.39	105	$j18g$	
$y50l$	63.76	-38.55	73.86	83.32	118	$j36g$	
$y75l$	55.23	-50.92	60.72	79.25	130	$j53g$	
$l00c$	47.13	-62.67	48.24	79.09	142	$j71g$	
$l50c$	52.64	-41.0	-3.61	41.16	185	$g21b$	
$c00v$	55.66	-29.14	-31.99	43.27	228	$g60b$	
$c50v$	41.87	-0.69	-41.67	41.68	269	$g97b$	
$v00m$	17.15	50.3	-59.04	77.57	310	$b34r$	
$v50m$	28.2	63.79	-46.89	79.17	324	$b45r$	
$m00o$	40.37	78.64	-33.5	85.48	337	$b57r$	
$m50o$	39.13	68.67	7.94	69.13	7	$b83r$	

$LAB^*cmy^n^*$

$i^*=1.00$

Brillantheit i^*

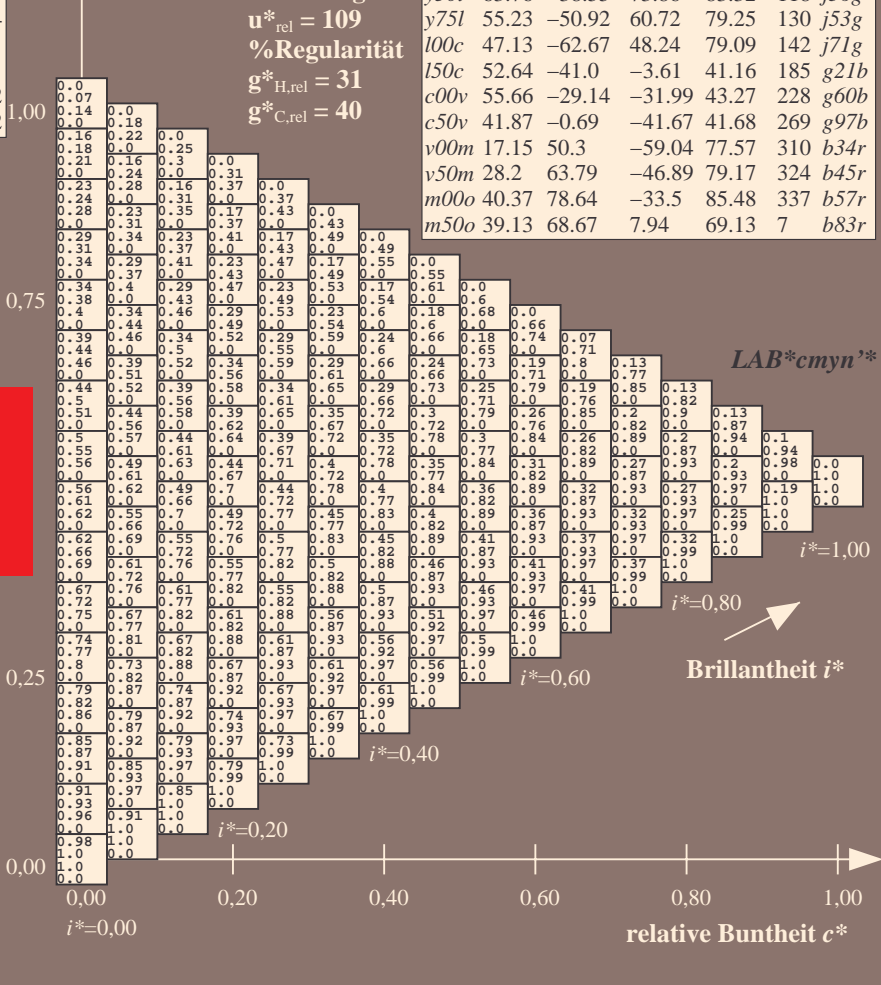
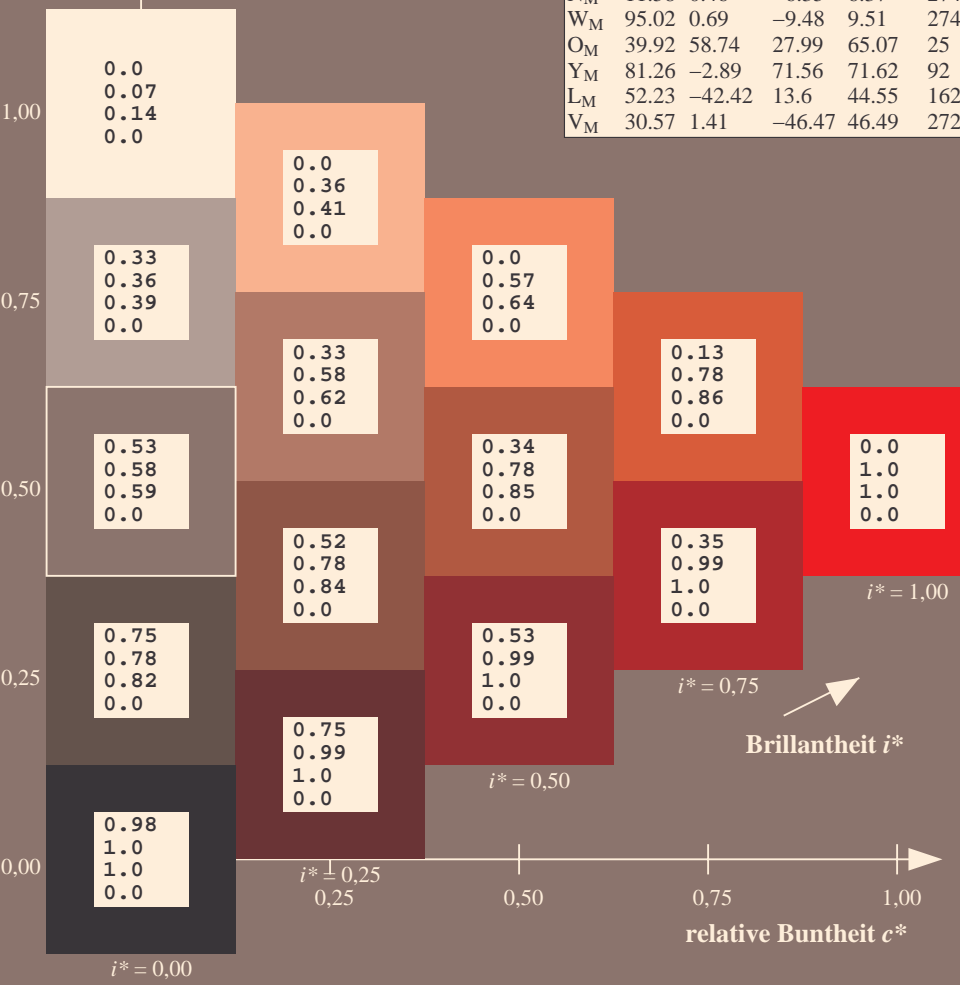
$i^*=0.80$

$i^*=0.60$

$i^*=0.40$

$i^*=0.20$

$i^*=0.00$



Ein und Ausgabe: Farbmatisches Drucker-Reflektiv-System FRS12_95a, L*=12_95 für relativen CIELAB-Buntton $h^* = lab^*h^* = h_{ab}/360 = 0.14$

Daten für jede Farbe:

lab^*ch^* und lab^*icu^*

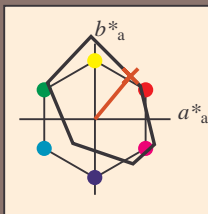
Bunttontexte:

$u^*_d = o25y$ $u^*_e = r37j$

Kontrastreduzierungsfaktor:

$c_R = 1.0$

Dreiecks-Helligkeit i^*



FRS12_95a; CIELAB-Daten

u^*_d	$L^*=L^*$	a^*	b^*	C^*_{ab}	h^*_{ab}
O _M	38.06	60.53	36.66	70.77	31
Y _M	86.77	-4.5	100.15	100.25	93
L _M	47.13	-62.11	40.56	74.18	147
C _M	55.66	-28.56	-39.99	49.14	234
V _M	17.15	50.78	-65.6	82.96	308
M _M	40.37	79.18	-40.93	89.13	333
N _M	11.58	0.46	-6.35	6.37	274
W _M	95.02	0.69	-9.48	9.51	274
O _M	39.92	58.74	27.99	65.07	25
Y _M	81.26	-2.89	71.56	71.62	92
L _M	52.23	-42.42	13.6	44.55	162
V _M	30.57	1.41	-46.47	46.49	272

Daten für Maximalfarbe (Ma):

LAB^*LAB^*Ma : 48 47 57

LAB^*LCH^*Ma : 48 74 50

lab^*olv^*Ma : 1.0 0.25 0.0

lab^*rgb^*Ma : 1.0 0.37 0.0

Dreiecks-Helligkeit i^*

%Umfang

$u^*_{rel} = 109$

%Regularität

$g^*_{H,rel} = 31$

$g^*_{C,rel} = 40$

FRS12_95a; adaptierte CIELAB-Daten

u^*_d	$L^*=L^*$	a^*	b^*	$C^*_{ab,a}$	$h^*_{ab,a}$	u^*_e
o00y	38.06	60.0	44.0	74.4	36	r16j
o25y	47.68	47.13	56.9	73.88	50	r37j
o50y	57.77	33.62	70.44	78.05	64	r58j
o75y	69.84	17.48	86.62	88.37	79	r79j
y00l	86.77	-5.17	109.32	109.44	93	j01g
y25l	73.71	-24.12	89.19	92.39	105	j18g
y50l	63.76	-38.55	73.86	83.32	118	j36g
y75l	55.23	-50.92	60.72	79.25	130	j53g
l00c	47.13	-62.67	48.24	79.09	142	j71g
l50c	52.64	-41.0	-3.61	41.16	185	g21b
c00v	55.66	-29.14	-31.99	43.27	228	g60b
c50v	41.87	-0.69	-41.67	41.68	269	g97b
v00m	17.15	50.3	-59.04	77.57	310	b34r
v50m	28.2	63.79	-46.89	79.17	324	b45r
m00o	40.37	78.64	-33.5	85.48	337	b57r
m50o	39.13	68.67	7.94	69.13	7	b83r

$LAB^*cmy^n^*$

$i^* = 1.00$

Brillantheit i^*

$i^* = 0.80$

$i^* = 0.60$

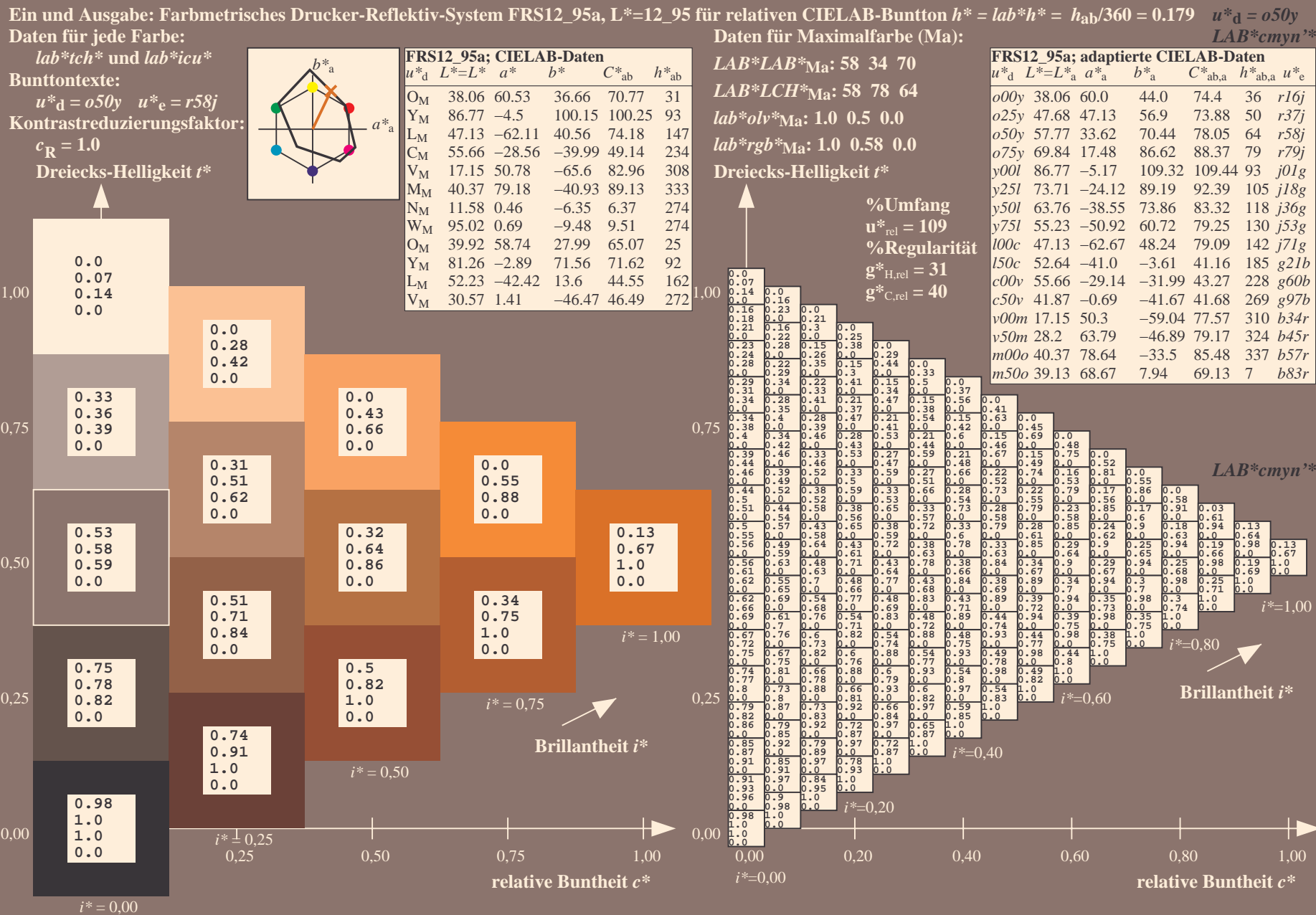
$i^* = 0.40$

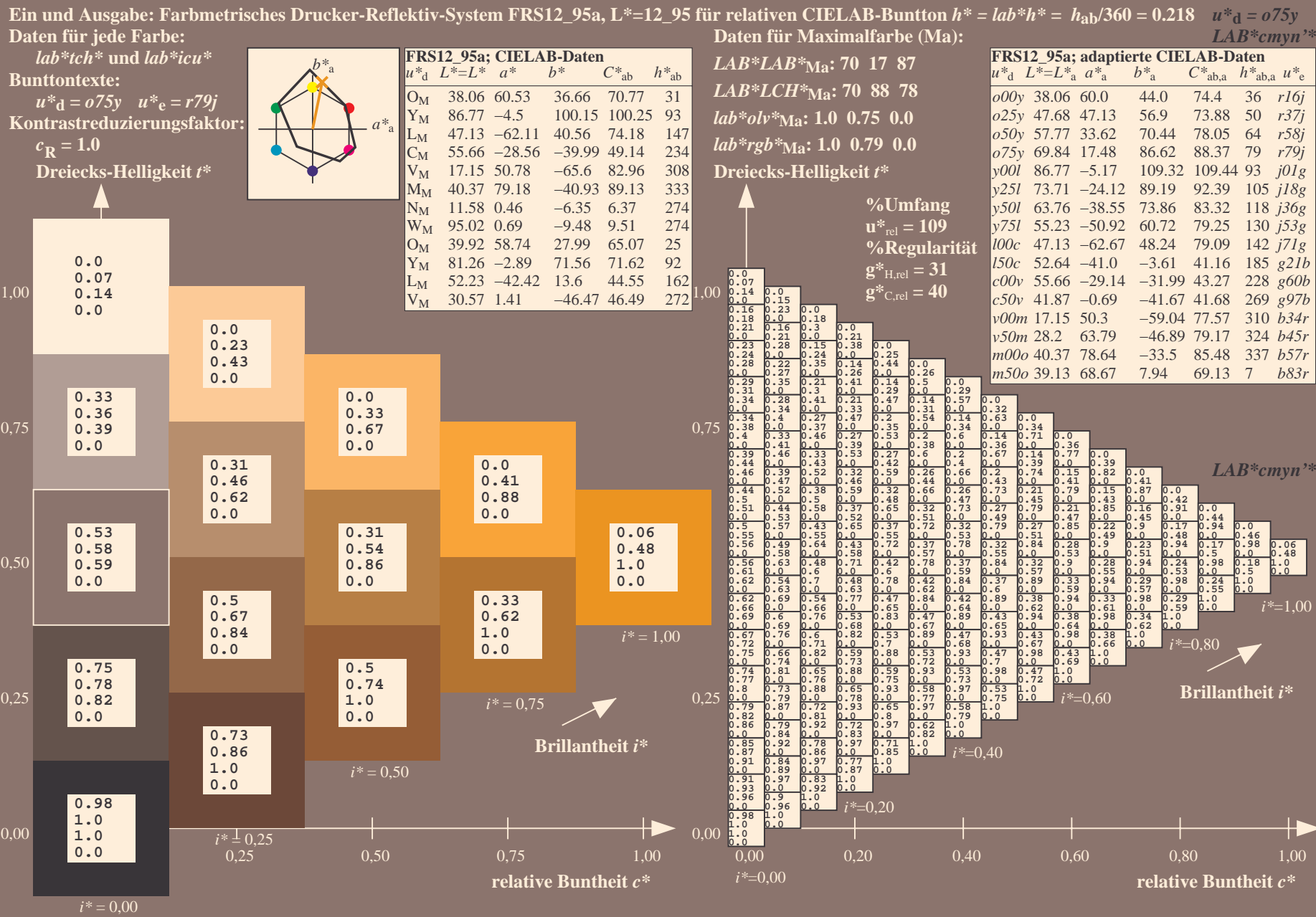
$i^* = 0.20$

$i^* = 0.00$

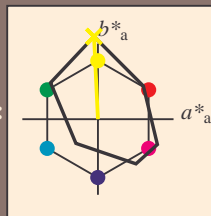
relative Buntheit c^*

relative Buntheit c^*





Ein und Ausgabe: Farbmatisches Drucker-Reflektiv-System FRS12_95a, L*=12_95 für relativen CIELAB-Buntton $h^* = lab^*h^* = h_{ab}/360 = 0.258$ $u^*_d = y00l$
Daten für jede Farbe:
 lab^*ch^* und lab^*icu^*
Bunttontexte:
 $u^*_d = y00l$ $u^*_e = j01g$
Kontrastreduzierungsfaktor:
 $c_R = 1.0$
Dreiecks-Helligkeit i^*



FRS12_95a; CIELAB-Daten						
u^*_d	$L^*=L^*_a$	a^*	b^*	C^*_{ab}	h^*_{ab}	
O _M	38.06	60.53	36.66	70.77	31	
Y _M	86.77	-4.5	100.15	100.25	93	
L _M	47.13	-62.11	40.56	74.18	147	
C _M	55.66	-28.56	-39.99	49.14	234	
V _M	17.15	50.78	-65.6	82.96	308	
M _M	40.37	79.18	-40.93	89.13	333	
N _M	11.58	0.46	-6.35	6.37	274	
W _M	95.02	0.69	-9.48	9.51	274	
O _M	39.92	58.74	27.99	65.07	25	
Y _M	81.26	-2.89	71.56	71.62	92	
L _M	52.23	-42.42	13.6	44.55	162	
V _M	30.57	1.41	-46.47	46.49	272	

Daten für Maximalfarbe (Ma):

$LAB^*LAB^*Ma: 87 -5 109$

$LAB^*LCH^*Ma: 87 109 92$

$lab^*olv^*Ma: 1.0 1.0 0.0$

$lab^*rgb^*Ma: 0.99 1.0 0.0$

Dreiecks-Helligkeit i^*

%Umfang

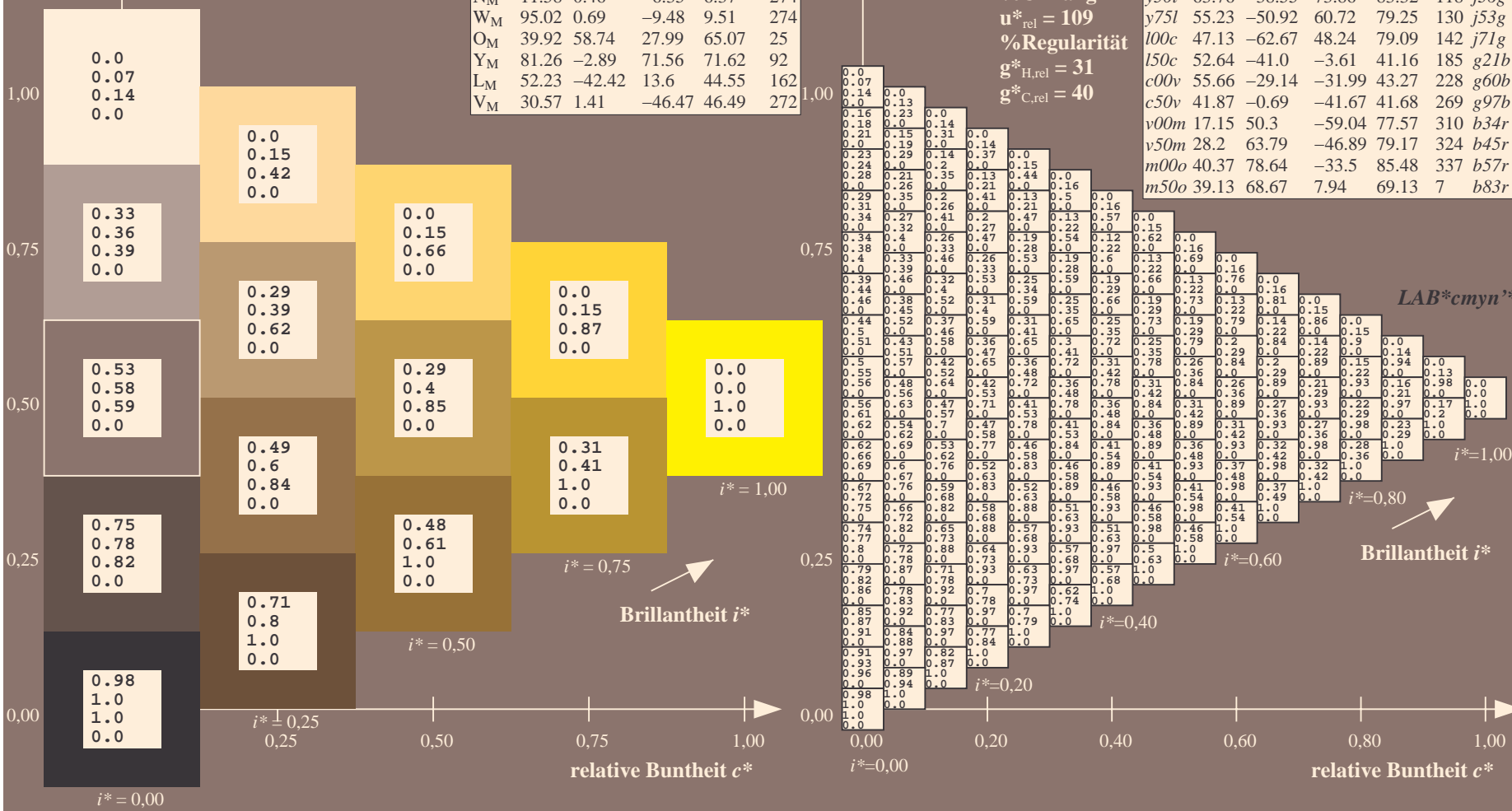
$u^*_{rel} = 109$

%Regularität

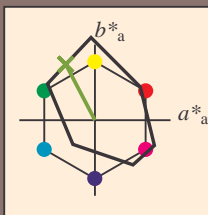
$g^*_{H,rel} = 31$

$g^*_{C,rel} = 40$

FRS12_95a; adaptierte CIELAB-Daten								
u^*_d	$L^*=L^*_a$	a^*_a	b^*_a	$C^*_{ab,a}$	$h^*_{ab,a}$	u^*_e		
o00y	38.06	60.0	44.0	74.4	36	r16j		
o25y	47.68	47.13	56.9	73.86	50	r37j		
o50y	57.77	33.62	70.44	78.05	64	r58j		
o75y	69.84	17.48	86.62	88.37	79	r79j		
y00l	86.77	-5.17	109.32	109.44	93	j01g		
y25l	73.71	-24.12	89.19	92.39	105	j18g		
y50l	63.76	-38.55	73.86	83.32	118	j36g		
y75l	55.23	-50.92	60.72	79.25	130	j53g		
l00c	47.13	-62.67	48.24	79.09	142	j71g		
l50c	52.64	-41.0	-3.61	41.16	185	g21b		
c50v	55.66	-29.14	-31.99	43.27	228	g60b		
c50v	41.87	-0.69	-41.67	41.68	269	g97b		
v00m	17.15	50.3	-59.04	77.57	310	b34r		
v50m	28.2	63.79	-46.89	79.17	324	b45r		
m00o	40.37	78.64	-33.5	85.48	337	b57r		
m50o	39.13	68.67	7.94	69.13	7	b83r		



Ein und Ausgabe: Farbmetrisches Drucker-Reflektiv-System FRS12_95a, L*=12_95 für relativen CIELAB-Buntton $h^* = lab^*h^* = h_{ab}/360 = 0.327$ $u^*_d = y50l$
Daten für jede Farbe:
 lab^*ch^* und lab^*icu^*
Bunttontexte:
 $u^*_d = y50l$ $u^*_e = j36g$
Kontrastreduzierungsfaktor:
 $c_R = 1.0$
Dreiecks-Helligkeit i^*



FRS12_95a; CIELAB-Daten						
u^*_d	$L^*=L^*_a$	a^*	b^*	C^*_{ab}	h^*_{ab}	
O _M	38.06	60.53	36.66	70.77	31	
Y _M	86.77	-4.5	100.15	100.25	93	
L _M	47.13	-62.11	40.56	74.18	147	
C _M	55.66	-28.56	-39.99	49.14	234	
V _M	17.15	50.78	-65.6	82.96	308	
M _M	40.37	79.18	-40.93	89.13	333	
N _M	11.58	0.46	-6.35	6.37	274	
W _M	95.02	0.69	-9.48	9.51	274	
O _M	39.92	58.74	27.99	65.07	25	
Y _M	81.26	-2.89	71.56	71.62	92	
L _M	52.23	-42.42	13.6	44.55	162	
V _M	30.57	1.41	-46.47	46.49	272	

Daten für Maximalfarbe (Ma):

LAB^*LAB^*Ma : 64 -39 74

LAB^*LCH^*Ma : 64 83 117

lab^*olv^*Ma : 0.5 1.0 0.0

lab^*rgb^*Ma : 0.64 1.0 0.0

Dreiecks-Helligkeit i^*

%Umfang

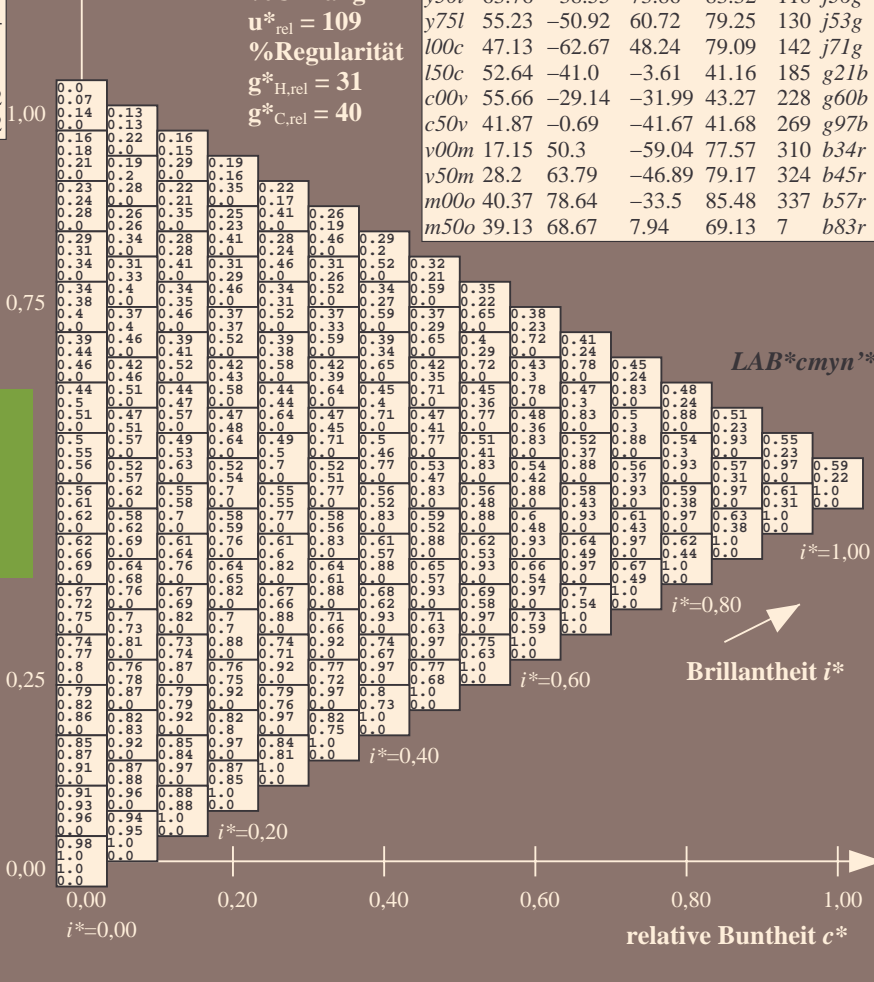
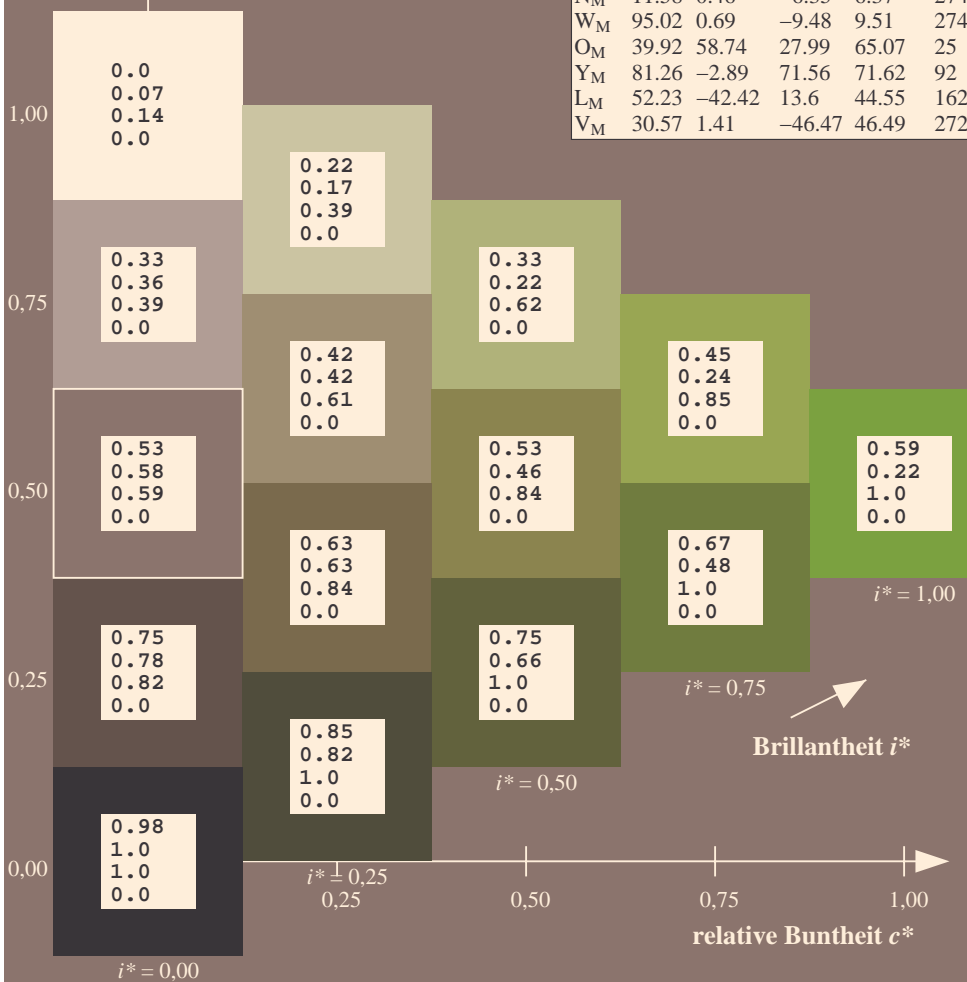
$u^*_{rel} = 109$

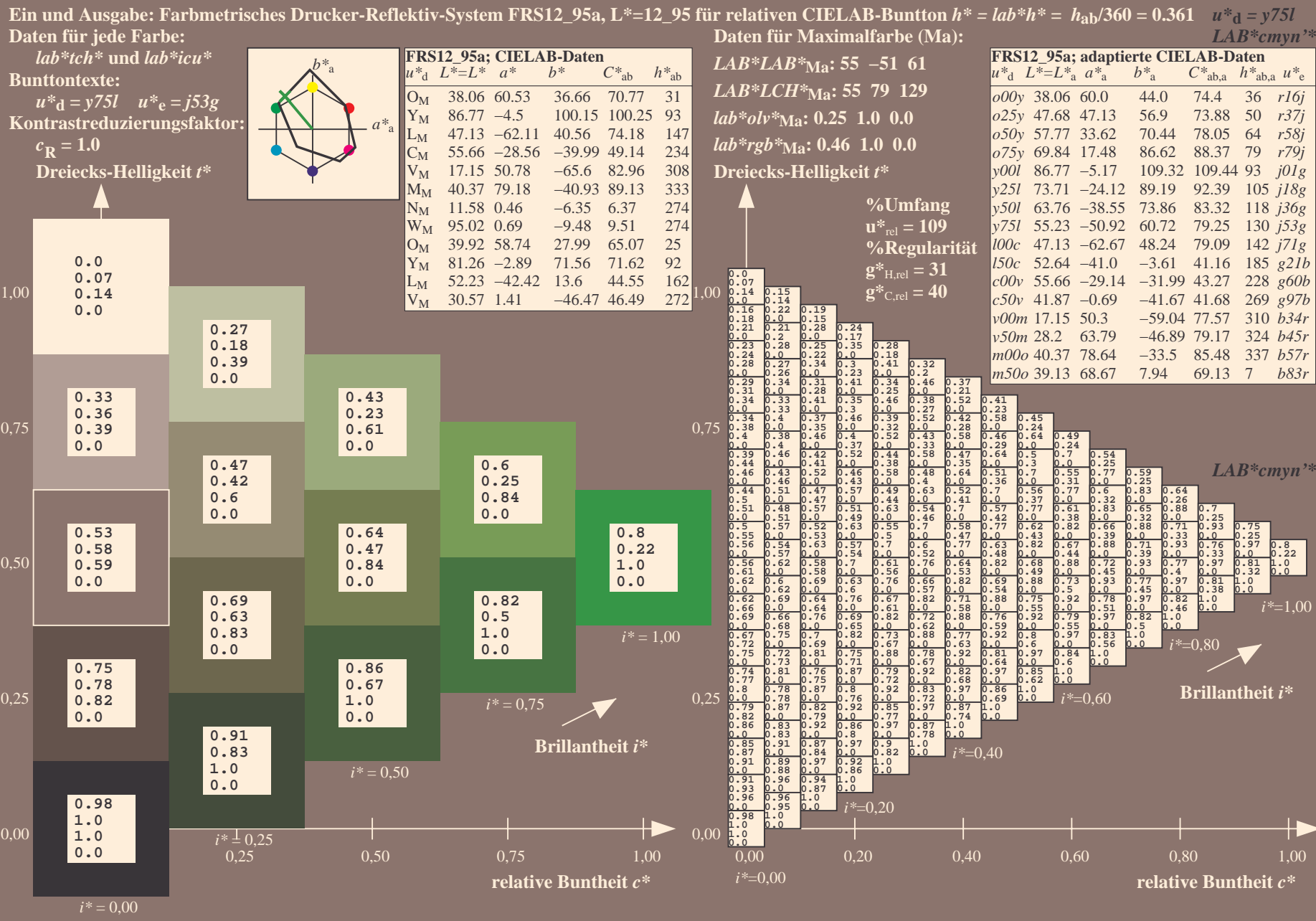
%Regularität

$g^*_{H,rel} = 31$

$g^*_{C,rel} = 40$

FRS12_95a; adaptierte CIELAB-Daten							
u^*_d	$L^*=L^*_a$	a^*_a	b^*_a	$C^*_{ab,a}$	$h^*_{ab,a}$	u^*_e	
o00y	38.06	60.0	44.0	74.4	36	r16j	
o25y	47.68	47.13	56.9	73.88	50	r37j	
o50y	57.77	33.62	70.44	78.05	64	r58j	
o75y	69.84	17.48	86.62	88.37	79	r79j	
y00l	86.77	-5.17	109.32	109.44	93	j01g	
y25l	73.71	-24.12	89.19	92.39	105	j18g	
y50l	63.76	-38.55	73.86	83.32	118	j36g	
y75l	55.23	-50.92	60.72	79.25	130	j53g	
l00c	47.13	-62.67	48.24	79.09	142	j71g	
l50c	52.64	-41.0	-3.61	41.16	185	g21b	
c00v	55.66	-29.14	-31.99	43.27	228	g60b	
c50v	41.87	-0.69	-41.67	41.68	269	g97b	
v00m	17.15	50.3	-59.04	77.57	310	b34r	
v50m	28.2	63.79	-46.89	79.17	324	b45r	
m00o	40.37	78.64	-33.5	85.48	337	b57r	
m50o	39.13	68.67	7.94	69.13	7	b83r	

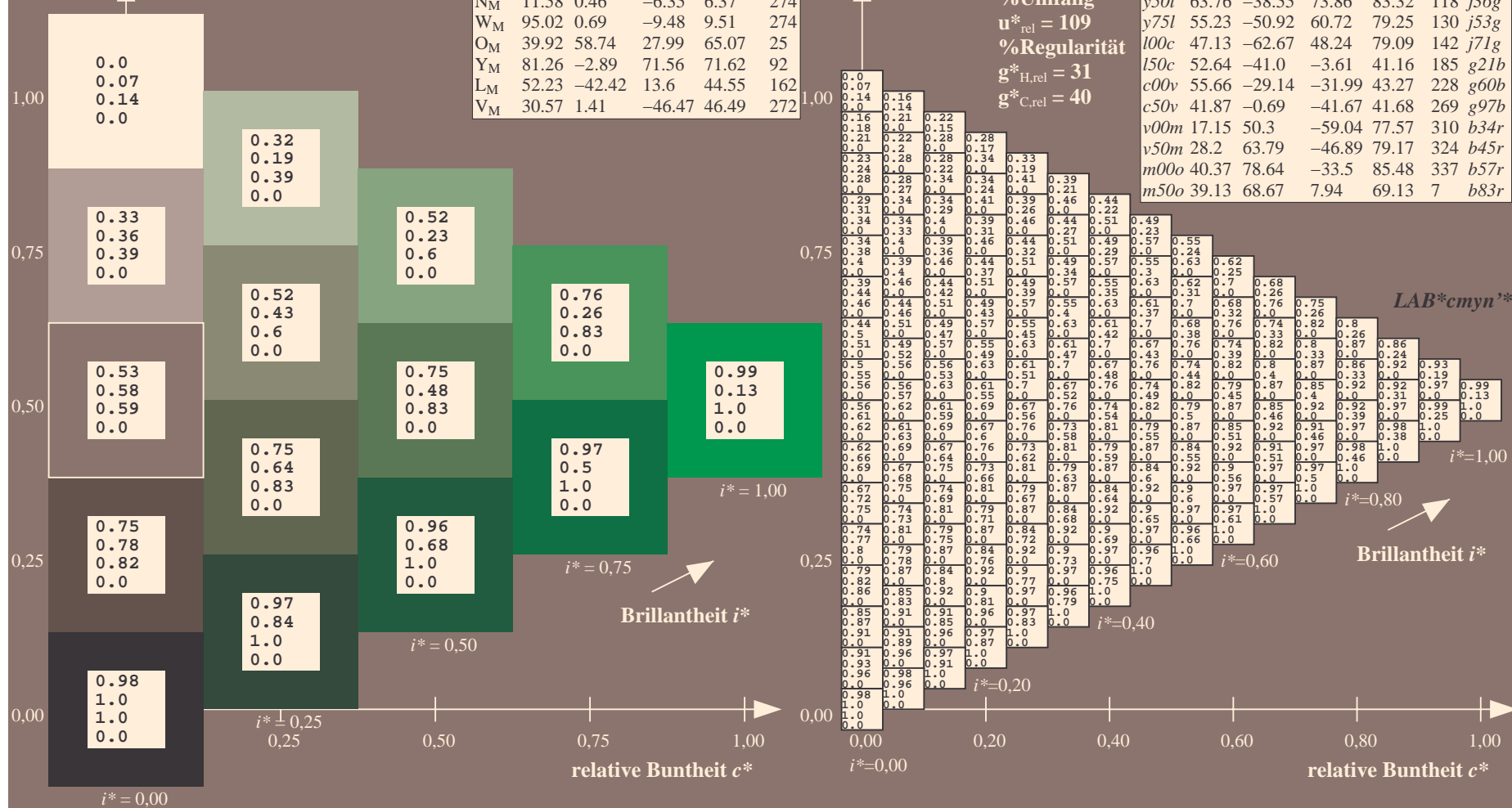




Ein und Ausgabe: Farbmetrisches Drucker-Reflektiv-System FRS12_95a, L*=12_95 für relativen CIELAB-Buntton $h^* = lab^*h^* = h_{ab}/360 = 0.396$ $u^*_d = l00c$			Daten für jede Farbe:			Daten für Maximalfarbe (Ma):		
lab^*tch^* und lab^*icu^*						$LAB^*cmy^n^*$		
Bunttontexte:								
$u^*_d = l00c$ $u^*_e = j71g$								
Kontrastreduzierungsfaktor:								
$c_R = 1.0$								
Dreiecks-Helligkeit t^*								

FRS12_95a; CIELAB-Daten						
u_d^*	$L^*=L^*$	a^*	b^*	C^*_{ab}	h^*_{ab}	
O _M	38.06	60.53	36.66	70.77	3	13
Y _M	86.77	-4.5	100.15	100.25	93	13
L _M	47.13	-62.11	40.56	74.18	14	94
C _M	55.66	-28.56	-39.99	49.14	23	94
V _M	17.15	50.78	-65.6	82.96	308	94
M _M	40.37	79.18	-40.93	89.13	333	94
N _M	11.58	0.46	-6.35	6.37	274	94
W _M	95.02	0.69	-9.48	9.51	274	94
O _M	39.92	58.74	27.99	65.07	25	94
Y _M	81.26	-2.89	71.56	71.62	92	94
L _M	52.23	-42.42	13.6	44.55	16	94
V _M	30.57	1.41	-46.47	46.49	273	94

FRS12_95a; adaptierte CIELAB-Daten							
u^*_d	$L^*=L^*_a$	a^*_a	b^*_a	$C^*_{ab,a}$	$h^*_{ab,a}$	u^*_e	
<i>o00y</i>	38.06	60.0	44.0	74.4	36	<i>r16j</i>	
<i>o25y</i>	47.68	47.13	56.9	73.88	50	<i>r37j</i>	
<i>o50y</i>	57.77	33.62	70.44	78.05	64	<i>r58j</i>	
<i>o75y</i>	69.84	17.48	86.62	88.37	79	<i>r79j</i>	
<i>y00l</i>	86.77	-5.17	109.32	109.44	93	<i>j01g</i>	
<i>y25l</i>	73.71	-24.12	89.19	92.39	105	<i>j18g</i>	
<i>y50l</i>	63.76	-38.55	73.86	83.32	118	<i>j36g</i>	
<i>y75l</i>	55.23	-50.92	60.72	79.25	130	<i>j53g</i>	
<i>l00c</i>	47.13	-62.67	48.24	79.09	142	<i>j71g</i>	
<i>l50c</i>	52.64	-41.0	-3.61	41.16	185	<i>g21b</i>	
<i>c00v</i>	55.66	-29.14	-31.99	43.27	228	<i>g60b</i>	
<i>c50v</i>	41.87	-0.69	-41.67	41.68	269	<i>g97b</i>	
<i>v00m</i>	17.15	50.3	-59.04	77.57	310	<i>b34r</i>	
<i>v50m</i>	28.2	63.79	-46.89	79.17	324	<i>b45r</i>	
<i>m00o</i>	40.37	78.64	-33.5	85.48	337	<i>b57r</i>	
<i>m50o</i>	39.13	68.67	7.94	69.13	7	<i>b83r</i>	

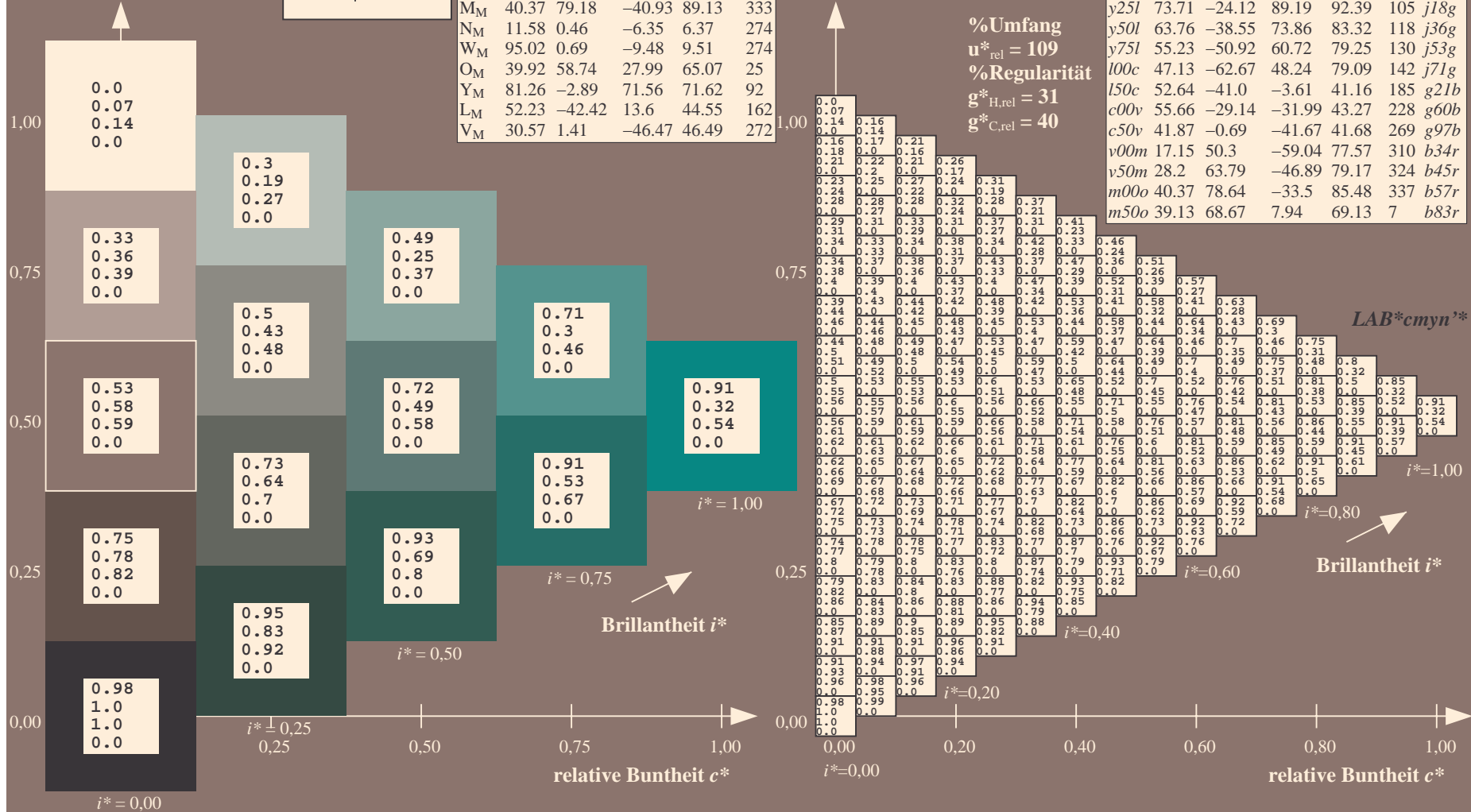


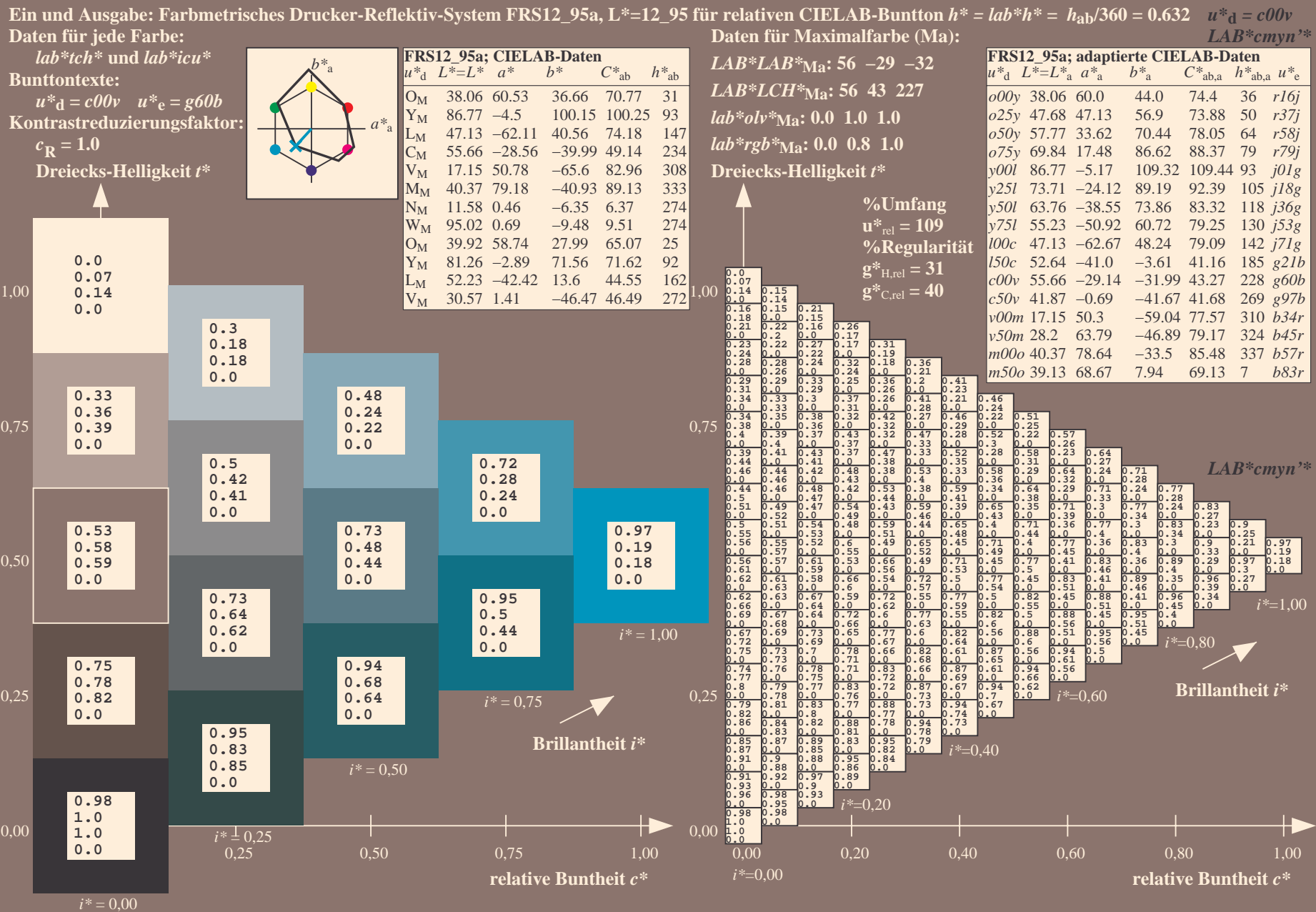
Ein und Ausgabe: Farbmetrisches Drucker-Reflektiv-System FRS12_95a, L*=12_95 für relativen CIELAB-Buntton $h^* = lab^*h^* = h_{ab}/360 = 0.514$ $u^*_d = l50c$			Daten für jede Farbe:			Daten für Maximalfarbe (Ma):		
lab^*tch^* und lab^*icu^*						$LAB^*cmy^n^*$		
Bunttontexte:								
$u^*_d = l50c$ $u^*_e = g21b$								
Kontrastreduzierungsfaktor:								
$c_R = 1.0$								
Dreiecks-Helligkeit t^*								

FRS12_95a; CIELAB-Daten						
	u^*_d	$L^*=L^*$	a^*	b^*	C^*_{ab}	h^*_{ab}
Q_M	38.06	60.53	36.66	70.77	31	133
Y_M	86.77	-4.5	100.15	100.25	93	143
L_M	47.13	-62.11	40.56	74.18	147	93
C_M	55.66	-28.56	-39.99	49.14	234	133
V_M	17.15	50.78	-65.6	82.96	308	133
M_M	40.37	79.18	-40.93	89.13	333	133
N_M	11.58	0.46	-6.35	6.37	274	133
W_M	95.02	0.69	-9.48	9.51	274	133
O_M	39.92	58.74	27.99	65.07	25	133
Y_M	81.26	-2.89	71.56	71.62	92	133
L_M	52.23	-42.42	13.6	44.55	162	133
V_M	30.57	1.41	-46.47	46.49	272	133

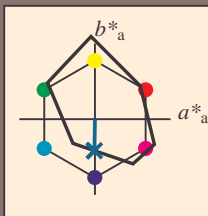
Dreiecks-Helligkeit t^*

FRS12_95a; adaptierte CIELAB-Daten						
u_d^*	$L^*=L_a^*$	a_a^*	b_a^*	$C_{ab,a}^*$	$h_{ab,a}^*$	u_e^*
<i>o00y</i>	38.06	60.0	44.0	74.4	36	<i>r16j</i>
<i>o25y</i>	47.68	47.13	56.9	73.88	50	<i>r37j</i>
<i>o50y</i>	57.77	33.62	70.44	78.05	64	<i>r58j</i>
<i>o75y</i>	69.84	17.48	86.62	88.37	79	<i>r79j</i>
<i>y00l</i>	86.77	-5.17	109.32	109.44	93	<i>j01g</i>
<i>y25l</i>	73.71	-24.12	89.19	92.39	105	<i>j18g</i>
<i>y50l</i>	63.76	-38.55	73.86	83.32	118	<i>j36g</i>
<i>y75l</i>	55.23	-50.92	60.72	79.25	130	<i>j53g</i>
<i>l00c</i>	47.13	-62.67	48.24	79.09	142	<i>j71g</i>
<i>l50c</i>	52.64	-41.0	-3.61	41.16	185	<i>g21b</i>
<i>c00v</i>	55.66	-29.14	-31.99	43.27	228	<i>g60b</i>
<i>c50v</i>	41.87	-0.69	-41.67	41.68	269	<i>g97b</i>
<i>v00m</i>	17.15	50.3	-59.04	77.57	310	<i>b34r</i>
<i>v50m</i>	28.2	63.79	-46.89	79.17	324	<i>b45r</i>
<i>m00o</i>	40.37	78.64	-33.5	85.48	337	<i>b57r</i>
<i>m50o</i>	39.13	68.67	7.94	69.13	7	<i>b83r</i>





Ein und Ausgabe: Farbmetrisches Drucker-Reflektiv-System FRS12_95a, L*=12_95 für relativen CIELAB-Buntton $h^* = lab^*h^* = h_{ab}/360 = 0.747$ $u^*_d = c50v$
Daten für jede Farbe:
 lab^*tch^* und lab^*icu^*
Bunttontexte:
 $u^*_d = c50v$ $u^*_e = g97b$
Kontrastreduzierungsfaktor:
 $c_R = 1.0$
Dreiecks-Helligkeit t^*



FRS12_95a; CIELAB-Daten						
u^*_d	$L^*=L^*$	a^*	b^*	C^*_{ab}	h^*_{ab}	
O _M	38.06	60.53	36.66	70.77	31	
Y _M	86.77	-4.5	100.15	100.25	93	
L _M	47.13	-62.11	40.56	74.18	147	
C _M	55.66	-28.56	-39.99	49.14	234	
V _M	17.15	50.78	-65.6	82.96	308	
M _M	40.37	79.18	-40.93	89.13	333	
N _M	11.58	0.46	-6.35	6.37	274	
W _M	95.02	0.69	-9.48	9.51	274	
O _M	39.92	58.74	27.99	65.07	25	
Y _M	81.26	-2.89	71.56	71.62	92	
L _M	52.23	-42.42	13.6	44.55	162	
V _M	30.57	1.41	-46.47	46.49	272	

Daten für Maximalfarbe (Ma):

$LAB^*LAB^*Ma: 42 -1 -42$

$LAB^*LCH^*Ma: 42 42 269$

$lab^*olv^*Ma: 0.0 0.5 1.0$

$lab^*rgb^*Ma: 0.0 0.05 1.0$

Dreiecks-Helligkeit t^*

%Umfang

$u^*_{rel} = 109$

%Regularität

$g^*_{H,rel} = 31$

$g^*_{C,rel} = 40$

FRS12_95a; adaptierte CIELAB-Daten							
u^*_d	$L^*=L^*_a$	a^*_a	b^*_a	$C^*_{ab,a}$	$h^*_{ab,a}$	u^*_e	
o00y	38.06	60.0	44.0	74.4	36	r16j	
o25y	47.68	47.13	56.9	73.86	50	r37j	
o50y	57.77	33.62	70.44	78.05	64	r58j	
o75y	69.84	17.48	86.62	88.37	79	r79j	
y00l	86.77	-5.17	109.32	109.44	93	j01g	
y25l	73.71	-24.12	89.19	92.39	105	j18g	
y50l	63.76	-38.55	73.86	83.32	118	j36g	
y75l	55.23	-50.92	60.72	79.25	130	j53g	
l00c	47.13	-62.67	48.24	79.09	142	j71g	
l50c	52.64	-41.0	-3.61	41.16	185	g21b	
c00v	55.66	-29.14	-31.99	43.27	228	g60b	
c50v	41.87	-0.69	-41.67	41.68	269	g97b	
v00m	17.15	50.3	-59.04	77.57	310	b34r	
v50m	28.2	63.79	-46.89	79.17	324	b45r	
m00o	40.37	78.64	-33.5	85.48	337	b57r	
m50o	39.13	68.67	7.94	69.13	7	b83r	

$LAB^*cmy^n^*$

$i^*=1.00$

Brillantheit i^*

$i^*=0.80$

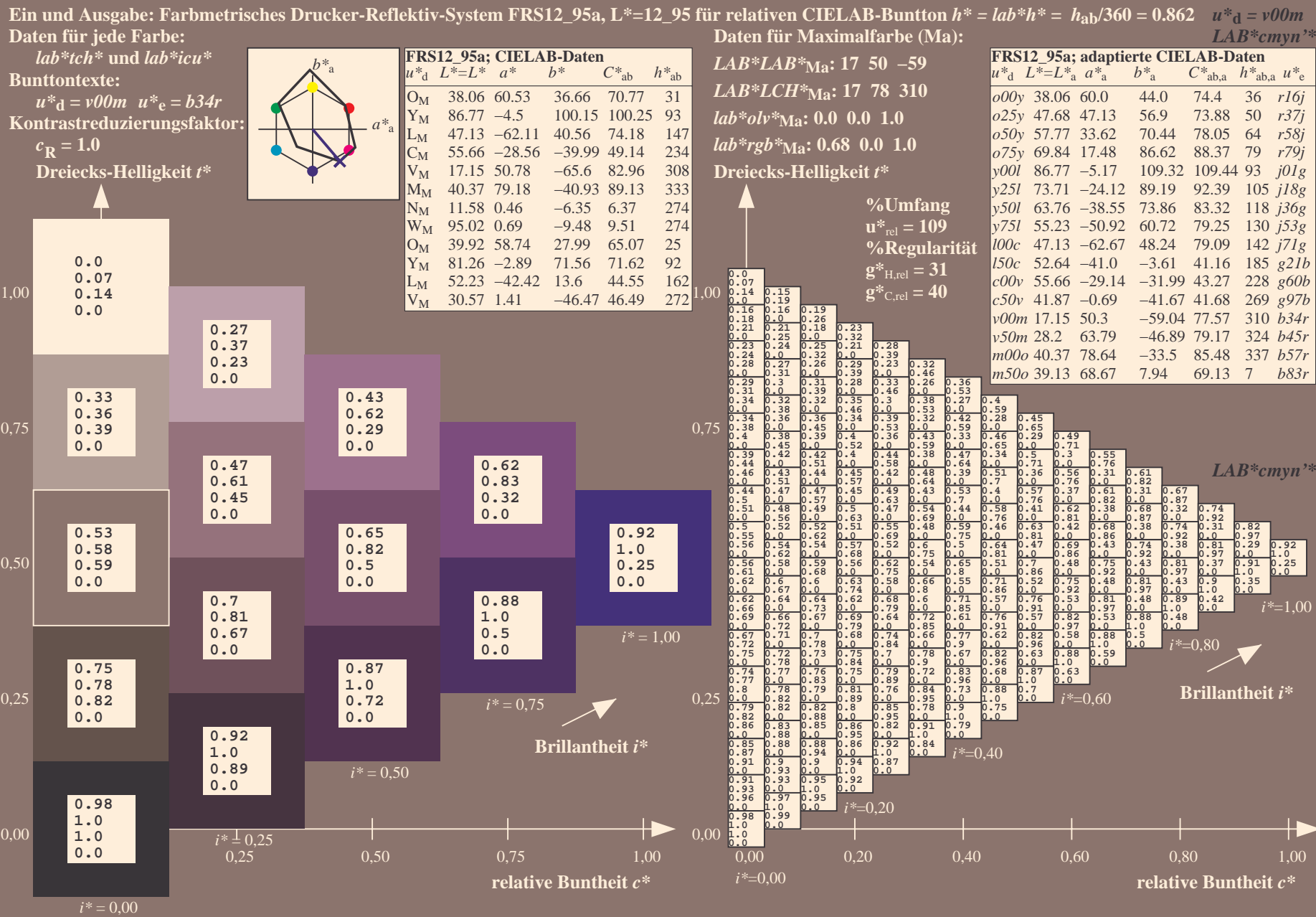
$i^*=0.60$

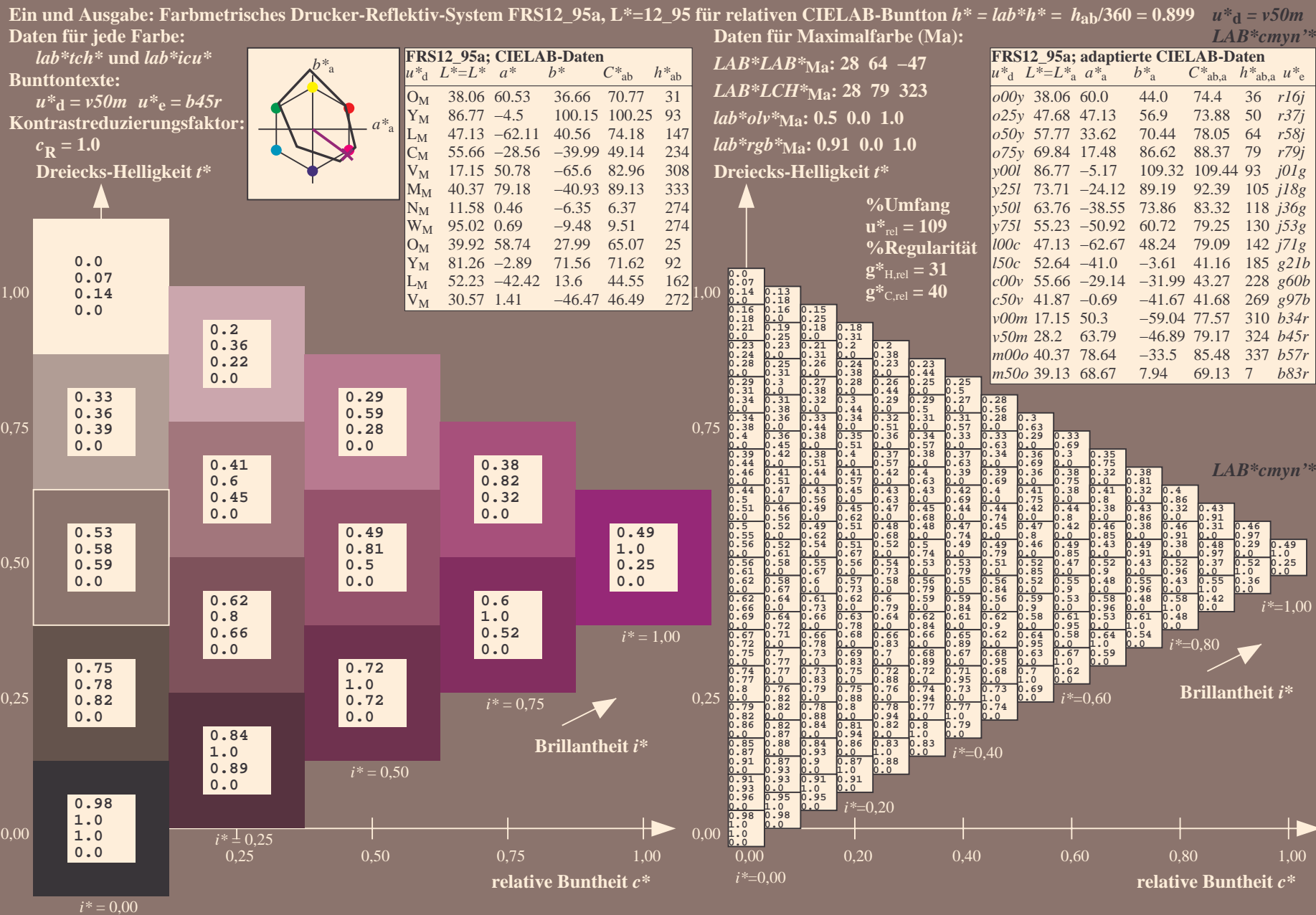
$i^*=0.40$

$i^*=0.20$

$i^*=0.00$

relative Buntheit c^*





Ein und Ausgabe: Farbmetrisches Drucker-Reflektiv-System FRS12_95a, L*=12_95 für relativen CIELAB-Buntton $h^* = lab^*h^* = h_{ab}/360 = 0.936$ $u^*_d = m00o$			Daten für jede Farbe:			Daten für Maximalfarbe (Ma):		
lab^*tch^* und lab^*icu^*			$u^*_d = m00o$ $u^*_e = b57r$			$LAB^*LAB^*_{Ma}: 40\ 79\ -34$		
Bunttontexte:			$u^*_d = m00o$ $u^*_e = b57r$			$LAB^*LCH^*_{Ma}: 40\ 85\ 336$		
Kontrastreduzierungsfaktor:			$c_R = 1.0$			$lab^*olv^*_{Ma}: 1.0\ 0.0\ 1.0$		
Dreiecks-Helligkeit t^*			$c_R = 1.0$			$lab^*rgb^*_{Ma}: 1.0\ 0.0\ 0.85$		
Dreiecks-Helligkeit t^*			Dreiecks-Helligkeit t^*			Dreiecks-Helligkeit t^*		

FRS12_95a; CIELAB-Daten						
u^*_d	$L^*=L^*$	a^*	b^*	C^*_{ab}	h^*_{ab}	
O _M	38.06	60.53	36.66	70.77	3	147
Y _M	86.77	-4.5	100.15	100.25	93	147
L _M	47.13	-62.11	40.56	74.18	14	234
C _M	55.66	-28.56	-39.99	49.14	23	234
V _M	17.15	50.78	-65.6	82.96	308	234
M _M	40.37	79.18	-40.93	89.13	33	274
N _M	11.58	0.46	-6.35	6.37	274	274
W _M	95.02	0.69	-9.48	9.51	274	274
O _M	39.92	58.74	27.99	65.07	25	274
Y _M	81.26	-2.89	71.56	71.62	92	274
L _M	52.23	-42.42	13.6	44.55	16	274
V _M	30.57	1.41	-46.47	46.49	27	274

$LAB*LAB^*_{Ma}: 40 \ 79 \ -34$
 $LAB*LCH^*_{Ma}: 40 \ 85 \ 336$
 $lab*olv^*_{Ma}: 1.0 \ 0.0 \ 1.0$
 $lab*rgb^*_{Ma}: 1.0 \ 0.0 \ 0.85$

FRS12_95a; adaptierte CIELAB-Daten							
u_d^*	$L^*=L_a^*$	a_a^*	b_a^*	$C^*_{ab,a}$	$h^*_{ab,a}$	u_e^*	
<i>o00y</i>	38.06	60.0	44.0	74.4	36	<i>r16j</i>	
<i>o25y</i>	47.68	47.13	56.9	73.88	50	<i>r37j</i>	
<i>o50y</i>	57.77	33.62	70.44	78.05	64	<i>r58j</i>	
<i>o75y</i>	69.84	17.48	86.62	88.37	79	<i>r79j</i>	
<i>y00l</i>	86.77	-5.17	109.32	109.44	93	<i>j01g</i>	
<i>y25l</i>	73.71	-24.12	89.19	92.39	105	<i>j18g</i>	
<i>y50l</i>	63.76	-38.55	73.86	83.32	118	<i>j36g</i>	
<i>y75l</i>	55.23	-50.92	60.72	79.25	130	<i>j53g</i>	
<i>l00c</i>	47.13	-62.67	48.24	79.09	142	<i>j71g</i>	
<i>l50c</i>	52.64	-41.0	-3.61	41.16	185	<i>g21b</i>	
<i>c00v</i>	55.66	-29.14	-31.99	43.27	228	<i>g60b</i>	
<i>c50v</i>	41.87	-0.69	-41.67	41.68	269	<i>g97b</i>	
<i>v00m</i>	17.15	50.3	-59.04	77.57	310	<i>b34r</i>	
<i>v50m</i>	28.2	63.79	-46.89	79.17	324	<i>b45r</i>	
<i>m00o</i>	40.37	78.64	-33.5	85.48	337	<i>b57r</i>	
<i>m50o</i>	39.13	68.67	7.94	69.13	7	<i>b83r</i>	

